

В.О. ГОРДОН
Ю.Б. ИВАНОВ
Т.Е. СОЛНЦЕВА

СБОРНИК ЗАДАЧ ПО КУРСУ НАЧЕРТАТЕЛЬНОЙ ГЕОМЕТРИИ

ИЗДАНИЕ ШЕСТОЕ, ПЕРЕРАБОТАННОЕ

Под общей редакцией Ю.Б. ИВАНОВА

*Допущено Государственным комитетом СССР
по народному образованию в качестве
учебного пособия для студентов высших
технических учебных заведений*



МОСКВА "НАУКА"
ГЛАВНАЯ РЕДАКЦИЯ
ФИЗИКО-МАТЕМАТИЧЕСКОЙ ЛИТЕРАТУРЫ
1989

ББК 22.151.3
Г67
УДК 514.18 (075.8)

Гордон В.О., Иванов Ю.Б., Солнцева Т.Е. **Сборник задач по курсу начертательной геометрии: Учеб. пособие для втузов.** — 6-е изд., перераб. — М.: Наука. Гл. ред. физ.-мат. лит., 1989. — 320 с. — ISBN 5-02-013926-2.

Показан процесс решения типовых задач, иллюстрирующих основные положения курса, даны подробные решения ряда задач. В конце книги приведены ответы к задачам, предлагаемым для самостоятельного решения.

В новом издании (5-е — 1977 г.) принята современная система обозначений. Для студентов машиностроительных, приборостроительных и механико-технологических специальностей втузов. Может служить учебным пособием для студентов всех форм обучения, особенно заочной, и будет очень полезен изучающим курс самостоятельно. Ил. 335. Табл. 6.

Рецензент
доктор технических наук профессор *А.В. Бубенников*

Учебное издание

Гордон Владимир Осипович
Иванов Юрий Борисович
Солнцева Татьяна Евгеньевна

СБОРНИК ЗАДАЧ ПО КУРСУ НАЧЕРТАТЕЛЬНОЙ ГЕОМЕТРИИ

Заведующий редакцией *С.И. Зеленский*
Редактор *Т.А. Панькова*
Художественный редактор *Г.М. Коровина*
Технические редакторы *С.В. Геворкян, С.Н. Баронина*
Корректоры *Н.П. Круглова, Т.В. Обод*

Набор осуществлен в издательстве
на наборно-печатающих автоматах

ИБ № 32763

Сдано в набор 22.05.89. Подписано к печати 14.08.89
Формат 70 X 100/16. Бумага книжно-журнальная
Гарнитура Пресс-Роман. Печать офсетная
Усл.печ.л. 26,0. Усл.кр.-отт. 26,0. Уч.-изд.л. 21,56
Тираж 174000 экз. Тип. зак. 965 . Цена 1р.20к.

Ордена Трудового Красного Знамени
издательство "Наука"
Главная редакция физико-математической литературы
117071 Москва В-71, Ленинский проспект, 15

Типография им. Котлякова
издательства "Финансы и статистика"
Государственного комитета СССР
по делам издательств, полиграфии и книжной торговли
195273 Ленинград, ул. Руставели, 13

Г $\frac{1602050000-121}{052(02)-89}$ 44-89

ISBN 5-02-013926-2

© Издательство "Наука".
Главная редакция
физико-математической литературы, 1977;
с изменениями, 1989

ОГЛАВЛЕНИЕ

Предисловие к шестому изданию	5
Принятые обозначения	8
Глава I. Точка и прямая	9
§ 1. Точка (1–5)	9
§ 2. Прямая (6–9)	12
§ 3. Взаимное положение прямой и точки (10–11)	14
§ 4. Следы прямой (12–16)	14
§ 5. Натуральная величина отрезка прямой и углы наклона прямой к плоскостям проекций (17–23)	17
§ 6. Деление отрезка в данном отношении (24–25)	20
§ 7. Взаимное положение прямых (26–30)	20
§ 8. Построение проекций прямого угла (31–39)	23
Глава II. Плоскость	27
§ 9. Прямая и точка в плоскости (40–51)	27
§ 10. Следы плоскости (52–60)	32
Глава III. Пересечение прямой линии с плоскостью и двух плоскостей между собой	36
§ 11. Пересечение прямой с проецирующей плоскостью (61–66)	36
§ 12. Пересечение плоскостей между собой (67–76)	39
§ 13. Пересечение прямой с плоскостью общего положения (77–85)	45
§ 14. Общие случаи пересечения плоскостей (86–91)	51
Глава IV. Параллельность и перпендикулярность прямой и плоскости и двух плоскостей	56
§ 15. Параллельность прямой и плоскости и двух плоскостей (92–101)	56
§ 16. Перпендикулярность прямой и плоскости и двух плоскостей (102–110)	60
§ 17. Смешанные задачи без применения способов преобразования чертежа (111–154)	63
Глава V. Применение способов преобразования чертежа	96
§ 18. Определение расстояний (155–170)	96
§ 19. Определение величины углов (171–186)	109
§ 20. Смешанные задачи с применением способов преобразования чертежа (187–217)	117

Глава VI. Кривые линии и поверхности	137
§ 21. Кривые линии. Поверхности. Точки на поверхностях (218–246)	137
§ 22. Пересечение поверхности плоскостью и прямой линией (247–264)	164
§ 23. Взаимное пересечение поверхностей (265–281)	179
Глава VII. Смешанные задачи по всему курсу	197
§ 24. Задачи с решенными прототипами (282–315)	197
§ 25. Задачи для самостоятельного решения (316–335)	222
Глава VIII. Аксонометрические проекции	229
§ 26. Изображение плоских фигур (336–339)	229
§ 27. Изображение тел (340–344)	234
Ответы	243

ПРЕДИСЛОВИЕ К ШЕСТОМУ ИЗДАНИЮ

Данный сборник задач и упражнений соответствует программе курса начертательной геометрии для машиностроительных, приборостроительных и механико-технологических специальностей высших технических учебных заведений.

Сборник переработан в соответствии и применительно к переработанному учебнику "Курс начертательной геометрии" В.О. Гордона и М.А. Семенцова-Огиевского (М.: Наука, 1988).

Авторы стремились помочь изучающим курс в их самостоятельной работе. Этим определился характер пособия, а именно показ процесса решения ряда типовых задач, относящихся к основным вопросам курса. Вместе с тем даны и условия задач для самостоятельного их решения. Условия большинства задач подобны условиям решенных задач, но имеются также задачи и без решенных прототипов, что требует от учащегося проявления большей самостоятельности и творческой инициативы.

Ограничение курса начертательной геометрии в часах и его преимущественно односеместровое прохождение обуславливают и программное ограничение круга рассматриваемых вопросов. Очевидно, это предельный минимум; авторы исходили из него при составлении сборника.

В основном задачи, решенные¹⁾ и предлагаемые для решения, относятся к взаимному сочетанию геометрических элементов и их расположению в пространстве и к применению способов преобразования чертежа вращением и введением дополнительных плоскостей проекций. Объектами рассмотрения являются точки, прямые и кривые линии, плоские и некоторые другие поверхности – отдельно и в их взаимном расположении. Рассматриваются задачи на определение расстояний и углов, на построение аксонометрических проекций – прямоугольных – изо- и диметрических (с сокращением по оси у вдвое).

Чертежи в большинстве случаев даны в поэтапном их выполнении. Это облегчит чтение чертежей и рассмотрение последовательности их построений. Для лучшего понимания сущности вопроса и представления пространственной картины в некоторых из решенных задач даны наглядные изображения. Даны также примеры составления планов решения задачи и анализа полученных решений.

¹⁾ Их номера отмечаются звездочкой сверху.

Особенностью данного сборника является наличие ответов к задачам, предложенным для самостоятельного решения. Правильно ли решена задача? Этот вопрос при самостоятельном решении по большей части является открытым, что затрудняет работу учащегося. Для того чтобы он сам мог убедиться в правильности полученного им решения, в сборнике помещены ответы. Они даны в текстовой или графической форме в зависимости от поставленных в задаче вопросов. Ответ к задаче в форме чертежа содержит положение исходных элементов на фоне задания.

В сборнике даны преимущественно чертежи с указанием оси x как базы для отсчета размеров при построениях и для удобства при перечерчивании заданий¹⁾. Наличие осей x как направляющей линии облегчает введение в чертеж любой информации и построение чертежей-ответов. Если же ось не показана (как это сделано в некоторых задачах), то ее роль для отсчета размеров может быть присвоена какой-либо из прямых на данном чертеже. Все это находится в логической связи с техническими чертежами, где всегда имеет место база отсчета, хотя и не обозначаемая так, как на чертежах в начертательной геометрии. Однако ось x сохраняет и присущее ей значение линии пересечения плоскостей проекций π_1 и π_2 , что имеет значение для представления пространственной картины, рассматриваемого положения. Но и вне этого значения (определяемого названием "ось проекции") такая прямая является неотъемлемой составляющей каждого чертежа для построения его по заданным размерам. При этом выбор положения оси не является ограниченным и определяется исходя из необходимости целесообразности.

В том же смысле, в каком в некоторых курсах начертательной геометрии применено слово "эпюр" (а иногда "эпюра"), в данном сборнике взято слово "чертеж" (что, вообще, не является новым).

Для лучшего понимания решенных в сборнике задач и усвоения построений рекомендуется перечерчивать исходный чертеж и выполнять на нем все описанные построения.

Следует обратить особое внимание на то, что для сравнимости полученного учащимся чертежа предложенной для самостоятельного решения задачи с приведенным в сборнике ответом необходимо как можно точнее воспроизвести чертеж-задание, пользуясь осью x как базой отсчета. При желании можно чертеж-задание увеличить, что должно быть учтено при сравнении полученного ответа с ответом в сборнике.

При решении задач, для которых нет решенных прототипов, можно использовать помещенные в конце сборника краткие указания.

Выражение *изобразить наглядно*, дать наглядное изображение, означает построить изображение в косоугольной фронтальной диметрической проекции (хотя бы в известной под названием "кабинетная").

Рекомендуется при самостоятельном решении задач предварительно дать рисунок требуемого построения и составить план решения, как это сделано в сборнике для некоторых решенных задач, а лишь затем выполнять построение.

Согласованность данного сборника задач с учебником "Курс начертательной геометрии" В.О. Гордона и М.А. Семенов-Огиевского не исключает возможности пользоваться другими учебниками, так как для понимания и решения задач по данному сборнику требуется знание тех основных положений, которые должны содержаться в любом учебнике.

Для линий связи применена штрих-пунктирная линия с одной точкой между смежными штрихами. Но если линия связи проведена лишь для проверки правильности построения, то использована линия с двумя точками.

¹⁾ По этой же причине прямая почти всегда задается по ее точкам (или отрезком).

Номера решенных задач отмечены звездочками. Ответы на нерешенные задачи помещены в конце сборника.

Некоторые сокращения слов и условные обозначения в сборнике:

пл. — плоскость;

горизонт. — горизонтальный, -ая, -ое;

фронт. — фронтальный, -ая, -ое;

\perp — перпендикулярно;

\parallel — параллельно;

\equiv — совпадает;

\sphericalangle — прямой угол.

ПРИНЯТЫЕ ОБОЗНАЧЕНИЯ

1. Точки в пространстве – прописными буквами латинского алфавита A, B, C, \dots , а также цифрами.
2. Последовательность точек (и других элементов) – подстрочными индексами: A_1, A_2, A_3, \dots .
3. Линии в пространстве – по точкам, определяющим линию, и строчными буквами латинского алфавита: a, b, c, \dots .
4. Углы – строчными буквами греческого алфавита с добавлением индекса "градусов": $\varphi^\circ, \sigma^\circ, \dots$.
5. Плоскости – строчными буквами греческого алфавита: $\alpha, \beta, \gamma, \dots$.
6. Поверхности – римскими цифрами, а также прописными буквами русского алфавита: цилиндр – Ц , конус – К , сфера – Сф. . .
7. Плоскости проекций – строчной буквой греческого алфавита π . Произвольная плоскость – π_0 , горизонтальная плоскость – π_1 , фронтальная – π_2 , профильная – π_3 , любая дополнительная – π_4, π_5, \dots .
8. Оси проекций – строчными буквами x, y или (при введении дополнительных плоскостей) $\pi_2/\pi_1, \pi_2/\pi_3, \pi_2/\pi_5$, начало координат – заглавной буквой O .
9. Проекции точек:
на произвольную плоскость $\pi_0 - A^0, B^0, C^0, \dots$;
на горизонтальную плоскость $\pi_1 - A', B', C', \dots$;
на фронтальную плоскость $\pi_2 - A'', B'', C'', \dots$;
на профильную плоскость $\pi_3 - A''', B''', C''', \dots$;
на дополнительную плоскость $\pi_4 - A^{IV}, B^{IV}, C^{IV}, \dots$.
10. Проекции линий – по проекциям точек, определяющим линию, кроме того:
горизонтальная линия – буквой h ,
фронтальная линия – буквой f ,
профильная линия – буквой p .
11. Обозначение плоскостей, заданных следами:
горизонтальный след плоскости $\alpha - h'_{0\alpha}$;
фронтальный след плоскости $\alpha - f''_{0\alpha}$;
профильный след плоскости $\alpha - p'''_{0\alpha}$.
В тех случаях, когда плоскость не требует наименования, обозначение следов упрощено – h'_0, f''_0, p'''_0 .
Для проецирующих плоскостей задается проекция плоскости:
 α' – горизонтально-проецирующая плоскость;
 α'' – фронтально-проецирующая плоскость;
 α''' – профильно-проецирующая плоскость.
Точки схода следов плоскости – строчными буквами x, y, z с индексом соответствующей плоскости: $x_\alpha, y_\alpha, z_\alpha$.
12. При преобразовании эпилора (чертежа) вращением (или совмещением) в новом положении точки – $\bar{A}, \bar{B}, \bar{C}, \dots$, плоскости – $\bar{\alpha}, \bar{\beta}, \bar{\gamma}$, следы плоскости – $\bar{f}''_{0\alpha}, \bar{f}''_{0\beta}, \dots$. После второго вращения соответственно $\bar{\bar{A}}, \bar{\bar{B}}, \bar{\bar{C}}, \dots$; $\bar{\bar{\alpha}}, \bar{\bar{\beta}}, \bar{\bar{\gamma}}, \dots$.
- Новое положение точки схода следов при вращении плоскости $\alpha - X_{\bar{\alpha}}, Y_{\bar{\alpha}}, Z_{\bar{\alpha}}$.
13. Плоскость проекций (картинная плоскость) в аксонометрии – буквой α , а проекция любого элемента на эту плоскость – с индексом α .

ТОЧКА И ПРЯМАЯ

§ 1. Точка

1*. Дать наглядные изображения точек A, B, C, D относительно плоскостей π_2 и π_1 . Точки заданы своими проекциями (рис. 1, а).

Решение. Точки A_x, B_x, C_x и D_x (рис. 1, б) выбираем на оси x произвольно. Так как точка A находится во второй четверти (апликата точки положительна, ордината отрицательна), то отрезок $A_x A'$, соответствующий значению ординаты, откладываем влево от пл. π_2 . Отрезок $A_x A''$, соответствующий значению апликаты, откладываем вверх от пл. π_1 .

При построении точки D , находящейся в первой четверти (апликата и ордината положительны), отрезок $D_x D'$ откладываем вправо от пл. π_2 , а отрезок $D_x D''$ — вверх от пл. π_1 .

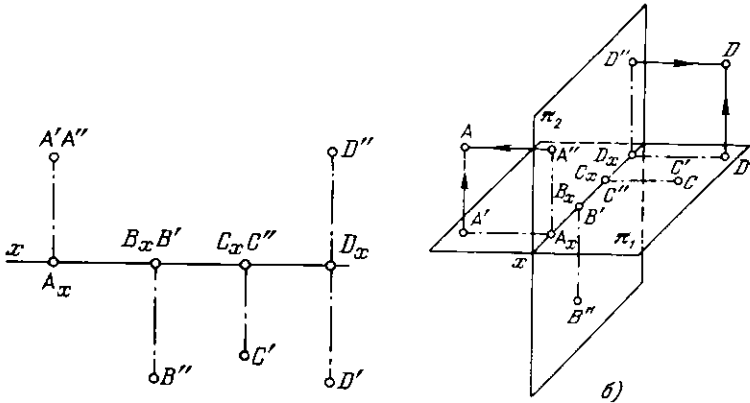


Рис. 1 а, б

Положения точек A и D получены на пересечении перпендикуляров, проведенных через точки A' и D' (к пл. π_1) и через точки A'' и D'' (к пл. π_2).

Точка B лежит в пл. π_2 , это следует из того, что горизонт. проекция B' точки лежит (рис. 1, а) на оси x (ордината равна нулю). Следовательно, на рис. 1, б точка B' совпадает с B_x . Отрезок $B_x B''$, соответствующий отрицательному значению апликаты, откладываем вниз от пл. π_1 . Положение самой точки B совпадает с положением ее фронт. проекции B'' .

Точка C располагается в пл. π_1 , это следует из того, что проекция C'' лежит (рис. 1, а) на оси x (апликата точки C равна нулю). Поэтому и на рис. 1, б C'' совпадает с C_x .

Так как для точки C ордината положительна, то соответствующий этой ординате отрезок $C_x C'$ откладывается (рис. 1, б) вправо от пл. π_2 . Положение самой точки C совпадает с положением ее горизонт. проекции C' .

2. Изобразить наглядно положения точек A, B, C, D и E , заданных своими проекциями (рис. 2).

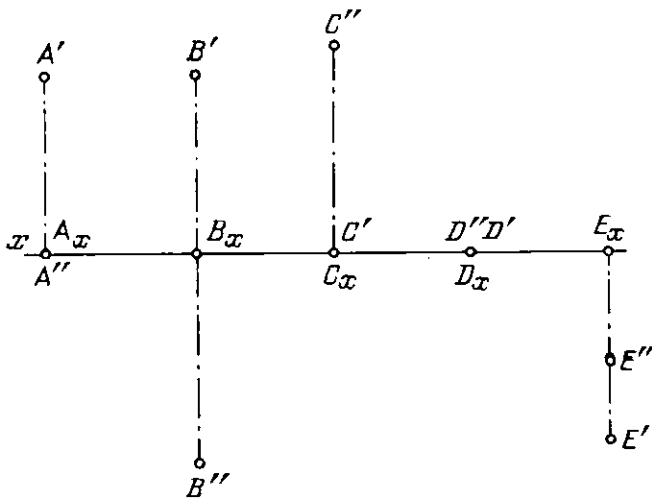


Рис. 2

3*. Построить проекции точек A и B по их координатам. Построить проекцию точки C , расположенной симметрично точке A относительно фронт. пл. проекций. Изобразить наглядно положение этих точек относительно плоскостей π_2 и π_1 .

Точка	Координата	
	y	z
A	13,5	20
B	6,5	-20

Решение. Намечаем ось x (рис. 3, а) и на ней точку A_x . Так как точка A расположена в первой четверти (апplikата и ордината положительны), то проекция A'' находится над осью x на расстоянии 20, а проекция A' под осью x на расстоянии 13,5.

Для построения проекций точки B сначала задаем (на оси x) произвольно точку B_x и откладываем вниз от нее отрезок $B_x B'$, равный значению ординаты (6,5), и отрезок $B_x B''$, соответствующий значению апplikаты (-20). Точка B находится в четвертой четверти.

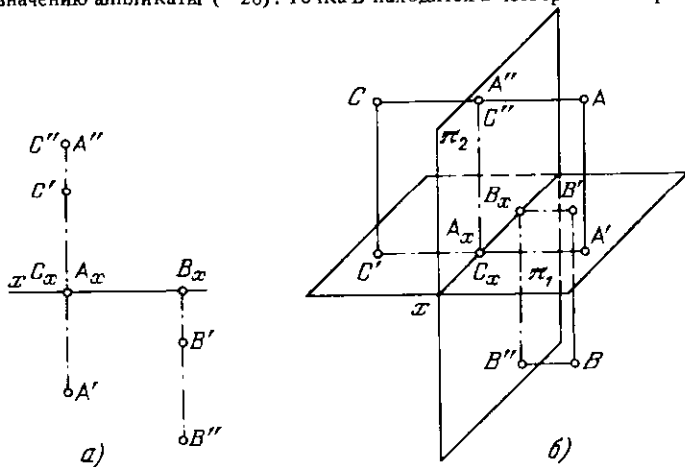


Рис. 3 а, б

Точка C должна быть расположена симметрично точке A относительно пл. π_2 . Следовательно, ордината точки C равна $-13,5$, а аппликата равна 20 . Точка C_x совпадает с точкой A_x , C'' — с A'' , а горизонт. проекция C' находится над осью x на расстоянии $13,5$.

На рис. 3, б дано соответствующее наглядное изображение положений точек A, B и C . Расстояние $A_x B_x$ на рис. 3, б равно половине расстояния $A_x B_x$ на рис. 3, а.

4. Построить проекции точек A, B, C по их координатам. Построить проекцию точки D , расположенной симметрично точке C относительно оси x . Изобразить наглядно положение этих точек относительно плоскостей π_2 и π_1 .

Точка	Координата	
	y	z
A	-25	0
B	-20	20
C	-30	-20

5*. Построить три проекции каждой из точек A и B по их координатам.

Точка	Координата		
	x	y	z
A	$13,5$	$16,5$	20
B	$33,5$	$-26,5$	$-13,5$

Решение. Для построения проекций точки A , находящейся в первом октанте (рис. 4, а), откладываем (рис. 4, б) на оси x отрезок OA_x , равный значению абсциссы ($13,5$). Проекция A'' находится над осью x на расстоянии 20 , а проекция A' — под осью x на расстоянии $16,5$. Профильная проекция A''' находится на одном уровне с A'' (рис. 4, а и б) на расстоянии $A'''A_z$, равном значению точки A ($16,5$), вправо от оси z .

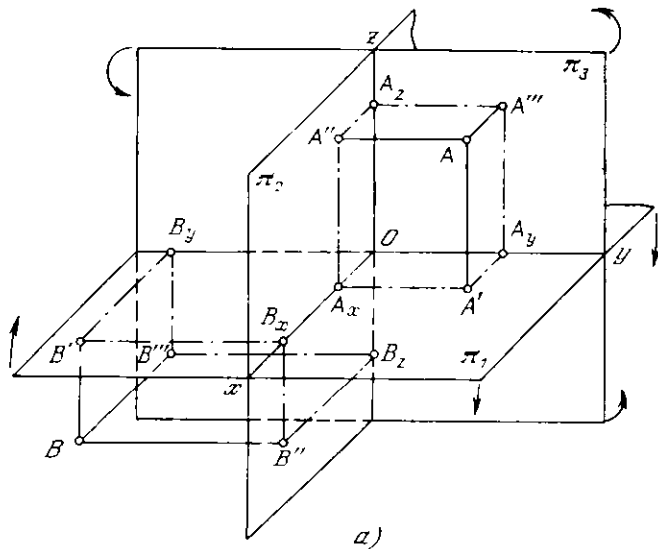


Рис. 4 а

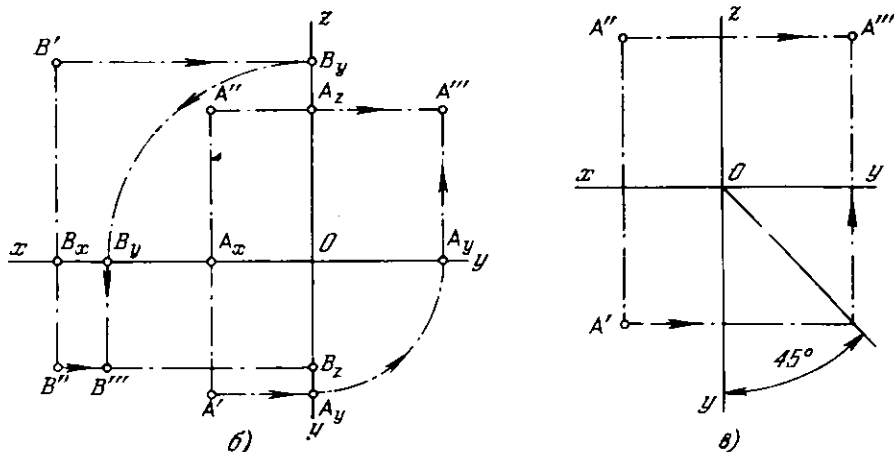


Рис. 46, в

Для построения проекций точки B откладываем на оси x отрезок OB_x , равный 33,5. Так как точка B находится в третьем октанте (рис. 4, а), то точка B'' находится под осью x на расстоянии 13,5, а точка B' — над осью x на расстоянии 26,5. Точка B''' располагается на одном уровне с точкой B'' слева от оси z на расстоянии $B_z B'''$ (26,5) от нее. На рис. 4, в показан прием построения профильной проекции точки A при помощи вспомогательной прямой, проведенной из точки O под углом 45° к оси y .

§ 2. Прямая

6*. Изобразить наглядно положение отрезка AB относительно плоскостей π_2 и π_1 . Отрезок задан своими проекциями (рис. 5, а).

Решение. Определяем положения концевых точек отрезка, как это показано в задаче 1*. Отрезок AB определяется точками A и B (рис. 5, б).

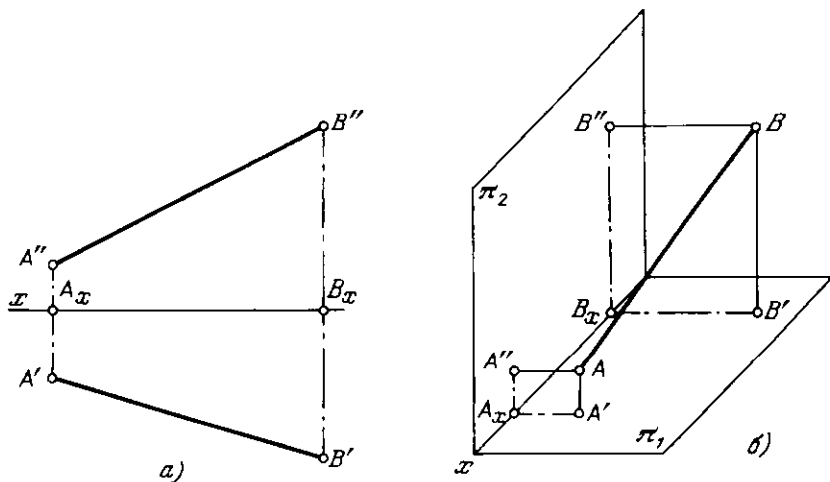


Рис. 5 а, б

7. Изобразить наглядно положения отрезков AB и CD относительно плоскостей π_2 и π_1 . Отрезки заданы своими проекциями (рис. 6, а и б).

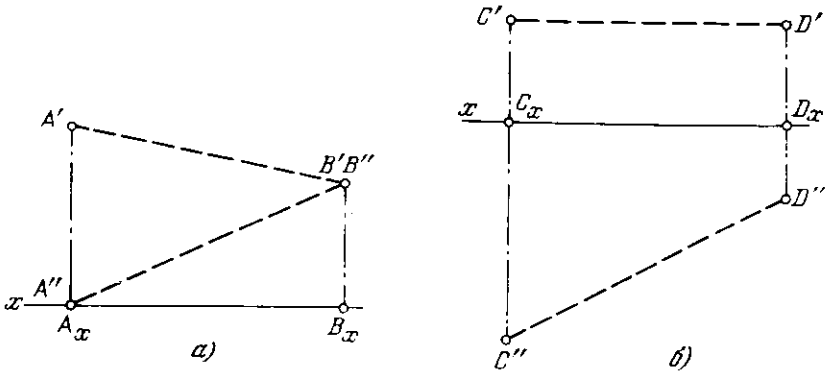


Рис. 6 а, б

8. Построить чертеж отрезка AB , если он:

а) находится в первой четверти пространства, расположен параллельно пл. π_2 , концом B упирается в переднюю полу пл. π_1 ;

б) расположен в биссекторной плоскости четвертой четверти пространства, концом B упирается в ось проекций;

в) расположен во второй четверти пространства параллельно пл. π_2 , концом B упирается в заднюю полу пл. π_1 , конец A равноудален от плоскостей π_2 и π_1 ;

г) расположен произвольно на нижней поле пл. π_2 , концом B упирается в ось проекций;

д) расположен в четвертой четверти пространства параллельно пл. π_1 , конец B равноудален от плоскостей проекций;

е) расположен в третьей четверти пространства перпендикулярно к пл. π_2 , концом A упирается в ее нижнюю полу;

ж) расположен в четвертой четверти пространства перпендикулярно к пл. π_1 , конец A равноудален от плоскостей проекций.

9. Прочитать чертежи отрезков, изображенных на рис. 7, а-г.

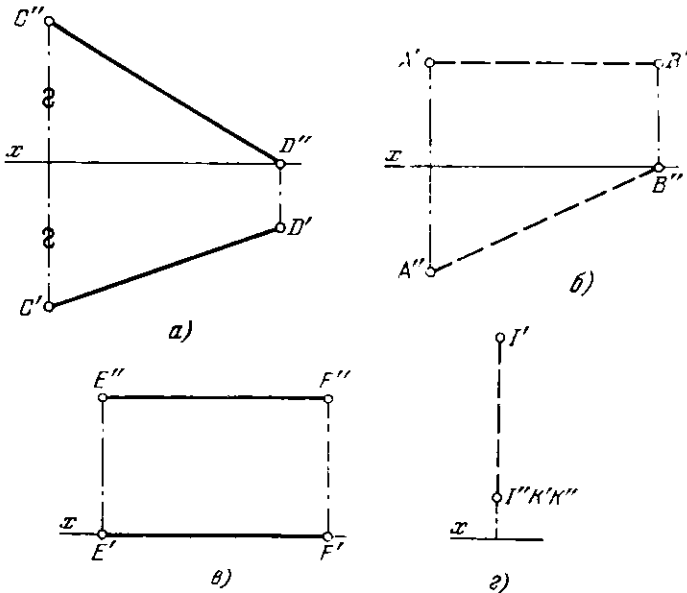


Рис. 7 а-г

§ 3. Взаимное положение прямой и точки

10*. Определить, лежат ли точки B и C на прямой AD , а точка K — на прямой MN (рис. 8, а и б).

Решение. Так как проекции B' и B'' , C' и C'' (рис. 8, а) не находятся на одноименных с ними проекциях прямой AD , то точки B и C на этой прямой не лежат.

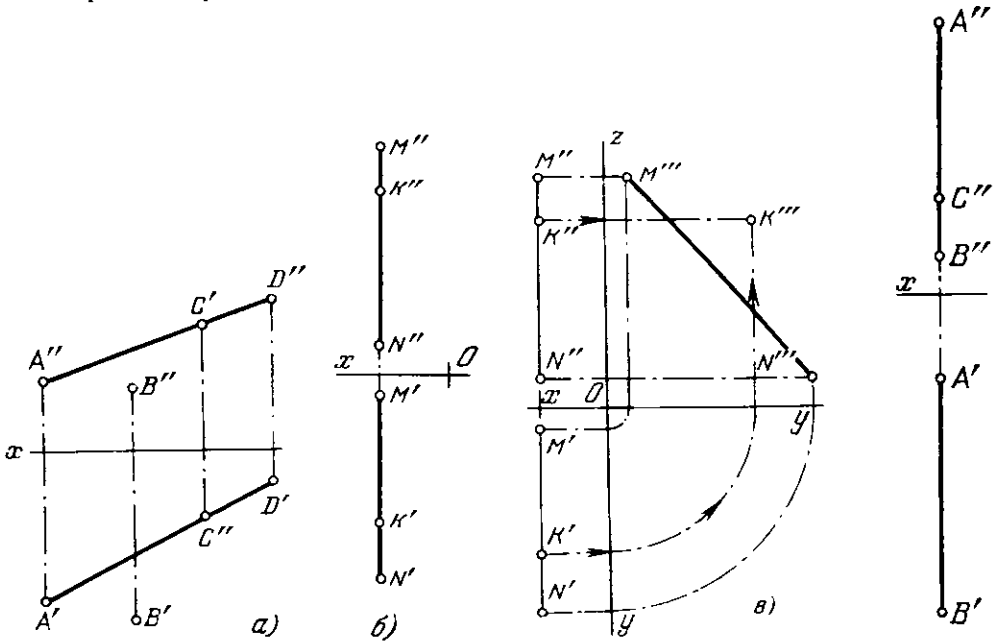


Рис. 8 а-в

Рис. 9

Для определения, лежит ли точка K на прямой MN (рис. 8, б), построим профильные проекции точки K и прямой MN (рис. 8, в). Точка K не принадлежит прямой MN , так как ее профильная проекция K''' не лежит на профильной проекции $M'''N'''$.

11. Построить горизонт. проекцию точки C , принадлежащей прямой AB (рис. 9).

§ 4. Следы прямой

12*. Построить следы прямой, проходящей через точки A и B (рис. 10, а), и указать, через какие четверти пространства она проходит.

Решение. Проводим проекции $A''B''$ и $A'B'$ прямой AB .

Для построения ее горизонт. следа продолжаем (рис. 10, б) фронт. проекцию $A''B''$ до пересечения с осью x в точке (M''), которая является фронт. проекцией горизонт. следа прямой. Затем из точки M'' проводим перпендикуляр к оси x (линию связи) до пересечения с продолженной горизонт. проекцией прямой в точке M' , которая является горизонт. проекцией горизонт. следа прямой. Точка M' совпадает с самим горизонт. следом — точкой M .

Для построения фронт. следа прямой продолжаем ее горизонт. проекцию $A'B'$ до пересечения с осью x в точке (N'), которая является фронт. проекцией фронт. следа прямой. Из точки N' проводим перпендикуляр к оси x до пересечения с продолженной проекцией $A''B''$ в точке N'' , которая является фронт. проекцией фронт. следа прямой. Точка N'' совпадает с самим фронт. следом прямой — точкой N . Из расположения проекций M'' и M' , N' и N'' следует, что точка M (горизонт. след. прямой) лежит на передней поле пл. π_1 , а точка N (фронт. след. прямой) — на верхней поле пл. π_2 . Следовательно, прямая проходит через вторую, первую и четвертую четверти пространства.

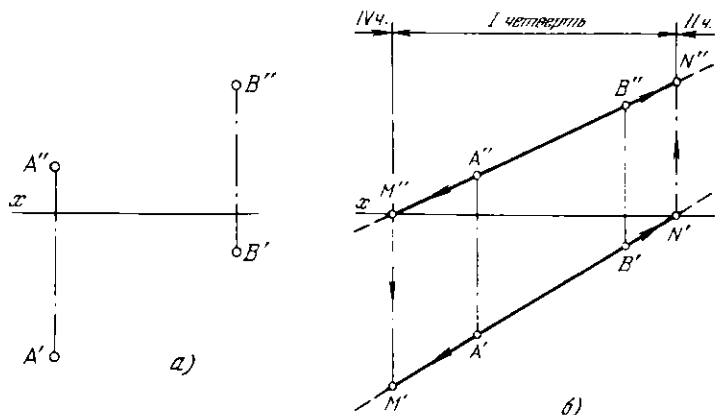


Рис. 10 а, б

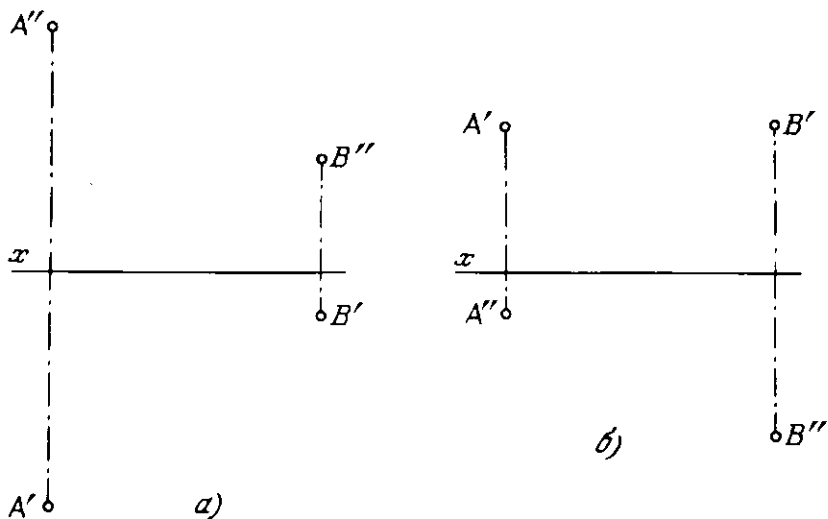


Рис. 11 а, б

13. Построить следы прямой, определяемой точками A и B (рис. 11, а и б), и указать, через какие четверти пространства она проходит.

14*. Построить следы профильной прямой AB (рис. 12, а) и указать, через какие четверти пространства она проходит.

Решение. Из построения (рис. 12, б) следует, что горизонт. проекция M' фронт. следа совпадают в точке пересечения проекций прямой с осью x . Для построения точек M' и N'' находим сначала профильные проекции M''' и N''' . Для этого продолжаем профильную проекцию $A''B''$ до пересечения с осями z и y . Получив проекции M''' и N''' , находим M' и N'' .

Из расположения проекций M' и M'' , N' и N'' следует, что точка M (горизонт. след прямой) лежит на передней поле. пл. π_1 , а точка N (фронт. след прямой) – на верхней поле пл. π_2 . Прямая проходит через вторую, первую и четвертую четверти.

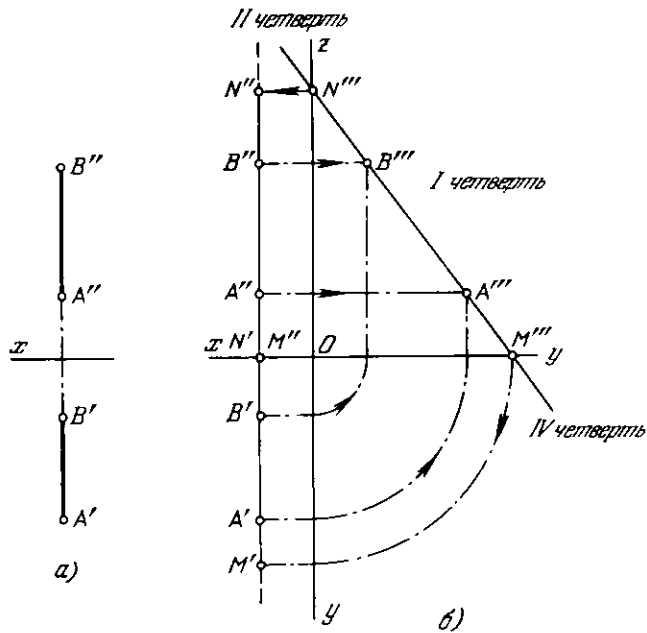


Рис. 12 а, б

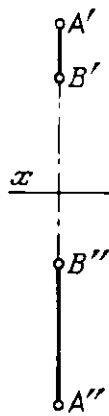


Рис. 13

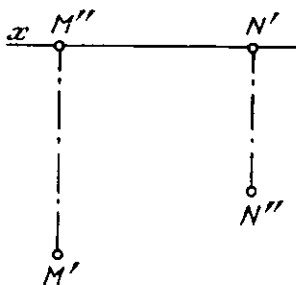


Рис. 14

15. Построить следы прямой AB (рис. 13) и изобразить наглядно их положение.

16. Построить проекции прямой, зная положение проекций ее следов (рис. 14), и указать, через какие четверти пространства она проходит.

§ 5. **Натуральная величина отрезка прямой и углы наклона прямой к плоскостям проекций**

17*. Найти натуральную величину отрезка прямой AB , заданного его проекциями, и определить углы наклона прямой к плоскостям π_2 и π_1 (рис. 15).

Решение. Как известно, натуральная величина отрезка может быть определена как величина гипотенузы прямоугольного треугольника, одним катетом которого является проекция отрезка на какой-либо плоскости проекций, а другим – разность расстояний концов отрезка до этой же плоскости. Если одним из катетов является горизонт. проекция, то угол между гипотенузой и этим катетом равен углу наклона φ_1 прямой к горизонт. плоскости проекций. Угол наклона φ_2 этой же прямой к фронт. пл. проекций определяется из треугольника, в котором в качестве первого катета взята фронт. проекция отрезка, а второй катет определен по разности расстояний концов отрезка до фронт. пл. проекций.

Для определения натуральной величины отрезка AB и углов φ_1 и φ_2 на рис. 15 построены прямоугольные треугольники $B'A'A^*$ и $B''A''A^*$. В треугольнике $B'A'A^*$ катет $A'A^*$ равен раз-

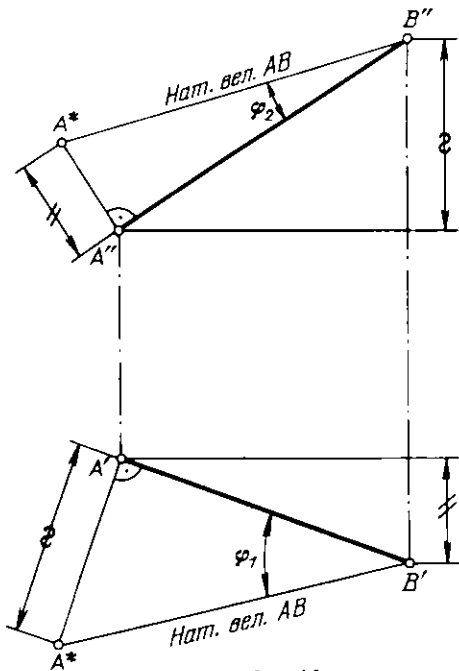


Рис. 15

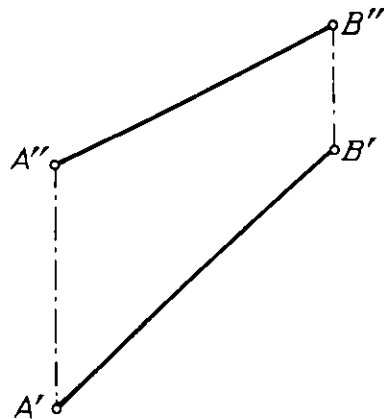


Рис. 16

ности расстояний точек A и B до горизонт. пл. проекций. В треугольнике $B''A''A^*$ катет $A''A^*$ равен разности расстояний точек A и B до фронт. пл. проекций.

18. Определить натуральную величину отрезка прямой AB (рис. 16) и углы наклона его к плоскостям проекций.

19. Определить натуральную величину отрезка заданной прямой между ее фронт. (N) и горизонт. (M) следами и углы наклона этой прямой к обеим плоскостям проекций (рис. 17).

20*. Отложить на заданной прямой отрезок AB , равный l (рис. 18, а).

Решение. На заданной прямой (рис. 18, б) берем произвольный отрезок AK и определяем его натуральную величину. Строим прямоугольный треугольник с катетами $A'K'$ и $K'K^*$, равными разности расстояний точек A и K от пл. π_1 . На гипотенузе построенного треугольника откладываем отрезок $A'B^*$ заданной длины l . Из точки B^* проводим прямую параллельно $K'K^*$. Получаем точку B' и горизонт. проекцию $A'B'$ искомого отрезка AB , равного l . По точке B' находим точку B'' ; $A''B''$ – фронт. проекция искомого отрезка AB .

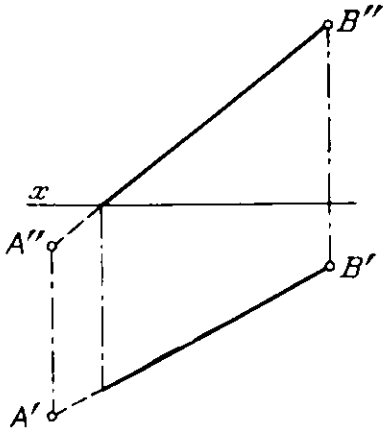


Рис. 17

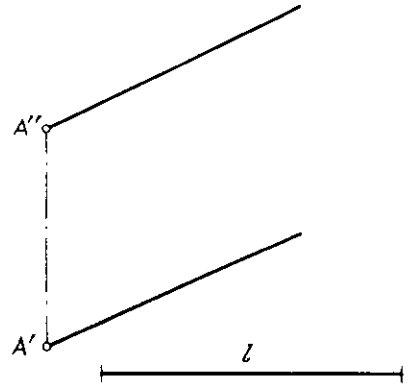


Рис. 18 а

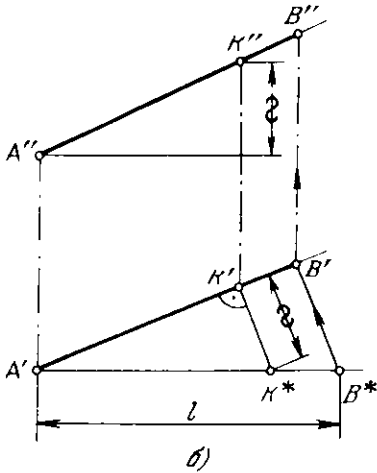


Рис. 18 б

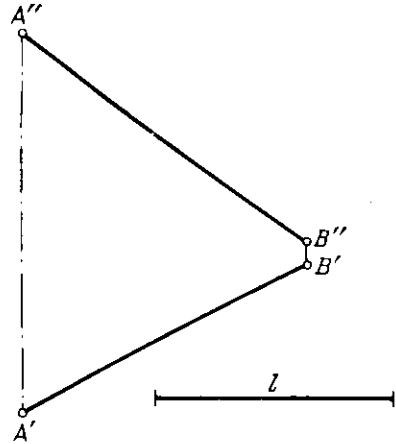


Рис. 19

21. На прямой AB (рис. 19) отложить отрезок AC , равный l .

22*. Провести в первой четверти через точку A (рис. 20, а) прямую, составляющую с пл. π_1 угол $\varphi_1 = 30^\circ$ и с пл. π_2 угол $\varphi_2 = 45^\circ$.

Решение. Следует проверить условие: каждый из углов (φ_1 и φ_2) должен быть острым, а сумма этих углов должна быть или меньше 90° (для прямой общего положения), или равна 90° (для профильной прямой). В задании $\varphi_1 + \varphi_2 = 30^\circ + 45^\circ = 75^\circ$, т.е. меньше 90° . Следовательно, построение может быть выполнено.

С углами φ_1 и φ_2 мы уже встречались в задаче 17*. Если задаться каким-либо отрезком AB прямой и принять его за гипотенузу некоторого прямоугольного треугольника, то, зная углы φ_1 и φ_2 , можно построить два таких треугольника (рис. 20, б). В одном из них (с углом φ_1) катет $A-1$ выражает горизонт. проекцию отрезка AB , а катет $B-1$ — разность расстояний концов отрезка AB от пл. π_1 ; в другом треугольнике (с углом φ_2) катет $A-2$ выражает фронт. проекцию отрезка AB , а катет $B-2$ — разность расстояний концов отрезка от пл. π_2 .

Теперь можно построить чертеж (рис. 20, в).

Откладываем на линии связи $A''A'$ от точки A'' вниз отрезок $A''Z$, равный найденному на рис. 20, б катету $B-1$. Через точку Z проводим прямую, перпендикулярную к линии связи $A''A'$, а из точки A' проводим дугу окружности, радиус которой должен равняться катету $A-2$ (рис. 20, б). В пересечении прямой и дуги получим точку B'' .

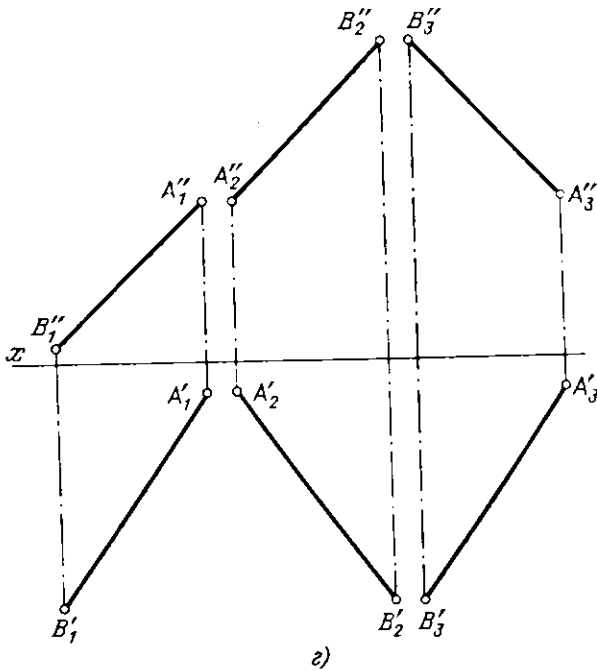
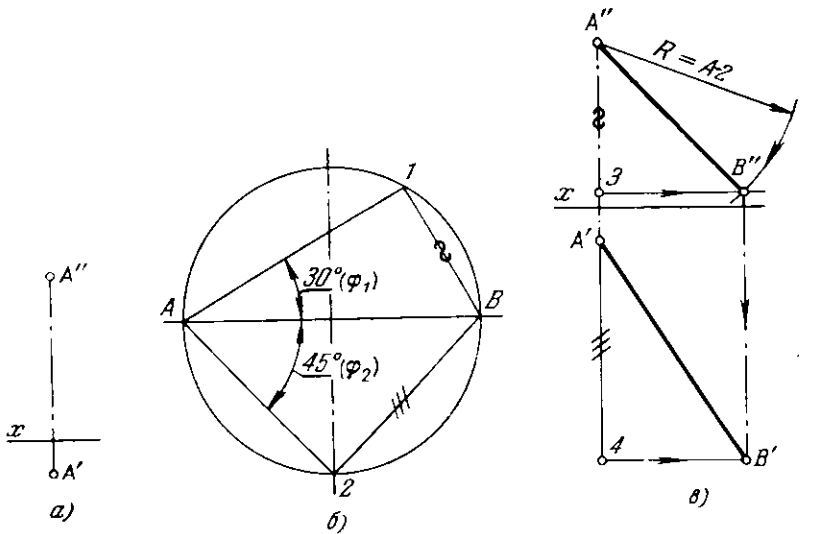


Рис. 20 а-г

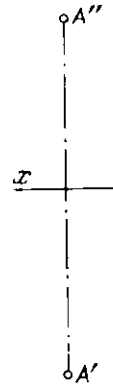


Рис. 21

Для построения точки B' откладываем на линии связи $A''A'$ от точки A' вниз отрезок $A' - 4$, равный катету $B - 2$ (рис. 20, б), проводим через точку 4 прямую перпендикулярно к линии связи $A''A'$ и находим на ней точку B' .

При точном построении проекция $A'B'$ (рис. 20, в) должна получиться равной катету $A - 1$ (рис. 20, б).

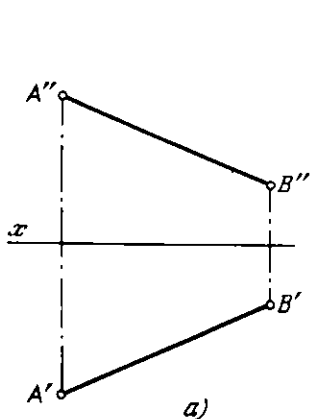
Конечно, можно получить при тех же данных еще три положения отрезка AB ; соответствующие чертежи показаны на рис. 20, г. Построение, по существу, не отличалось бы от приведенного на рис. 20, в.

23. Через точку A (рис. 21) провести (вправо вниз, от себя) прямую, составляющую с пл. π_1 угол $\varphi_1 = 15^\circ$ и с пл. π_2 угол $\varphi_2 = 30^\circ$, до пересечения ее с пл. π_2 .

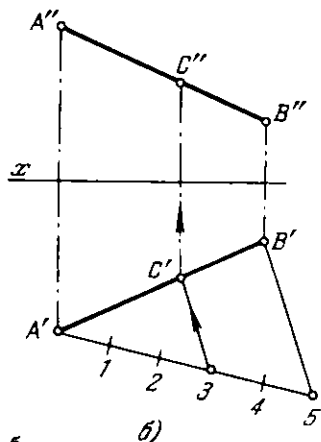
§ 6. Деление отрезка в данном отношении

24*. Разделить отрезок AB точкой C в отношении $\frac{AC}{CB} = \frac{3}{2}$ (рис. 22, а).

Решение. Так как делению отрезка в каком-либо отношении соответствует такое же деление его проекций, то делим (рис. 22, б) проекцию $A'B'$ (можно было бы начать и с фронт. проекции) на 5 частей. Для этого через точку A' проводим произвольную прямую и откладываем на ней пять каких-либо равных между собой отрезков.



а)



б)

Рис. 22 а, б

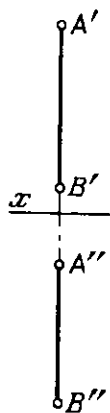


Рис. 23

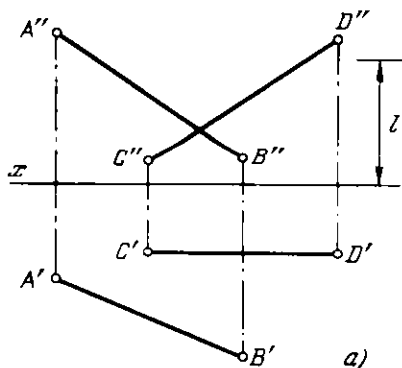
Точку 5 соединяем с точкой B' . Через точку 3 проводим прямую, параллельную прямой $B'-5$, до пересечения с $A'B'$ в точке C' . По точке C' строим проекцию C'' . В точке C отрезок AB разделен в отношении 3:2, считая от точки A .

25. Дан отрезок AB (рис. 23). Найти точку C , делящую расстояние между фронтальным (N) и горизонтальным (M) следами прямой в отношении $CN:CM = 1:3$.

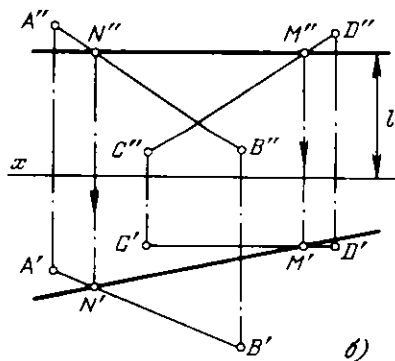
§ 7. Взаимное положение прямых

26*. Пересечь прямые AB и CD (рис. 24, а) прямой MN , отстоящей от пл. проекций π_1 на расстояние l .

Решение. Согласно условию искомая прямая должна быть параллельна пл. π_1 . Следовательно, ее фронт. проекция параллельна оси проекции x и отстоит от нее на расстояние l . Проводим (рис. 24, б) фронт. проекцию искомой прямой и отмечаем точки N'' и M'' пересечения



а)



б)

Рис. 24 а, б

ее с одноименными проекциями заданных прямых. Строим горизонт. проекции N' и M' соответственно на $A'B'$ и $C'D'$ и проводим горизонт. проекцию $M'N'$ искомой прямой.

27. Прямые AB и CD (рис. 25) пересечь прямой, параллельной пл. проекций π_2 и отстоящей от нее на расстояние l .

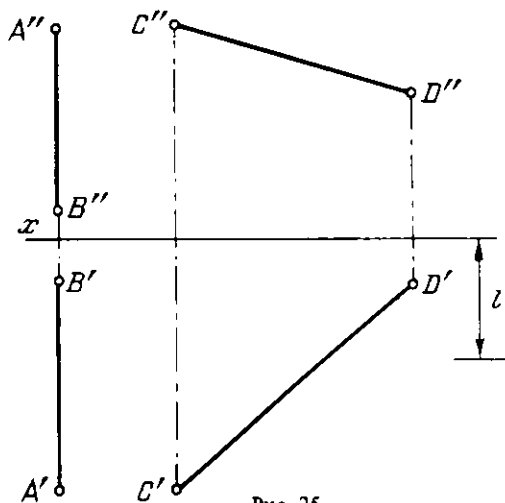


Рис. 25

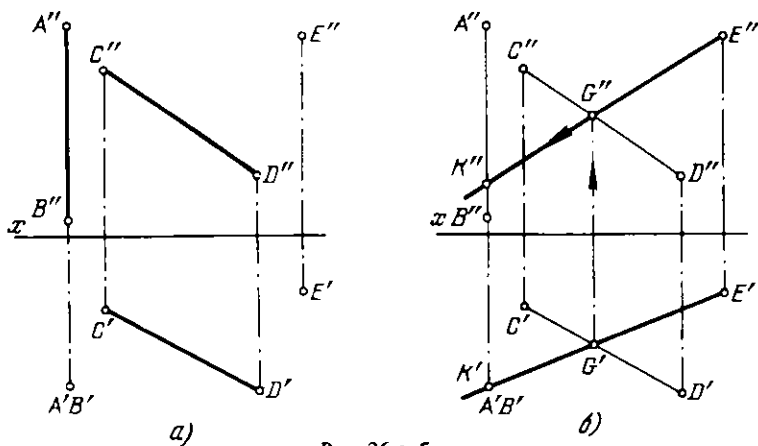


Рис. 26 а, б

28*. Через точку E (рис. 26, а) провести прямую, пересекающую заданные прямые AB и CD .

Решение. Искомая прямая должна удовлетворять трем условиям:

1) проходить через точку E ; 2) пересекать прямую AB ; 3) пересекать прямую CD . Поэтому на чертеже (рис. 26, б):

- 1) проекции прямой должны пройти через соответствующие проекции точки E ;
- 2) горизонт. проекция искомой прямой должна пройти через точку, являющуюся горизонт. проекцией прямой AB ;
- 3) точки пересечения проекций искомой прямой с одноименными проекциями прямой CD должны лежать на одном перпендикуляре к оси проекций.

Построение искомой прямой начинаем с проведения ее горизонт. проекции через точки E' и $A'(B')$.

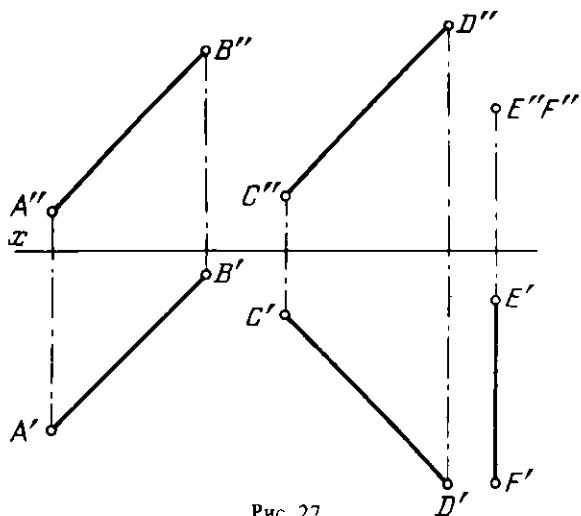


Рис. 27

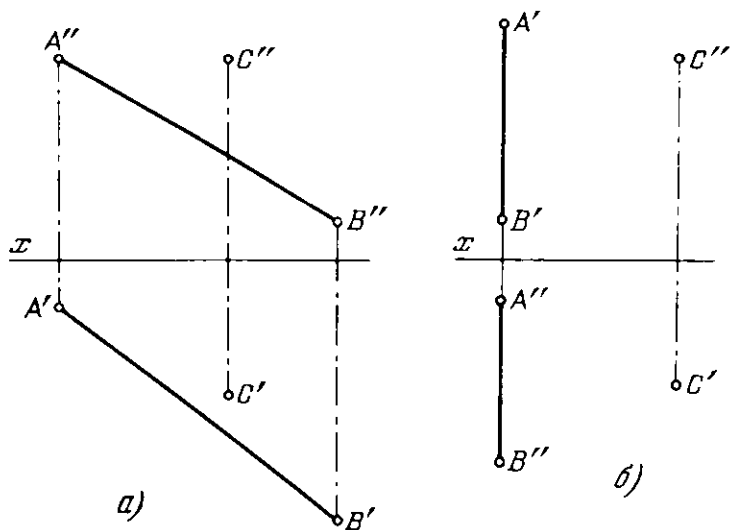


Рис. 28 а, б

Отмечаем точку пересечения с $C'D'$ – точку G' , находим G'' на $C''D''$ и через G'' и E'' проводим прямую – фронт. проекцию искомой прямой.

Точки K'' и K' являются проекциями точки пересечения искомой прямой с прямой AB .

29. Пересечь прямые AB , CD и EF (рис. 27) прямой, параллельной пл. проекций π_1 .

30. Провести через точку C прямую, пересекающую прямую AB и ось проекций x (рис. 28, а и б).

Примечание. Следует помнить, что ось проекций x проецируется на профильную плоскость проекций в точку, совпадающую с началом координат – точкой O .

§ 8. Построение проекций прямого угла

31*. Провести из точки C перпендикуляр на прямую AB (рис. 29, а, где $AB \parallel$ пл. π_2).

Решение. Известно, что прямой угол проецируется на плоскость в виде прямого угла в том случае, если одна из его сторон параллельна плоскости проекций, а другая пересекает эту плоскость под острым углом.

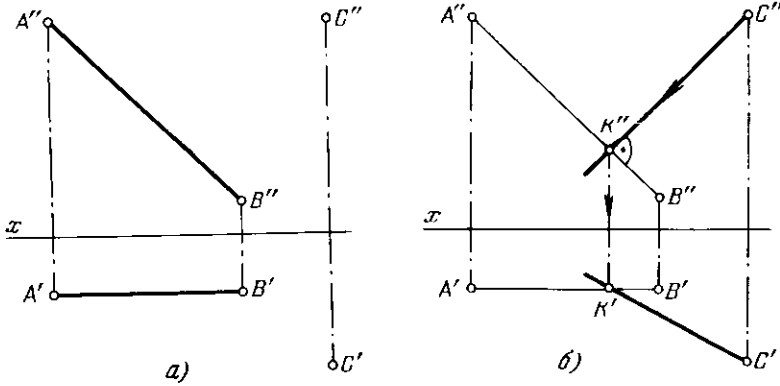


Рис. 29 а, б

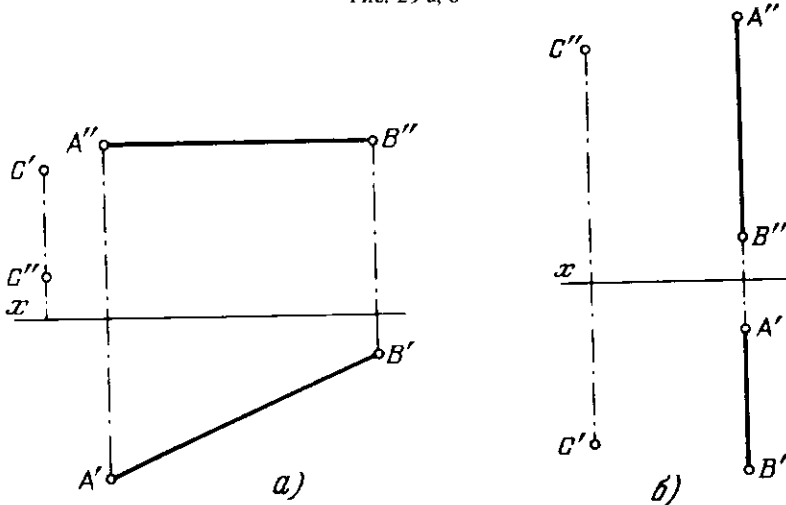


Рис. 30 а, б

В данном случае (рис. 29, а) прямая AB параллельна пл. π_2 . Поэтому можно из точки C'' (рис. 29, б) провести прямую перпендикулярно к $A''B''$ и найти проекции точки K , в которой CK пересекает AB . Получаем проекции $C''K''$ и $C'K'$ искомого перпендикуляра.

32. Провести из точки C прямую перпендикулярно к прямой AB : 1) $AB \parallel$ пл. π_1 (рис. 30, а), 2) $AB \parallel$ пл. π_3 (рис. 30, б).

33*. Пересечь прямые AB и CD (рис. 31, а) третьей прямой, перпендикулярной к ним, т.е. найти кратчайшее расстояние между скрещивающимися прямыми AB и CD , из которых одна прямая (CD) перпендикулярна к пл. проекций π_1 .

Решение. Так как прямая CD перпендикулярна к пл. π_1 , то любой перпендикуляр к ней располагается параллельно пл. π_1 . Поэтому прямой угол между искомой и прямой AB изображается на пл. π_1 в виде прямого угла. Горизонт. проекция точки пересечения искомой прямой с

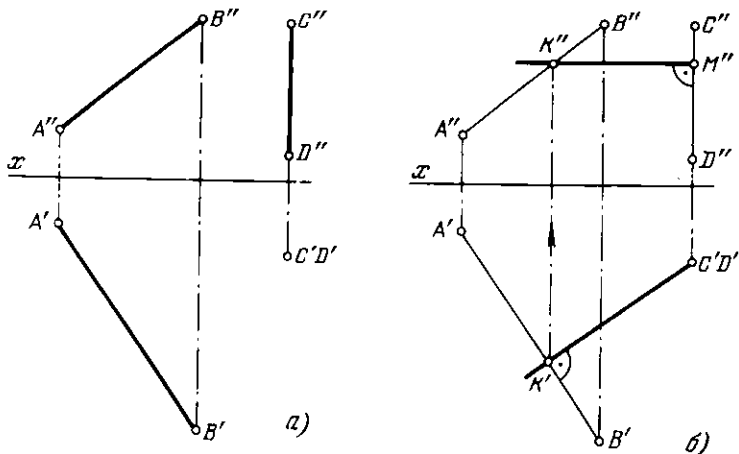


Рис. 31 а, б

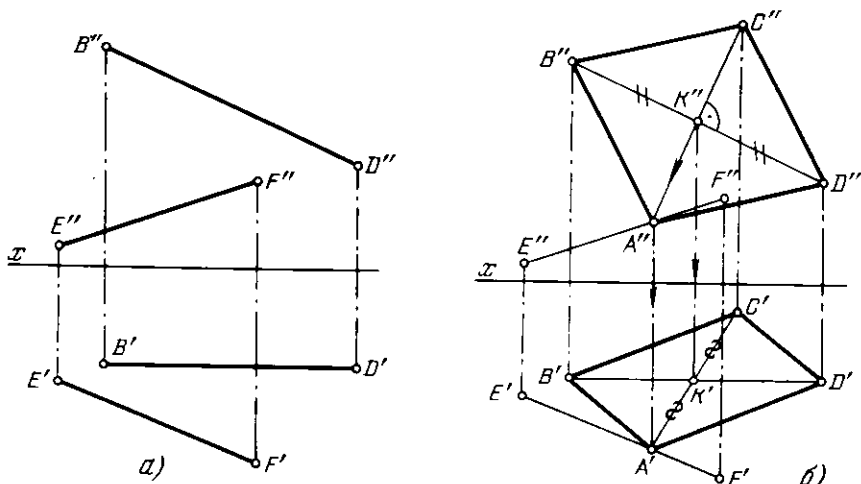


Рис. 32 а, б

прямой CD – точка M' – совпадает с $C'(D')$ (рис. 31, б). Проводим через точку M' горизонт. проекцию прямой перпендикулярно к $A'B'$ до пересечения с ней в точке K' и находим K'' . Фронт. проекция искомой прямой $K''M''$ располагается параллельно оси x .

34*. Построить ромб $ABCD$, зная, что отрезок BD является одной из его диагоналей ($BD \parallel \text{пл. } \pi_2$), а вершина A должна быть на прямой EF (рис. 32, а).

Решение. Диагонали ромба взаимно перпендикулярны и делятся в точке пересечения пополам. Поэтому делим (рис. 32, б) проекции диагонали BD пополам. Так как $BD \perp \text{пл. } \pi_2$, то из точки K'' проводим перпендикуляр к прямой $B''D''$. Это соответствует правилам построения проекции прямой угла на плоскости, по отношению к которой диагональ BD параллельна. Точка пересечения этого перпендикуляра с проекцией $E''F''$ представляет собой фронт. проекцию A'' искомой вершины ромба A . Для построения точки C'' откладываем на продолжении прямой $A''K''$ отрезок $K''C''$, равный отрезку $A''K''$. По точке A'' строим на $E''F''$ точку A' . Дальнейшее ясно из чертежа.

35. Построить равнобедренный треугольник ABC с основанием, равным BC ($BC \parallel \text{пл. } \pi_1$). Вершина A должна быть на прямой EF (рис. 33).

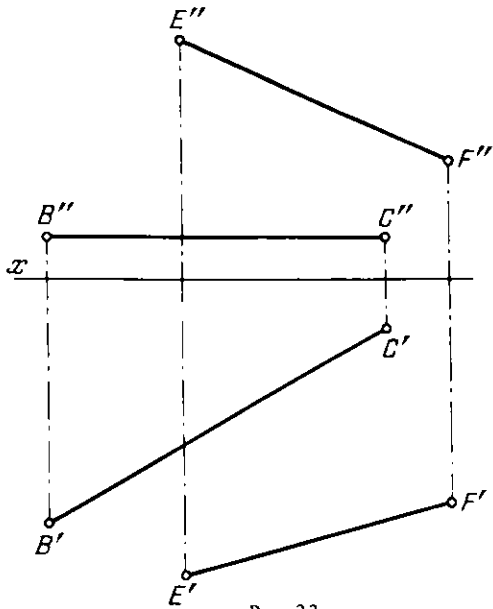


Рис. 33

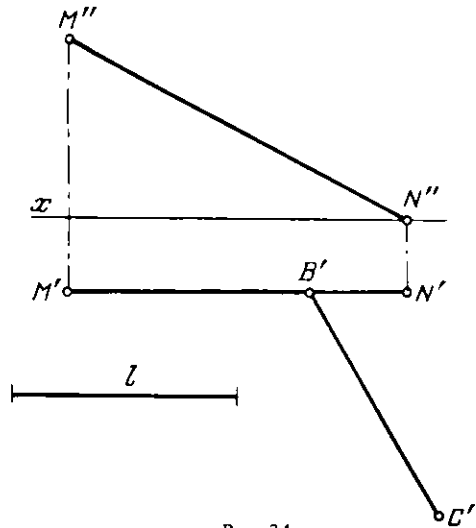
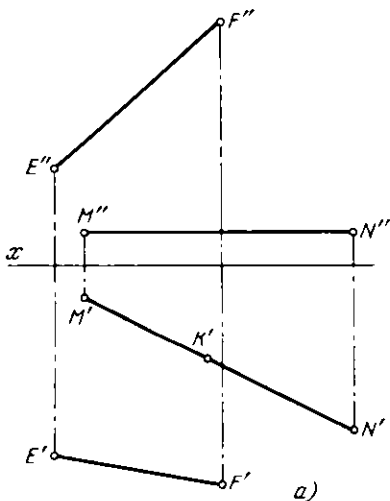


Рис. 34

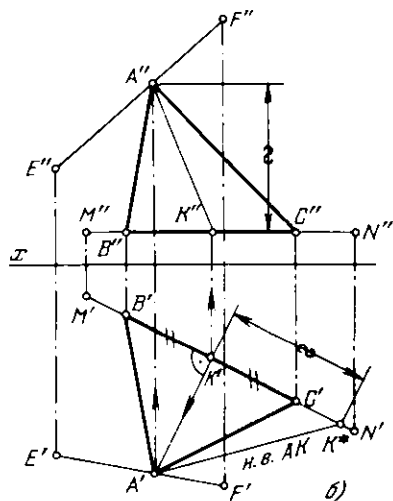
36. Построить прямоугольный треугольник ABC , у которого катет AB лежит на прямой MN ($MN \parallel \text{пл. } \pi_2$) и равен l . Для катета BC дана его проекция $B'C'$ (рис. 34).

37*. Построить равнобедренный треугольник с основанием на прямой MN ($MN \parallel \text{пл. } \pi_1$) и вершиной A на прямой EF (рис. 35, а). Основание BC должно равняться высоте AK треугольника, причем для точки K дана ее горизонт. проекция.

Решение. Для построения треугольника надо найти его высоту AK и отложить половину ее величины на прямой MN по обе стороны от точки K . На рис. 35, б по точке K' строим точку K'' . Из точки K' проводим перпендикуляр к прямой $M'N'$ (прямой угол между высотой AK и основанием BC , лежащим на MN , изображается на пл. проекций π , в виде прямого же угла, так как прямая MN параллельна пл. π_1). Продолжаем этот перпендикуляр до пересечения с $E'F'$. По точке A' строим A'' на $E''F''$; получаем фронт. проекцию высоты AK .



а)



б)

Рис. 35 а, б

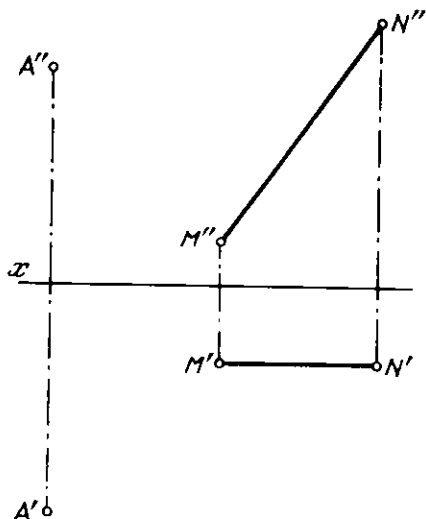


Рис. 36

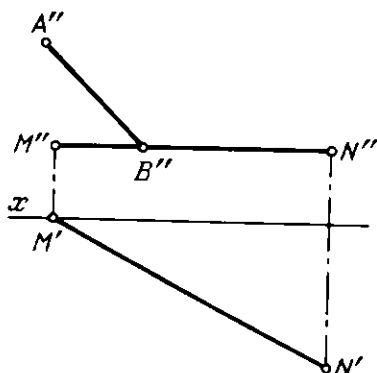


Рис. 37

Теперь можно найти натуральную величину высоты AK . Для этого строим прямоугольный треугольник $A'K'K^*$, у которого катет $K'K^*$ равен разности расстояний точек A и K от пл. π_1 . Гипотенуза $A'K^*$ выражает высоту AK . Откладывая на прямой $M'N'$ отрезки $K'B'$ и $K'C'$, равные половине высоты AK (т.е. половине отрезка $A'K^*$), получаем точки B' и C' , а по ним — проекции B'' и C'' . Дальнейшее ясно из чертежа.

38. Построить квадрат $ABCD$ со стороной BC на прямой MN , которая \parallel пл. π_2 (рис. 36).

39. Построить прямоугольный треугольник ABC с катетом BC на прямой MN ($MN \parallel$ пл. π_1). Для катета AB дана проекция $A''B''$. Катет BC должен быть в 1,5 раза больше катета AB (рис. 37).

§ 9. Прямая и точка в плоскости

40*. В плоскости, заданной точками A , B и C , провести горизонталь на расстоянии l от пл. проекции π_1 (рис. 38, а).

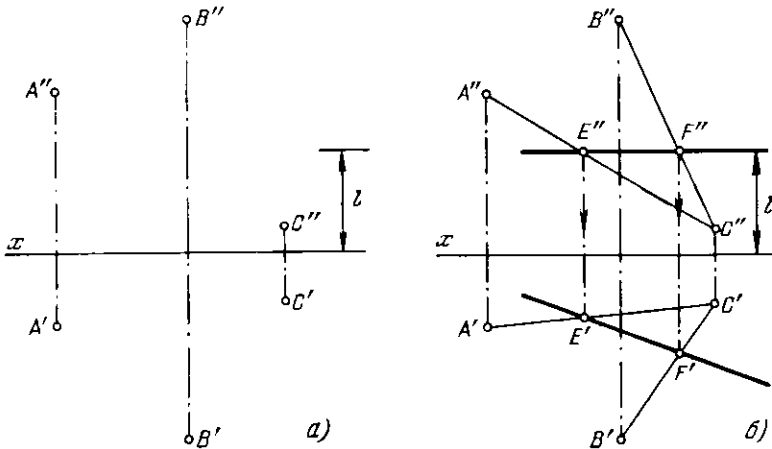


Рис. 38 а, б

Решение. Переходим от задания плоскости тремя точками к заданию ее двумя прямыми AC и BC (рис. 38, б). Проводим фронт. проекцию искомой горизонтали на расстоянии l от оси x . Отмечаем точки E'' и F'' на проекциях $A''C''$ и $B''C''$ и находим проекции E' и F' на $A'C'$ и $B'C'$. Горизонт. проекция искомой прямой проходит через точки E' и F' .

41. Провести через точку C горизонталь плоскости, заданной прямой AB и точкой C (рис. 39).

42*. В плоскости, заданной пересекающимися прямыми AB и CD , провести через точку K фронталь (рис. 40, а).

Решение. Так как направление горизонт. проекции фронтали известно, то начинаем построение с проведения этой проекции через точку K' : прямая $K'M'$ должна быть параллельна оси x (рис. 40, б). Чтобы построить фронт. проекцию искомой фронтали, надо построить фронт. проекцию какой-либо точки, принадлежащей фронтالي. Выбираем на проекции фронтали произвольную точку E' , проводим через нее горизонт. проекцию $C'F'$ некоторой прямой, лежащей в заданной плоскости. Строим далее точку F'' на прямой $A''B''$, проводим $C''F''$ и находим на ней точку E'' . Фронт. проекция искомой фронтали проходит через точки K'' и E'' .

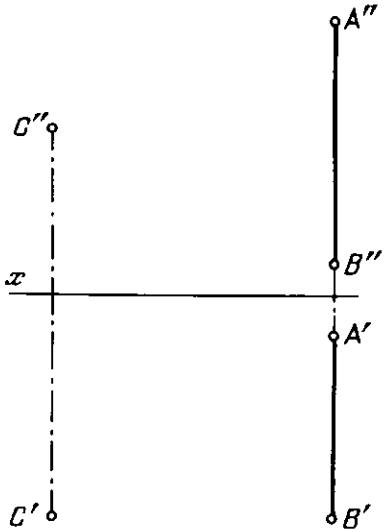


Рис. 39

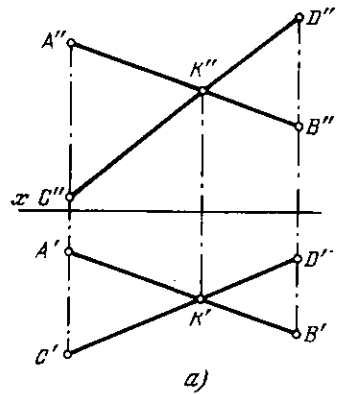


Рис. 40 а

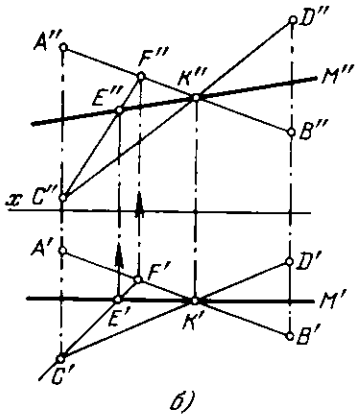


Рис. 40 б

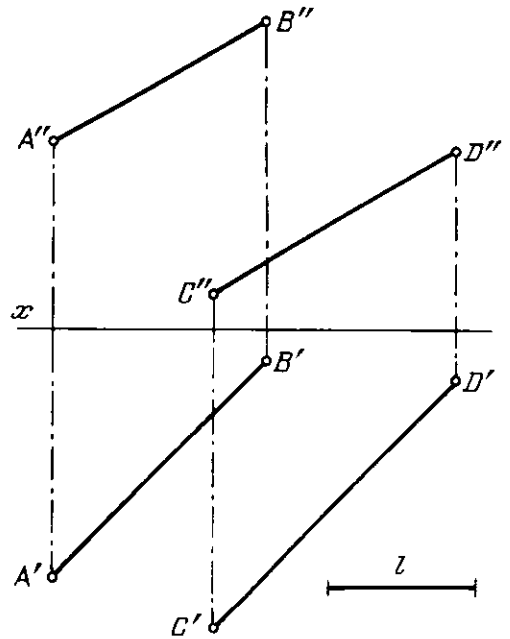


Рис. 41

43. В плоскости, заданной параллельными прямыми AB и CD , провести фронталь на расстоянии l от пл. проекций π_2 (рис. 41).

44*. В плоскости, заданной прямой AB и точкой C , провести через точку A линию ската плоскости (рис. 42, а).

Решение. Как известно, линия ската перпендикулярна к любой горизонтали плоскости. Горизонт. проекции, линии ската и горизонтали взаимно перпендикулярны. На рис. 42, б проведена горизонталь через точку C , сначала получена точка D'' , а по ней – точка D' на продол-

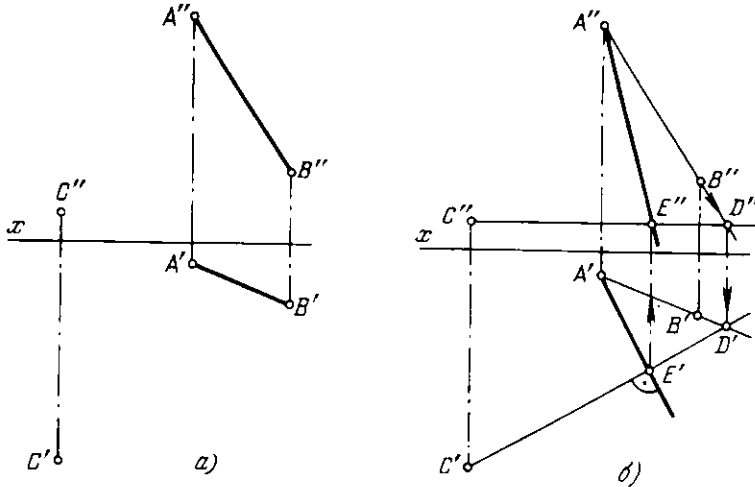


Рис. 42 а, б

женной проекции $A'B'$. Таким образом, получена проекция $C'D'$ горизонтали CD . Через точку A' проводим горизонт. проекцию линии ската до пересечения с прямой $C'D'$ в точке E' , находим E'' на $C''D''$ и проекцию $A''E''$ искомой линии ската.

45. В плоскости, заданной параллельными прямыми AB и CD , провести через точку B линию ската (рис. 43).

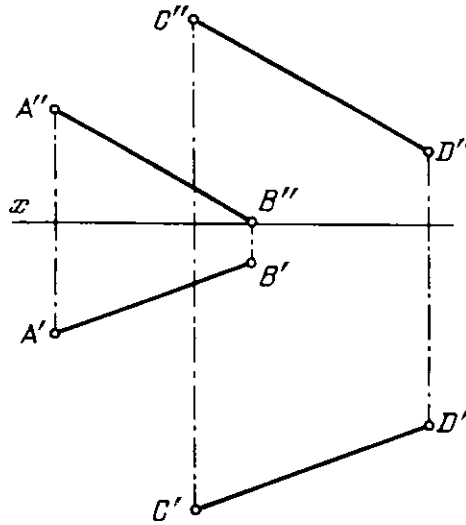


Рис. 43

46*. Найти недостающую проекцию точки K , лежащей в плоскости, заданной прямой AB и точкой C (рис. 44, а).

Решение. Известно, что если точка принадлежит плоскости, то она принадлежит какой-либо прямой этой плоскости. Поэтому через точки C'' и K'' (рис. 44, б) проводим фронт. проекцию вспомогательной прямой, лежащей в данной плоскости. Получив точку D'' , находим точку D' на проекции $A'B'$. Теперь проводим прямую из точки C' через точку D' и на этой прямой находим горизонт. проекцию точки K .

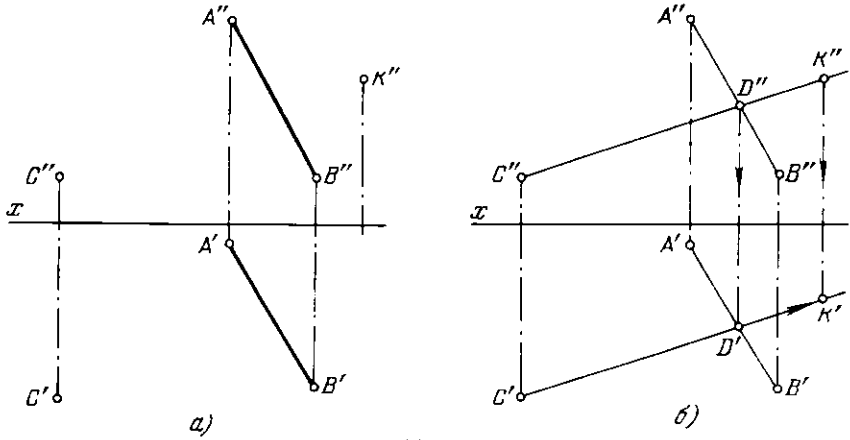


Рис. 44 а, б

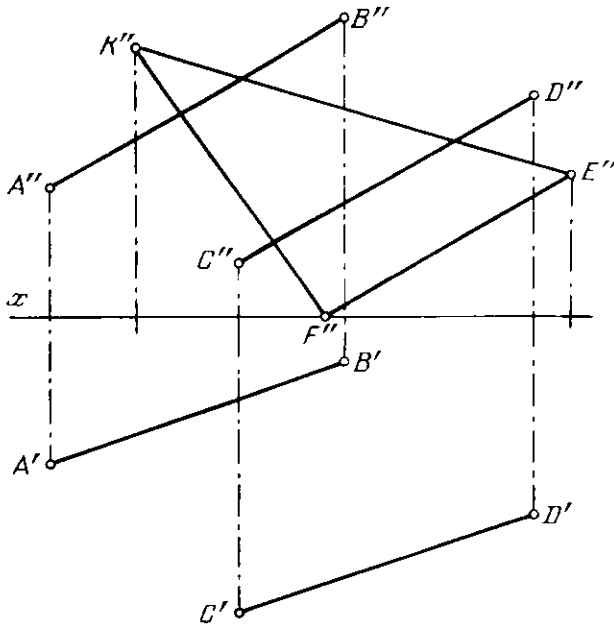


Рис. 45

47. Построить недостающую проекцию треугольника KEF , лежащего в плоскости, заданной параллельными прямыми AB и CD (рис. 45).

48. Построить фронт. проекцию плоского пятиугольника $ABCDE$ по заданной его горизонт. проекции и фронтальным проекциям двух смежных сторон (рис. 46).

49. Дана пирамида $SABC$ (рис. 47).

1) Найти горизонт. проекцию точки K , лежащей на грани SAC .

2) Найти фронт. проекцию точки E , лежащей на грани SBC .

50*. Определить расположение плоскости, заданной треугольником ABC , относительно плоскостей проекции π_2 , π_1 и π_3 (рис. 48, а).

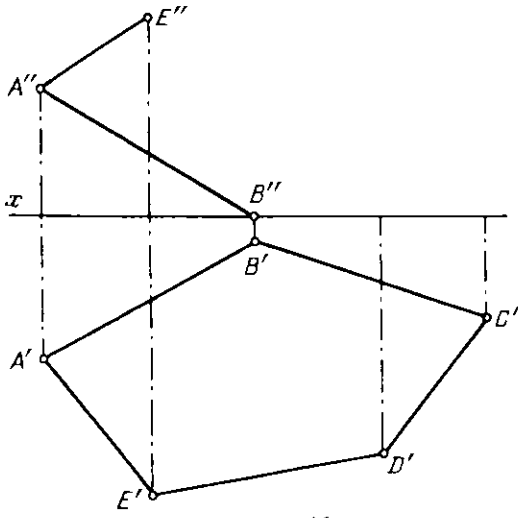


Рис. 46

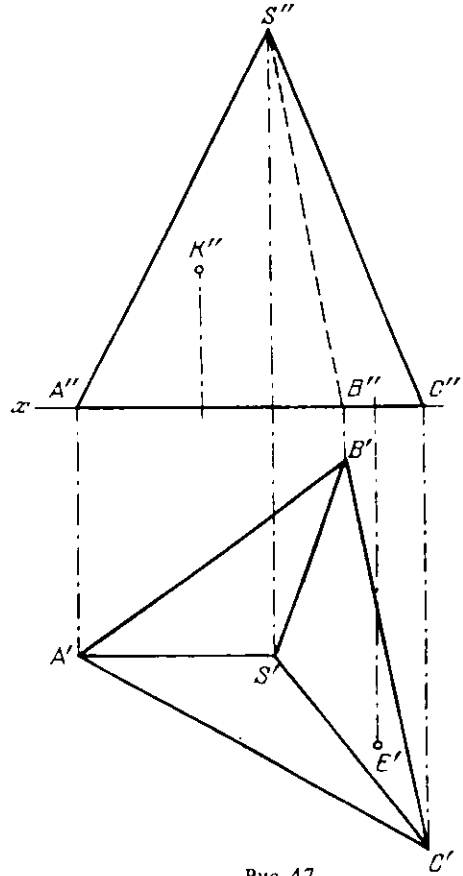
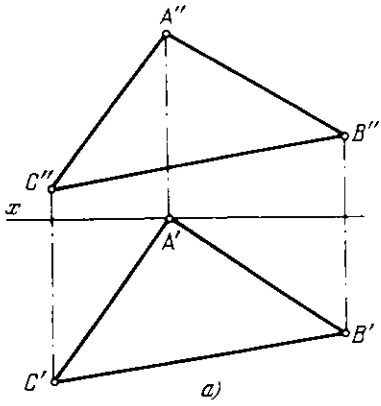
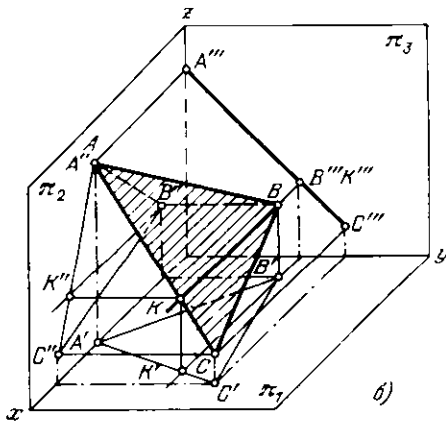


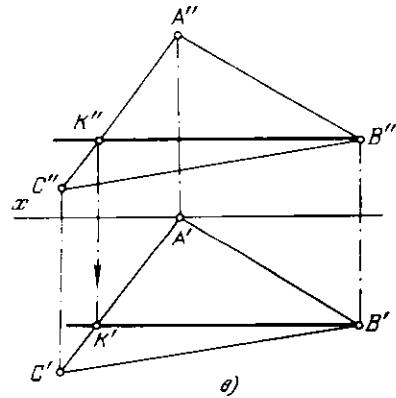
Рис. 47



а)



б)



в)

Рис. 48 а-в

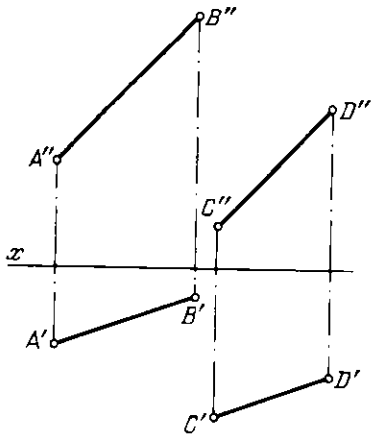


Рис. 49

Решение. Заданная плоскость, как видим, не перпендикулярна ни к пл. π_2 , ни к пл. π_1 , так как ни на одной из этих плоскостей она не изображается в виде прямой линии. Следовательно, плоскость треугольника ABC является или плоскостью общего положения, или профильно-проецирующей. Но если плоскость профильно-проецирующая (т.е. расположена перпендикулярно к пл. π_3), то она должна проходить через перпендикуляр к π_3 (рис. 48, б). Посмотрим, можно ли провести в ABC перпендикуляр к π_3 . Оказывается, можно (рис. 48, в): им служит хотя бы горизонталь KB (являющаяся в то же время фронталью). Построение начинаем с проведения фронт. проекции $B''K''$ горизонтали, затем найдем горизонт. проекцию $B'K'$. Так как $B'K' \perp B''K''$ (конечно, в пределах графической точности чертежа), то прямая BK , а следовательно, и плоскость ABC перпендикулярны к пл. π_3 .

Мы здесь обошлись без построения профильной проекции треугольника ABC . Конечно, можно было начать с ее построения: если она оказалась бы отрезком прямой, то этим установилось бы, что плоскость ABC профильно-проецирующая.

51. Определить расположение плоскости, заданной двумя параллельными прямыми, относительно плоскостей проекций π_2 , π_1 и π_3 (рис. 49).

§ 10. Следы плоскости

52*. Построить следы плоскости, заданной параллельными прямыми AB и CD (рис. 50, а).

Решение. Если прямая лежит в плоскости, то следы прямой лежат на одноименных с ними следах плоскости (рис. 50, б). Чтобы построить следы заданной плоскости, надо построить следы прямых AB и CD . Фронт. след $f''_{0\alpha}$ пройдет через фронт. следы прямых, т.е. через точки N_1 и N_2 , а горизонтальный – через следы M_1 и M_2 . Строим следы прямых AB и CD , как это рассмотрено в § 4 (например, задача 12*). Через точки M'_1 и M'_2 проходит горизонт. след $h'_{0\alpha}$, а через точки N'_1 и N'_2 – след $f'_{0\alpha}$ (рис. 50, в). Если построение выполнено точно, то оба следа пересекаются в точке x_α на оси x .

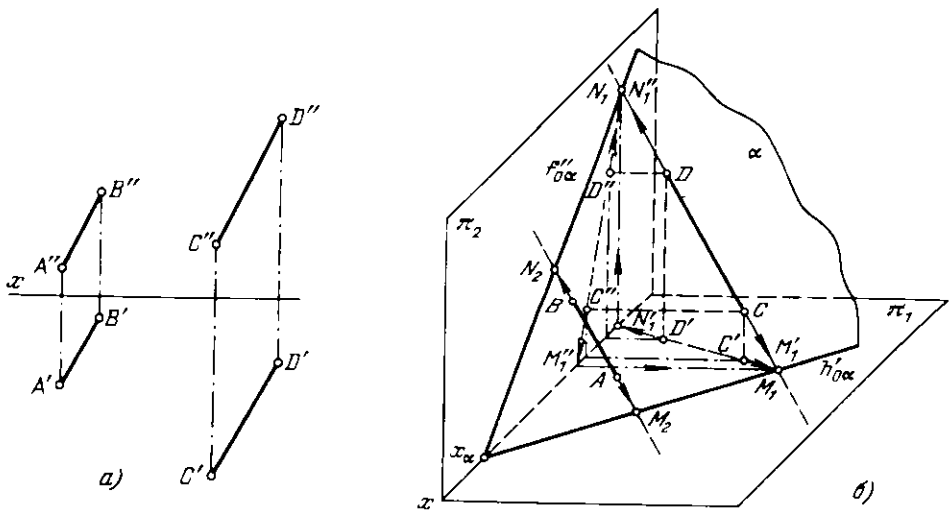


Рис. 50 а, б

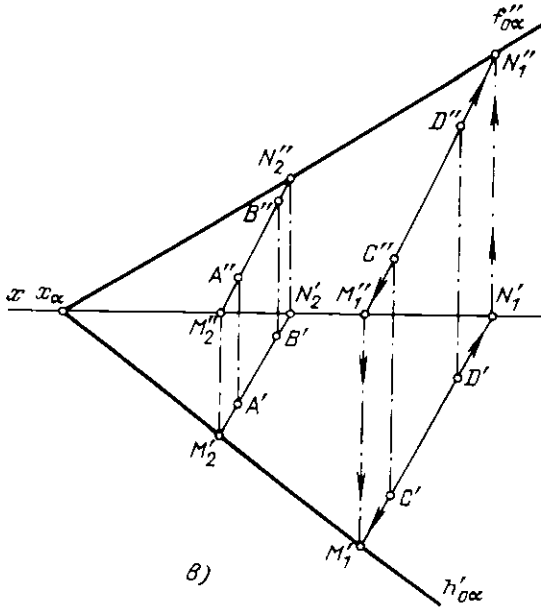


Рис. 50 в

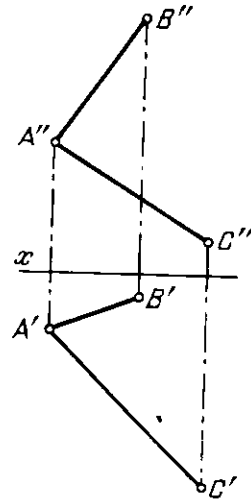
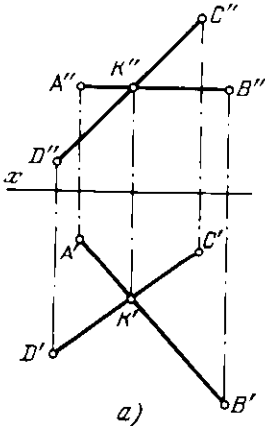


Рис. 51

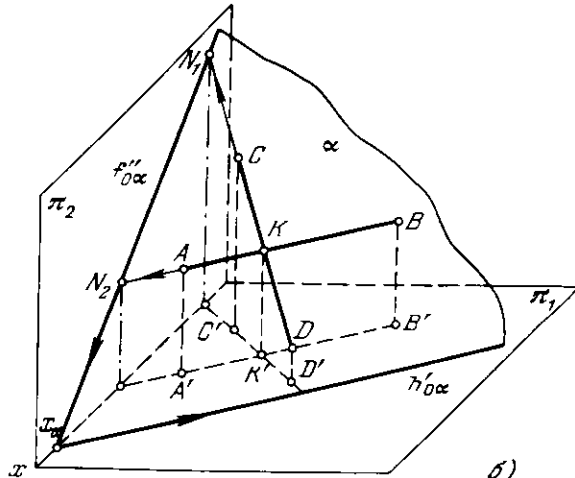
53. Построить следы плоскости, заданной двумя пересекающимися прямыми AB и AC (рис. 51).

54*. Построить следы плоскости, заданной двумя пересекающимися прямыми AB ($AB \parallel \text{пл. } \pi_1$) и CD (рис. 52, а).

Решение. Так как следы плоскости должны проходить через одноименные с ними следы прямых, лежащих в этой плоскости (рис. 52, б), то надо построить фронт. следы обеих прямых — точки N_2 и N_1 и провести через них фронт. след плоскости ($f''_{0\alpha}$). Направление горизонт. следа плоскости известно: след $h'_{0\alpha}$ должен быть параллелен горизонтали AB (рис. 52, б). Поэтому след $h'_{0\alpha}$ пройдет через точку пересечения следов x_α параллельно горизонтали AB . На рис. 52, в показано, что проекции $A'B'$ и $C'D'$ продолжены до пересечения их с осью x в точках N_2' и N_1' и по ним построены точки N_2 и N_1 на проекциях $A''B''$ и $C''D''$. Через N_2 и N_1 проведен след $f''_{0\alpha}$ до пересечения с осью x в точке x_α . Через точку x_α проведен след $h'_{0\alpha}$ параллельно прямой AB .



а)



б)

Рис. 52 а, б

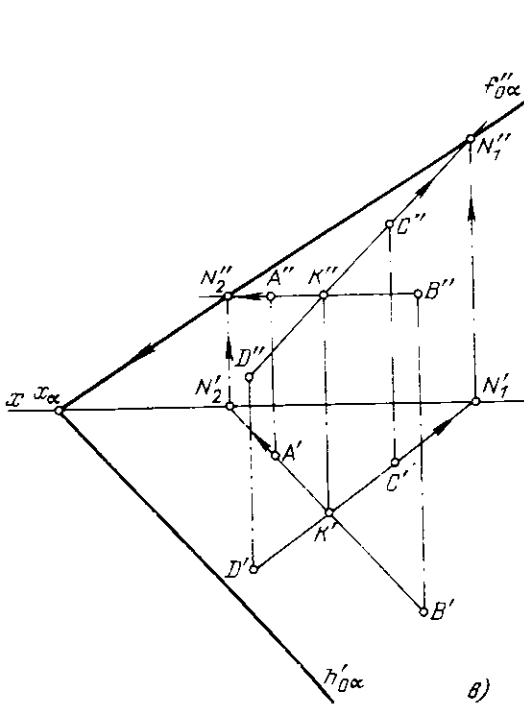


Рис. 52 в

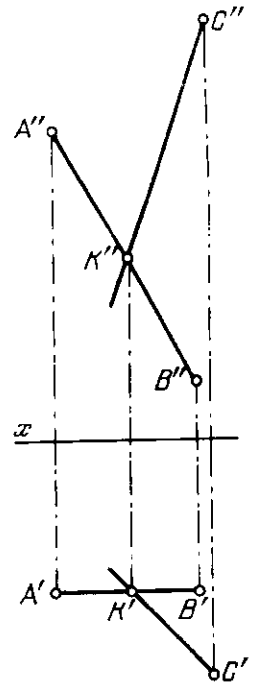
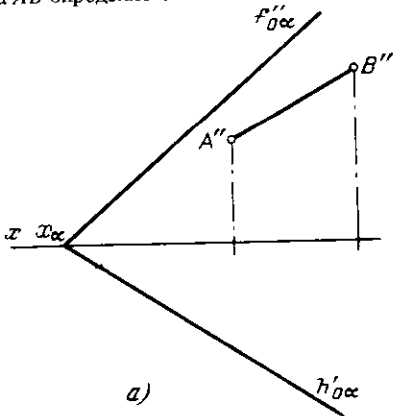


Рис. 53

55. Построить следы плоскости, заданной пересекающимися прямыми AB и KC (рис. 53).

56*. Построить недостающую проекцию отрезка AB прямой, лежащей в плоскости α (рис. 54, а).

Решение. Чтобы построить горизонт. проекцию отрезка AB , надо найти горизонт. проекции точек A и B (рис. 54, б). Проекцию B' находим с помощью горизонтали, проведенной в плоскости. Сначала проводим проекцию $B''N''$ параллельно оси x , затем через точку N'' — горизонт. проекцию горизонтали параллельно $h'_{0\alpha}$ и на ней находим проекцию B' . Горизонт. проекцию точки A находим при помощи фронтالي, хотя, конечно, можно было бы и для этой точки применить горизонталь. Через A'' проводим фронт. проекцию фронтали (параллельно $f''_{0\alpha}$), находим точки M'' и M' (проекция горизонт. следа фронтали). Горизонт. проекция фронтали проходит через точку M' параллельно оси x ; на этой проекции получаем точку A' . Искомая проекция отрезка AB определяется точками A' и B' .



а)

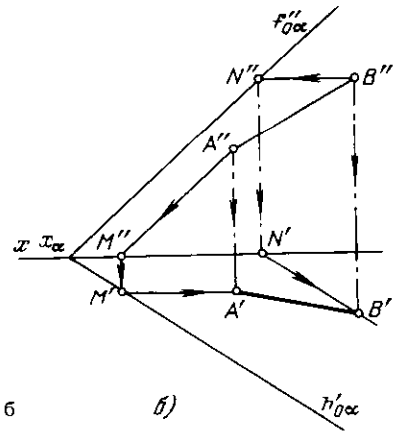


Рис. 54 а, б

б)

57*. Заключить прямую AB (рис. 55, а) в горизонтально-проецирующую плоскость, задав эту плоскость ее следами на пл. π_1 и π_2 .

Решение. Горизонтальные проекции всех элементов, лежащих в горизонтально-проецирующей плоскости, находятся на $h'_{0\alpha}$. Поэтому (рис. 55, б) след $h'_{0\alpha}$ совпадает с $A'B'$. Через точку x_α , получаемую при пересечении $h'_{0\alpha}$ с осью x , проводим перпендикулярно к оси x фронт-след искомой плоскости $f''_{0\alpha}$.

Угол между следом $h'_{0\alpha}$ и осью x равен углу φ_2 между пл. α и пл. проекций π_2 (рис. 55, в).

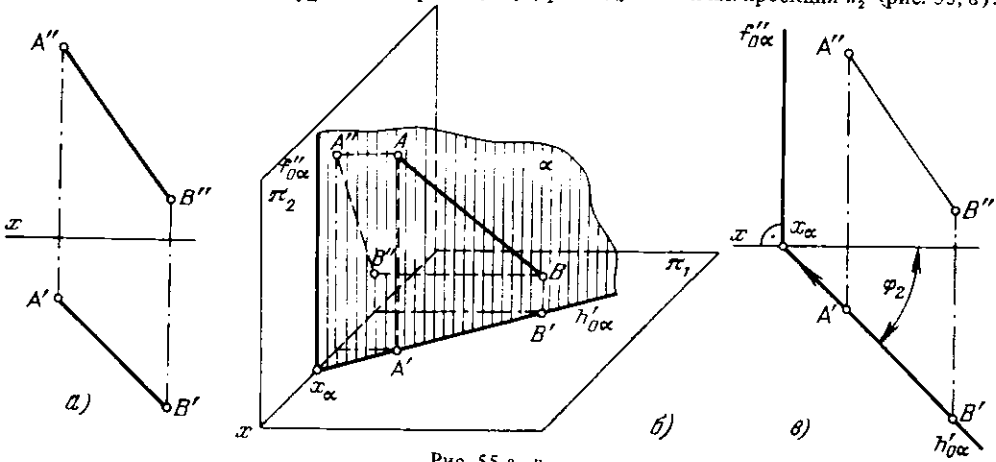


Рис. 55 а-в

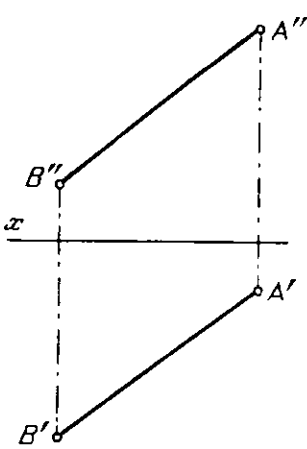


Рис. 56

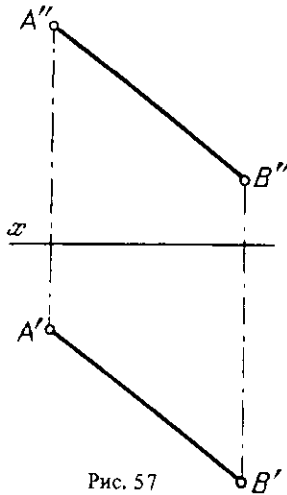


Рис. 57

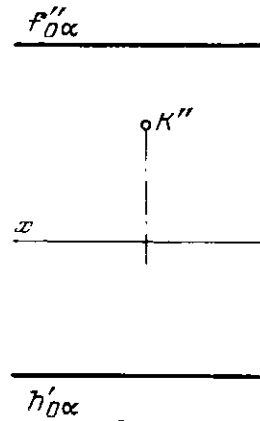


Рис. 58

58. Заключить прямую AB (рис. 56) во фронтально-проецирующую плоскость, выразив эту плоскость следами на пл. π_2 и π_1 . Построить чертеж и наглядное изображение. Указать угол наклона пл. α к пл. π_1 .

59. Заключить прямую AB (рис. 57) в профильно-проецирующую плоскость, выразив эту плоскость следами. Построить чертеж и дать наглядное изображение. Указать углы наклона пл. α к пл. π_2 и π_1 . Построение следов пл. α выполнить с помощью профильной проекции прямой и без нее.

60. Построить недостающую проекцию точки K (рис. 58), лежащей в пл. α (профильной плоскостью проекций не пользоваться).

**ПЕРЕСЕЧЕНИЕ ПРЯМОЙ ЛИНИИ С ПЛОСКОСТЬЮ
И ДВУХ ПЛОСКОСТЕЙ МЕЖДУ СОБОЙ**

§ 11. Пересечение прямой с проецирующей плоскостью

61* Найти точку пересечения прямой AB с пл. β (рис. 59, а), заданной ее фронт. следом f''_{β} .

Решение. В данном случае пл. β параллельна пл. π_1 и, следовательно, перпендикулярна к фронт. плоскости проекций; для пл. β в системе π_2, π_1 дан только фронт. след β'' , параллельный оси проекций x . Очевидно, фронт. проекция (K'') искомой точки пересечения должна лежать как на следе β'' , так и на фронт. проекции прямой AB , т.е. на $A''B''$ (рис. 59, б). Поэтому точку K'' (рис. 59, в) находим в точке пересечения следа β'' с проекцией $A''B''$. По точке K'' находим точку K' на $A'B'$.

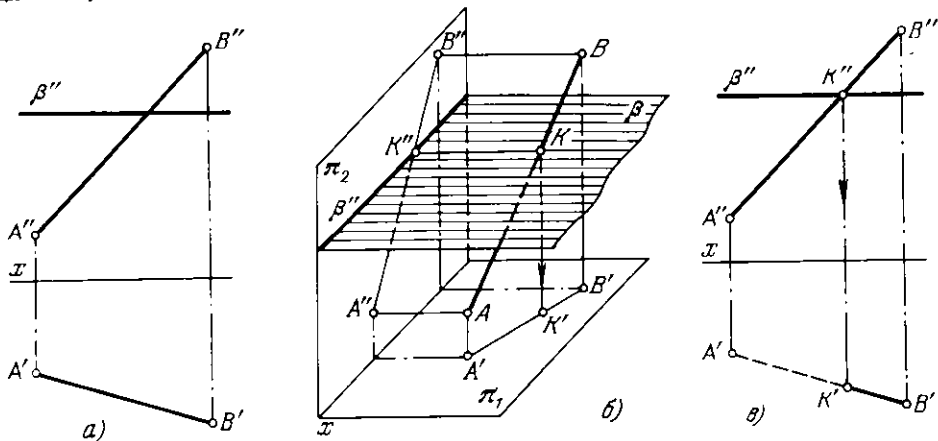


Рис. 59а-в

Так как прямая AB в направлении от K к A находится под пл. β , то на чертеже соответствующая часть горизонт. проекции изображена штриховой линией.

62. Найти точку пересечения прямой AB с пл. γ (рис. 60).

63* Найти точку пересечения прямой AB с пл. α (рис. 61, а).

Решение. Пл. α является фронтально-проецирующей. Очевидно, фронт. проекция K'' искомой точки пересечения должна находиться как на следе f''_{α} , так и на фронт. проекции прямой AB , т.е. на $A''B''$ (рис. 61, б).

На чертеже (рис. 61, в) находим K'' в точке пересечения следа f''_{α} с $A''B''$, а проекцию K' - на $A'B'$. Прямая AB в направлении от K к B находится под пл. α ; поэтому на чертеже соответствующая часть горизонт. проекции изображена штриховой линией.

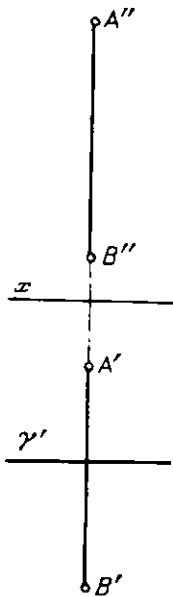


Рис. 60

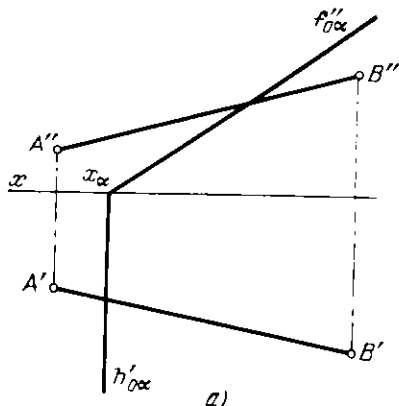
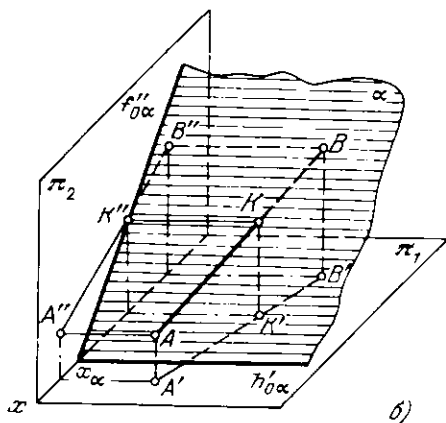
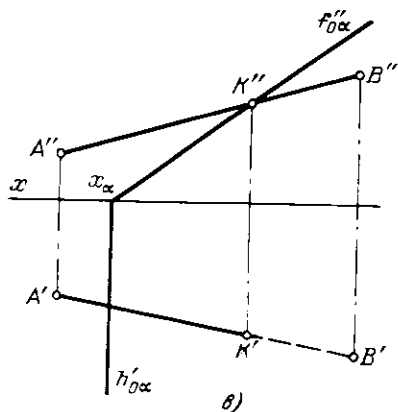


Рис. 61 а



б)



в)

Рис. 61 б, в

64*. Найти точку пересечения прямой AB с пл. α (рис. 62, а).

Решение. Пл. α является горизонтально-проецирующей. Очевидно, горизонт. проекция искомой точки пересечения должна находиться как на следе $h'_{0\alpha}$, так и на $A'B'$ (рис. 62, б). Поэтому точку K' (рис. 62, в) получаем как точку пересечения следа $h'_{0\alpha}$ с $A'B'$. По точке K' находим проекцию K'' на $A''B''$.

Прямая AB в направлении от K к B находится за плоскостью α ; на чертеже соответствующая часть фронт. проекции изображена штриховой линией.

65*. Найти точку пересечения прямой AB с плоскостью, заданной треугольником CDE (рис. 63, а).

Решение. Замечаем, что плоскость треугольника перпендикулярна к пл. π_1 . Проекция K' точки пересечения должна лежать как на прямой $C'D'$, так и на $A'B'$ (рис. 63, б и в). По точке K' находим K'' на $A''B''$.

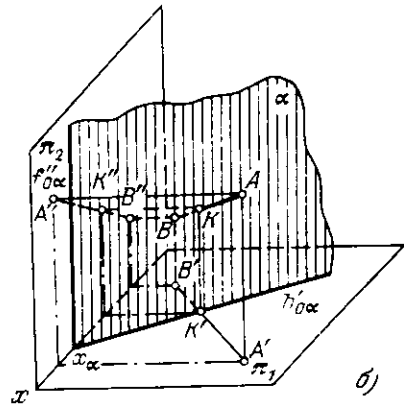
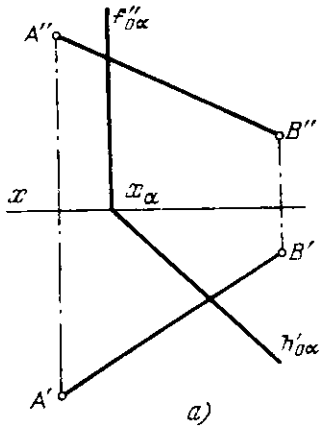


Рис. 62 а. б

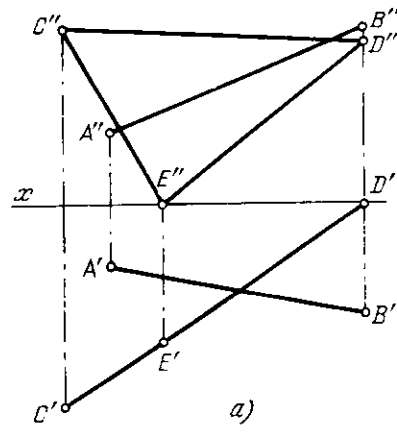
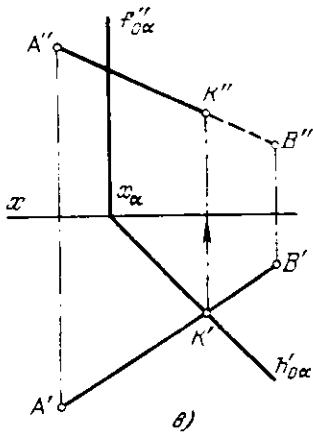


Рис. 62 в

Рис. 63 а

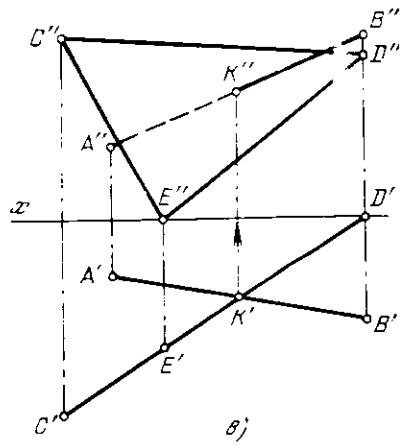
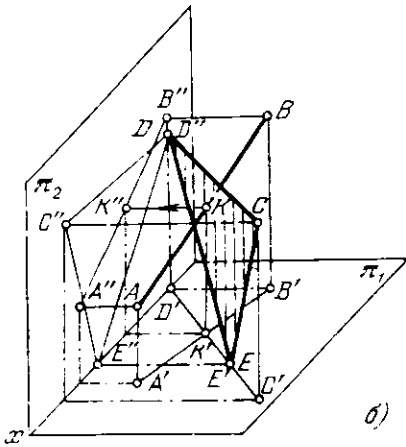


Рис. 63 б. в

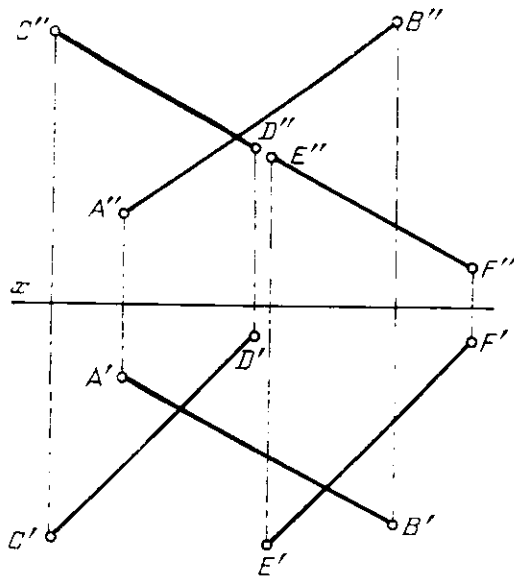


Рис. 64

Так как прямая AB в направлении от K к A находится за треугольником CDE (рис. 63, а), то на чертеже соответствующая часть фронт. проекции прямой изображена штриховой линией.

66. Найти точку пересечения прямой AB с плоскостью, заданной параллельными прямыми CD и EF (рис. 64).

§ 12. Пересечение плоскостей между собой

67*. Найти линию пересечения пл. α , заданной следом α'' , с плоскостью, заданной двумя пересекающимися прямыми AB и BC (рис. 65, а).

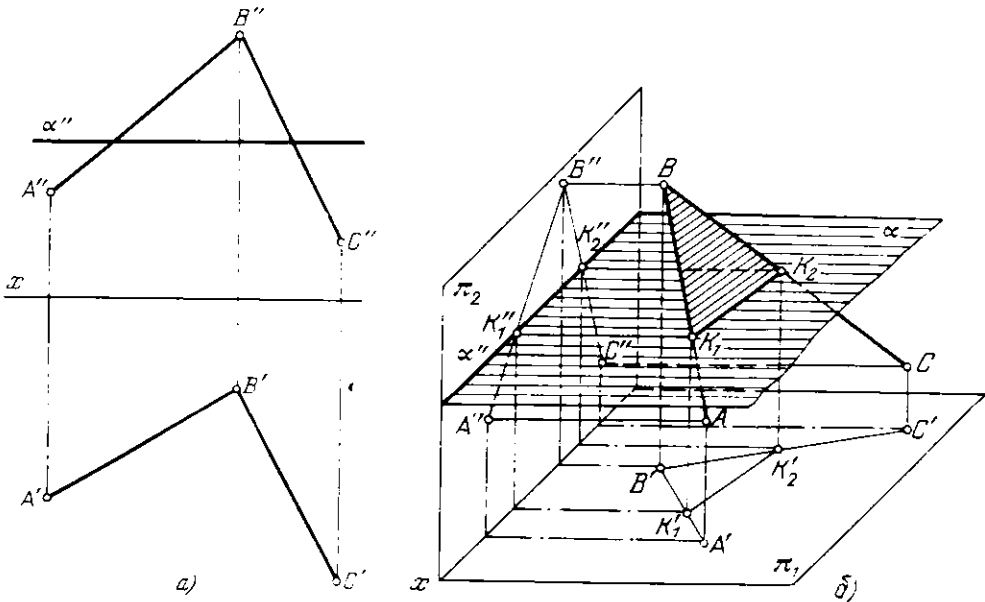


Рис. 65 а, б)

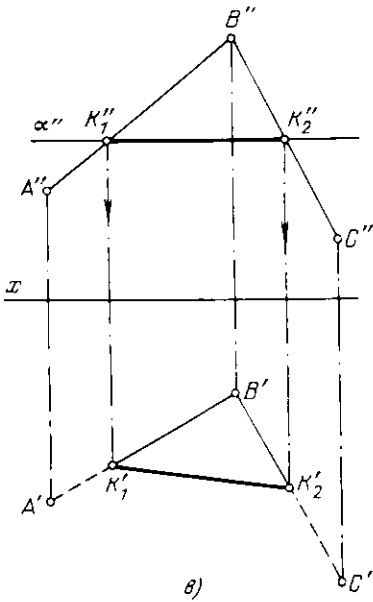


Рис. 65 в

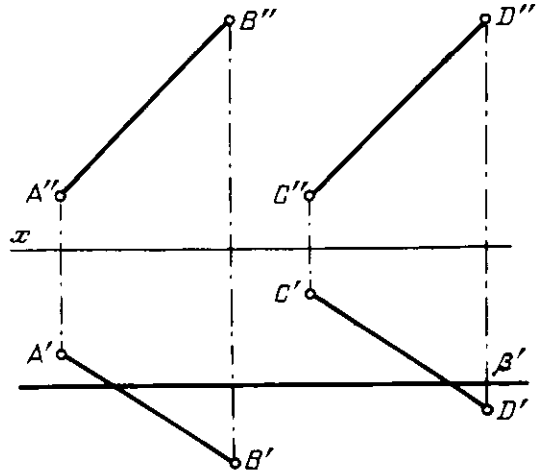


Рис. 66

Решение. Как известно, построение линии пересечения двух плоскостей сводится к нахождению двух точек, общих для обеих заданных плоскостей, или одной такой точки при известном направлении искомой линии.

В данном случае искомая прямая может быть определена, если найти точки пересечения прямых AB и BC с пл. α (рис. 65, б). Следовательно, построение точек K_1 и K_2 сводится к показанному на рис. 59, б и в.

Если считать плоскости непрозрачными, то горизонтальные проекции участков прямых AB и BC , находящихся под пл. α , следует изображать штриховыми линиями. Пл. α не влияет на видимость прямых AB и CD на пл. π_2 , так как перпендикулярна к ней (рис. 65, в).

68. Найти линию пересечения пл. β , заданной следом β' , с плоскостью, заданной параллельными прямыми AB и CD (рис. 66).

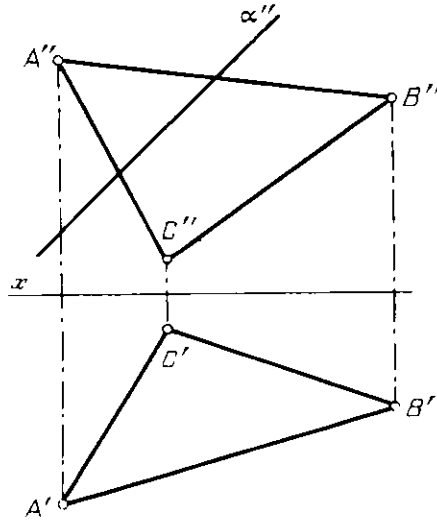


Рис. 67

69. Найти линию пересечения фронтально-проецирующей пл. α , заданной следом α'' , с плоскостью, заданной треугольником ABC (рис. 67).

70*. Найти линию пересечения плоскостей α и β (рис. 68. а).

Решение. Для построения линии пересечения плоскостей можно использовать точку N пересечения следов $f''_{0\alpha}$ и $f''_{0\beta}$ и точку M пересечения следов $h'_{0\alpha}$ и $h'_{0\beta}$ (рис. 68, б). Прямая MN ,

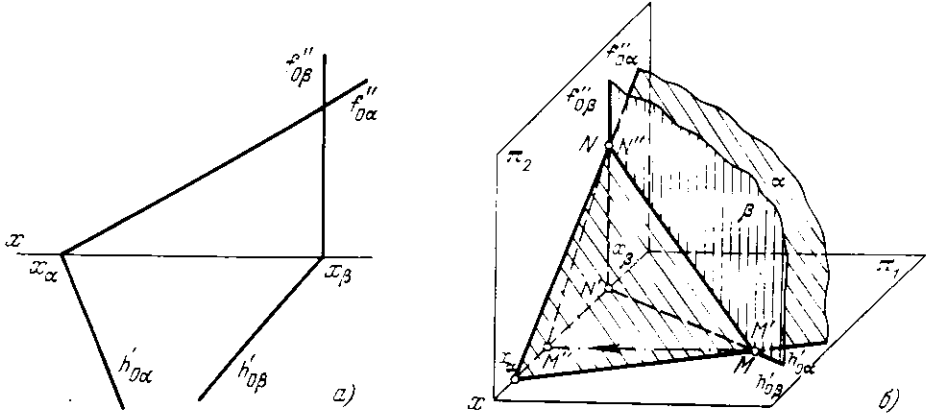


Рис. 68 а, б

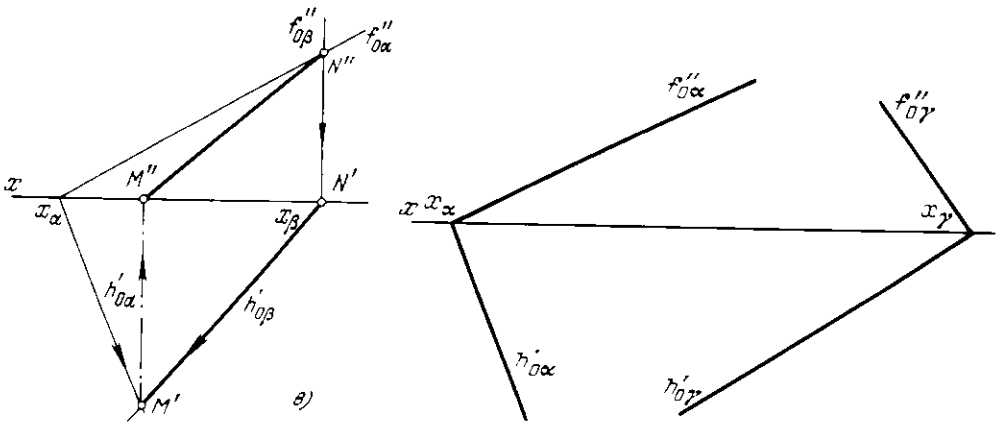


Рис. 68 в

Рис. 69

проходящая через эти точки, является искомой линией пересечения. Ее проекция $M'N'$ совпадает со следом $h'_{0\beta}$, так как пл. β является горизонтально-проецирующей. Эти построения показаны на рис. 68. в.

71. Построить линию пересечения плоскостей α и γ (рис. 69).

72. Построить линию пересечения плоскостей α и γ (рис. 70). Профильной плоскостью проекций не пользоваться.

73*. Построить линию пересечения плоскостей γ и β , у которых $h'_{0\gamma} \parallel h'_{0\beta}$ (рис. 71. а).

Решение. В данном случае горизонт. следы плоскостей параллельны. Это значит, что искомая прямая параллельна пл. π_1 и для плоскостей γ и β является горизонталью (рис. 71, б). Чтобы провести эту горизонталь, достаточно построить одну принадлежащую ей точку. Используем точку N пересечения следов $f''_{0\gamma}$ и $f''_{0\beta}$. Построив проекции N'' и N' , проводим $N''M''$ параллельно оси x , а $M''A''$ - параллельно следам $h'_{0\gamma}$ и $h'_{0\beta}$.

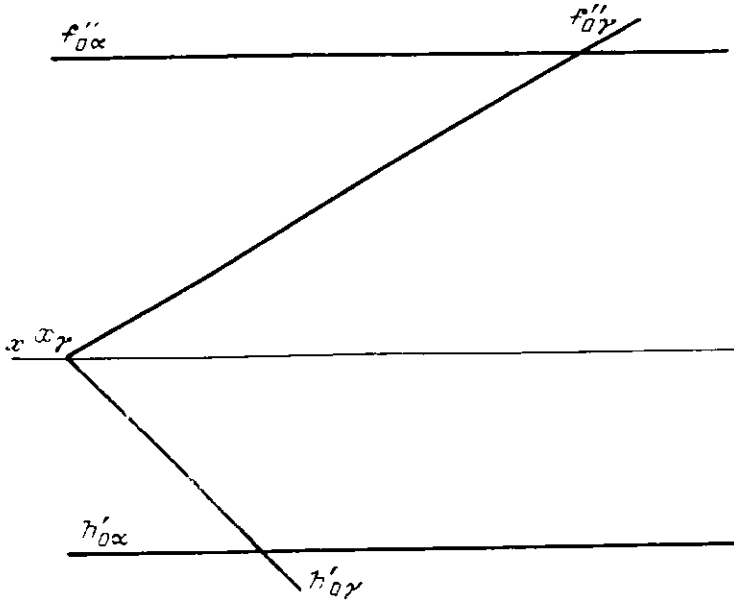


Рис. 70

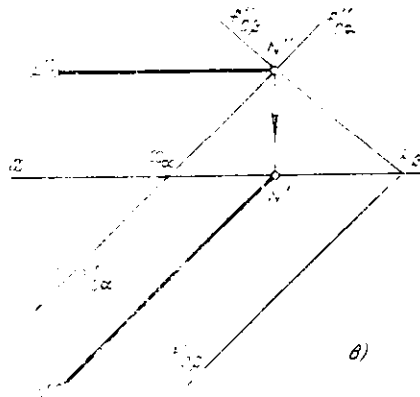
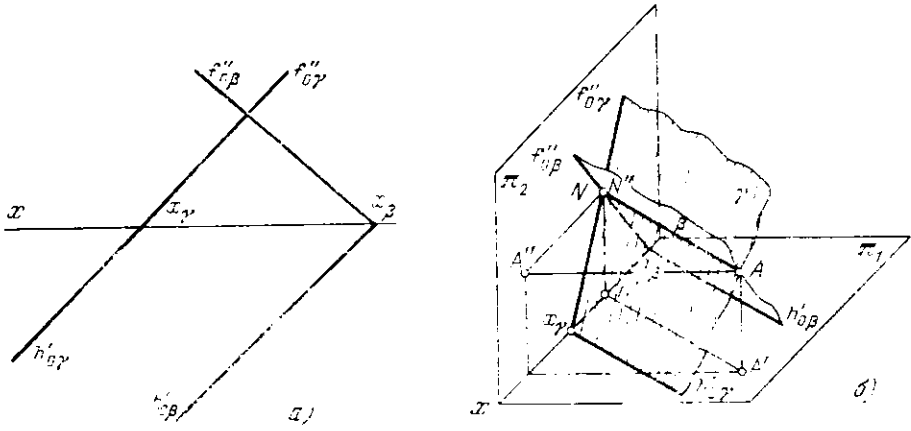


Рис. 71 а-б

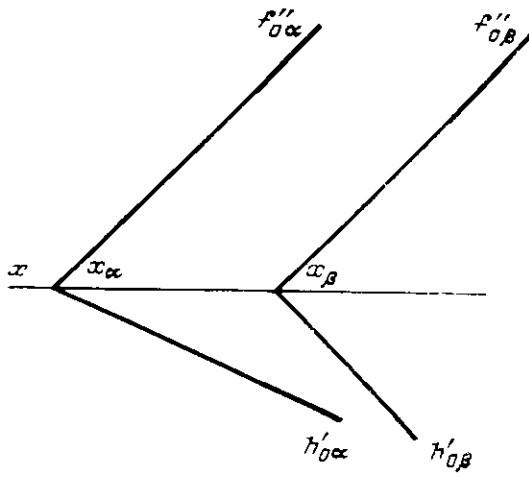


Рис. 72

74. Найти линию пересечения плоскостей α и β (рис. 72).

75*. Найти линию пересечения плоскостей α и β (рис. 73, а), пользуясь профильной плоскостью проекций и не пользуясь ею.

Решение. Так как заданные плоскости являются профильно-проецирующими, то линия их пересечения MN (рис. 73, б) параллельна оси x . Чтобы найти эту прямую, надо построить одну принадлежащую ей точку. Вводим (рис. 73, б и в) вспомогательную плоскость γ и строим линии пересечения ее с пл. α (1 - 2) и β (3 - 4). Эти линии, пересекаясь, дают точку $M(M'', M')$, общую для пл. α и β . Через M'' и M' проводим проекции искомой прямой $M''N''$ и $M'N'$ параллельно оси x . В качестве вспомогательной плоскости можно использовать и профильную плоскость проекций (рис. 73, б и в): линия MN проходит через точку пересечения следов α''' и β''' .

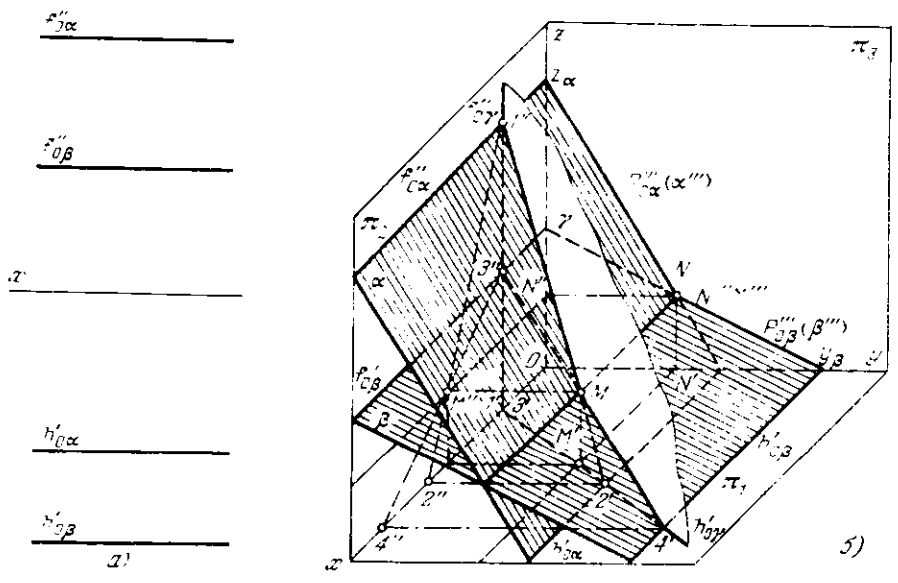


Рис. 73 а, б

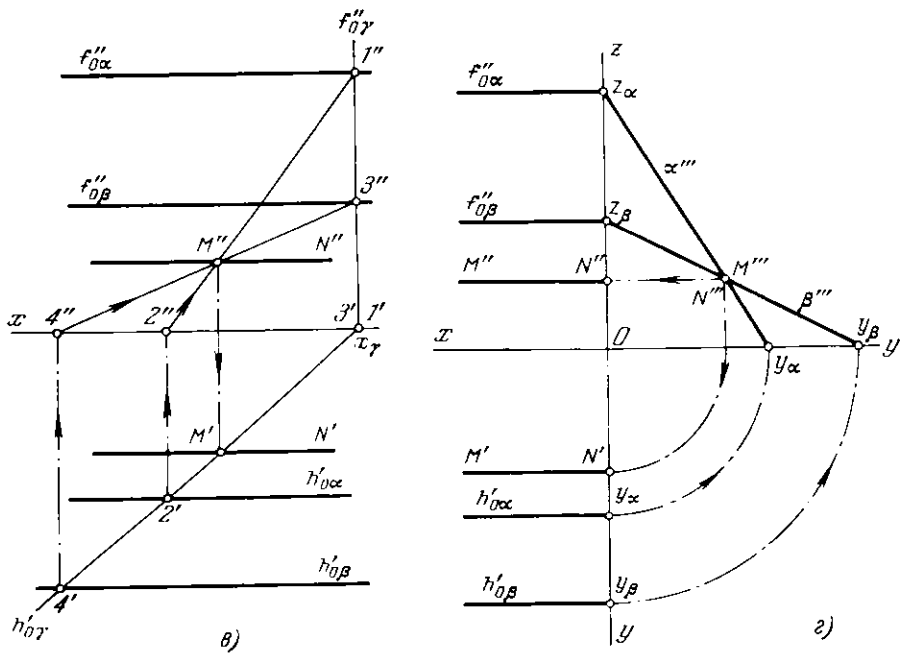


Рис. 73 в, г

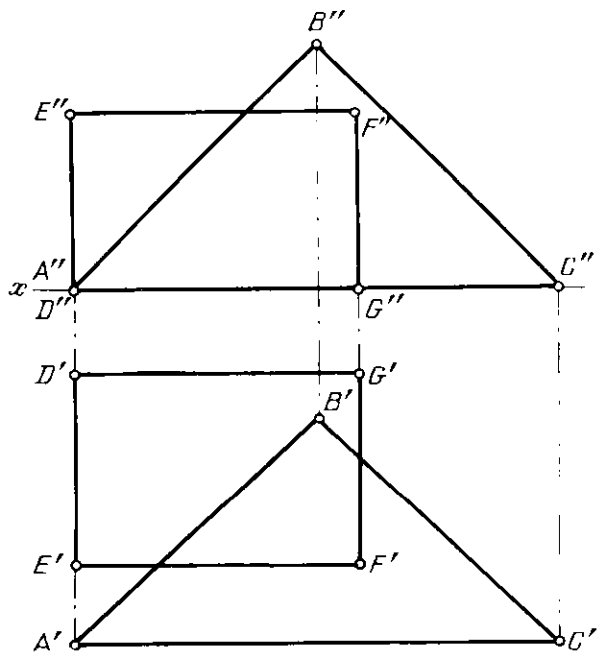


Рис. 74

76. Построить линию пересечения плоскостей треугольника ABC и четырехугольника $DEFG$ (рис. 74), пользуясь профильной плоскостью проекций и не пользуясь ею. Определить видимость плоскостей.

§ 13. Пересечение прямой с плоскостью общего положения

77*. Найти точку пересечения прямой AB с плоскостью, заданной треугольником CDE (рис. 75, а).

Решение. Как известно, для нахождения точки пересечения прямой с плоскостью общего положения следует через прямую провести вспомогательную плоскость γ , построить линию пересечения этой плоскости с заданной (1-2) и найти точку пересечения (K) заданной и построенной прямых. Точка K является искомой точкой пересечения прямой с плоскостью (рис. 75, б). В качестве вспомогательной плоскости обычно используют горизонтально- или фронтально-проецирующую плоскость.

На рис. 75, в через прямую AB проведена фронтально-проецирующая плоскость γ , ее след γ'' совпадает с $A''B''$. Горизонт. след плоскости в данной задаче не нужен и поэтому не показан.

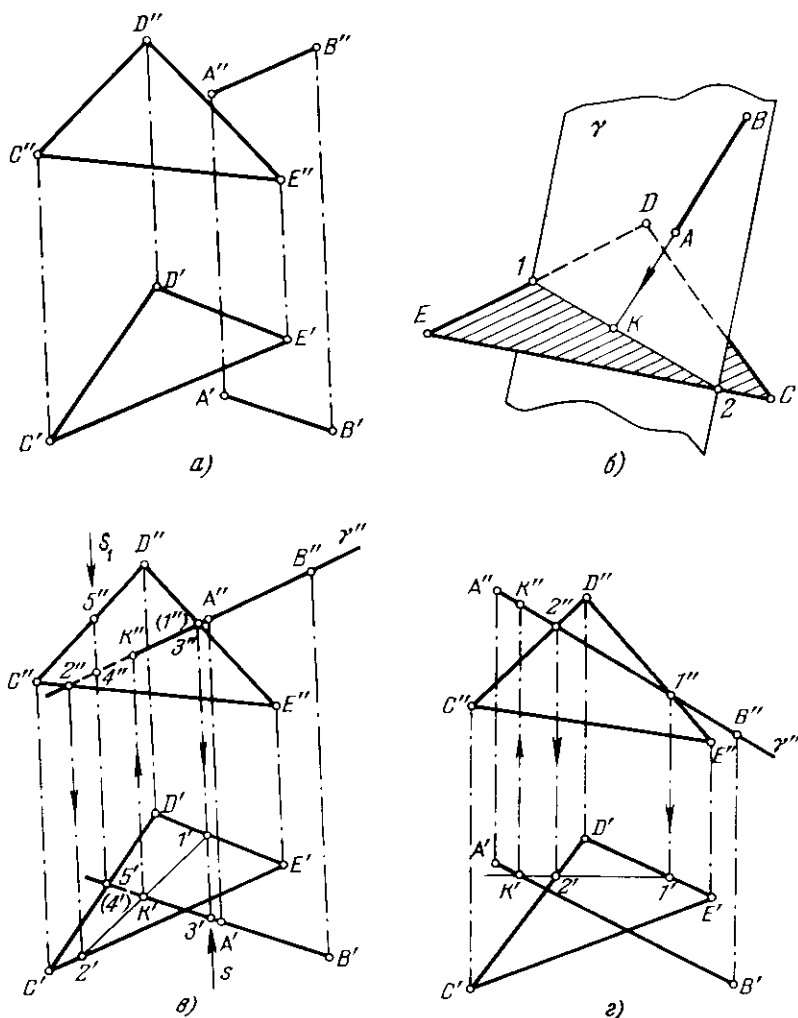


Рис. 75 а г

Строим линию пересечения плоскости γ и плоскости, заданной треугольником CDE (пример такого построения см. в задаче 67). Построив линию $1-2$ (рис. 75, в), находим точку пересечения ее с прямой AB – точку $K(K', K'')$.

Для определения участков прямой AB , которые будут закрыты треугольником, следует воспользоваться анализом положения точек на скрещивающихся прямых. Например, точки 1 и 3 находятся на скрещивающихся прямых (соответственно) ED и AB . Фронтальные проекции этих точек совпадают, т.е. точки 1 и 3 одинаково удалены от пл. π_1 . Но расстояния их от пл. π_2 различны: точка 3 находится дальше от пл. π_2 , чем точка 1 . Поэтому по отношению к пл. π_2 точка 3 закрывает точку 1 (направление взгляда указано стрелкой s). Следовательно, прямая AB проходит перед треугольником CDE до точки K . Начиная же от точки K влево прямая AB закрывается треугольником, и поэтому этот участок прямой показан штриховой линией.

Для выявления невидимого участка на горизонт. проекции прямой AB рассмотрим точки 4 и 5 , лежащие соответственно на прямых AB и CD .

Если смотреть на эти точки по направлению s_1 , мы видим сначала точку 5 . Точка 4 закрывается точкой 5 . Следовательно, прямая AB в этом месте закрыта треугольником CDE и участок ее проекции от точки K' до точки 4 должен быть показан штриховой линией. В данном случае точка K оказалась внутри контура треугольника CDE .

При ином взаимном положении пересекающихся элементов возможен случай, когда точка K окажется вне треугольника (рис. 75, г). Это означает, что прямая AB пересекает плоскость, заданную треугольником CDE , вне контура этого треугольника. AB становится невидимой за точкой K (влево).

78. Найти точки пересечения прямой AB с гранями пирамиды (рис. 76). Грани пирамиды следует рассматривать как плоскости, заданные треугольниками.

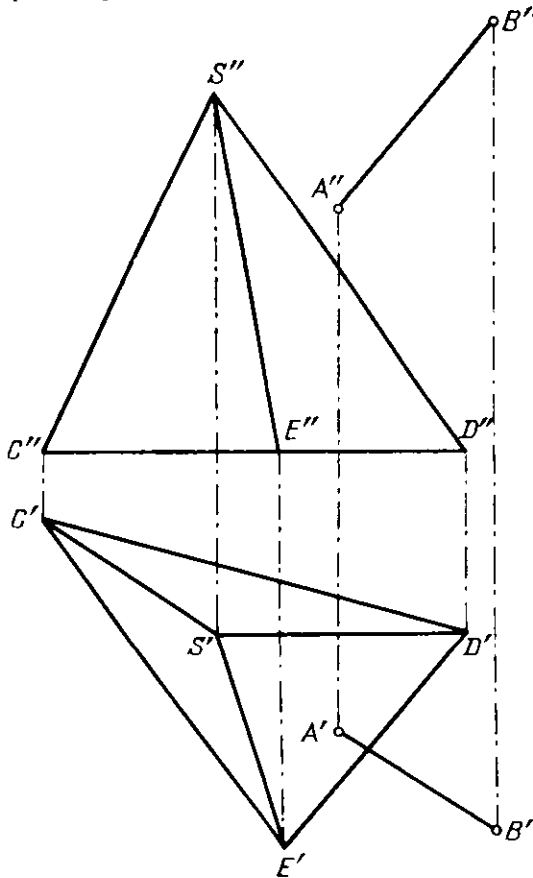


Рис. 76

79. Найти точки пересечения прямой AB с гранями призмы (рис. 77). Грани призмы следует рассматривать как плоскости, заданные параллельными прямыми.

80*. Найти точки пересечения прямой AB с плоскостью α (рис. 78, а).

Решение. Проводим через прямую AB (рис. 78, б и в) фронтально-проецирующую плоскость γ (ее след f''_{γ} совпадает с $A''B''$) и строим линию MN пересечения обеих плоскостей

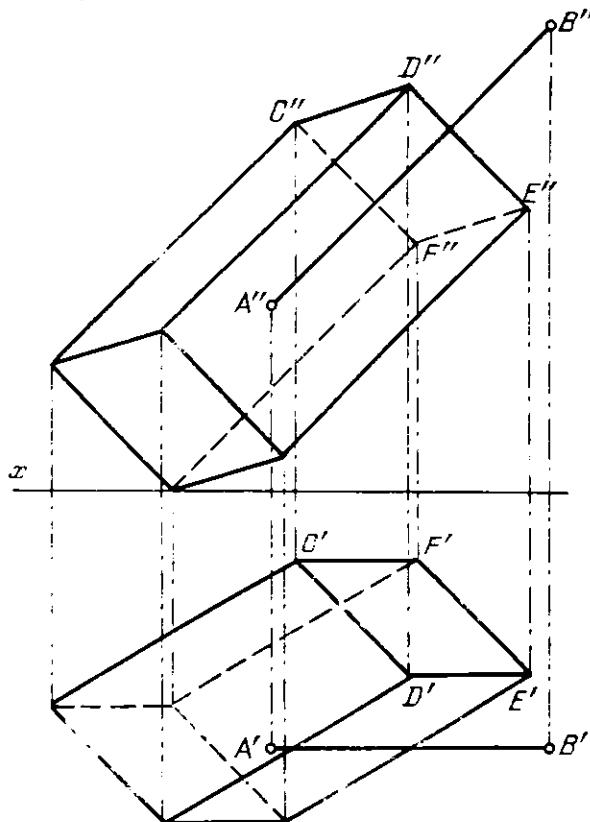
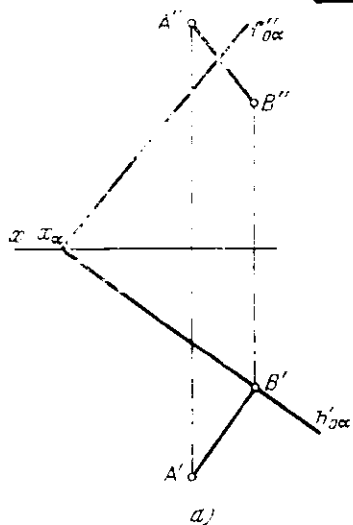
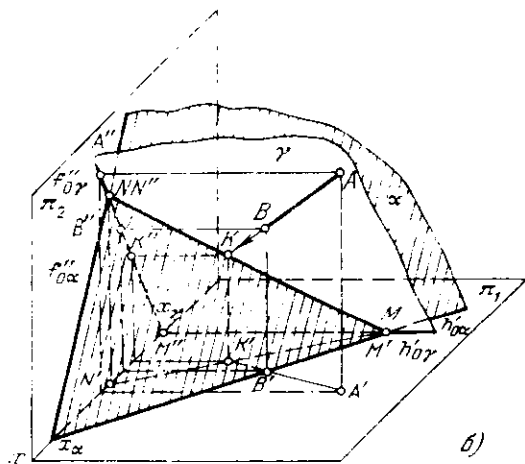


Рис. 77



а)



б)

Рис. 78 а, б

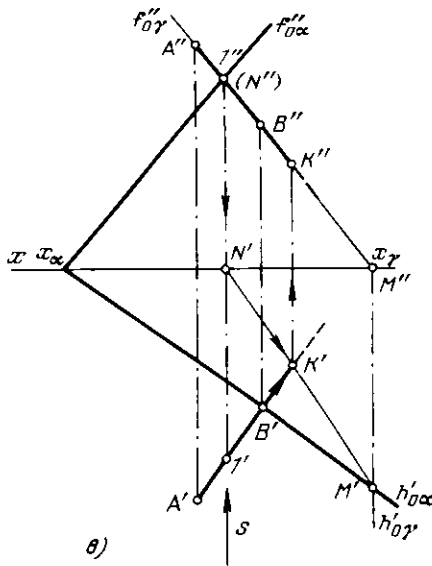


Рис. 78 в

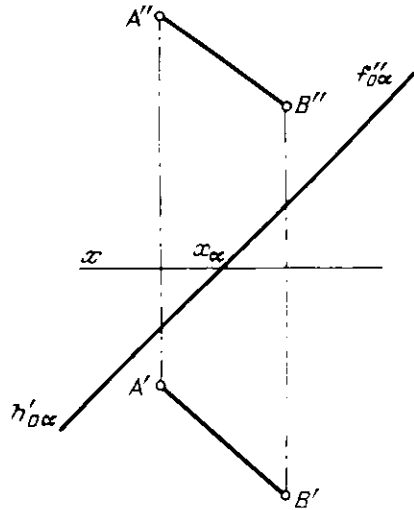
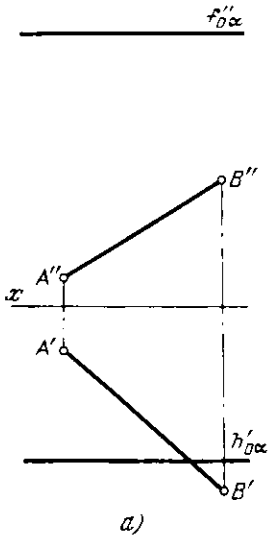
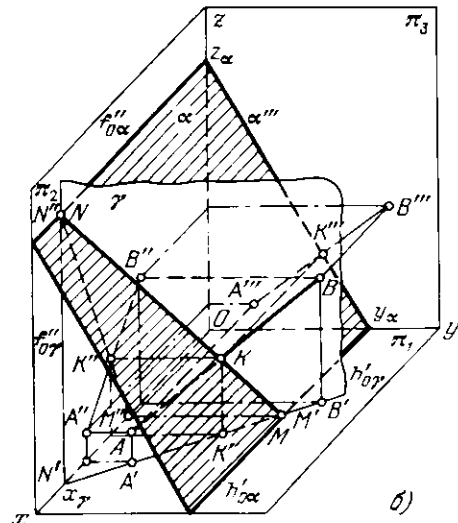


Рис. 79



а)



б)

Рис. 80 а, б

тей — заданной и проведенной через AB (построение подобно выполненному в задаче 70). Искомая точка $K(K', K'')$ пересечения прямой AB с плоскостью α находится в точке пересечения MN с AB .

В данной задаче видимость участка прямой от точки A до K очевидна; однако в более сложных случаях следует видимый участок прямой определять на основании анализа положения точек. Например, взяв точку I (на прямой AB) и точку N (на следе $f''_{0\alpha}$), видим, что точка I располагается дальше относительно пл. π_2 , чем точка N . Следовательно, прямая AB до точки K видима. За точкой K прямая показана штриховой линией — она невидима. Аналогично определяется видимость на горизонт. проекции.

81. Найти точку пересечения прямой AB с плоскостью α (рис. 79).

82*. Найти точку пересечения прямой AB с плоскостью α (рис. 80, а).

Решение. Через прямую AB проводим горизонтально-проецирующую плоскость γ (след $h'_{0\gamma}$ совпадает с $A'B'$) и строим линию пересечения плоскостей α и γ , используя точки M

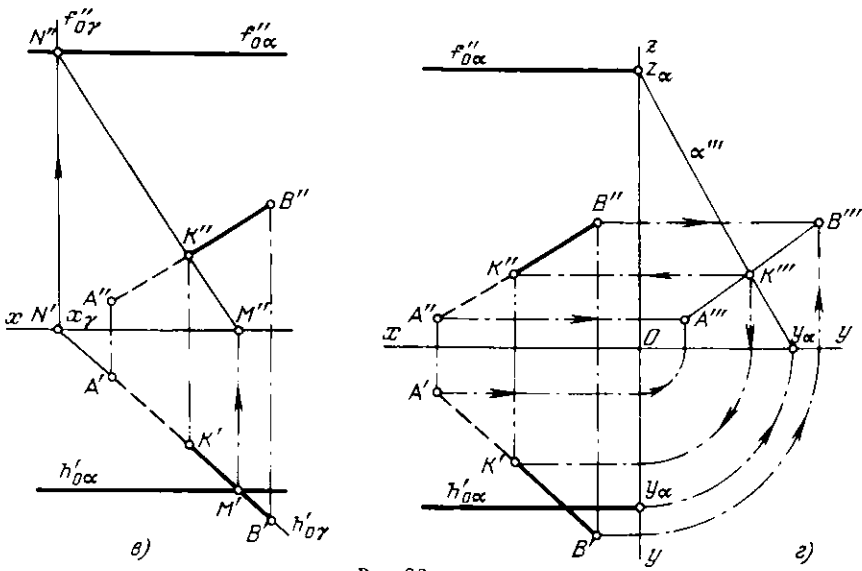


Рис. 80 в, г

и N пересечения их одноименных следов (рис. 80, б и в). Искомая точка (K' , K'') находится в точке пересечения MN с AB . На рис. 80, г точка K построена с помощью пл. π_3 . Так как пл. α профильно-проецирующая (рис. 80, б), то профильная проекция K'' лежит в точке пересечения следа α'' с $A''B''$. Зная K'' , строим K' на $A'B'$ и K на AB . Видимые участки прямой AB определяются так же, как в задачах 77 и 80.

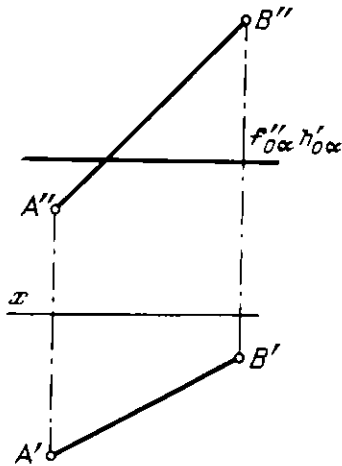


Рис. 81

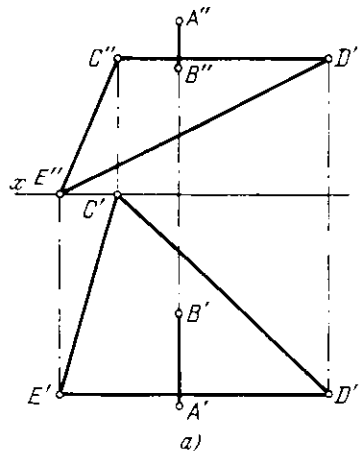


Рис. 82а

83. Найти точку пересечения прямой AB с плоскостью α (рис. 81).

84*. Найти точку пересечения прямой AB с плоскостью, заданной треугольником CDE (рис. 82, а).

Решение. Через прямую AB проводим (рис. 82, б и в) пл. γ , параллельную пл. π_3 . Она пересекает заданную плоскость по прямой MN (точки M'' , N'' , M' и N' лежат на пересечении следов $f''_{0\gamma}$ и $h'_{0\gamma}$ с одноименными проекциями соответствующих сторон треугольника CDE). Так как прямые AB и MN профильные, то для нахождения точки (K) их пересечения строим профиль-

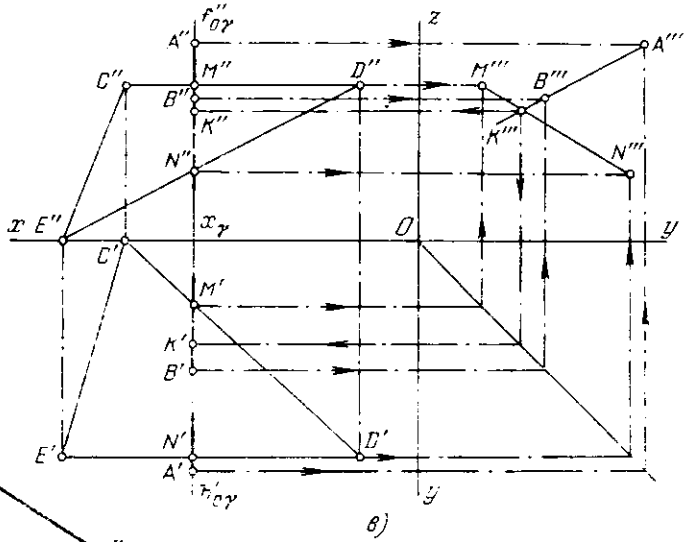
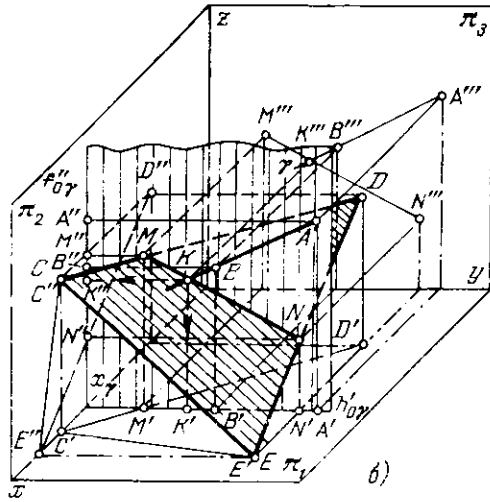


Рис. 82 б, в

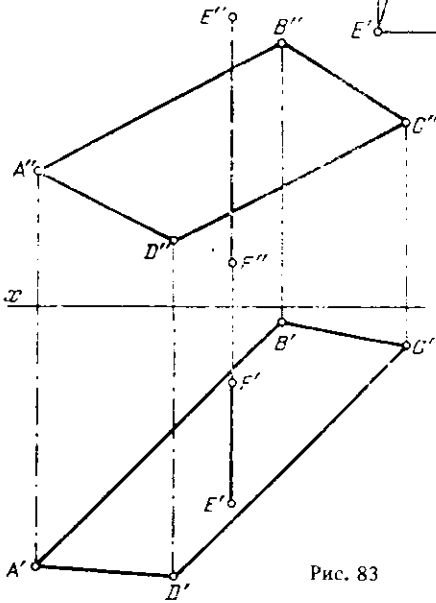


Рис. 83

ные проекции $A''B''$ и $M''N''$. Проекция K'' находится на пересечении $A''B''$ и $M''N''$. По K'' строим K' на $A''B''$ и K' на $A'B'$.

85. Найти точку пересечения прямой EF с плоскостью, заданной четырехугольником $ABCD$ (рис. 83).

§ 14. Общие случаи пересечения плоскостей

86*. Найти линию пересечения плоскостей, заданных треугольником ABC и параллельными прямыми ED и FG (рис. 84, а).

Решение. В данном случае общие точки для обеих плоскостей можно найти как точки пересечения (M и N) сторон треугольника AB и AC с плоскостью, заданной прямыми ED и FG (рис. 85, б).

Через прямую AB проводим фронтально-проецирующую плоскость β , задав ее следом β'' (рис. 84, в). Она пересекает плоскость параллельных прямых по прямой $1-2$ ($1'' 2'', 1' 2'$),

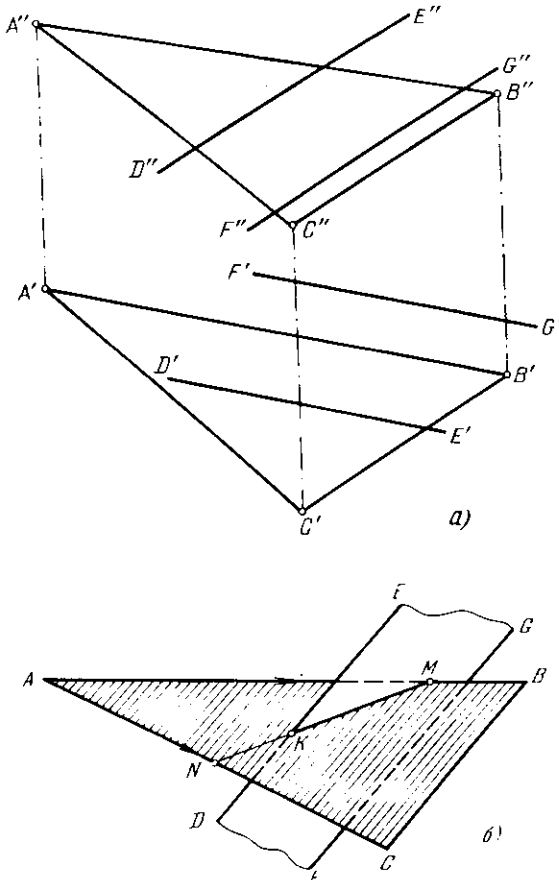


Рис. 84 а, б

которая пересекается со стороной AB в точке M (M', M''). Фронтально-проецирующая плоскость γ , проведенная через прямую AC , задана следом γ'' ; эта плоскость пересекает плоскость параллельных прямых по линии $3-4$ ($3'' 4'', 3' 4'$), которая в пересечении со стороной AC дает точку N (N', N''). Некая линия пересечения плоскостей проходит через точки M и N .

Для определения видимости плоскостей при взаимном их пересечении следует вообще применять прием, указанный, например, в решении задачи 77. Рассмотрим точки 2 (следит

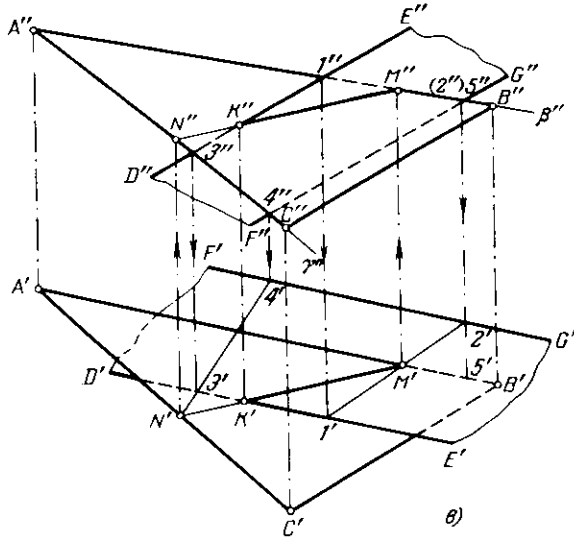


Рис. 84 в

на прямой FG) и 5 (лежит на прямой AB). Анализ положения этих точек показывает, что на пл. π_2 точка 5 закрывает точку 2, а это значит, что прямая AB в этом месте проходит перед FG , т.е. треугольник ABC виден до прямой KM . Остальное ясно из чертежа.

87. Найти линию пересечения плоскостей, заданных треугольником ABC и четырехугольником $DEFG$ (рис. 85).

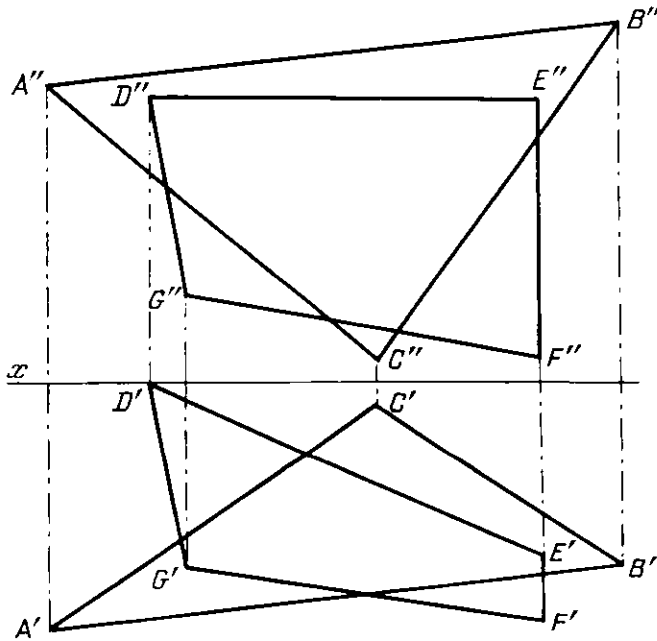


Рис. 85

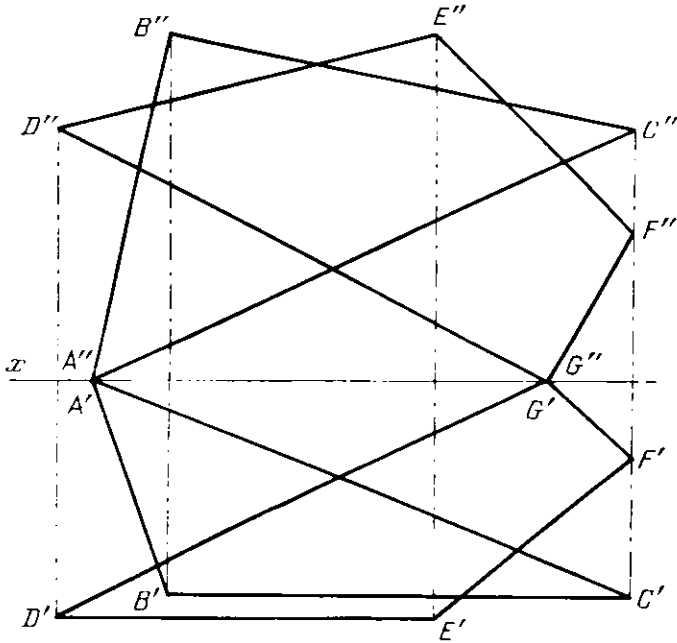
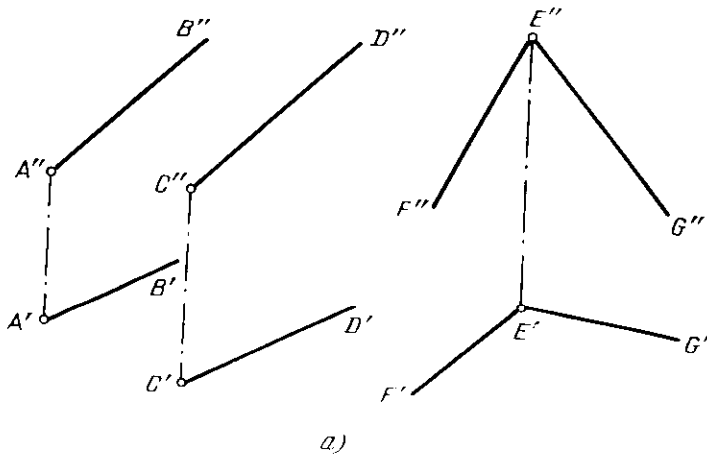


Рис. 86

88. Найти линию пересечения плоскостей, заданных треугольником ABC и четырехугольником $DEFG$ (рис. 86).

89*. Найти линию пересечения плоскостей, из которых одна задана параллельными прямыми AB и CD , а другая — пересекающимися FE и EG (рис. 87, а).

Решение. Для нахождения общих точек данных плоскостей введены две вспомогательные плоскости β и γ (рис. 87, б) и построены линии пересечения этих плоскостей с заданными. Через точки M и N пересечения этих линий проходит искомая прямая. На рис. 87, в плоскости β и γ параллельны пл. π_1 . Они пересекают заданные плоскости по горизонталям 1-2, 3-4 и 5-6, 7-8 (см. задачу 67).



а)

Рис. 87 а

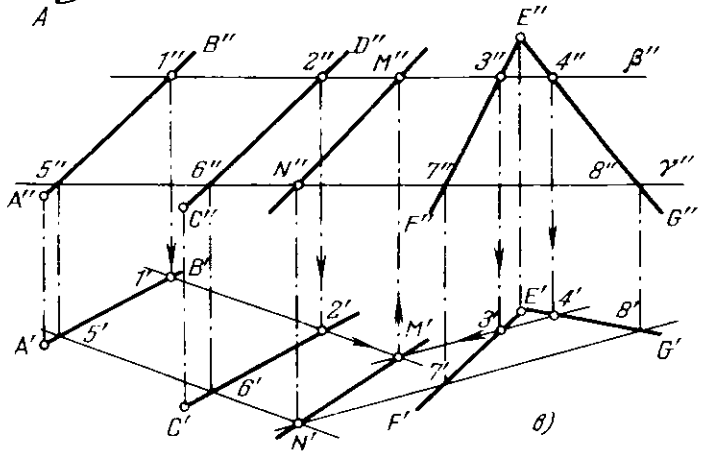
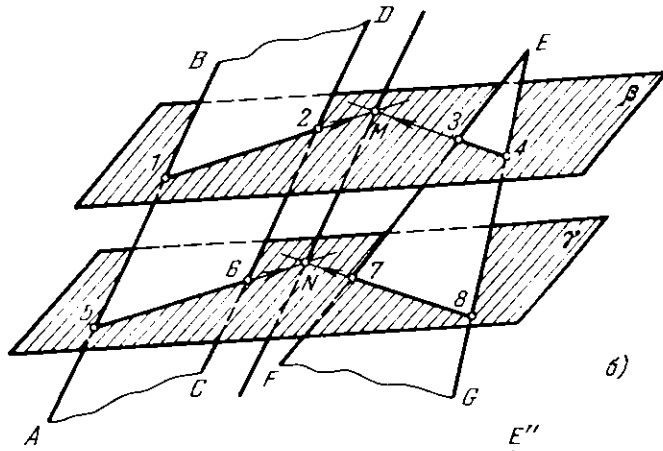


Рис. 87 б, в

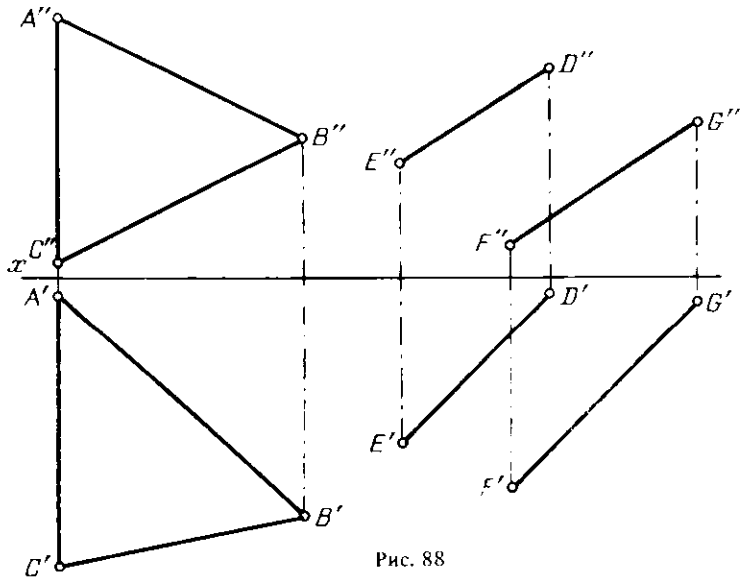


Рис. 88

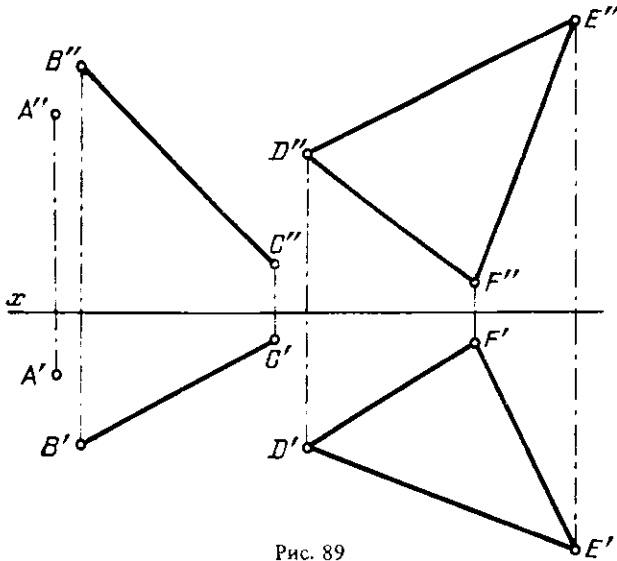


Рис. 89

Прямые 1 – 2 и 3 – 4, пересекаясь, дают точку $M(M', M'')$, а прямые 5 – 6 и 7 – 8 – точку $N(N', N'')$. Прямая $MN(M'N', M''N'')$ – искомая линия пересечения плоскостей.

90. Найти линию пересечения плоскостей, из которых одна задана треугольником ABC , а другая – параллельными прямыми ED и FG (рис. 88).

91. Найти линию пересечения плоскостей, из которых одна задана треугольником DEF , другая – прямой BC и точкой A (рис. 89).

ПАРАЛЛЕЛЬНОСТЬ И ПЕРПЕНДИКУЛЯРНОСТЬ ПРЯМОЙ И ПЛОСКОСТИ И ДВУХ ПЛОСКОСТЕЙ

§ 15. Параллельность прямой и плоскости и двух плоскостей

92*. Через точку A провести какую-либо прямую, параллельную плоскости треугольника BCD (рис. 90. a).

Решение. Прямая параллельна плоскости, если она параллельна какой-либо прямой, лежащей в этой плоскости. Поэтому через точку A можно провести неопределенное число прямых, параллельных данной плоскости. Например, проведя (рис. 90. b) через точку A'' прямую $E''F''$ параллельно $B''D''$ и через A' прямую $E'F'$ параллельно $B'D'$, мы получаем проекции

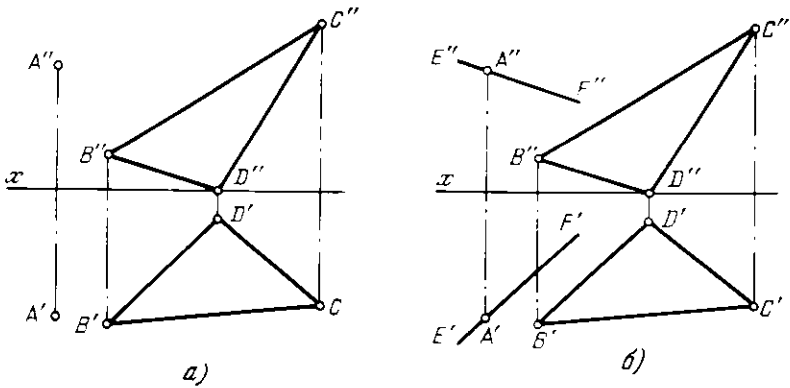


Рис. 90 а, б

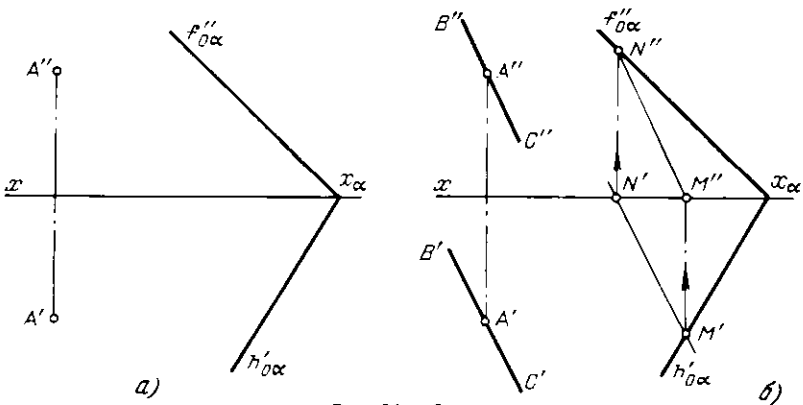


Рис. 91 а, б

прямой EF , параллельной стороне треугольника BD , а следовательно, и его плоскости. Выбор прямой BD был произволен.

93*. Через точку A провести какую-либо прямую, параллельную пл. α (рис. 91, а).

Решение. Строим (рис. 91, б) проекции $M'N'$ и $M''N''$ некоторой прямой MN , лежащей в пл. α . Затем через A'' проводим фронт. проекцию $B''C''$ параллельно $M''N''$, а через A' горизонт. проекцию $B'C'$ параллельно $M'N'$. Прямая BC параллельна прямой MN , а следовательно, и плоскости α .

94*. Определить, параллельна ли прямая AB плоскости α (рис. 92, а).

Решение. Для определения, параллельна ли прямая AB пл. α , надо попытаться провести в этой плоскости прямую, параллельную данной. На рис. 92, б проведена фронт. проекция $C''D''$ параллельно $A''B''$. Строим горизонт. проекцию $C'D'$, соблюдая условие, что прямая

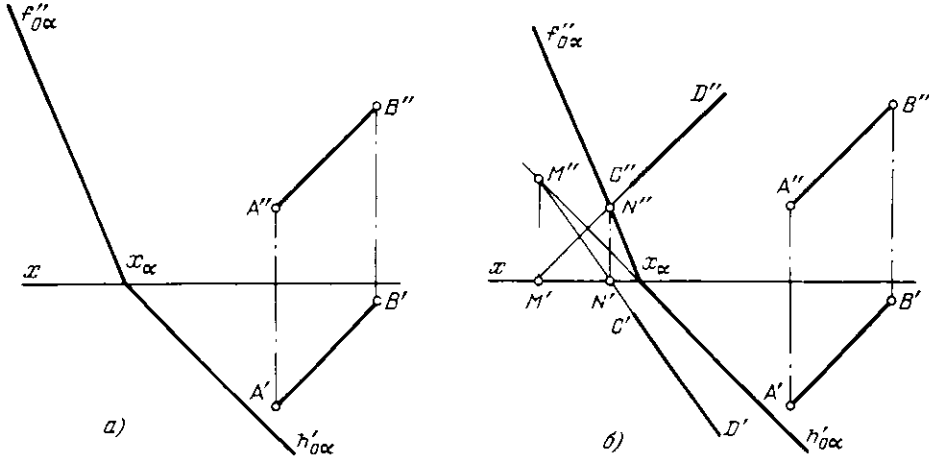


Рис. 92 а, б

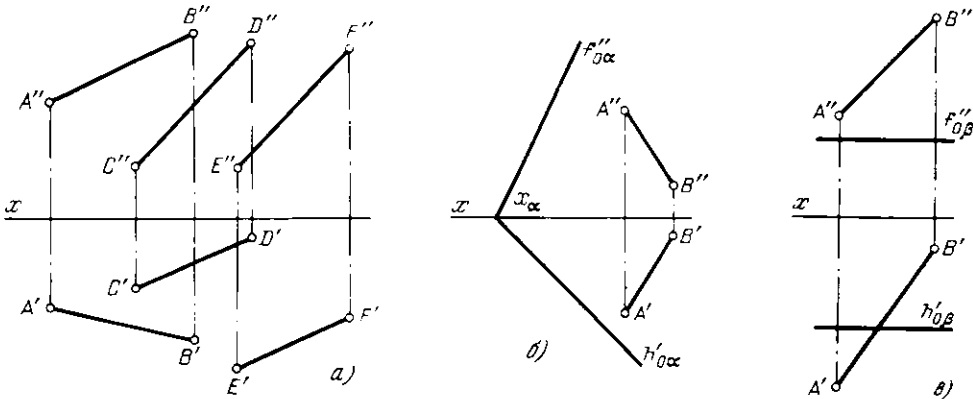


Рис. 93 а-в

CD должна лежать в пл. α . Так как построенная проекция $C'D'$ оказалась не параллельной $A'B'$, то прямые AB и CD не параллельны, а это значит, что прямая AB и пл. α также не параллельны.

Можно было начать с проведения горизонт. проекции некоторой прямой параллельно $A'B'$, построить ее фронт. проекцию, придерживаясь условия, что эта прямая должна лежать в пл. α , и сопоставить построенную фронт. проекцию с $A''B''$.

95. Определить, параллельна ли прямая AB

а) плоскости, заданной двумя параллельными прямыми CD и EF (рис. 93, а);

б) плоскости α (рис. 93, б);

в) плоскости β (рис. 93, в).

96*. Провести через точку A плоскость параллельно плоскости, заданной точками B, C и D (рис. 94, а).

Решение. Две плоскости параллельны, если две пересекающиеся прямые одной из них соответственно параллельны двум пересекающимся прямым другой плоскости (рис. 94, б).

Для построения искомой плоскости проводим в заданной плоскости две пересекающиеся прямые BD и CD (рис. 94, б и в). Затем через A'' проводим $A''F''$ параллельно $B''D''$ и

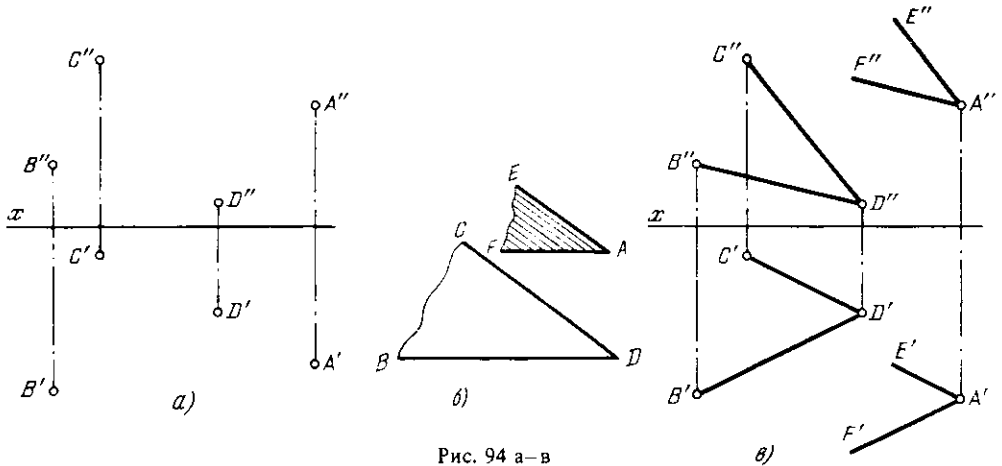


Рис. 94 а-в

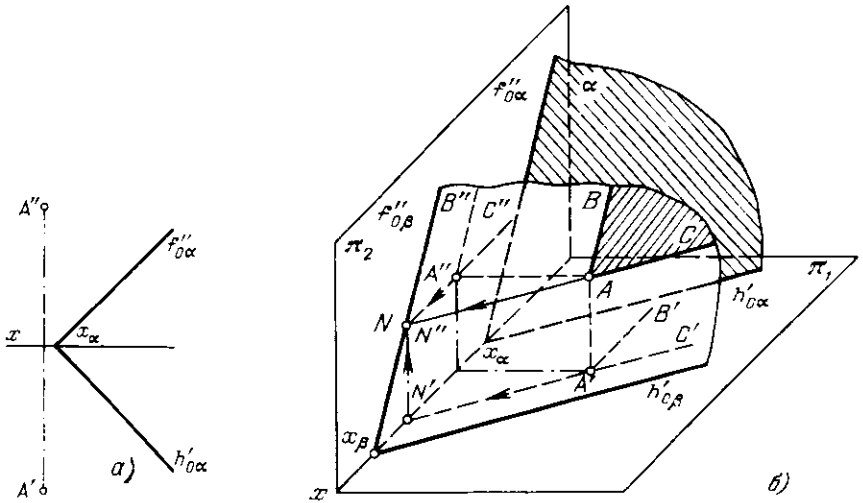


Рис. 95 а, б

$A''E''$ параллельно $C''D''$, а через A' проводим $A'F'$ параллельно $B'D'$ и $A'E'$ параллельно $C'D'$. Прямые AF и AE параллельны прямым BD и CD ; следовательно, параллельны между собой и определяемые ими плоскости.

97*. Через точку A (рис. 95, а) провести плоскость параллельно пл. α .

Решение. Как известно, горизонтالي параллельных плоскостей параллельны между собой, параллельны между собой и фронтали. Также одноименные следы параллельных плоскостей соответственно параллельны между собой (рис. 95, б).

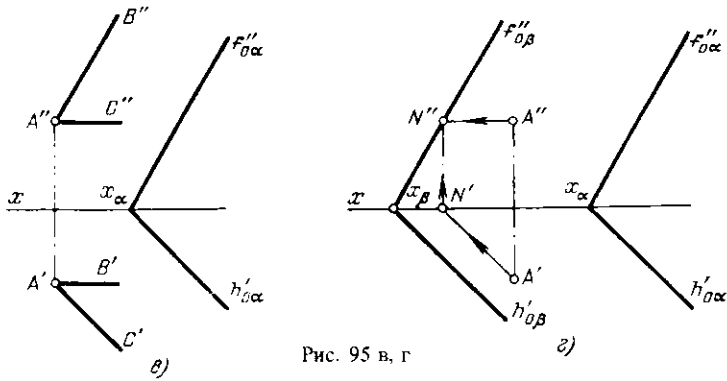


Рис. 95 в, г

На рис. 95. в задаем искомую плоскость двумя прямыми — горизонталью AC и фронталью AB , для чего через A'' проводим $A''B''$ параллельно $f''_{0\alpha}$ и $A''C''$ параллельно оси x , а через точку A' проводим $A'C'$ параллельно $h'_{0\alpha}$ и $A'B'$ параллельно оси x . Так как след $f''_{0\alpha}$ есть одна из фронталей пл. α , а след $h'_{0\alpha}$ — одна из ее горизонталей, то получаем параллельность горизонталей и параллельность фронталей одной и другой плоскостей, т.е. параллельность этих плоскостей. На рис. 95. г показано построение для искомой плоскости ее следов $f''_{0\beta}$ и $h'_{0\beta}$. Для их построения проводим через точку A горизонталь искомой плоскости параллельно следу $h'_{0\alpha}$ и находим фронт. след $N(N', N'')$ этой горизонтали. Теперь через N'' проводим $f''_{0\beta} \parallel f''_{0\alpha}$ — находим точку x_β на оси x и проводим след $h'_{0\beta}$ параллельно $h'_{0\alpha}$.

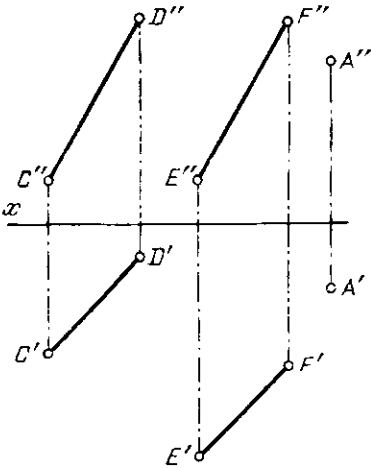


Рис. 96

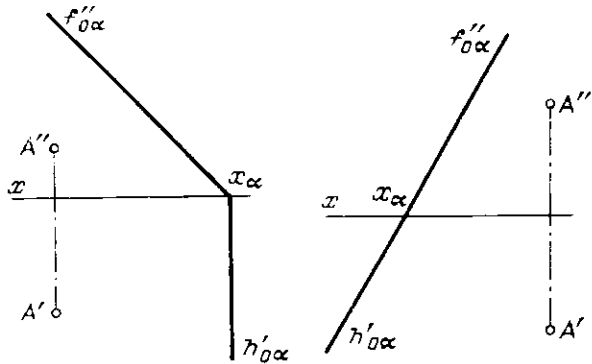


Рис. 97

Рис. 98

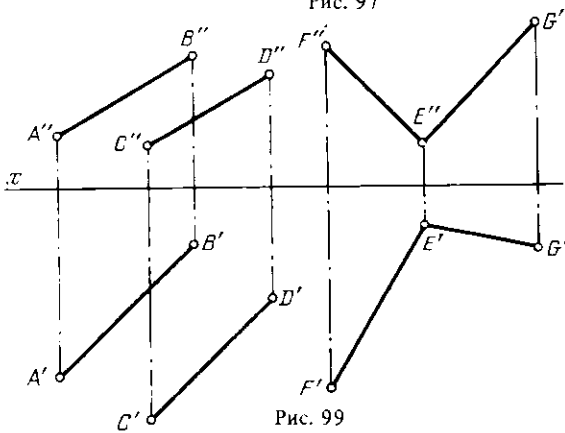


Рис. 99

98. Через точку A (рис. 96) провести плоскость, параллельную плоскости, заданной параллельными прямыми CD и EF ; выразить искомую плоскость двумя пересекающимися прямыми.

99. Через точку A (рис. 97) провести плоскость параллельно пл. α ; выразить искомую плоскость ее следами.

100. Через точку A (рис. 98) провести плоскость параллельно пл. α . Дать ответы: а) выразить пл. горизонталью и фронталью; б) следами.

101. Определить, параллельны ли плоскости, из которых одна задана параллельными прямыми AB и CD , а другая — пересекающимися прямыми EF и EG (рис. 99).

§ 16. Перпендикулярность прямой и плоскости и двух плоскостей

102*. Провести через точку A перпендикуляр к плоскости, заданной прямыми AB и AC (рис. 100, а).

Решение. Известно, что фронт. проекция перпендикуляра к плоскости перпендикулярна к фронт. проекции фронтали плоскости, а горизонтальная — к горизонт. проекции горизонтали плоскости. На чертеже (рис. 100, б) проводим фронт. проекцию перпендикуляра $A''E''$ перпендикулярно к фронт. проекции фронтали $A''B''$, а горизонтальную его проекцию $A'E'$ перпендикулярно к проекции $A'C'$ горизонтали.

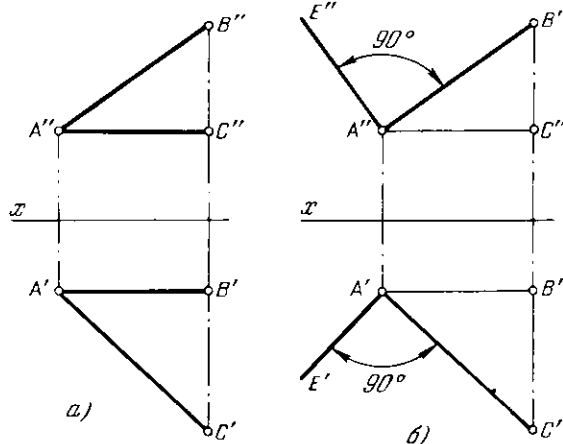


Рис. 100 а, б

103. Через точку E провести перпендикуляр к плоскости, заданной параллельными прямыми AB и CD (рис. 101).

104. Через точку A провести перпендикуляр к пл. α (рис. 102).

105. Через точку A плоскости α провести перпендикуляр к плоскости и отложить на нем отрезок, равный l (рис. 103).

106*. Провести через точку A плоскость перпендикулярно к отрезку AB (рис. 104, а). Плоскость задать главными линиями и следами.

Решение. Проводим через точку A (рис. 104, б) фронталь AC и горизонталь AD искомой плоскости перпендикулярно к AB . Фронт. проекция $A''C''$ фронтали перпендикулярна к $A''B''$, а горизонт. проекция $A'D'$ горизонтали перпендикулярна к $A'B'$. Прямые AC и AD задают искомую плоскость. Чтобы задать плоскость следами (рис. 104, в), строим проекции N' и N'' фронт. следа ее горизонтали AD . Через N'' проводим след f''_{α} перпендикулярно к $A''B''$, а через x_{α} след h'_{α} перпендикулярно к $A'B'$.

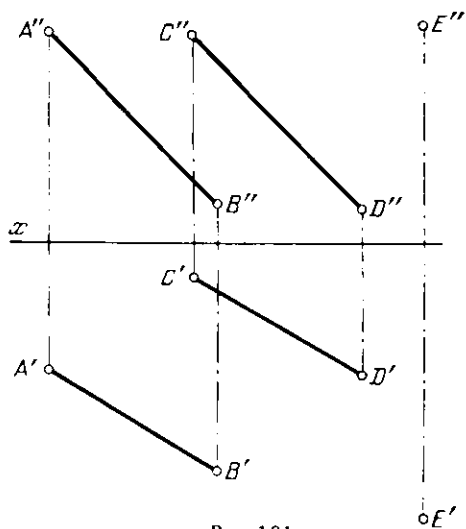


Рис. 101

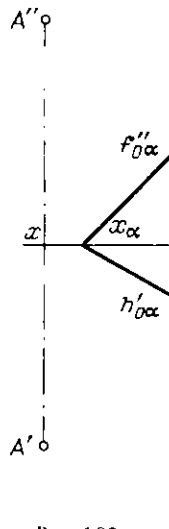


Рис. 102

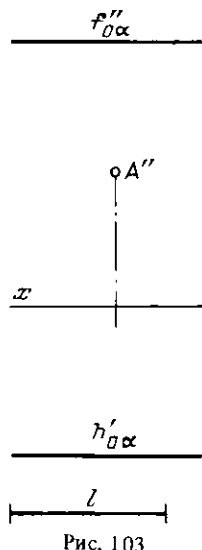
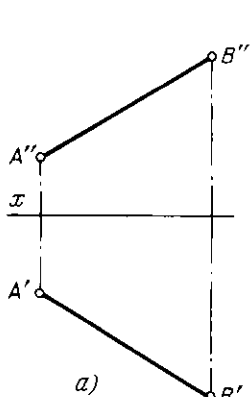
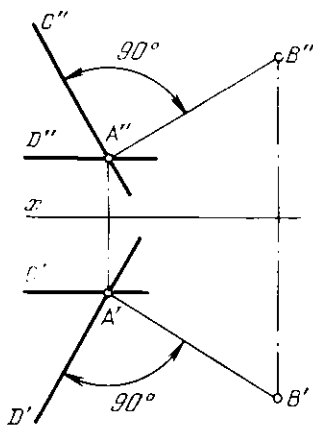


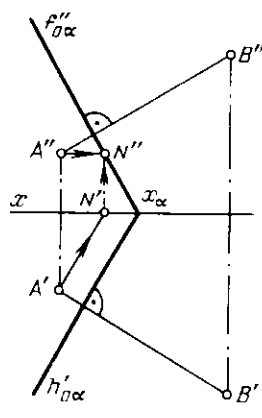
Рис. 103



a)



б)



в)

Рис. 104 а-в

107. Провести через точку A плоскость перпендикулярно к отрезку BC (рис. 105); следов плоскости не строить.

108*. Провести через прямую AB плоскость перпендикулярно к плоскости треугольника CDE (рис. 106, а).

Решение. Если плоскость содержит в себе перпендикуляр к другой плоскости, то эти плоскости взаимно перпендикулярны. Чтобы провести через AB искомую плоскость, надо из какой-либо точки прямой, например B , провести перпендикуляр к данной плоскости. Так как в треугольнике CDE сторона CD является фронталью, а CE – горизонталью (рис. 106, а), то, проведя $B''F'' \perp C''D''$, $B'F' \perp C'E'$ (рис. 106, б), получим перпендикуляр к плоскости треугольника CDE . Прямые AB и BF определяют искомую плоскость.

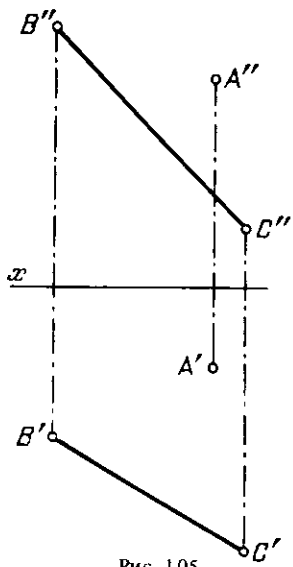


Рис. 105

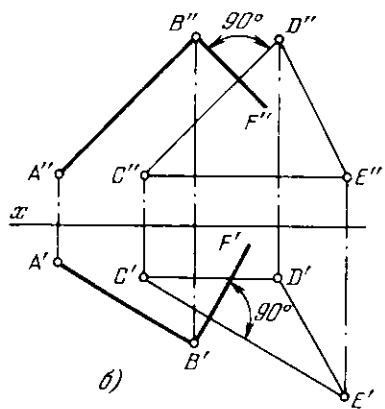
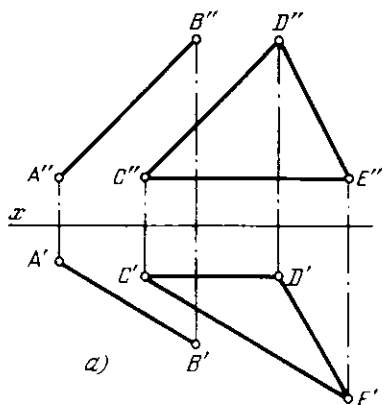


Рис. 106 а, б

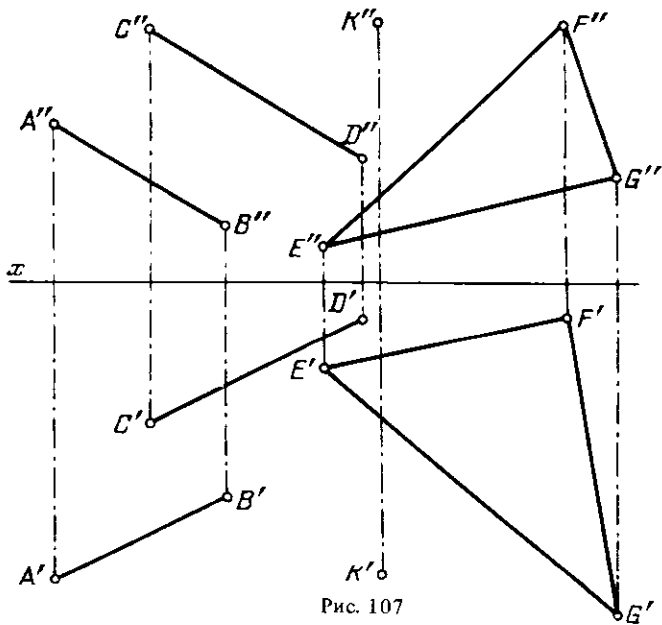


Рис. 107

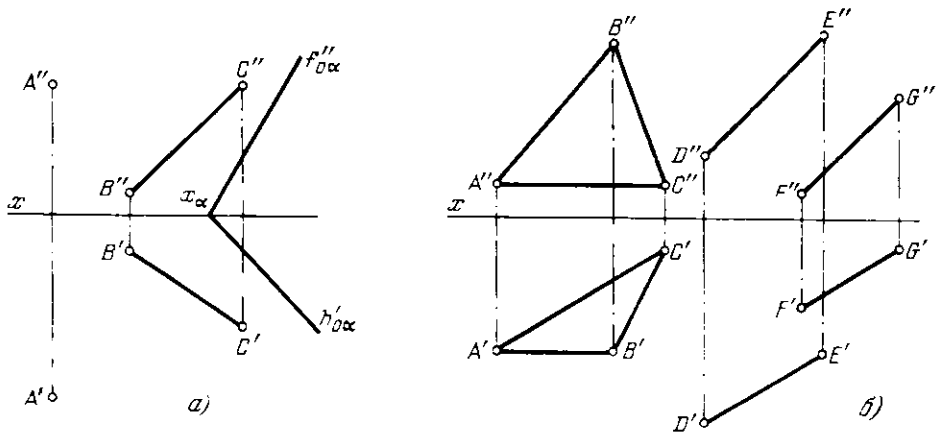


Рис. 108 а, б

109. Через точку K провести плоскость перпендикулярно к двум данным плоскостям, из которых одна задана параллельными прямыми AB и CD , а другая - треугольником EFG (рис. 107).

110. Определить, будут ли две плоскости взаимно перпендикулярны: а) плоскость, заданная прямой BC и точкой A , и плоскость α (рис. 108, а); б) плоскость треугольника ABC и плоскость, заданная прямыми DE и FG (рис. 108, б).

§ 17. Смешанные задачи без применения способов преобразования чертежа

111*. Провести перпендикуляр из точки A к плоскости, заданной: а) треугольником BCD (рис. 109, а); б) следами (рис. 109, б); в) треугольником BCD (рис. 109, в). Во всех случаях построить основание перпендикуляра на заданной плоскости.

Решение. а) Через точку B (рис. 109, а) проводим фронталь $B-1$ заданной плоскости, а через точку D - горизонталь $D-2$. Фронт. проекция искомого перпендикуляра

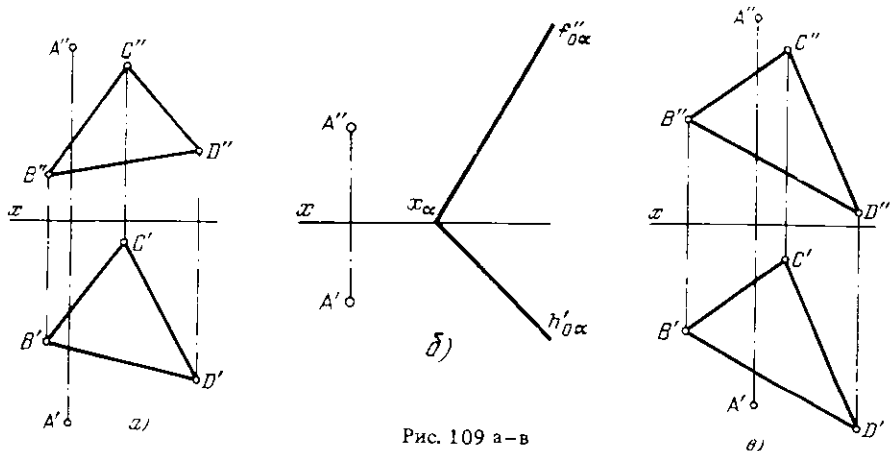


Рис. 109 а-в

проходит через A'' перпендикулярно к $B''1''$, а горизонтальная - через A' перпендикулярно к $D'2'$. Основание перпендикуляра (рис. 109, д) определяется как точка пересечения этого перпендикуляра с плоскостью. Закладываем его в горизонтально-проецирующую плоскость γ (задаем ее следом $h'_0\gamma$) и находим линию пересечения этой плоскости с плоскостью треуголь-

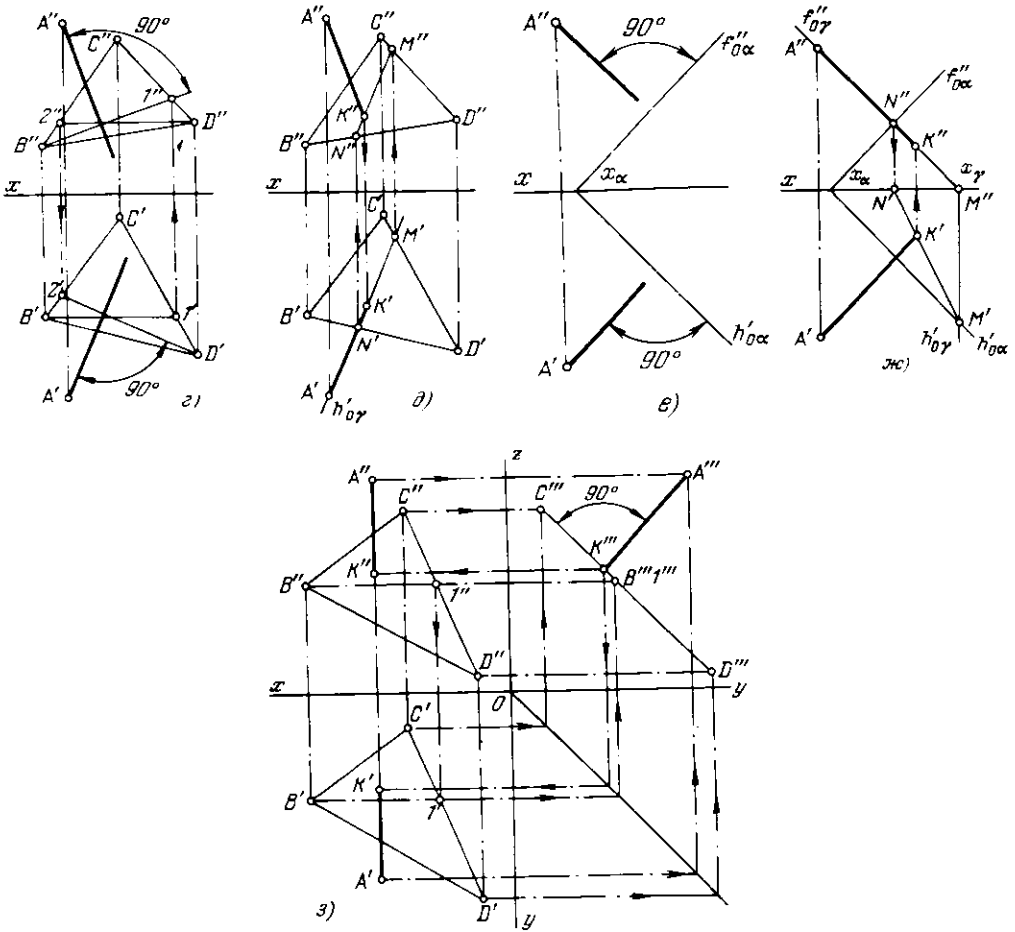


Рис. 109 г-з

ника – прямую NM . Получаем точку K'' – фронт. проекцию основания перпендикуляра – и по K'' находим K' .

б) На рис. 109, *е* фронт. проекция перпендикуляра проведена под прямым углом к следу f''_{α} , а горизонтальная – под прямым углом к h'_{α} . Для построения основания перпендикуляра заключаем его (рис. 109, *ж*) во фронтально-проецирующую плоскость γ , строим линию пересечения плоскостей γ и α – прямую MN . Получаем точку K' – горизонт. проекцию основания перпендикуляра; по ней находим K'' .

в) Проведя горизонталь $B-I$ (рис. 109, *з*), видим, что эта прямая параллельна оси x . Из этого заключаем, что плоскость треугольника является профильно-проецирующей. Следовательно, перпендикуляр к ней – прямая профильная.

Строим профильные проекции треугольника и точки A . Из A''' проводим перпендикуляр на $C'''D'''$. Точка K''' – профильная проекция основания перпендикуляра. По K''' находим K'' и K' на одноименных с ними проекциях искомого перпендикуляра.

112. Найти основания перпендикуляров, проведенных из точки A :

- к плоскости, заданной параллельными прямыми BC и DE (рис. 110, *а*);
- к плоскости грани SCD пирамиды $SBCD$ (рис. 110, *б*);
- к плоскости грани SBD пирамиды $SBCD$ (рис. 110, *в*).

113*. Построить на плоскости, заданной параллельными прямыми CD и EF , геометрическое место оснований перпендикуляров, проведенных из точек прямой AB к этой плоскости (рис. 111, *а*).

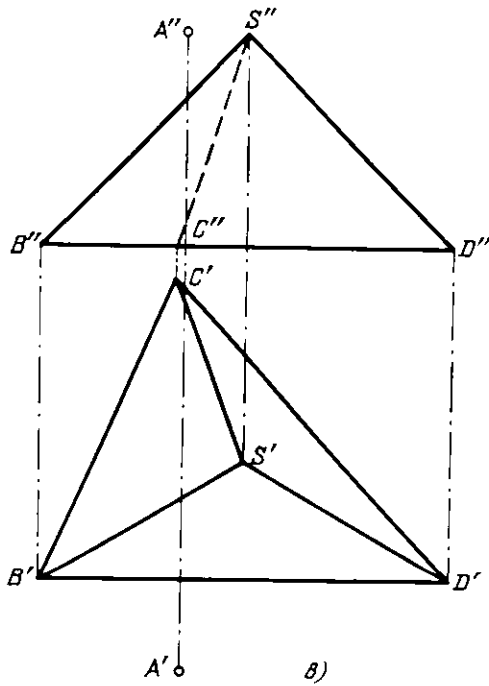
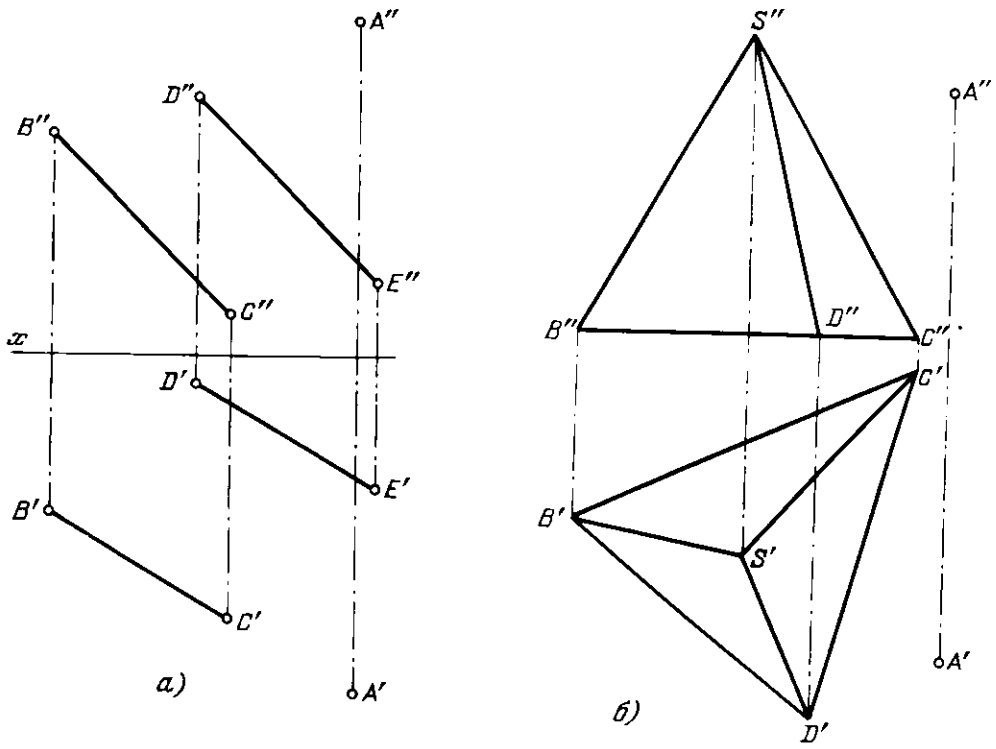


Рис. 110 а-в

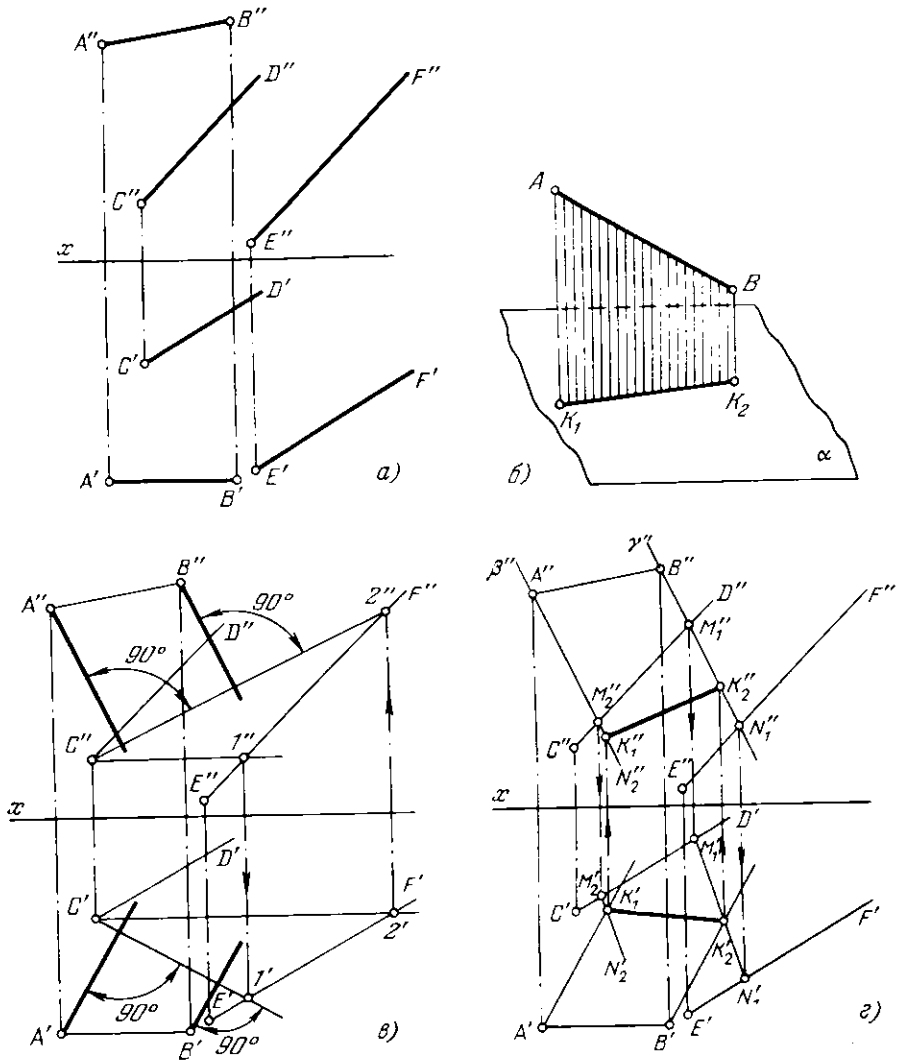


Рис. 111 а-г

Решение. Искомым геометрическим местом точек является (рис. 111, б) линия пересечения K_1K_2 плоскостей: 1) заданной и 2) перпендикулярной к ней, проведенной через прямую AB .

Проводим (рис. 111, в) в заданной плоскости горизонталь $C-1$ и фронталь $C-2$. Фронт. проекции перпендикуляров перпендикулярны к $C''2''$, а горизонтальные — к $C'1'$.

Для построения искомого геометрического места точек находим (рис. 111, г) точки K_1 и K_2 пересечения проведенных перпендикуляров с заданной плоскостью. Прямая K_1K_2 и есть искомое геометрическое место.

114. Построить на плоскости, заданной треугольником CDE , геометрическое место оснований перпендикуляров, проведенных из точек прямой AB к этой плоскости (рис. 112).

115*. Из вершины A провести перпендикуляр к плоскости треугольника ABC (рис. 113, а) и отложить на нем отрезок длиной l .

Решение. Для построения перпендикуляра проводим (рис. 113, б) горизонталь $A-1$ и фронталь $A-2$ плоскости треугольника; фронт. проекция перпендикуляра перпендикулярна к $A''2''$, а горизонтальная — к $A'1'$.

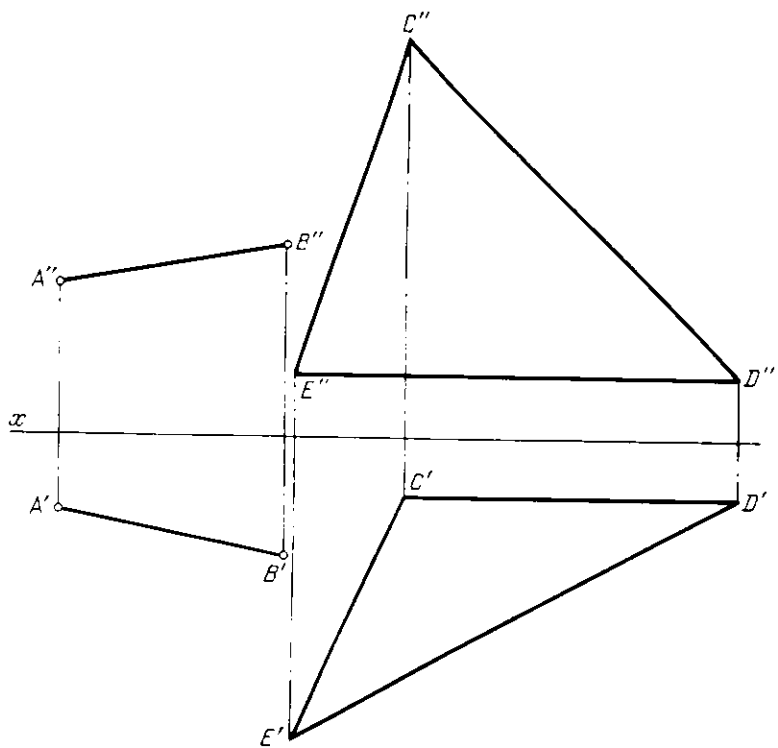


Рис. 112

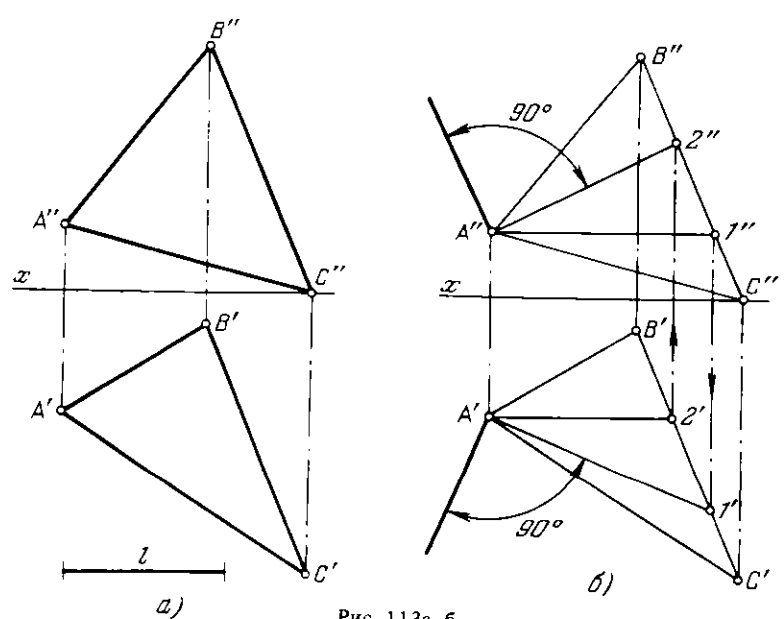


Рис. 113а, б

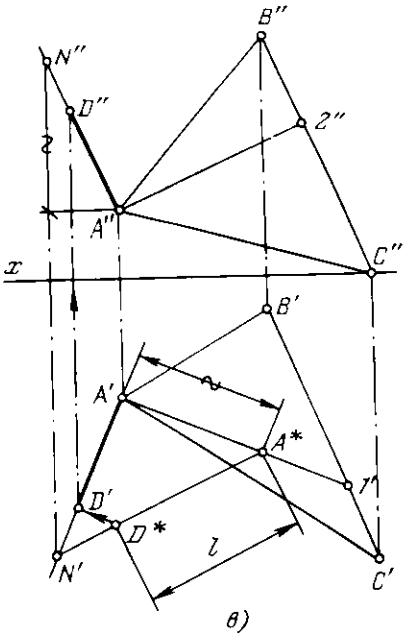


Рис. 113 в

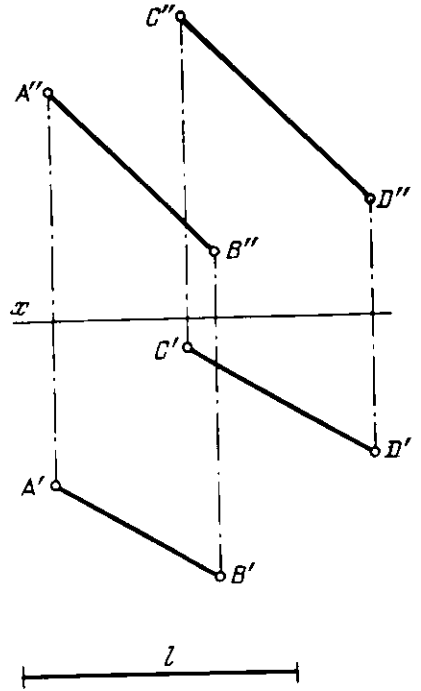


Рис. 114

Дальнейшее построение (рис. 113, в) аналогично выполненному в задаче 20. Прямые $A''D''$ и $A'D'$ являются проекциями искомого отрезка. Эта задача имеет два решения. Во втором случае надо продолжить перпендикуляр в другую сторону от заданной плоскости.

116. Из точки D провести перпендикуляр к плоскости, заданной параллельными прямыми AB и CD , и отложить на нем отрезок длиной l (рис. 114).

117*. Построить геометрическое место точек, удаленных от некоторой плоскости на расстояние l . Дать решение для случаев, когда плоскость задана треугольником ABC (рис. 115, а) или следами (рис. 115, б).

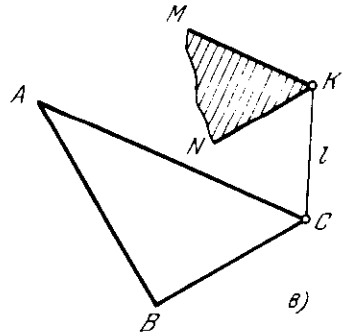
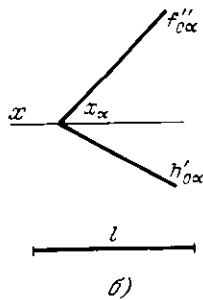
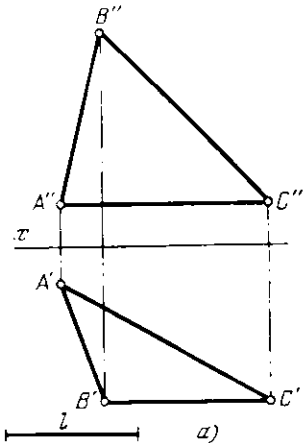


Рис. 115а-в

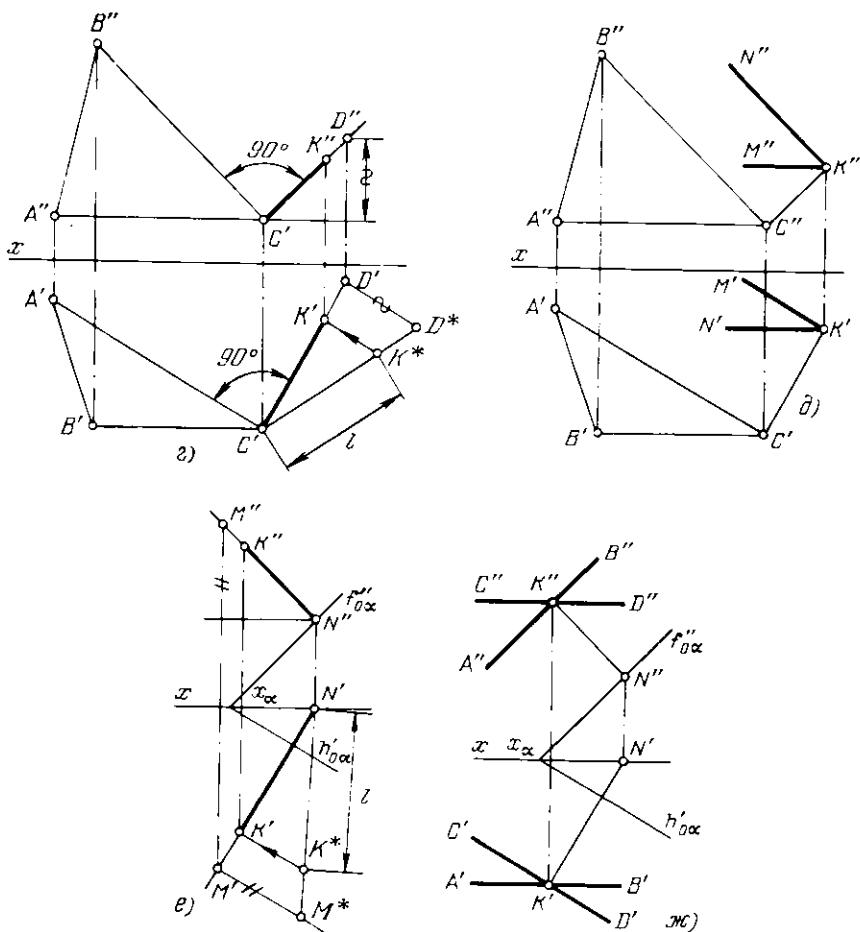


Рис. 115г-ж

Решение. Искомым геометрическим местом точек являются две плоскости, параллельные данной и расположенные по обе стороны от нее на расстоянии l .

На рис. 115. в показана одна из таких плоскостей. Для построения этой плоскости (рис. 115, г) проводим из любой точки данной плоскости (например C) перпендикуляр к плоскости (обратите внимание на то, что в заданном треугольнике сторона AC является горизонталью, а BC — фронталью) и откладываем на нем отрезок KC длиной l . Затем через точку K (рис. 115, д) проводим прямые KV и KM , параллельные хотя бы сторонам BC и AC треугольника ABC .

Если плоскость задана следами (рис. 115, б), то удобно взять точку на одном из следов. На рис. 115. е взята точка N на следе f''_{α} . Проводя из этой точки перпендикуляр к пл. α и отложив на нем отрезок, равный l , проводим через точку K (рис. 115, ж) горизонталь CD и фронталь AB искомой плоскости.

118. Построить геометрическое место точек, удаленных от пл. α (рис. 116) на расстояние l . Дать два решения.

119*. Провести перпендикуляр к прямой BC из ее точки A до пересечения его с прямой EF (рис. 117. а).

Решение. Геометрическим местом перпендикуляров к прямой BC , проведенных из точки A , является пл. α , проходящая через точку A перпендикулярно к прямой BC (рис. 117, б). Точка K пересечения этой плоскости с прямой EF является точкой пересечения искомого перпендикуляра с прямой EF .

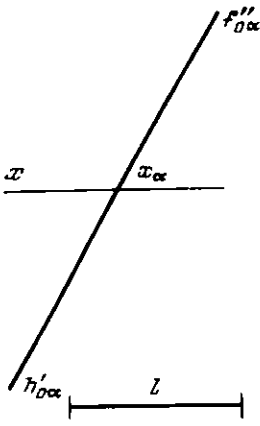


Рис. 116

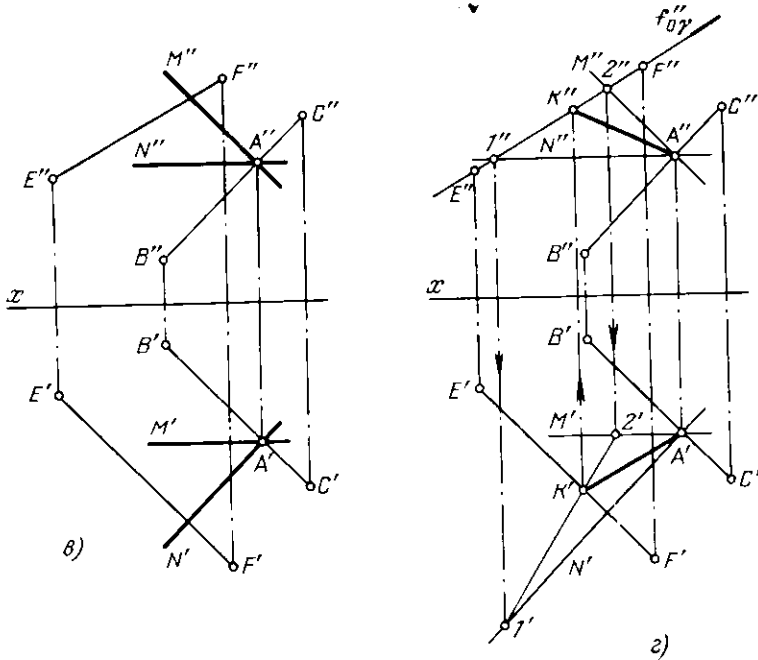
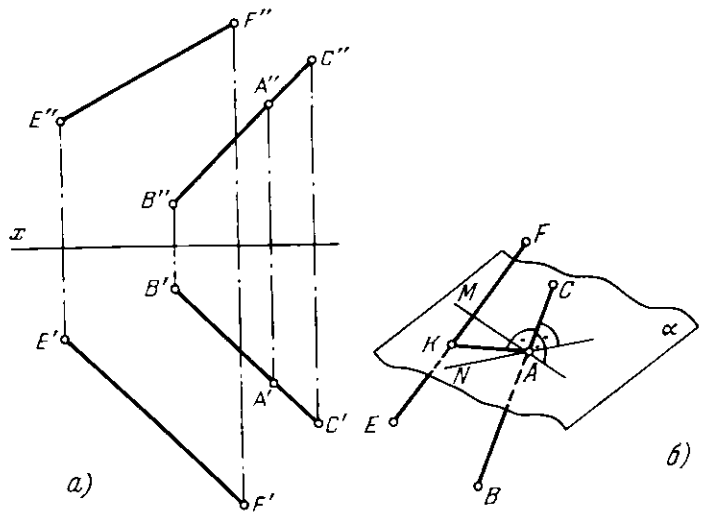


Рис. 117 а-г

На рис. 117, в задаем плоскость, перпендикулярную к BC . Фронталью AM и горизонталью AN . Определяем точку K пересечения прямой EF с этой плоскостью (рис. 117, г), заключая EF во фронтально-проецирующую плоскость γ (задаем ее следом $f''_{0\gamma}$); $K''A''$ и $K'A'$ – проекции искомого перпендикуляра.

120. Из точки A провести перпендикуляр к прямой BC до пересечения его с прямой EF (рис. 118).

121*. Через точку A провести прямую, пересекающую прямые BC и ED (рис. 119, а).

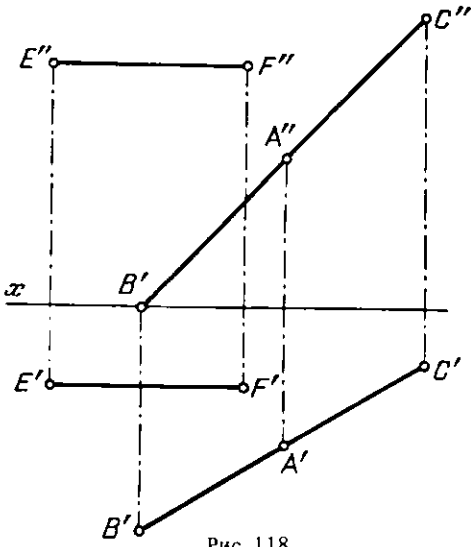
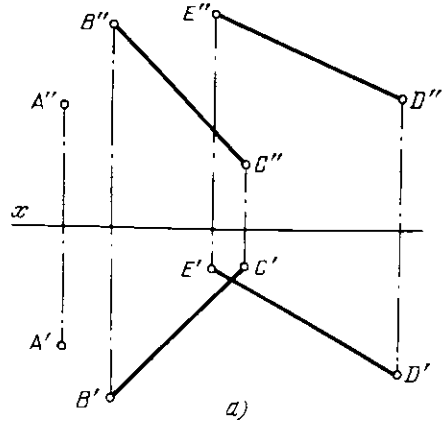
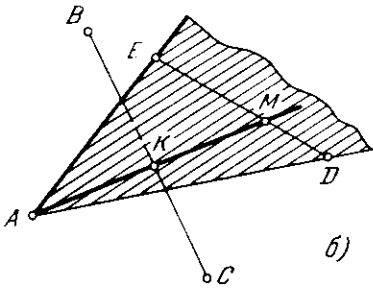


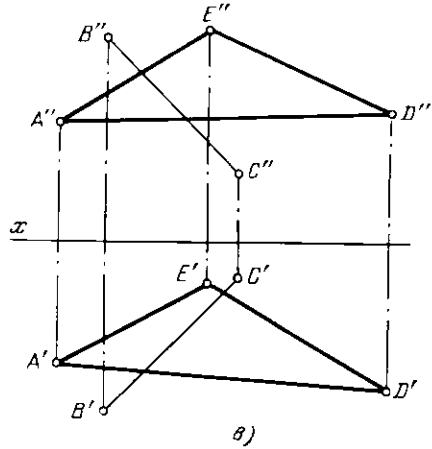
Рис. 118



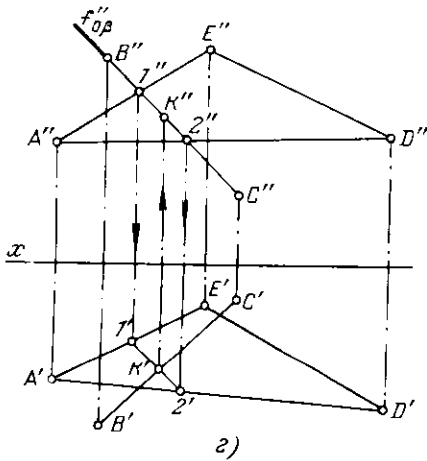
а)



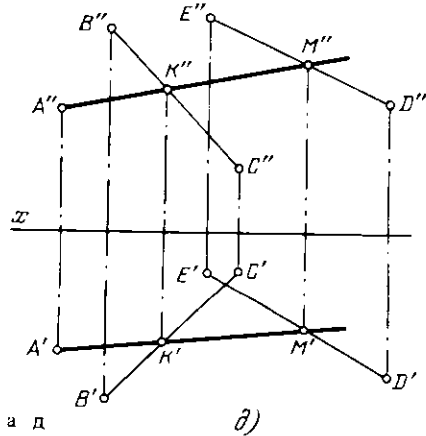
б)



г)



з)



д)

Рис. 119 а д

Решение. Геометрическим местом прямых, проходящих через точку A и пересекающих прямую ED , является плоскость, задаваемая этими элементами (рис. 119, б). Если построить такую плоскость и найти точку K ее пересечения со второй прямой (BC), то искомая прямая пройдет через точки A и K . Такое построение выполнено на рис. 119, в и г, где сначала плоскость, определяемая точкой A и прямой ED , выражена треугольником AED , а затем найдена точка K пересечения второй прямой (BC) с плоскостью этого треугольника.

Искомая прямая проходит через точки A и K и пересекает прямую ED в точке M (рис. 119, д). Конечно, при точном построении проекции M' и M'' должны оказаться на линии связи $M''M'$, перпендикулярных к оси x .

Данную задачу можно решить и иначе; взять две плоскости — одну, определяемую A и прямой ED (как это сделано на рис. 119, в), а другую — точкой A и прямой BC . Линия пересечения этих двух плоскостей и будет искомой прямой, проходящей через точку A и пересекающей BC и ED .

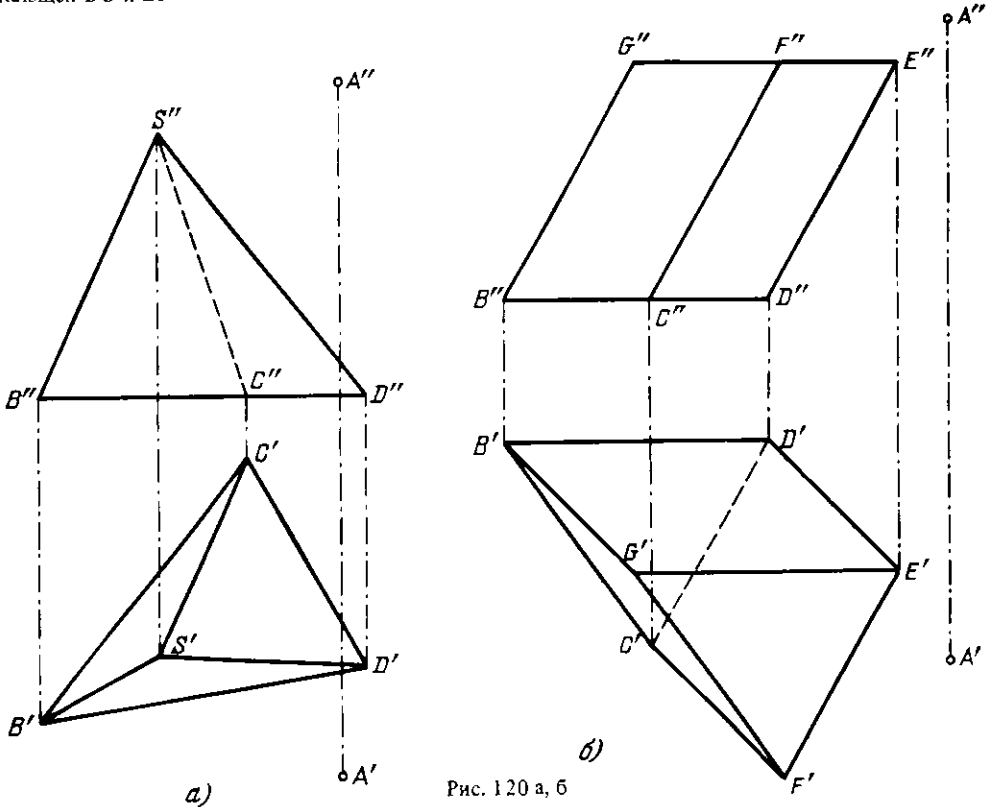


Рис. 120 а, б

122. Через точку A провести прямую, пересекающую:

а) ребро SD и сторону BC основания пирамиды $SBDC$ (рис. 120, а),

б) ребро BG и сторону EF верхнего основания призмы (рис. 120, б).

123*. Построить геометрическое место точек, равноудаленных от точек A и B (рис. 121. а).

Решение. Искомым геометрическим местом является плоскость, проходящая через середину отрезка AB перпендикулярно к нему.

Делим проекции отрезка AB пополам (рис. 121. б). Через середину (точку C) проводим горизонталь $CD \perp AB$ и фронталь $CE \perp AB$ (рис. 121, а) искомой плоскости. Чтобы выразить эту плоскость следами, надо задаться осью проекций и построить хотя бы фронт. след горизонтали (точка N , рис. 121. г) и через него провести соответствующий след пл. α . След $f'_{\alpha} \perp A''B''$, а след $h'_{\alpha} \perp A'B'$ (или $\parallel N'C'$).

124. Построить геометрическое место точек, равноудаленных от точек A и B (рис. 122, а и б). В первом случае ответ дать без следов, а во втором — в следах.

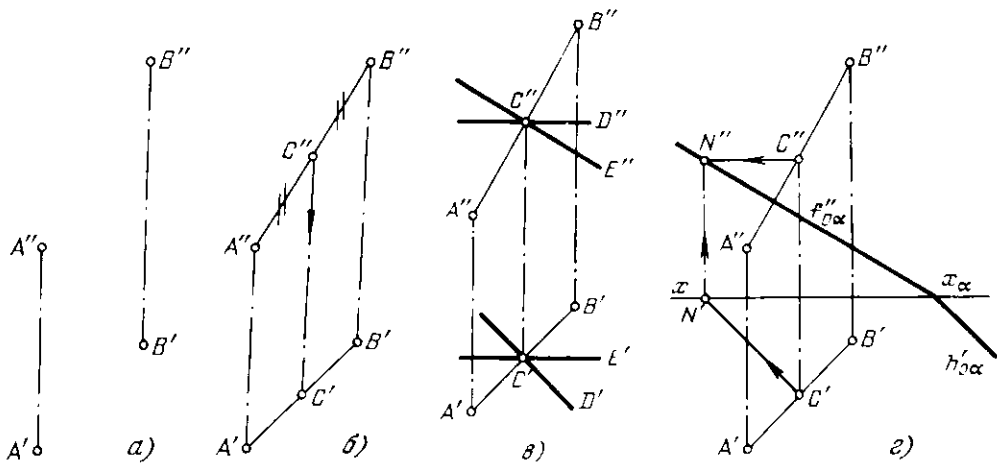


Рис. 121 а г

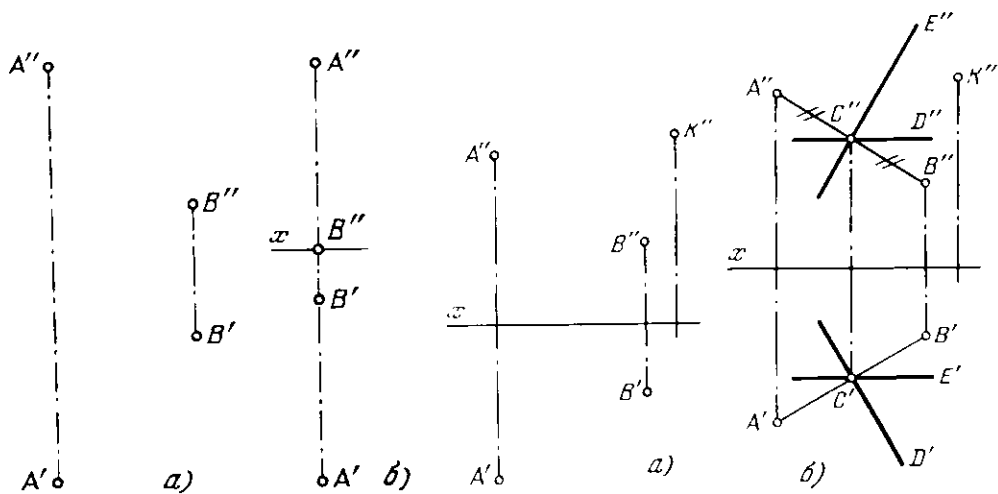


Рис. 122 а, б

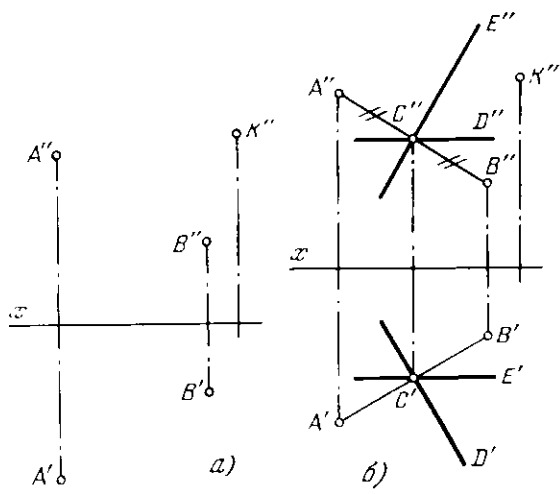


Рис. 123 а, б

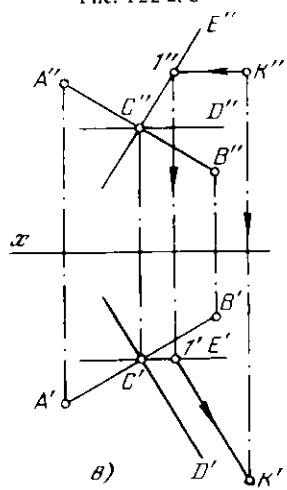


Рис. 123в

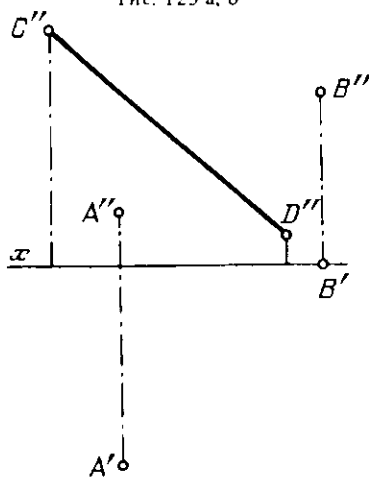


Рис. 124

125*. Построить недостающую проекцию точки K , равноудаленной от точек A и B (рис. 123, а).

Решение. Так как геометрическим местом всех точек пространства, равноудаленных от точек A и B , является плоскость, проходящая через середину отрезка AB перпендикулярно к нему, то точка K должна принадлежать этой плоскости.

На рис. 123, б такая плоскость определена фронталью CE и горизонталью CD , проходящими через середину отрезка AB .

Проводим (рис. 123, в) через K'' фронт. проекцию $K''I''$ горизонтали плоскости и строим ее горизонт. проекцию, на которой отметим точку K' - искомую проекцию точки K .

126. Построить недостающую проекцию отрезка CD , каждая точка которого равноудалена от точек A и B (рис. 124).

127*. Построить на плоскости геометрическое место точек, равноудаленных от двух данных точек A и B : а) плоскость задана параллельными прямыми (рис. 125, а); б) плоскость задана следами (рис. 125, б).

Решение. Так как геометрическим местом точек, равноудаленных от точек A и B является плоскость, проходящая через середину отрезка AB перпендикулярно к нему (рис. 125, в), то искомым геометрическим местом будет линия пересечения этой плоскости с заданной (прямая MN).

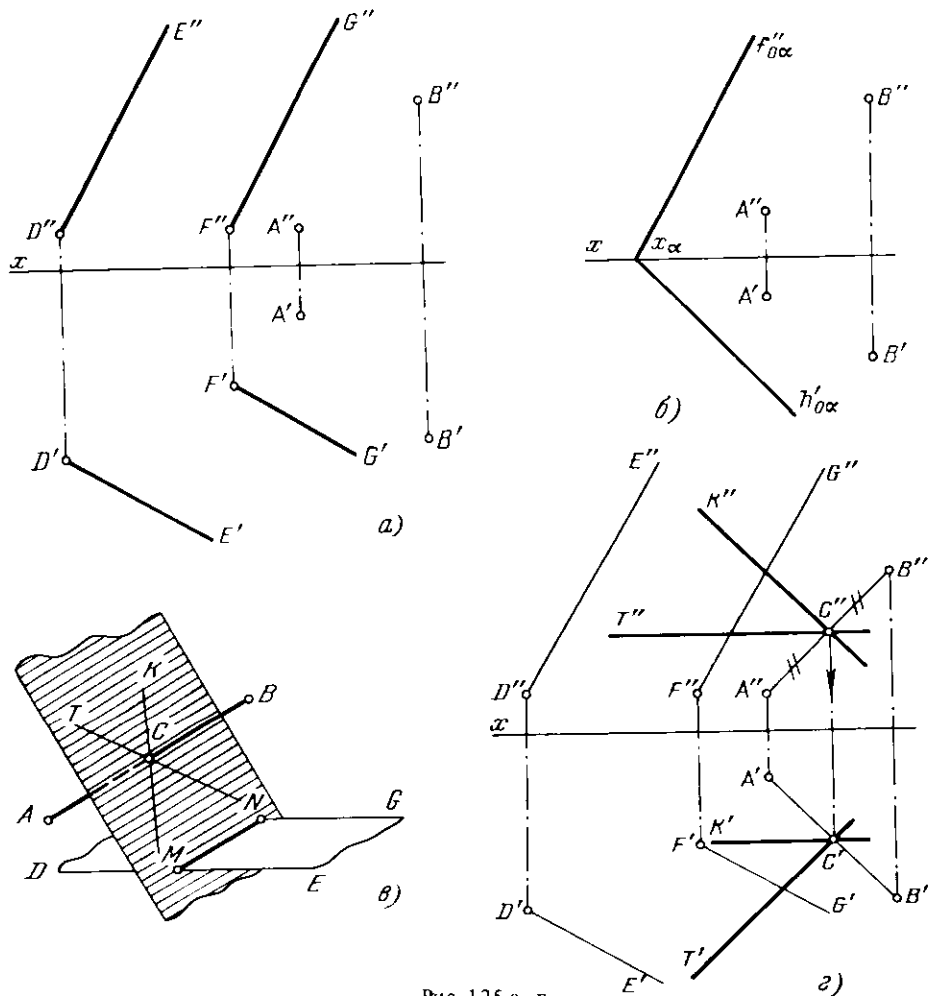


Рис. 125 а-г

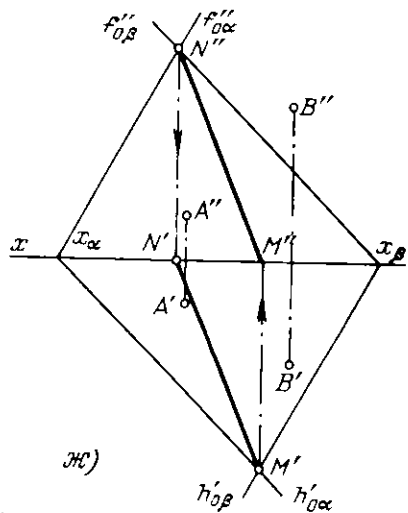
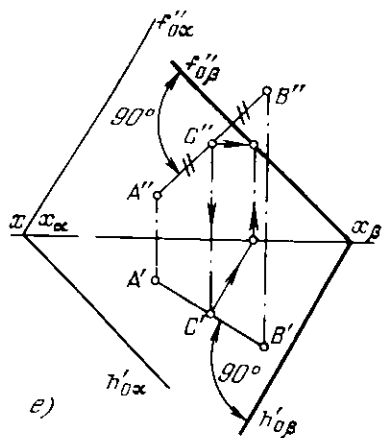
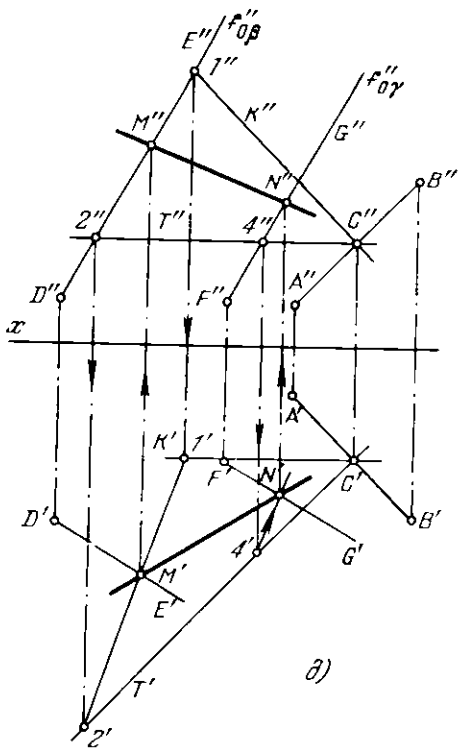


Рис. 125 д-ж

На рис. 125, е плоскость, перпендикулярная к отрезку AB в его середине, выражена фронталью KC и горизонталью TC .

Теперь надо найти линию пересечения двух плоскостей, что сделано путем нахождения точек пересечения прямых DE и FG (рис. 125, д), определяющих заданную плоскость, с плоскостью, выраженной горизонталью TC и фронталью KC (см. задачу 86).

На рис. 125, е плоскость β , перпендикулярная к отрезку AB в его середине, выражена следами. Находим точки M и N пересечения одноименных следов плоскостей α и β и проводим через них искомую прямую MN (рис. 125, ж).

128. Построить геометрическое место точек, равноудаленных от точек A и B :

а) на плоскости, заданной треугольником CDE (рис. 126, а);

б) на пл. α (рис. 126, б).

129*. Даны плоскость треугольника CDE и прямая AB (рис. 127, а). Провести в этой плоскости прямую, пересекающую AB под прямым углом.

Решение. Искомая прямая получится (рис. 127, б) как линия пересечения плоскости треугольника (α) с пл. β , перпендикулярной к AB и проходящей через точку (K) пересечения AB с заданной плоскостью.

Поэтому находим (рис. 127, в) точку K пересечения прямой AB с плоскостью треугольника CDE . В качестве вспомогательной плоскости взята фронтально-проецирующая плоскость

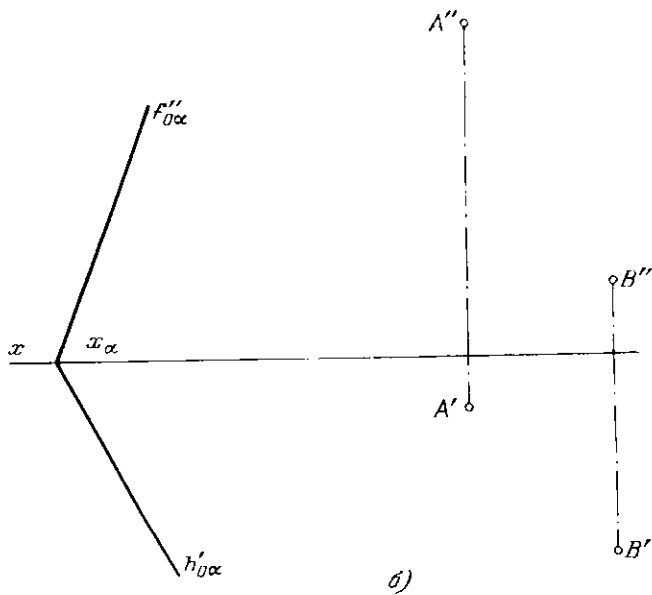
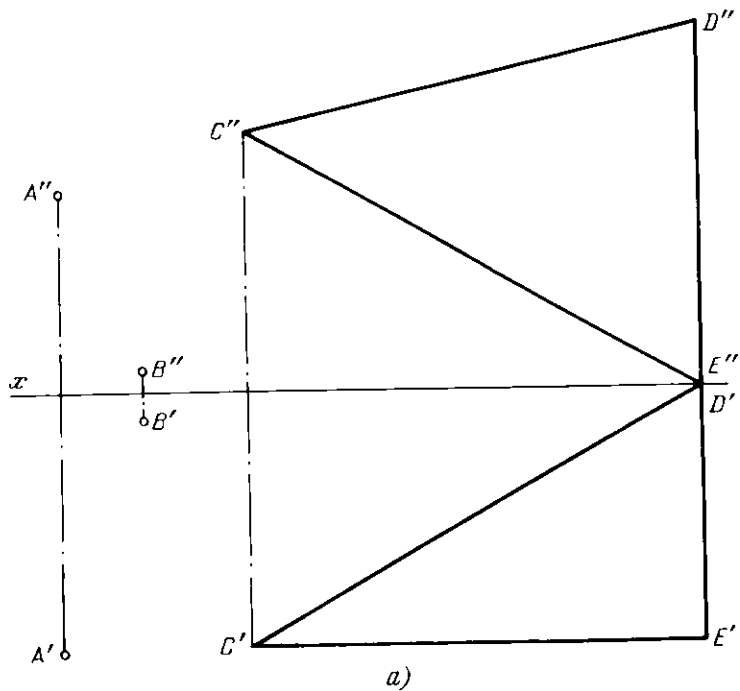


Рис. 126 а, б

γ , проведенная через прямую AB . Найдя проекции K' и K'' , проводим через них проекции горизонтали и фронтали плоскости, перпендикулярной к AB (рис. 127, з). Для построения искомой линии пересечения плоскостей находим (рис. 127, д) точку (M'' ; M') пересечения стороны ED треугольника с проведенной через точку K плоскостью. Прямая MK ($M''K''$; $M'K'$) является искомой прямой.

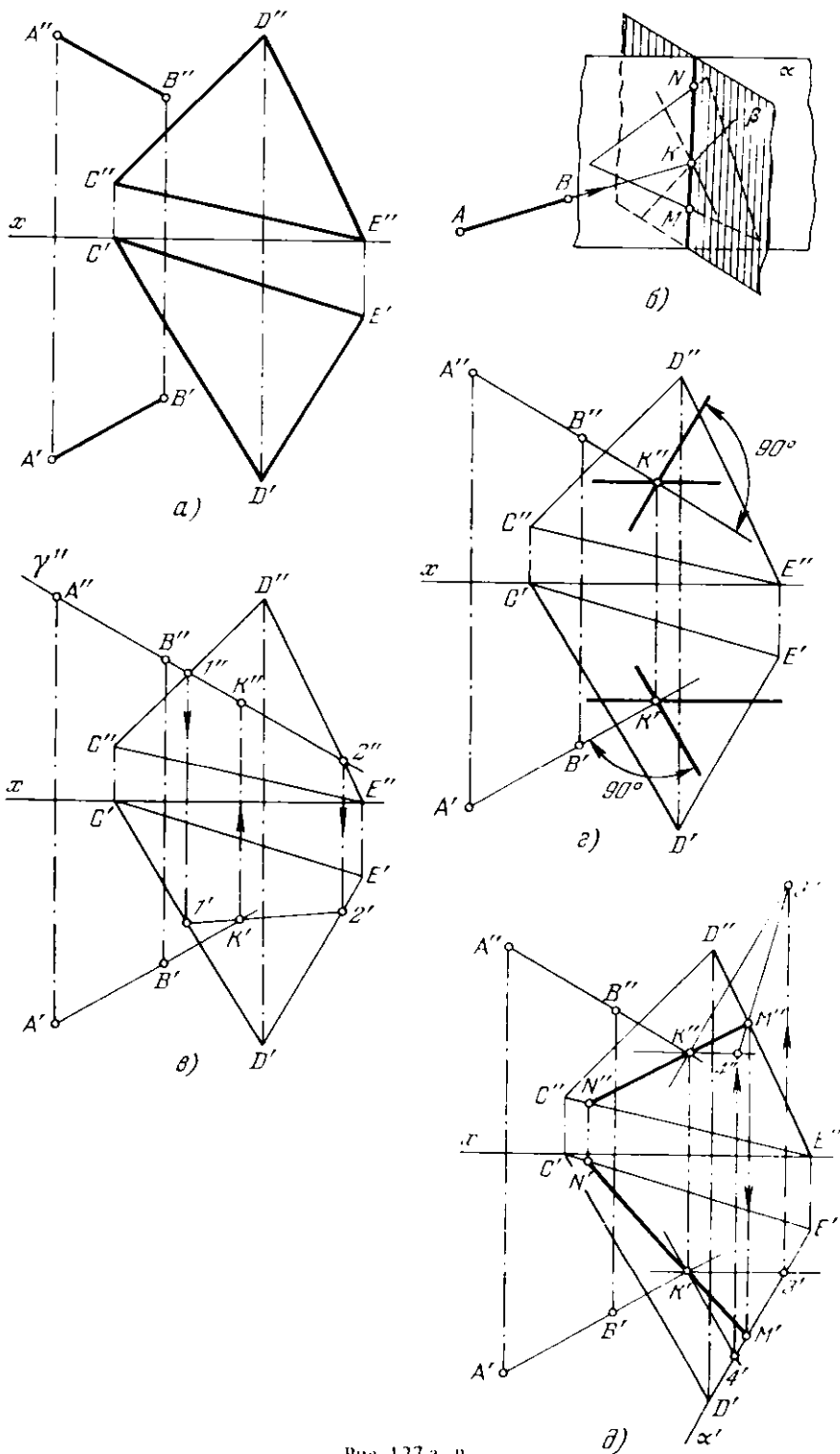


Рис. 127 а д

130. Даны прямая AB и плоскость, заданная параллельными прямыми CD и EF . Провести в этой плоскости прямую, пересекающую прямую AB под прямым углом (рис. 128).

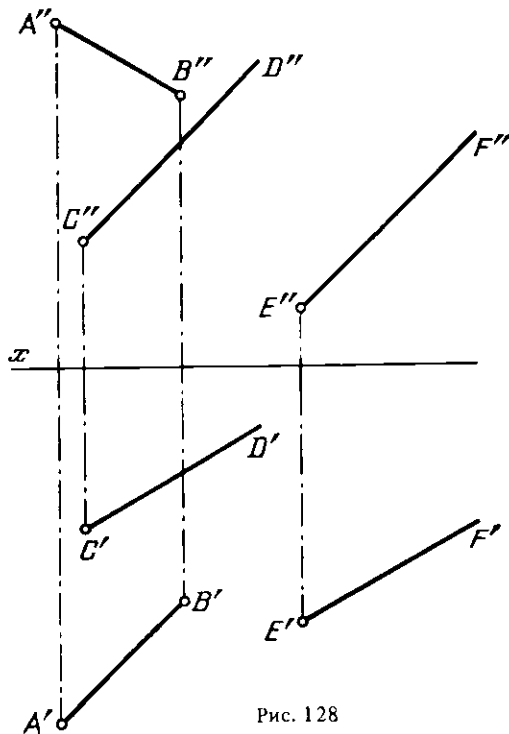


Рис. 128

131. Даны прямая AB и пл. α . Провести в этой плоскости прямую, пересекающую прямую AB под прямым углом (рис. 129).

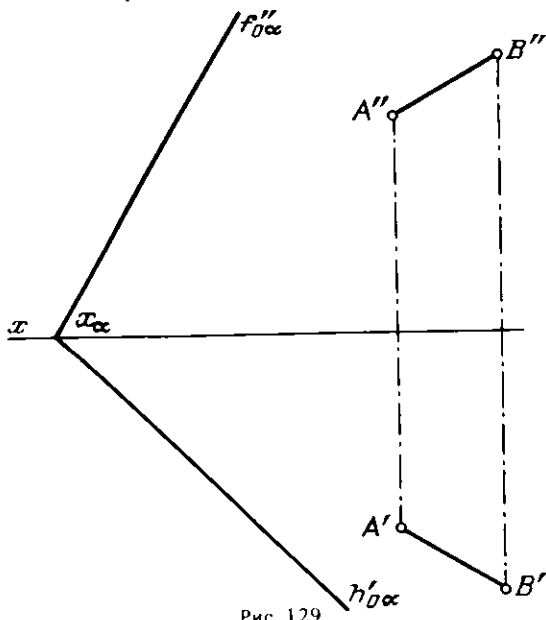


Рис. 129

132*. Даны плоскость треугольника LMV и прямые AE и FG . Построить параллелограмм, у которого сторона AD лежит на прямой AE , сторона AB параллельна плоскости треугольника, вершина B принадлежит прямой FG , диагональ BD перпендикулярна к стороне AD (рис. 130. а).

Решение. Наметим план решения (рис. 130. б и в).

1. Через точку A провести плоскость (α) , параллельную плоскости треугольника LMV .
2. Найти точку пересечения (B) прямой FG с пл. α .
3. Через точку B провести плоскость (β) , перпендикулярную к прямой AE .
4. Найти точку пересечения (D) прямой AE с пл. β .
5. Провести отрезок AB и параллельно ему прямую через точку D , а через B — прямую, параллельную AD .

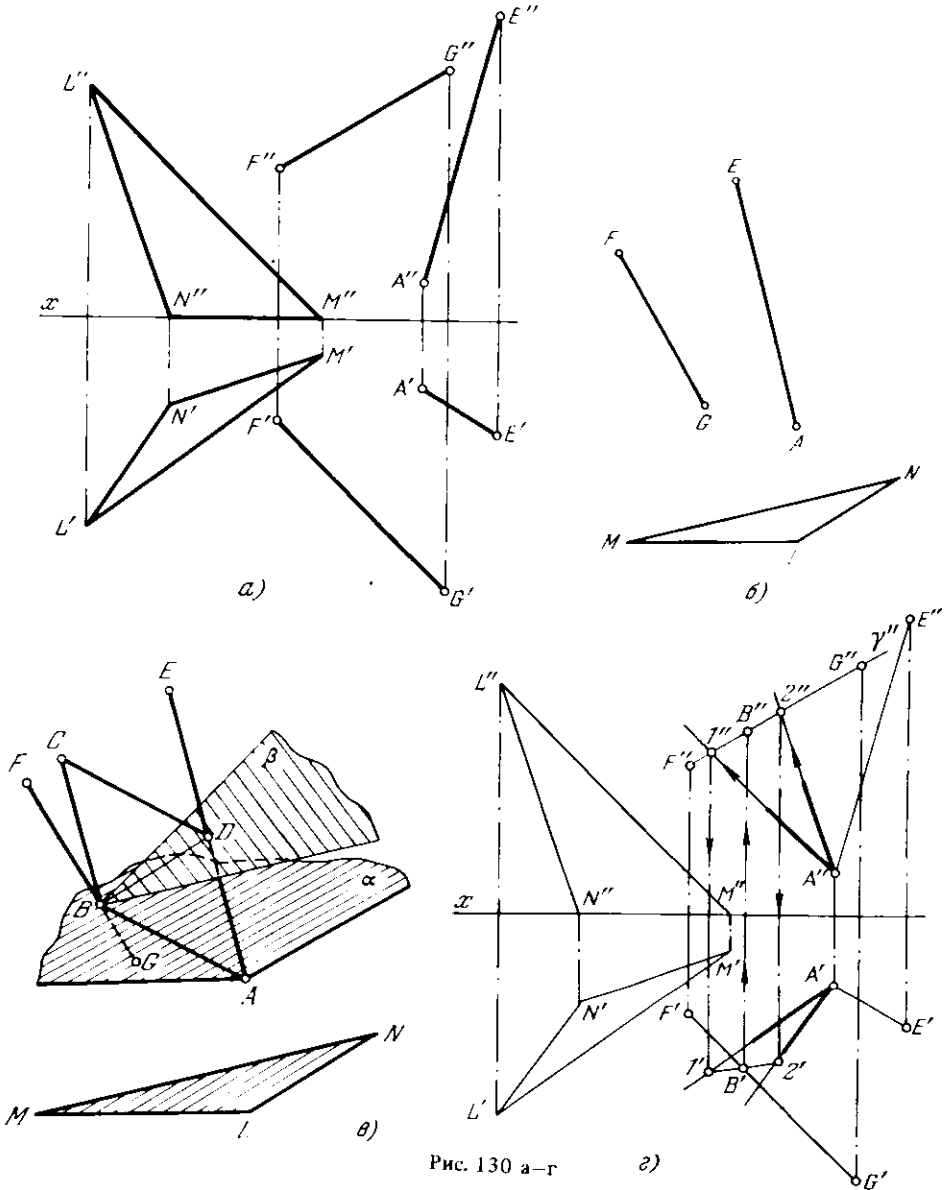


Рис. 130 а-г

а)

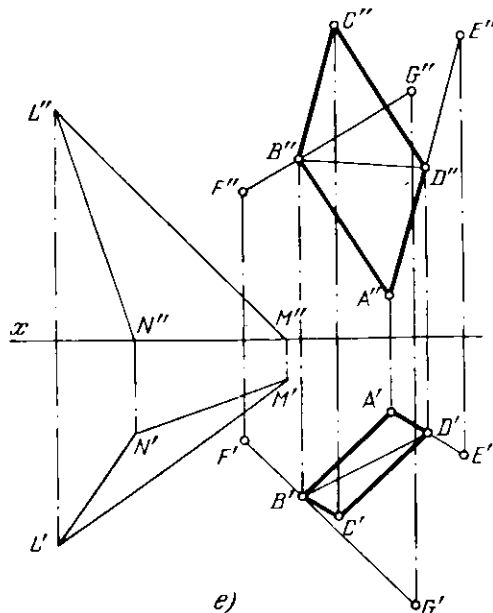
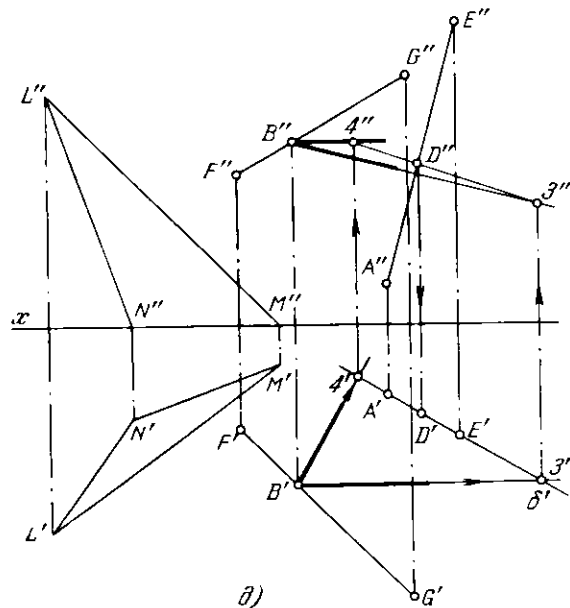


Рис. 130 д, е

На рис. 130, в и г показано построение пл. α , параллельной плоскости треугольника LMN . Пл. α , проведенная через точку A , задана двумя пересекающимися прямыми $A-1$ и $A-2$, из которых $A-1$ параллельна LM , а $A-2$ параллельна LN .

На тех же рисунках показано нахождение точки B пересечения прямой FG с пл. α , для чего через FG проведена фронтально-проецирующая плоскость γ , заданная следом γ'' . Горизонт. проекция $1-2$ линии пересечения плоскостей α и γ пересекет горизонт. проекцию $F'G'$ в точке B' . По точке B' находим проекцию B'' на $F''G''$.

На рис. 130, д показано построение пл. β , перпендикулярной к AE . Эта плоскость проведена через точку B и выражена горизонталями $B-4$ и фронталями $B-3$, перпендикулярными к AE . На том же чертеже показано построение точки D , в которой прямая AE пересекает пл. β , выраженную горизонталями $B-4$ и фронталями $B-3$. Через AE проведена горизонтально-проецирующая плоскость δ , выраженная ее следом δ' , построены проекции $3-4$ и $3'4'$ линии пересечения плоскостей δ и β и проекции D'' и D' .

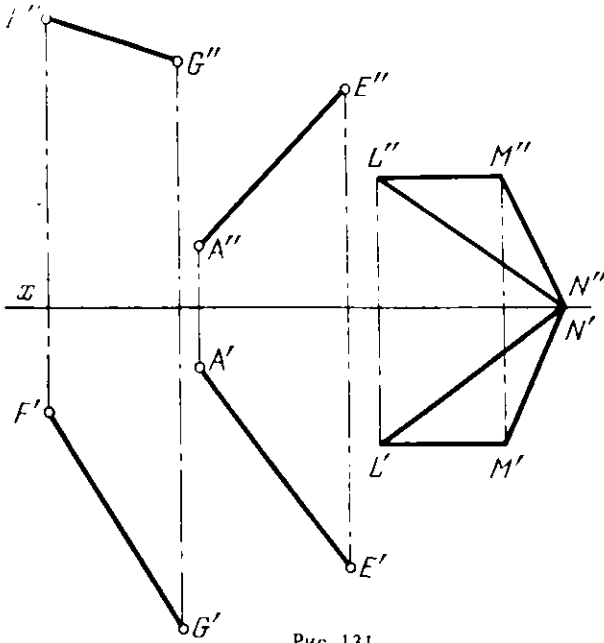
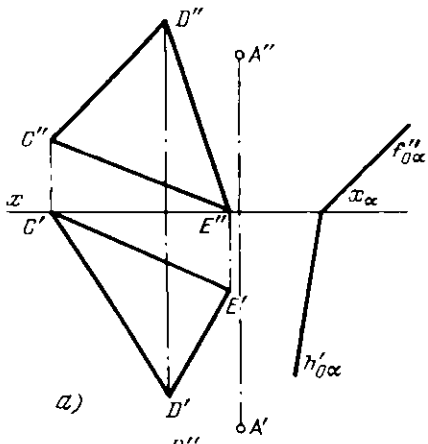
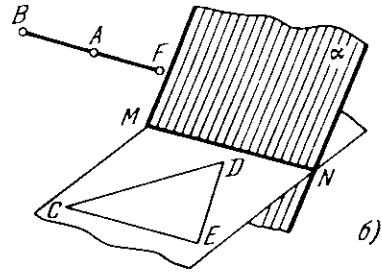


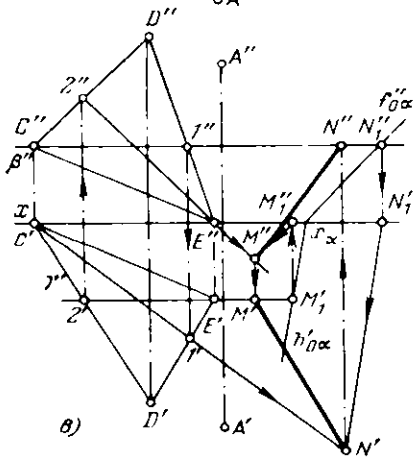
Рис. 131



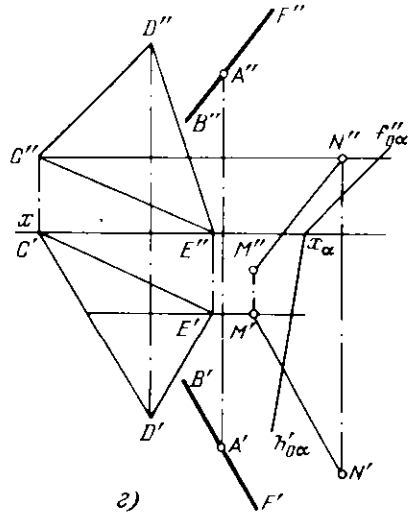
a)



б)



в)



г)

Рис. 132 а-г

На рис. 130, е показано построение искомого параллелограмма, для чего проведены проекции $A''B''$ и $A'B'$, $A''D''$ и $A'D'$ двух сторон параллелограмма, а затем $B''C'' \parallel A''D''$, $B'C' \parallel A'D'$, $D''C'' \parallel A''B''$ и $D'C' \parallel A'B'$. Точки C'' и C' должны оказаться на линии связи $C'C''$, перпендикулярной к оси x .

133. Даны треугольник LMN и прямые AE и FG . Построить параллелограмм, у которого сторона AD лежит на прямой AE , сторона AB параллельна плоскости треугольника, вершина B принадлежит прямой FG , диагональ BD перпендикулярна к стороне AD (рис. 131).

134*. Через точку A провести прямую, параллельную шл. α и плоскости треугольника CDE (рис. 132, а).

Решение. Если искомая прямая должна быть одновременно параллельна двум плоскостям, то она должна быть параллельна линии пересечения этих плоскостей (рис. 132, б). Вводя две вспомогательные плоскости β и γ , находим линию пересечения MN плоскостей (рис. 132, в). Проекции искомой прямой $B''F''$ и $B'F'$ проходят через A'' и A' параллельно одноименным с ними проекциям прямой MN (рис. 132, г).

135. Через точку A провести прямую, параллельную шл. α и плоскости, заданной пересекающимися прямыми DE и DF (рис. 133).

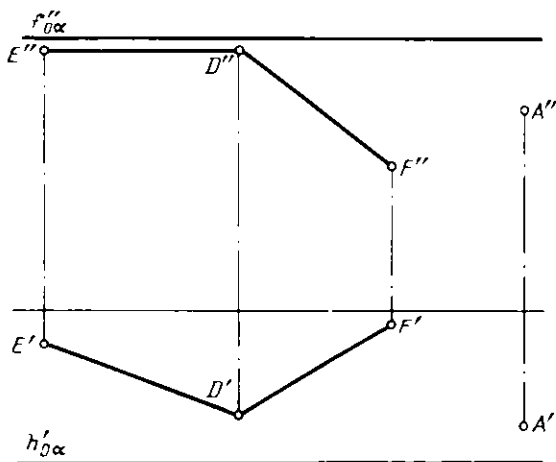


Рис. 133

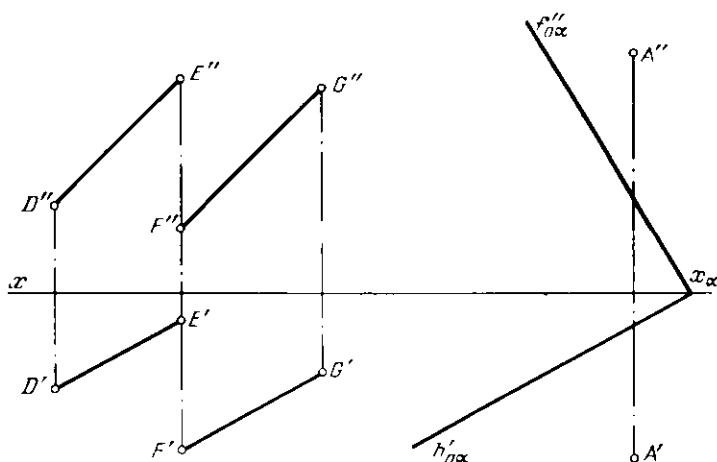


Рис. 134

136. Через точку A провести прямую, параллельную пл. α и плоскости, заданной параллельными прямыми DE и FG (рис. 134).

137*. Провести прямые, каждая из которых отстоит от пл. α на расстояние l_1 , а от плоскости, заданной прямой BC и точкой A , на расстояние l_2 (рис. 135, а).

Решение. В основе решения лежит представление о геометрическом месте прямых, отстоящих от данной плоскости на определенное расстояние, т.е. от плоскости, параллельной данной.

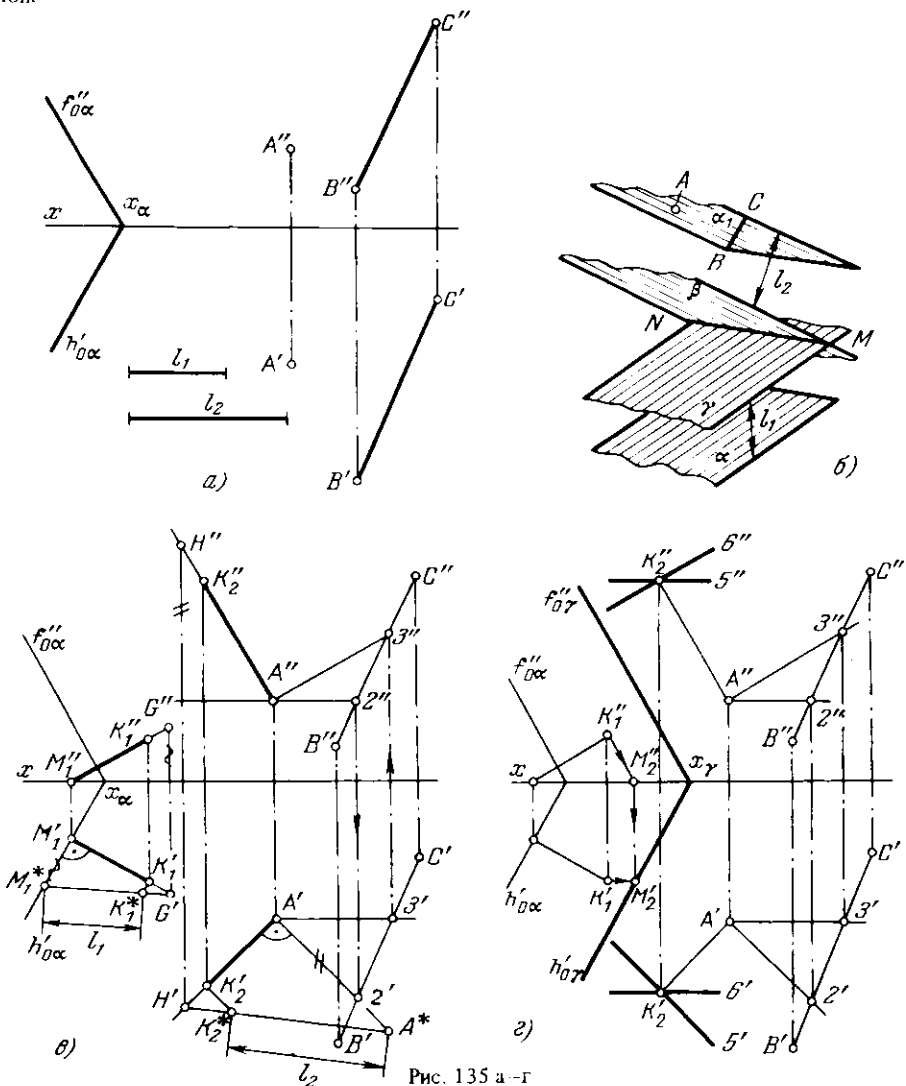


Рис. 135 а-г

Искомые прямые являются линии MN пересечения двух плоскостей γ , параллельных пл. α и расположенных по обе стороны от нее на расстоянии l_1 , с двумя плоскостями β , параллельными второй из заданных плоскостей α_1 и отстоящими от нее на расстоянии l_2 . Всего таких прямых может быть четыре. На рис. 135, б изображена одна из них.

На рис. 135, в показано: 1) проведение перпендикуляра к пл. α из взятой в ней точки M_1 и построение точки K_1 на этом перпендикуляре на расстоянии $M_1K_1 = l_1$; 2) проведение перпендикуляра к плоскости, заданной точкой A и прямой BC , из точки A (при помощи горизонтали $A-2$ и фронтали $A-3$) и построение точки K_2 на этом перпендикуляре на расстоянии $AK_2 = l_2$.

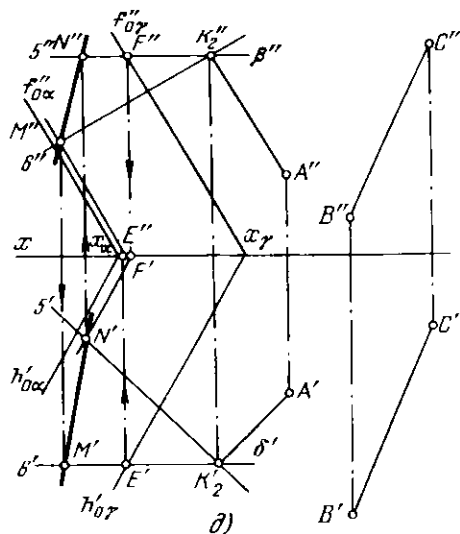


Рис. 135 д

На рис. 135, г показано проведение через точку K_1 пл. γ параллельно пл. α и через точку K_2 плоскости β , выраженной горизонталью $K_2 5$ и фронталью $K_2 6$, соответственно параллельными горизонтали $A - 2$ и фронтали $A - 3$, принадлежащими плоскости, заданной точкой A и прямой BC .

На рис. 135, д построена линия пересечения пл. γ и плоскости β , выраженной горизонталью $K_2 5$ и фронталью $K_2 6$. Полученная прямая MN параллельна обеим заданным плоскостям.

138. Провести одну из прямых, отстоящих от пл. α на расстоянии l_1 и от плоскости треугольника ABC на расстояние l_2 (рис. 136).

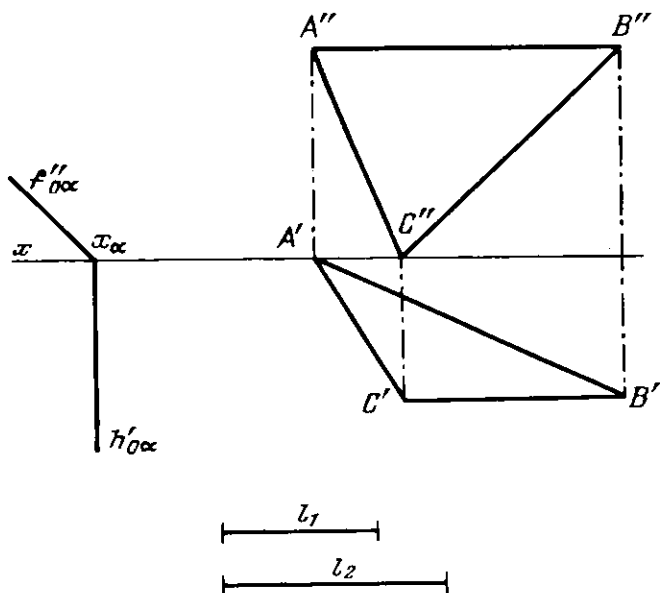


Рис. 136

139*. Провести прямую, пересекающую заданные прямые AB и CD и параллельную прямой EF (рис. 137, а).

Решение. Намстим план решения задачи (рис. 137, б).

1. Через прямую CD провести плоскость (β), параллельную прямой EF .

2. Найти точку (K), в которой прямая AB пересечет пл. β .

3. Через точку K провести прямую (KM), параллельную заданной прямой EF .

На рис. 137, в показано построение пл. β , проходящей через прямую CD и параллельной прямой EF . Пл. β выражена прямой CD и пересекающей ее прямой DG , проведенной через точку D параллельно EF .

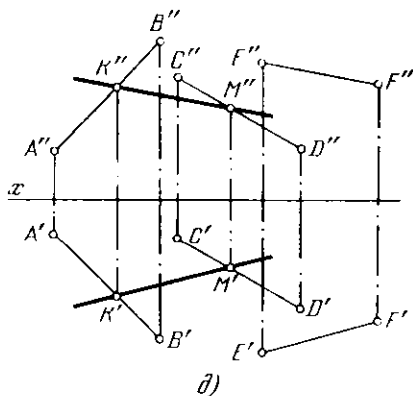
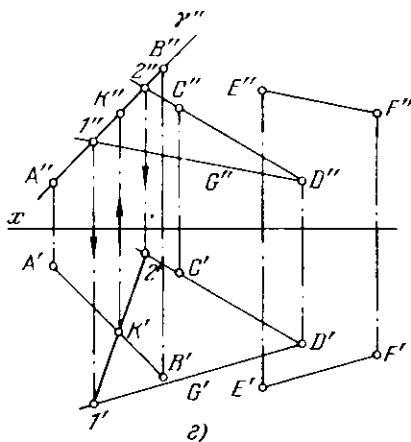
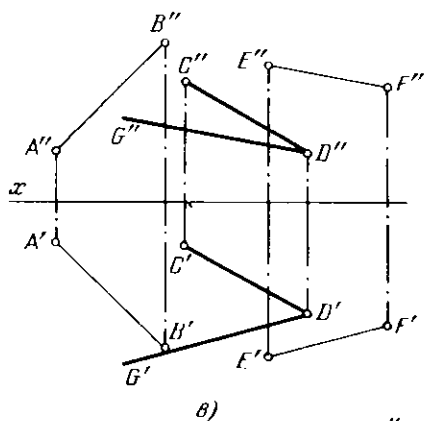
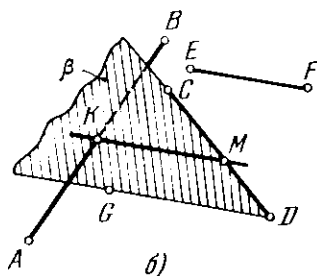
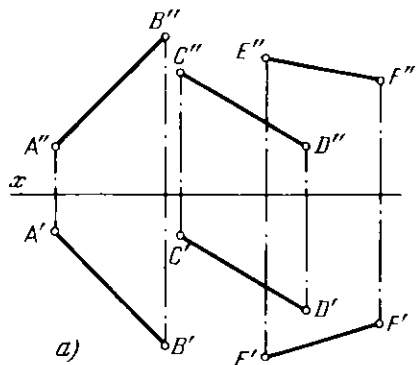


Рис. 137 а д

На рис. 137, г показано построение точки K , в которой прямая AB пересекает пл. β . Прямая AB заключена в фронтально-проецирующую плоскость γ , выраженную ее следом γ'' . Пл. γ пересекает пл. β по прямой $1 - 2$. В пересечении $1 - 2$ и $A'B'$ получается проекция K' ; по точке K' находим фронт. проекцию K'' .

Наконец, на рис. 137, д показаны проекции $K'M'$ и $K''M''$ искомой прямой: $K''M'' \parallel E''F''$ и $K'M' \parallel E'F'$. Конечно, проекции M'' и M' должны получиться на линии связи $M''M'$, перпендикулярной к оси x .

140. Провести прямую, пересекающую заданные прямые AB и CD и параллельную прямой EF (рис. 138).

141. Провести прямую, пересекающую заданные прямые AB и CD , параллельно прямой EF (рис. 139).

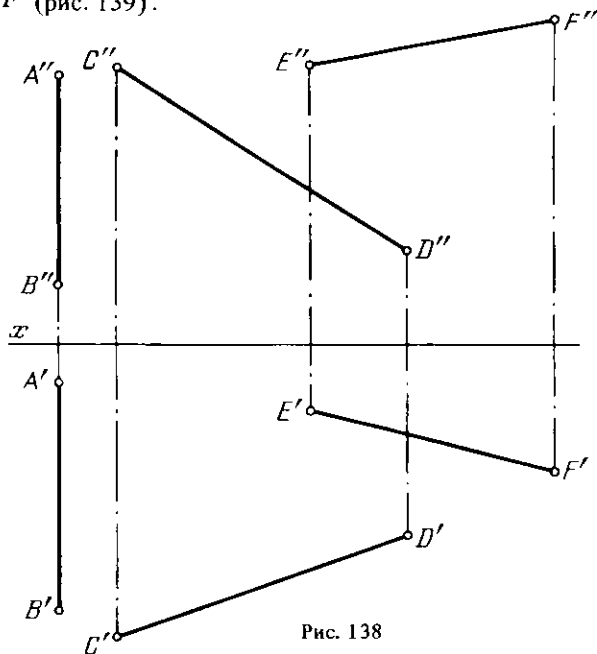


Рис. 138

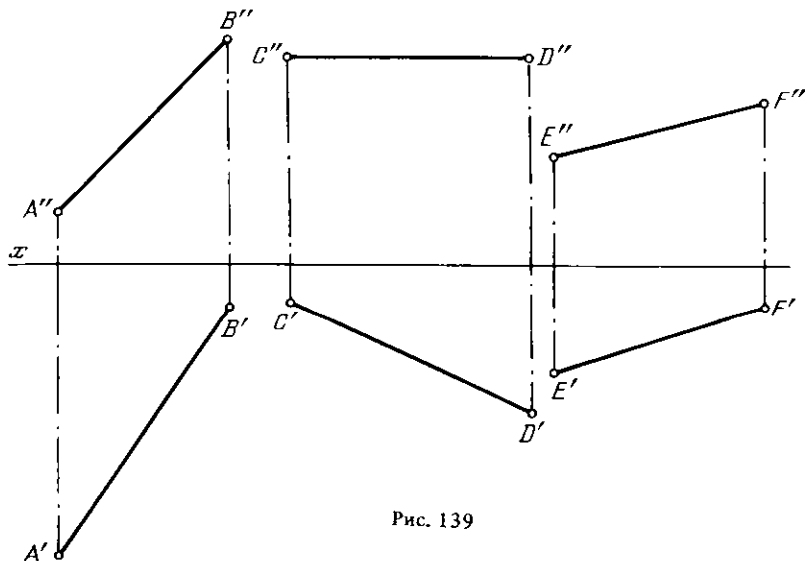


Рис. 139

142*. Даны прямые EF , MN , KL и HI . Построить прямоугольник $ABCD$, у которого сторона AB параллельна прямой EF , вершина A лежит на прямой KL , вершина B — на прямой MN и вершина C — на прямой HI (рис. 140, а).

Решение. Сторона AB должна пересечь KL и MN и быть параллельной EF (см. задачу 139).

Если (рис. 140, б) провести хотя бы через точку G , лежащую на KL , прямую, параллельную EF , то получим пл. γ , параллельную EF . Далее надо найти точку B пересечения этой плоскости с прямой MN и через точку B провести в пл. γ прямую, параллельную EF . Эта прямая AB пересекает прямые MN и KL и параллельна EF .

Построение показано на рис. 140, в. Так как стороны BC и AB должны быть взаимно перпендикулярны, то проводим (рис. 140, г и д) через точку B пл. α , перпендикулярную к стороне AB , и строим точку C пересечения ее с прямой HI .

Через точки A и C проводим прямые (рис. 140, г и е), параллельные прямым BC и AB , до пересечения их в точке D .

143. Даны пирамида $SEFG$ и прямая MN (рис. 141). Построить прямоугольник $ABCD$, у которого сторона AB параллельна прямой MN , вершина A лежит на ребре SF , вершина B — на стороне основания EG , вершина D — на ребре SE .

144. Даны пирамида $SEFG$ и прямая MN (рис. 142). Построить прямоугольник $ABCD$, у которого сторона AB параллельна прямой MN , вершина A лежит на ребре SG , вершина B — на стороне основания EF и вершина D — на ребре SF .

145*. Через точку A провести прямую, параллельную плоскости, заданной параллельными прямыми ED и FG , и пересекающую прямую BC (рис. 143, а).

Решение. Можно составить следующий план решения задачи (рис. 143, б):

- 1) через точку A провести плоскость (α), параллельную заданной плоскости;
- 2) найти точку (K) пересечения BC с пл. α ;
- 3) провести искомую прямую AK .

На рис. 143, в пл. α , проведенная через точку A , выражена прямой $AM \parallel ED$ ($A'M'' \parallel E'D''$, $A'M' \parallel E'D'$) и горизонталью AN , для проведения горизонт. проекции которой взята горизонталь $E-I$ в плоскости, заданной прямыми ED и FG ($A'N' \parallel E'I'$). На рис. 143, г показано построение точки K , в которой заданная прямая BC пересекает пл. α : через BC проведена фронтально-проецирующая плоскость (она выражена следом β''), построены проекции $2''3''$ и $2'3'$ прямой пересечения плоскостей α и β , получена точка K'' в пересечении прямой $2'3'$ и $B'C'$. По проекции K'' найдена проекция K' . Пресекии искомой прямой $A''K''$ и $A'K'$.

146. Через точку A (рис. 144) провести прямую, параллельную пл. α и пересекающую прямую BC .

147. Через точку A (рис. 145) провести прямую, параллельную плоскости, заданной пересекающимися прямыми DE и DF , и пересекающую прямую BC .

148*. Построить геометрическое место точек, равноудаленных от заданных точек A , B и C (рис. 146, а).

Решение. Искомым геометрическим местом является линия пересечения MN (рис. 146, б) плоскостей α и β , соответственно перпендикулярных к отрезкам AB и BC и проходящих через точки K_1 и K_2 в серединах этих отрезков. На рис. 146, в эти плоскости выражены их следами. Используя (рис. 146, г) точки пересечения одноименных следов плоскостей, строим линию их пересечения MN .

149. Построить геометрическое место точек, равноудаленных от заданных точек A , B и C (рис. 147).

150*. Дан треугольник ABC (рис. 148, а). Построить пирамиду $SABC$, вершина S которой равноудалена от точек A , B и C . Расстояние от точки S до пл. π_2 в 1,7 раза больше расстояния ее до пл. π_1 .

Решение. Геометрическим местом точек, равноудаленных от точек A , B и C (см. задачу 148*), является линия пересечения MN плоскостей β и α , проведенных через середины (K_1 и K_2) отрезков AB и BC перпендикулярно к ним (рис. 148, б и в). Вершина S должна лежать на этой прямой. Геометрическим местом точек, для которых ордината в 1,7 раза больше аппликаты, является осевая плоскость γ ; ее профильный след p''_{γ} проходит (рис. 148, в) че-

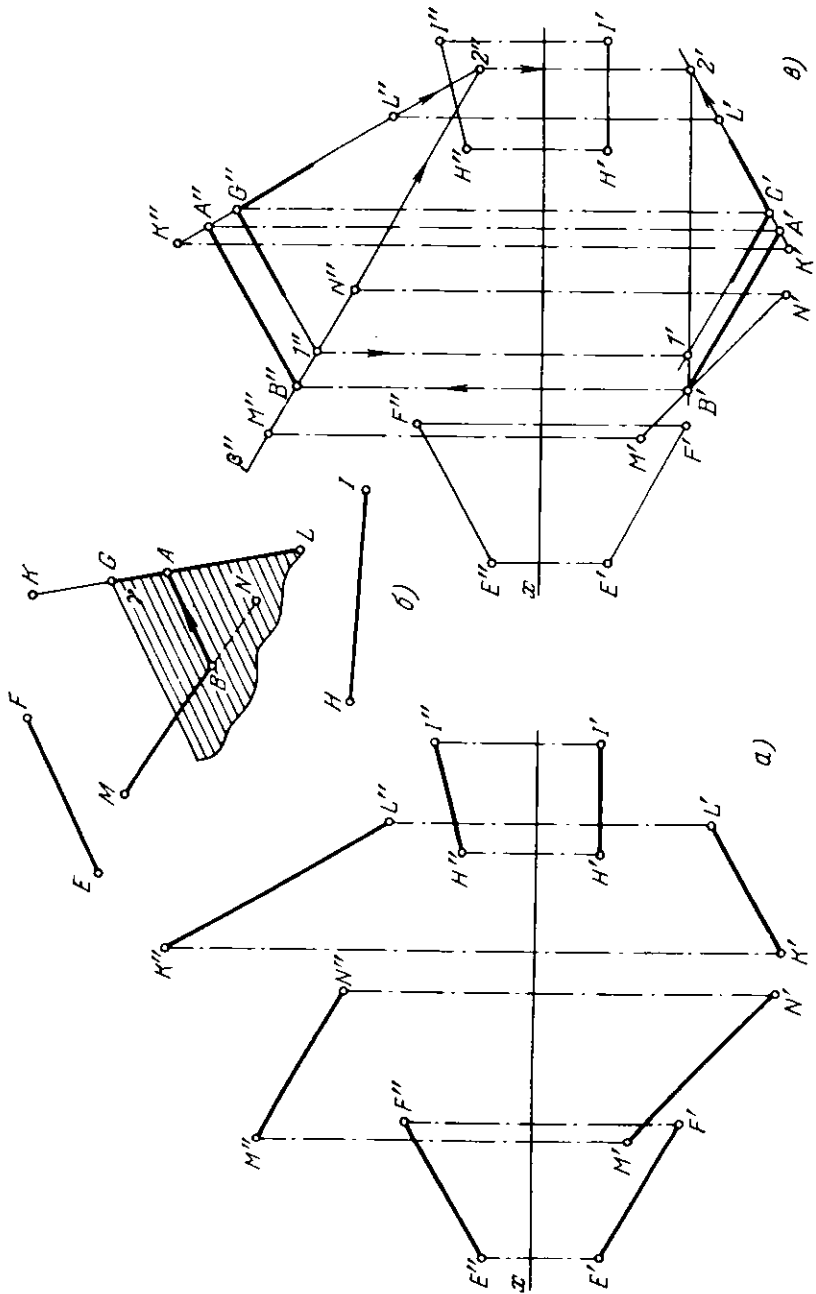


Рис. 140 а-в

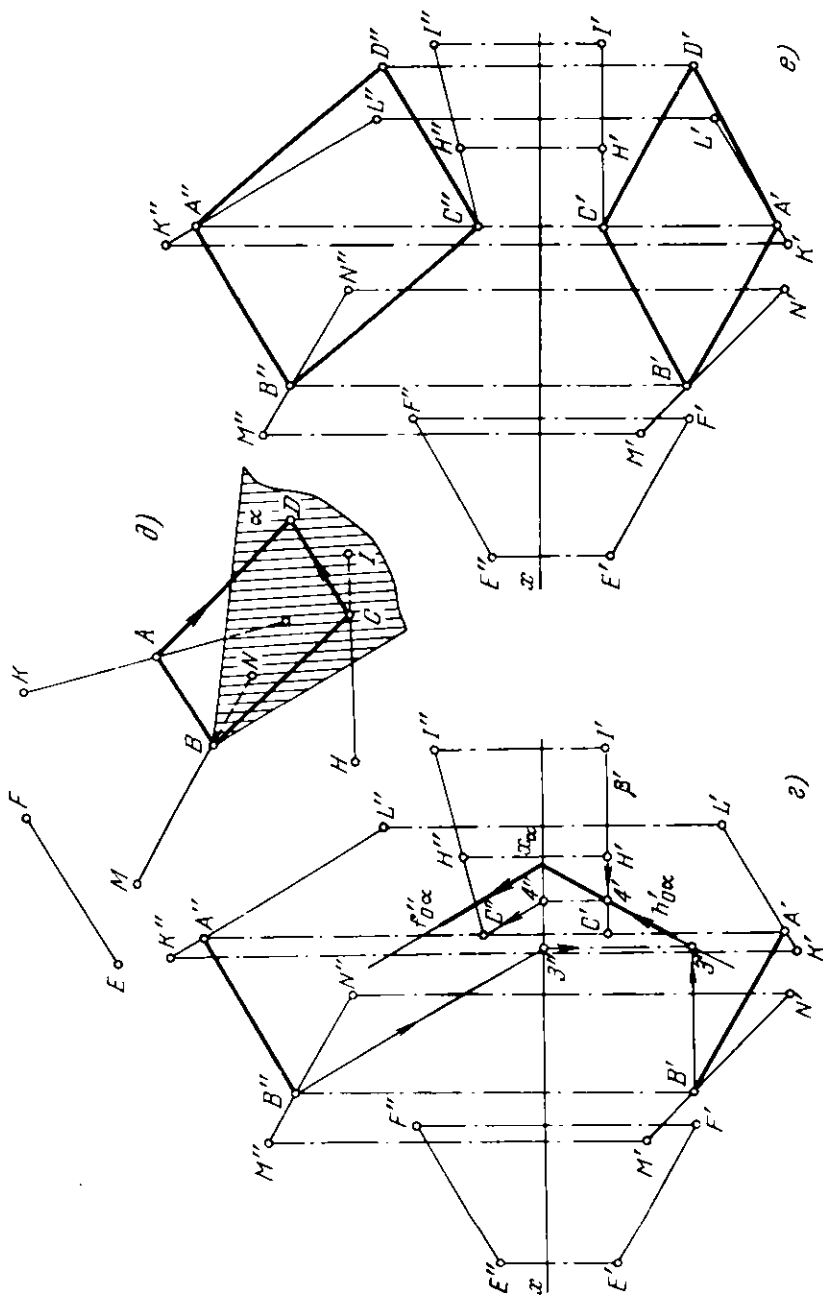


Рис. 140 г-с

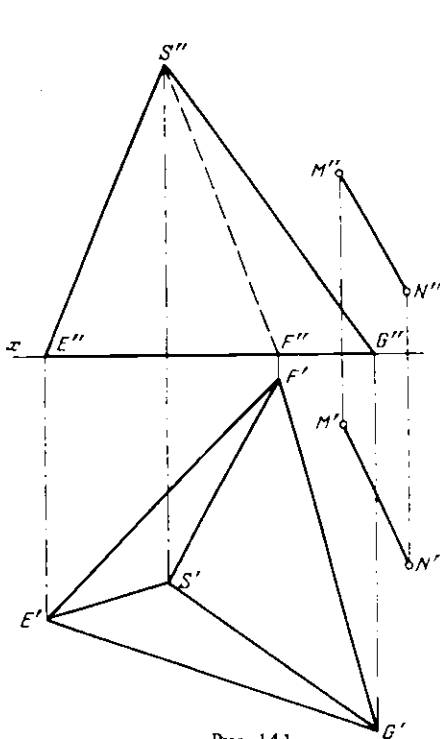


Рис. 141

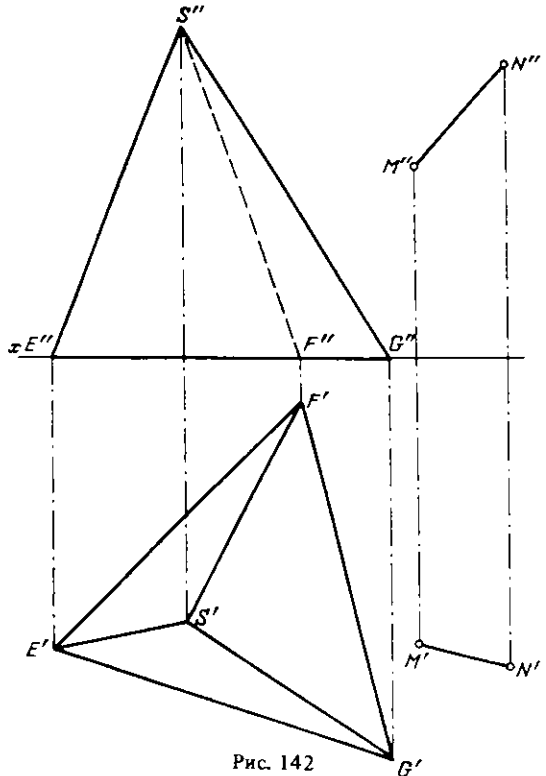
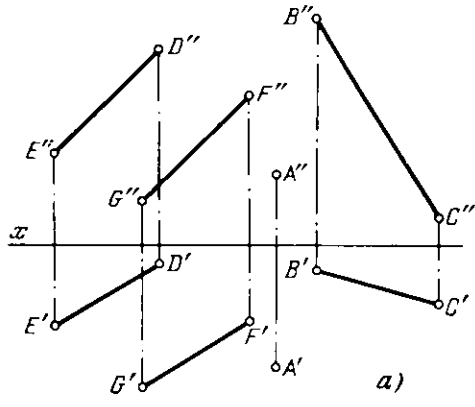
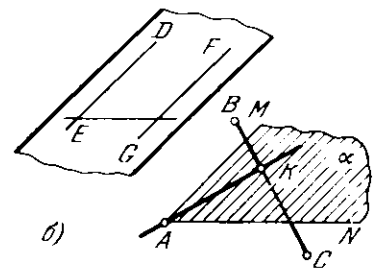


Рис. 142



a)



б)

Рис. 143 а, б

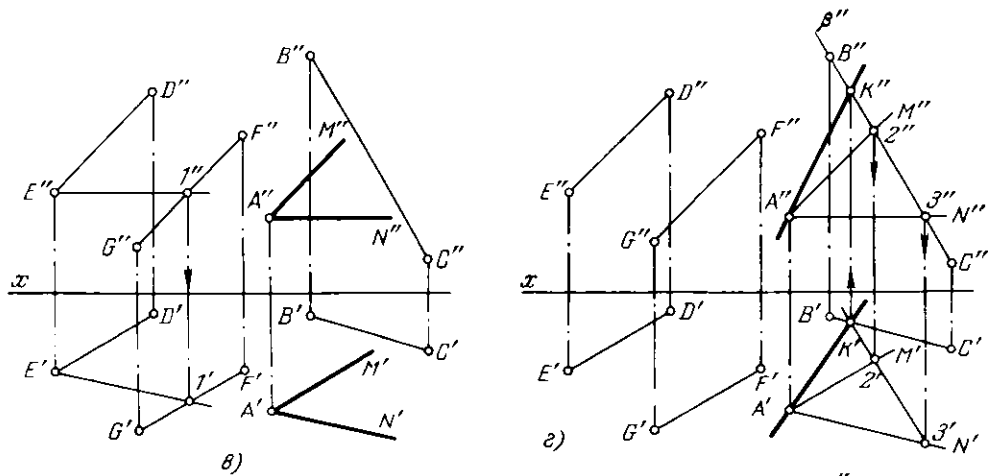


Рис. 143 в, г

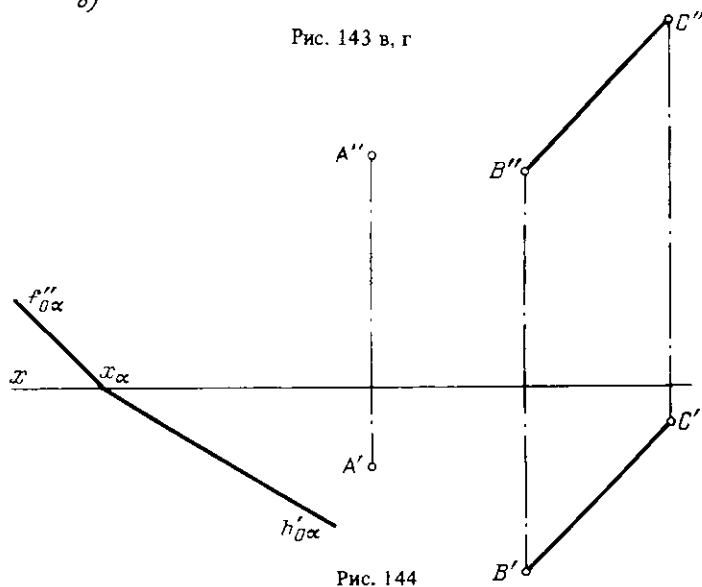


Рис. 144

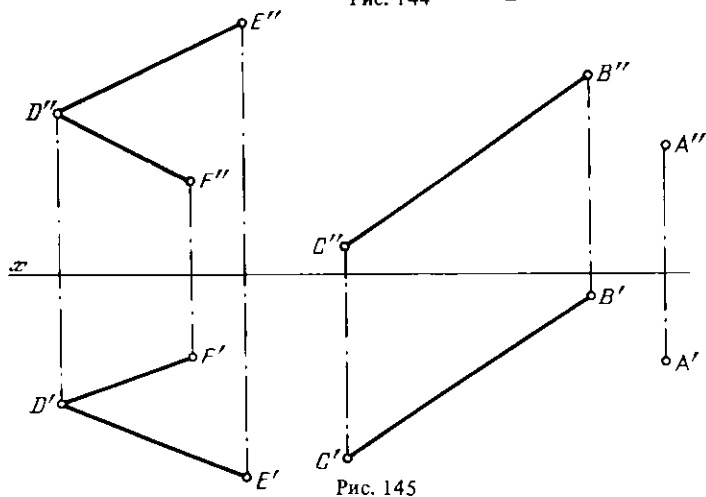


Рис. 145

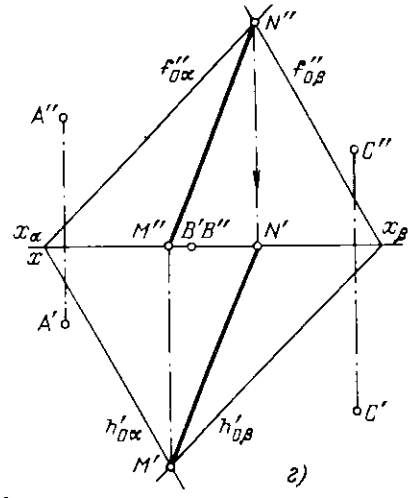
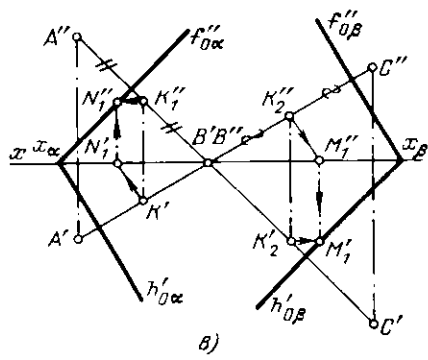
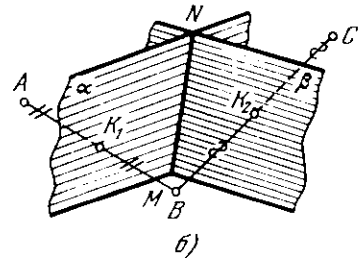
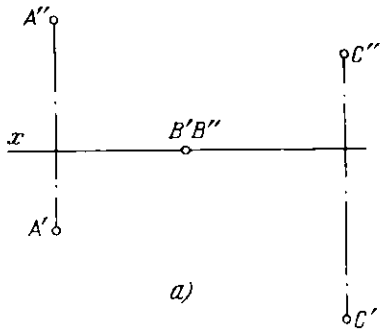


Рис. 146 а-г

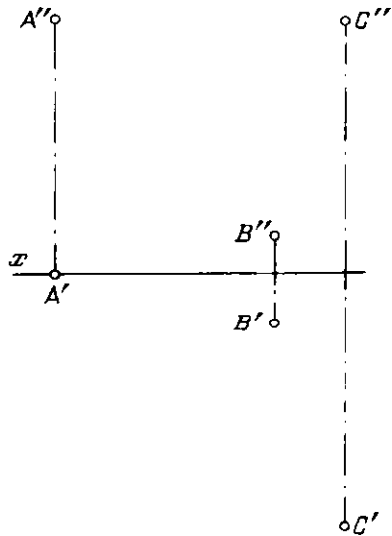


Рис. 147

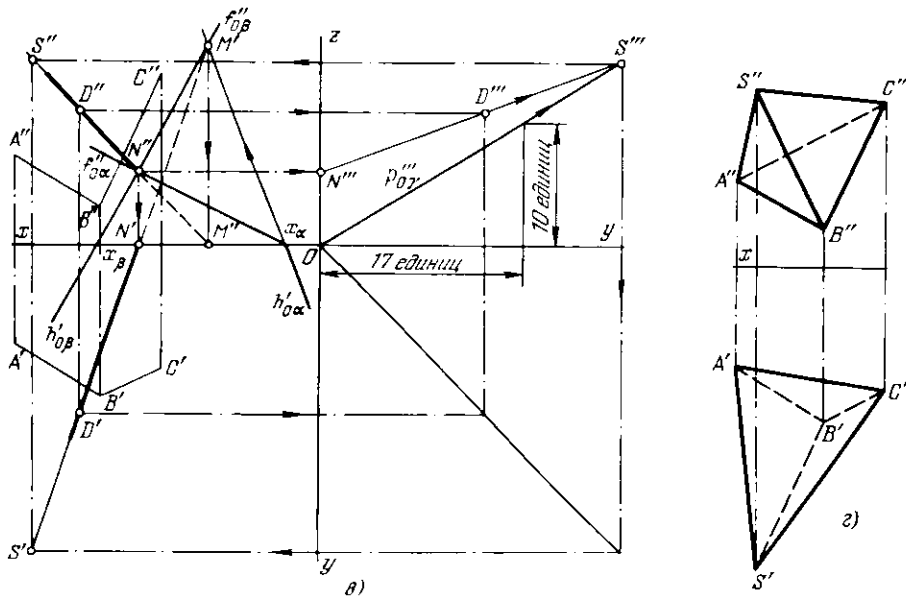
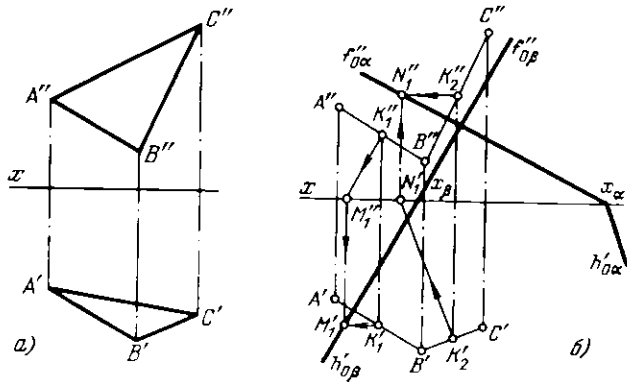


Рис. 148 а-г

рез точку O и точку, расстояние которой до оси y равно 10 единицам, а до оси z - 17 единицам. Точка S принадлежит этой плоскости. Профильная проекция S''' вершины пирамиды находится на пересечении $M'''N'''$ со следом $p_{0\gamma}$ (на рисунке для упрощения чертежа построена профильная проекция точки D , лежащей на прямой MN). По S''' находим S'' и S' . На рис. 148, г показаны проекции искомой пирамиды.

151. Дан треугольник ABC (рис. 149). Построить проекции пирамиды $SABC$, вершина S которой равноудалена от вершин основания ABC и лежит в пл. π_2 .

152*. Даны точки A, L, M и N (рис. 150. а). Построить параллелограмм $ABCD$, у которого вершина B лежит на пл. π_1 , сторона CD на прямой, равноудаленной от точек L, M и N , вершина D равноудалена от плоскостей π_2 и π_1 .

Решение. Так как сторона CD искомого параллелограмма должна лежать на прямой, равноудаленной от трех точек, то начинаем с построения этой прямой. Подобное построение уже встречалось: прямая EF получается как линия пересечения двух плоскостей (рис. 150, б и в) α и β , проведенных перпендикулярно к отрезкам LM и MN через их середины. Точку D на этой прямой находим из условия, что она равноудалена от пл. π_2 и пл. π_1 (рис. 150, г): проведем через точку F'' вспомогательную прямую $F''S'$ под тем же углом к оси x , что и прямая $F''E''$, получаем на проекции $E'F'$ точку D' а по ней - D'' , причем $D''6' = D'6'$.

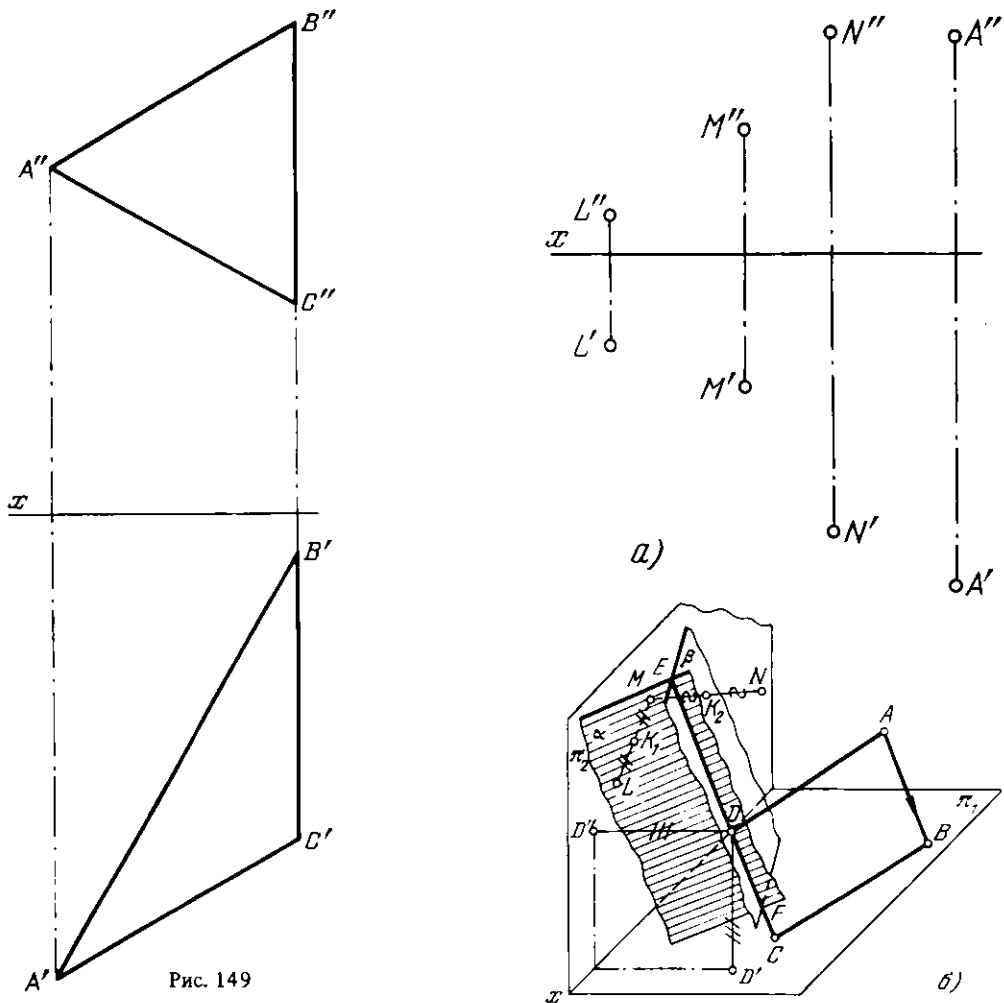


Рис. 149

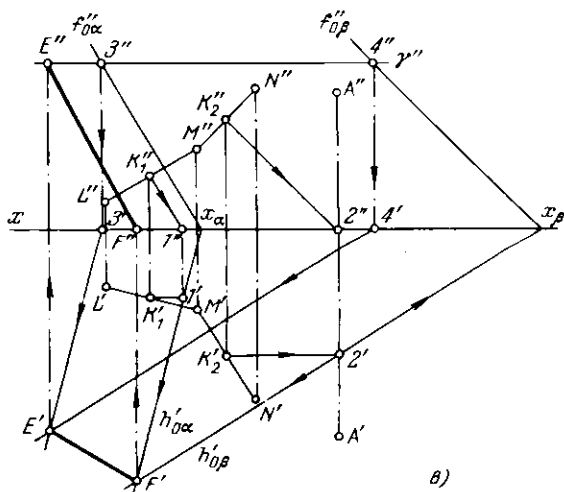


Рис. 150 а-в

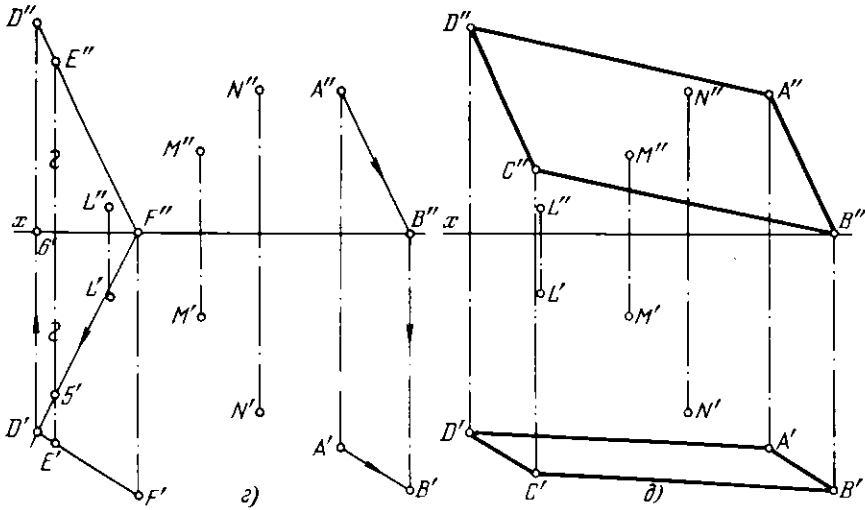


Рис. 150 г, д

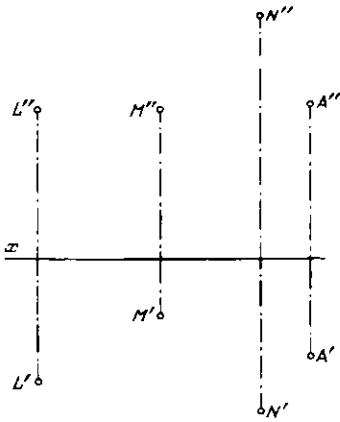


Рис. 151

Итак, мы получили одну из вершин искомого параллелограмма (точку D) и направление стороны, проходящей через эту точку (прямая EF). Проведя через заданную точку A прямую, параллельную EF , получаем сторону AB , зная, что по условию точка B должна быть в пл. π_1 .

Остается закончить построение проекций параллелограмма, проведя $A''B''$ и $A'B'$ (рис. 150, д), $B''C'' \parallel A''D''$ и $B'C' \parallel A'D'$. Точки C'' и C' должны оказаться на линии связи $C''C'$, перпендикулярной к оси x .

153. Даны точки A, L, M и N (рис. 151). Построить параллелограмм $ABCD$, у которого вершина B лежит на пл. π_1 , сторона CD лежит на прямой, равноудаленной от точек L, M и N , вершина D равноудалена от пл. π_2 и пл. π_1 .

154. Дан треугольник ABC (рис. 152). Построить проекции пирамиды $SABC$, вершина S которой равноудалена от точек A, B и C и находится на равных расстояниях от пл. π_2 и пл. π_1 .

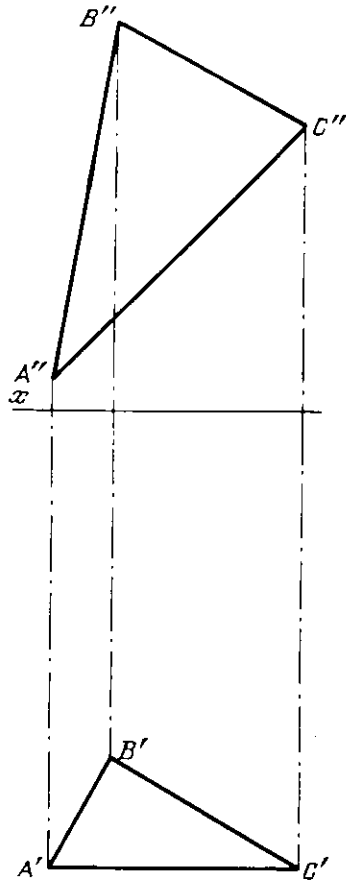


Рис. 152

§ 18. Определение расстояний

155*. Определить натуральную величину отрезка AB прямой общего положения (рис. 153, а).

Решение. Как известно, проекция отрезка прямой на какой-либо плоскости равна самому отрезку (с учетом масштаба чертежа), если он параллелен этой плоскости (рис. 153, б). Из этого следует, что путем преобразования чертежа надо добиться параллельности данного

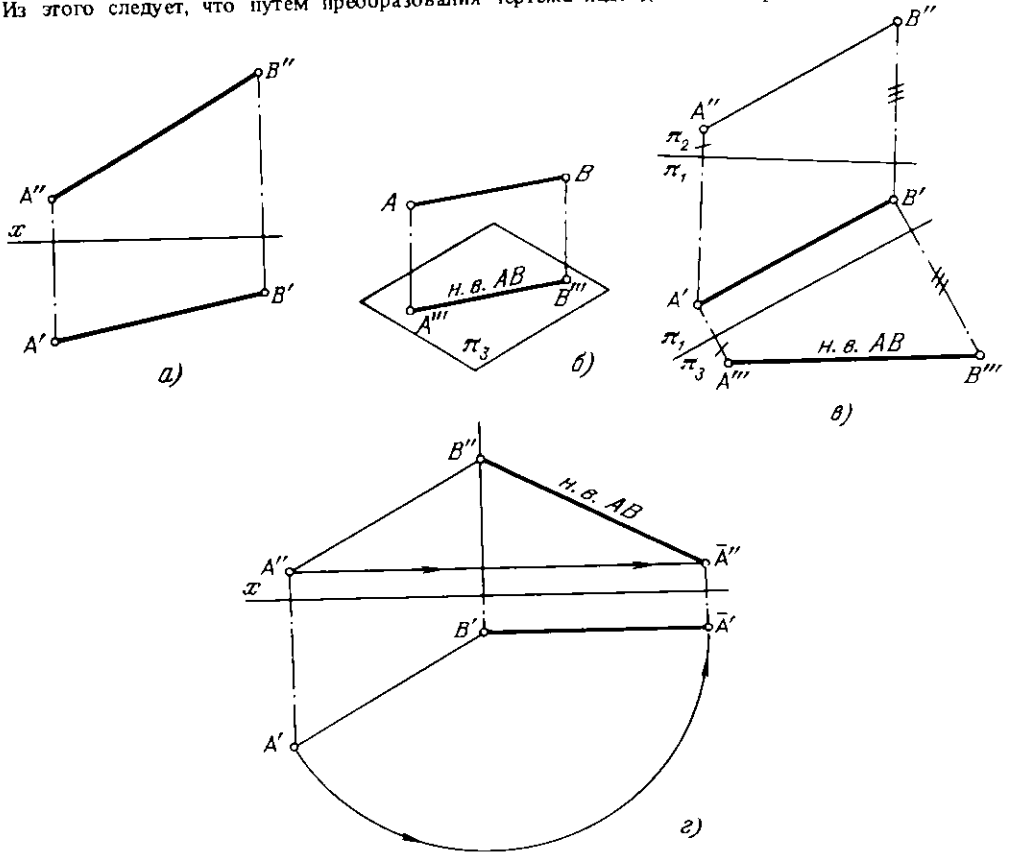


Рис. 153 а-г

отрезка пл. π_2 или пл. π_1 или же дополнить систему π_1, π_2 еще одной плоскостью, перпендикулярной к пл. π_2 или к пл. π_1 и в то же время параллельной данному отрезку.

На рис. 153, в показано введение дополнительной плоскости π_3 , перпендикулярной к пл. π_1 и параллельной заданному отрезку AB .

Проекция $A''B''$ равна натуральной величине отрезка AB .

На рис. 153, г показан другой прием: отрезок AB повернут вокруг прямой, проходящей через точку B и перпендикулярной к пл. π_1 , до положения, параллельного пл. π_2 . При этом точка B остается на месте, а точка A занимает новое положение A . В новом положении горизонт. проекция $\bar{A}'B'$ \perp оси x . Проекция $\bar{A}''B''$ равна натуральной величине отрезка AB .

156. Дана пирамида $SABCD$ (рис. 154). Определить натуральную величину ребер AS и CS пирамиды, используя способ перемены плоскостей проекций, и ребер BS и DS , используя способ вращения, причем взять ось вращения перпендикулярно к пл. π_1 .

157*. Определить расстояние от точки A до прямой BC (рис. 155, а).

Решение. Расстояние от точки до прямой измеряется отрезком перпендикуляра, проведенного из точки на прямую.

Если прямая перпендикулярна к какой-либо плоскости (рис. 155, б), то расстояние от точки до прямой измеряется расстоянием между проекцией точки и точкой — проекцией прямой на этой плоскости. Если прямая занимает в системе π_1, π_2 общее положение, то, чтобы определить расстояние от точки до прямой способом перемены плоскостей проекций, надо ввести в систему π_1, π_2 еще две дополнительные плоскости.

Сначала (рис. 155, в) вводим пл. π_3 , параллельную отрезку BC (новая ось π_3/π_1 параллельна проекции $B'C'$), и строим проекции $B''C''$ и A'' . Затем (рис. 155, г) вводим еще пл. π_4 , перпендикулярную к прямой BC (новая ось π_4/π_3 перпендикулярна к $B''C''$). Строим проекции прямой и точки — $C^{IV}(B^{IV})$ и A^{IV} . Расстояние между точками A^{IV} и $C^{IV}(B^{IV})$ равно расстоянию l от точки A до прямой BC .

На рис. 155, д эта же задача выполнена с помощью способа вращения в той его форме, которую называют способом параллельного перемещения. Сначала прямую BC и точку A , сохраняя неизменными их взаимное положение, поворачиванием вокруг некоторой (не обозначенной на чертеже) прямой, перпендикулярной к пл. π_1 , так, чтобы прямая BC расположилась параллельно пл. π_2 . Это равносильно перемещению точек A, B, C в плоскостях, параллельных пл. π_1 . При этом горизонт. проекция заданной системы ($BC + A$) не изменяется ни по величине, ни по конфигурации, лишь изменяется ее положение относительно оси x . Располагаем горизонт. проекцию прямой BC параллельно оси x (положение $\bar{B}'C'$) и определяем проекцию \bar{A}' , откладывая $\bar{C}'\bar{T}' = C'I'$ и $\bar{A}'\bar{T}' = A'I'$, причем $\bar{A}'\bar{T}' \perp \bar{C}'\bar{T}'$. Проведя прямые $B''B'', A''A'', C''C''$ параллельно оси x , находим на них фронт. проекции $\bar{B}'', \bar{A}'', \bar{C}''$. Далее, перемещаем точки $\bar{B}, \bar{C}, \bar{A}$ в плоскостях, параллельных пл. π_2 (также не изменяя их взаимного расположения), так, чтобы получить $\bar{\bar{B}}\bar{\bar{C}} \perp$ пл. π_1 . При этом фронт. проекция прямой расположится перпендикулярно к оси x . $\bar{\bar{B}}''\bar{\bar{C}}'' = \bar{B}''\bar{C}''$, а для построения проекции $\bar{\bar{A}}''$ надо взять $\bar{\bar{B}}''\bar{\bar{2}}'' = \bar{B}''\bar{2}''$, провести

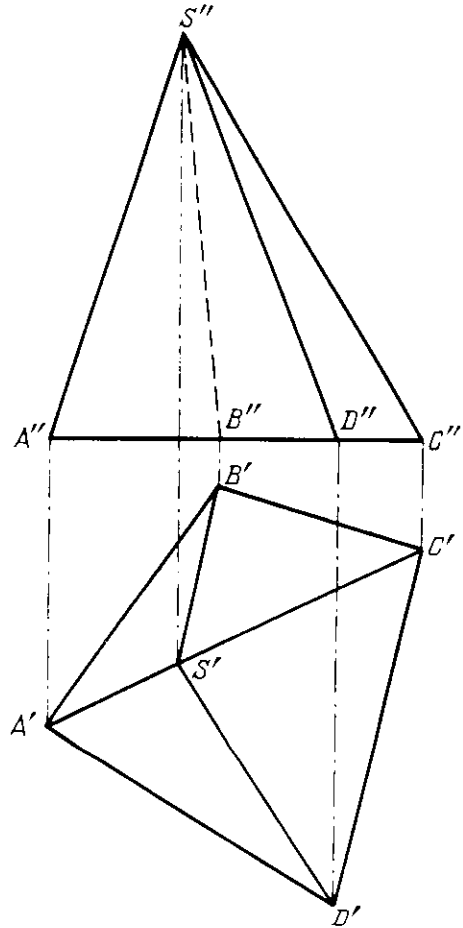


Рис. 154

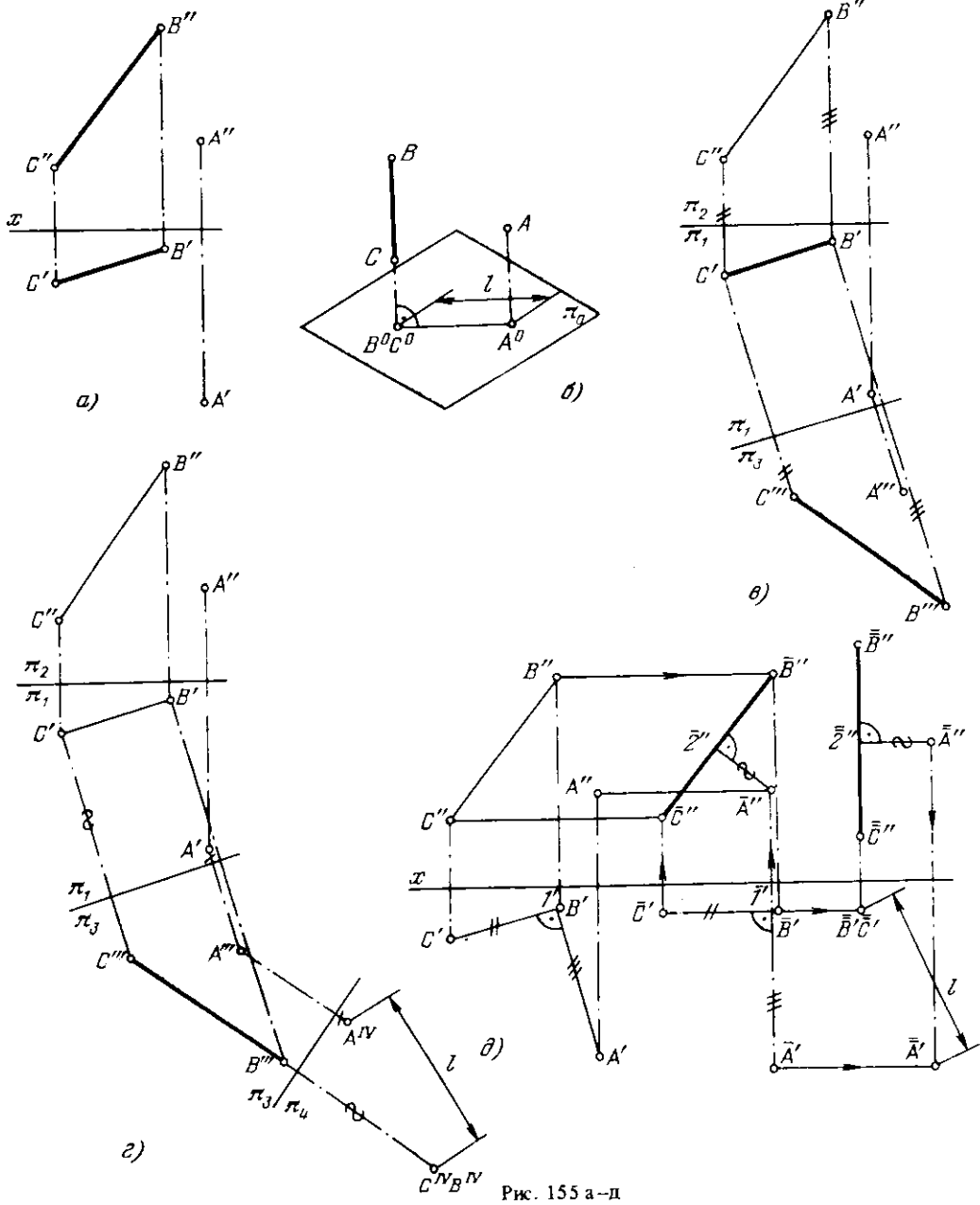


Рис. 155 а-д

$\bar{2}''\bar{A}'' \perp \bar{B}''\bar{C}''$ и отложить $\bar{A}''\bar{2}'' = \bar{A}''\bar{2}'$. Теперь, проведя $\bar{C}'\bar{C}''$ и $\bar{A}'\bar{A}'' \parallel x$, получим проекции $\bar{B}'\bar{C}'$ и \bar{A}' и искомое расстояние l от точки A до прямой BC . Определить расстояние от A до BC можно, повернув плоскость, определяемую точкой A и прямой BC , вокруг горизонтали этой плоскости до положения $\gamma \parallel \text{пл. } \pi_1$ (рис. 155. е).

В плоскости, задаваемой точкой A и прямой BC , проводим горизонталь $A-I$ (рис. 155. ж) и поворачиваем вокруг нее точку B . Точка B перемещается в пл. α (заданной на чертеже следом α'), перпендикулярной к $A-I$; в точке O находится центр вращения точки B . Определяем теперь натуральную величину радиуса вращения BO (рис. 155. з). В требуемом положении, т.е. когда пл. γ , определяемая точкой A и прямой BC , станет $\parallel \text{пл. } \pi_1$, точка B получится на α' из

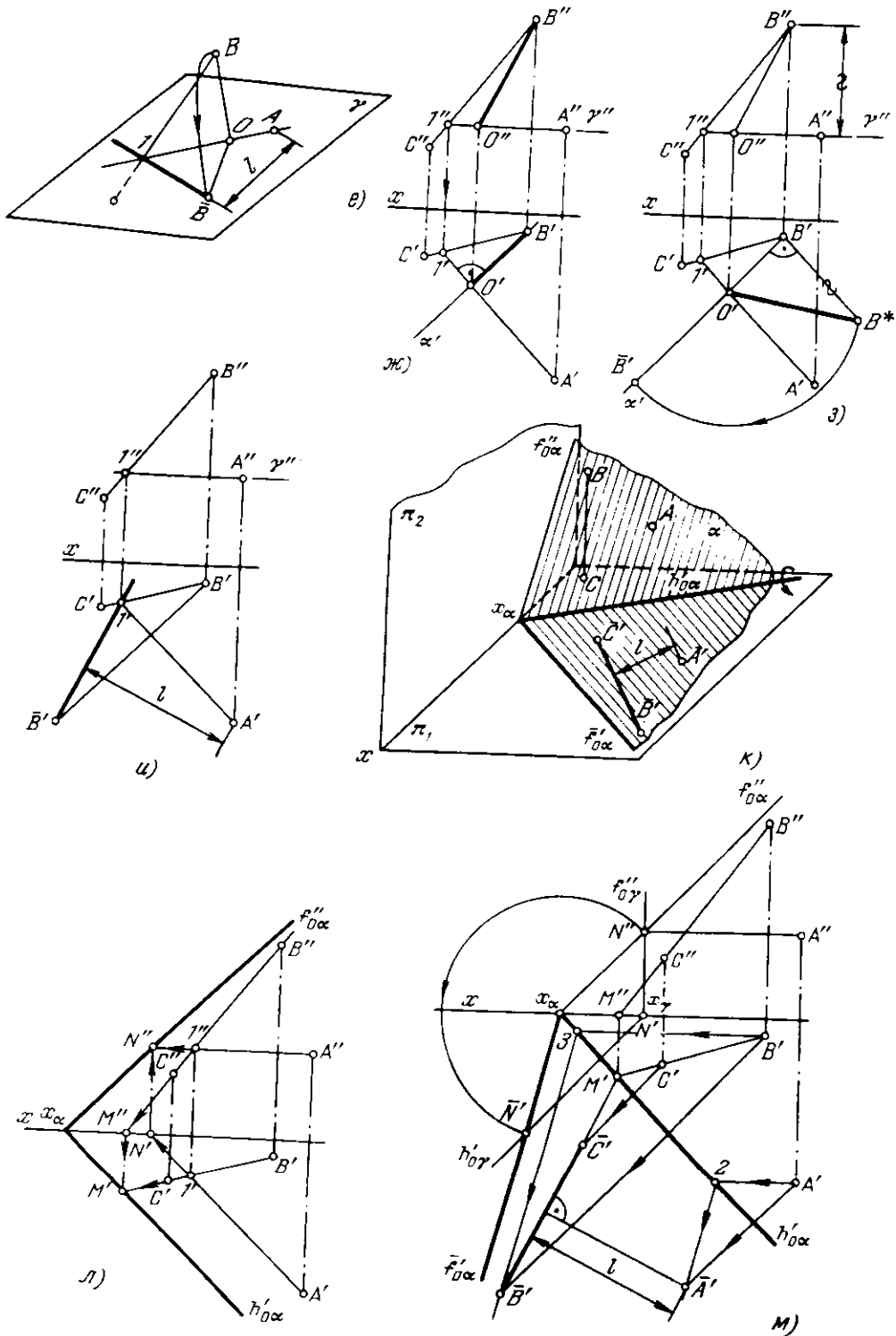


Рис. 155 е-м

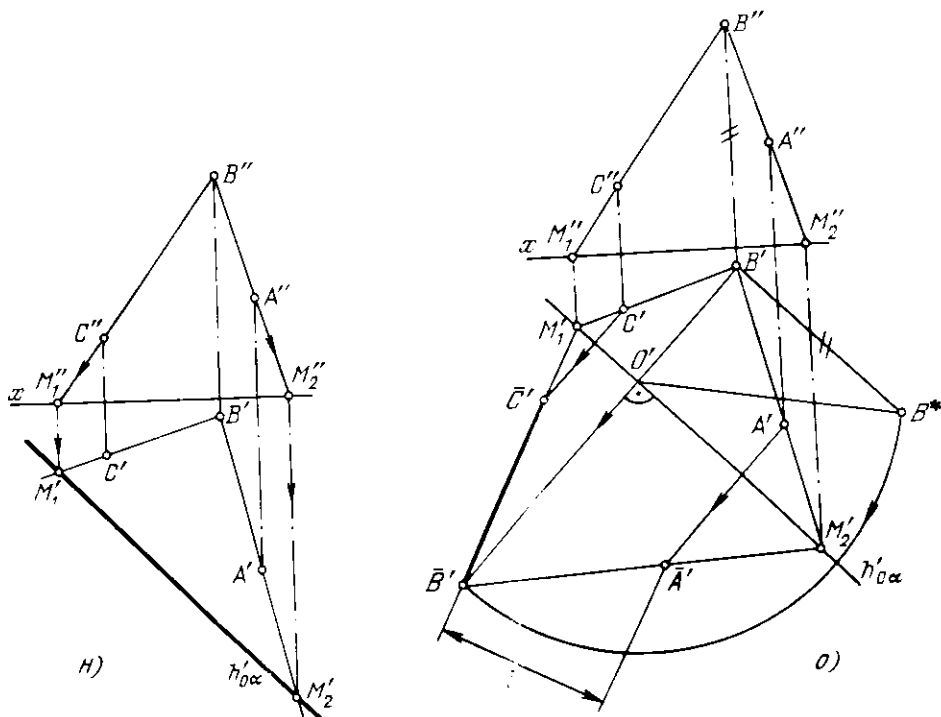


Рис. 155 н. о

расстоянии $O'\bar{B}'$ от точки O (может быть и другое положение на том же следе a' , но по другую сторону от O). Точка \bar{B}' — это горизонт. проекция точки B после перемещения ее в положение \bar{B} в пространстве, когда плоскость, определяемая точкой A и прямой BC , заняла положение γ .

Проведя (рис. 155. и) прямую $\bar{B}'I'$, получаем горизонт. проекцию прямой BC , уже расположенной \parallel пл. π_1 в одной плоскости с A . В этом положении расстояние от A' до $\bar{B}'I'$ равно искомому расстоянию l . Плоскость α , в которой лежат заданные элементы, можно совместить с пл. π_1 (рис. 155. к), повернув пл. α вокруг ее горизонт. следа. Перейдя от задания плоскости точкой A и прямой BC к заданию прямыми BC и $A - l$ (рис. 155. л), находим следы этих прямых и проводим через них следы $f'_{0\alpha}$ и $h'_{0\alpha}$. Строим (рис. 155. м) совмещенное с пл. π_1 положение фронт. следа $\bar{f}'_{0\alpha}$.

Через точку A' проводим горизонт. проекцию фронтали; совмещенная фронталь проходит через точку 2 на следе $h'_{0\alpha}$ параллельно $\bar{f}'_{0\alpha}$. Точка \bar{A}' — совмещенное с пл. π_1 положение точки A . Аналогично находим точку \bar{B}' . Прямая BC в совмещенном с пл. π_1 положении проходит через точку \bar{B}' и точку M' (горизонт. след прямой).

Расстояние от точки \bar{A}' до прямой $\bar{B}'C'$ равно искомому расстоянию l .

Можно выполнить указанное построение, найдя только один след $h'_{0\alpha}$ (рис. 155. н и о). Все построение аналогично повороту вокруг горизонтали (см. рис. 155. ж, з, и): след $h'_{0\alpha}$ — это одна из горизонталей пл. α .

Из приведенных для решения данной задачи способов преобразования чертежа предпочтительным является способ вращения вокруг горизонтали или фронтали.

158. Дана пирамида $SABC$ (рис. 156). Определить расстояния:

- от вершины B основания до его стороны AC способом параллельного перемещения;
- от вершины S пирамиды до сторон BC и AB основания способом вращения вокруг горизонтали;
- от вершины S до стороны AC основания способом перемены плоскостей проекций.

159. Дана призма (рис. 157). Определить расстояния:

- между ребрами AD и CF способом перемены плоскостей проекций;

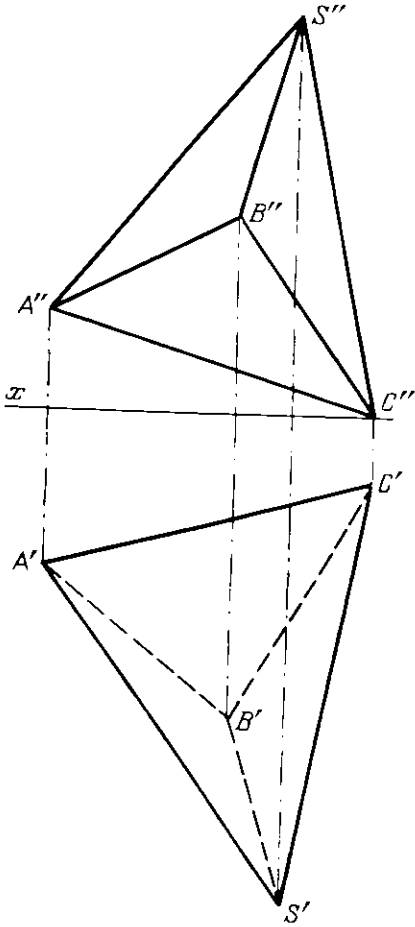


Рис. 156

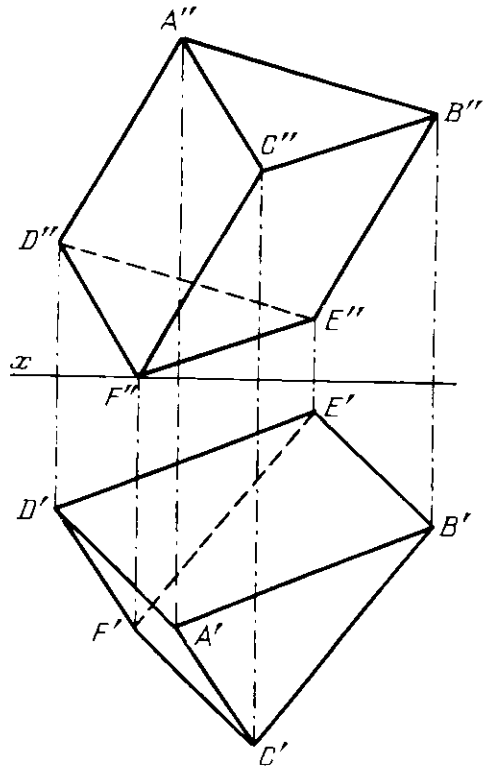


Рис. 157

б) между ребрами BE и CF вращением вокруг фронтали;

в) между ребрами AD и BE способом параллельного перемещения.

160. Определить натуральную величину четырехугольника $ABCD$ (рис. 158) совмещением с пл. π_1 . Пользоваться только горизонтальным следом плоскости.

161*. Определить расстояние между скрещивающимися прямыми AB и CD (рис. 159, а) и построить проекции общего к ним перпендикуляра.

Решение. Расстояние между скрещивающимися прямыми измеряется отрезком (MN) перпендикуляра к обеим прямым (рис. 159, б). Очевидно, если одну из прямых расположить перпендикулярно к какой-либо пл. π_0 , то отрезок MN перпендикуляра к обеим прямым окажется параллельным пл. π_0 и его проекция на этой плоскости отобразит искомое расстояние. Проекция прямого угла между MN и AB на пл. π_0 оказывается также прямым углом между M^0N^0 и A^0B^0 , так как одна из сторон прямого угла AMN , а именно MN параллельна пл. π_0 .

На рис. 159, а и г искомое расстояние l определено способом перемены плоскостей проекций. Сначала вводим дополнительную пл. проекций π_3 , перпендикулярную к пл. π_1 и параллельную прямой CD (рис. 159, а). Затем вводим еще одну дополнительную пл. π_4 , перпендикулярную к пл. π_3 и перпендикулярную к той же прямой CD (рис. 159, б). Теперь можно построить проекцию общего перпендикуляра $M^{IV}N^{IV}$, проведя $M^{IV}N^{IV}$ из точки C^{IV} (D^{IV}) перпендикулярно к проекции $A^{IV}B^{IV}$. Точки M^{IV} и N^{IV} — проекции точек пересечения этого перпендикуляра с прямыми AB и CD . По точке M^{IV} (рис. 159, д) находим M''' на $A'''B'''$; проекция $M'''N'''$ должна быть параллельна оси π_4/π_3 . Далее, по M''' и N''' находим M'' и N'' на $A'B'$ и $C'D'$, а по ним M' и N' на $A'B$ и $C'D$.

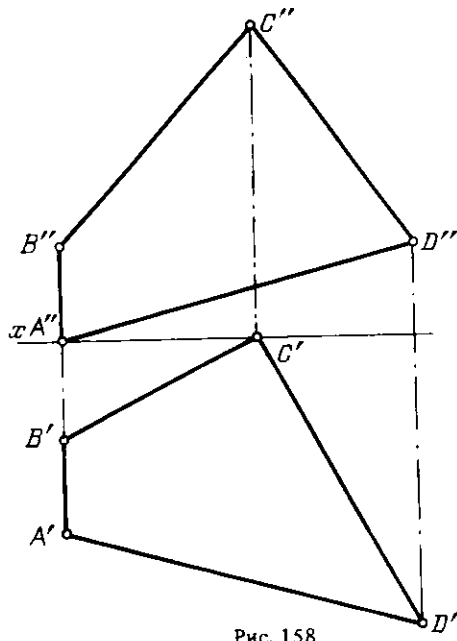


Рис. 158

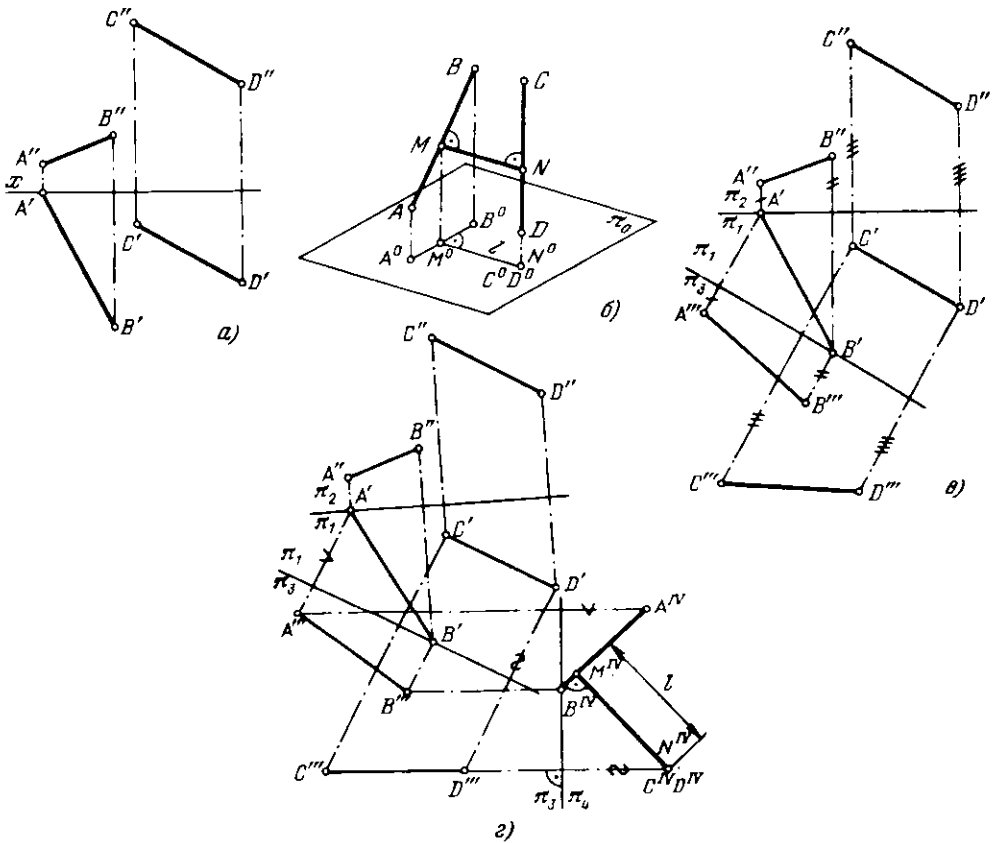


Рис. 159 а-г

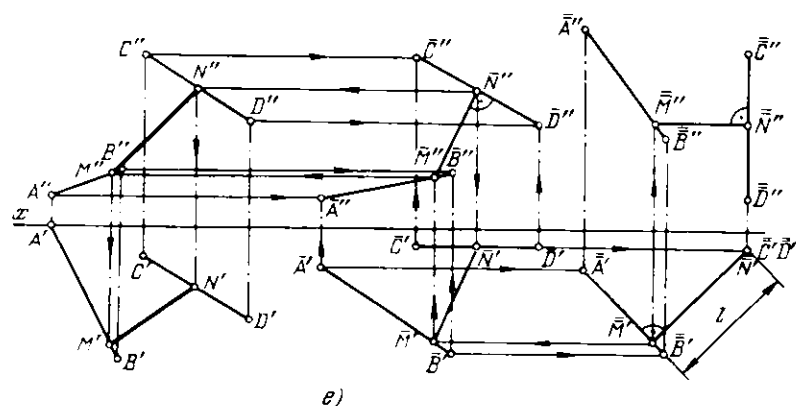
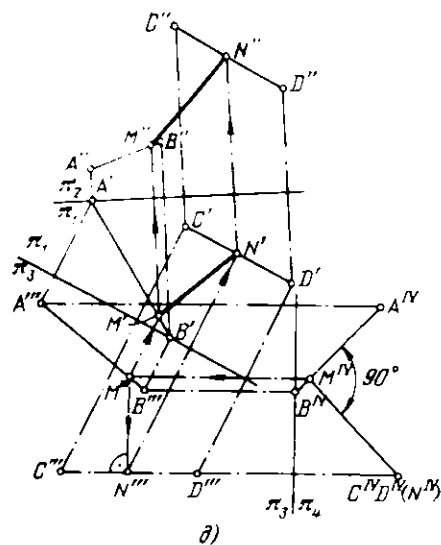


Рис. 159 д, е

На рис. 159, е показано решение этой задачи по способу параллельного перемещения. Сначала ставим прямую CD параллельно пл. π_2 : проекция $\bar{C}'\bar{D}' \perp x$. Далее перемещаем прямые CD и AB из положений $\bar{C}\bar{D}$ и $\bar{A}\bar{B}$ в положения $\bar{C}\bar{D}$ и $\bar{A}\bar{B}$ так, чтобы $\bar{C}\bar{D}$ расположилась перпендикулярно π_1 : проекция $\bar{C}''\bar{D}'' \perp x$. Отрезок искомого перпендикуляра располагается \perp пл. π_1 , и следовательно, $\bar{M}'\bar{N}'$ выражает искомое расстояние l между AB и CD . Находим положение проекций \bar{M}'' и \bar{N}'' на $\bar{A}''\bar{B}''$ и $\bar{C}''\bar{D}''$, затем проекций \bar{M}' и \bar{M}'' , \bar{N}' и \bar{N}'' и, наконец, проекций M' и N' , M'' и N'' .

162. Дана пирамида $SABC$ (рис. 160). Определить расстояние между ребром SB и стороной AC основания пирамиды и построить проекции общего перпендикуляра к SB и AC , применив способ переметы плоскостей проекций.

163. Дана пирамида $SABC$ (рис. 161). Определить расстояние между ребром SA и стороной BC основания пирамиды и построить проекции общего перпендикуляра к SA и BC , применив способ параллельного перемещения.

164*. Определить расстояние от точки A до плоскости в случаях, когда плоскость задана: а) треугольником BCD (рис. 162, а); б) следами (рис. 162, б).

Решение. Как известно, расстояние от точки до плоскости измеряется величиной перпендикуляра, проведенного из точки на плоскость. Это расстояние проецируется на какую-либо

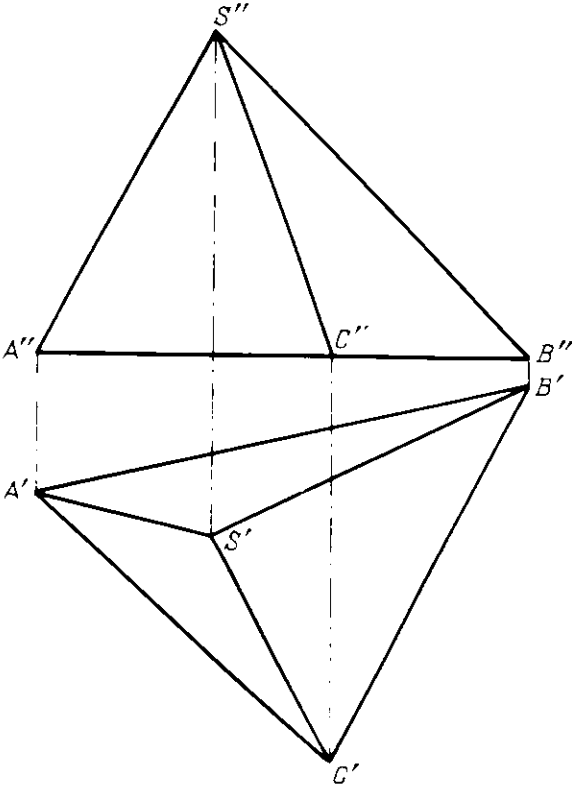


Рис. 160

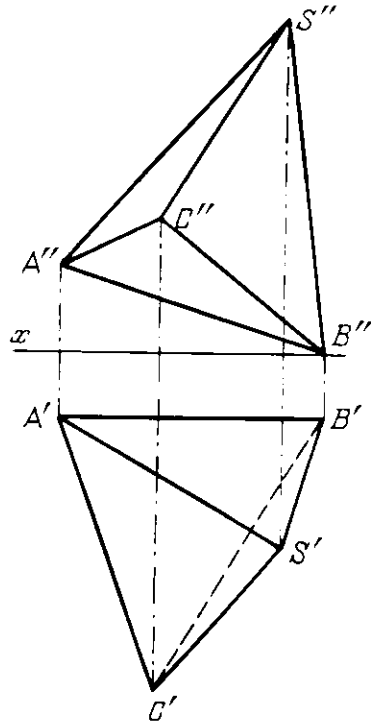
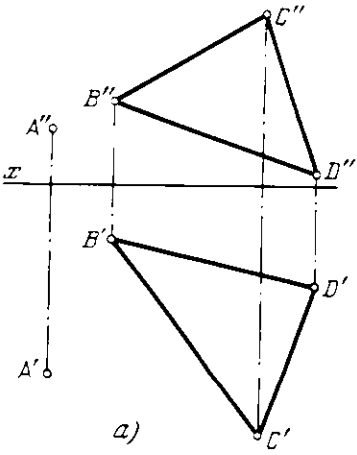
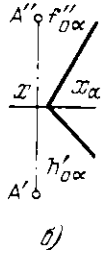


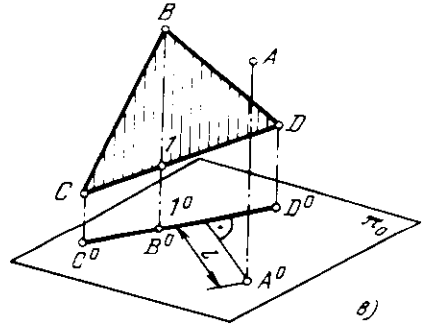
Рис. 161



а)



б)



в)

Рис. 162 а - в

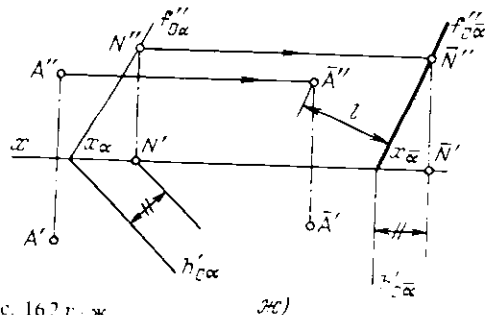
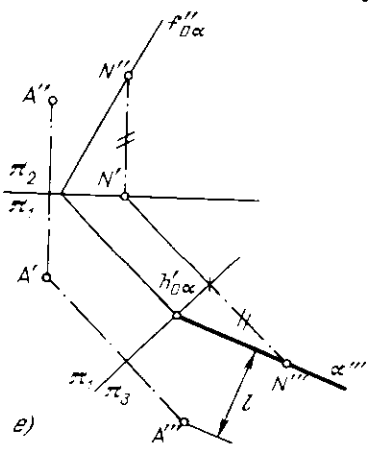
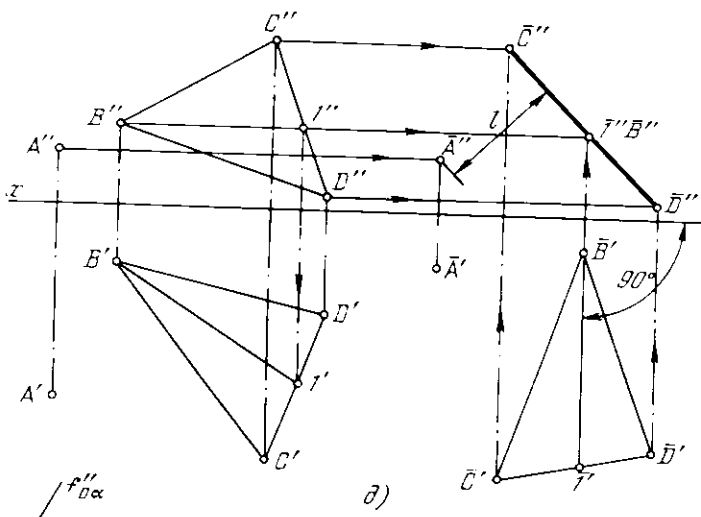
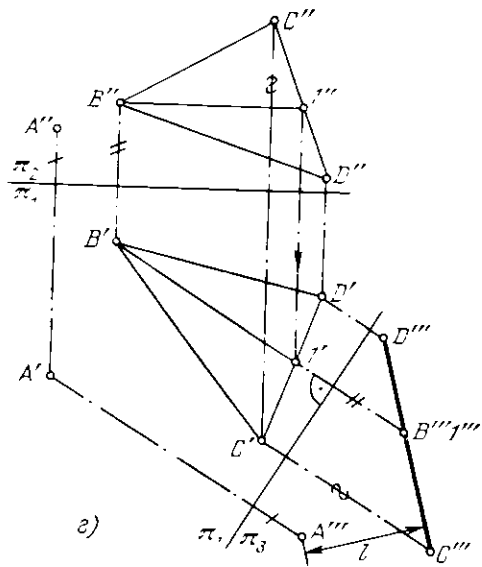


Рис. 162 г. ж

жс)

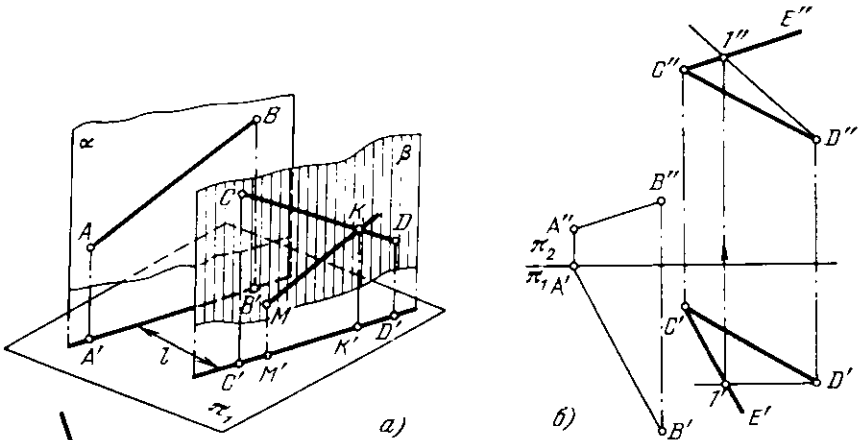
пл. проекций в натуральную величину, если данная плоскость перпендикулярна к пл. проекций (рис. 162, в). Добиться такого положения можно, преобразуя чертеж, например, способом перемены пл. проекций. Введем пл. π_2 (рис. 162, з), перпендикулярную к пл. треугольника BCD . Для этого проводим в пл. треугольника горизонталь $B-I$ и располагаем ось проекций π_1/π_2 перпендикулярно к проекции $B'I'$ горизонтали. Строим проекции точки и плоскости — A'' и отрезок $C''D''$. Расстояние от A'' до $C''D''$ равно искомому расстоянию l точки до плоскости.

На рис. 162, д применен способ параллельного перемещения. Перемещаем всю систему до тех пор, пока горизонталь $B-I$ плоскости не станет перпендикулярна к плоскости π_2 : проекция $\bar{B}\bar{I}$ должна быть перпендикулярна к оси x . В этом положении плоскость треугольника станет фронтально-проецирующей, и расстояние l от точки A до нее получится на пл. π_2 без искажения.

На рис. 162, б плоскость задана следами. Вводим (рис. 162, в) дополнительную пл. π_3 , перпендикулярную к пл. α : ось π_3/π_1 перпендикулярна к $h'_{0\alpha}$. Дальнейшее ясно из чертежа. На рис. 162, ж задача решена при помощи одного перемещения: пл. α переходит в положение $\bar{\alpha}$, т.е. становится фронтально-проецирующей. След $h'_{0\bar{\alpha}}$ перпендикулярен к оси x . Строим в этом положении плоскости фронт. след горизонтали — точку \bar{N}'' , \bar{N}' . След $f''_{0\bar{\alpha}}$ пройдет через $x_{\bar{\alpha}}$ и \bar{N}'' . Расстояние от \bar{A}'' до $f''_{0\bar{\alpha}}$ равно искомому расстоянию l .

165. Дана пирамида $SABC$ (см. рис. 160). Определить расстояние от точки A до грани SBC пирамиды, применив способ параллельного перемещения.

166. Дана пирамида $SABC$ (см. рис. 161). Определить высоту пирамиды, применив способ параллельного перемещения.



167*. Определить расстояние между скрещивающимися прямыми AB и CD (см. рис. 159, а) как расстояние между параллельными плоскостями, проведенными через эти прямые.

Решение. На рис. 163, а показаны параллельные между собой плоскости α и β , из которых пл. β проведена через CD параллельно AB , а пл. α — через AB параллельно пл. β . Расстояние между такими плоскостями и считается расстоянием между скрещивающимися прямыми AB и CD . Однако можно ограничиться построением только одной плоскости, например β , параллельно AB , а затем определить расстояние хотя бы от точки A до этой плоскости.

На рис. 163, б показана плоскость β , проведенная через CD параллельно AB ; в проекциях проведено $C''E'' \parallel A''B''$ и $C'E' \parallel A'B'$. Применяя способ перемены пл. проекций (рис. 163, в), введем дополнительную пл. π_3 , перпендикулярную к пл. π_2 и в то же время перпендикулярную к пл. β .

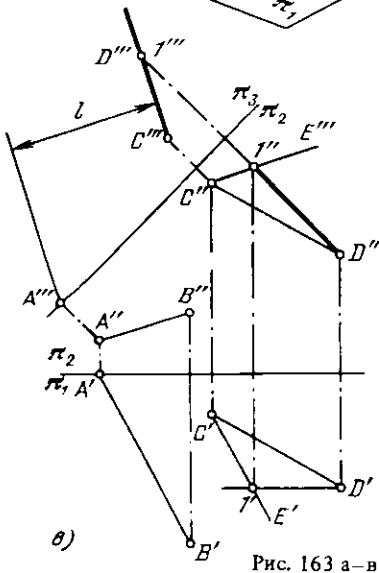


Рис. 163 а-в

Чтобы провести ось π_3/π_2 , берем в этой плоскости фронталь $D-1$. Теперь проводим π_3/π_2 перпендикулярно к $D''1''$ (рис. 163, в). Пл. β изобразится на пл. π_3 в виде прямой $C'''D'''$. Остальное ясно из чертежа.

168. Дана пирамида $SABC$ (см. рис. 160). Определить расстояние между ребрами SC и AB . Применить: 1) способ перемены пл. проекций; 2) способ параллельного перемещения.

169*. Определить расстояние между параллельными плоскостями, из которых одна задана прямыми AB и AC , а другая — прямыми DE и DF (рис. 164, а). Выполнить также построение для случая, когда плоскости заданы следами (рис. 164, б).

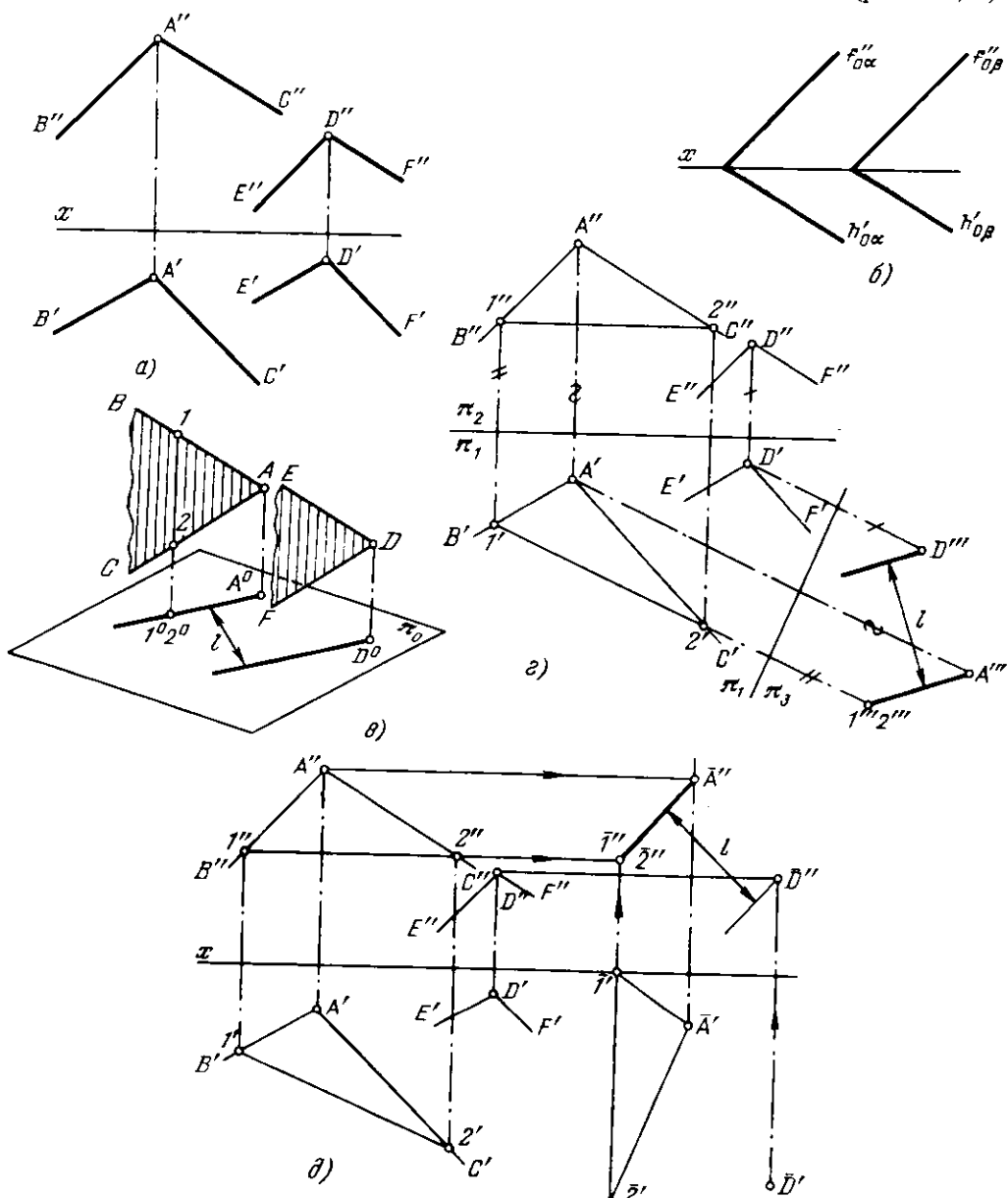


Рис. 164 а-д

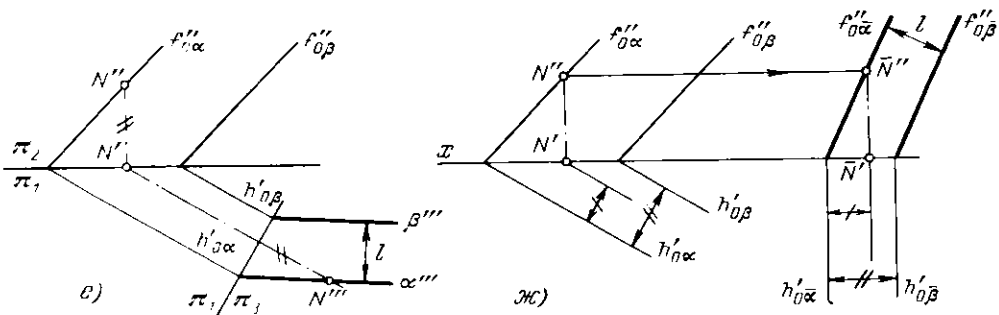


Рис. 164 е, ж

Решение. Расстояние (рис. 164, в) между параллельными плоскостями можно определить, проведя перпендикуляр из любой точки одной плоскости на другую плоскость. На рис. 164, г введена дополнительная пл. π_3 перпендикулярно к пл. π_1 и к обеим данным плоскостям. Ось π_3/π_1 перпендикулярна к горизонт. проекции горизонтали, проведенной в одной из плоскостей. Строим проекцию этой плоскости и точки D другой плоскости на пл. π_3 . Расстояние точки D''' до прямой $I'''A'''$ равно искомому расстоянию между параллельными плоскостями.

На рис. 164, д дано другое построение (по способу параллельного перемещения). Для того чтобы плоскость, выраженная пересекающимися прямыми AB и AC , оказалась перпендикулярна к пл. π_2 , горизонт. проекцию горизонтали этой плоскости ставим перпендикулярно

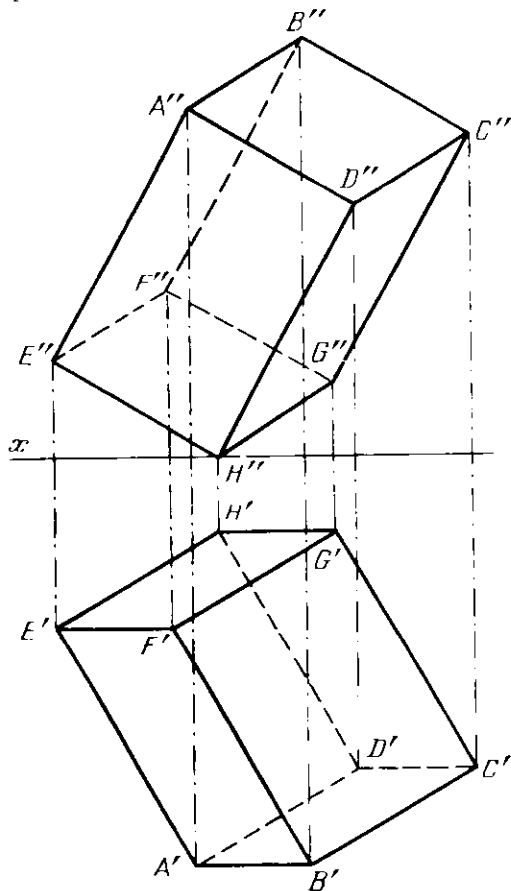


Рис. 165

к оси x : $\bar{1} \bar{2} \perp x$. Расстояние между фронт. проекцией \bar{D}'' точки D и прямой $\bar{A}'' \bar{2}''$ (фронт. проекцией плоскости) равно искомому расстоянию между плоскостями.

На рис. 164, е показано введение дополнительной пл. π_3 , перпендикулярной к пл. π_1 и к данным плоскостям α и β (ось π_3/π_1 перпендикулярна к следам $h'_{0\alpha}$ и $h'_{0\beta}$). Строим следы α''' и β''' . Расстояние между ними (см. рис. 164, а) равно искомому расстоянию l между плоскостями α и β .

На рис. 164, ж показано перемещение плоскостей α и β в положение $\bar{\alpha}$ и $\bar{\beta}$, когда горизонт. следы оказываются перпендикулярными к оси x . Расстояние между новыми фронт. следами $f'_{0\bar{\alpha}}$ и $f'_{0\bar{\beta}}$ равно искомому расстоянию l .

170. Дан параллелепипед $ABCDEFGH$ (рис. 165). Определить расстояния: а) между основаниями параллелепипеда — l_1 ; б) между гранями $ABFE$ и $DCGH$ — l_2 ; в) между гранями $ADHE$ и $BCGF$ — l_3 .

§ 19. Определение величины углов

171*. Определить углы наклона прямой AB к пл. π_2 и пл. π_1 (рис. 166, а).

Решение. Если прямая параллельна пл. π_2 (рис. 166, б), то угол между этой прямой и пл. π_1 (угол φ_1) изображается без искажения на фронт. проекции. Если же прямая параллельна пл. π_1 (рис. 166, в), то образуемый этой прямой угол с пл. π_2 (угол φ_2) изображается без

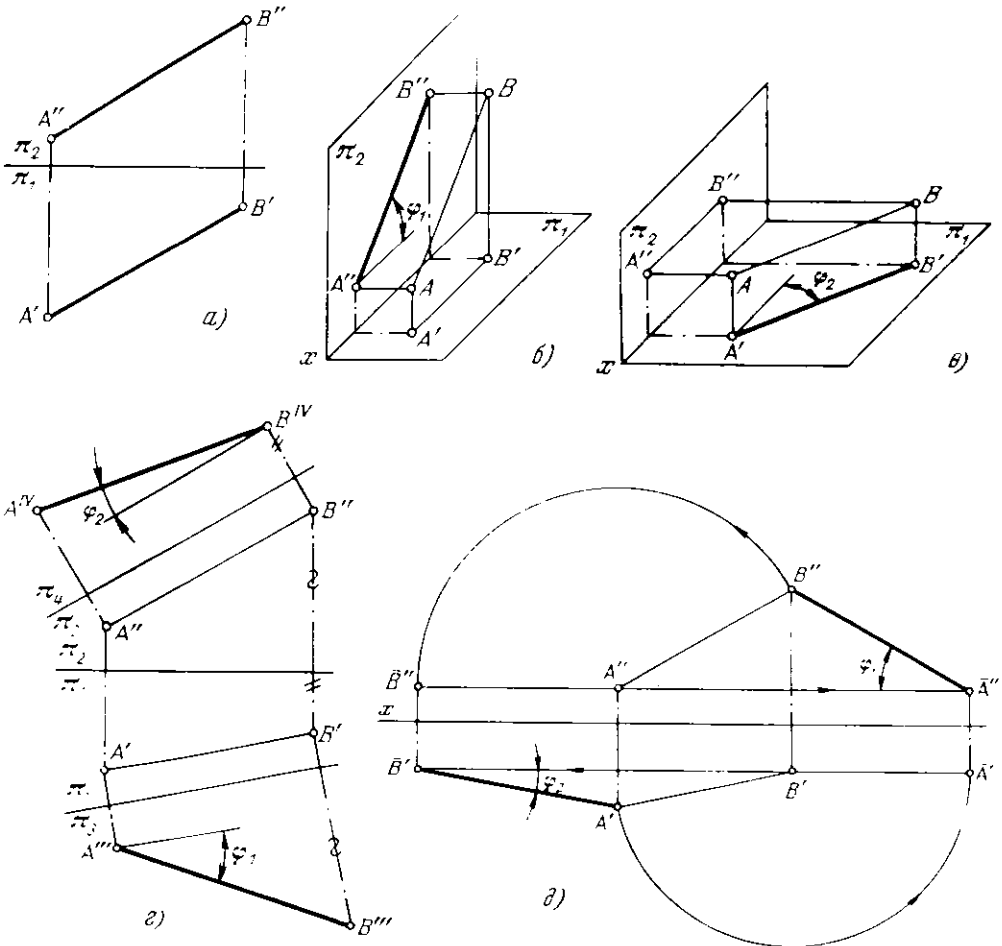


Рис. 166 а д

искажения на горизонт. проекции. Поэтому, поставив заданную прямую общего положения сначала параллельно пл. π_2 , а затем параллельно пл. π_1 , можно определить соответственно углы φ_1 и φ_2 .

На рис. 166, *г* показано применение способа перемены пл. проекций для определения углов φ_1 и φ_2 . Так, для определения угла φ_1 введена дополнительная пл. π_3 , перпендикулярная к пл. π_1 и параллельная AB , а для определения угла φ_2 – дополнительная плоскость $\pi_4 \perp \pi_2$ и в то же время $\parallel AB$.

На рис. 166, *д* прямая как бы повернута: а) вокруг оси, проходящей через точку B и перпендикулярной к пл. π_1 , до параллельности пл. π_2 (положение $\bar{A}''B''$, $\bar{A}'B'$) – определен угол φ_1 ; б) вокруг оси, проходящей через точку A перпендикулярно к пл. π_2 , до параллельности пл. π_1 (положение $A''\bar{B}'$, $A'\bar{B}'$) – определен угол φ_2 .

Конечно, можно изобразить эти оси на чертеже, но, как видно, построение возможно и без этого.

172. Дана пирамида $SABCD$ (см. рис. 154). Определить углы наклона ребер пирамиды к пл. π_2 и пл. π_1 .

173* Определить углы наклона плоскости, заданной треугольником ABC (рис. 167. *а*), к пл. π_1 и пл. π_2 .

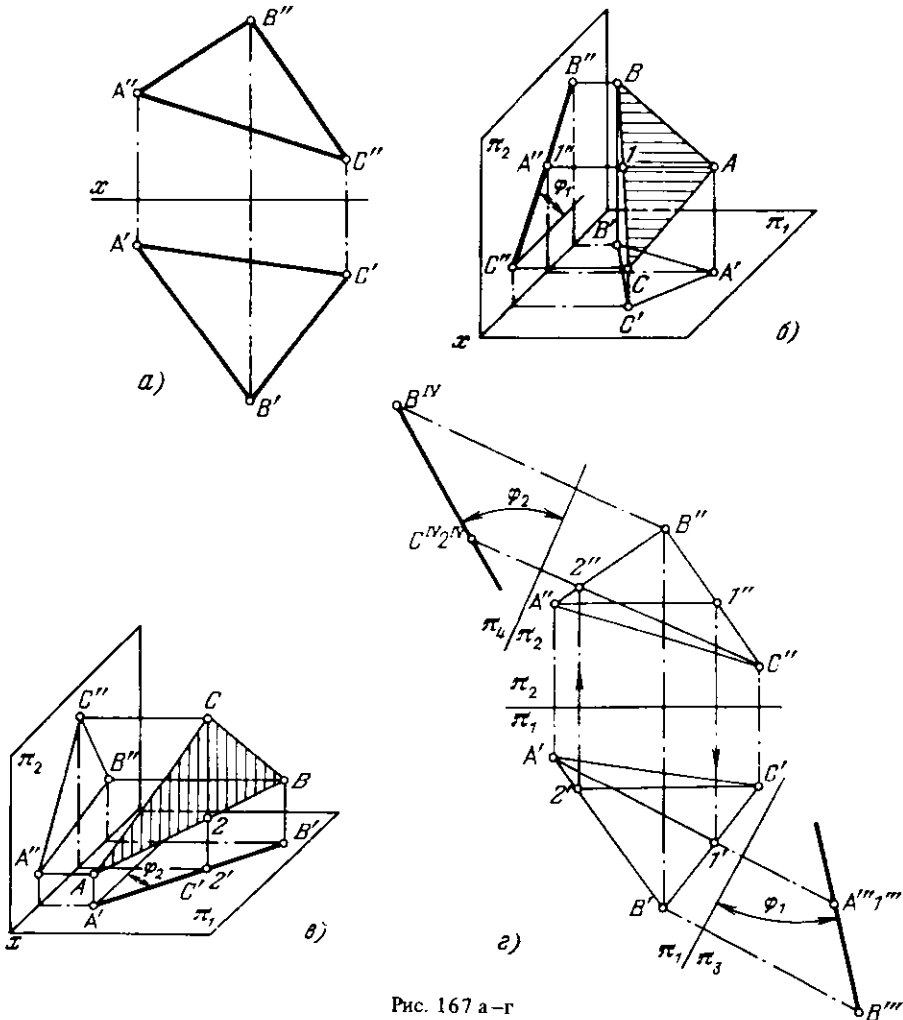


Рис. 167 а–г

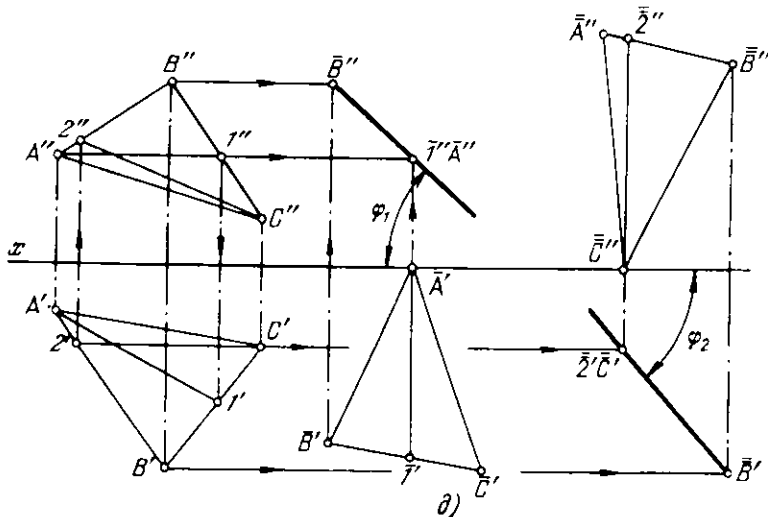


Рис. 167 д

Решение. Как известно, угол наклона (φ_1) плоскости к пл. π_1 проецируется без искажения на пл. π_2 , если плоскость перпендикулярна к пл. π_2 (рис. 167, б), а угол наклона (φ_2) плоскости к пл. π_2 проецируется без искажения на пл. π_1 , если плоскость перпендикулярна к пл. π_1 (рис. 167, в).

На рис. 167, г для определения угла φ_1 переходим к системе π_3, π_1 , где пл. π_3 перпендикулярна к пл. π_1 и к заданной плоскости (ось π_3/π_1 перпендикулярна к горизонт. проекции $A'I'$ горизонтали).

Определение угла φ_2 произведено путем перехода от системы π_2, π_1 к системе π_4, π_2 , где пл. π_4 перпендикулярна к пл. π_2 и к данной плоскости треугольника (ось π_4/π_2 перпендикулярна к фронт. проекции $C''2''$ фронтали).

На рис. 167, д та же задача решена способом параллельного перемещения. Сначала все вершины заданного треугольника ABC перемещены в плоскостях, параллельных π_1 , так, чтобы плоскость треугольника оказалась перпендикулярной к пл. π_2 . Это достигнуто с помощью горизонтали $A-I$, перемещенной так, что она расположилась перпендикулярно к пл. π_2 (горизонт. проекция $\bar{A}'I'$ перпендикулярна к оси x). Получаем угол φ_1 наклона плоскости треугольника к пл. π_1 без искажения.

Для определения величины угла φ_2 наклона плоскости треугольника ABC к пл. π_2 треугольник повернут так, чтобы он расположился перпендикулярно к пл. π_1 . Это сделано при помощи фронтали $C-2$: она поставлена перпендикулярно к пл. π_1 (положение $\bar{C}2$, фронт. проекция $\bar{C}''\bar{2}'' \perp x$), и, следовательно, проходящая через эту фронталь плоскость также перпендикулярна к пл. π_1 .

174. Дана пирамида $SABC$ (см. рис. 161). Определить углы наклона граней SAB, SAC и ABC к пл. π_1 и пл. π_2 .

175. Дан параллелепипед (см. рис. 165). Определить углы наклона основания $ABCD$ и грани $CDHG$ к пл. π_2 и грани $ADEH$ к пл. π_1 .

176*. Определить величину угла BAC (рис. 168, а).

Решение. Если плоскость угла параллельна какой-либо пл. проекций, то данный угол проецируется на нее без искажения (рис. 168, б).

На рис. 168, в задача решена при помощи способа перемены пл. проекций. Так как плоскость угла BAC является плоскостью общего положения (ее горизонталь не перпендикулярна ни к одной из плоскостей), то приходится сначала дополнить систему π_2, π_1 пл. π_3 , взяв ее перпендикулярно к пл. π_1 и к плоскости угла BAC . В результате этого преобразования проекция угла на плоскости π_3 получится в виде отрезка $A'''J'''$. Теперь можно ввести еще одну дополнительную пл. проекций (π_4), проведя ее перпендикулярно к пл. π_3 и в то же время параллельно плоскости угла BAC . Угол $J'IV_A I'V_2IV$ представит собою натуральную величину угла BAC .

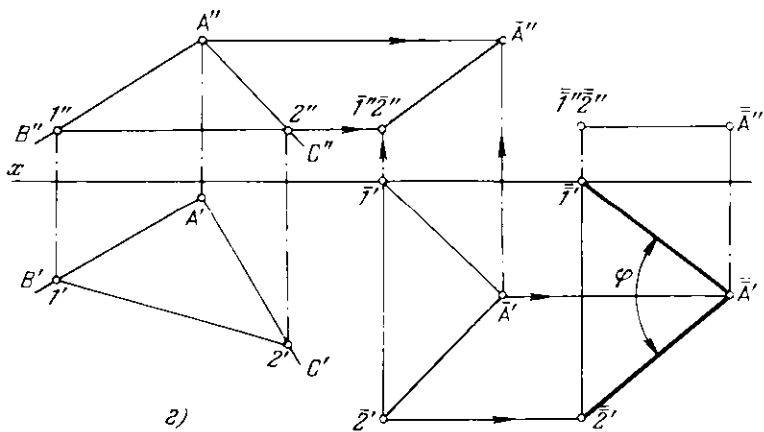
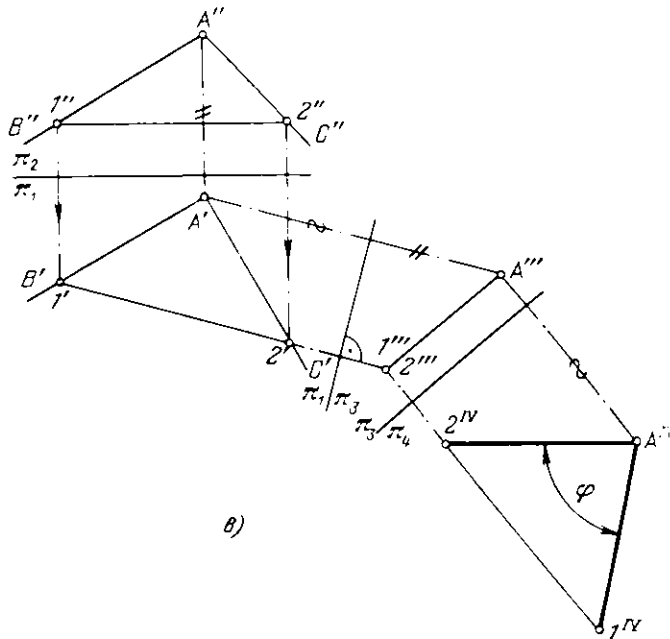
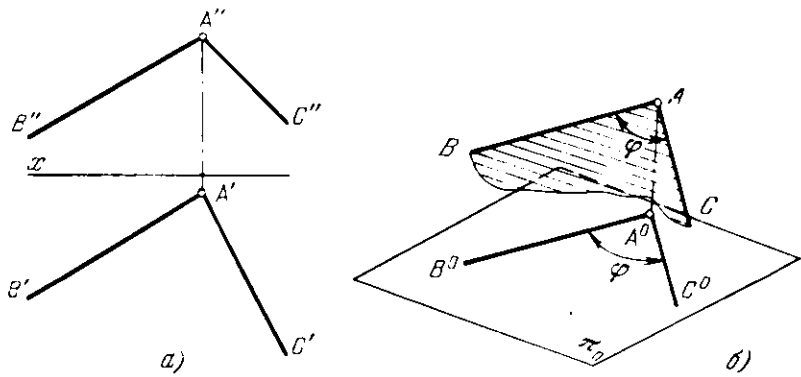


Рис. 168 а - г

На рис. 168, ε искомый угол φ определен способом параллельного перемещения.

Сначала плоскость угла перемещена так, чтобы она стала перпендикулярной к пл. π_2 (для этого располагаем горизонт. проекцию горизонтали перпендикулярно к оси x). Затем располагаем плоскость угла параллельно пл. π_1 , для чего перемещаем проекцию $\bar{1}''A''$ в положение $\bar{1}''A'$ (т.е. \parallel оси x). Еще одно построение показано на рис. 168, δ . Здесь для определения величины угла применен поворот вокруг горизонтали: плоскость угла расположится параллельно пл. π_1 (положение γ).

Построения выполнены в следующем порядке:
1. Проведена плоскость вращения точки A - горизонтально-проецирующая пл. δ , перпендикулярная к горизонтали (т.е. к оси вращения).

2. Отмечен центр вращения точки A в пересечении горизонтали с пл. δ (точка O' , O'') и указаны проекции радиуса вращения ($O'A'$ и $O''A''$).

3. Определена натуральная величина радиуса вращения (с ε выражает гипотенуза $O'A^*$ треугольника $O'A'A^*$).

4. Проведена дуга окружности радиуса $O'A^*$ и на δ' найдена точка \bar{A}' - горизонт. проекция вершины угла после его поворота вокруг горизонтали до совмещения с пл. γ - и построен угол $\bar{1}'\bar{2}'$, равный искомому.

Для решения задач типа 176 наиболее рациональным является применение вращения вокруг горизонтали (или фронтанги), как это показано на рис. 168, δ .

177. Дана пирамида $SABC$ (см. рис. 156). Вращением вокруг горизонтали определить угол между ребрами SA и SB , SB и SC , SC и SA .

178. Дан параллелепипед (см. рис. 165). Определить углы между ребрами DH и CD , CG и CD , AB и BC .

179*. Определить величину угла между скрещивающимися прямыми AB и CD (рис. 169, a).

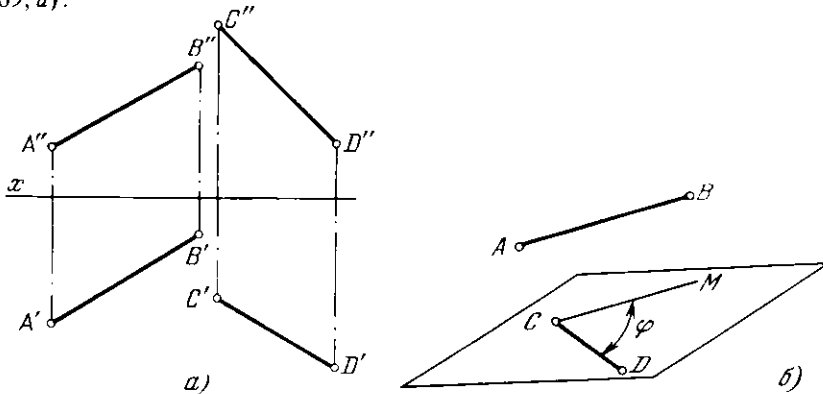


Рис. 169 а, б

Решение. Угол между двумя скрещивающимися прямыми определяется углом, составленным пересекющимися прямыми, соответственно параллельным данным скрещивающимся. Для определения величины угла надо начать с его изображения на чертеже. Это сделано на рис. 169, б, причем использована одна из заданных прямых CD , через точку C которой проведена прямая CM , параллельная другой заданной прямой AB . Величина угла MCD (рис. 169, a) выражает угол между прямыми AB и CD . Это сделано при помощи поворота вокруг горизонтали $1-2$ (рис. 169, ε), взятой в ш. угла MCD .

180. Дана пирамида $SABC$ (см. рис. 160). Определить величину угла между ее ребрами: а) SB и AC ; б) SA и BC .

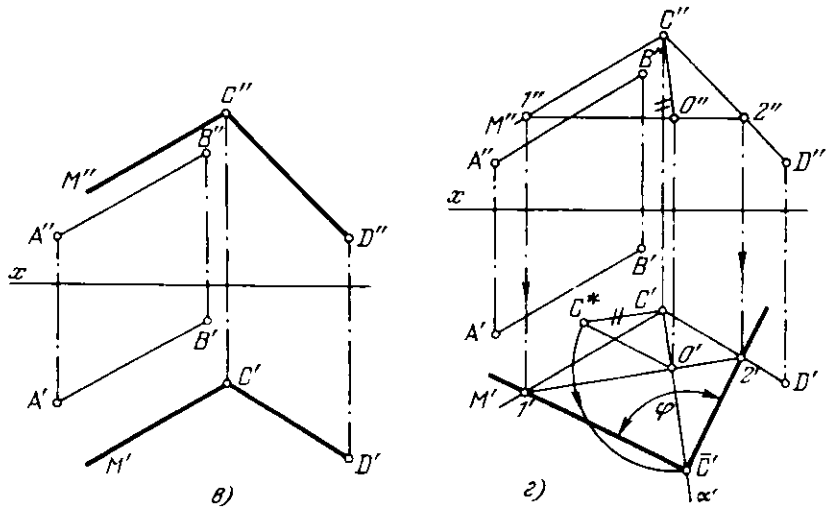


Рис. 169 в, г

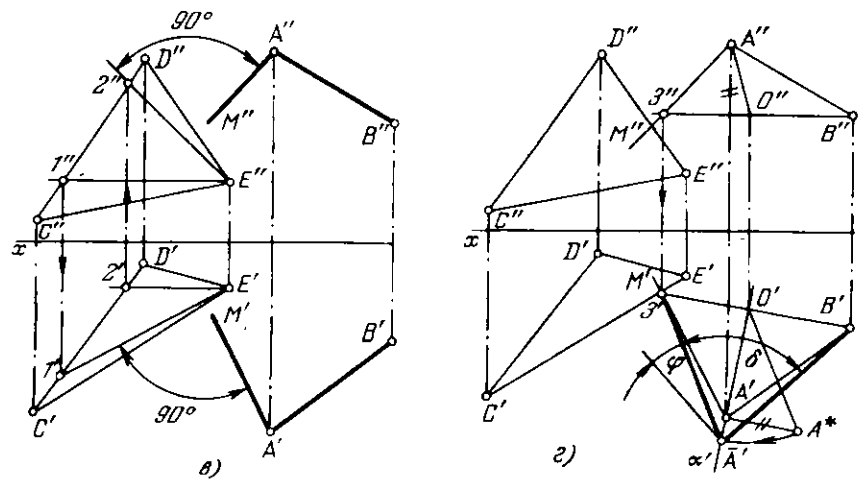
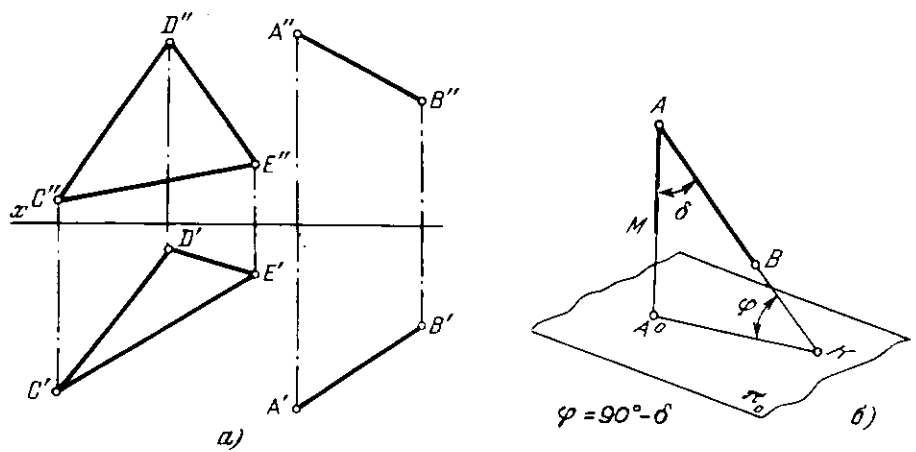


Рис. 170 а-г

181*. Определить величину угла φ наклона прямой AB к плоскости, заданной треугольником CDE (рис. 170, а).

Решение. Как известно, углом между прямой (AB) и плоскостью (π_0) называется острый угол (φ) между прямой и ее проекцией (A^0K) на этой плоскости. Для построения (рис. 170, б) этого угла надо найти точки пересечения с пл. π_0 прямой AB и перпендикуляра, проведенного из какой-либо точки прямой AB на пл. π_0 . Но если, как в данной задаче, требуется лишь определить величину угла наклона прямой к плоскости, то проще определить величину угла δ , дополнительного к углу φ : найдя угол δ , можно определить величину угла φ из соотношения $\varphi = 90^\circ - \delta$. На рис. 170, в показано построение проекций $A'M'$ и $A''M''$ перпендикулярно к плоскости треугольника CDE , для чего взяты горизонталь и фронталь этой плоскости: $A'M' \perp E'1'$, $A''M'' \perp E''2''$.

Теперь можно определить (рис. 170, г) натуральную величину угла δ с вершиной A , что сделано поворотом вокруг горизонтали $B''3''$, $B'3'$. Искомый угол $\varphi = 90^\circ - \delta$.

182. Дана пирамида $SABC$ (см. рис. 161). Определить углы наклона ребер SA , SB и SC к грани ABC .

183*. Определить угол между гранями ABC и ABD (рис. 171, а).

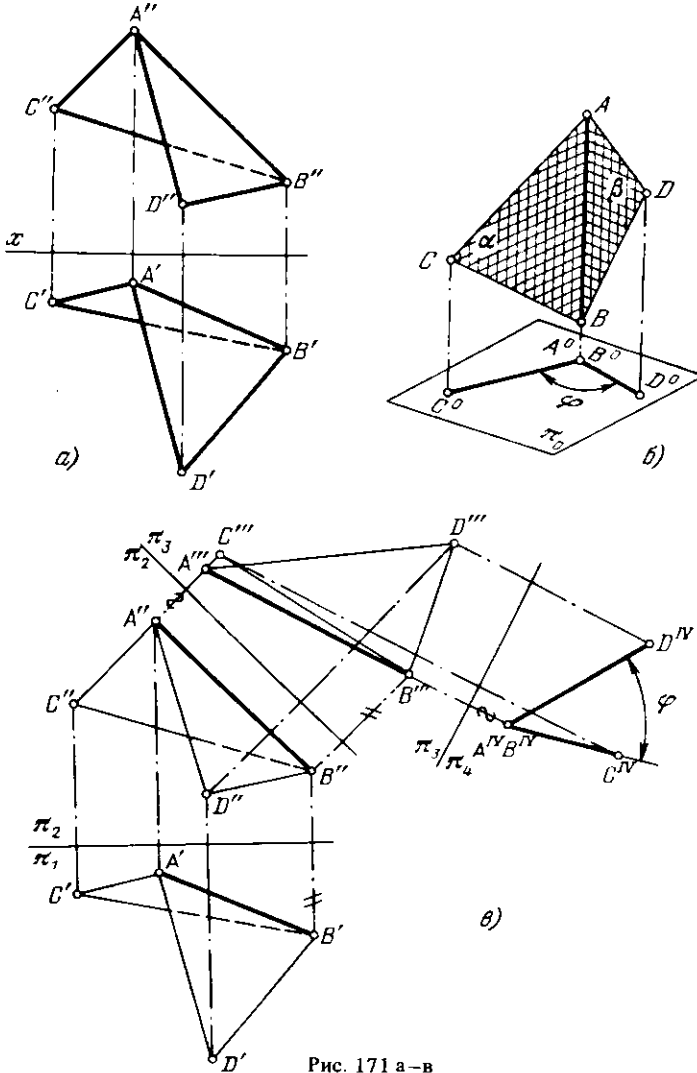


Рис. 171 а-в

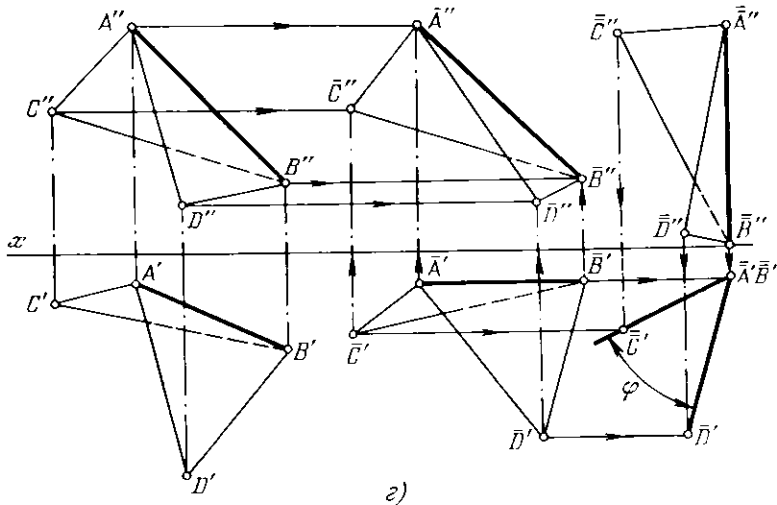


Рис. 171 г

Решение. Двугранный угол измеряется линейным углом, полученным в пересечении граней двугранного угла плоскостью, перпендикулярной к обеим граням двугранного, а следовательно, и к линии их пересечения, т.е. ребру двугранного угла. Если это ребро AB окажется перпендикулярным к какой-либо пл. π_0 (рис. 171, б), то полученная на пл. π_0 проекция двугранного угла выражает его линейный угол.

Для решения задачи (рис. 171, в) применен способ перемены пл. проекций. От системы π_2, π_1 совершил переход к системе π_3, π_2 , где $\pi_3 \perp \pi_2$ и $\pi_3 \parallel AB$, а затем от этой системы π_3, π_2 переход к системе π_4, π_3 , где $\pi_4 \perp \pi_3$ и $\pi_4 \perp AB$.

Треугольники проецируются на пл. π_4 в виде отрезков A^IVC^IV и A^IVD^IV . Угол между ними равен искомому углу φ .

На рис. 171, г показано решение той же задачи при помощи способа параллельного перемещения: ребро AB поставлено перпендикулярно к пл. π_1 .

184*. Определить величину угла, образованного плоскостью α и плоскостью треугольника ABC (рис. 172, а).

Решение. Если, решая данную задачу, придерживаться схемы решения предыдущей, то необходимо построить прямую пересечения заданных плоскостей. Но можно поступить и иначе, без построения этой прямой, т.е. не определяя ребра искомого двугранного угла. Можно поступить следующим образом: определить не непосредственно угол φ , а угол σ (рис. 172, б) между перпендикулярами KM и KN , проведенными из какой-либо точки K на заданные плоскости. Найдя угол σ , получаем $\varphi = 180^\circ - \sigma$.

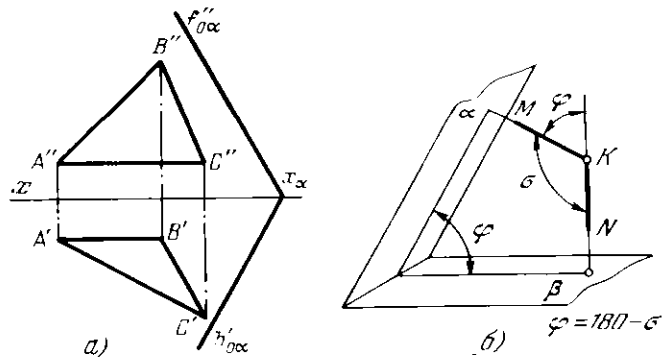


Рис. 172 а, б

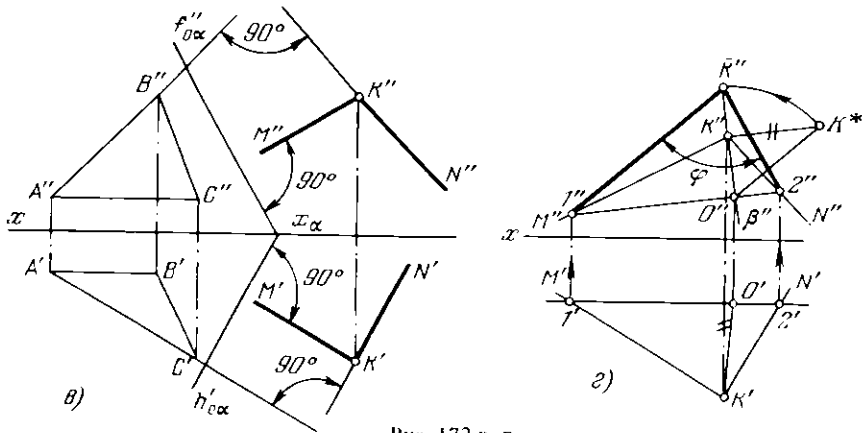


Рис. 172 в, г

Такое решение отличается в своей сущности от решений по рис. 171, в и 171, г. Взяв некоторую точку K (рис. 172, а), проведем из нее перпендикуляры KN и KM соответственно к плоскости треугольника ABC и к пл. α ; из точки K'' проводим $K''N'' \perp A'B''$ и $K''M'' \perp f''_{0\alpha}$, а из точки K' $K'N' \perp A'C'$ и $K'M' \perp h'_{0\alpha}$. Таким образом получается угол с проекциями $M'K'N'$ и $M''K''N''$ (угол ϕ). Натуральная величина этого угла получается поворотом вокруг фронталей $1-2$ (рис. 172, г). Так как получен острый угол, то можно считать, что он определяет искомый угол между заданными плоскостями, так как из смежных углов, полученных при взаимном пересечении двух плоскостей, углом между плоскостями считается острый.

185. Дана пирамида $SABCD$ (см. рис. 154). Определить способом перемены плоскостей проекций углы между гранями SAB и SBC , SBC и SCD , SAD и SAB .

186. Дан параллелепипед (см. рис. 165). Определить углы между гранями $CDHG$ и $EEFH$, $BCGF$ и $CDHG$.

§ 20. Смешанные задачи

с применением способов преобразования чертежа

187*. Поворотом вокруг прямой MN ввести точку A в пл. π_1 (рис. 173, а).

Решение. Ось вращения — прямая MN в данном случае параллельна пл. π_1 . Поэтому плоскость вращения точки A является горизонтально-проецирующей. Ее след $h'_{0\alpha}$ (рис. 173, б) проходит через проекцию A' . Точка A при повороте ее вокруг MN описывает в пл. α окружность.

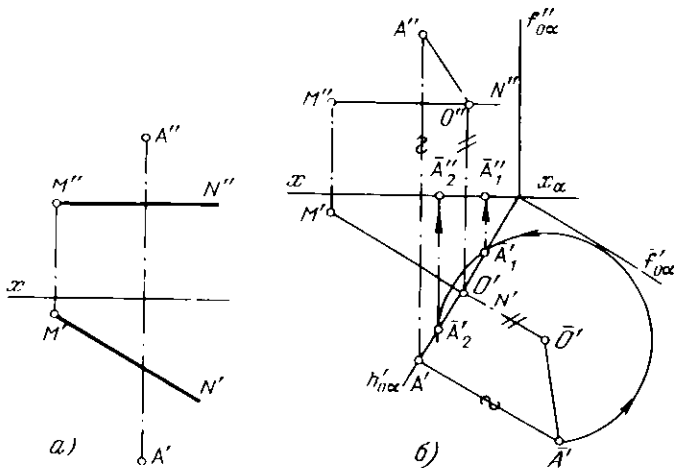


Рис. 173 а, б

горизонт. проекция которой совпадает с $h'_{0\alpha}$; центр этой окружности находится в точке O пересечения оси вращения MN с пл. α . Так как пл. α составляет с пл. π_2 острый угол, то проекция окружности, расположенной в пл. α , получится на пл. π_2 в виде эллипса. Чтобы избежать построения этого эллипса, совместим пл. α и лежащие в ней точки O и A с пл. π_1 . Это даст возможность изобразить дугу окружности, по которой перемещается точка A , без искажения. По условию задачи точка A , находясь в пл. α , должна оказаться в пл. π_1 ; следовательно, точка A должна получиться после поворота на следе $h'_{0\alpha}$ и совпасть со своей горизонт. проекцией. Поэтому, проведя дугу радиусом $\overline{O'A'}$, получим точки $\overline{A'_1}$ и $\overline{A'_2}$ – горизонт. проекции точки A , приведенной в пл. π_1 . По точкам $\overline{A'_1}$ и $\overline{A'_2}$ строим на оси x проекции $\overline{A''_1}$ и $\overline{A''_2}$.

188. Поворотом вокруг прямой MN ввести точку A в пл. π_2 (рис. 174).

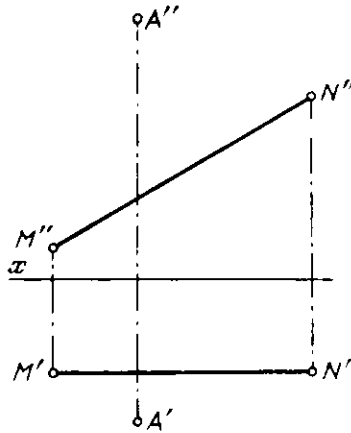


Рис. 174

189*. Построить проекции окружности, расположенной в пл. α (рис. 175, а). Известна величина радиуса этой окружности (R) и положение фронт. проекции (C'') ее центра.

Решение. Прежде всего находим проекцию C' центра окружности (при помощи горизонтали CN). Точки C'' и C' будут центрами эллипсов – проекций окружности, расположенной в плоскости общего положения α .

На рис. 175, б показано построение осей эллипса – горизонт. проекции окружности. Большая ось расположена на горизонт. проекции горизонтали CN и равна $2R$. Положение малой оси также известно: она перпендикулярна к $l'2'$. Для определения величины этой оси (а также малой оси фронт. проекции) применено совмещение пл. α с пл. π_1 , что дает возможность изобразить окружность без искажения. Ее диаметр $\overline{l'2'}$ соответствует отрезку $l'2'$, т.е. большой оси эллипса – горизонт. проекции окружности, а диаметр $\overline{3'4'}$ – малой оси этого эллипса. Проведя через точку $\overline{3'}$ фронталь плоскости α в ее совмещенном положении ($\parallel f'_{0\alpha}$), а затем горизонт. проекцию этой фронтالي, находим точку $\overline{3'}$ и тем самым полуось $C'3'$. Откладывая $C'4' = C'3'$, получаем малую ось эллипса $\overline{3'4'}$.

Построение осей эллипса – фронт. проекции окружности – показано на рис. 175, в. Здесь также известно положение большой оси – она лежит на фронт. проекции фронтали, проходящей через C'' , – и величина этой оси ($\overline{7''8''} = 2R$). Малая ось перпендикулярна к $\overline{7''8''}$. Величина же малой оси определяется при помощи диаметра $\overline{5'6'}$ окружности в ее совмещенном с пл. π_1 положении: большой оси эллипса $\overline{7''8''}$ соответствует диаметр $\overline{7'8'}$ окружности, а малой оси $\overline{5''6''}$ – диаметр $\overline{5'6'}$, перпендикулярный к $\overline{7'8'}$. Проведя через $\overline{6'}$ фронталь плоскости α до пересечения с $h'_{0\alpha}$, находим затем фронт. проекцию этой фронтали и на ней точку $\overline{6''}$ – конец малой оси эллипса. Откладывая $C''5'' = C''6''$, получаем малую ось $\overline{5''6''}$.

На рис. 175, г показано построение проекций некоторых точек окружности. Взятые точки $\overline{9'}$ и $\overline{10'}$ на прямой $\overline{A'B'}$. Построив горизонт. и фронт. проекции этой прямой, находим сначала проекции $\overline{9'}$ и $\overline{10'}$, а затем $\overline{9''}$ и $\overline{10''}$.

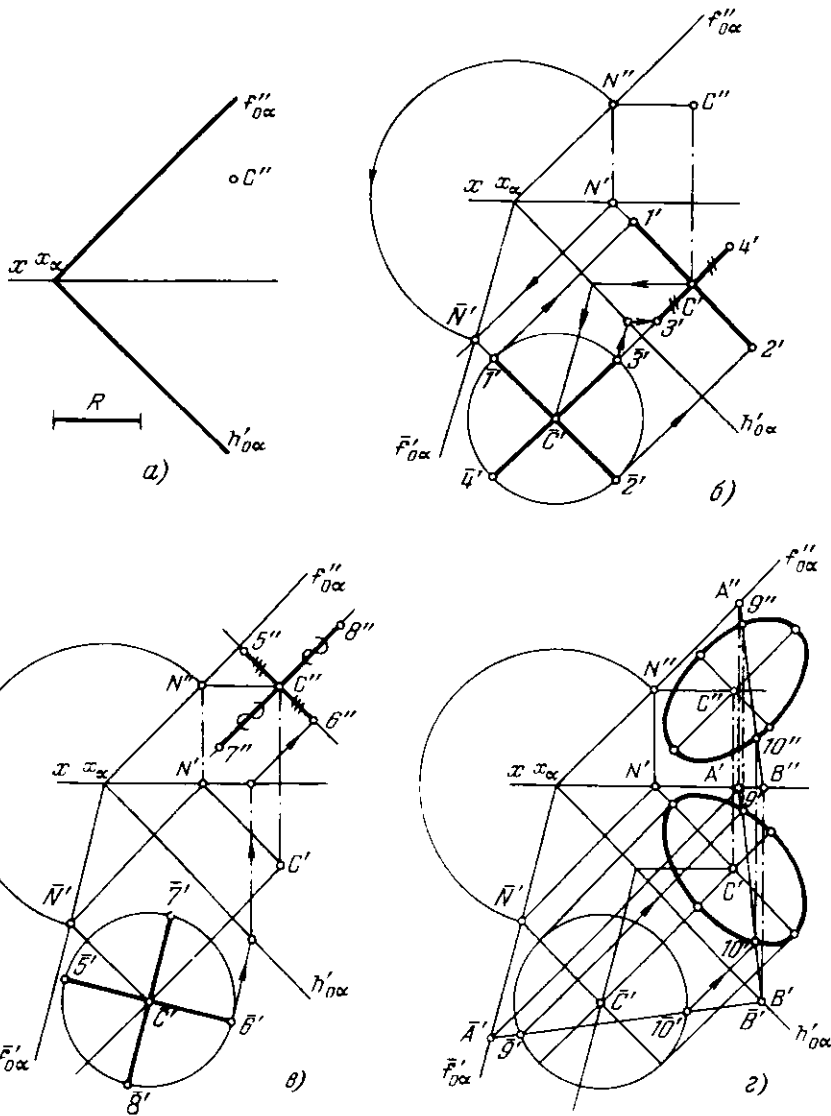


Рис. 175 а–г

Найдя ряд точек, проводим через них и через концы осей эллипсы – проекции окружности.

190*. Построить проекции окружности, расположенной в плоскости, заданной ее горизонталью BC и фронталью CE (рис. 176, а). Известны величина радиуса этой окружности и положение центра – точка C .

Решение. Находим горизонт. след фронталей (рис. 176, б) и проводим через точку M' след $h'_{0\alpha}$ параллельно $C'B'$. Определяем величину радиуса CO как величину гипотенузы прямоугольного треугольника с катетами $C'O'$ и $C'C^*$ и находим совмещенное с пл. π_1 положение центра окружности \bar{C}' . На рис. 176, в точка 3 построена с помощью прямой $\bar{1}'\bar{3}'$, продолженной до пересечения с $h'_{0\alpha}$ в точке $\bar{A}'(A')$, а точки 5 и 6 – с помощью прямой $\bar{5}'\bar{6}'$, проходящей через центр \bar{C}' и пересекающей при своем продолжении след $h'_{0\alpha}$ в точке $\bar{D}'(D')$.

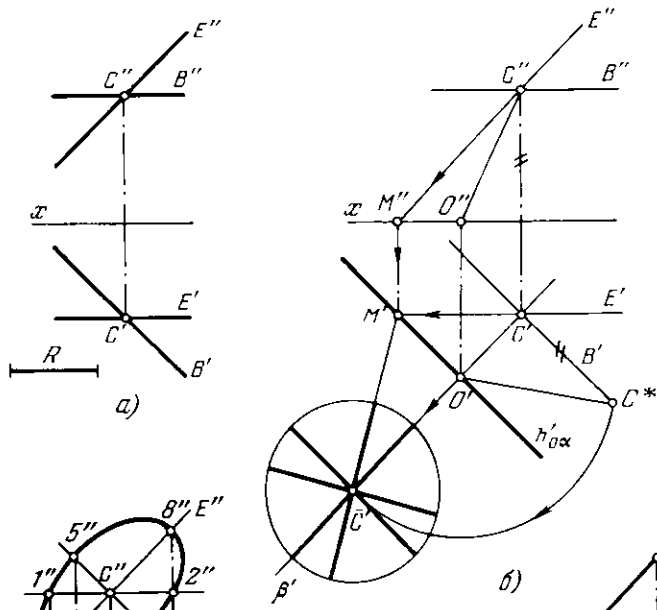


Рис. 176 а-в

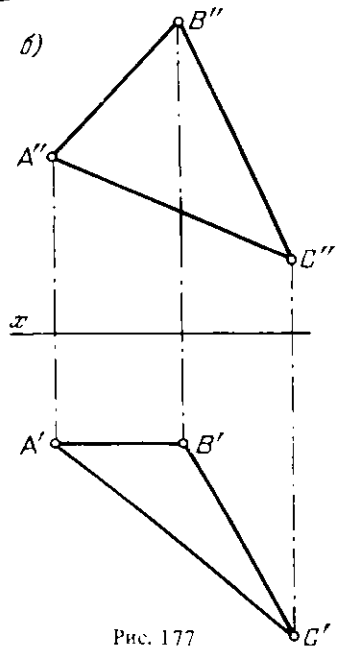


Рис. 177

Дальнейшие построения аналогичны выполненным на рис. 175, б и в. Они ясны из чертежа.

191. Построить проекции окружности, описанной вокруг треугольника ABC (рис. 177).

192*. Плоскость, заданную треугольником ABC , повернуть вокруг оси OO_1 так, чтобы точка K оказалась в этой плоскости (рис. 178, а).

Решение. Если точка K войдет в плоскость, то она окажется на одной из горизонталей этой плоскости, а именно на той, которая расположена на одном уровне с точкой K (рис. 178, б). Поэтому проводим через K'' фронт. проекцию горизонтали, находим точки $1''$ и $2''$, а по ним точки $1'$ и $2'$ и проводим горизонт. проекцию $1'2'$ горизонтали.

Теперь надо повернуть горизонталь так, чтобы она прошла через точку K . Для этого опускаем из точки $O'(O'_1)$ перпендикуляр на $1'2'$ и радиусом $O'3'$ проводим дугу окружности, по от-

ношению к которой горизонт. проекция горизонтали является касательной в любом положении при повороте плоскости вокруг данной оси OO_1 . Поэтому, проведя из K' касательную к этой окружности, мы определяем положение горизонт. проекции горизонтали, на которой должна находиться точка K после требуемого поворота. Наносим на нее точки $\bar{1}'$ и $\bar{2}'$ ($\bar{3}'\bar{1}' = 1'3'$ и

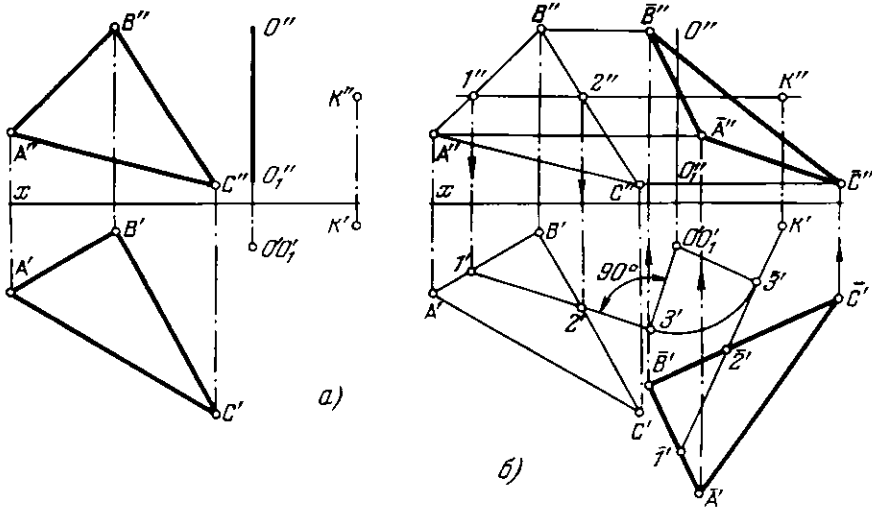


Рис. 178 а, б

$1'2' = 1'2'$), а затем строим точки \bar{A}' , \bar{B}' и \bar{C}' на основании известного вывода, устанавливающего неизменяемость горизонтальной проекции фигуры по форме и по размерам при повороте вокруг оси, перпендикулярной к пл. π_1 .

По проекции $\bar{A}'\bar{B}'\bar{C}'$ строим проекцию $\bar{A}''\bar{B}''\bar{C}''$. В положении $\bar{A}\bar{B}\bar{C}$ треугольник проходит через точку K .

Если из K провести вторую касательную к окружности, то получится второе решение. Предоставляем читателю найти это положение треугольника ABC .

193. Плоскость, заданную треугольником ABC , повернуть вокруг оси OO_1 так, чтобы точка K оказалась в этой плоскости (рис. 179).

194*. Найти предельное положение осей, при котором еще возможно получить решение в задаче 192.

Решение. Положим, что плоскость, как и в задаче 192, задана треугольником (рис. 180, а), ось, вокруг которой надо повернуть плоскость, должна быть перпендикулярна к пл. π_1 и точка K должна оказаться в плоскости треугольника.

Из рассмотрения рис. 180, б следует, что горизонт. проекция оси OO_1 должна быть расположена так, чтобы проекция K' не оказалась внутри окружности с радиусом $O'3'$, так как из точки K' надо провести касательную к этой окружности. Следовательно, расстояние точки O' от K' должно быть не меньше расстояний этой же точки до прямой $1'2'$.

Если провести $K'3'$ перпендикулярно к прямой $1'2'$ и разделить отрезок $K'3'$ пополам, то точка O' может служить горизонт. проекцией оси, при повороте вокруг которой горизонт. проекция горизонтали $1'2'$ пройдет через точку K' и, следовательно, точка K окажется в плоскости треугольника ABC . Очевидно, если взять еще какую-либо точку, расстояния которой до точки K' и до прямой $1'2'$ равны, то и эта точка может быть принята в качестве горизонт. проекции оси, пригодной для решения поставленной задачи. Но все такие точки, расстояния которых до точки K' и до прямой $1'2'$ равны между собой, принадлежат параболе с фокусом в точке K' и директрисой в виде прямой $1'2'$. Следовательно, предельное положение осей получается, если их горизонт. проекции образуют параболу, а самые оси представляют собою образующие параболического цилиндра. На рис. 180, б показано построение параболы с фокусом в точке K' и с директрисой $1'2'$. Если взять отрезок, например l_1 , провести прямую параллельно $1'2'$ на расстоянии l_1 и дугу радиуса l_1 из точки K' , то получатся две точки параболы. Вершина параболы — в точке O' .

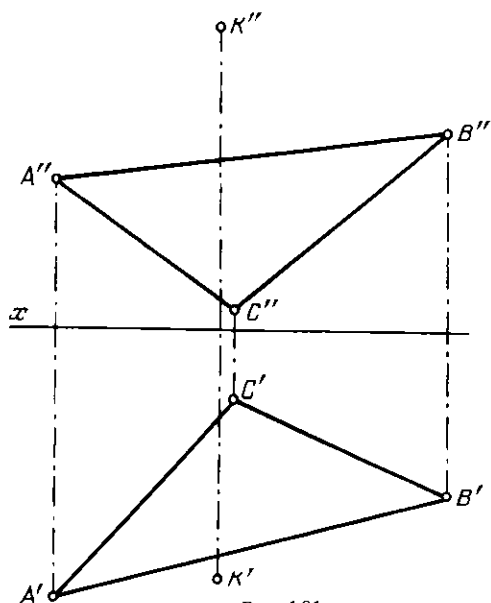


Рис. 181

196*. Найти точку K , находящуюся внутри пирамиды и отстоящую от грани SAB на расстоянии l_1 , от грани SAC — на l_2 , от грани ABC (основание пирамиды) — на l_3 (рис. 182, а).

Решение. Искомая точка получится как точка пересечения трех плоскостей, из которых каждая является геометрическим местом точек, отстоящих на определенное расстояние от грани пирамиды.

Введем дополнительную пл. π_3 , перпендикулярную к грани SAB (рис. 182, б), получаем проекцию пирамиды, на которой грань SAB изображается прямой $S''A''$. Плоскость, параллельная грани SAB и удаленная от нее на расстоянии l_1 , изображается прямой $1''2''$; эта плоскость

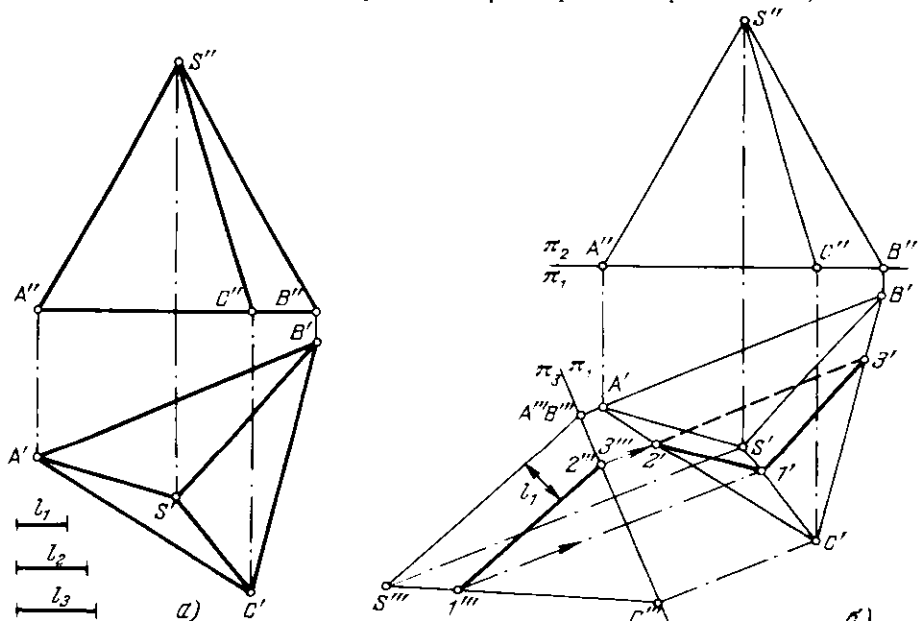


Рис. 182 а, б

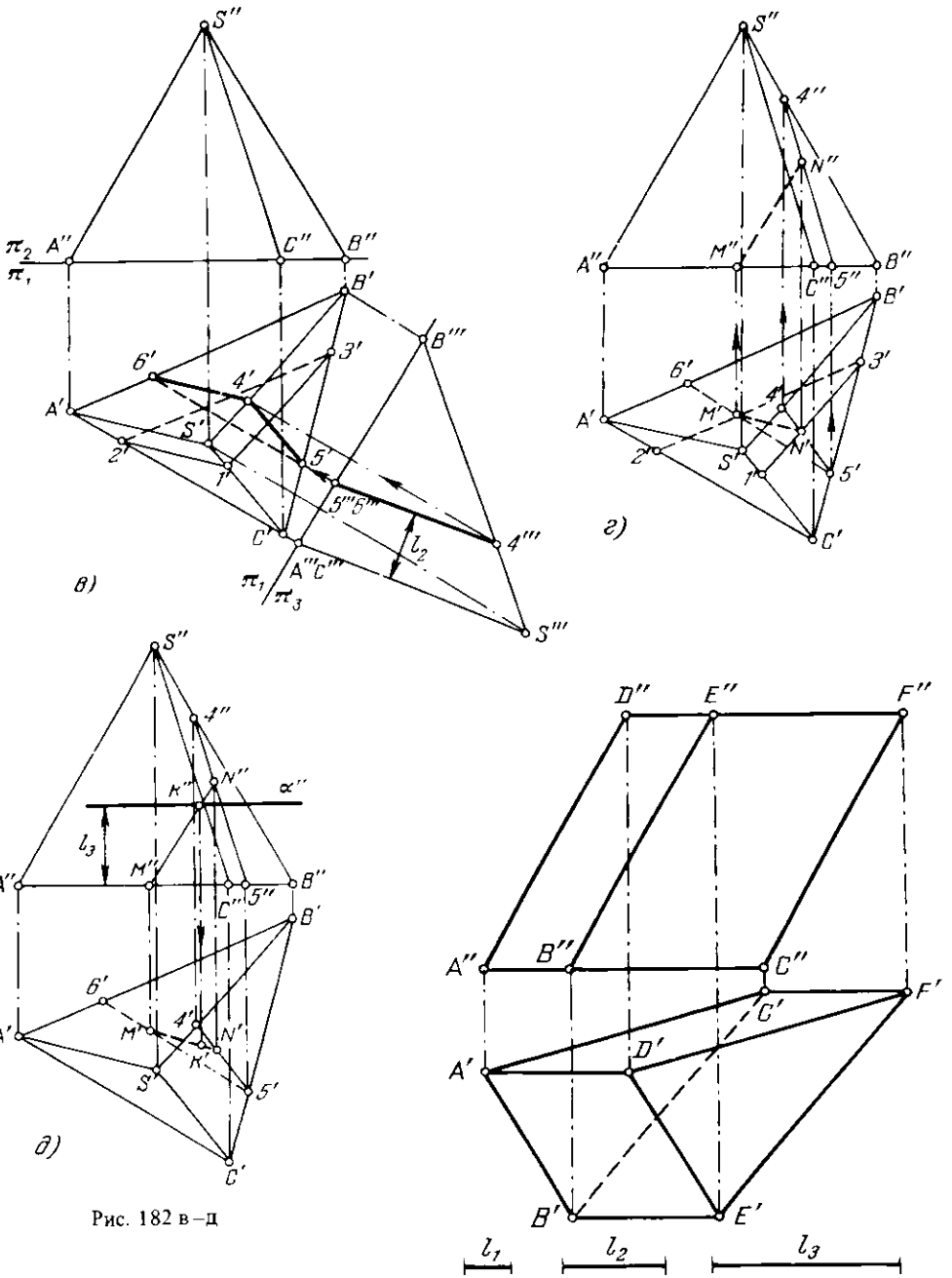


Рис. 182 в-д

Рис. 183

пересекает пирамиду по треугольнику $1 - 2 - 3$ (на рис. 182. б показана только горизонт. проекция).

Плоскость, удаленная от грани SAC на расстояние l_2 , изображается на дополнительной шт. π_3 , перпендикулярной к этой грани (рис. 182, в), в виде прямой $4'''5'''$ и пересекает пирамиду по треугольнику $4 - 5 - 6$ (дана лишь горизонт. проекция этого треугольника).

Искомая точка K должна принадлежать линии пересечения плоскостей, заданных треугольниками $1-2-3$ и $4-5-6$. Эта прямая проходит через точки M и N , получаемые при пересечении сторон $2-3$ и $6-5$, $1-3$ и $4-5$ треугольников $1-2-3$ и $4-5-6$ (рис. 182, ϵ).

Находим фронт. проекцию K'' (рис. 182, δ) на $M''N''$ из условия, что точка K отстоит от грани ABC на расстояние l_3 .

Геометрическим местом таких точек является пл. α , параллельная грани ABC . По K'' находим K' на $M'N'$.

197. Найти точку K , находящуюся внутри призмы на расстояниях: l_1 — от грани $BCFE$, l_2 — от грани $ABED$, l_3 — от основания ABC (рис. 183).

198. Найти точку K , находящуюся внутри пирамиды $SABC$ на расстояниях: l_1 — от грани SAC , l_2 — от грани SBC , l_3 — от грани SAB (рис. 184).

199*. Построить геометрическое место точек, равноудаленных от сторон угла BAC (рис. 185, a).

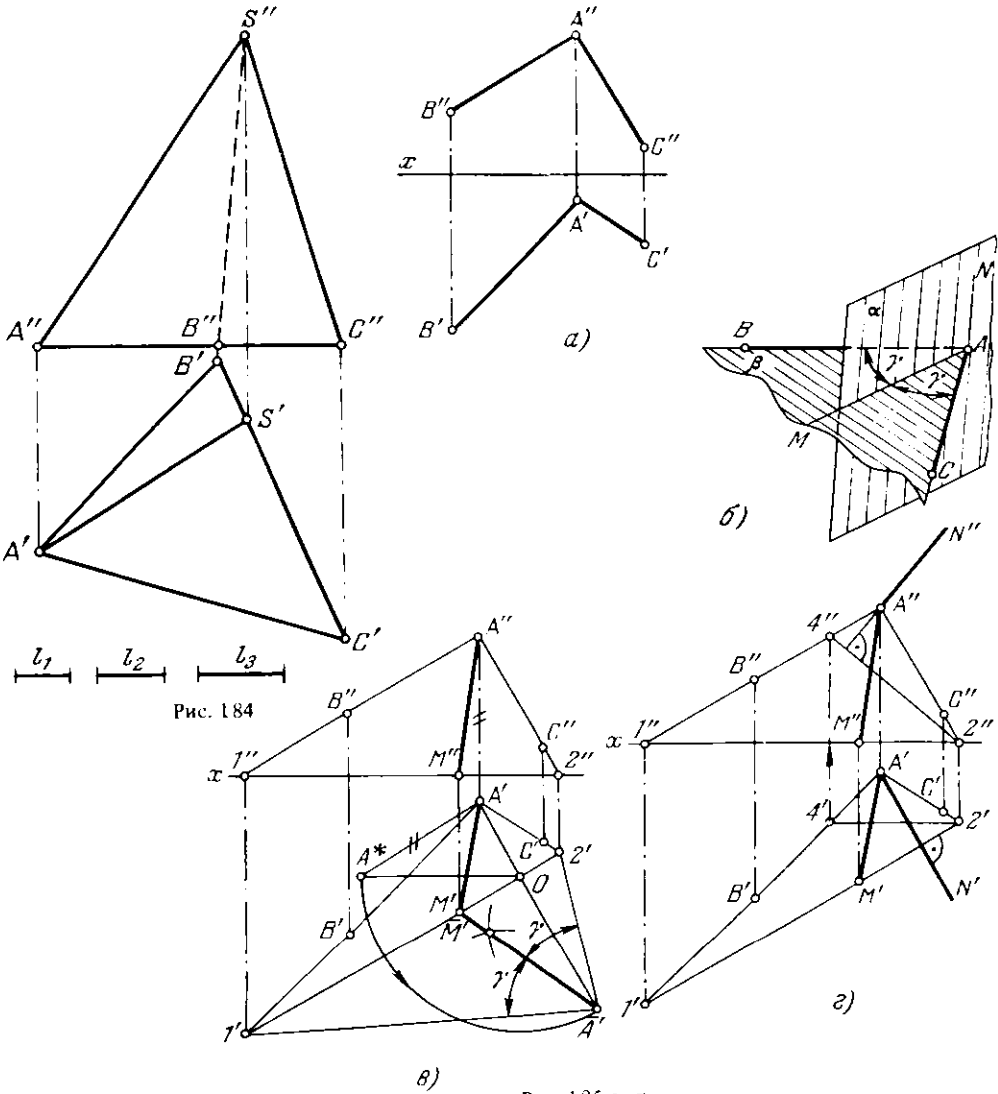


Рис. 185 а-г

Решение. Искомым геометрическим местом является плоскость, проходящая через биссектрису данного угла перпендикулярно к его плоскости (рис. 185, б). Следовательно, искомая плоскость будет определяться этой биссектрисой и пересекающим ее перпендикуляром к плоскости угла BAC .

Для проведения биссектрисы угла BAC приходится построить его натуральный вид, так как непосредственное проведение биссектрисы в заданных проекциях угла возможно лишь в особых случаях, например при одинаковом наклоне сторон угла к плоскости проекций. На рис. 185, в показано совмещение плоскости угла BAC с пл. π_1 , для чего построен горизонт. след $(I'2')$ этой плоскости. Теперь может быть проведена биссектриса угла $I'A'2'$ — прямая $\bar{A}'\bar{M}'$ — и построены ее проекции $A'M'$ и $A''M''$.

Остается провести перпендикуляр к плоскости угла BAC через какую-либо точку его биссектрисы и этим определить искомую плоскость. На рис. 185, г перпендикуляр проведен через вершину угла — точку A , для чего использован горизонт. след $I'2'$ и проведена фронталь $2'4'$; проекция перпендикуляра $A'N' \perp I'2'$ и проекция $A''N'' \perp 2''4''$.

200. Построить геометрическое место точек, равноудаленных от сторон угла BAC (рис. 186). Искомую плоскость задать следами.

201*. На прямой EF ($EF \parallel \text{пл. } \pi_2$) найти точку, равноудаленную от сторон угла BAC (рис. 187, а).

Решение. Геометрическим местом точек, равноудаленных от сторон угла BAC , является плоскость α , проходящая через биссектрису этого угла и перпендикулярная к его плоскости (рис. 187, б). Очевидно, искомая точка (K) на прямой EF получится при пересечении этой прямой с пл. α .

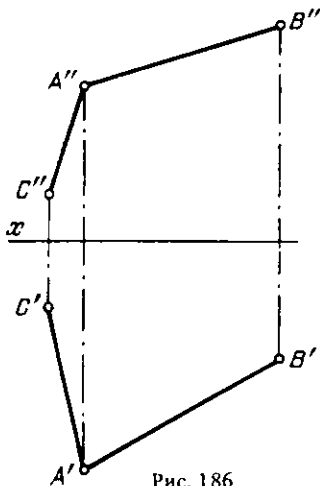


Рис. 186

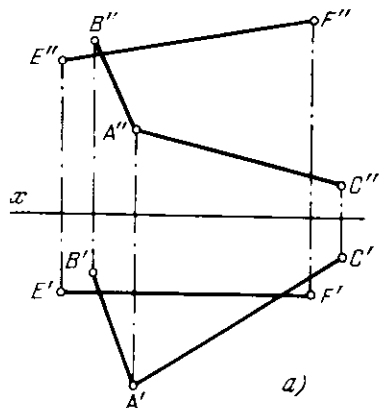


Рис. 187 а

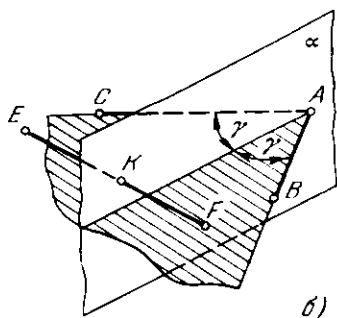


Рис. 187 б

Построение пл. α на рис. 187, в аналогично построению на рис. 185, в, с той лишь разницей, что на рис. 187, в угол BAC совмещен с пл. π_2 вращением вокруг фронт. следа $I''2''$ плоскости этого угла. Для построения проекций перпендикуляра AM использован след $I''2''$ и горизонталь $A-3: A''M'' \perp I''2''$ и $A'M' \perp A'3'$.

Точка K на прямой EF найдена обычным способом построения точки пересечения прямой с плоскостью (рис. 187, з):

1) через EF проведена вспомогательная пл. β (так как прямая $EF \parallel \text{пл. } \pi_2$, то оказалось возможным провести через нее фронтальную плоскость β);

2) построена прямая пересечения пл. α (заданной прямыми AM и AN) с пл. β (это фронталь плоскости α — прямая с проекциями $5''6''$, $5'6'$);

3) найдена точка пересечения этой фронтали с прямой EF — точка K .

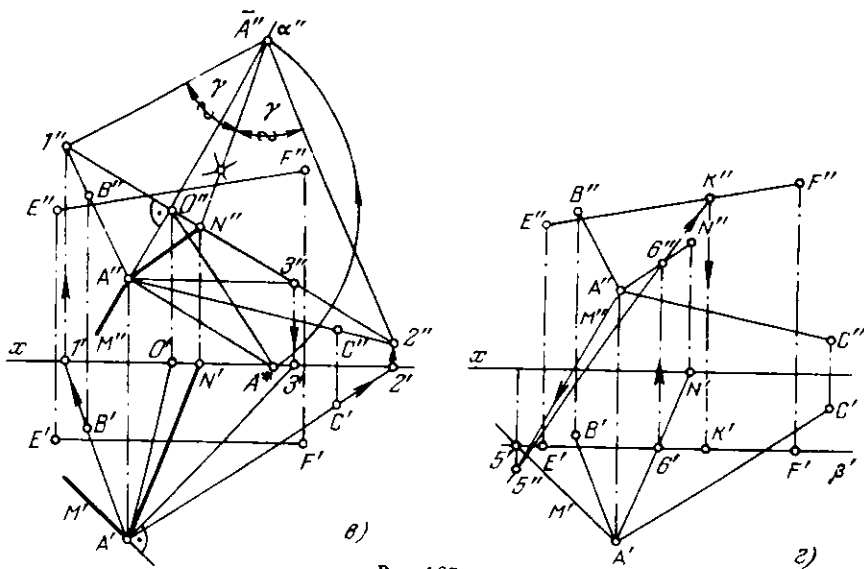


Рис. 187 в, г

202. На стороне AB основания пирамиды $SABC$ (рис. 188) найти точку K , равноудаленную от ребер SA и SC .

203. На ребре SC пирамиды $SABC$ (см. рис. 188) найти точку M , равноудаленную от ребра SA и стороны AB основания.

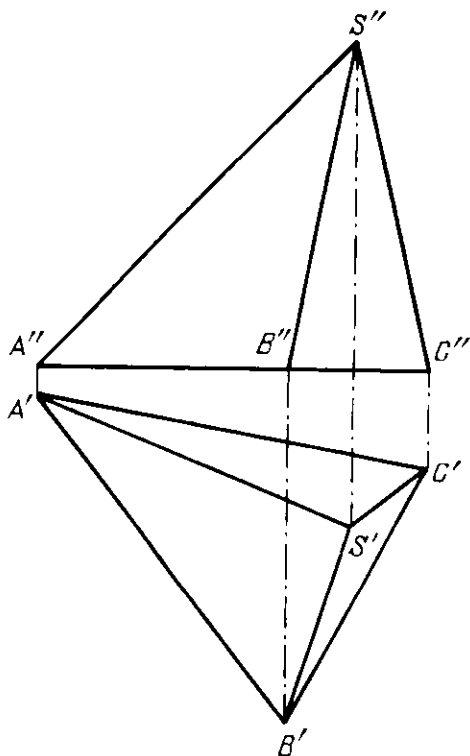


Рис. 188

204*. Найти геометрическое место точек, равноудаленных от пл. α и пл. β (рис. 189, а).

Решение. Искомым геометрическим местом является (рис. 189, б) пл. γ , делящая пополам двугранный угол, образованный данными плоскостями. Пл. γ проходит через ребро двугранного угла, т.е. через прямую MN . Если ребро MN расположить перпендикулярно к какой-либо пл. проекций π_0 , то каждая из плоскостей α и β , а также и пл. γ изобразятся на этой плоскости проекций в виде прямых, как это показано на рис. 189, б, причем γ^0 делит угол между α^0 и β^0 пополам.

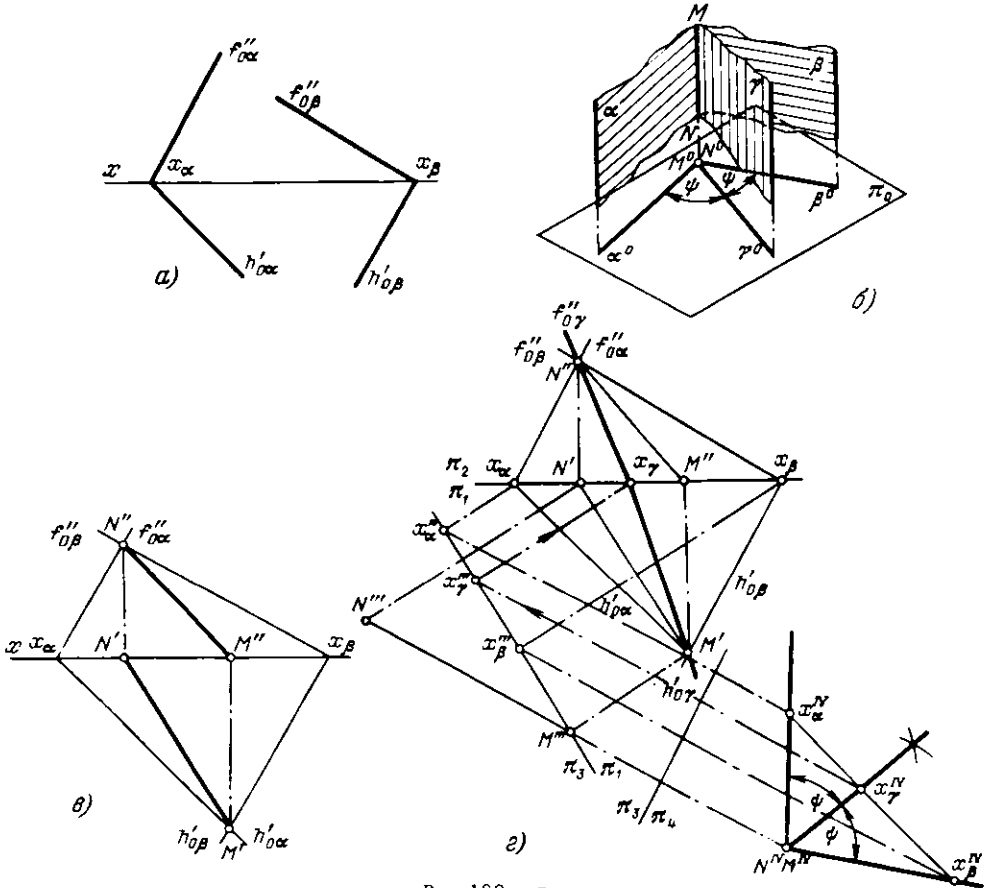


Рис. 189 а-г

Построив (рис. 189, в) прямую MN пересечения плоскостей α и β , вводим (рис. 189, г) дополнительные плоскости π_3 ($\pi_3 \perp \pi_1$ и $\pi_3 \parallel MN$) и π_4 ($\pi_4 \perp \pi_3$ и $\pi_4 \perp MN$). Угол между построенными прямыми $M^{IV}x_\alpha^{IV}$ и $M^{IV}x_\beta^{IV}$ равен углу между плоскостями α и β , а биссектриса этого угла $M^{IV}x_\gamma^{IV}$ представляет собою след искомой пл. γ на дополнительной пл. π_4 . Относя точку x_γ к прямой $x_\alpha x_\beta$, т.е. к оси π_2/π_1 , находим проекцию x_γ'' на $x_\alpha'' x_\beta''$ и x_γ на $x_\alpha x_\beta$, т.е. на оси π_2/π_1 . В точке x_γ следы искомой плоскости пересекают ось π_2/π_1 , а так как пл. γ проходит через прямую MN , то след $f_{0\gamma}''$ проходит через точку N'' , а след $h_{0\gamma}'$ — через M' .

205. Найти геометрическое место точек, равноудаленных от пл. α и плоскости, заданной прямыми AB и CD (рис. 190).

206*. Найти на прямой AB точку, равноудаленную от плоскостей, заданных треугольниками MNC и MND (рис. 191, а).

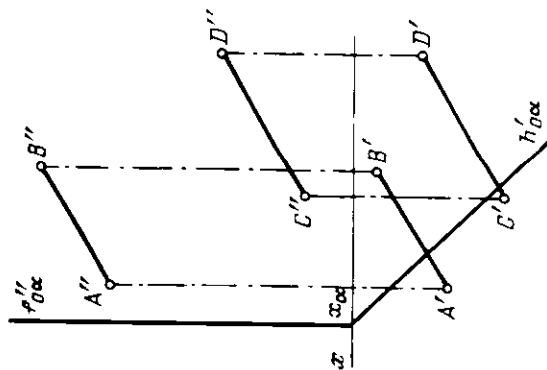
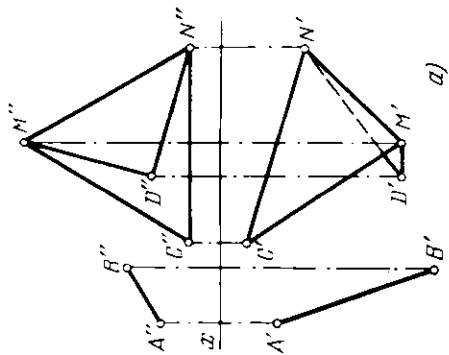
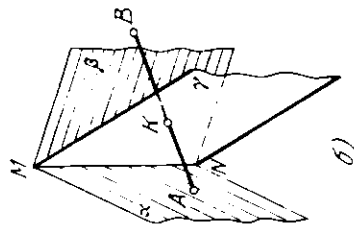


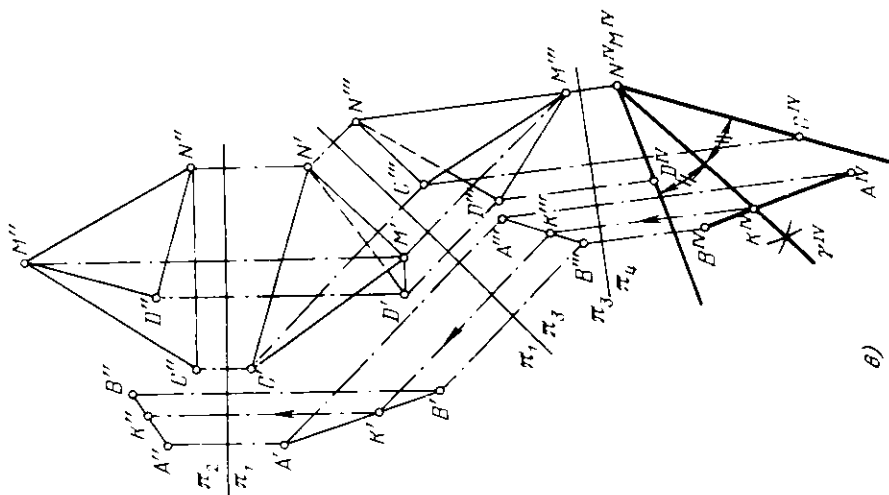
Рис. 190



а)



б)



в)

Рис. 191 а в

Решение. Искомой точкой является точка пересечения прямой AB с плоскостью (γ) , делящей угол между данными плоскостями пополам (рис. 191, б).

Ход построения аналогичен примененному в задаче 204. Путем введения дополнительных пл. проекций π_3 и π_4 получаем положение, при котором ребро MN проецируется на пл. π_4 в точку (рис. 191, в).

В этом положении изображаем плоскость, делящую пополам угол между гранями MNC и MND , в виде прямой γ^{IV} . В пересечении прямой $A^{IV}B^{IV}$ с γ^{IV} получим проекцию искомой точки K на пл. π_4 ; по ней находим K''' на $A'''B'''$, а затем K' на $A'B'$ и K'' на $A''B''$.

207. На ребре SB пирамиды $SABC$ найти точку K , равноудаленную от грани SAC и основания ABC (см. рис. 188).

208. На стороне AB основания ABC пирамиды $SABC$ найти точку M , равноудаленную от граней SAC и SBC (см. рис. 188).

209*. Через точку A провести прямую общего положения, расположенную под углом φ_1 к пл. π_1 и под углом φ_2 к пл. π_2 (рис. 192, а).

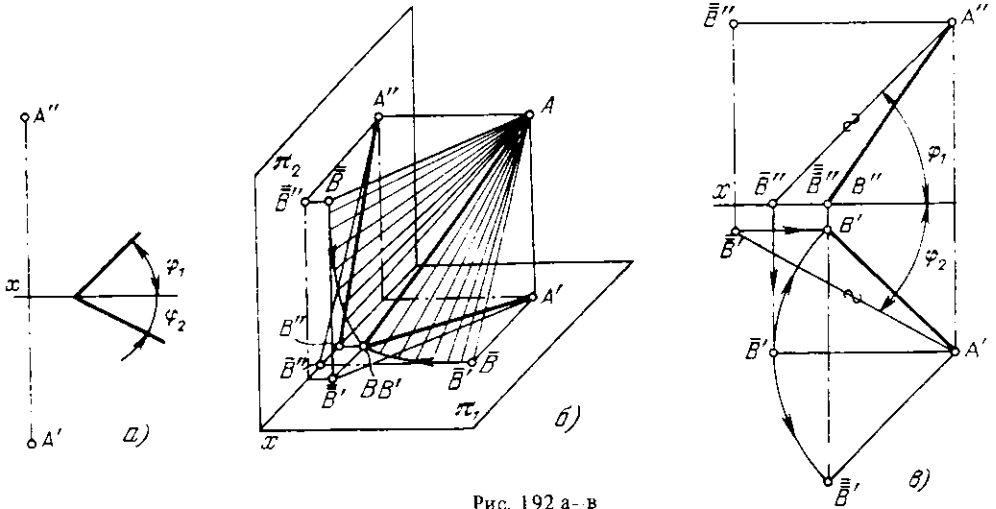


Рис. 192 а-в

Решение. Известно (см. задачу 22), что для прямой общего положения $\varphi_1 + \varphi_2 < 90^\circ$.

На рис. 192, б и в показано построение искомой прямой с применением способа вращения.

На этих рисунках изображены две прямые: одна $(A\bar{B})$ расположена параллельно пл. π_2 и другая $(A\bar{\bar{B}})$ — параллельно пл. π_1 . На обеих прямых отложены равные отрезки $A\bar{B}$ и $A\bar{\bar{B}}$: $A\bar{\bar{B}}'' = A'\bar{\bar{B}}'$.

Если теперь повернуть отрезок $A\bar{B}$ вокруг оси, перпендикулярной к пл. π_1 , а отрезок $A\bar{\bar{B}}$ — вокруг оси, перпендикулярной к пл. π_2 , причем обе оси вращения проходят через точку A , то в некоторый момент оба этих отрезка совпадут (на рис. 192, б это показано в виде отрезка AB), и, следовательно, искомая прямая окажется построенной.

Всего можно провести через точку A четыре прямые. На чертеже (рис. 192, в) проводим дугу окружности радиуса $A'\bar{B}'$ до пересечения в точке B' с прямой, проходящей через точку $\bar{\bar{B}}'$ параллельно оси x . По точке B' находим B'' .

На рис. 192, в показано еще одно (из четырех возможных) положение прямой, обозначенное $A\bar{\bar{\bar{B}}}$.

210. Через точку A провести вправо от нее прямую общего положения AB , расположенную под углом φ_1 к пл. π_1 и под углом φ_2 к пл. π_2 (рис. 193), при условии, что точка B расположена в пл. π_1 и ближе к пл. π_2 , чем точка A .

211. Через точку A провести вправо от нее отрезки AB , AC , AD и AE , расположенные под углом φ_1 к пл. π_1 и под углом φ_2 к пл. π_2 (рис. 194).

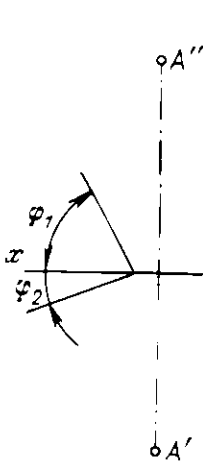


Рис. 193

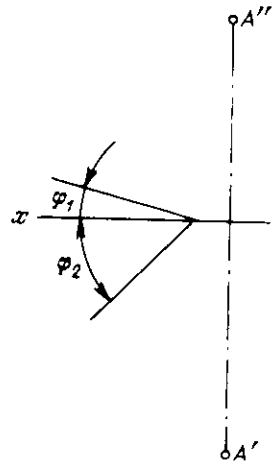
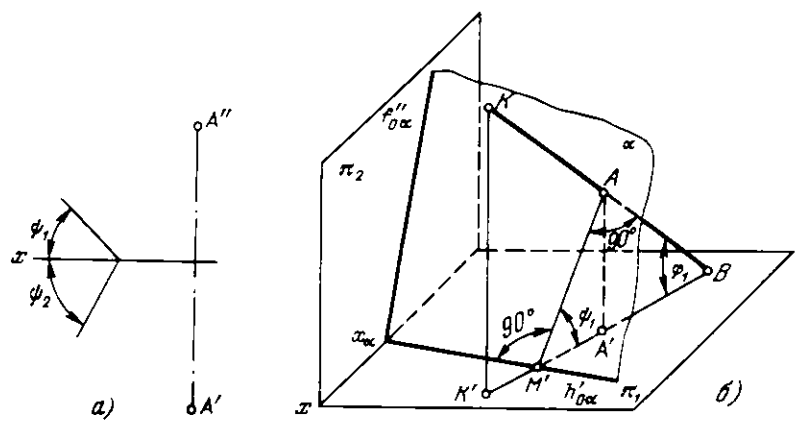
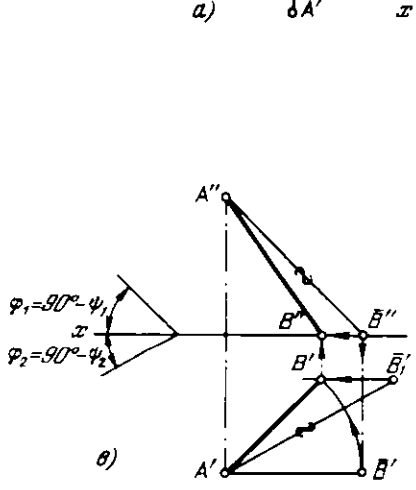


Рис. 194

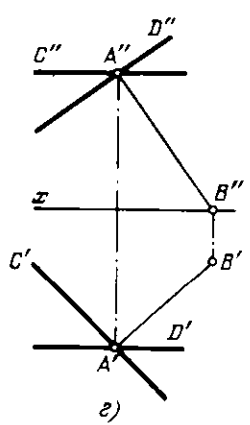


a)

b)



г)



е)

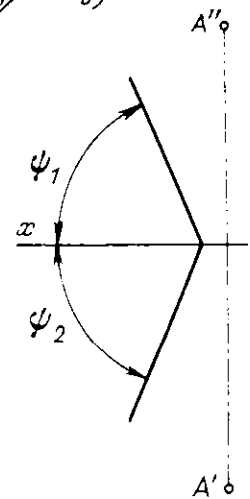


Рис. 196

Рис. 195 а-г

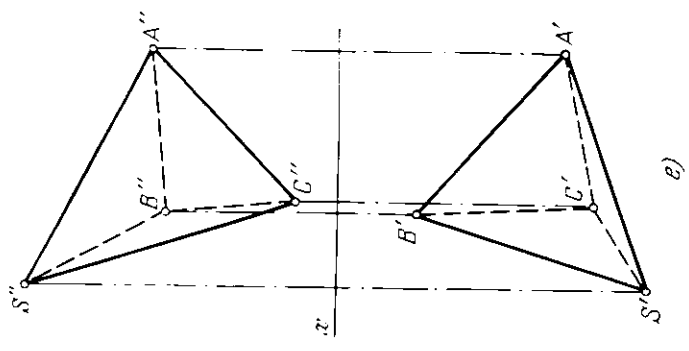
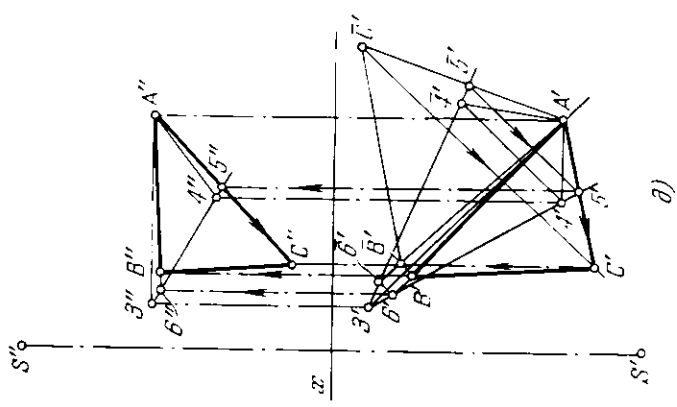
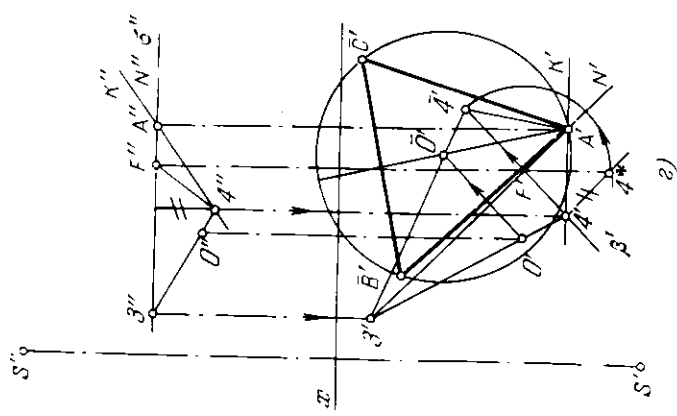


Рис. 197 г е

212*. Провести через точку A плоскость, составляющую с пл. π_1 угол ψ_1 и с пл. π_2 угол ψ_2 (рис. 195, а).

Решение. Для построения искомой плоскости в данном случае использована зависимость между углами, составляемыми некоторой прямой с пл. π_1 (угол φ_1) и с пл. π_2 (угол φ_2), и углами, составляемыми плоскостью, перпендикулярной к этой прямой, с теми же плоскостями проекций π_1 (угол ψ_1) и π_2 (угол ψ_2). Известно, что $\psi_1 + \varphi_1 = 90^\circ$ (рис. 195, б) и $\psi_2 + \varphi_2 = 90^\circ$. Отсюда следует, что $180^\circ > \psi_1 + \psi_2 > 90^\circ$. Это позволяет проверить правильность задания углов ψ_1 и ψ_2 (рис. 195, а).

Итак, определив углы $\varphi_1 = 90^\circ - \psi_1$ и $\varphi_2 = 90^\circ - \psi_2$, проводим через точку A прямую под углами φ_1 и φ_2 соответственно к пл. π_1 и пл. π_2 (рис. 195, в), как это имело место в задаче 209. Теперь через точку A проводим плоскость, перпендикулярную к построенной прямой AB . Эта плоскость на рис. 195, г выражена горизонталью и фронталью: $A''D'' \perp A'B''$, $A'C' \perp A'B'$.

213. Провести через точку A две плоскости (выразив их следами) под углами ψ_1 к пл. π_1 и ψ_2 к пл. π_2 (рис. 196), построив вспомогательные прямые под углами $\varphi_1 = 90^\circ - \psi_1$ к пл. π_1 и $\varphi_2 = 90^\circ - \psi_2$ к пл. π_2 — одну вправо, вглубь, вниз, от точки A , другую — вправо, вглубь, вверх.

214*. Построить правильную треугольную пирамиду с вершиной в точке S . Высота пирамиды наклонена к пл. π_1 под углом φ_1 и к пл. π_2 под углом φ_2 . Точка A — одна из вершин основания (рис. 197, а).

Решение. Проводим (рис. 197, б) через точку S прямую SM под заданными углами φ_1 и φ_2 к пл. π_1 и пл. π_2 (см. задачу 209). Плоскость основания пирамиды должна пройти через точку A перпендикулярно к SM ; задаем эту плоскость горизонталью AN и фронталью AK (рис. 197, в). Находим точку O пересечения прямой SM с плоскостью основания. Для этого заключаем SM в фронтально-проецирующую пл. γ , изображенную только фронт. следом γ'' . Для построения вершин B и C пирамиды поворачиваем плоскость основания вокруг горизонтали $A - 3$ до совмещения ее с пл. σ (рис. 197, г).

В плоскости основания через точку O проводим произвольную прямую $3 - 4$. Строим совмещенное с пл. σ положение точки $4(\bar{4}')$ и соединяем $\bar{4}'$ с точкой $3'$. На прямой $3' - \bar{4}'$ находим точку \bar{O}' , из которой радиусом $\bar{O}'A'$ проводим окружность. Разделив ее на три части, находим вершины \bar{B}' и \bar{C}' . Зная \bar{B}' и \bar{C}' , находим (рис. 197, д) горизонт. проекции: C' — на продолжении прямой $A'S'$ (найдя сначала точку S' по \bar{S}'), B' — на прямой $A'B'$ (найдя сначала точку b' по \bar{b}'). Затем строим прямые $A'S''$ и $A'B''$ и на них точки C'' и B'' ; $A'B''C''$ и $A'B'C''$ — проекции основания пирамиды. На рис. 197, е проекции вершин S'' и S' соединены с одноименными с ними проекциями вершин основания.

215. Построить правильную четырехугольную пирамиду с вершиной в точке S . Высота пирамиды наклонена к пл. π_1 под углом φ_1 и к пл. π_2 под углом φ_2 . Точка A — одна из вершин основания (рис. 198).

216*. Построить куб с основанием на плоскости, расположенной под углом ψ_1 к пл. π_1 и углом ψ_2 к пл. π_2 . Отрезок $A''B''$ — фронт. проекция стороны основания куба (рис. 199, а).

Решение. Строим произвольную прямую MS (рис. 199, б), расположенную под углом $\varphi_1 = 90^\circ - \psi_1$ к пл. π_1 и $\varphi_2 = 90^\circ - \psi_2$ к пл. π_2 .

Эта прямая дает нам направление боковых ребер куба. Теперь проводим через точку A пл. α (рис. 199, в), перпендикулярную к этой прямой, и находим в пл. α точку B . Совмещаем пл. α и лежащий в ней отрезок AB с пл. π_1 (рис. 199, г) и достраиваем квадрат $\bar{A}'\bar{B}'\bar{C}'\bar{D}'$. Затем поднимаем точки \bar{D}' и \bar{C}' в пространство; точку \bar{D}' с помощью прямой $I'2'$ и точку \bar{C}' с помощью совмещенной фронталы $\bar{3}'\bar{C}'$.

Так как ребра куба перпендикулярны к основанию, то через точку A проводим (рис. 199, д) прямую, перпендикулярную к пл. α ($A''4'' \perp f''_{0\alpha}$ и $A'4' \perp h'_{0\alpha}$). На этой прямой откладываем отрезок AE , равный стороне основания, хотя бы $\bar{A}'\bar{B}'$. Это сделано при помощи построения прямоугольного треугольника. Получив таким образом проекции $A''E''$ и $A'E'$, строим (рис. 199, е) проекции куба.

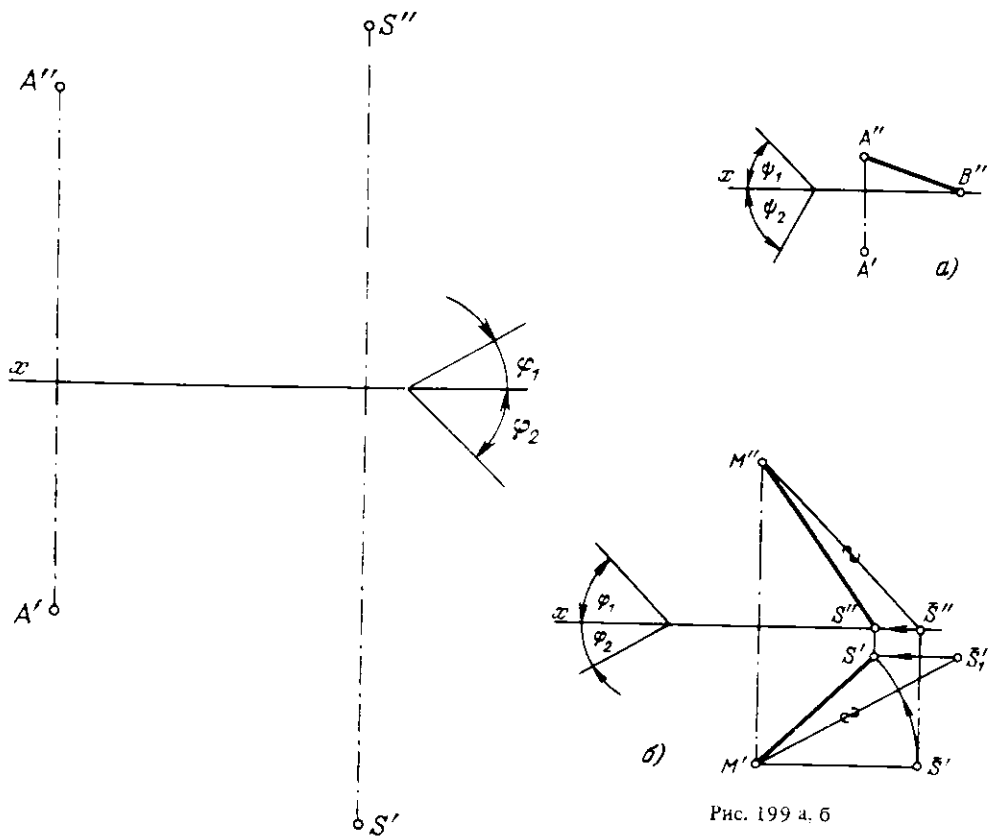


Рис. 199 а, б

Рис. 198

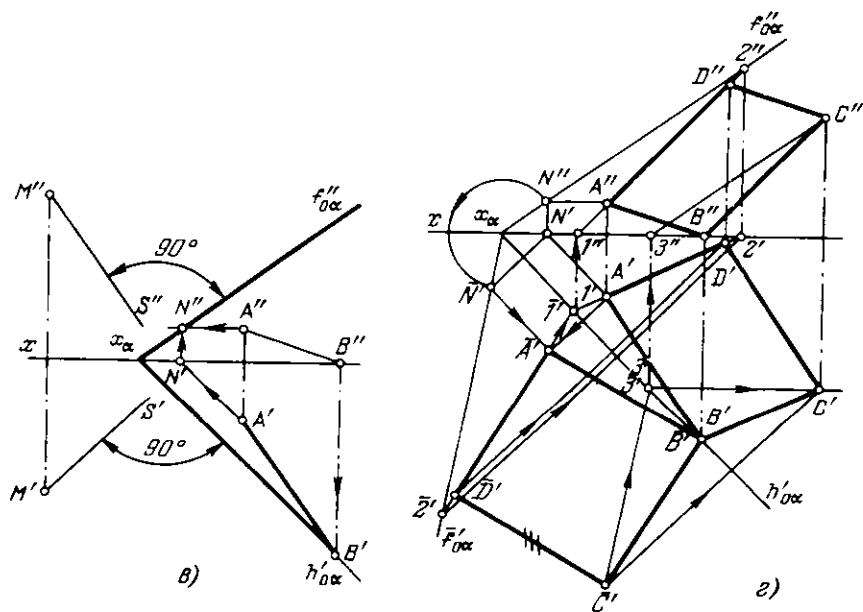


Рис. 199 в, г

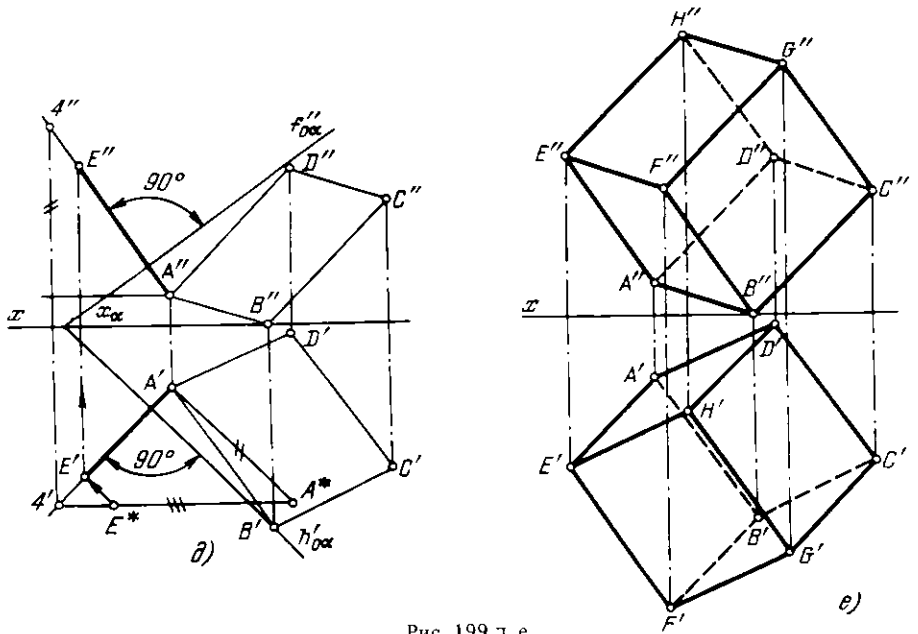


Рис. 199 д, е

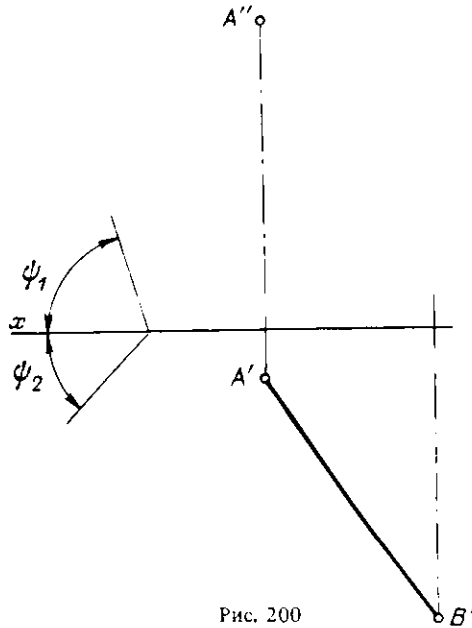


Рис. 200

217. Построить прямую треугольную призму с основанием в виде равнобедренного треугольника ABC на плоскости, расположенной под углом ψ_1 к пл. π_1 и углом ψ_2 к пл. π_2 . Вершина C треугольника ABC лежит на пл. π_1 . Высота призмы равна стороне AB основания — треугольника ABC (рис. 200).

§ 21. Кривые линии. Поверхности. Точки на поверхностях

218*. Построить проекции правой цилиндрической винтовой линии, проходящей через точку A , принадлежащую поверхности цилиндра. Точка задана своей фронт. проекцией (рис. 201). Провести прямую, касательную к винтовой линии в точке A . Шаг винтовой линии взять равным высоте цилиндра.

Решение. При заданном на рис. 201, *а* положении цилиндра горизонт. проекция винтовой линии на нем представляет собою окружность. Делим (рис. 201, *б*) окружность, начиная от точки A' , на 12 равных частей. Вверх и вниз от точки A'' откладываем отрезки, равные $H:12$. Строим фронт. проекции ряда точек, принадлежащих винтовой линии (построение ясно из чертежа).

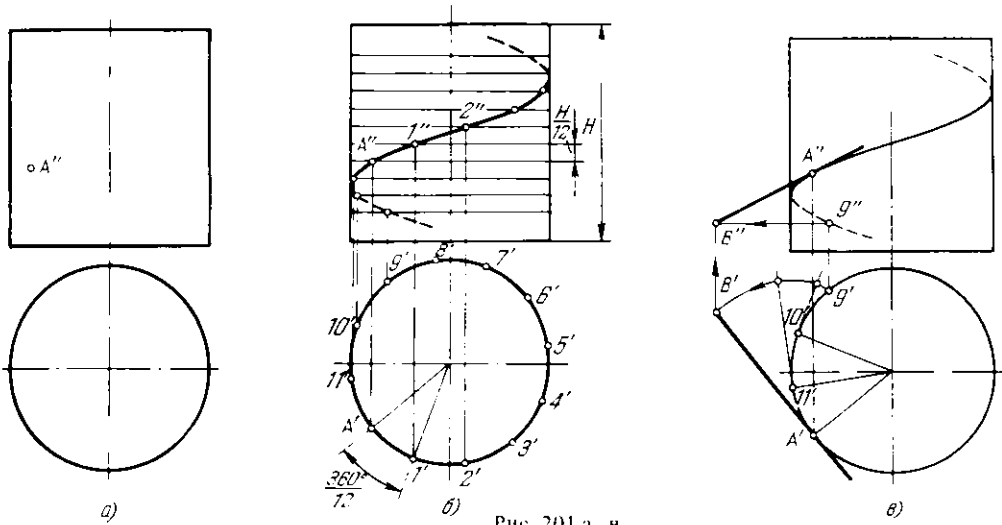


Рис. 201 а в

Исходя из того, что касательная к кривой проецируется в касательную к проекции этой кривой, проводим касательную к окружности в точке A' (рис. 201, *в*). Это горизонт. проекция касательной к винтовой в ее точке A .

Все касательные к цилиндрической винтовой линии пересекаются с плоскостью, перпендикулярной к оси этой линии, в точках, которыми образуется эвольвента окружности. Находим точку B' как точку эвольвенты, отложив на касательной от точки A' отрезок $A'B'$, равный по длине трем дугам $(A'11') + (11'10') + (10'9')$. Фронт. проекция B'' получается на уровне точки $9''$. Фронт. проекция касательной проходит через точки A'' и B'' .

219. Построить проекции левой цилиндрической винтовой линии, проходящей через точку A , заданную на поверхности цилиндра (рис. 202). Провести прямую, касательную к винтовой линии в точке A . Шаг винтовой линии взять равным удвоенной высоте цилиндра.

220*. Построить проекции участка цилиндрической винтовой линии радиуса R (рис. 203, a), проходящей через данные точки A и B , и определить длину этого участка (кратчайшее расстояние между точками A и B на цилиндрической поверхности).

Решение. Горизонт. проекцией искомого участка винтовой линии является дуга $A'B'$. Делим (рис. 203, b) угол σ и расстояние H на n равных частей (в данном случае $n = 4$) и строим проекции $n - 1$ точек, принадлежащих винтовой линии, не считая точек A и B .

Для определения кратчайшего расстояния между точками A и B строим развертку участка AB винтовой линии. Она представляет собой гипотенузу прямоугольного треугольника, один катет которого равен H , а другой $\frac{\pi R \sigma}{180}$.

221. Построить проекции участка цилиндрической винтовой линии радиуса R (рис. 204), проходящей через данные точки A и B , и определить длину этого участка (кратчайшее расстояние между точками A и B на цилиндрической поверхности).

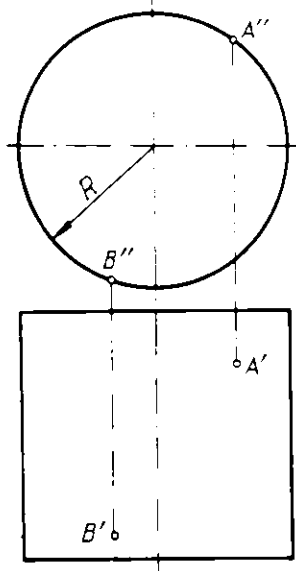


Рис. 204

222*. Найти линию пересечения цилиндрической поверхности, заданной (рис. 205, a) образующей CD и направляющей AB , с пл. π_1 .

Решение. Задаем на кривой AB ряд точек и проводим (рис. 205, b) через них образующие. Геометрическим местом горизонтальных следов образующих будет искомая кривая линия $M_1M_2, M_1''M_2''$.

223. Найти линию пересечения цилиндрической поверхности, заданной (рис. 206) образующей CB и направляющей AB , с пл. π_2 .

224*. Построить проекции прямого кругового цилиндра, осью которого является прямая MN ($MN \parallel$ пл. π_2 , рис. 207, a), окружность нижнего основания проходит через точку A , а плоскость верхнего — через точку B .

Решение. Пользуясь тем, что ось цилиндра по заданию параллельна пл. π_2 , проводим (рис. 207, b) перпендикуляры из точек B и A к оси цилиндра и находим точки O_1 и O_2 (центры окружностей оснований) и высоту цилиндра (отрезок $O_1''O_2''$). Теперь надо найти радиус основа-

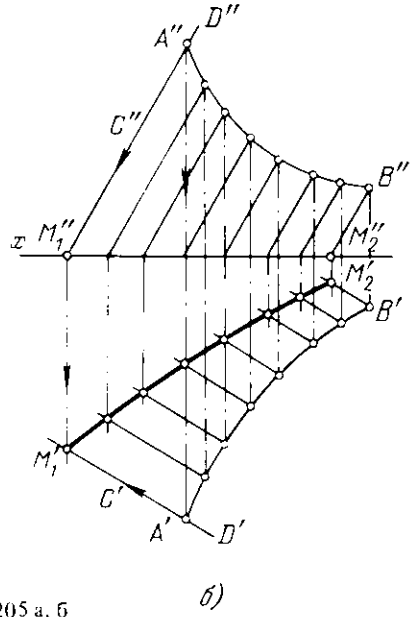
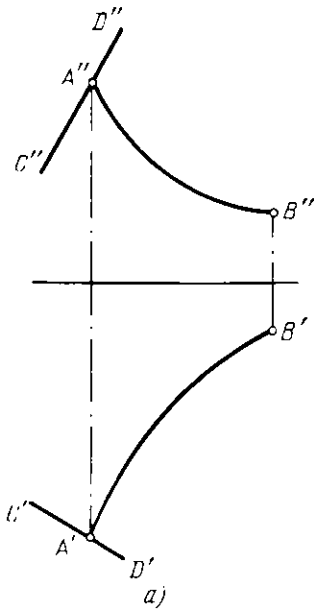


Рис. 205 а, б

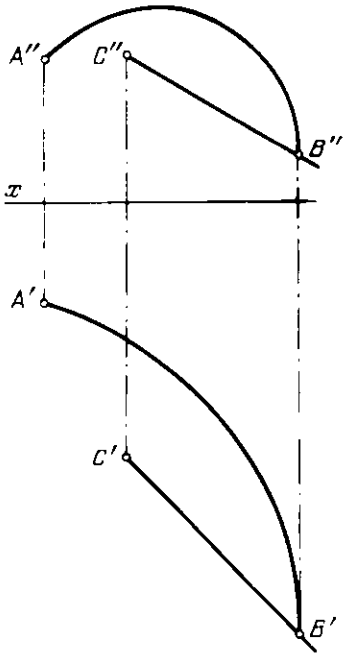


Рис. 206

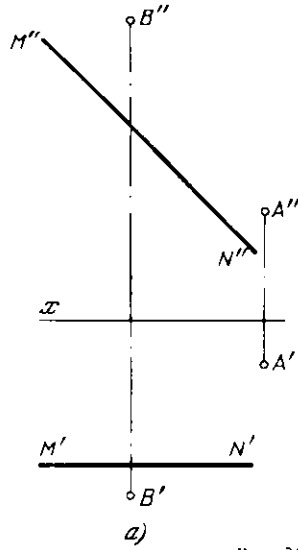
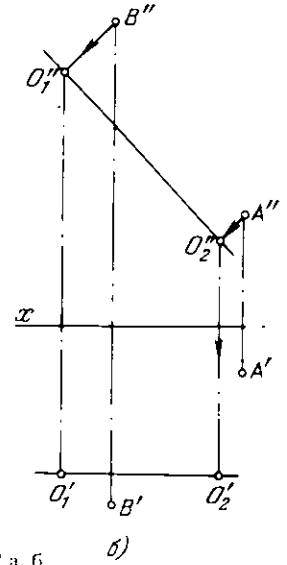


Рис. 207 а, б



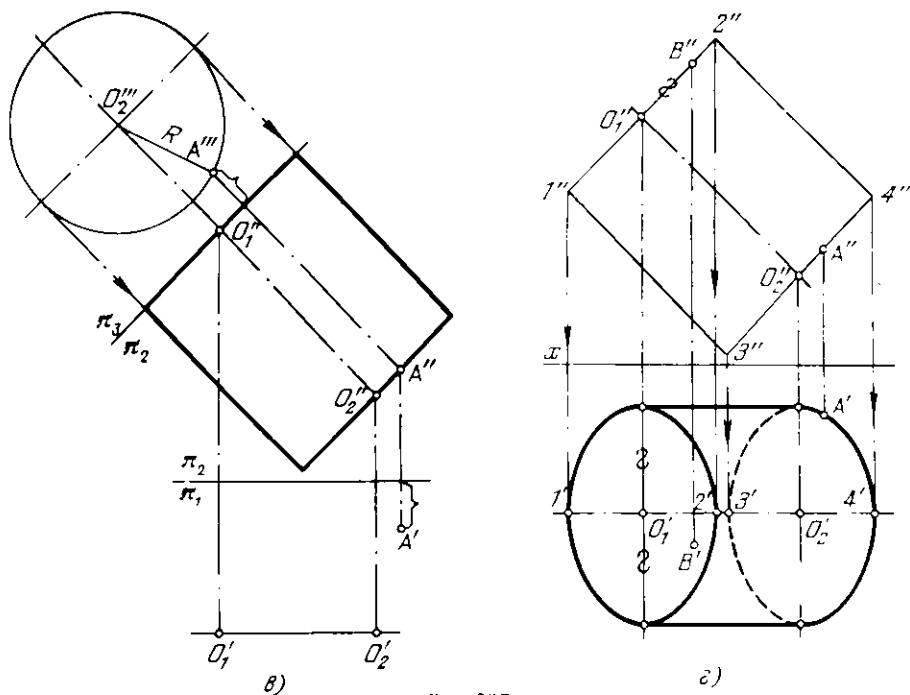


Рис. 207 в, г

ния цилиндра. Применяем способ перемены пл. пр. Вводим дополнительную пл. π_3 , перпендикулярную к пл. π_2 и к оси цилиндра. Искомый радиус определяется проекциями O_2''' и A''' (рис. 207, в).

Строим фронт. проекцию искомого цилиндра. Для построения горизонт. проекции цилиндра находим (рис. 207, г) малые оси $1'2'$ и $3'4'$ эллипсов — проекций основания цилиндра. Большие оси эллипсов равны диаметру основания. Строим эти эллипсы и, проведя проекции очерковых образующих, получаем фронт. проекцию цилиндра.

225. Построить проекции прямого кругового цилиндра, ось которого лежит на прямой OM ($OM \parallel$ пл. π_1 , рис. 208), точка O является центром одного из оснований, точка A принадлежит цилиндрической поверхности, высота цилиндра равна диаметру основания.

226*. Построить проекции прямого кругового цилиндра с осью OM (рис. 209, а), касательного к плоскости, заданной треугольником ABC . Высоту цилиндра, считая от точки O , принять равной полутора диаметрам основания. Прямые OM и BC параллельны между собою.

Решение. Если ось цилиндра окажется перпендикулярной к плоскости проекций, то касательная к цилиндру плоскость изобразится на той же пл. пр. в виде прямой, касательной к окружности — проекции цилиндра. Этим определится радиус основания цилиндра. Осуществляем такое построение, применяя способ перемены пл. пр. (рис. 209, б). Вводим дополнительную пл. π_3 , взяв ее перпендикулярно к π_1 и параллельно оси цилиндра OM (ось $\pi_3/\pi_1 = O''M''$), а затем еще одну дополнительную пл. π_4 , перпендикулярную к пл. π_3 и к OM (ось $\pi_4/\pi_3 = O''''M''''$).

На пл. π_4 цилиндрическая поверхность проецируется в окружность с центром в точке O'''' , а плоскость треугольника ABC , касательная к цилиндру и, следовательно, параллельная оси OM , — в отрезок $1''''B''''$ прямой, касательной к этой окружности. Отсюда получаем диаметр окружности основания цилиндра, равный $2K''''(O'''')$.

На рис. 209, в показано построение горизонт. проекции цилиндра.

На рис. 209, г показано построение фронт. проекции цилиндра. Для определения величин малой оси эллипса на этой проекции введена еще одна дополнительная пл. π_5 , перпендикулярная

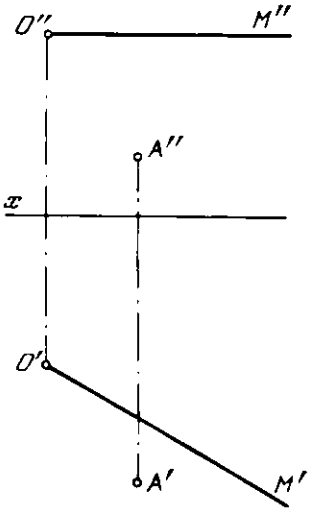


Рис. 208

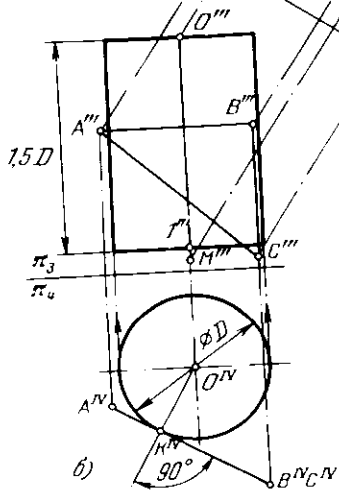
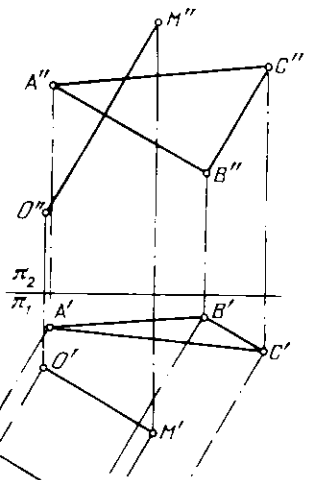
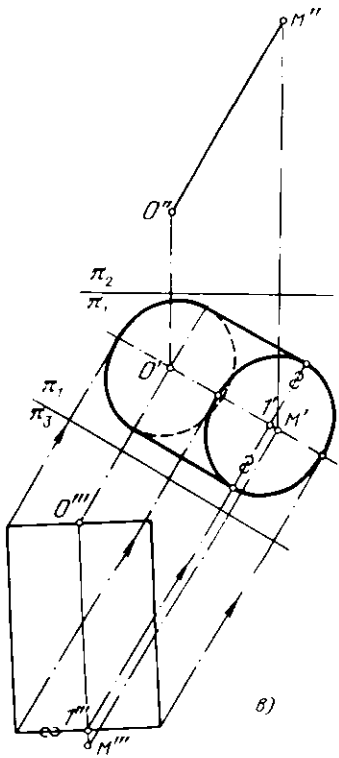
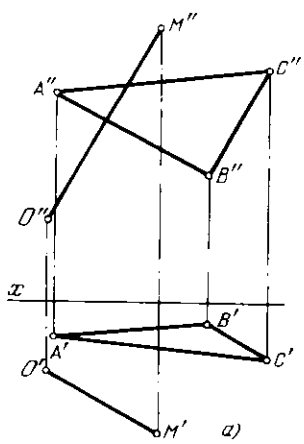


Рис. 209 а-в

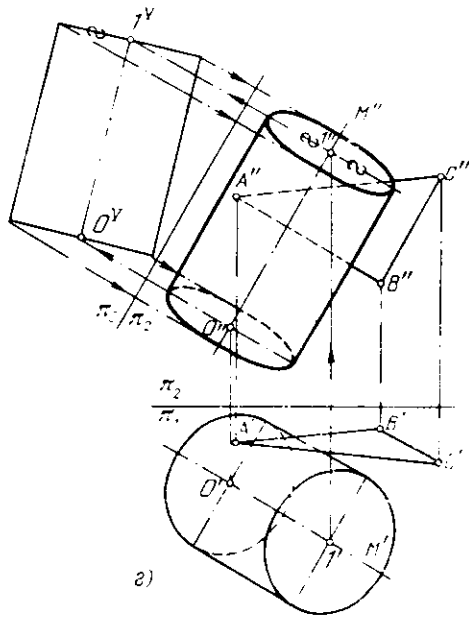


Рис. 209 г

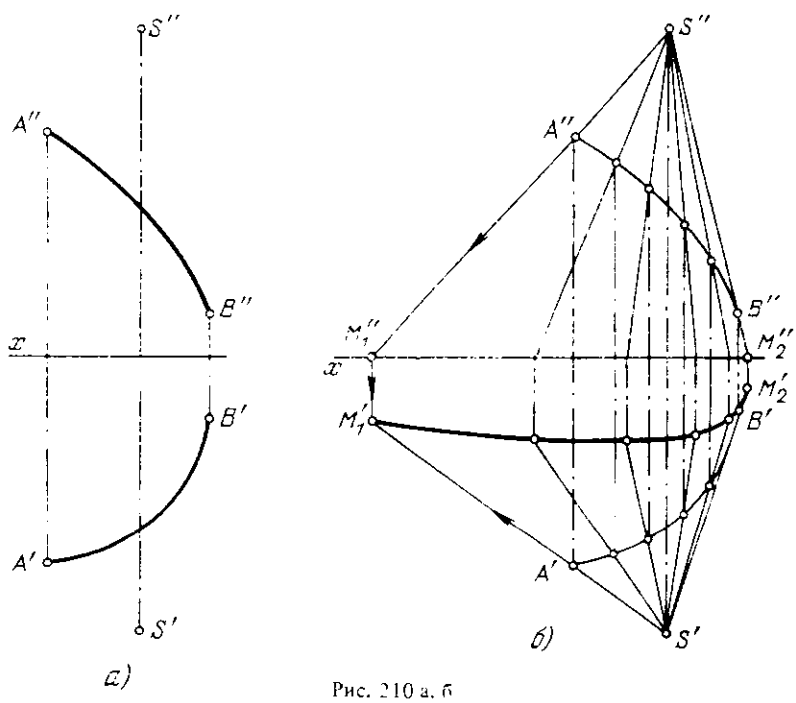


Рис. 210 а, б

к пл. π_2 и параллельная OM (ось $\pi_3: \pi_2 \parallel O''M''$). Находим проекцию цилиндра на пл. π_3 и с ее помощью фронт, проекцию цилиндра.

227*. Найти линию пересечения конической поверхности, заданной вершиной S и направляющей AB , с пл. π_1 (рис. 210, а).

Решение. Задаем на кривой AB ряд точек (рис. 210, б) и проводим через них образующие конуса. Геометрическим местом горизонтальных следов образующих будет искомая кривая M_1M_2 .

228. Найти линию пересечения конической поверхности, заданной вершиной S и направляющей AB , с пл. π_2 (рис. 211).

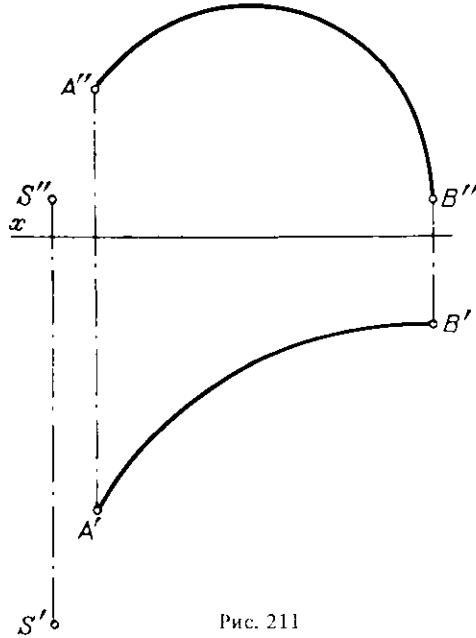


Рис. 211

229*. Построить проекции прямого кругового конуса, ось которого лежит на прямой SM ($SM \parallel \pi_2$) (рис. 212, а). Высота конуса равна l , окружность основания касается пл. π_1 .

Решение. Так как в данном случае прямая SM параллельна пл. π_2 , то можно отложить (рис. 212, б) на $S''M''$ отрезок $S''O''$, равный l . Точка (O'', O') является центром окружности основания. Эта окружность проецируется на пл. π_2 в отрезок прямой. Поэтому, проводя через точку O'' прямую, перпендикулярную к $S''O''$, получим точку I'' , радиус основания $O''I''$ и весь диаметр основания $I''Z''$.

Точка (I'', I') является точкой касания основания конуса с пл. π_1 . Фронт, проекция конуса – треугольник $I''S''Z''$. На пл. π_1 окружность основания проецируется в эллипс, большая ось которого $2'A'$ равна отрезку $I''Z''$, а малая ось – отрезку $I'Z'$.

Для построения очерка горизонт, проекции конуса надо найти те его образующие, горизонт, проекции которых касаются эллипса, т.е. те, которые являются самыми крайними, если смотреть на конус сверху. На рис. 212, в показан вписанный в конус шар; он касается конуса по окружности, фронт, проекция которой $5''6''$. Точки $7''$ и $7'_1$ этой окружности принадлежат также и экватору вписанного шара. Искомые образующие проходят через точки $7''$ и $7'_1$ и пересекают окружность основания в точках $8''$ и $8'_1$.

Горизонт, проекции $S'7''$ и $S'7'_1$ этих образующих касаются эллипса, построенного (рис. 212, в) по осям $2'A'$ и $I'Z'$, в точках $8'$ и $8'_1$.

Очерк горизонт, проекции конуса составляется из прямых $S'8'$ и $S'8'_1$ и части эллипса $8'2'3'4'8'_1$.

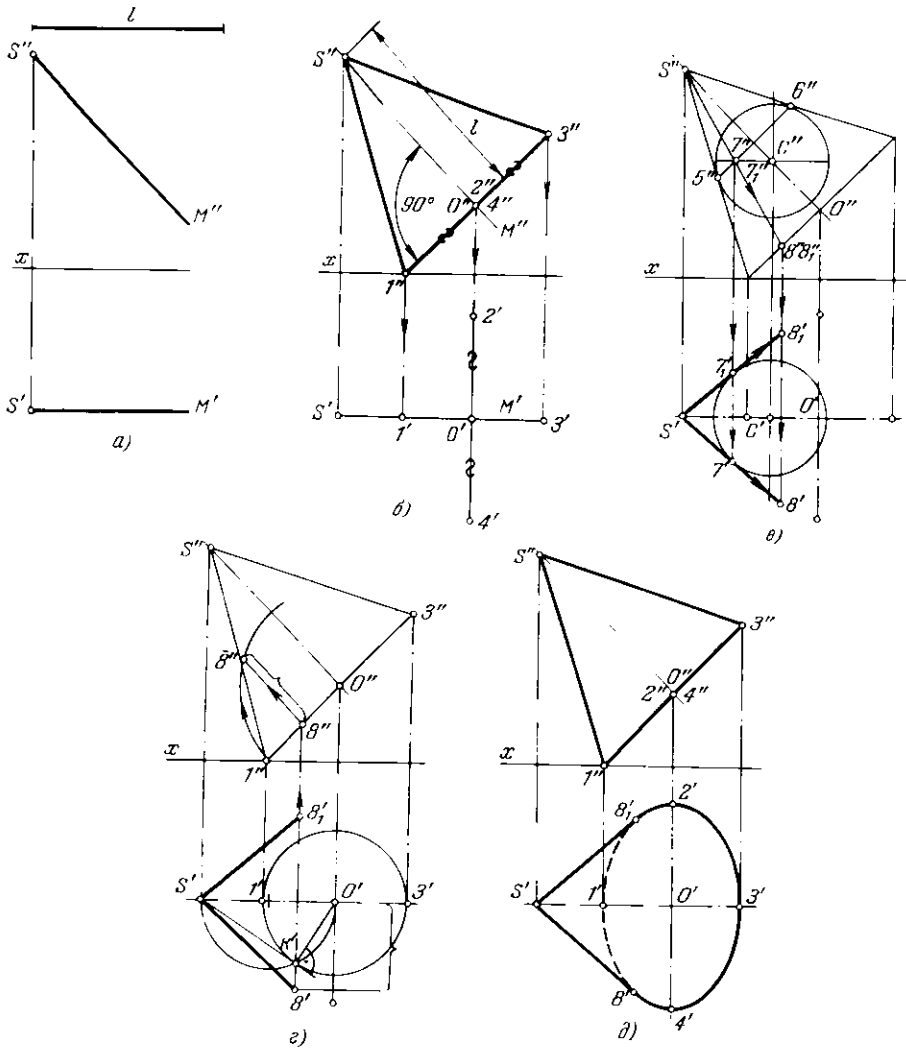


Рис. 212 а д

Касательные к эллипсу из точки S' можно провести и так, как это показано на рис. 212, *г*: сначала провести касательную из точки S' к окружности, построенной на малой оси эллипса как на диаметре, получить точку K' и по ней точку δ'' . Повернув окружность основания конуса до параллельности пл. π_2 (на рис. 212, *г* показана только часть этой окружности, проведенная из точки O'' радиусом $O''I''$), получаем точку δ'' и полухорду $\delta''\delta''_1$. Откладывая от прямой $S'O'$ вверх и вниз отрезок, равный этой полухорде, получаем точки δ'_1 и δ'_2 — точки касания очерковых образующих с эллипсом. Эллипс должен пройти через эти точки (рис. 212, *д*).

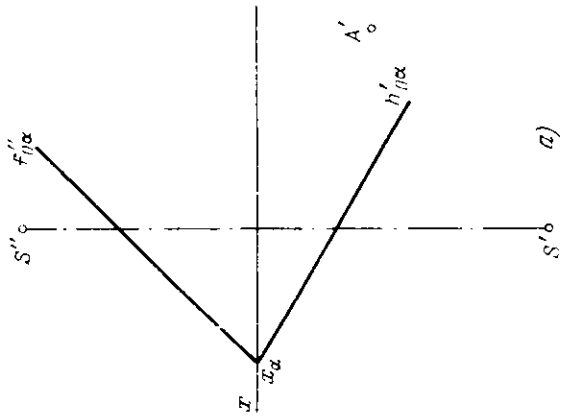
230. Построить проекции прямого кругового конуса, если точка S — вершина конуса, а точка O — центр окружности основания; эта окружность одной своей точкой касается пл. π_2 (рис. 213).

231*. Построить проекции прямого кругового конуса, основание которого должно быть в плоскости α (рис. 214, *а*), вершина конуса — в точке S . Точка A принадлежит окружности основания конуса.

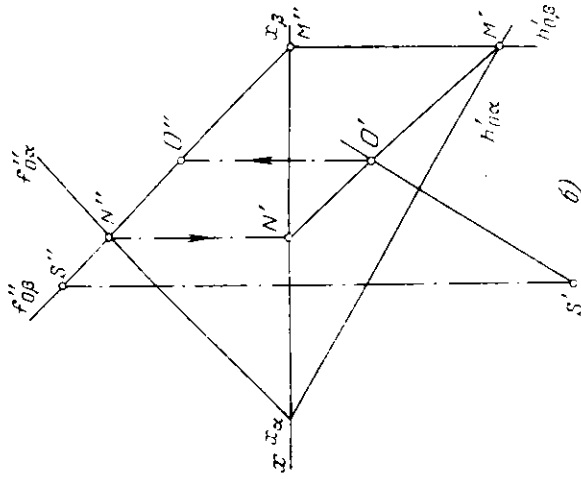
Решение. Из точки S проводим (рис. 214, *б*) перпендикуляр к пл. α и находим точку их пересечения (O'' , O'), являющуюся центром окружности основания конуса. Совмещаем



Рис. 213

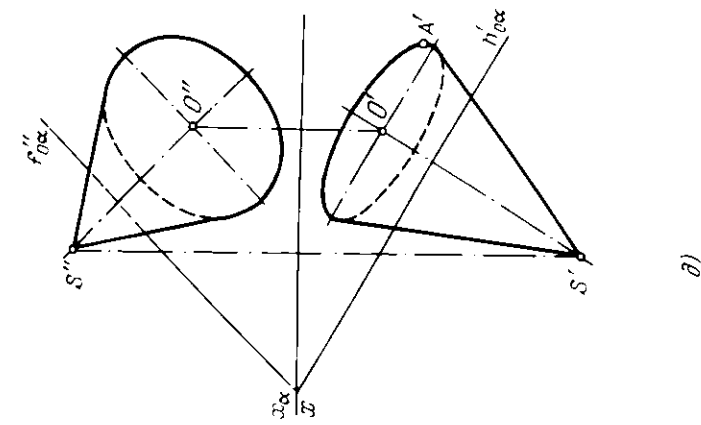


а)

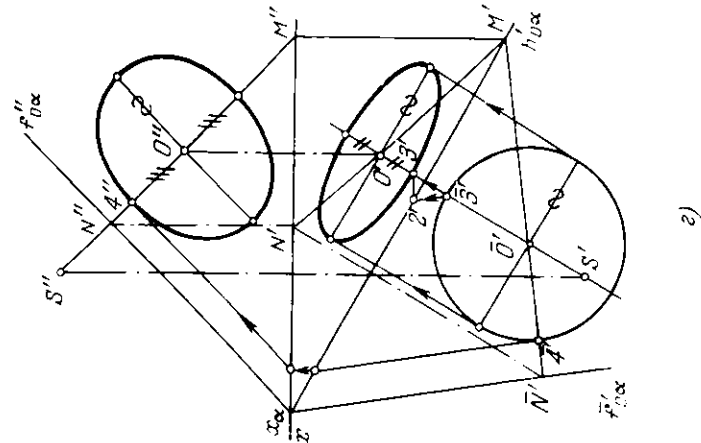


б)

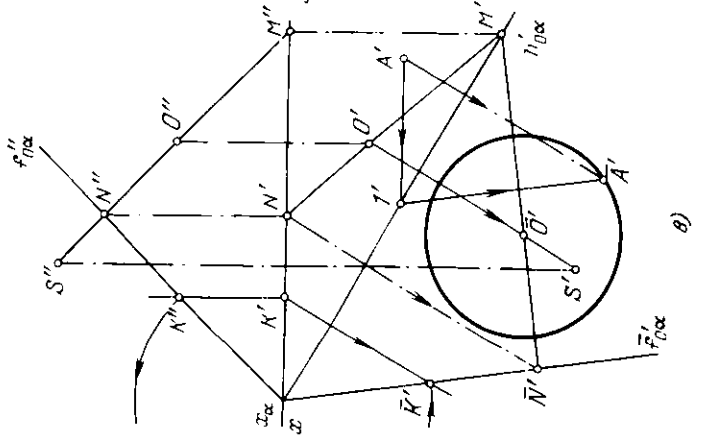
Рис. 214 а, б



a)



b)



c)

Рис. 214 В-Д

(рис. 214, в) пл. α с пл. π_1 и строим совмещенные положения точек O и A (O' и A'). Радиус окружности основания конуса равен расстоянию между этими точками.

Из точки O' проводим окружность основания и строим с ее помощью (рис. 214, г) эллипсы, в которые она проецируется на пл. π_1 и пл. π_2 (см. задачу 189).

Проведя из точек S'' и S' касательные к соответствующим эллипсам, получаем искомые проекции конуса (рис. 214, д).

232. Построить проекции прямого кругового конуса, ось которого лежит на прямой SM , а точка A принадлежит окружности его основания (рис. 215). Применить при решении способ совмещения.

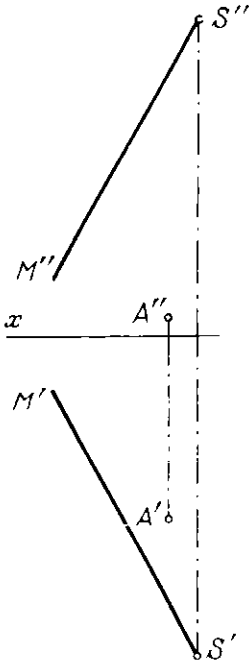


Рис. 215

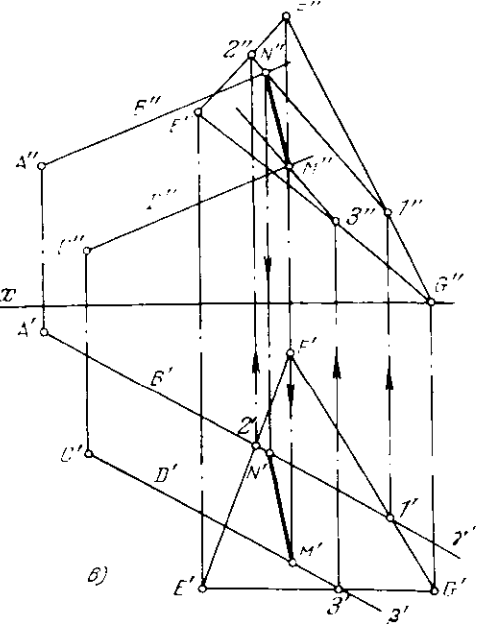
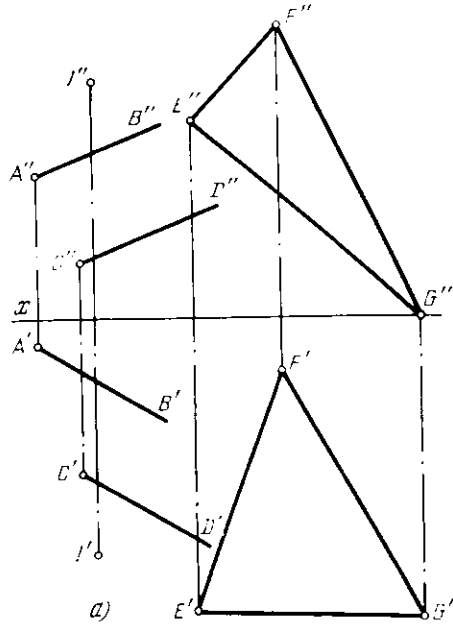
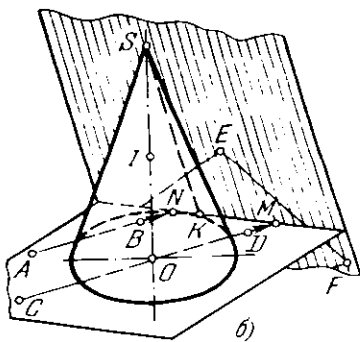
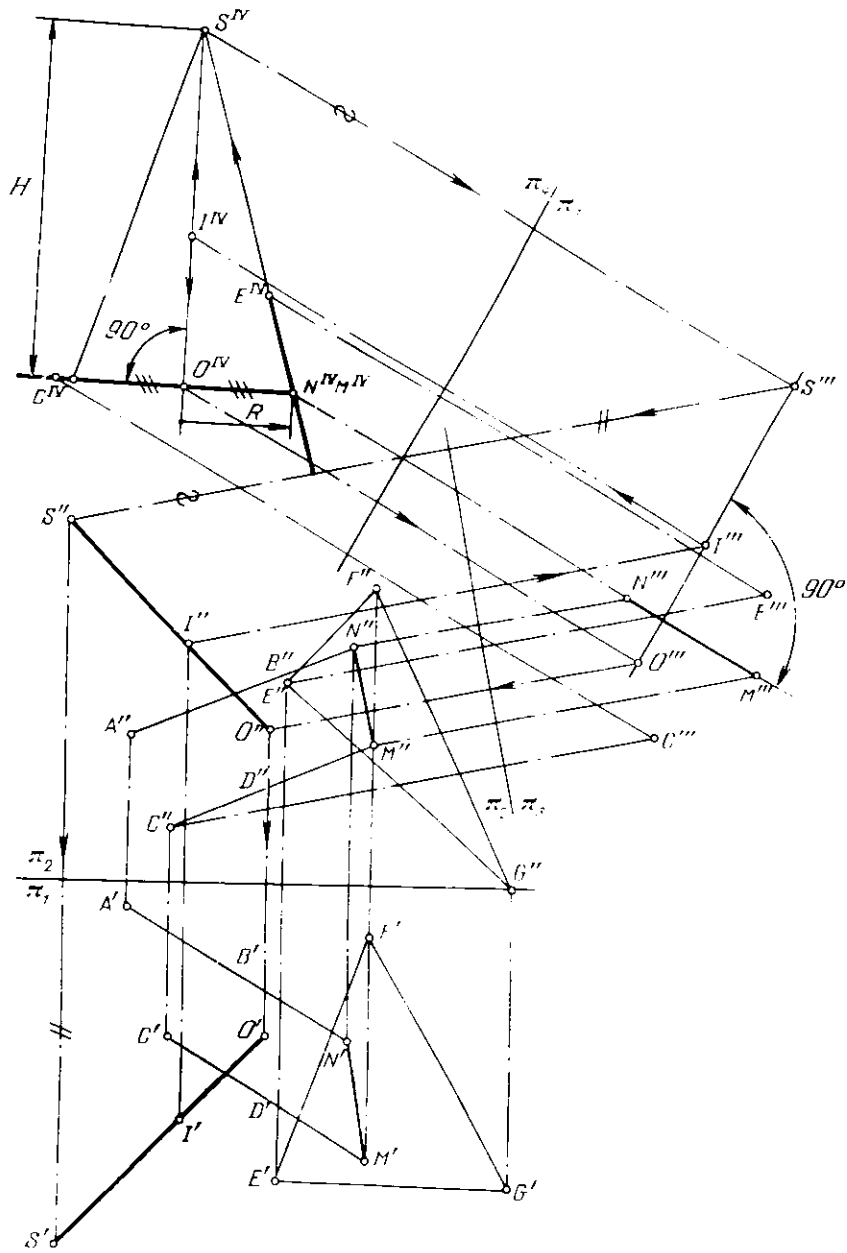


Рис. 216 а в





а)

Рис. 216 г

233*. Построить проекции прямого кругового конуса, если его ось проходит через точку I (рис. 216, а), основание расположено на плоскости, заданной параллельными прямыми AB и CD , а плоскость, заданная треугольником EFG , касается этого конуса.

Решение. На рис. 216, б показано, что искомый конус оказывается в двугранном угле, образованном плоскостью основания (она задана параллельными прямыми AB и CD) и касатель-

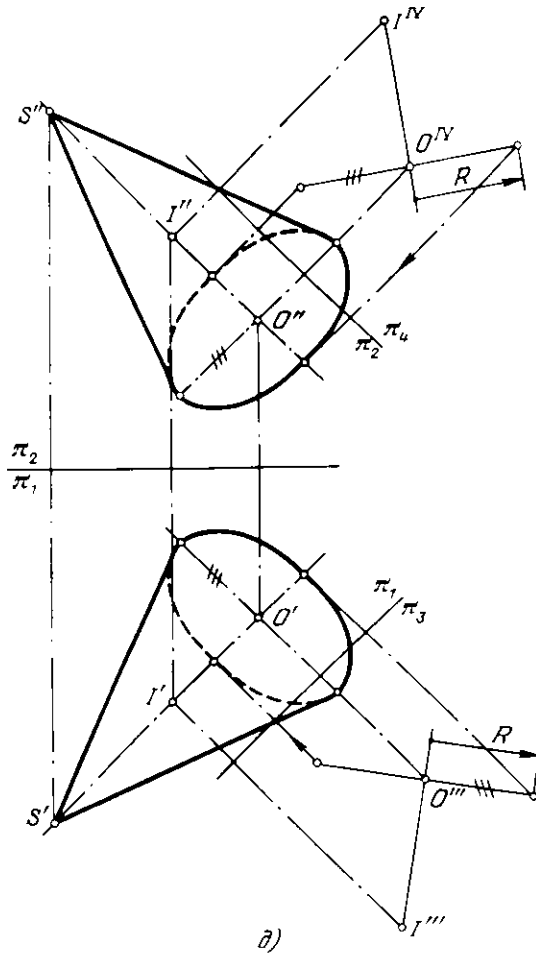


Рис. 216 д

ной плоскостью (заданной треугольником EFG). Ось конуса, проведенная через точку I перпендикулярно к плоскости основания, определяет в пересечении с этой плоскостью центр основания – точку O , а в пересечении с касательной плоскостью – вершину конуса – точку S . Тут же определится и радиус основания OK . Очевидно, надо найти прямую, по которой взаимно пересекаются плоскость основания конуса и касательная к нему плоскость. Это прямая MN . Если ввести дополнительную плоскость проекций так, чтобы она расположилась перпендикулярно к MN , то на полученном чертеже сразу обнаружатся точки O и S и радиус окружности основания конуса.

Итак, начинаем с построения линии пересечения плоскости основания конуса с плоскостью, касательной к конусу (рис. 216, в). Это делаем путем нахождения точек пересечения прямых AB и CD с плоскостью треугольника EFG . Через AB и CD проведены вспомогательные горизонтально-проецирующие плоскости γ и β .

Теперь (рис. 216, г), последовательно вводя дополнительные плоскости проекций – пл. π_3 , перпендикулярную к пл. π_2 и параллельную MN , и пл. π_4 , перпендикулярную к пл. π_3 и к прямой MN , можно получить чертеж, на котором обе плоскости – основания и касательная к конусу – изображены в виде прямых. Проводя на этом чертеже через точку I^{IV} проекцию высоты конуса перпендикулярно к плоскости его основания, получаем проекцию O^{IV} центра основания и S^{IV} – проекцию вершины конуса. Получаем также отрезок $O^{IV}M^{IV}$, равный радиусу основания.

Получив на рис. 216, г проекции $S''O''$ и $S'O'$, переходим к заключительной стадии построения (рис. 216, д), т.е. к получению чертежа конуса.

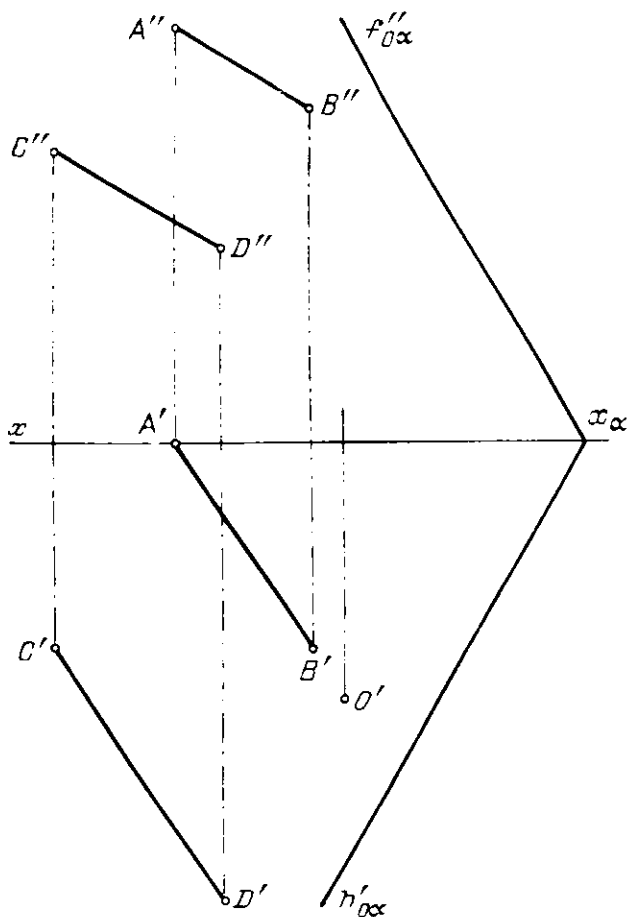


Рис. 217

234. Построить проекции прямого кругового конуса, если (рис. 217) точка O является горизонт. проекцией центра основания, расположенного в пл. α , а плоскость, заданная прямыми AB и CD , касается поверхности искомого конуса.

235*. Даны (рис. 218, *a*) точки: O — центр сферы, A — точка на ее поверхности. Построить проекции сферы.

Решение. Радиус искомой сферы выражается отрезком с проекциями $O''A''$ и $O'A'$ (рис. 218, *б*). Определяем натуральную величину R этого отрезка и проводим из точек O'' и O' окружности радиусом R .

236. Построить проекции сферы с центром в точке O ; точка A принадлежит экватору сферы (рис. 219).

237*. Построить сферу радиуса R , касательную в точке D к плоскости, заданной треугольником ABC (рис. 220, *a*).

Решение. Центр сферы должен лежать на перпендикуляре, проведенном в точке D к пл. треугольника ABC . Найдя (рис. 220, *б*) проекцию D'' , проводим в пл. треугольника горизонталь $A'' - 2$ и фронталь $C'' - 3$ (рис. 220, *a*), используя их для построения проекций $D'E'$ и $D''E''$ перпендикуляра к этой плоскости.

Теперь надо отложить на прямой DE от точки D отрезок, равный R . Взяв некоторый отрезок DF (рис. 220, *з*), находим его натуральную величину $D'F^*$, откладываем на $D'E'$ отрезок, равный R , и получаем сначала проекцию O' , а по ней O'' . Остается провести окружности из то-

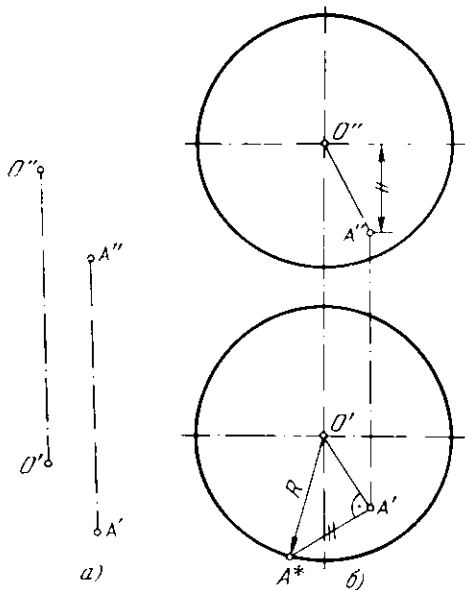


Рис. 218 а, б

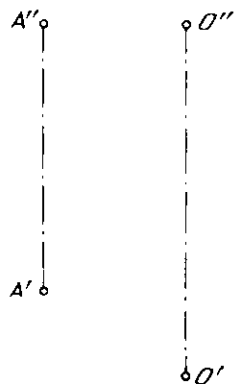


Рис. 219

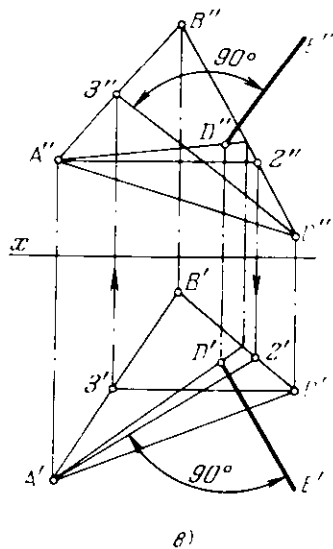
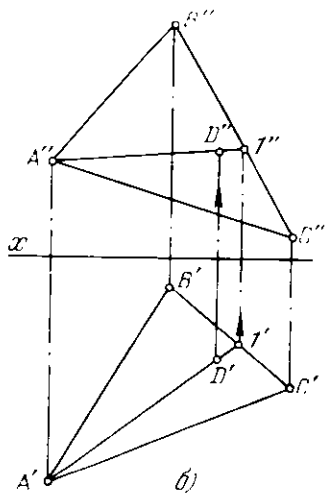
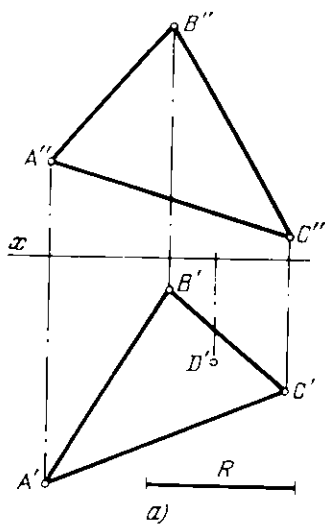


Рис. 220 а-в

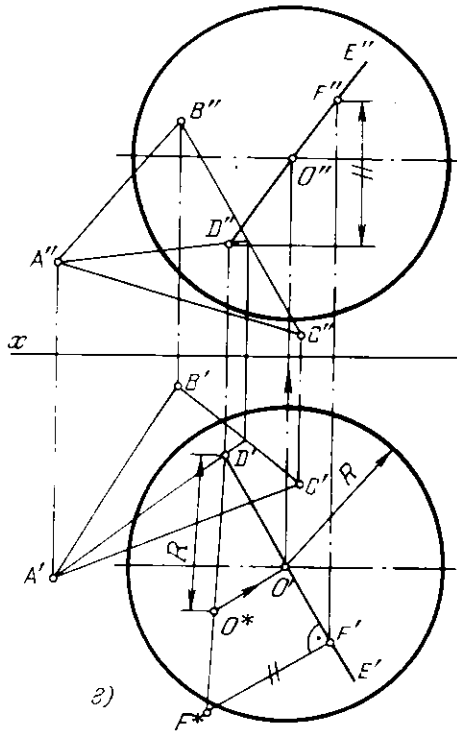


Рис. 220 г

чек O' и O'' радиусом R . Изображена лишь одна сфера по одну сторону плоскости. Если от точек D' и D'' отложить на продолжении прямых $D'E'$ и $D''E''$ отрезки $D'O'_1 = D'O'$ и $D''O''_1 = D''O''$ (эти построения на чертеже не показаны), то точка O_1 будет центром второй сферы с тем же радиусом R , касательной к плоскости треугольника ABC в точке D .

238. Построить сферу, касательную к плоскости, заданной треугольником ABC (рис. 221), если центр тяжести площади треугольника является точкой касания, а радиус сферы равен половине стороны BC .

239*. Построить сферу с центром на прямой AB (рис. 222, а), касательную к плоскостям, заданным треугольниками MNC и MND .

Решение. Геометрическим местом центров сфер, касательных к заданным плоскостям α и β (рис. 222, б), является плоскость (γ) , проходящая через линию их пересечения MN и делящая двугранный угол между плоскостями пополам.

Центр искомой сферы — точка O находится в точке пересечения плоскости γ с прямой AB . Радиус R сферы равен расстоянию от точки O до любой из заданных плоскостей.

Все это легко получить, применяя способ перемены пл. пр. (рис. 222, в). Первую дополнительную плоскость проекций (π_3) вводим так, чтобы она была перпендикулярна к пл. π_1 и параллельна ребру MN двугранного угла, а затем вторую дополнительную пл. π_4 перпендикулярно к пл. π_3 и к тому же ребру MN . Получив проекцию двугранного угла в виде угла $C^{IV}M^{IV}D^{IV}$, проводим в нем биссектрису, изображающую пл. γ , находим точку O^{IV} и отрезок $O^{IV}K^{IV} = R$. Остальное ясно из чертежа.

240. Построить сферу, касательную к граням ABC и SAB пирамиды $SABC$ (рис. 223), взяв ее центр на ребре SC .

241*. Провести через прямую AB плоскость, касательную к данной сфере (рис. 224, а).

Решение. Представив себе пространственную картину (рис. 224, б), можно видеть, что сфера касательна к двум плоскостям, составляющим двугранный угол с ребром AB . Отсюда

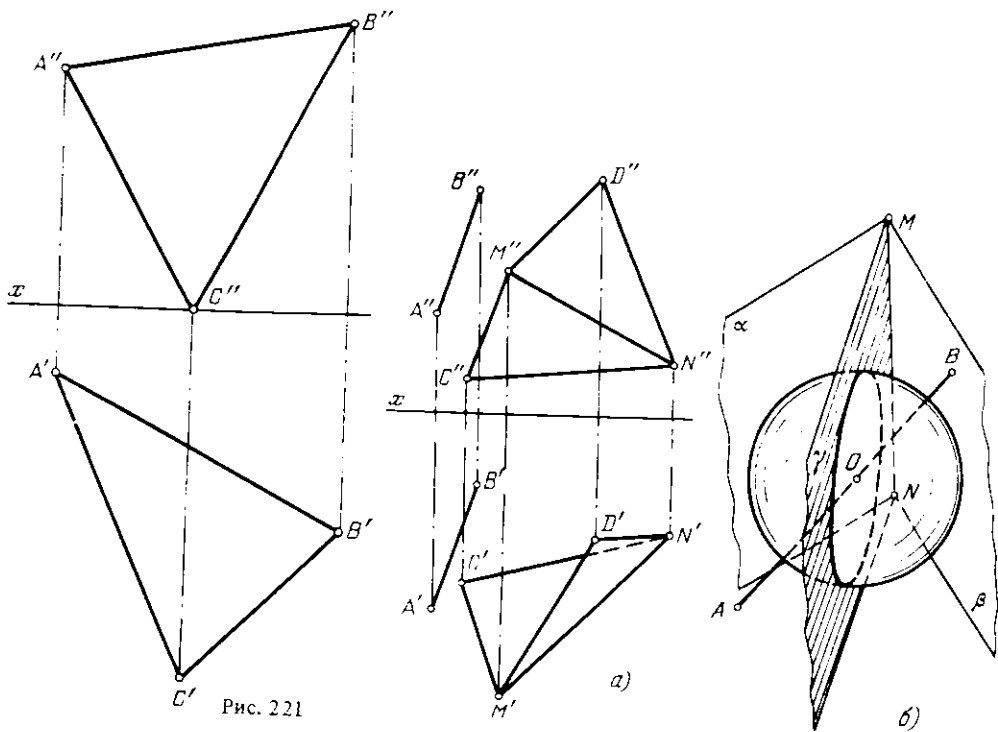


Рис. 221

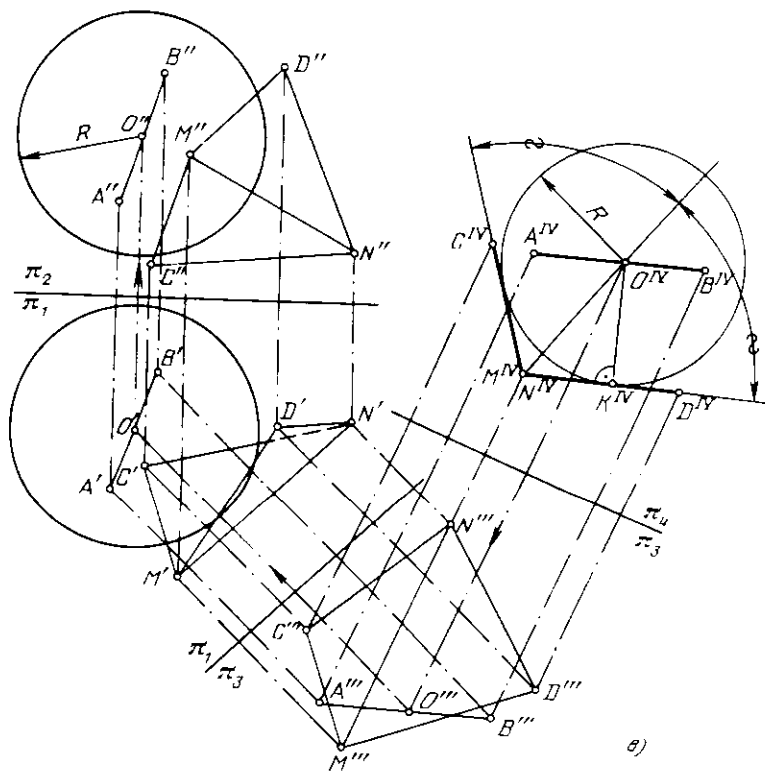


Рис. 222 а-в

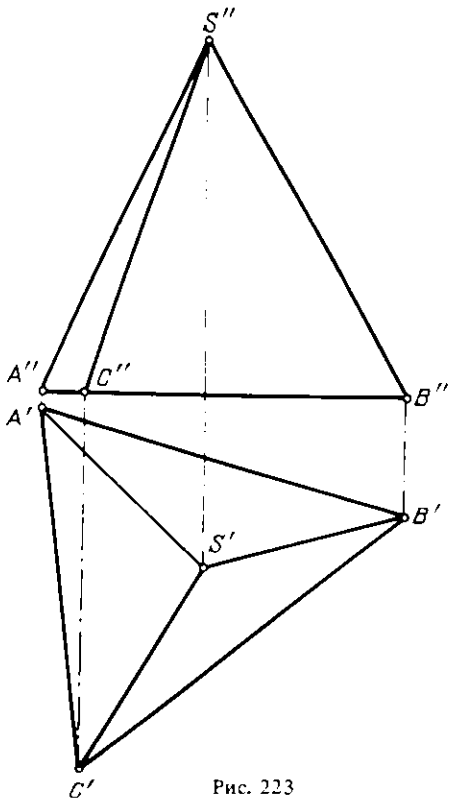
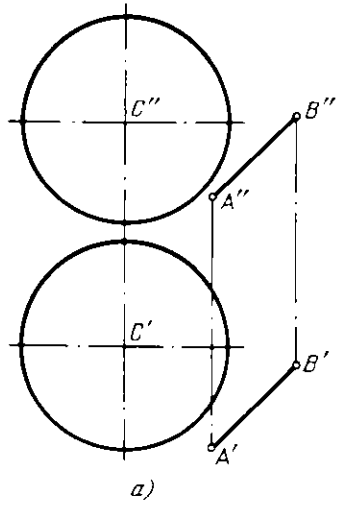
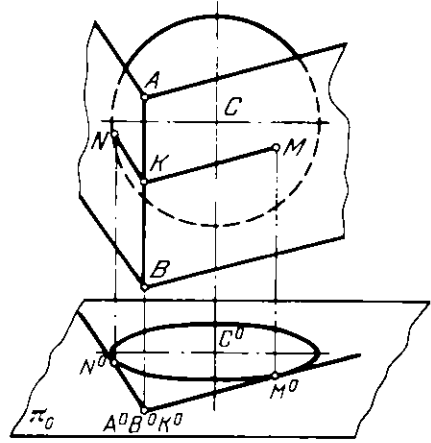


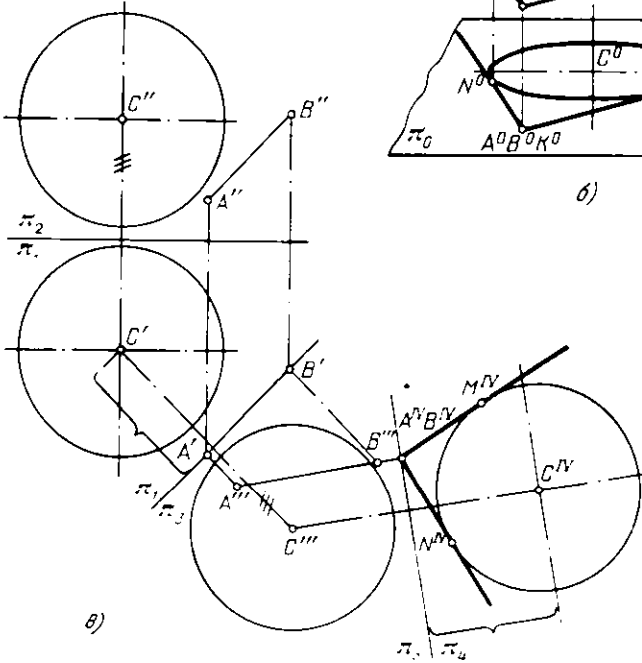
Рис. 223



а)



б)



в)

Рис. 224 а-в

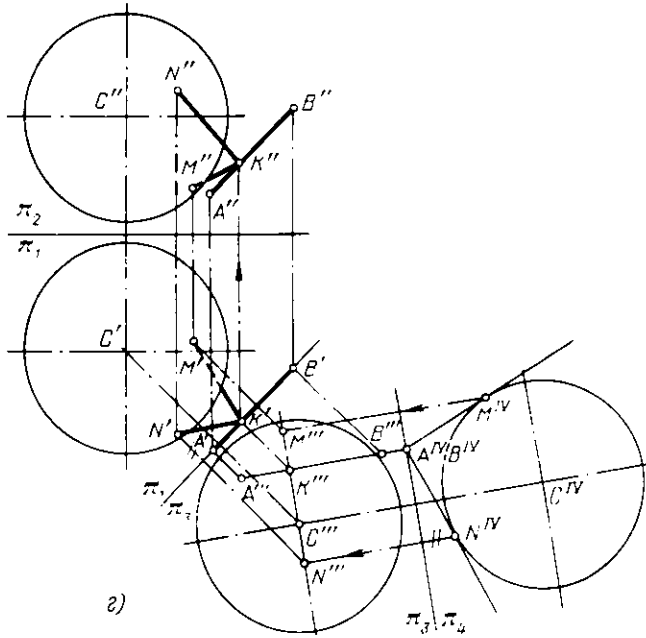


Рис. 224 г

вытекает следующий план решения: а) применяя способ перемены пл. пр., расположить дополнительную пл. π_0 перпендикулярно к AB , б) получить на этой же пл. π_0 проекцию сферы, в) провести из точки - проекции AB на пл. π_0 - две касательные к окружности, представляющей собою проекцию сферы на пл. π_0 . Эти касательные можно рассматривать как проекции плоскостей, касательных к сфере (они перпендикулярны к пл. π_0), и в то же время как проекции двух прямых, проведенных из некоторой точки на AB касательно к сфере. Очевидно, прямая AB и каждая из этих касательных определяют плоскость, проходящую через AB касательно к сфере. Если же выделить точки касания M и N (рис. 224, б), то каждая из касательных плоскостей будет выражена прямой AB и точкой касания (M или N).

На рис. 224, в показано построение проекций прямой AB и сферы на пл. π_4 и проекций M^{IV} и N^{IV} точек касания на прямых, проведенных из точки A^{IV} (B^{IV}) касательно к окружности с центром C^{IV} . Заключительная стадия построения показана на рис. 224, г: проведя через точку C''' прямую параллельно оси $\pi_4 \pi_3$, получаем на этой прямой проекции M''' и N''' , а также K''' - проекцию точки K на прямой AB ; из точки K проведены касательные KM и KN к сфере. Остальное ясно из чертежа.

242*. Построить проекции тела вращения, ограниченного поверхностью тора и двумя кругами (основаниями), плоскости которых перпендикулярны к оси этого тела; ось задана прямой MN ($MN \parallel \text{пл. } \pi_2$, рис. 225, а). Точки A , B и C принадлежат поверхности тела, причем точка A лежит на окружности одного из оснований тела, а C - на окружности другого основания.

Решение. Так как ось тела параллельна пл. π_2 , то очерком фронт. проекции будет главный меридиан тела. Проведя через A'' и C'' (рис. 225, б) прямые, перпендикулярные к $M''N''$, мы получим фронт. проекции плоскостей оснований тела, а введя дополнительную пл. π_3 , перпендикулярную к пл. π_2 и к MN , получим натуральный вид обоих оснований - круги радиусов $M''C'''$ и $M''A'''$. Пл. π_3 взята совпадающей с плоскостью меньшего основания. Построена также параллель, на которой расположена заданная точка B .

По точкам C''' , A''' и B''' находим точки C^{iv} , A^{iv} и B^{iv} . Через эти точки должна пройти дуга окружности - фронт. проекция образующей тора в ее крайнем положении (рис. 225, в). Проведя эту дугу и ей симметричную относительно оси $M''N''$, получим, фронт. проекцию тела вращения. Для его горизонт. проекции строим эллипсы - проекции оснований.

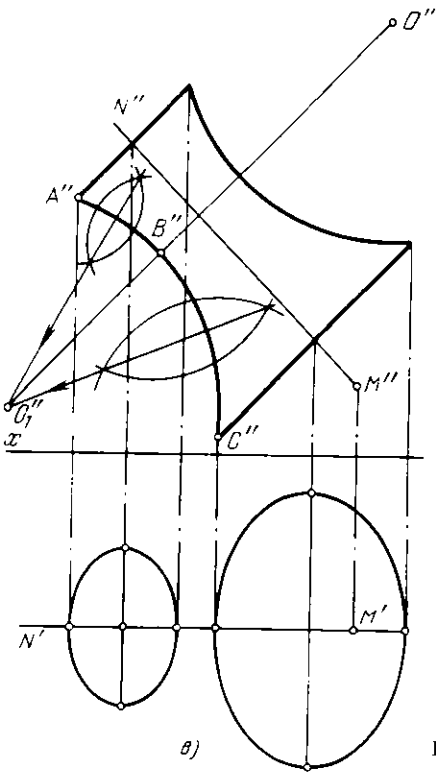
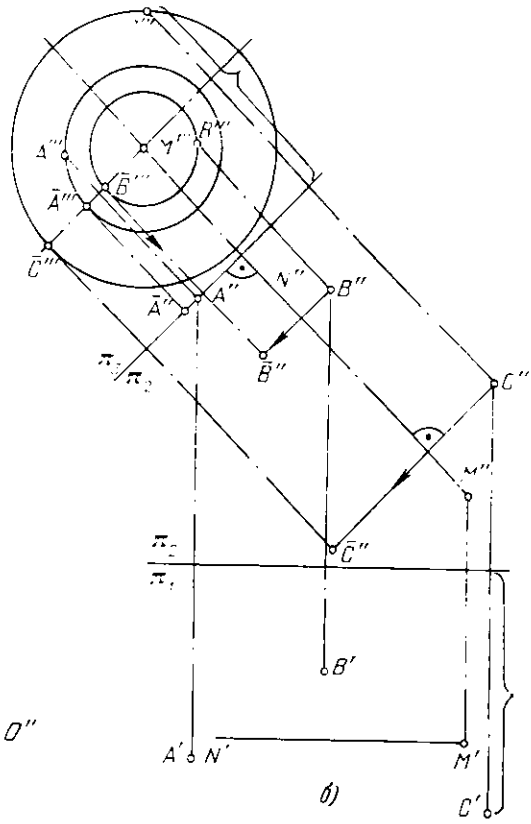
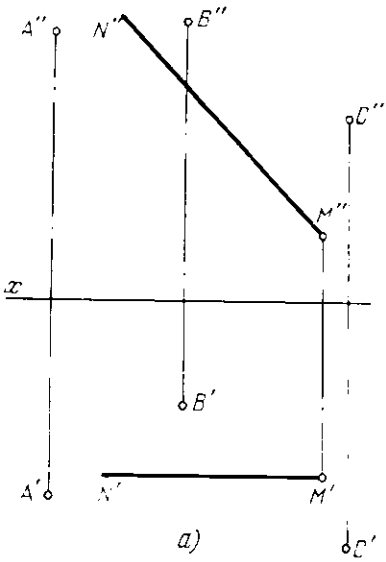


Рис. 225 а-в

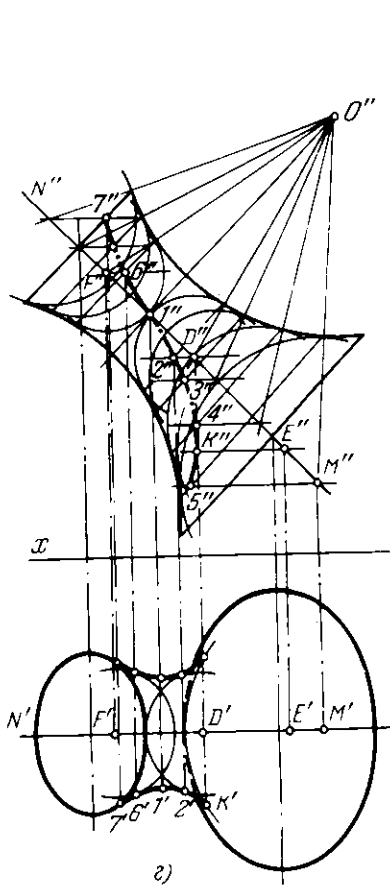


Рис. 225 г

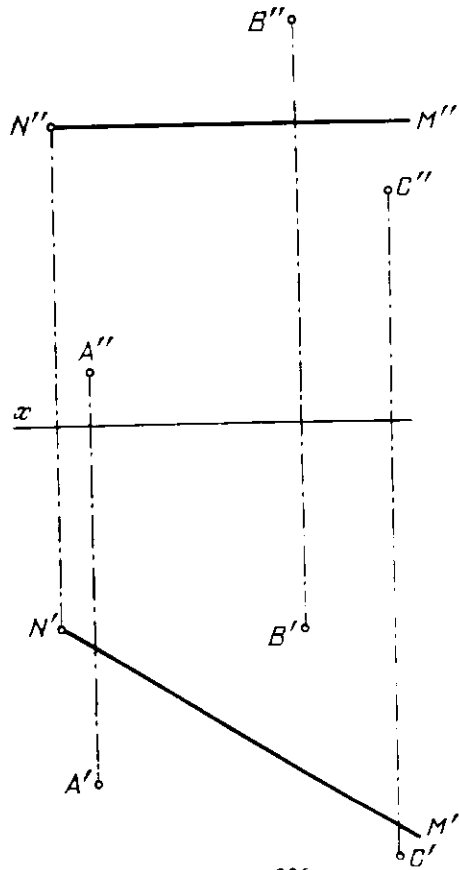


Рис. 226

Чтобы получить горизонт. проекцию полностью, надо построить ее очерк (рис. 225, г). Для этого прибегаем к помощи ряда сфер, вписываемых в тело вращения.

Эти сферы касаются поверхности тела по окружностям, фронт. проекции которых — отрезки прямых, перпендикулярных к $M''N''$. В пересечении окружностей касания с экваторами сфер находим точки $7', 6', 1', 2'$ и др. для очерка горизонт. проекции.

Например, взяв центр сферы в точке F , проводим прямую $F''O''$, определяем точку касания очерка сферы с очерком тора, проводим проекцию окружности касания, перпендикулярную к $M''N''$, и находим точку $6''$ пересечения ее с проекцией экватора сферы. Проведя из точки F' окружность — горизонт. проекцию экватора, находим на ней точку $6'$.

Так же поступаем, взяв, например, центр сферы в точке D ; находим точку $(2'', 2')$.

Через найденные проекции точек проводим кривую $7''6''1''2''K''5''$ и кривую $7'6'1'2'K'5'$, являющуюся искомой очерковой линией горизонт. проекции поверхности тора. Горизонт. проекции точек кривой, расположенных ниже точки K , невидимы.

243. Построить проекции тела вращения, ограниченного поверхностью тора и двумя кругами (основаниями), плоскости которых перпендикулярны к оси тела вращения, ось задана прямой MN ($MN \parallel \text{пл. } \pi_1$, рис. 226). Точки A, B и C принадлежат поверхности тела, причем точка A лежит на окружности одного, а точка C — на окружности другого основания.

244*. Построить проекции тела вращения, ограниченного поверхностью тора и кругом (основанием), плоскость которого перпендикулярна к оси этого тела. В точке S (рис. 227, а) находится вершина тела, основание лежит в плоскости, заданной треугольником AMN . Радиус основания тела равен R . Плоскость, заданная треугольником BMN , касательна к поверхности тела.

Решение. Легко представить себе такое положение заданных элементов относительно некоторой пл. проекций, при котором двугранный угол между плоскостями с ребром MV изобразится в виде угла, стороны которого являются проекциями заданных треугольников; перпендикуляр, проведенный из проекции вершины S на соответствующую сторону угла, определит высоту тела вращения и центр круга основания. Действительно (рис. 227, б), применяя способ перемены плоскостей проекций, получаем соответствующую конфигурацию в проекции на дополнительную пл. π_4 . Образующая тела вращения на этой плоскости должна изобразиться дугой окружности, проходящей через точки S^{IV} и C^{IV} (точка C^{IV} должна лежать на прямой $M^{IV}O^{IV}$ на расстоянии R от точки O^{IV}) и касательной к прямой $M^{IV}B^{IV}$.

Построение такой дуги показано на рис. 227, в. Через точки S^{IV} и C^{IV} проведена прямая до пересечения с прямой $M^{IV}B^{IV}$ в точке 1. Отрезок $S^{IV}1$ разделен пополам, и из точки 2 как из центра проведена окружность (показана ее половина) радиусом $S^{IV}2$. Из точки C^{IV} проведен перпендикуляр к $S^{IV}C^{IV}$ до пересечения с окружностью в точке 3. Проводя дугу радиусом 1-3, получаем на прямой $M^{IV}B^{IV}$ точку 4. Теперь, проведя перпендикуляр в точке 4 к прямой $M^{IV}B^{IV}$ и к отрезку $S^{IV}C^{IV}$ в его середине, находим точку S — центр дуги, проходящей через точки S^{IV} и C^{IV} и касательной в точке 4 к прямой $M^{IV}B^{IV}$.

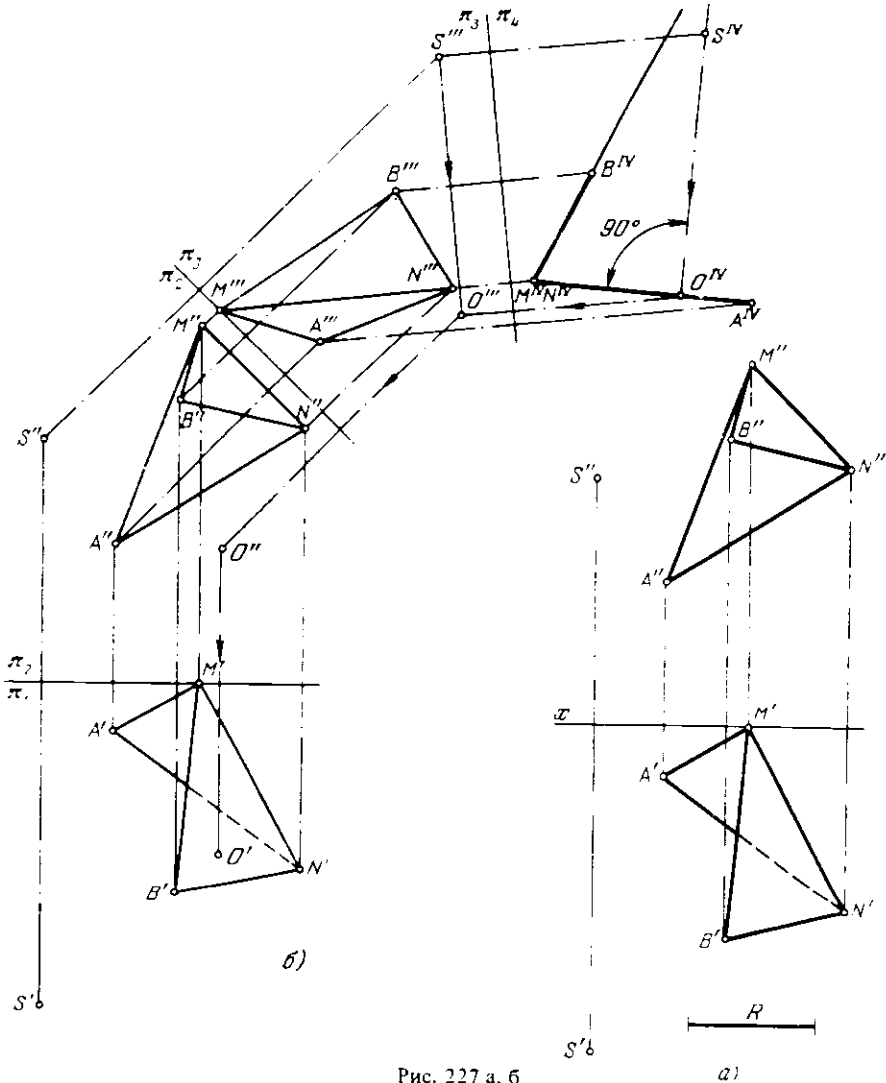


Рис. 227 а, б

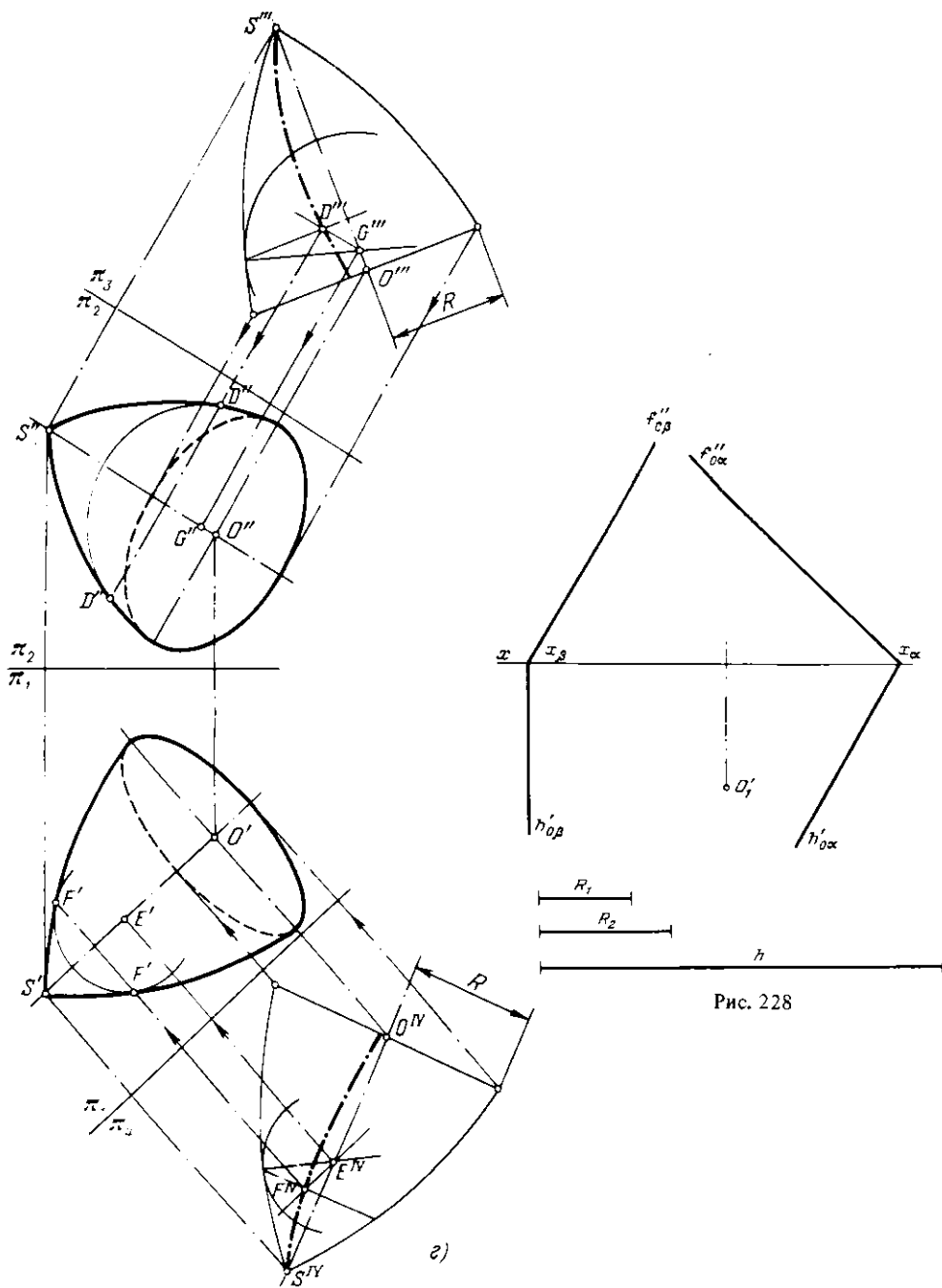


Рис. 227 г

Рис. 228

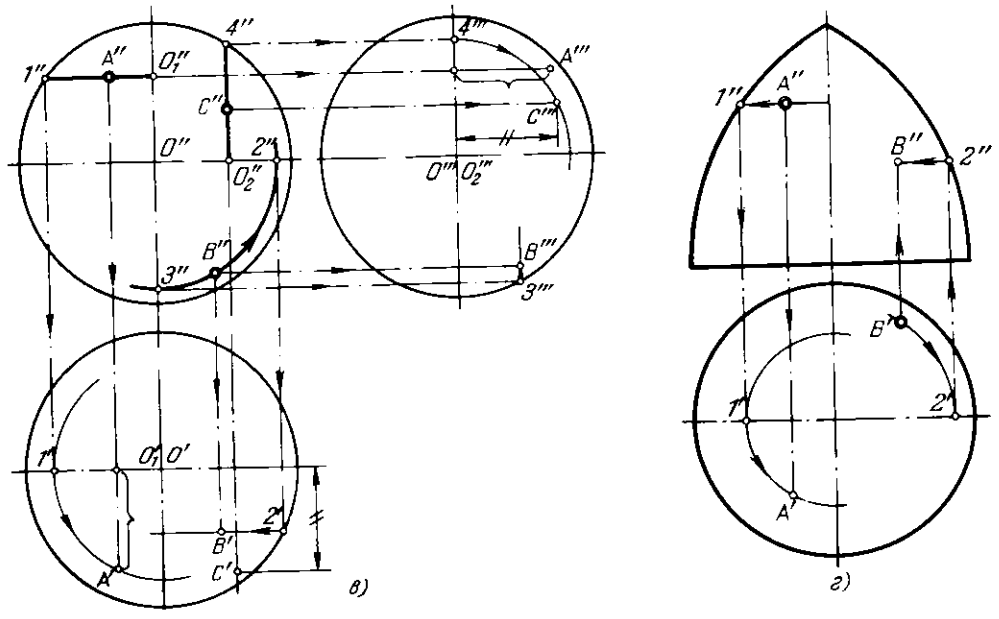
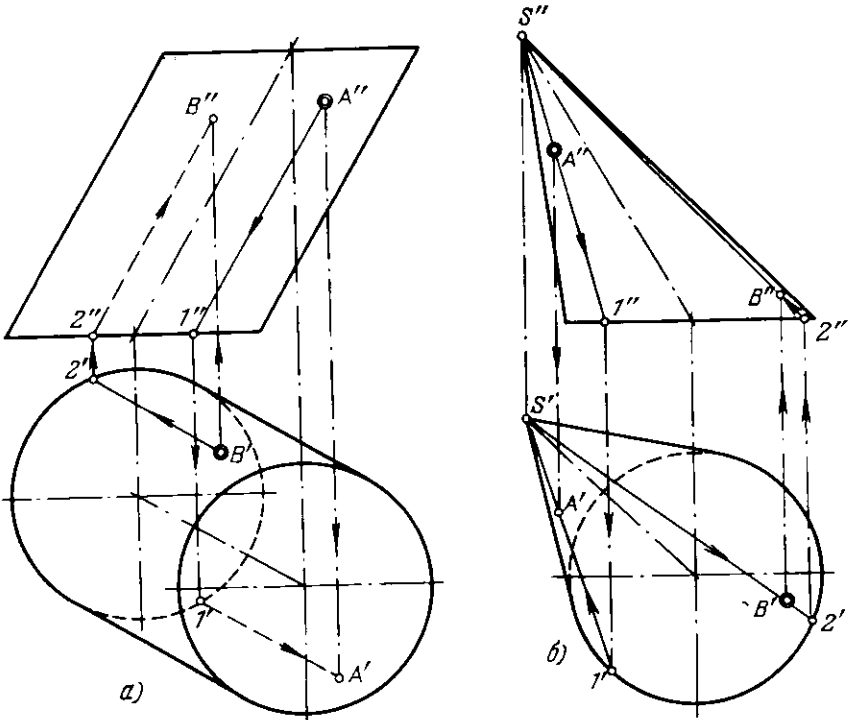


Рис. 229 а-г

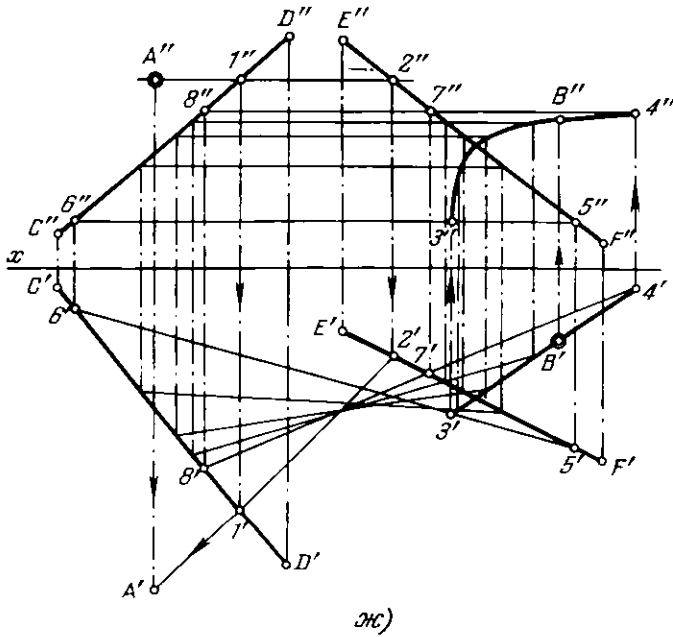
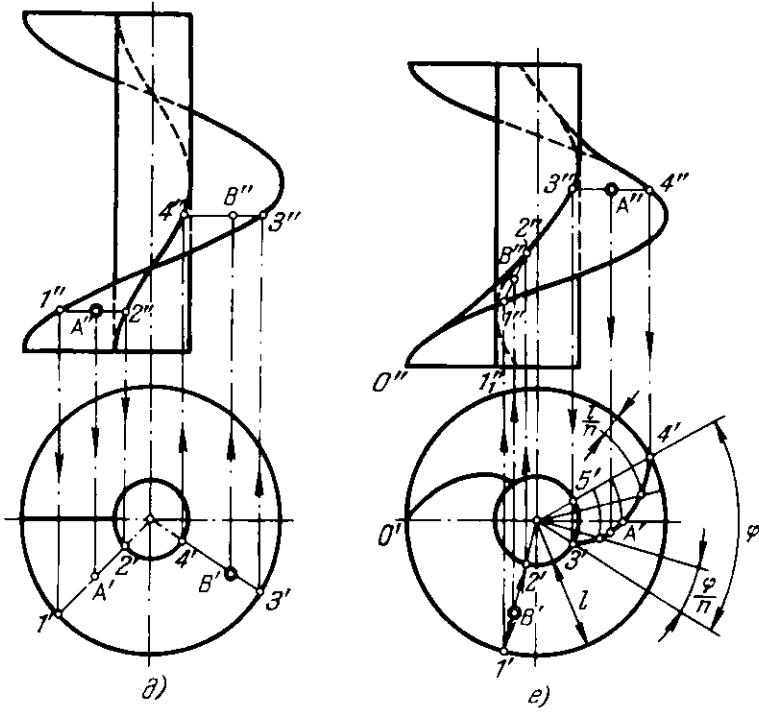


Рис. 229 д-ж

На том же рис. 229, в показано, что можно, например, построить проекцию B' точки B , принадлежащей сфере, по заданной проекции B'' иначе, чем это сделано для точки A , а именно: представить себе сечение сферы плоскостью, параллельной пл. π_2 , по окружности радиуса $O''B''$, найти положение горизонт. проекции этой окружности и на ней взять проекцию B' . Проекцию B''' можно найти, построив профильную проекцию окружности радиуса $O''B''$.

Можно было бы представить себе плоскость, проходящую через заданную точку параллельно пл. π_3 . Это показано на рис. 229, в на примере нахождения проекций C''' и C' точки C по заданной ее проекции C'' . Плоскость, параллельная пл. π_3 , расщепит сферу по окружности радиуса $O_2''4'' = O_2'''4'''$. Находим на профильной проекции этой окружности проекцию C''' . Затем находим проекцию C' .

Все построения на рис. 229, в выполнены в предположении, что точки A , B и C даны на той части сферы, которая видима на пл. π_2 .

На рис. 229, г найдена проекция A' по заданной A'' и проекция B'' по заданной B' , точки принадлежат поверхности тора. Применены параллели поверхности.

На рис. 229, д по заданным проекциям A'' и B'' точек A и B , принадлежащих прямой винтовой поверхности, найдены проекции A' и B' . Это сделано путем отнесения точек к соответствующим положениям образующей — прямой линии. Горизонт. проекции образующих направлены радиально, а фронт. проекции — перпендикулярно к фронт. проекции оси поверхности.

Для нахождения фронт. проекции точки B , принадлежащей кривой винтовой поверхности (рис. 229, е), по заданной ее горизонт. проекции B'' использована прямолинейная образующая поверхности. Ее горизонт. проекция определена точками $1'$ и $2'$, по ним взяты точки $1''$ и $2''$ на фронт. проекции винтовых линий и проведена проекция $1''2''$, на которой и найдена точка B'' . Точность построения (так же, как и на рис. 229, д) зависит от тщательности построения синусоид — фронт. проекций винтовых линий. Чтобы повысить точность, можно применить расчет подъема точек на фронт. проекции в зависимости от углового перемещения на горизонт. проекции. Например, точка, образующая винтовую линию, в положении 1 переместилась вдоль оси цилиндра на долю шага, соответствующую доле полного поворота вокруг оси:

$$\frac{I_1' 1''}{\text{шаг}} = \frac{O' 1'}{360^\circ}.$$

Что же касается нахождения горизонт. проекции точки A по заданной проекции A'' (см. рис. 229, е), то здесь применено сечение кривой винтовой поверхности плоскостью, перпендикулярной к ее оси. Получающаяся при этом спираль Архимеда изобразится без искажения на горизонт. проекции. Проведя фронт. проекцию спирали Архимеда — отрезок $3''4''$, находим проекции точек $3'$ и $4'$; затем делим угол φ на n равных частей и на такое же число равных частей делим отрезок $5'4'$, равный l . Точки спирали получаются в пересечении соответствующих прямых и дуг, как это показано на чертеже. Искомая точка A' находится на спирали.

На рис. 229, ж показано построение проекции A'' точки A и проекции B'' точки B , принадлежащих кривой плоскости (гиперболическому параболоиду). Плоскостью параллелизма является пл. π_1 . Через заданную проекцию A'' проведена проекция $1''2''$ образующей этой поверхности ($1''2'' \perp$ оси x), построена проекция $1'2'$, на которой и получена искомая горизонт. проекция точки A .

Для нахождения проекции B'' проведена через точку B' прямая $3'4'$ — горизонт. проекция некоторой линии, принадлежащей поверхности. По точкам пересечения прямой $3'4'$ с образующими ($5'6'$, $4'8'$ и др.) найдены точки для проведения фронт. проекции $3''4''$ полученной кривой, на которой определяется искомая проекция B'' .

§ 22. Пересечение поверхности плоскостью и прямой линией

247*. Построить проекции части прямого кругового цилиндра, остающейся после пересечения его фронтально-проецирующей плоскостью α (рис. 230). Дать натуральный вид сечения и полную развертку поверхности.

Решение. Судя по положению секущей пл. α относительно оси цилиндра, линия на его боковой поверхности, получаемая в пл. α , представляет собой эллипс с центром в O (на оси цилиндра); большая ось эллипса равна отрезку $1''7''$, а малая — диаметру цилиндра. Учитывая, что пл. α пересекает и одно из оснований цилиндра, получаем сечение в виде фигуры, ограниченной дугой эллипса и отрезком прямой AB . Для построения этой фигуры применен способ перемены плоскостей проекций, а именно введена дополнительная пл. π_3 , перпендикулярная к пл. π_2 и параллельная пл. α . Построение можно было бы осуществить, не вводя пл. π_3 и осей π_2/π_1 и π_3/π_2 , а пользуясь большой осью эллипса для откладывания от нее отрезков, взятых на горизонт. проекции, как, например, отрезка l для получения точек A''' и B''' .

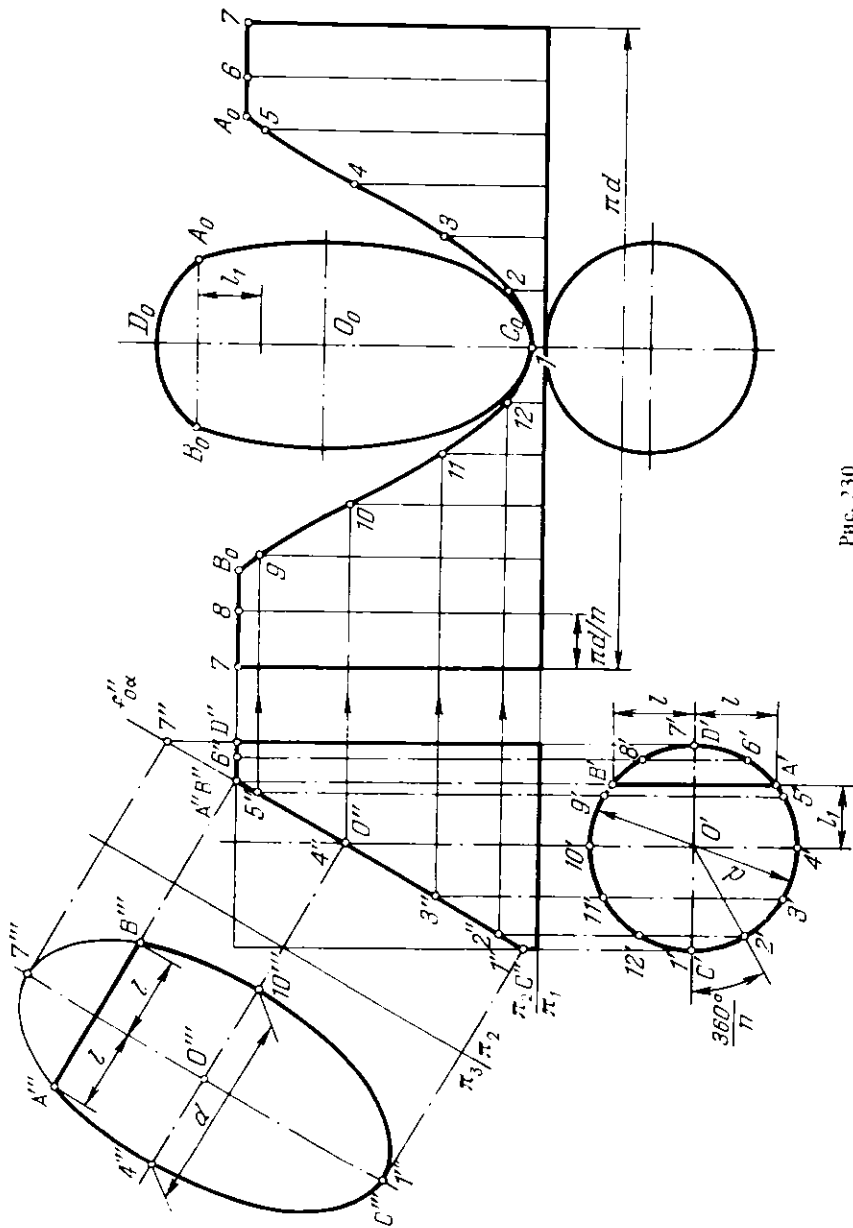


Рис. 230

Примененное на рис. 230 деление окружности основания на некоторое число равных между собою дуг (взято 12 дуг) представляет собою обычный прием для построения развертки в подобных случаях. Полная развертка составлена из: а) развертки боковой поверхности, ограниченной пятью отрезками прямой линии и кривой $A_0C_0B_0$ – синусоидой, в которую развернулся эллипс, б) круга основания цилиндра, в) натурального вида сечения, г) сегмента, полученного на верхнем основании.

248*. Найти точки пересечения поверхности цилиндра прямой линией (рис. 231, а).

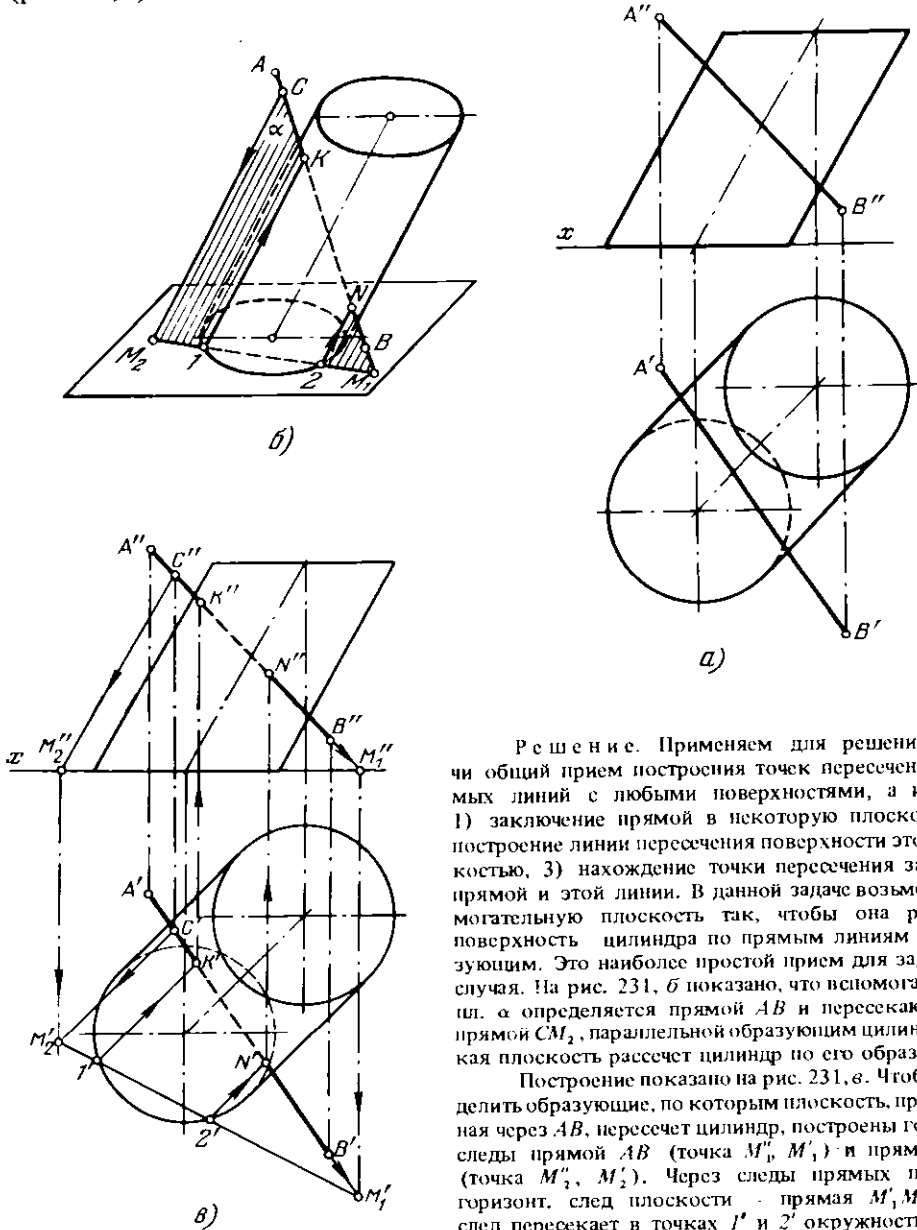


Рис. 231 а–в

Решение. Применяем для решения задачи общий прием построения точек пересечения прямых линий с любыми поверхностями, а именно: 1) заключение прямой в некоторую плоскость, 2) построение линии пересечения поверхности этой плоскостью, 3) нахождение точки пересечения заданной прямой и этой линии. В данной задаче возьмем вспомогательную плоскость так, чтобы она рассекла поверхность цилиндра по прямым линиям – образующим. Это наиболее простой прием для заданного случая. На рис. 231, б показано, что вспомогательная пл. α определяется прямой AB и пересекающей ее прямой CM_2 , параллельной образующим цилиндра. Такая плоскость рассечет цилиндр по его образующим.

Построение показано на рис. 231, в. Чтобы определить образующие, по которым плоскость, проведенная через AB , пересечет цилиндр, построены горизонт. следы прямой AB (точка M'_1, M'_2) и прямой CM_2 (точка M'_2, M'_2). Через следы прямых проведен горизонт. след плоскости – прямая $M'_1M'_2$. Этот след пересекает в точках I' и Z' окружность – след цилиндрической поверхности на той же пл. π_1 . Проведя $I'K'$ и $Z'N'$ параллельно $C'M'_2$, получаем

точки K' и N' – горизонт. проекции искомым точек пересечения AB с поверхностью цилиндра, а затем K'' и N'' – фронт. проекции этих точек.

249. Найти точки пересечения поверхности цилиндра прямой линией (рис. 232, а и б).

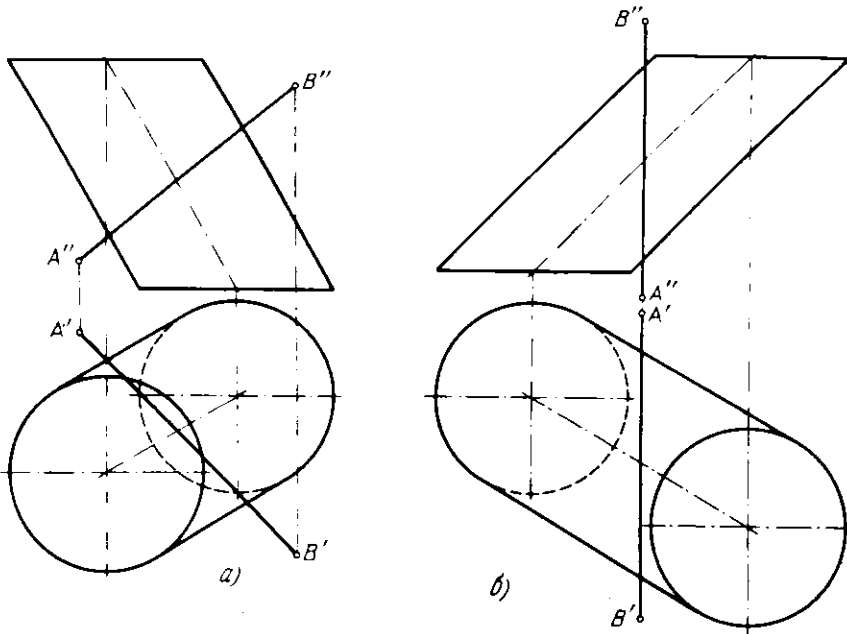


Рис. 232 а, б

250*. Построить проекции части прямого кругового конуса, оставшейся после пересечения его фронтально-проецирующей плоскостью (рис. 233, а и б). Дать натуральный вид сечения и полную развертку поверхности изображенного тела.

Решение. Судя по положению секущей плоскости относительно образующих конуса, линия на его боковой поверхности, получаемая в пл. α , представляет собою эллипс. Большая ось этого эллипса может быть представлена отрезком $M''K''$. Деля $M''K''$ пополам, получаем фронт. проекцию центра эллипса – точку O'' , а по ней и проекцию O' . Теперь можно найти малую полуось, проведя секущую плоскость через точку O перпендикулярно к оси конуса и взяв в полученном круговом сечении полухорду l_1 . Малая ось эллипса равна $2l_1$. Горизонт. проекция эллипса также представляет собою эллипс; его большая ось $M'K'$, а малая – $C'D'$, равная $2l_1$.

Последующие построения подобны выполненным на рис. 230. Натуральный вид фигуры сечения построен при помощи способа перемены пл. пр., причем дополнительная пл. π_3 взята совпадающей с пл. α . Замечание на с. 164 о том, что построение можно быть бы осуществить, не вводя пл. π_3 и осей π_2/π_1 и π_3/π_2 , справедливо и для данного случая.

Зная, что боковая поверхность конуса развертывается в круговой сектор с углом $\varphi = \frac{d}{l} \cdot 180^\circ$ при вершине, где d – диаметр основания, а l – длина образующей конуса, строим

сектор с разбивкой его на равные части соответственно разметке образующих на чертеже конуса. Зная, например, положение образующей $S - 3$ на чертеже и на развертке, находим положение точки N_0 на развертке при помощи натуральной величины отрезка l_3 образующей от вершины S до точки N .

В полную развертку оставшейся части поверхности входят: а) развертка боковой поверхности, ограниченная дугой окружности радиуса l и построенной кривой $A_0N_0M_0B_0$; б) части круга основания; в) натурального вида сечения, причем круг и сечение граничат по хорде A_0B_0 .

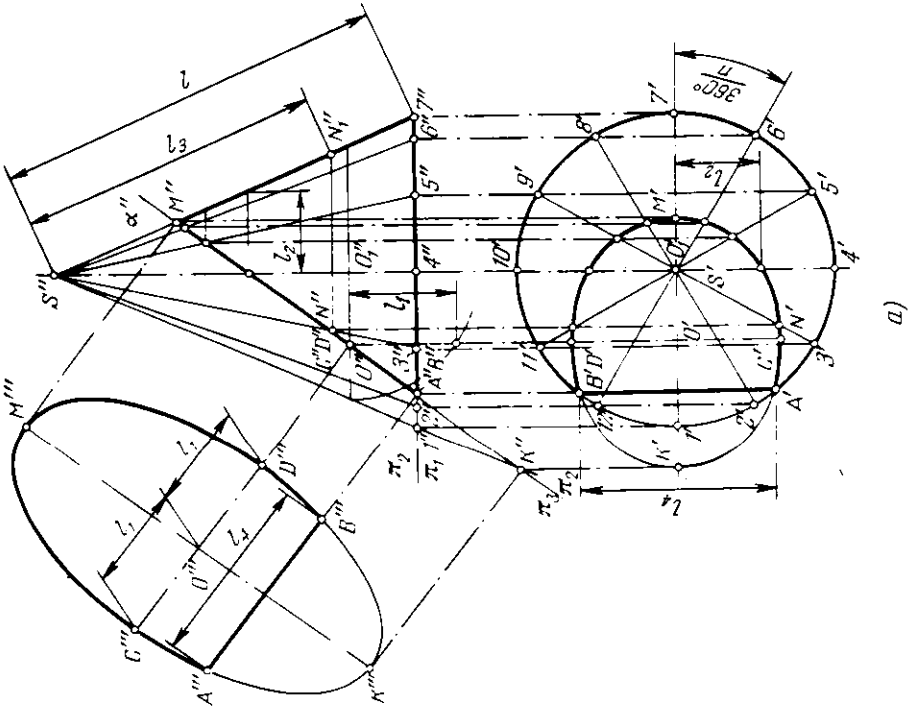
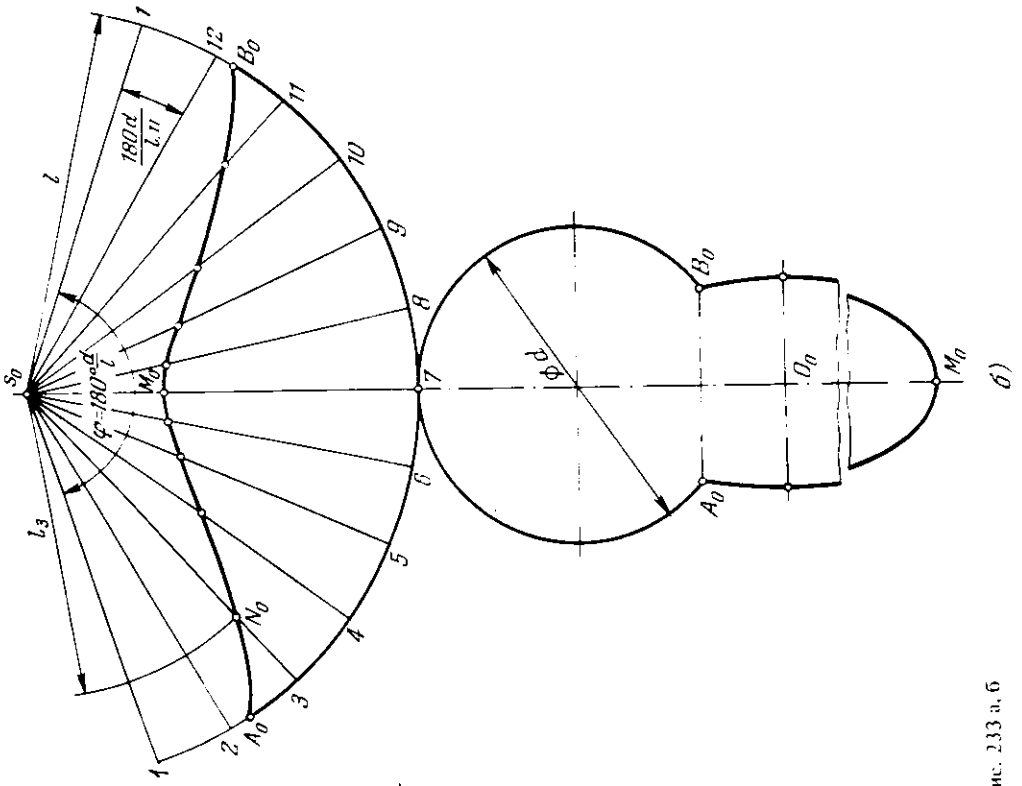


Рис. 233 а, б

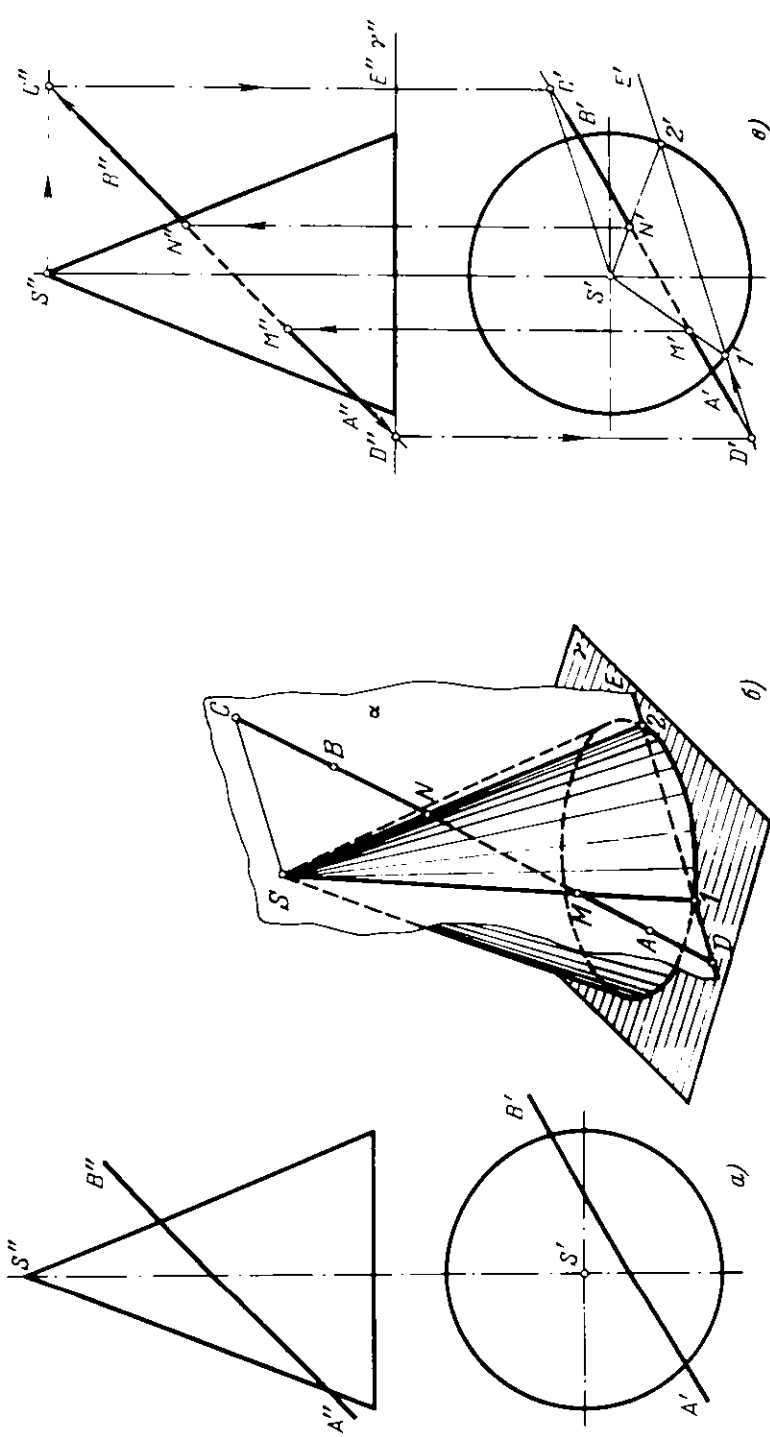


Рис. 234 а, в

251*. Найти точки пересечения поверхности прямого кругового конуса прямой линией (рис. 234, а).

Решение. Применяя вспомогательную плоскость, проведенную через данную прямую линию, задаемся целью обеспечить простейшее пересечение конуса этой плоскостью. Секущую плоскость надо провести через вершину конуса. Она будет пересекать конус по прямым линиям (образующим). На рис. 234, б показана пл. α , проведенная через данную прямую AB и вершину конуса. Проведем пл. γ , перпендикулярную к оси конуса и, следовательно, пересекающую его по окружности, находим на пл. γ линию ее пересечения с пл. α — прямую DE . Образующие, по которым пл. α пересекает конус, определяются вершиной S и точками I и 2 . На этих образующих и получаются точки K и M , в которых прямая AB пересекает поверхность конуса.

На рис. 234, в пл. α задана прямой AB и проведенной через вершину S прямой SC , пересекающей AB в точке C и параллельной пл. γ . Плоскость α пересекает пл. γ по прямой DE , параллельной SC . Поэтому, найдя на чертеже точку D (точку пересечения прямой AB с пл. γ), проводим $D'E'1'S'C'$. Образующие, по которым пл. α пересекает поверхность конуса, изображены лишь их проекциями $S'1'$ и $S'2'$. Этого достаточно, чтобы найти горизонт. проекции M' и N' точек пересечения, а по ним проекции M'' и N'' .

Если рассматривать конус, поставленный на пл. π_1 , то надобность в пл. γ отпадает.

252. Найти точки пересечения поверхности конуса прямой линией (рис. 235, а и б).

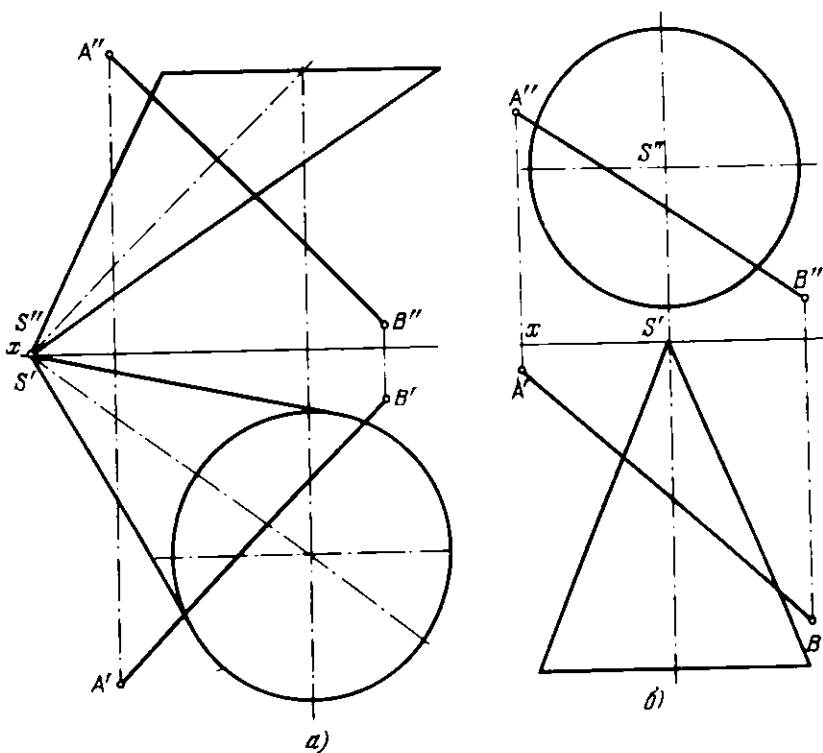


Рис. 235 а, б

Указание. Принять плоскость круга в качестве вспомогательной плоскости, подобной пл. γ на рис. 234, в.

253*. Найти точки пересечения прямой линии с поверхностью сферы (рис. 236, а).

Решение. Используя вспомогательную секущую плоскость, проходящую через данную прямую (рис. 236, б), получаем окружность. Искомые точки M и N получаются при пересечении этой окружности с прямой линией.

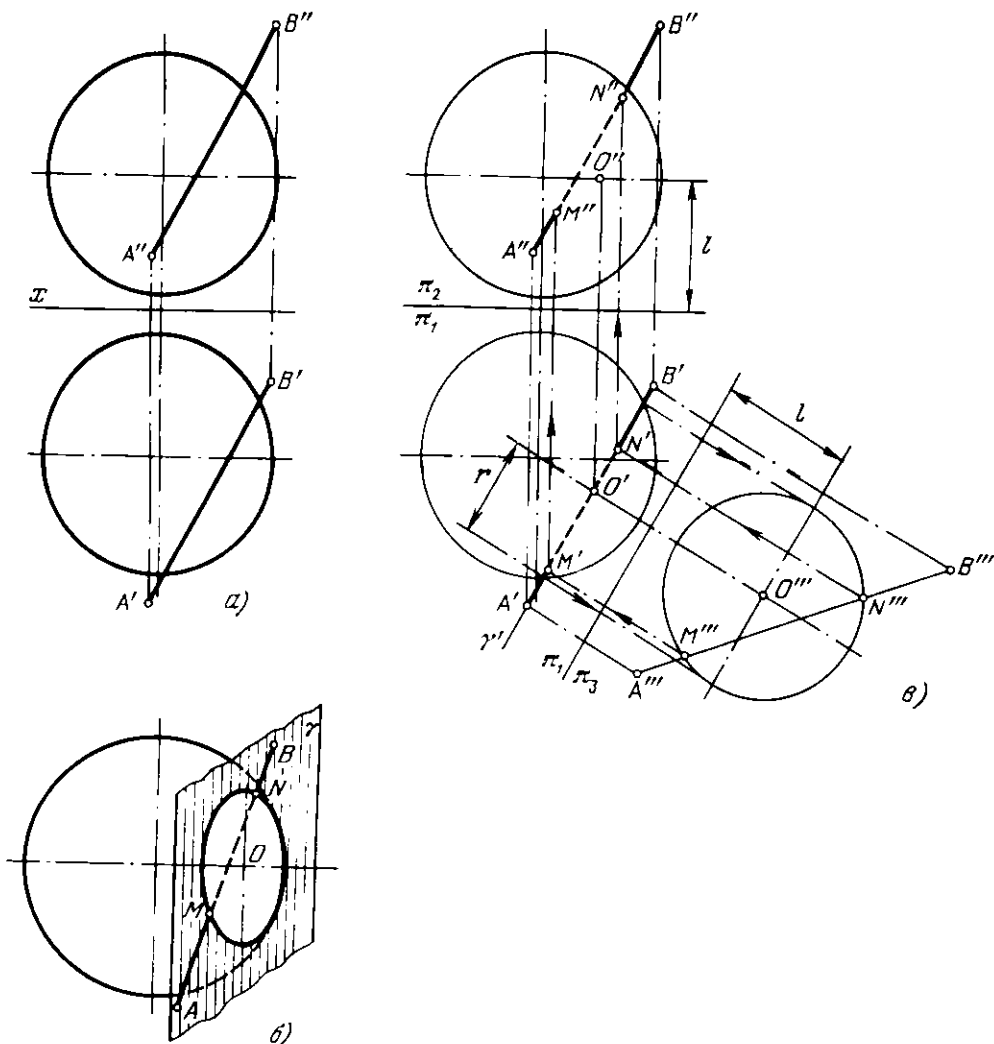


Рис. 236 а- в

На рис. 236, в показаны графические построения с помощью способа перемены пл. пр. Дополнительная плоскость π_3 перпендикулярна к пл. π_1 и параллельна вспомогательной горизонтально-проецирующей плоскости γ , проведенной через прямую AB .

На пл. π_3 изображаем не данную поверхность сферы, а лишь получаемую на ней окружность от пересечения плоскостью γ . Получив также проекцию $A'''B'''$, находим точки M''' и N''' , а по ним M' и N' и далее M'' и N'' .

254. Найти точки пересечения прямой линии с поверхностью сферы (рис. 237, а и б).

255*. Найти точки пересечения прямой линии с поверхностью вращения (рис. 238, а).

Решение. Проводим через прямую AB (рис. 238, б) горизонтально-проецирующую плоскость γ и строим линию пересечения ею данной поверхности. Точки этой линии находим при помощи параллелей поверхности. Например, проведя дугу окружности радиуса $S'Z'$, получаем на фронт. проекции главного меридиана точку $3''$, определяющую уровень соответствующей

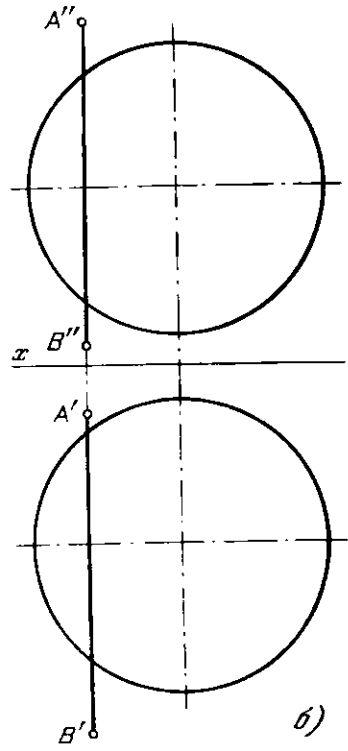
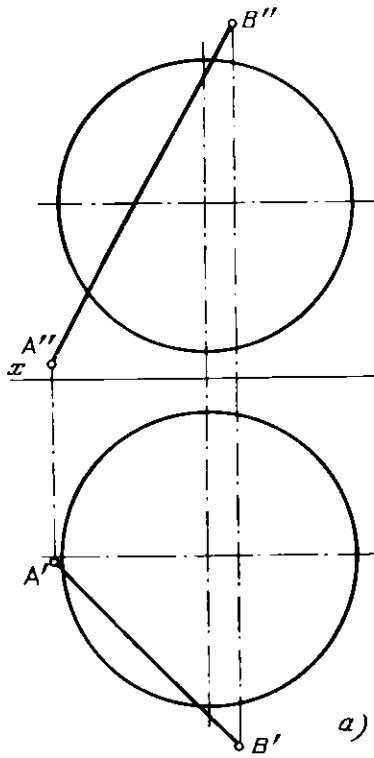


Рис. 237 а, б

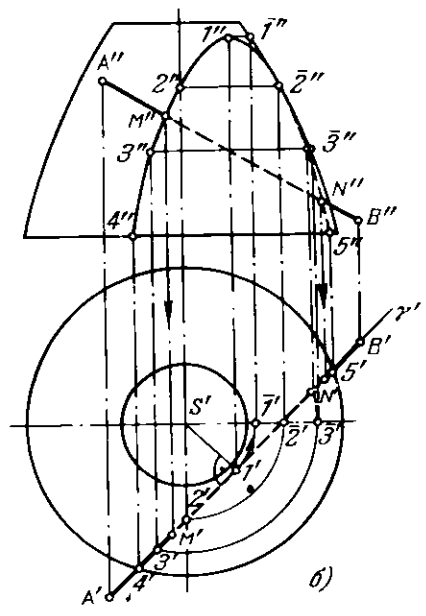
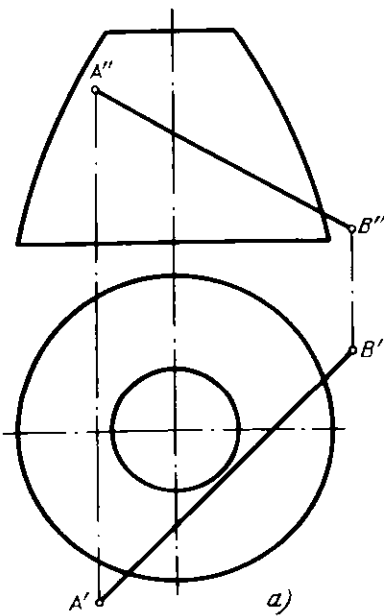


Рис. 238 а, б

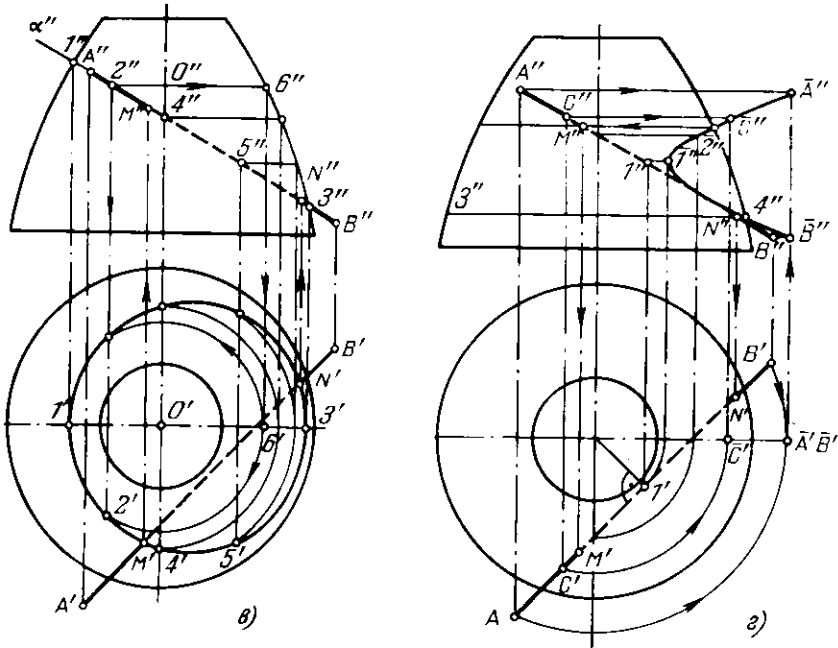


Рис. 238 в, г

щей параллели, и по точке $3'$ находим $3''$. Точки $4''$ и $5''$ получаем по точкам $4'$ и $5'$. Высшую точку кривой l'' находим по ее горизонт. проекции l' .

Построив фронт. проекцию кривой, находим точки ее пересечения с фронт. проекцией $A''B''$, а именно точки M'' и N'' — фронт. проекции искомого точек пересечения прямой AB с заданной поверхностью. По точкам M'' и N'' строим M' и N' .

Если через AB в качестве вспомогательной плоскости провести фронтально-проецирующую (рис. 238, в), то также придется построить кривую линию. Теперь сначала найдем точки M' и N' , а по ним M'' и N'' .

Оба рассмотренных решения по существу друг от друга не отличаются. Но можно представить себе другую схему построения, когда проведение плоскости через заданную прямую отпадает. Дело в том, что заданная прямая может играть роль образующей однополостного гиперболического вращения при той же оси, что и у заданной поверхности (рис. 238, г). Так как обе поверхности соосны, то они пересекутся по окружностям. Искомые точки пересечения прямой с поверхностью вращения получаются на этих окружностях. Предоставляем выполнить такое построение читателю.

Отрицательным моментом в построениях, показанных на рис. 238, б и в, является необходимость пользоваться кривой; это снижает точность определения положения точек M и N . Но и в случае использования гиперболического вращения приходится строить по крайней мере одну ветвь гиперболы, т.е. опять кривую. Это также снижает качество такого приема решения разобранной задачи.

256. Найти точки пересечения прямой линии с поверхностью вращения (рис. 239, а и б).

257*. Найти точку пересечения прямой AB с поверхностью коноида, заданного направляющими CD и EF и плоскостью параллелизма π_1 (рис. 240, а).

Решение. Через прямую AB проводим (рис. 240, б) фронтально-проецирующую плоскость γ и строим кривую MN пересечения этой плоскости с коноидом. Задавая на кривой CD ряд точек, проводим через них образующие параллельно пл. π_1 ; горизонт. проекции этих образующих проходят через точку $E'(F')$. Находим точки их пересечения с плоскостью γ .

Точка K' пересечения кривой $M'N'$ и прямой $A'B'$ является горизонт. проекцией искомой точки; по K' находим K'' на $A''B''$.

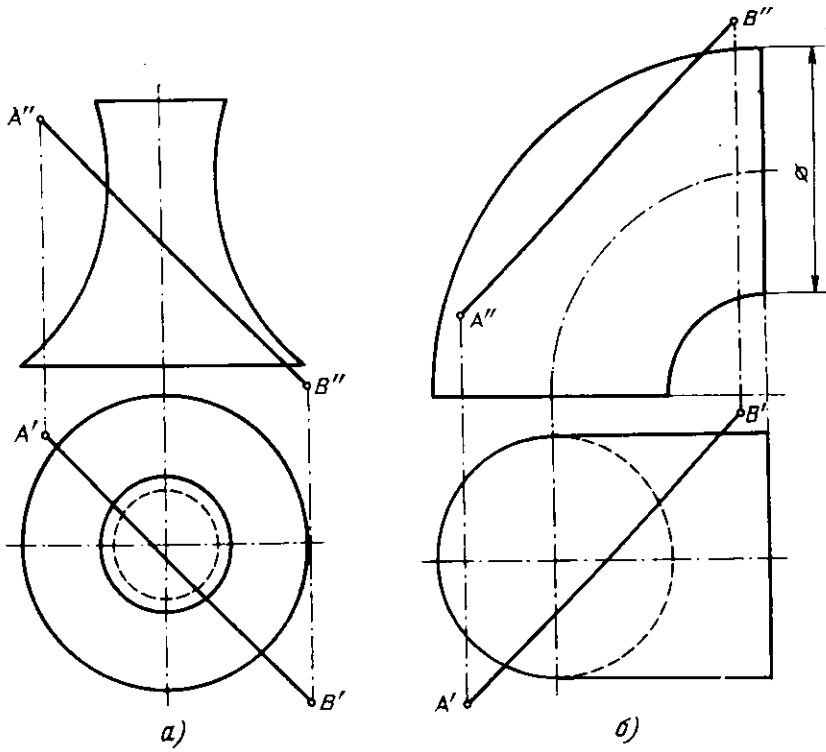


Рис. 239 а, б

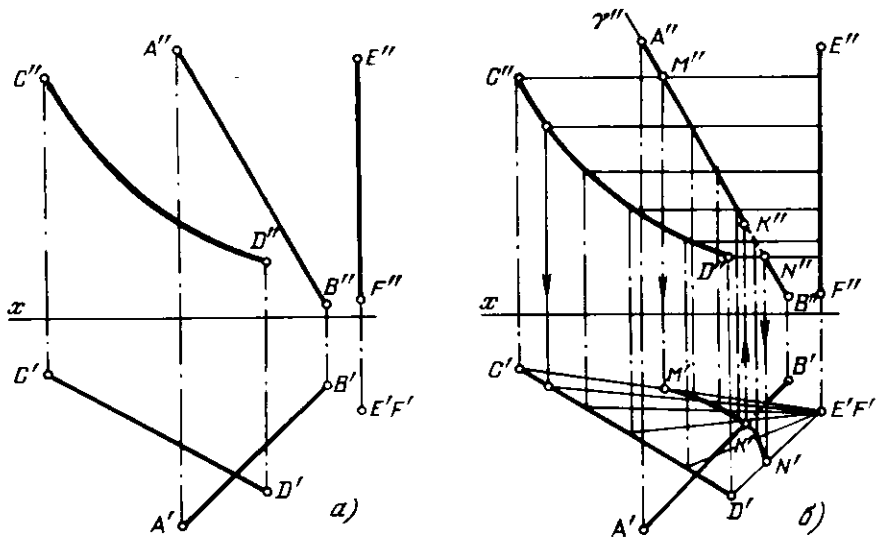


Рис. 240 а, б

258. Найти точку пересечения прямой AB с поверхностью коноида, заданного направляющими CD и EF и плоскостью параллелизма π_2 (рис. 241).

259. Найти точку пересечения прямой AB с поверхностью коноида, заданного направляющими CD и EF и плоскостью параллелизма – фронтально-проецирующей плоскостью α (рис. 242).

260*. Найти точку пересечения прямой AB (рис. 243, а) с косой плоскостью, заданной направляющими CD и EF и плоскостью параллелизма – фронтально-проецирующей плоскостью α .

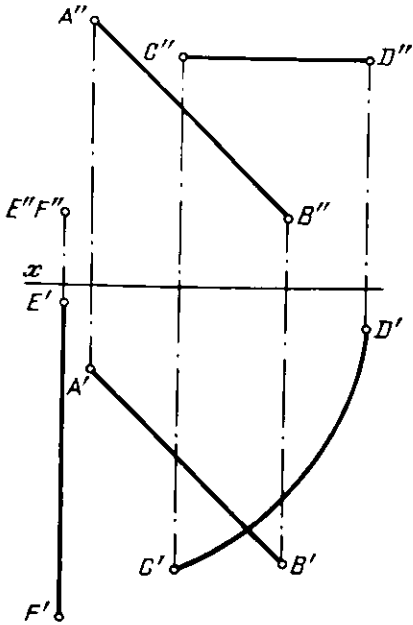


Рис. 241

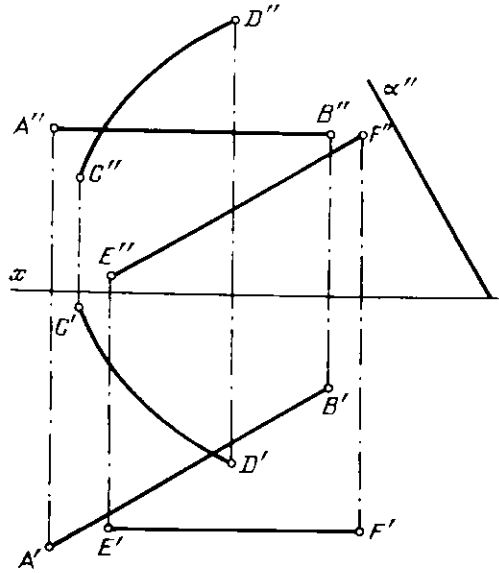
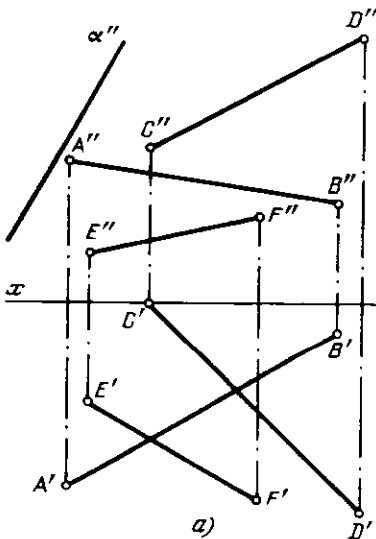
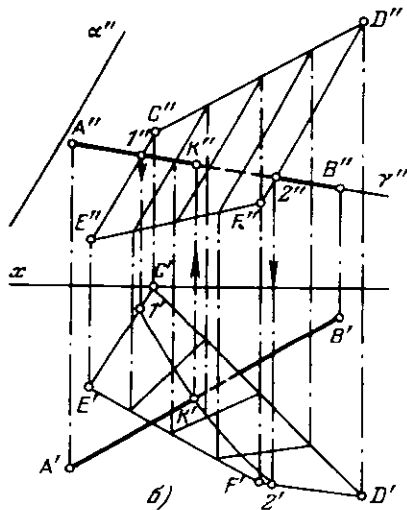


Рис. 242



а)



б)

Рис. 243 а, б

Решение. Через прямую AB (рис. 243, б) проводим фронтально-проецирующую плоскость γ и находим кривую пересечения ее с заданной поверхностью. Так же, как в задаче 257, берем на прямой CD ряд точек, проводим через них образующие (параллельно плоскости параллелизма α) и строим точки пересечения этих образующих с плоскостью γ . Получаем кривую с проекциями $1''2''$, $1'2'$ и точку пересечения проекций $1'2'$ и $A'B'$ — точку K' . Это горизонт. проекция искомой точки. По K' находим K'' на $A''B''$.

261. Найти точку пересечения прямой AB с косою плоскостью, заданной направляющими CD и EF и плоскостью параллелизма π_1 (рис. 244).

262. Найти точки пересечения прямой AB с косою плоскостью, заданной направляющими CD и EF и плоскостью параллелизма π_2 (рис. 245).

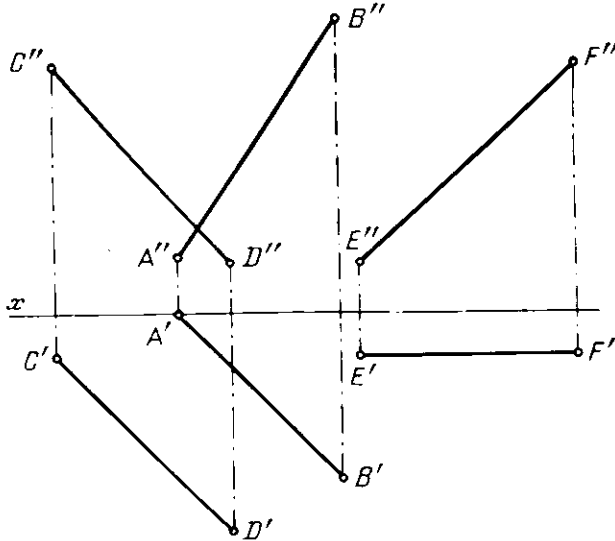


Рис. 244

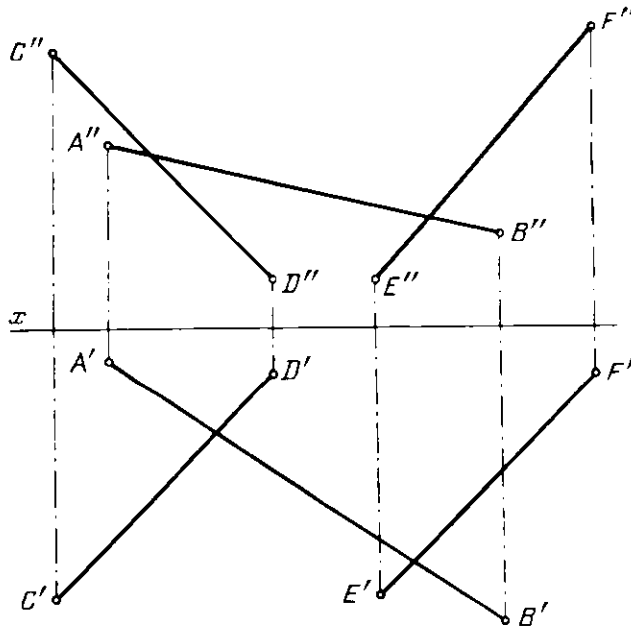
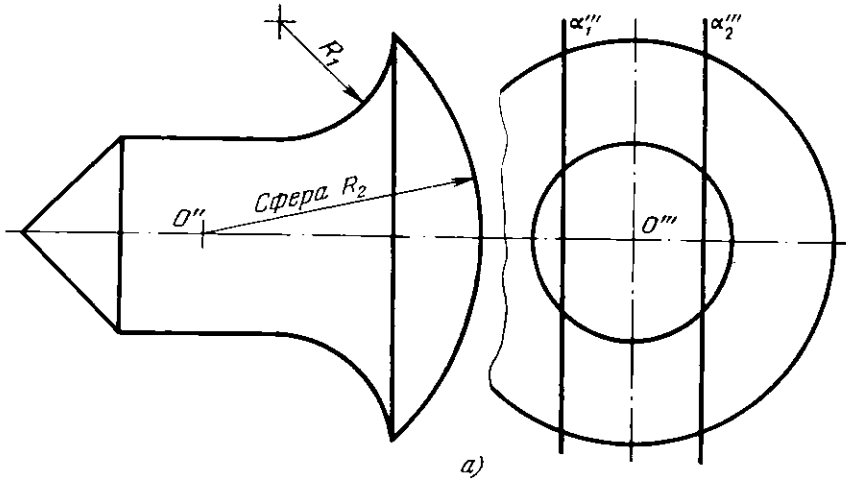
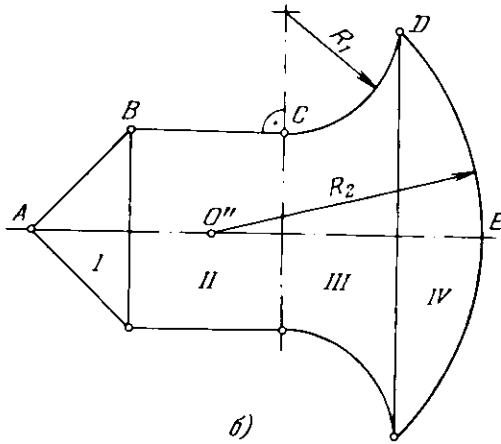


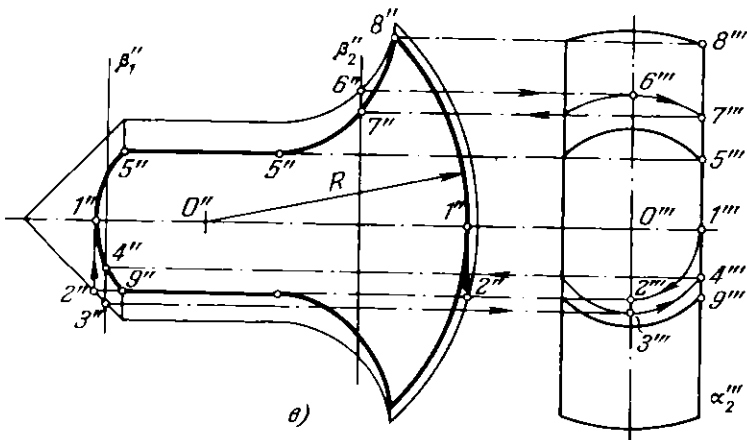
Рис. 245



a)



b)



v)

Рис. 246 а-в

263*. а) Разбить поверхность заданного на рис. 246, а тела вращения на зоны различных по своему виду поверхностей; б) построить фронтальную и профильную проекции данного тела вращения, усеченного плоскостями α_1 и α_2 .

Решение. Заданное тело вращения состоит из конуса, цилиндра, кругового кольца и сферического сегмента. Соответственно поверхность тела содержит зоны: I – коническую, II – цилиндрическую, III – кругового кольца, IV – сферическую (рис. 246, б).

Коническая поверхность образована отрезком AB , цилиндрическая – отрезком BC , поверхность кругового кольца – дугой CD радиуса R_1 , сферическая – дугой DE радиуса R_2 .

Каждая из этих зон граничит с соседней по окружности. Окружности проходят соответственно через точки B, C и D .

Плоскость α_2 пересекает (рис. 246, в) коническую поверхность по гиперболе $5-1-4-9$, цилиндрическую – по образующим, проходящим через точки 5 и 9 , поверхность кругового кольца – по кривой $5-7-8$ и сферу – по окружности радиуса $R = O''1''$. Линии, образуемые на поверхности тела секущей плоскостью α_1 , такие же, как от плоскости α_2 , и на рис. 246, в их проекции совпадают с построенными, так как плоскости α_2 и α_1 параллельны и отстоят на равные расстояния от плоскости симметрии заданного тела.

Взяв, например, секущую плоскость β_1 , получаем окружность радиуса $O'''3'''$. Эта окружность даст в пересечении с пл. α_2 точку $4''$, по которой получаем на фронт. проекции точку $4''$, принадлежащую гиперболе. Чтобы получить вершину гиперболы, отмечаем точку $1'''$ – профильную проекцию этой вершины – и строим соответствующую ей проекцию $1''$ на поверхности конуса.

На рис. 246, в показан также пример построения фронт. проекции одной из точек ($7'$) кривой, по которой пл. α_2 срезает тело в зоне кругового кольца.

264. Построить линию среза на поверхности тела вращения (рис. 247). Секущую плоскость взять параллельной плоскости проекций π_2 и отстоящей от оси тела вращения на расстояние, равное $1''O''$. Назвать полученные линии, входящие в состав линии среза.

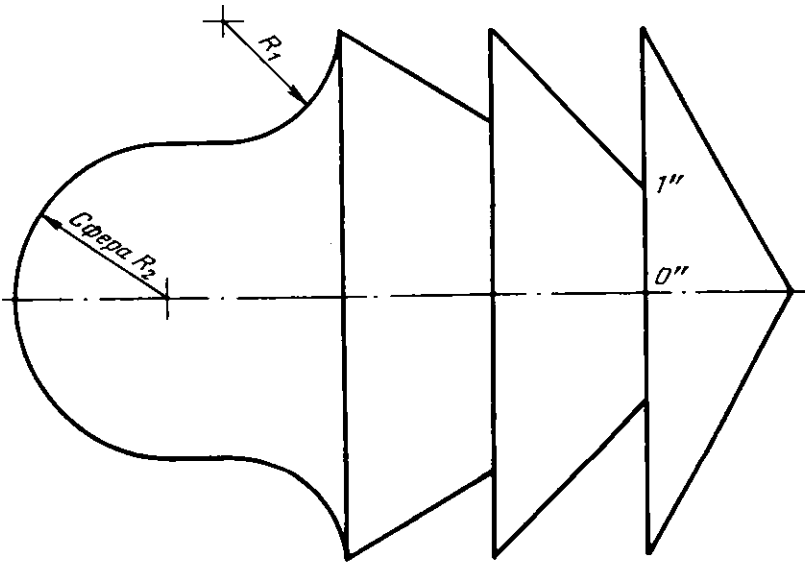


Рис. 247

§ 23. Взаимное пересечение поверхностей

265*. Построить: а) проекции линии взаимного пересечения поверхностей призмы и сферы; б) натуральный вид сечения $A - A$ (рис. 248, а).

Решение. В данном случае одна из проекций линии пересечения, а именно горизонтальная, известна, так как сливается с горизонт. проекцией боковой поверхности призмы. Это значительно упрощает построение: оно сводится к нахождению фронт. проекций точек, принадлежащих поверхности сферы, по их горизонт. проекциям. Так, проекция C'' (рис. 248, б) найдена при помощи горизонтали на поверхности сферы: эта горизонталь имеет радиус $O'C'$. Точки D'' и E'' получены на фронт. проекции плавного меридиана сферы по проекциям D' и E' , точка A'' — на фронт. проекции экватора.

Другим обстоятельством, имеющим большое значение в построении, является то, что получаемая линия пересечения известна: каждая боковая грань призмы пересекает поверхность сферы

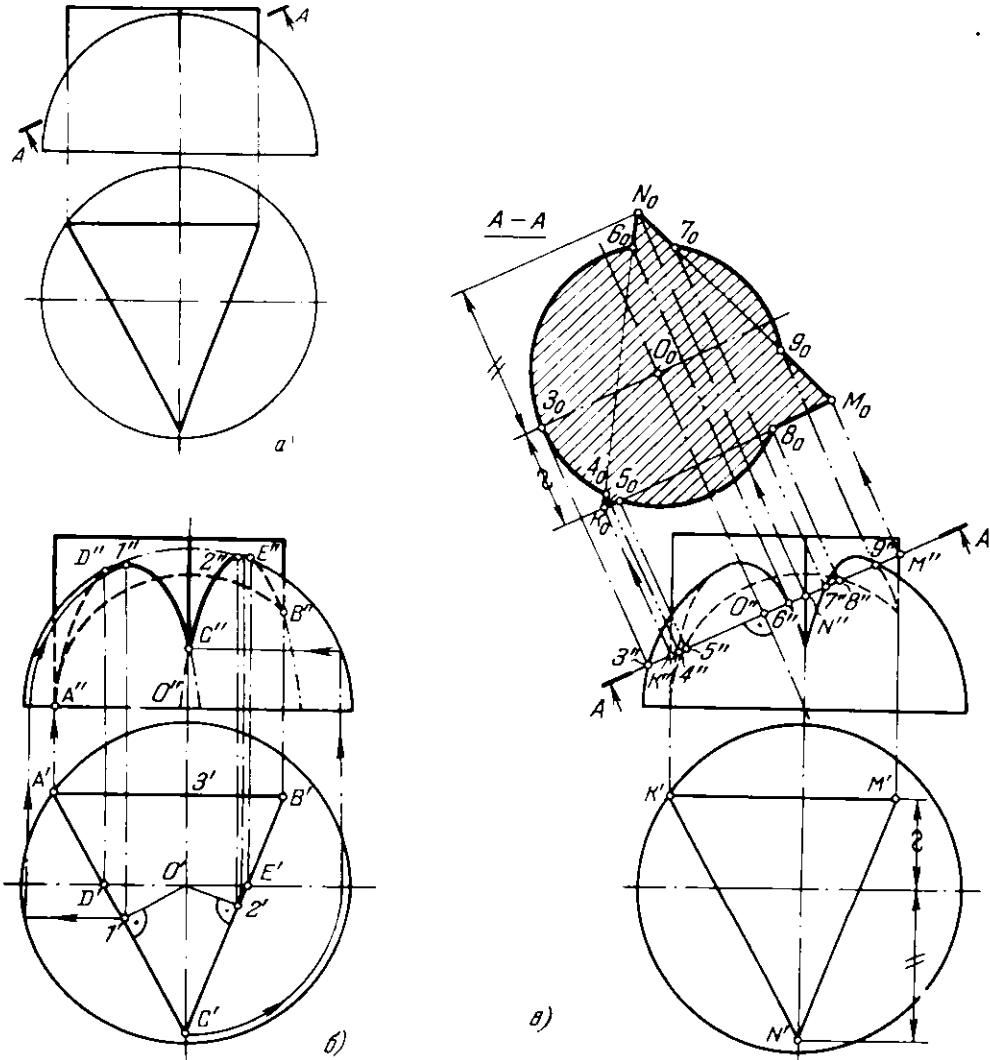


Рис. 248 а - в

по дуге окружности. Из этих дуг одна, лежащая на задней грани, проецируется на пл. π_2 без искажения; ее радиус равен $A'Z'$. Две другие дуги проецируются на пл. π_2 в виде дуг эллипсов.

Проведя перпендикуляры $O'I'$ и $O'2'$, мы определяем горизонт. проекции вершин эллипсов – точки $1'$ и $2'$; по ним находим проекции $1''$ и $2''$. На рис. 248, б дуги эллипсов показаны за точками C'' и B'' штрих-пунктирными линиями. Тело на рис. 248, б представлено как монолит (например отливка). Поэтому сечение на рис. 248, в представлено в виде одной фигуры, что подчеркивается и штриховкой.

266. Построить: а) проекции линии пересечения поверхностей призмы и цилиндра; б) натуральный вид сечения $A - A$ (рис. 249).

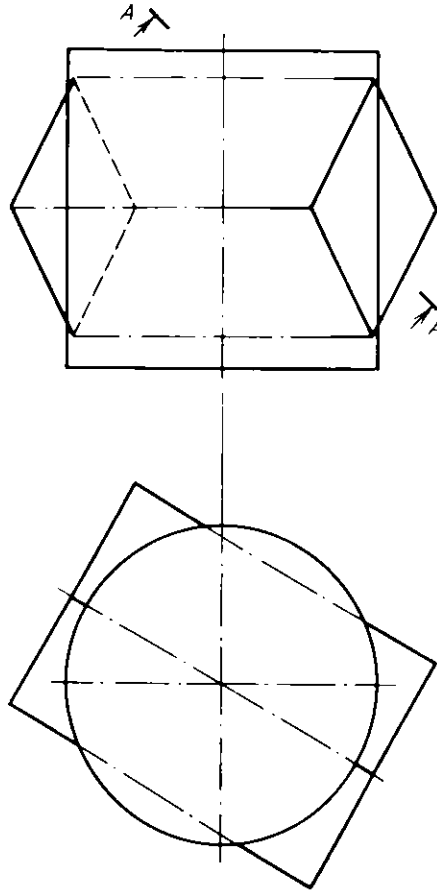


Рис. 249

У к а з а н и е. Горизонт. проекция линии пересечения в задачах 266 и 267 совпадает с частью соответствующей проекции тела.

267. Построить: а) проекция линии пересечения поверхностей призмы и конуса; б) натуральный вид сечения $A - A$ (рис. 250).

268. Построить: а) проекции линии пересечения поверхностей призмы и кругового кольца; б) натуральный вид сечения $A - A$ (рис. 251).

У к а з а н и е. Фронт. проекция линии пересечения совпадает с частью соответствующей проекции призмы.

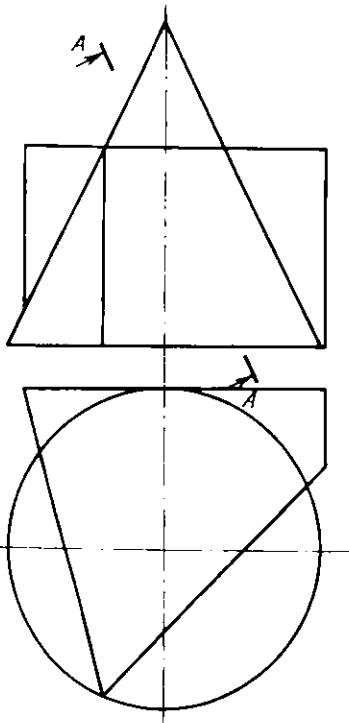


Рис. 250

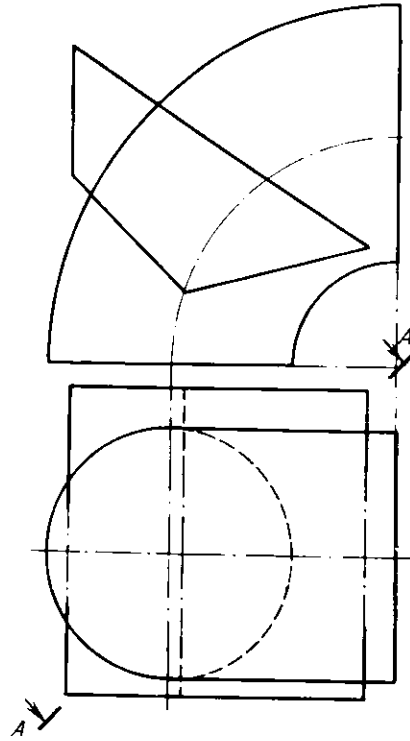


Рис. 251

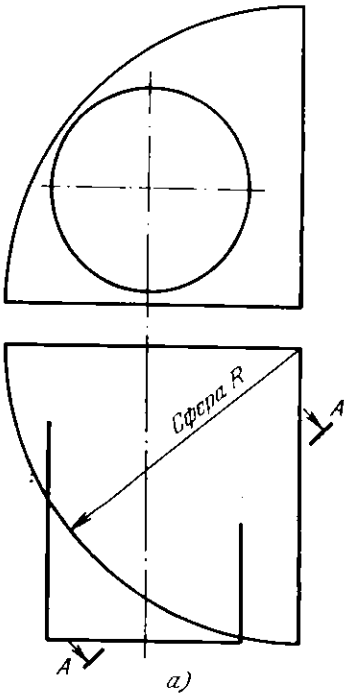
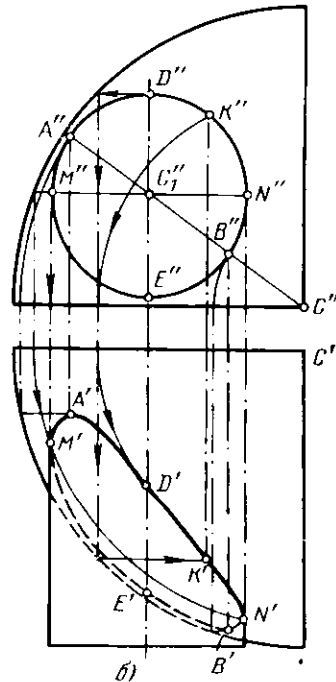


Рис. 252а,б



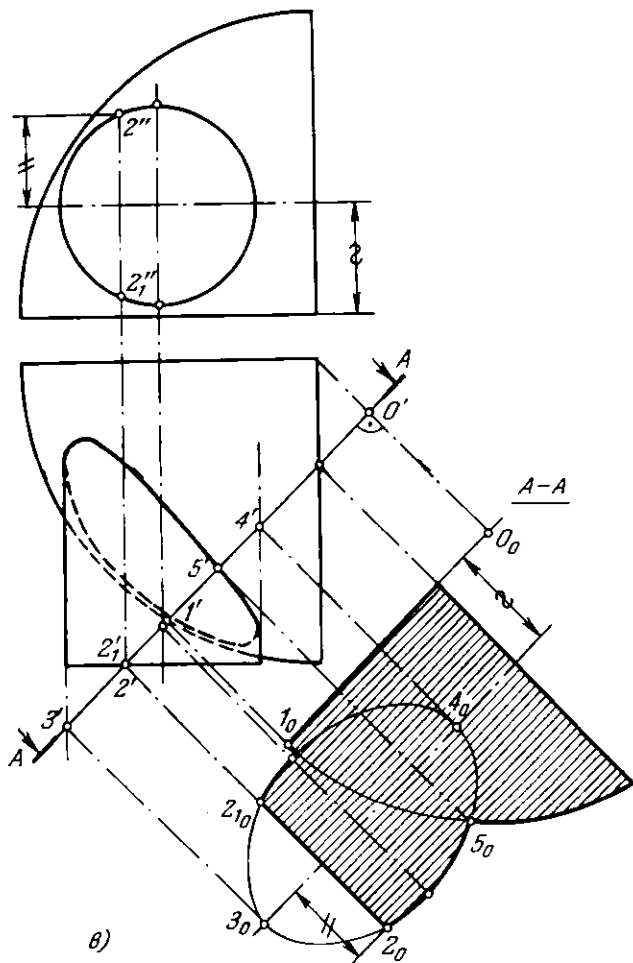


Рис. 252 в

269*. Построить: а) проекции линии пересечения поверхностей цилиндра и сферы; б) натуральный вид сечения $A - A$ (рис. 252, а).

Решение. Все точки фронт. проекции цилиндра (рис. 252, б) могут быть приняты за фронт. проекции точек, принадлежащих искомой линии пересечения. А отсюда легко найти, например, проекции $D'M'N'$ на горизонт, проекциях соответствующих параллелей сферы, проекции $A'B'K'$ на горизонт, проекциях дуг окружностей, проводимых на фронт, проекции сферы радиусами $C''A''$, $C''B''$, $C''K''$. Точки A' и B' представляют собой горизонт. проекции характерных точек линии пересечения, наименее и наиболее удаленных от пл. π_2 . Проекция M'' , M' и N'' , N' определяют точки пересечения очерковых образующих цилиндра со сферой.

Изображенное тело – сочетание части сферы и цилиндра – рассматривается как монолитное. При построении сечения $A - A$ получено сечение части сферы, ограниченное дугой окружности радиуса O_0I_0 и двумя отрезками прямых, по которым плоскость $A - A$ пересекает "четвертинки" кругов, ограничивающих справа и снизу рассматриваемую часть сферы. Затем получена часть эллипса (на рис. 252, в он показан целиком) как сечение цилиндра. Отрезок 2_02_{10} получен от пересечения плоскости, ограничивающей цилиндр.

270. Построить: а) проекции линии пересечения поверхностей цилиндра и конуса; б) натуральный вид сечения $A - A$ (рис. 253).

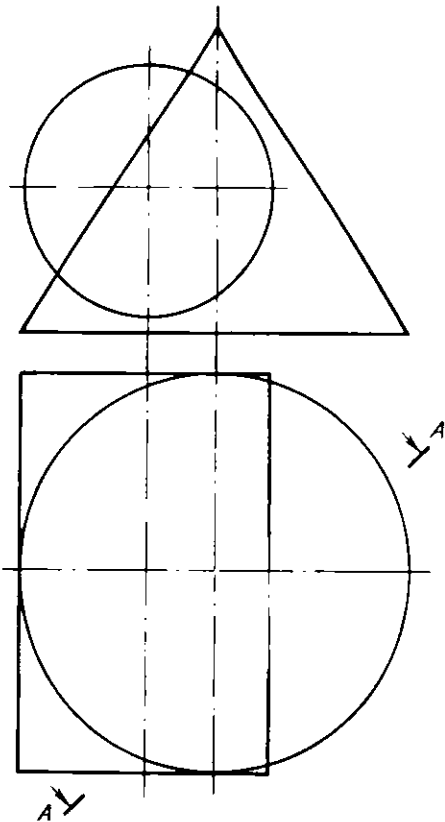


Рис. 253

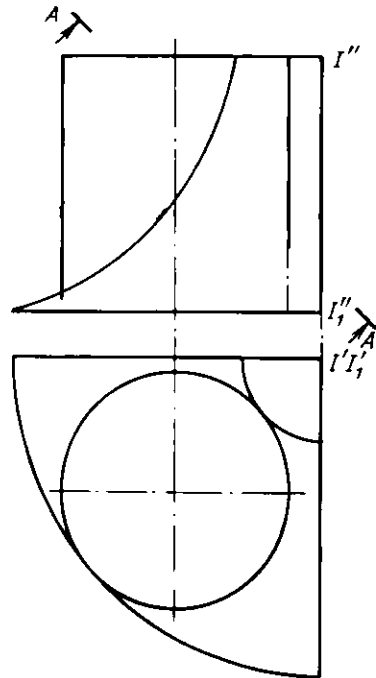


Рис. 254

У к а з а н и е. Фронт. проекция линии пересечения совпадает с частью соответствующей проекции цилиндра.

271. Построить: а) проекции линии пересечения поверхностей цилиндра и тела вращения (с осью II_1 , перпендикулярной к пл. π_1); б) натуральный вид сечения $A - A$ (рис. 254).

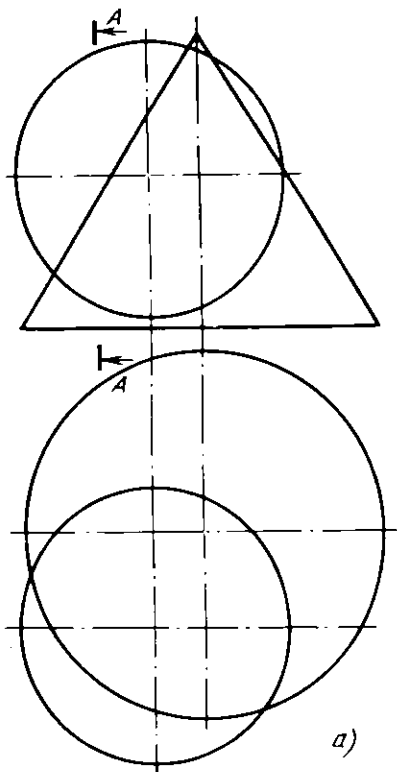
У к а з а н и е. Горизонт. проекция линии пересечения совпадает с соответствующей проекцией цилиндра.

272*. Построить: а) проекции линии пересечения поверхностей конуса и сферы; б) натуральный вид сечения $A - A$ (рис. 255, а).

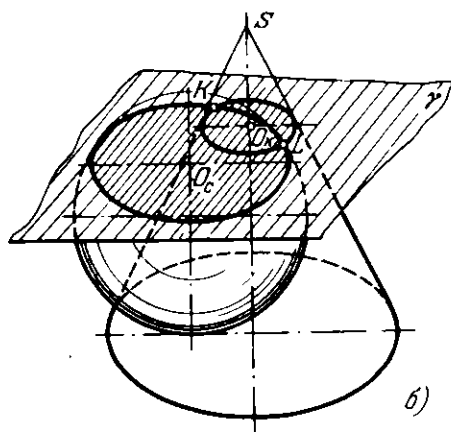
Р е ш е н и е. В этом случае ни одна из проекций ни одного из данных тел не совпадает полностью или частично с проекциями искомой линии пересечения. Мы не можем исходить из того, что положение проекций ее точек нам известно, как это было в задачах 265 и 269. Поэтому мы используем здесь общий прием построения точек взаимного пересечения поверхностей, а именно введение вспомогательных секущих плоскостей (рис. 255, б), пересекающих каждую из заданных поверхностей по некоторым линиям, и определение точек, общих для этих поверхностей, в пересечении линий, полученных на них.

Учитывая свойство и положение заданных поверхностей, применим в данном случае серию секущих плоскостей, параллельных пл. π_1 . Каждая такая плоскость пересекает поверхности конуса и сферы по окружностям (рис. 255, в). Например, пл. σ на конусе дает окружность радиуса $S'2'$, а на сфере — окружность радиуса $C'3'$. Эти окружности в своем пересечении определяют точки D и E , общие для поверхностей конуса и сферы.

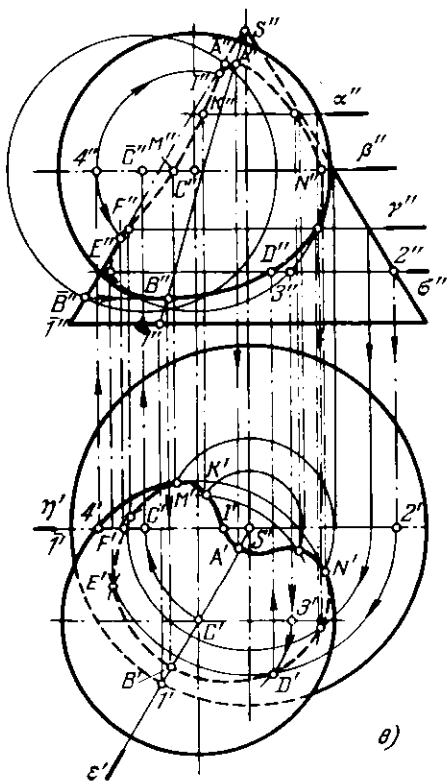
Но кроме точек, получаемых подобным образом, надо построить еще некоторые характерные точки, положение которых уточняет искомую линию. Это прежде всего высшая и низшая



a)



b)



θ)

Рис. 255 а-в

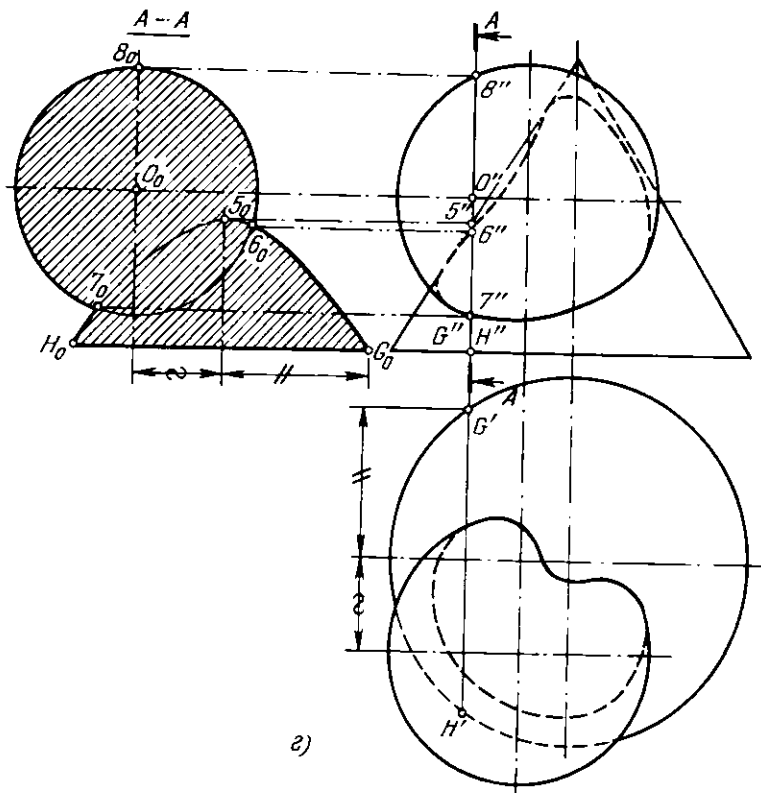


Рис. 255 г

точки на фронт. проекции. Для их нахождения мы также используем некоторую пл. ϵ : она проходит через ось конуса и через центр сферы и является для этих тел общей плоскостью симметрии. Пл. ϵ пересекает поверхность конуса по образующим, а поверхность сферы по окружности; повернув пл. ϵ вместе с полученными в ней линиями вокруг оси конуса до положения, параллельного пл. π_2 , получим точки \bar{A}'' и \bar{B}'' , а по ним сначала A'' и B'' , затем A' и B' .

Имеют значение точки F'' , F' и \bar{I}'' , \bar{I}' на главном меридиане конуса, так как в них определяются точки пересечения крайней образующей $S''\bar{I}''$, $S'\bar{I}'$ с поверхностью сферы; для нахождения этих точек взята вспомогательная пл. η , соответствующая главному меридиану конуса и пересекающая поверхность сферы по окружности радиуса $C''A''$.

Также следует найти точки на экваторе сферы, для чего в серии горизонтальных секущих плоскостей взять пл. β : в точках M' и N' горизонт. проекция экватора смыкается с видимой частью проекции линии пересечения на пл. π_1 .

Сечение $A - A$ (рис. 255, з) очерчено дугой окружности (от пересечения поверхности сферы), частями гиперболы (от пересечения конической поверхности) и отрезком H_0G_0 (от пересечения основания конуса). Надо обратить внимание на смещение центра кругового сечения сферы относительно оси гиперболы.

273. Построить проекции линий пересечения: а) поверхностей тора и эллипсоида вращения (рис. 256, а); б) поверхностей тора и сферы (рис. 256, б). В обоих случаях построить сечения $A - A$.

274*. Построить проекции линии пересечения поверхностей конуса и цилиндра (рис. 257, а).

Решение. Здесь так же, как и в задаче 272, приходится прибегать к вспомогательным секущим плоскостям. Какие же плоскости наиболее удобны в данном случае? Это плоскости, проходящие через вершину конуса и параллельные образующим цилиндра (рис. 257, б). Такие

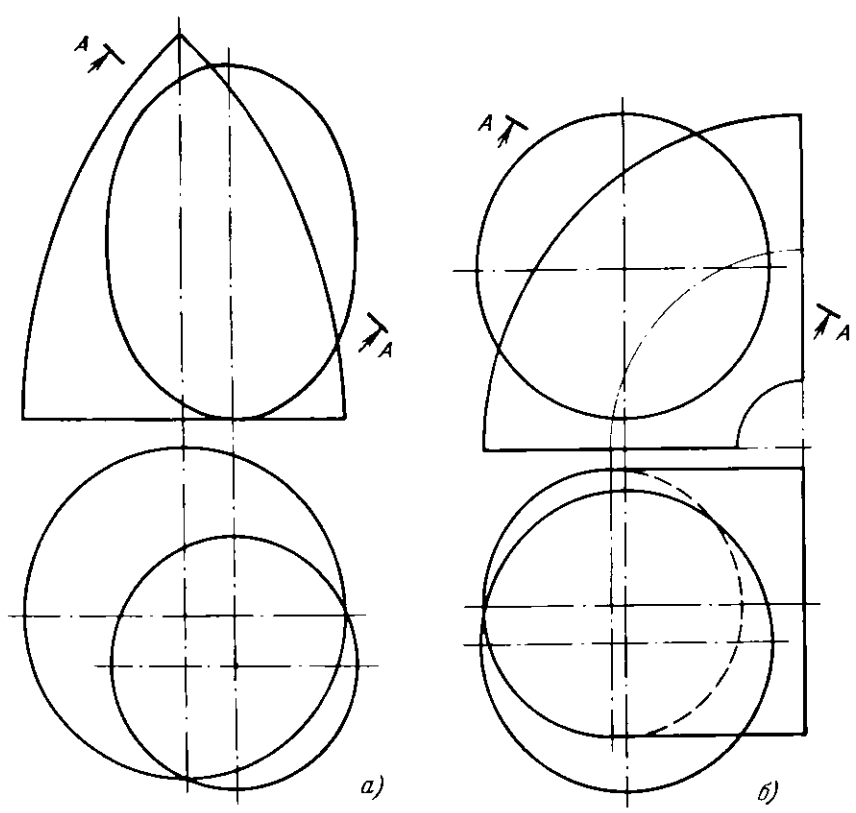


Рис. 256 а, б

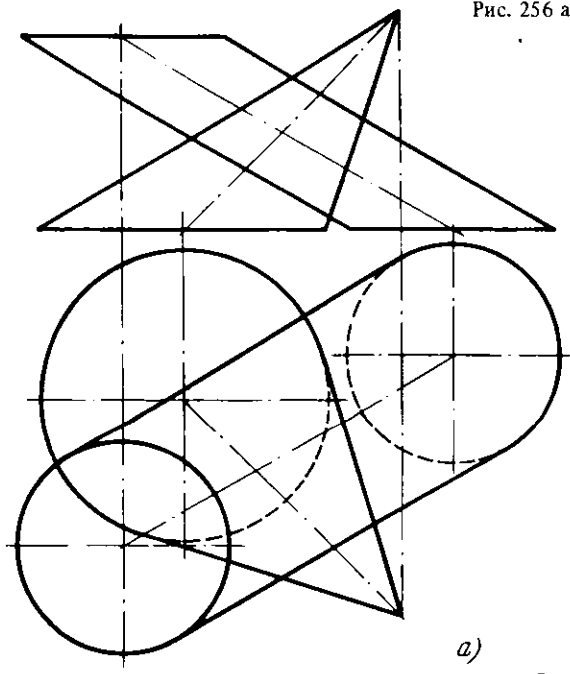
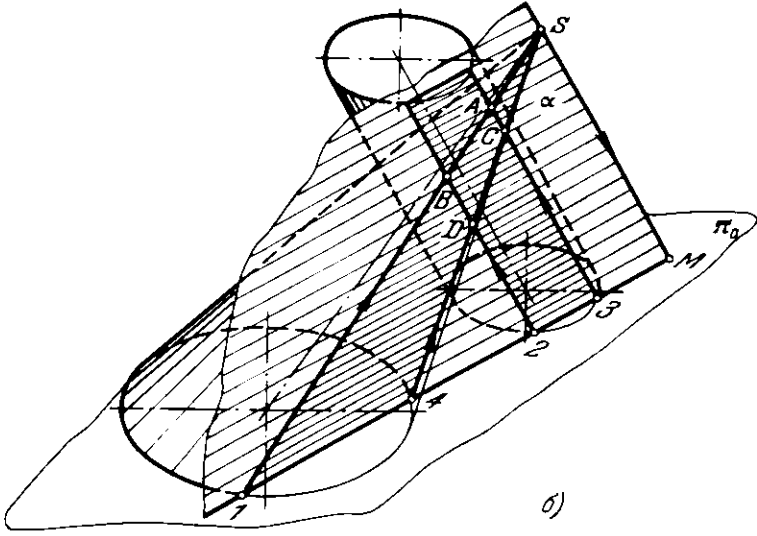
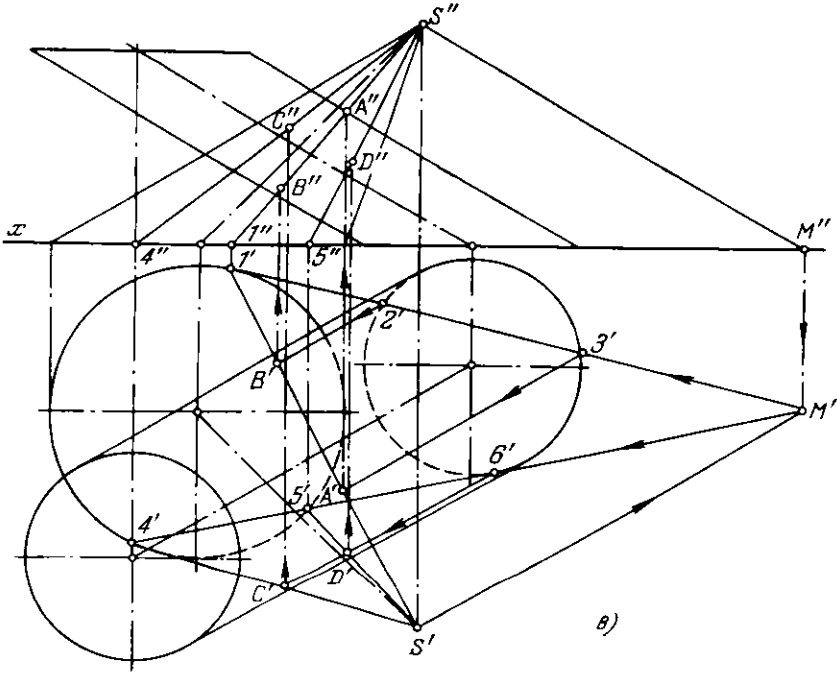


Рис. 257 а

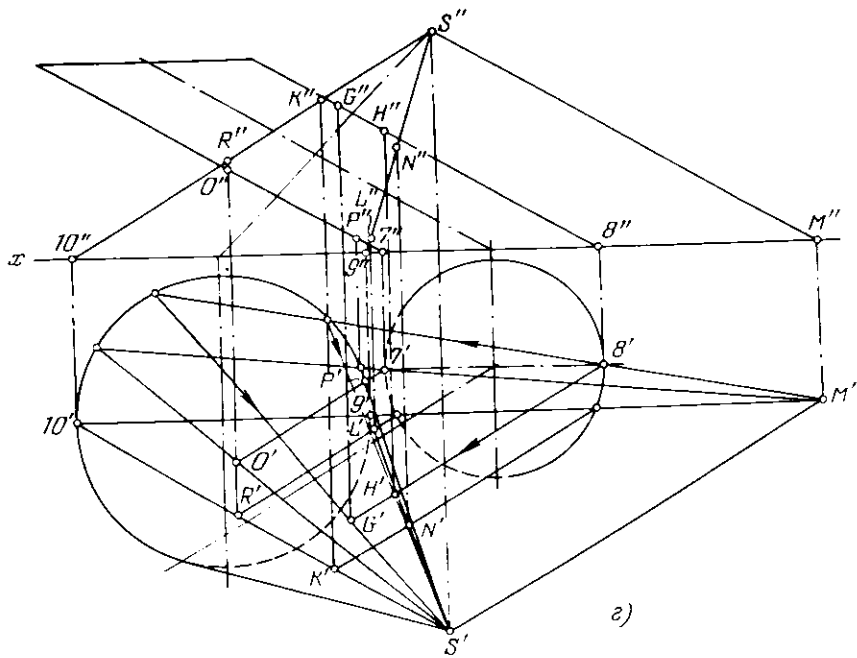


а)

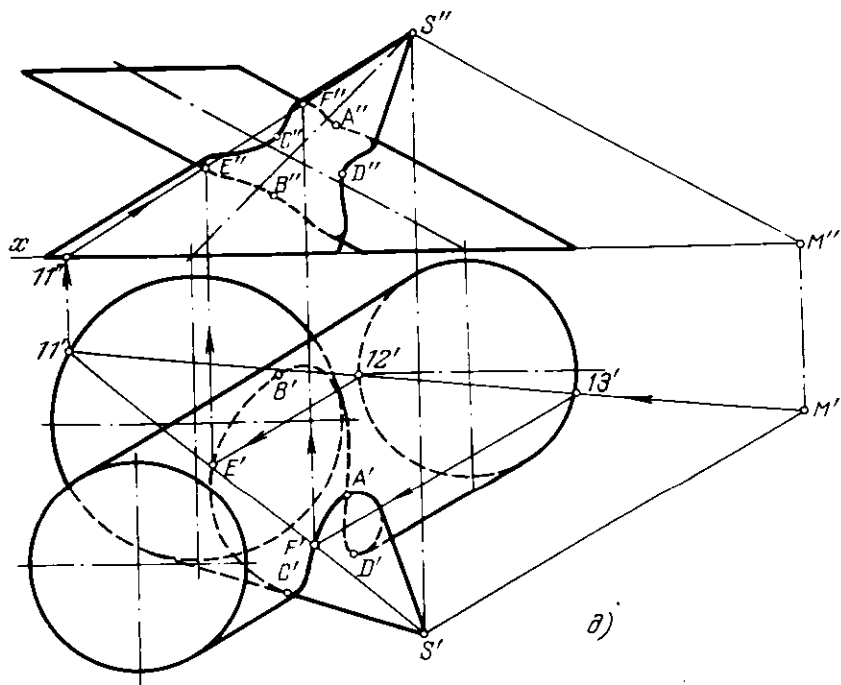


б)

Рис. 257 б, в



г)



д)

Рис. 257 г, д

плоскости (например, пл. α) пересекает обе поверхности по прямым – образующим, положение которых определяется точками пересечения оснований данных тел со следом секущей плоскости на плоскости оснований. Построение показано на рис. 257, в.

Через точку S'' , S' проведена прямая параллельно образующей цилиндра; найдены проекции M'' и M' горизонт. следа этой прямой.

Если горизонт. следы секущих плоскостей проводить через точку M' так, чтобы каждый из них пересекал или касался оснований конуса и цилиндра, то на поверхностях цилиндра и конуса обнаруживаются образующие, в пересечении которых получаются точки искомой линии. Сначала займемся точками на образующих, являющихся очерковыми на горизонт. проекции. Проводим следы плоскостей по направлениям $M'b'$ и $M'1'$ касательно к окружностям оснований, получаем на каждой из поверхностей по три образующих: на конусе образующие $S'1'$, $S'5'$ и $S'4'$, на цилиндре образующие из точек $6'$, $2'$ и $3'$.

Остается взять точки пересечения образующих – на горизонт. проекции точки A' , B' , C' , D' и на фронт. проекции A'' , B'' , C'' , D'' .

Теперь для нахождения точек, лежащих на очерковых образующих фронт. проекций тел, проводим следы секущих плоскостей через горизонт. проекции концов соответствующих образующих – точки $7'$, $8'$, $9'$ и $10'$ (рис. 257, з).

Таким образом, находим точки G' , H' , K' , L' , N' , O' , P' , а по ним фронтальные проекции.

На рис. 257, д показан пример нахождения промежуточных точек (E и F) и проведены обе проекции искомой линии.

275. Построить проекции линий пересечения: а) двух цилиндрических поверхностей (рис. 258, а); б) двух конических поверхностей (рис. 258, б).

276*. Построить проекции линии пересечения цилиндрической поверхности с косою плоскостью. Косая плоскость задана направляющими AB и CD при пл. π_1 как плоскости параллелизма (рис. 259, а).

Решение. Учитывая свойства и положение заданных поверхностей, а именно то, что цилиндр имеет ряд круговых сечений в плоскостях, параллельных пл. π_1 , и что образующие косою плоскости параллельны той же пл. π_1 , берем серию вспомогательных плоскостей (α , β и т.д.), параллельных пл. π_1 (рис. 259, б).

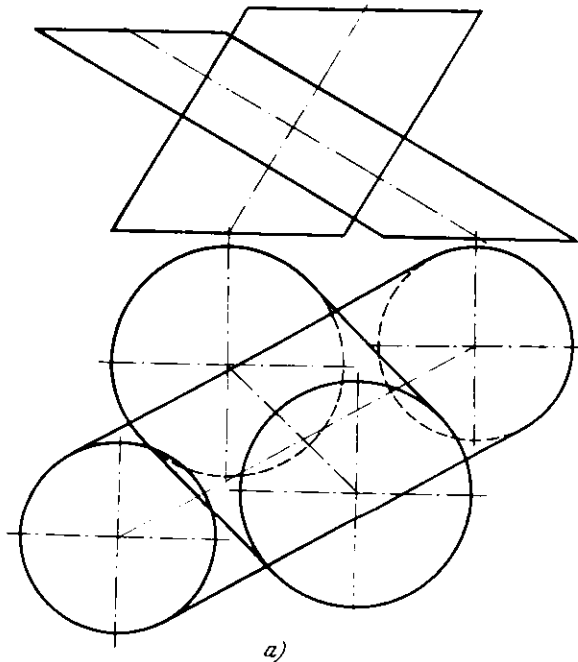
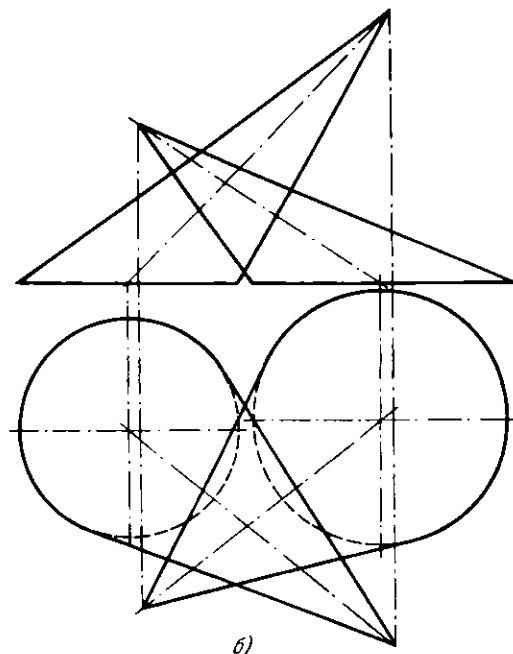
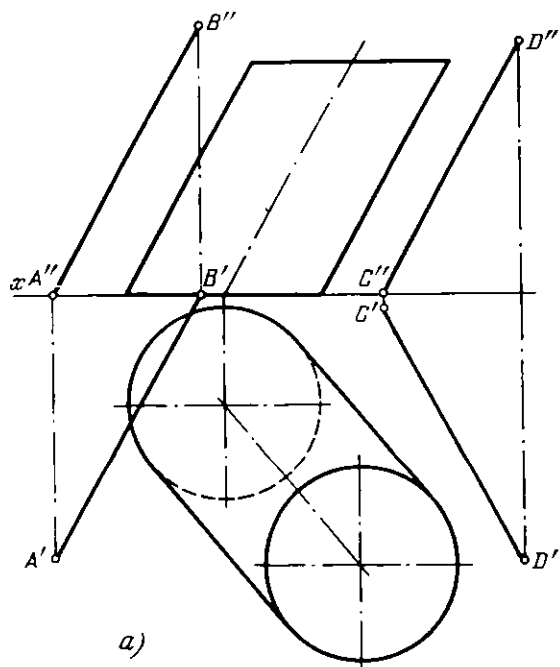


Рис. 258 а



б)

Рис. 258 б



а)

Рис 259 а

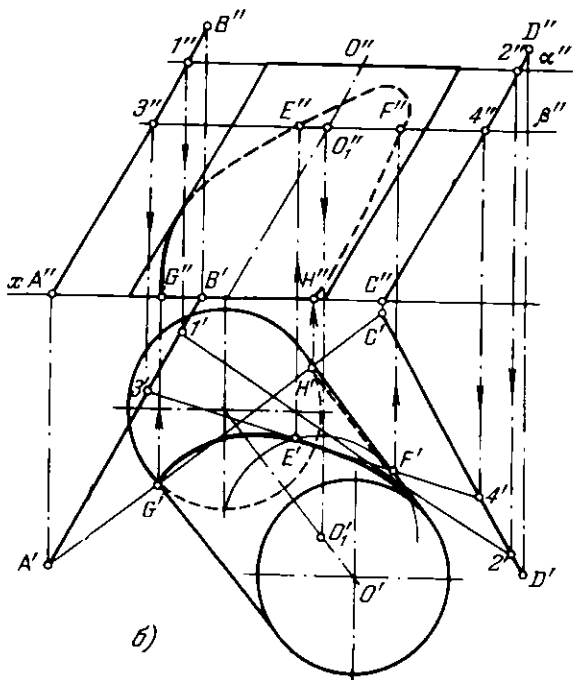


Рис. 259 б

Они пересекают цилиндрическую поверхность по окружности с центрами O, O_1 и т.д., а кую плоскость – по прямым $1-2, 3-4$ и т.д. Горизонт. проекции искомых точек (E', F' и др.) лежат на пересечении соответствующих проекций этих окружностей и прямых. По горизонт. проекциям находим фронт. проекции – E'', F'' и др. Искомая линия пересечения проходит через найденные точки.

На рис. 259, б показаны результаты пересечения косою плоскостью с цилиндром и самый цилиндр, а косою плоскость не изображена.

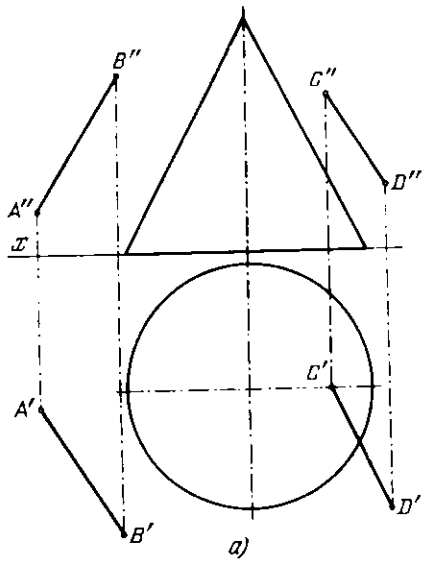
277. Построить проекции линии пересечения: а) конической поверхности с косою плоскостью, направляющими которой являются прямые AB и CD , а плоскостью параллелизма – пл. π_1 (рис. 260, а); б) коноида, направляющими которого являются кривая AB и прямая CD , а плоскостью параллелизма – пл. π_1 , с цилиндрической поверхностью (отверстие) (рис. 260, б).

278*. Построить проекции линии пересечения поверхности конуса с поверхностью тора, ограничивающей отверстие в конусе (рис. 261, а).

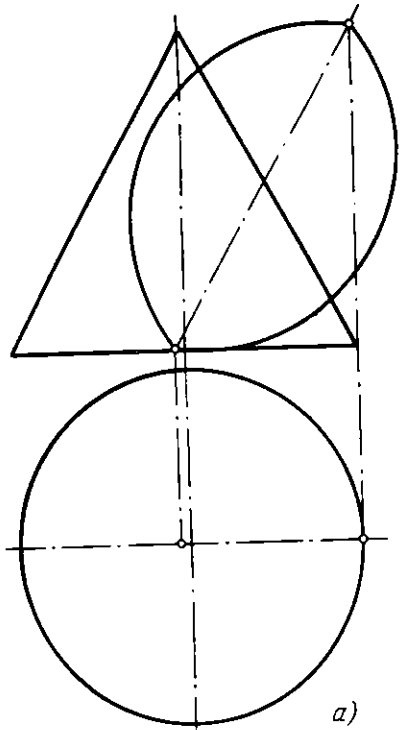
Решение. В данной задаче мы имеем случай взаимного пересечения двух поверхностей вращения, оси которых пересекаются и расположены в плоскости, параллельной пл. π_2 . В подобных случаях наиболее простым является применение вспомогательных сфер, проводимых из точки пересечения осей обеих поверхностей (рис. 261, б). Эти сферы пересекают данные поверхности по окружности, в пересечении которых получаются точки, общие для обеих поверхностей.

На рис. 261, в показано применение двух сфер. Фронт. проекция одной из них проведена как окружность с центром O'' радиусом $O''S''$. Отрезок $5''6''$ является фронт. проекцией окружности, по которой сфера пересекает коническую поверхность, а отрезок $7''8''$ фронт. проекцией окружности, по которой эта сфера пересекает поверхность тора. Получается точка D'' – фронт. проекция одной из точек, общей для поверхности тора и конуса. По точке D'' находим на параллели конуса проекцию D' и ей симметричную.

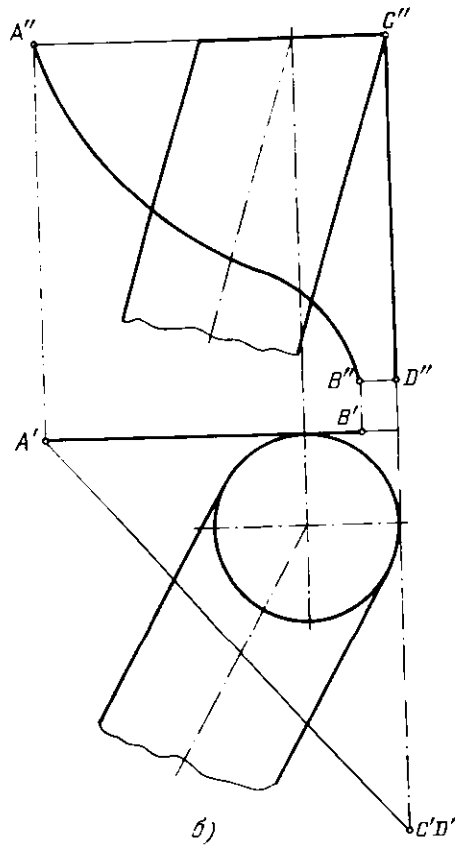
Сфера радиуса $O''I''$ лишь касается конической поверхности по окружности, но поверхность тора пересекает. Поэтому точка C'' , полученная с помощью этой сферы, имеет особое значение: если брать сферы с радиусом меньшим, чем $O''I''$, то общих точек для данных поверхностей мы с помощью таких сфер не получим. В точке C'' фронт. проекция линии пересечения лишь коснется прямой $3''4''$, но ее не пересечет.



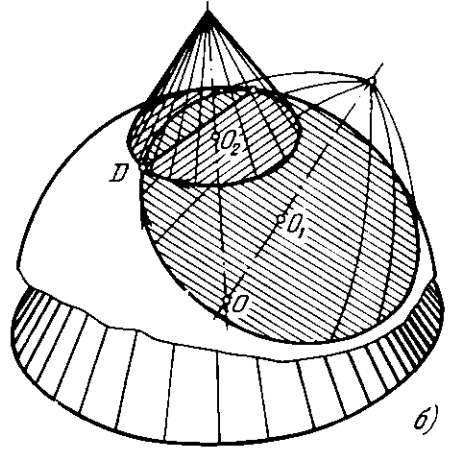
a)



a)



b)



b)

Рис. 261 а, б

Рис. 260 а, б

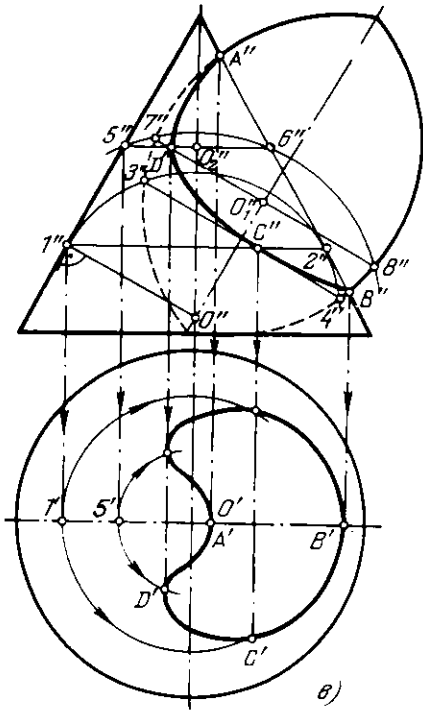


Рис. 261 в

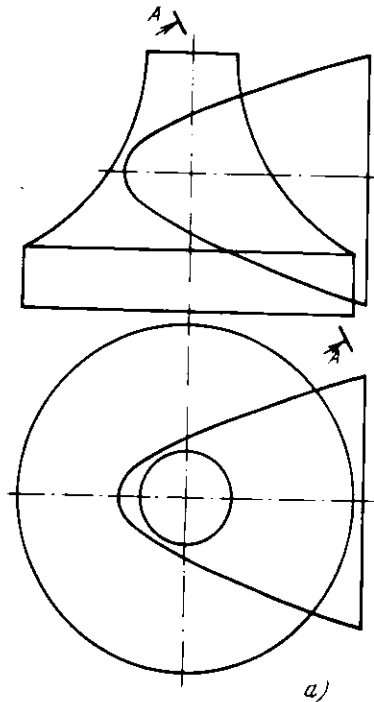


Рис. 262 а

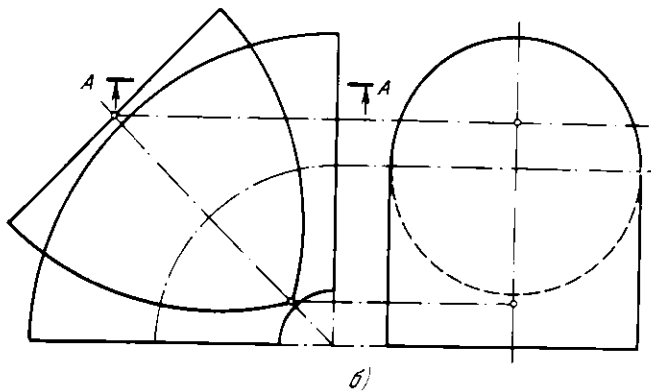


Рис. 262 б

Положение точек A'' и B'' очевидно.

Радиусы вспомогательных сфер следует брать в данном случае в пределах от $O''I''$ до $O''A''$.

279. Построить проекции линии пересечения: а) поверхности вращения с поверхностью гиперboloида вращения (рис. 262, а); б) поверхностей двух торов (рис. 262, б), и в обоих случаях сечения $A - A$.

280*. Построить проекции линии пересечения цилиндрической поверхности с поверхностью конуса вращения, ограничивающей отверстие в цилиндре (рис. 263, а).

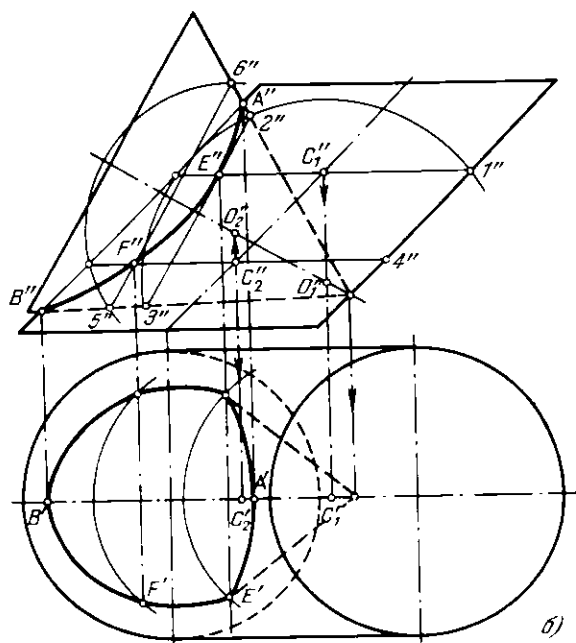
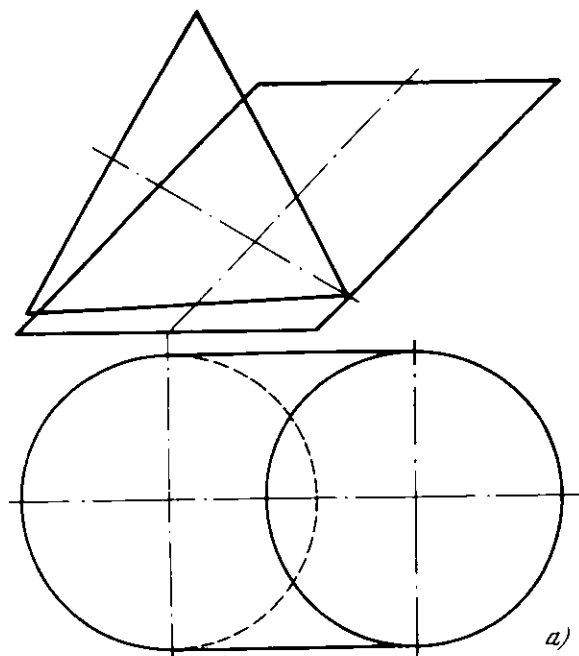


Рис. 263 а, б

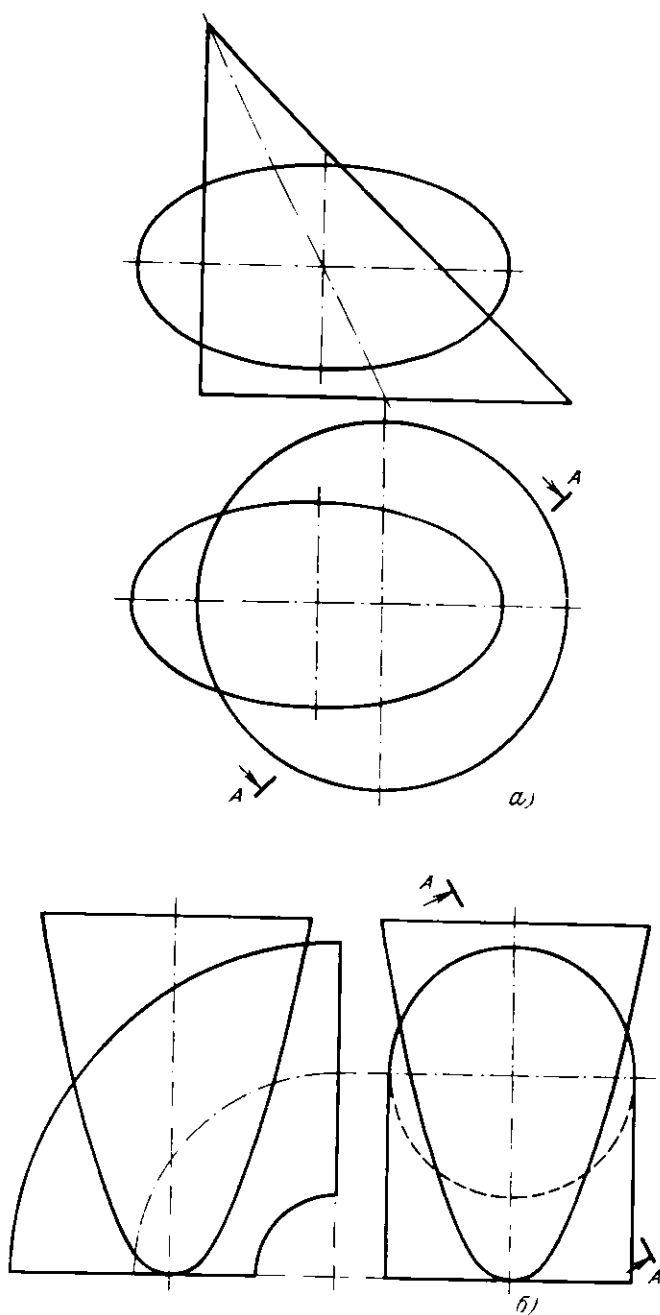


Рис. 264 а, б

Решение. Из двух заданных поверхностей лишь одна поверхность вращения коническая. Другая же поверхность не является поверхностью вращения. Это цилиндр, называемый наклонным круговым, — круговым, так как он имеет ряд круговых параллельных между собою сечений. В данном случае такие сечения параллельны пл. π_1 . Кроме того, имеется общая для конуса и цилиндра плоскость симметрии, параллельная пл. π_2 .

Эти обстоятельства подсказывают использование впомогательных сфер, но не с постоянным центром, как в задаче 278.

Действительно, круговое сечение цилиндра можно принять за параллель некоторой сферы. Например, окружность радиуса $C_1''1''$ (рис. 263, б) может быть параллелью многих сфер, центры которых располагаются на прямой, проведенной через C_1'' перпендикулярно к плоскости параллели. Если же мы на этом перпендикуляре возьмем точку в пересечении с осью конуса, то такую точку (с фронт. проекцией O_1'') можно принять за центр сферы с радиусом $O_1''1''$, пересекающей цилиндр по окружности радиуса $C_1''1''$, а конус вращения — по окружности с диаметром $2''3''$. Отсюда мы получаем точки, фронт. проекции которых сливаются в одну точку E' (одна из этих точек — на обращенной к нам части линии пересечения, другая — на ей симметричной).

На рис. 263, б дан еще один пример подобного построения. Задав на цилиндре окружность радиуса $C_2''4''$, находим фронт. проекцию центра сферы в точке O_2'' и радиус сферы, равный $O_2''4''$. При помощи этой сферы получены точки, общие для поверхностей конуса и цилиндра, с фронт. проекциями в точке F'' .

Положение точек A'' и B'' очевидно.

Горизонт. проекции точек по найденным их фронт. проекциям строим на окружностях горизонт. проекциях окружностей, взятых на поверхности цилиндра.

281. Построить проекции линии пересечения: а) конической поверхности с поверхностью эллипсоида вращения (рис. 264, а); б) поверхности тора с поверхностью параболоида вращения (рис. 264, б).

В обоих случаях построить сечения $A - A$.

§ 24. Задачи с решенными прототипами

282*. Определить расстояние от точки A до ближайшей точки на поверхностях: а) конуса (рис. 265, а); б) сферы (рис. 265, б); в) тора (рис. 265, в).

Решение. а) Искомое расстояние (рис. 265, а) равно расстоянию от данной точки до ближайшей к ней образующей. Эта образующая лежит в пл. α , проходящей через точку A и ось конуса.

Поворачиваем эту плоскость вокруг оси конуса до положения, параллельного пл. π_2 . Точка A займет положение $A(A', A'')$, и искомое расстояние выразится отрезком $A''\bar{A}''$, перпендикулярным к $S''\bar{B}''$.

б) На рис. 265, б показано, что искомое расстояние измеряется по прямой AO . Повернув прямую AO вокруг оси, проходящей через точку O перпендикулярно к пл. π_1 , так, чтобы AO стала параллельна пл. π_2 , получим $l = AO \cdot R = A''O'' - R$.

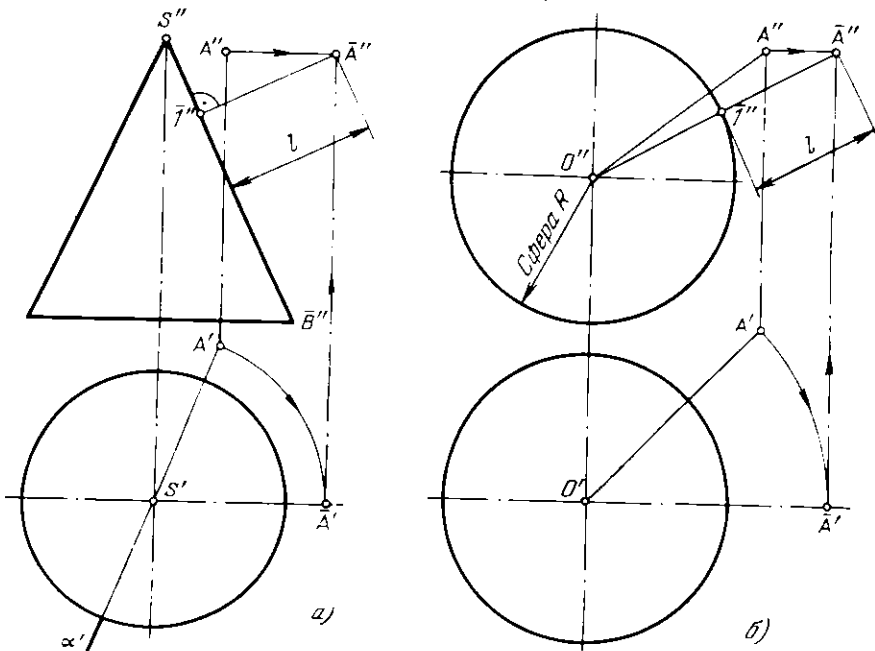


Рис. 265 а, б

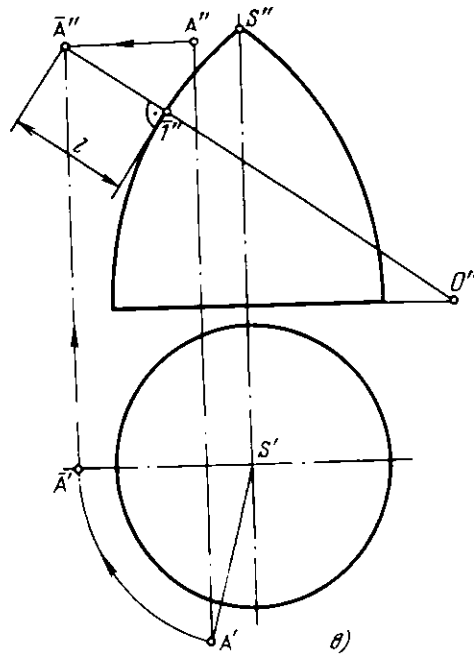


Рис. 265 в

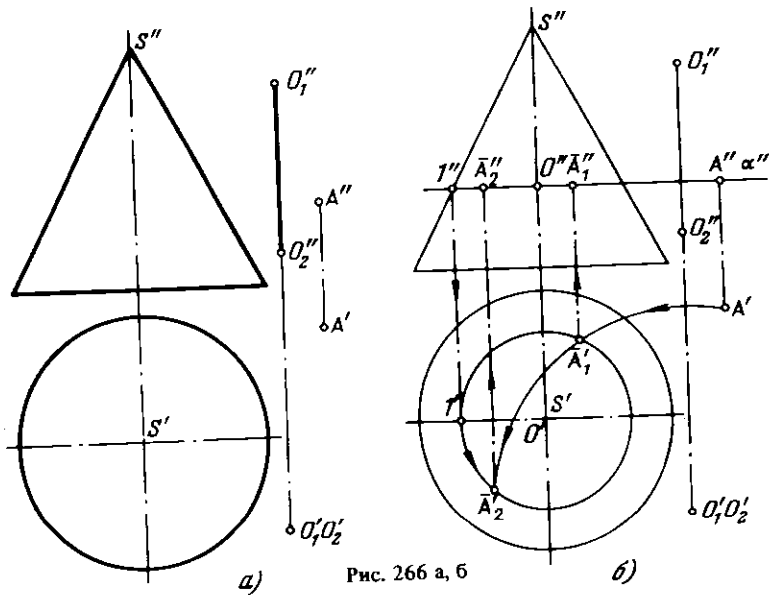


Рис. 266 а, б

в) Расстояние от точки A до поверхности тора (рис. 265, в) измеряется величиной отрезка нормали к поверхности тора в плоскости, проходящей через точку A и ось тора. Повернув эту плоскость вокруг оси тора до положения, параллельного пл. π_2 , и проведя прямую $A''O''$, получим точку I'' и отрезок $A''I''$. Это и есть нормаль к поверхности тора, проходящая через точку A , а до поворота — через точку A .

283*. Поворотом вокруг оси O_1O_2 точку A совместить с поверхностью конуса вращения (рис. 266, а).

Решение. Поворот точки A вокруг оси O_1O_2 происходит в пл. α (рис. 266, б), перпендикулярной к O_1O_2 . Центр дуги окружности, по которой перемещается точка A , находится в точке пересечения оси O_1O_2 с плоскостью вращения α . Горизонт. проекция этого центра совпадает с точками O'_1 и O'_2 . Итак, проведя из точки $O'_1(O'_2)$ дугу радиуса O'_1A' , получим на этой дуге горизонт. проекцию точки A в любом ее положении в пл. α при повороте вокруг оси O_1O_2 . Но чтобы точка A оказалась при этом на поверхности данного конуса вращения, надо, очевидно, взять параллель конической поверхности на уровне пл. α , т.е. окружность радиуса $O''1''$. На этой окружности и находим точку A , когда она при повороте вокруг оси O_1O_2 оказывается на поверхности заданного конуса. По горизонт. проекциям A'_1 и A'_2 находим проекции \bar{A}''_1 и \bar{A}''_2 . В положении A_1 точка A окажется невидимой относительно пл. π_2 , а в положении A_2 - видимой. Точка A в положениях A_1 и A_2 относительно пл. π_1 будет видимой.

284. Поворотом вокруг оси O_1O_2 точку A совместить: а) с шаровой поверхностью (рис. 267, а); б) с поверхностью тора (рис. 267, б).

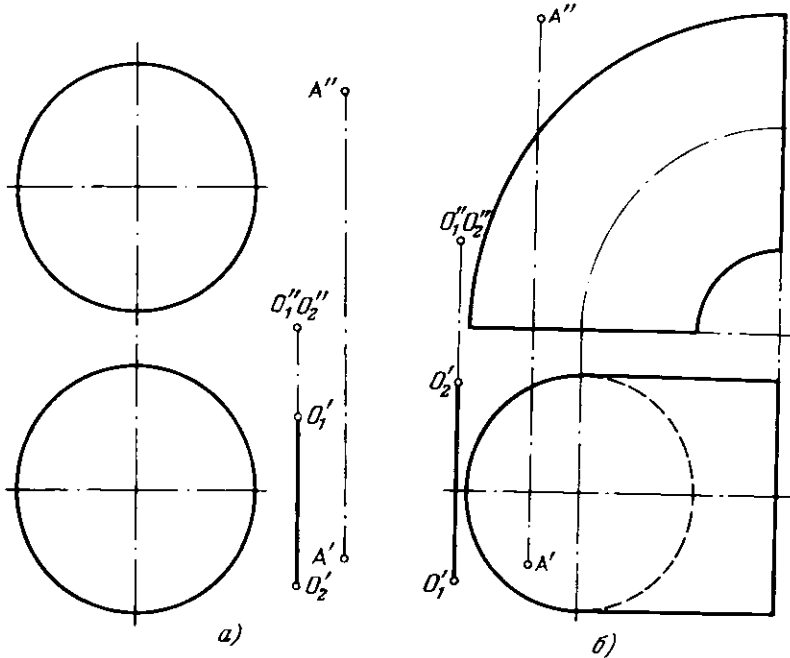


Рис. 267 а, б

285*. Поворотом вокруг оси O_1O_2 точку A совместить с винтовой поверхностью (рис. 268, а).

Решение. Заданная косая винтовая поверхность имеет ось, параллельную оси O_1O_2 . В указанном на чертеже положении поворот точки A происходит в пл. α (рис. 268, б), параллельной пл. π_1 и пересекающей данную поверхность по дуге спирали Архимеда. Строим горизонт. проекцию этой дуги, проводя для нахождения точек $3'$ и $6'$ плоскости β_1 и β_2 через ось поверхности. Они пересекают поверхность по ее образующим $1-2$ и $4-5$. Находим точки $3''$ и $6''$ в пересечении следа α'' с $1''2''$ и $4''5''$, по ним строим проекции $3'$ и $6'$. Проводим через точки $M', 6', 3'$ и N' кривую и находим точку пересечения (A'_1) этой кривой с горизонт. проекцией окружности, описываемой точкой A . По A'_1 находим A''_1 ; A'_1 и A''_1 служат проекциями точки A в искомом положении.

286. Поворотом вокруг оси O_1O_2 точку A совместить: а) с винтовой поверхностью (рис. 269, а); б) с косою плоскостью (рис. 269, б), заданной направляющими прямыми CD и EF и плоскостью параллелизма π_1 .

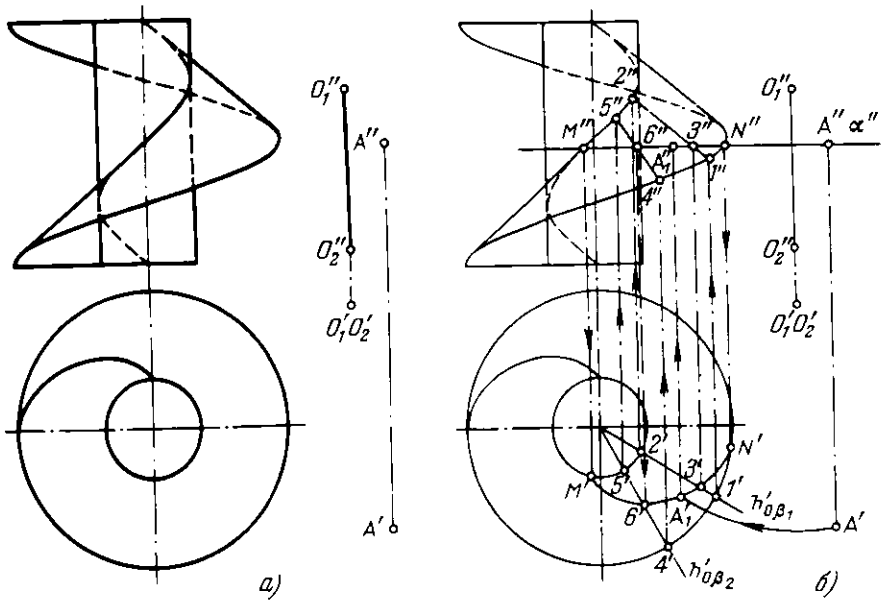


Рис. 268 а, б

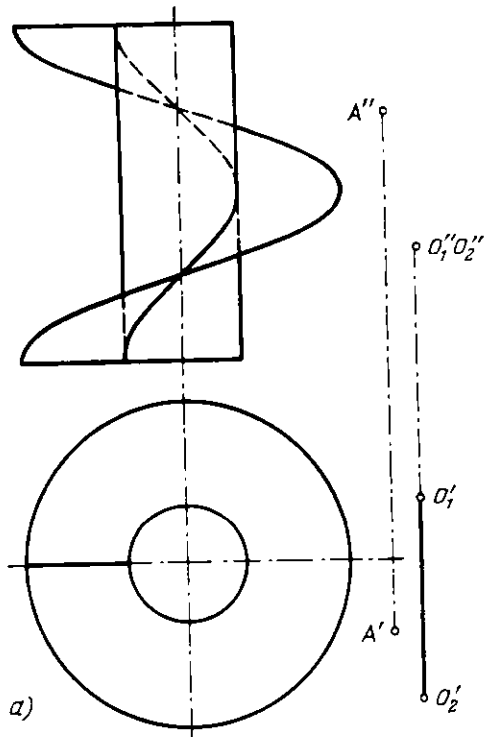


Рис. 269 а

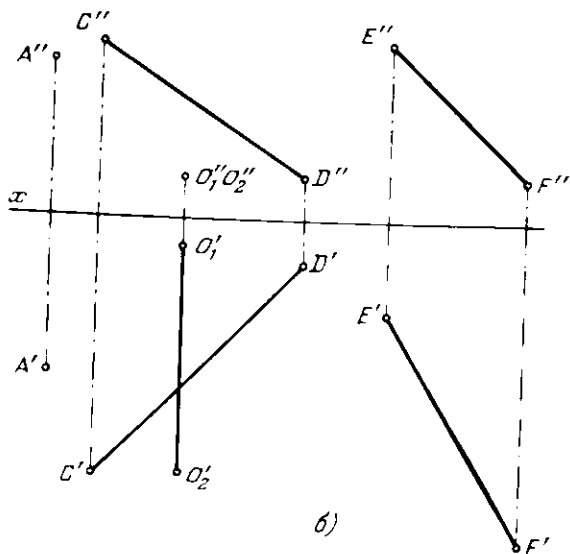


Рис. 269 б

287*. Указать положения осей, перпендикулярных к пл. π_1 , поворотом вокруг которых можно ввести точку A на заданную поверхность вращения (рис. 270, а).

Решение. В отличие от задач 283 и 285 в данной задаче ось для поворота точки не задается; оговаривается лишь то, что эта ось должна быть перпендикулярна к пл. π_1 . Однако нельзя взять любую прямую, перпендикулярную к пл. π_1 , и принять ее за ось, пригодную для решения этой задачи.

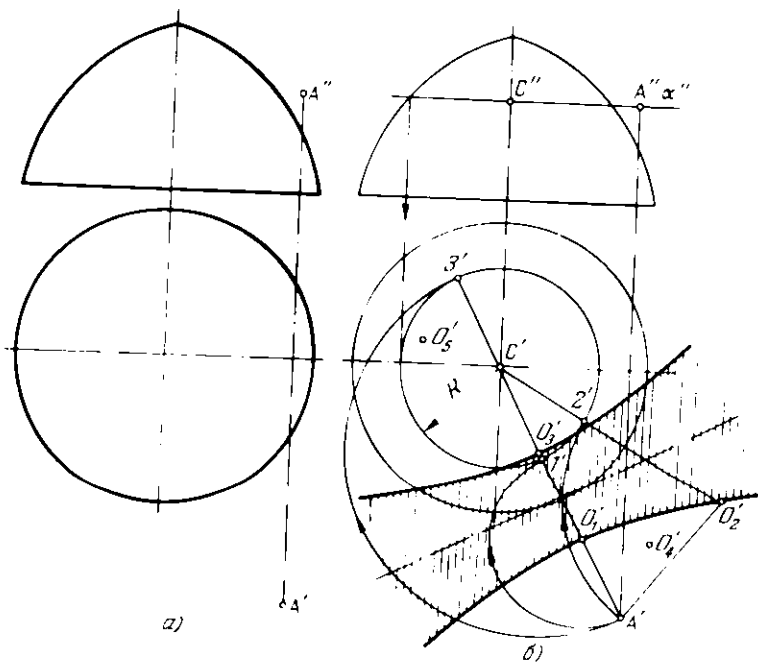


Рис. 270 а. б

На рис. 270, б показано, что имеется такая область, в которой было бы бесцельным брать точки в качестве горизонт. проекций осей вращения. Например, приняв точку O'_4 за горизонт. проекцию оси, мы получим радиус вращения точки A равным O'_4A' , но O'_4A' меньше расстояния точки A' до ближайшей точки на окружности радиуса R , и, следовательно, дуга радиуса O'_4A' даже не коснется этой окружности. Или точка O'_5 : совершенно очевидно, что дуга радиуса O'_5A' не может иметь общих точек с окружностью радиуса R .

Но если взять точку O'_1 так, чтобы $O'_1A' = O'_1I'$, или точку O'_3 так, чтобы $O'_3A' = O'_3I'$, то в положениях I' и I'' точка A окажется на окружности радиуса R . Взяв оси, проходящие через точки O'_1 и O'_3 перпендикулярно к пл. π_1 , мы можем решить задачу о введении точки A на заданную поверхность вращения. Легко видеть, что решение сводится к построению гиперболы, у которой фокусами служат точки A' и C' , а вершинами точки O'_1 и O'_3 . Эта гипербола определяет область (на рис. 270, б она заштрихована), в которой любая точка может быть принята за горизонт. проекцию оси, при повороте вокруг которой точка A окажется в двух положениях на данной поверхности вращения. Если же точку взять на одной из ветвей гиперболы, то такая точка определяет ось, при повороте вокруг которой точка A окажется на поверхности вращения лишь в единственном положении. Например, точка O'_2 : дуга радиуса O'_2A' лишь коснется в точке $2'$ окружности радиуса R .

288. Указать положение осей, перпендикулярных к пл. π_1 , поворотом вокруг которых можно точку A совместить с заданной поверхностью вращения (рис. 271).

289*. Указать положение осей, перпендикулярных к пл. π_1 , поворотом вокруг которых можно точку A совместить с заданной поверхностью вращения (рис. 272, а).

Решение. Отличие этой задачи от задачи 287* в том, что точка задана внутри поверхности вращения. Здесь также вопрос выбора положения осей решается при рассмотрении взаимного положения точки A и окружности радиуса R (параллели) на поверхности вращения (рис. 272, б). Очевидно, что горизонт. проекция оси вращения (какая-либо точка O) должна быть расположена так, чтобы радиус OA' был не меньше расстояния точки O до ближайшей точки на окружности радиуса R . Предельные положения точки O (например O'_1, O'_2 и др.) расположатся как точки эллипса с фокусами в точках A' и C' , с большой осью $O'_1O'_3$ на прямой

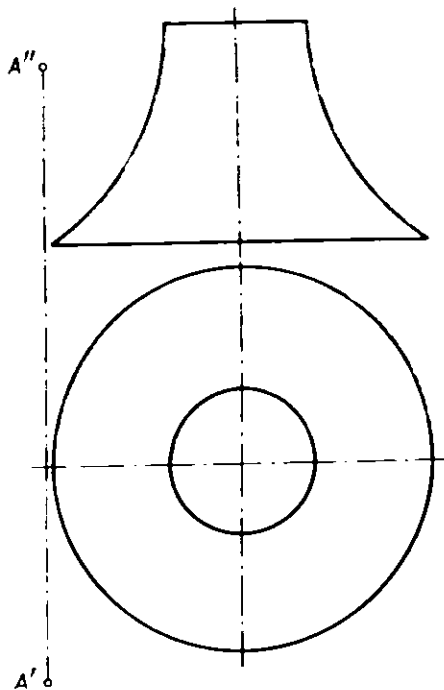


Рис. 271

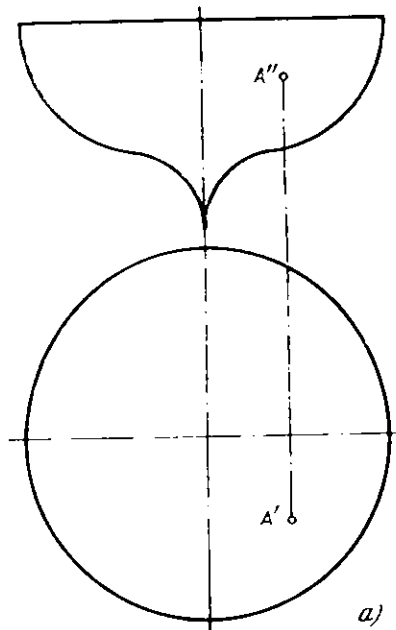


Рис. 272 а

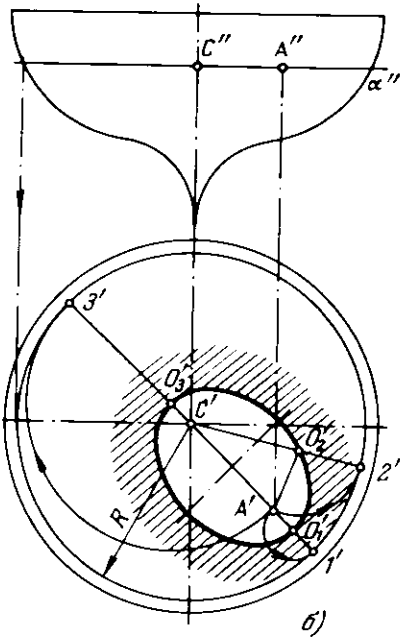


Рис. 272.6

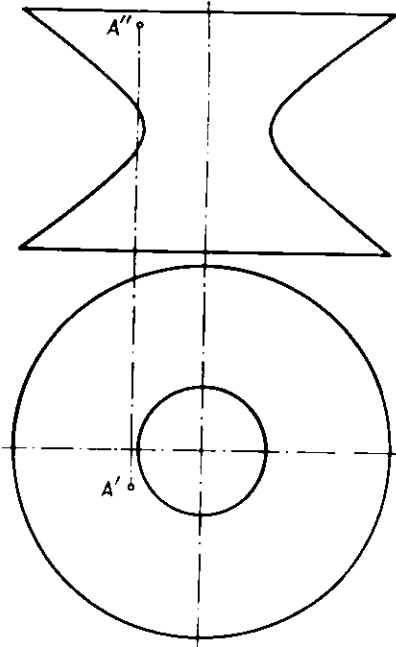


Рис. 273

$l'z'$. Точка O_1' делит пополам отрезок $A'l'$, а точка O_3' – отрезок $A'z'$. Если взять точки внутри этого эллипса и принять их за горизонт. проекции осей вращения, то вращением вокруг таких осей нельзя данную точку совместить с поверхностью вращения. Горизонт. проекции осей надо брать или на эллипсе, или вне его.

290. Указать положение осей, перпендикулярных к пл. π_1 , поворотом вокруг которых можно точку A совместить с заданной поверхностью вращения (рис. 273).

291*. На прямой CD найти точки, отстоящие от прямой AB на расстояние l (рис. 274, а).

Решение. Геометрическим местом точек пространства, отстоящих от прямой AB на расстояние l , является цилиндрическая поверхность с осью AB и радиусом l (рис. 274, б). Искомые точки M и K являются точками пересечения прямой CD с этой поверхностью. Очевидно, для упрощения построения надо сделать так, чтобы ось цилиндрической поверхности оказалась перпендикулярной к какой-либо плоскости, принятой за плоскость проекций. Сначала

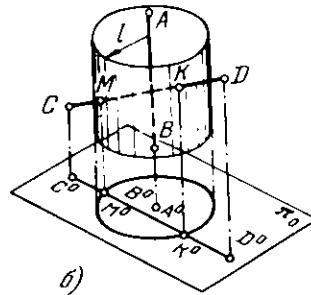
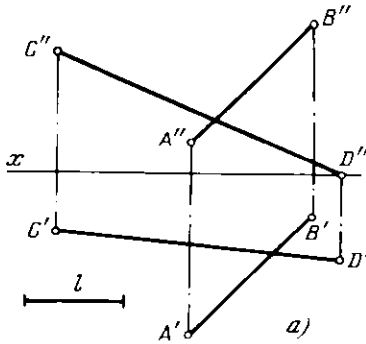


Рис. 274 а, б

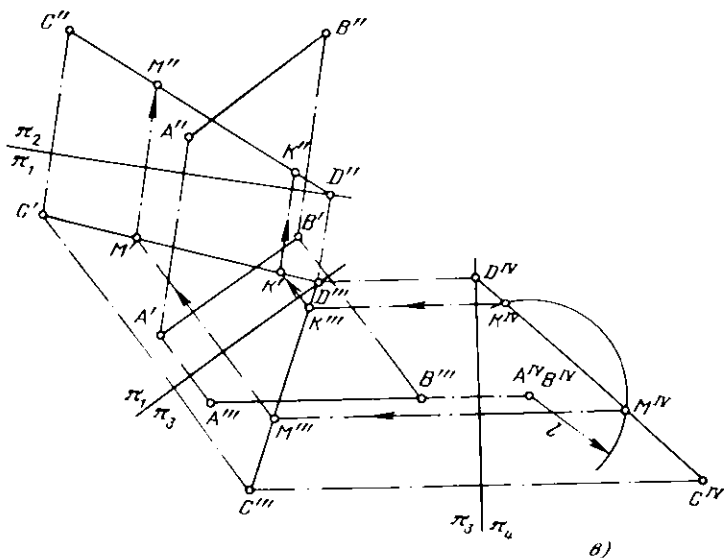


Рис. 274 в

(рис. 274, в) вводим пл. π_2 и π_1 и параллельно AB , затем пл. π_4 и π_3 и $\perp AB$. В системе π_4, π_3 прямая AB перпендикулярна к пл. π_4 . Проекция цилиндрической поверхности на этой плоскости — окружность радиуса l с центром в точке $A^{IV}(B^{IV})$. Точки пересечения (M^{IV} и K^{IV}) окружности с проекцией $C^{IV}D^{IV}$ являются проекциями искомых точек на пл. π_4 . По M^{IV} и K^{IV} находим M''' и K''' , затем M' и K' , а по ним M'' и K'' .

292. На прямой AB найти точки, отстоящие от оси x на расстояние l (рис. 275).

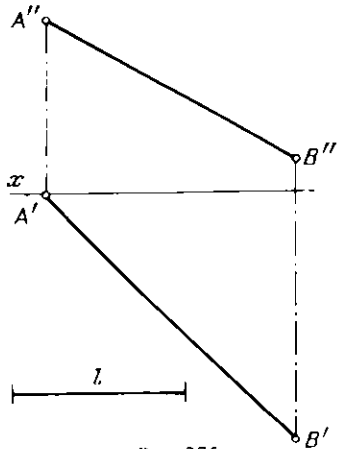


Рис. 275

293*. Построить недостающую проекцию прямой CD , параллельной прямой AB , если расстояние между ними равно l (рис. 276, а).

Решение. Прямые линии, параллельные AB и находящиеся от нее на расстоянии l , являются образующими цилиндра, осью которого служит прямая AB , а радиусом нормального сечения — отрезок l . Исходя из этого, следует добиться того, чтобы прямая AB оказалась перпендикулярной к некоторой плоскости: цилиндр с осью AB изобразится на этой плоскости в виде окружности, на которой окажется соответствующая проекция прямой CD .

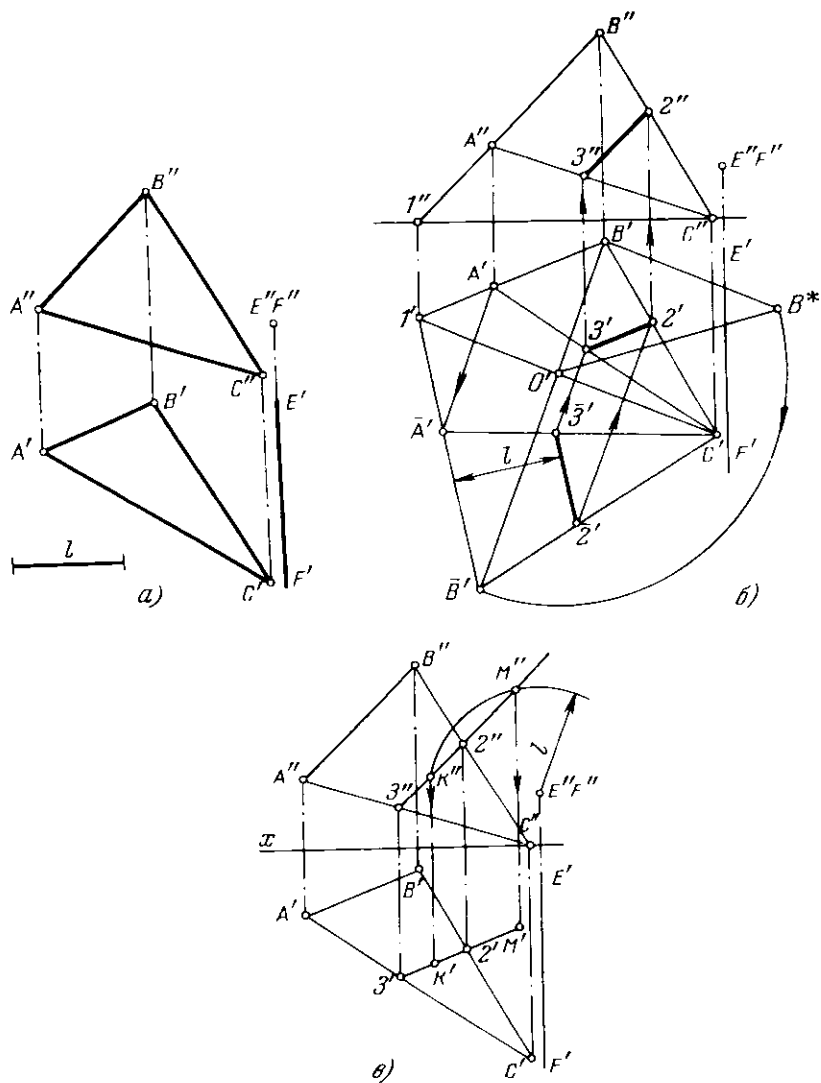


Рис. 278 а в

Решение. Геометрическим местом точек на плоскости треугольника, отстоящих на расстояние l от прямой AB , является прямая, ей параллельная и проведенная от нее на расстоянии l . Таких прямых может быть две: ограничимся той, которая находится в пределах треугольника ABC . На рис. 278, б треугольник ABC повернут вокруг горизонтали до параллельности пл. π_1 . Горизонталь проведена через точку C . Найдена натуральная величина радиуса вращения точки B — отрезок $O'B^*$ и положение $A'B''C''$ треугольника ABC , когда его плоскость параллельна пл. π_1 .

Проведем прямую $\bar{2}'\bar{3}'$ параллельно $A'B'$ на расстоянии l , находим точки $2'$ и $3'$, а по ним $2''$ и $3''$ на проекциях соответствующих сторон треугольника.

Переходим ко второму условию, связанному с прямой EF .

Геометрическим местом точек пространства, отстоящих от прямой EF на расстояние l , служит цилиндрическая поверхность с осью EF и радиусом l . Точка пересечения этой поверхности с прямой $2-3$ является искомой точкой. Таких точек может быть две. Но в пределах данного треугольника, как это следует из рассмотрения рис. 278, в, получится лишь одна точка — точка K .

Так как $EF \perp \pi_2$, то получаем непосредственно фронт. след цилиндрической поверхности в виде дуги окружности с центром $E''(F'')$ и радиусом l . В пересечении этой дуги с проекцией $2''3''$ получается точка K'' — фронт. проекция искомой точки, отстоящей от AB и от EF на расстояние l .

На рис. 278, в показана также точка M , отвечающая условиям задачи о равноудаленности от AB и EF (на l). Точка M находится в плоскости, заданной треугольником ABC , но вне его пределов. В условии же задачи сказано: "В данном треугольнике...". Поэтому полностью отвечает условиям задачи только точка K .

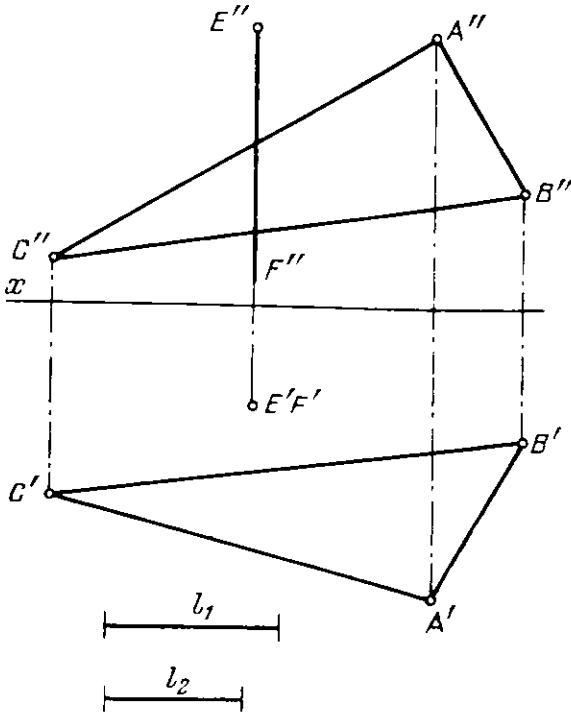


Рис. 279

296. В данном треугольнике ABC найти точку, отстоящую от прямой AB на расстояние l_1 , а от прямой EF — на расстояние l_2 (рис. 279).

297*. Провести прямую MN , равноудаленную от прямых AB , CD и EF и параллельную одной из них, а именно прямой CD (рис. 280, а).

Решение. Представим себе, что прямая CD расположена перпендикулярно к некоторой плоскости проекций; тогда каждая прямая, параллельная CD , также будет перпендикулярна к этой плоскости, в том числе и искомая. В данном случае прямая CD параллельна пл. π_2 , поэтому можно сразу ввести плоскость π_3 , перпендикулярную к прямой CD , взяв ось $\pi_3 \perp \pi_2 \perp CD''$ (рис. 280, б). Построим проекции $A'''B'''$, $C'''(D''')$ и $E'''F'''$. Проекция искомой прямой MN на пл. π_3 представляет собой точку $M'''(N''')$, равноудаленную от прямых $A'''B'''$ и $E'''F'''$ и точки $C'''(D''')$, т.е. является центром окружности, проходящей через точку $C'''(D''')$ и касающейся прямых $A'''B'''$ и $E'''F'''$. Для ее построения проводим биссектрису угла $A'''F'''$ и через какую-либо точку O на ней проводим окружность, касающуюся этих прямых. Соединяем точки O и $C'''(D''')$ прямой линией и находим точку 2 пересечения ее с проведенной окружностью. Теперь проводим прямую через точки O и 2. Некая точка $M'''(N''')$ лежит на пересечении упомянутой выше биссектрисы с прямой, параллельной прямой 2- O и проходящей через точку $C'''(D''')$. По проекции $M'''(N''')$ найдем $M'N'$ (п. $C'''(D''')$ и $M'N' \perp C'D'$).

298. Провести прямую MN , равноудаленную от прямых AB , CD и EF и параллельную прямой CD (рис. 281).

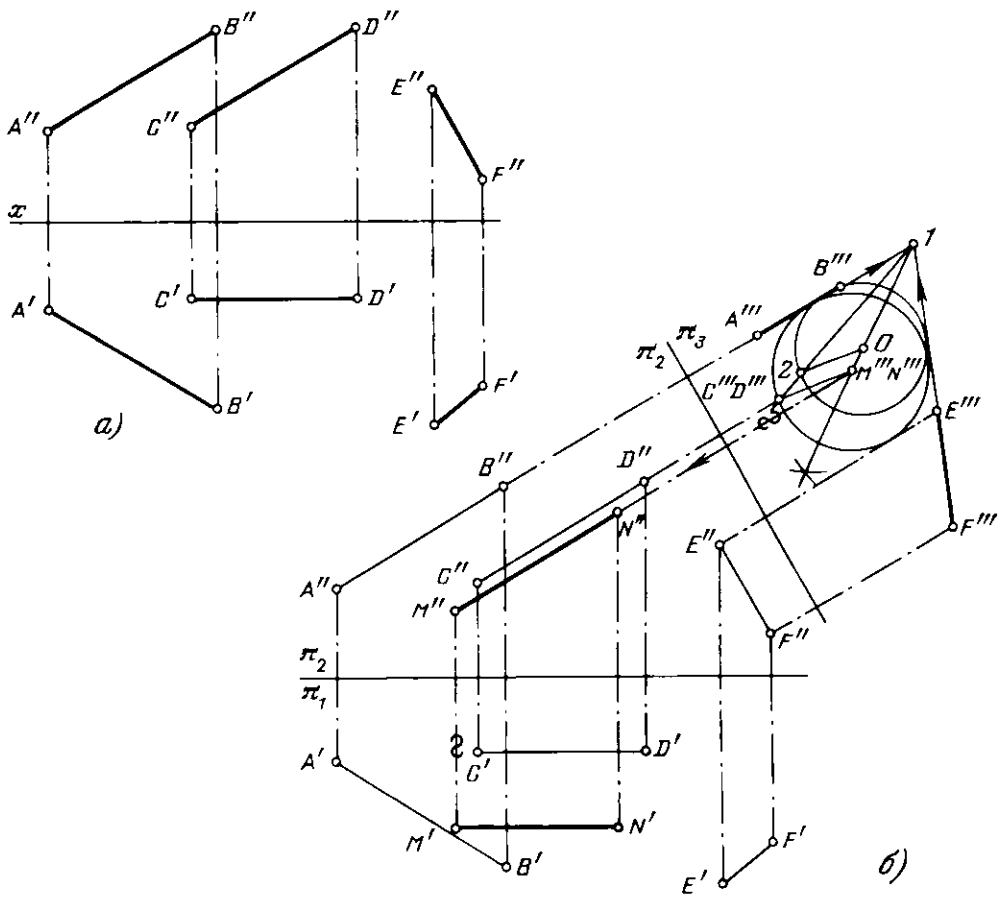


Рис. 280 а, б

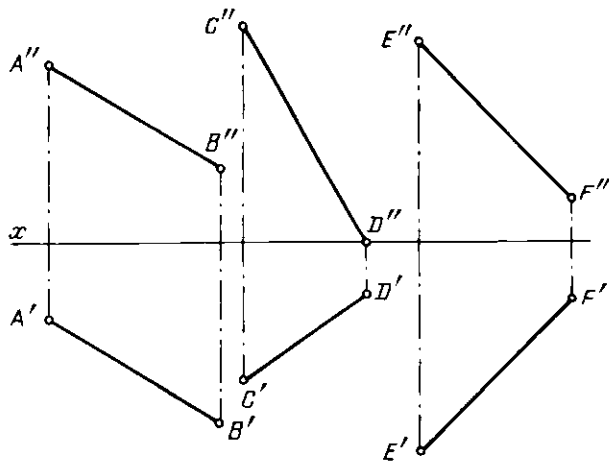


Рис. 281

299*. Провести прямую MN , равноудаленную от прямых AB , CD и EF и параллельную прямой GK (рис. 282, а).

Решение. И в этой задаче, очевидно, надо сделать так, чтобы прямая CD , а следовательно, и искомая параллельная ей прямая MN оказались перпендикулярными к некоторой плоскости проекций. Так как по заданию GK параллельна пл. π_1 , то сразу можно ввести пл. π_2 (рис. 282, б), перпендикулярную к пл. π_1 и к GK .

Теперь строим проекции $A''B''$, $C''D''$ и $E''F''$. Проекция искомой прямой на пл. π_2 должна быть точкой. Очевидно, надо отыскать точки, равноудаленные от проекций $A''B''$, $C''D''$ и $E''F''$. Проведя биссектрисы углов $A''B''E''$ и $C''D''F''$, получим в их пересечении точку $M''(N'')$. Это и будет проекция на пл. π_2 искомой прямой, находящейся на равных расстояниях от AB , CD и EF и параллельной прямой GK .

Здесь дано одно из четырех возможных решений.

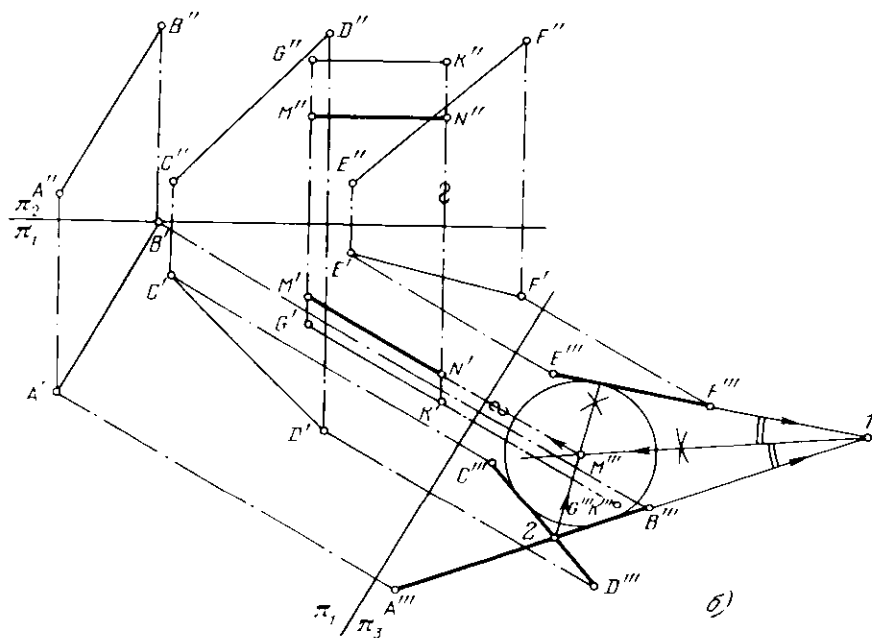
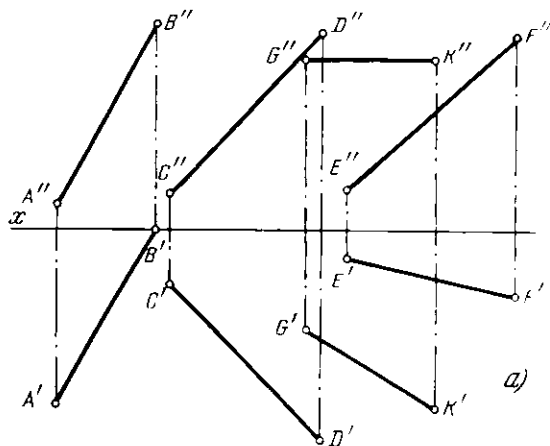


Рис. 282 а, б

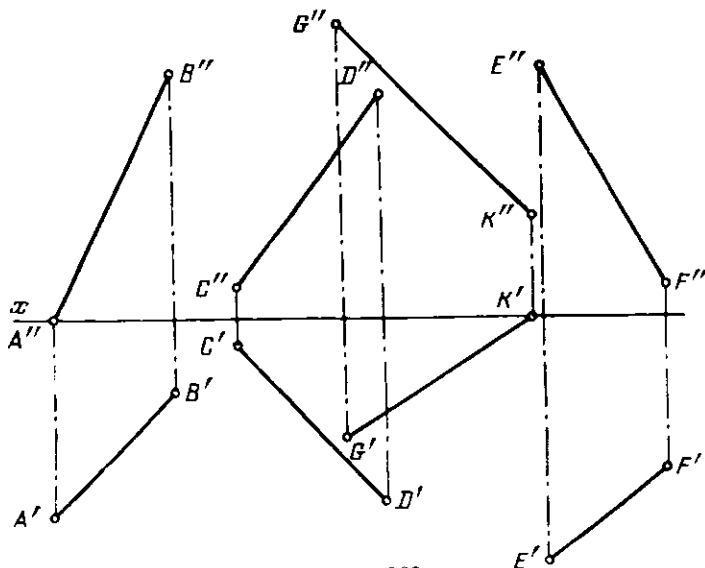


Рис. 283

300. Провести прямую MN , равноудаленную от прямых AB , CD и EF и параллельную прямой GK (рис. 283).

Указание. В задаче 300, для того чтобы прямая GK оказалась перпендикулярной к некоторой плоскости проекций, требуется введение двух дополнительных плоскостей.

301*. Провести прямую, равноудаленную от четырех заданных точек A , B , C и D (рис. 284, а).

Решение. Представляя себе пространственную картину, можно заключить, что искомая прямая является осью цилиндрической поверхности, образующие которой проходят через заданные точки (рис. 284, б).

Для построения этой поверхности проведем через две заданные точки, например A и B , прямую и примем ее за образующую цилиндрической поверхности. Теперь проведем пл. π_0

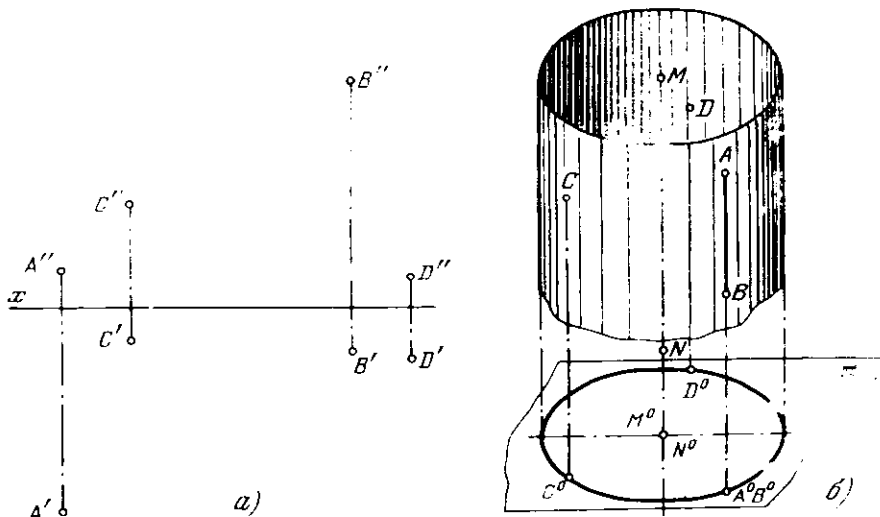


Рис. 284 а, б

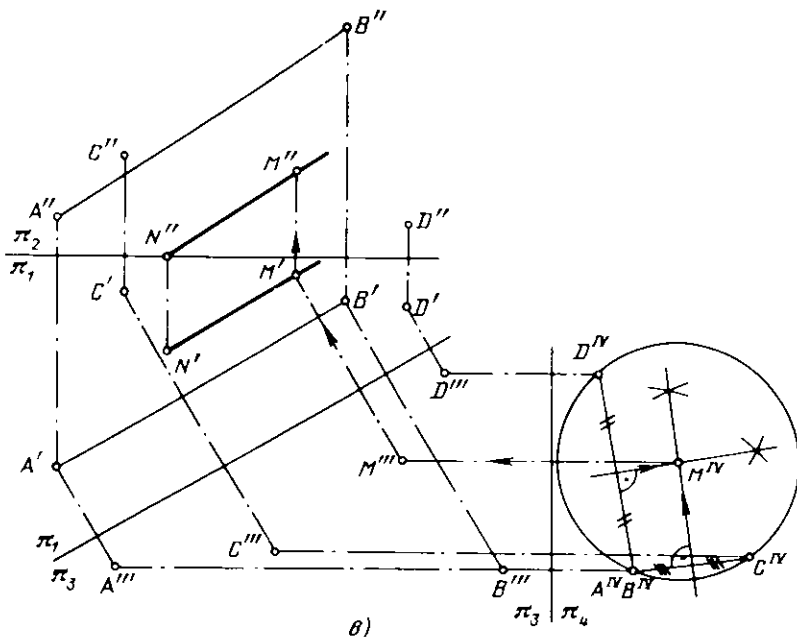


Рис. 284 в

перпендикулярно к прямой AB и найдем проекции $A^0 (B^0)$, C^0 , D^0 . Проекция цилиндрической поверхности на пл. π_0 является окружностью, проходящей через точки C^0 , D^0 и $A^0 (B^0)$. Центр этой окружности точка $M^0 (N^0)$ является проекцией искомой прямой.

Построение показано на рис. 284, в. Вводим пл. $\pi_3 \perp \pi_1$ и $\parallel AB$, а затем пл. π_4 , перпендикулярную к пл. π_3 и к AB . Построив проекцию $A^{IV} (B^{IV})$, C^{IV} и D^{IV} , находим M^{IV} – проекцию одной из точек (M) искомой прямой MN .

Затем находим M'' , M' и M''' . Проводим $M''N'' \parallel A''B''$ и $M'N' \parallel A'B'$.

Можно было бы соединить точки A и C , A и D , B и C , B и D , C и D и получить еще пять решений.

302. Провести прямую MN , равноудаленную от четырех заданных точек A , B , C и D (см. рис. 284, а). Дать два варианта решения: а) $MN \parallel BD$ и б) $MN \parallel AC$.

303*. Построить фронт. проекцию треугольника ABC , если даны его горизонт. проекция $A'B'C'$ и горизонталь DC , а также известно расстояние l от точки K до плоскости этого треугольника (рис. 285, а).

Решение. Если представить себе сферу радиуса l как геометрическое место точек, удаленных на расстояние l от точки K , то искомая плоскость будет одной из плоскостей, касательных к этой сфере. При этом, если плоскость окажется фронтально-проецирующей, то ее фронт. след будет касательной прямой к фронт. проекции сферы – окружности радиуса l и фронт. проекция треугольника ABC совпадет с этой касательной.

Поэтому преобразуем заданный чертеж так, чтобы плоскость треугольника ABC стала фронтально-проецирующей. Для этого применим поворот треугольника и точки K вокруг оси, перпендикулярной к пл. π_1 , но положение этой оси не покажем (способ параллельного перемещения). При таком повороте (рис. 285, б) горизонт. проекция в целом лишь изменит положение относительно оси x . А чтобы плоскость треугольника ABC стала фронтально-проецирующей, надо горизонталь DC расположить перпендикулярно к пл. π_2 , т.е. проекцию $D'C'$ вывести в положение $D'C' \perp$ оси x .

Теперь, очертив из точки K'' окружность радиуса l , мы можем провести через точку $C'' (D'')$ касательную к окружности. На рис. 285, б проведена одна касательная, хотя можно провести еще одну, т.е. дать второе решение. Но так как методика построения не изменяется, то ограничиваем-

ся одним решением, принимая в качестве фронт. проекции треугольника отрезок $\bar{A}''\bar{B}''$. Точки A'' и B'' определяются по точкам A' и B' .

В заключение остается возвратиться к заданным проекциям A', B', C', K' и K'' и получить проекции A'' и B'' , исходя из построенных проекций \bar{A}'' и \bar{B}'' , т.е. получить фронт. проекцию $A''B''C''$.

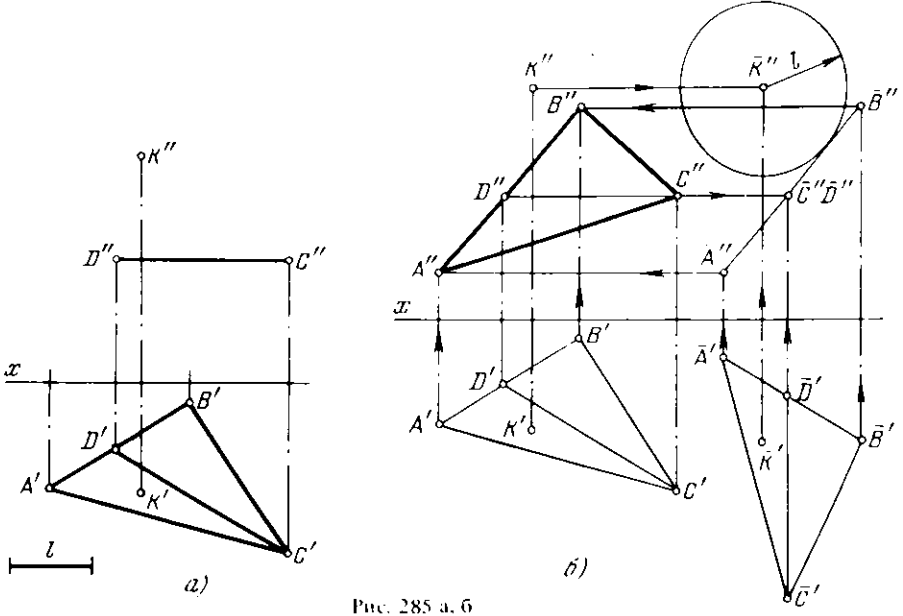


Рис. 285 а, б

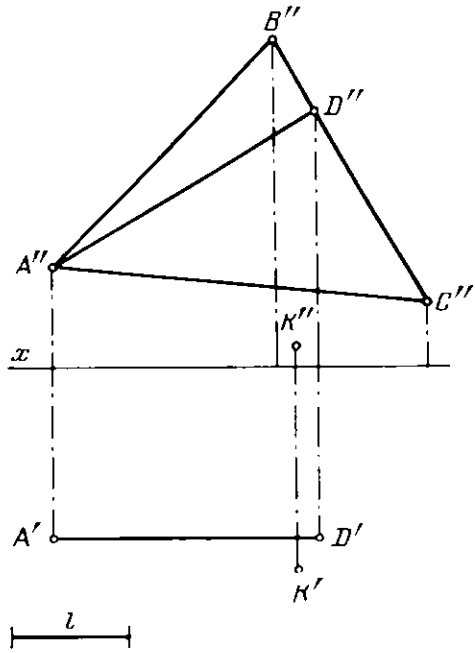


Рис. 286

304. Построить горизонт. проекцию треугольника ABC , если даны его фронт. проекция $A''B''C''$ и фронталь AD , а также известно расстояние l от точки K до плоскости этого треугольника (рис. 286). Дать оба решения.

305*. Через точку S провести прямую, равнонаклоненную к заданным прямым AB , CD и EF (рис. 287, а).

Решение. Искомая прямая является осью конуса с вершиной S , три образующих которого параллельны соответственно прямым AB , CD и EF (рис. 287, б).

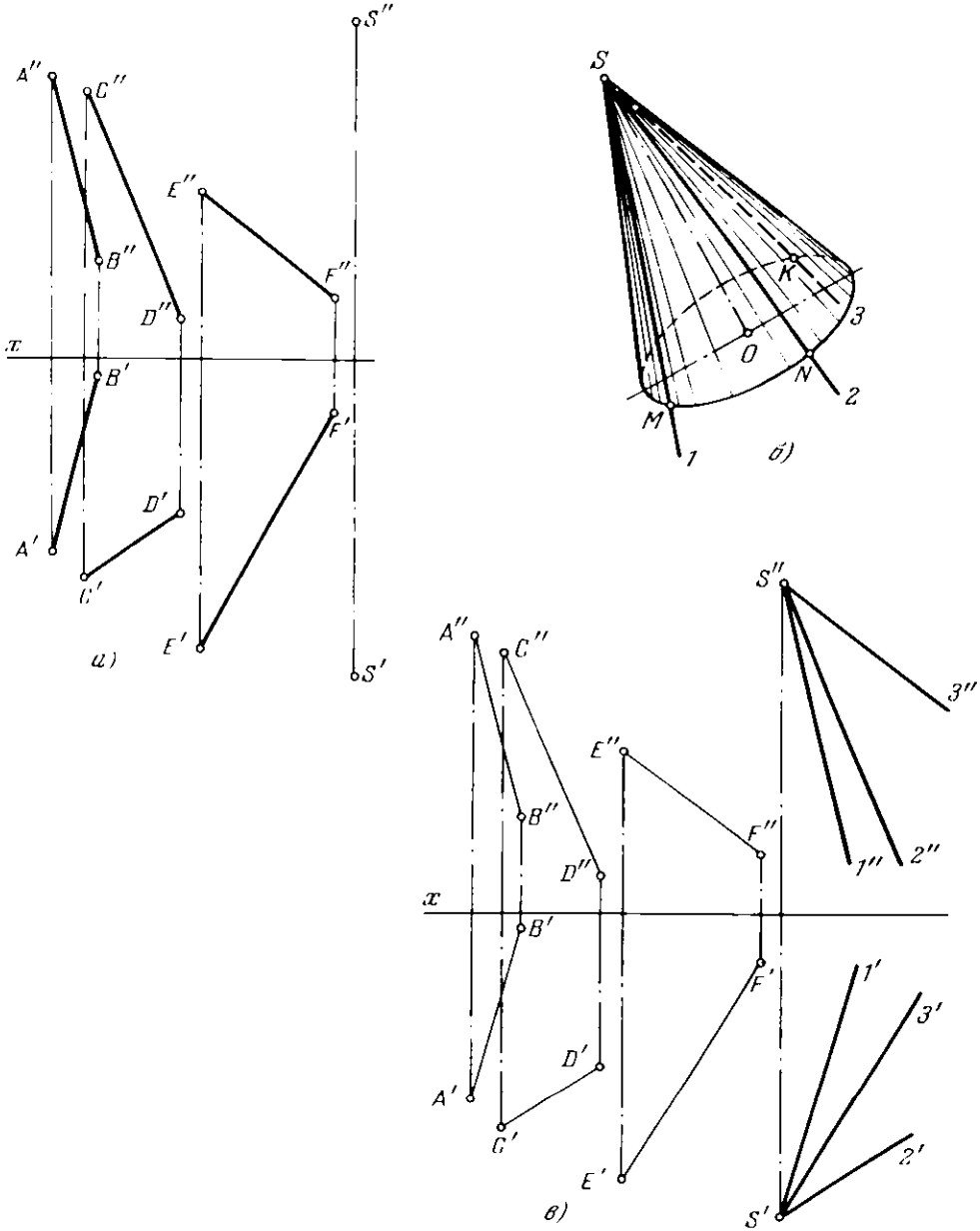


Рис. 287 а в

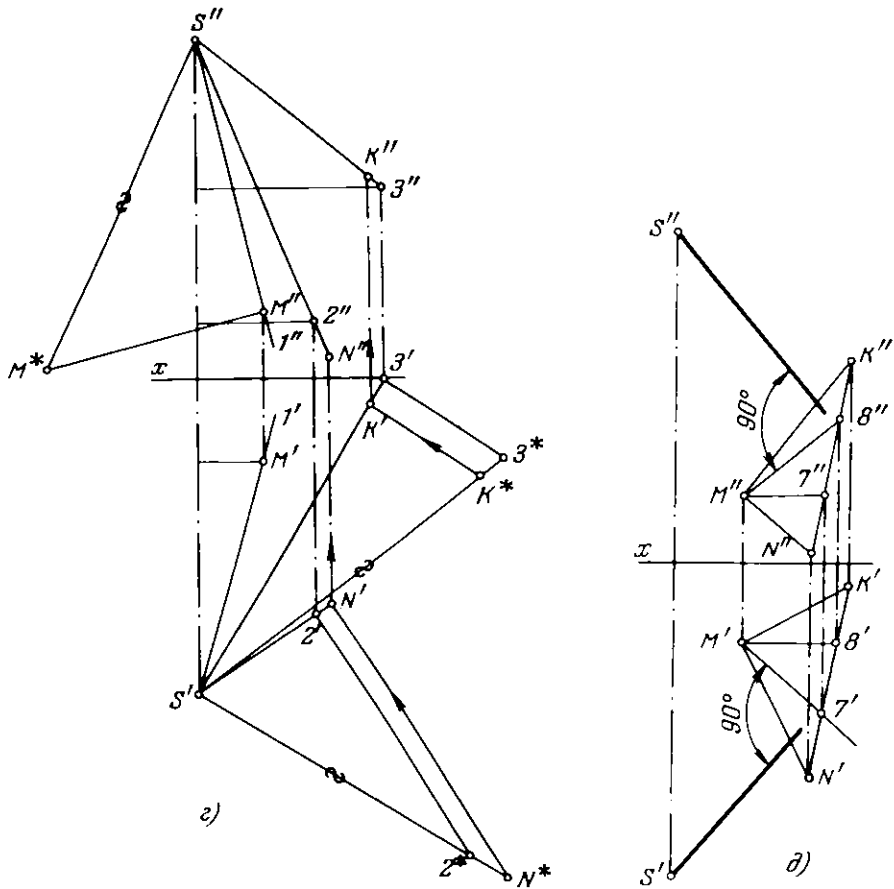


Рис. 287 г. д

Через S'' и S' (рис. 287, г) проводим проекции прямых, параллельных данным прямым (например, $S''1'' \parallel A''B''$, $S'1' \parallel A'B'$; $S''2'' \parallel C''D''$ и т.д.).

Взяв на прямой $S - l$ некоторый отрезок SM (рис. 287, г), откладываем на двух других прямых отрезки $SK = SN = SM$.

Точки K, M и N задают (рис. 287, б) сечение конуса плоскостью, перпендикулярной к его оси.

Получив точки K', K'' ; M', M'' ; N', N'' , строим треугольники $K'M'N'$ и $K''M''N''$ — проекции треугольника KMN , в плоскости которого надо найти точку, равноудаленную от точек K, M и N , т.е. центр окружности, описанной вокруг этого треугольника. Проведя через эту точку и через точку S прямую, можно получить требуемый ответ. Но достаточно будет только провести перпендикуляр из точки S на плоскость, определяемую треугольником KMN , что и сделано на рис. 287, д при помощи горизонтали $M - 7$ и фронтали $M - 8$.

306*. Ввести прямую AB в пл. α вращением вокруг оси, перпендикулярной к пл. π_1 (рис. 288, а).

Решение. Если найти точку пересечения прямой AB с пл. α , то останется повернуть только одну точку прямой так, чтобы эта точка оказалась в пл. α . Поэтому начинаем с того, что находим точку S пересечения прямой AB с пл. α (рис. 288, б), а далее проводим ось вращения через S перпендикулярно к пл. π_1 . При вращении вокруг этой оси точка S остается в пл. α , а прямая AB описывает коническую поверхность. Линии пересечения (SA_1 и SA_2) этой поверхности с пл. α (α проходит через вершину конуса) представляют собой искомые положения прямой AB в пл. α .

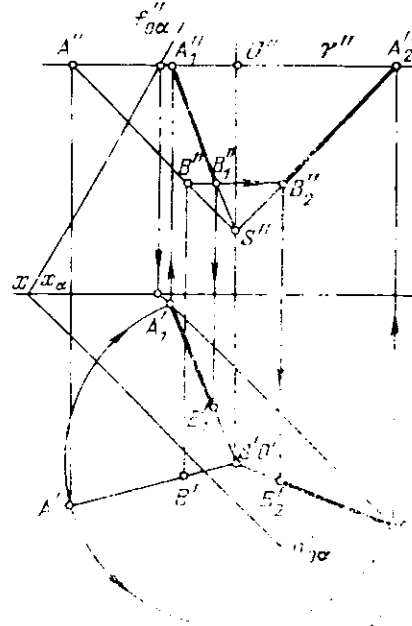
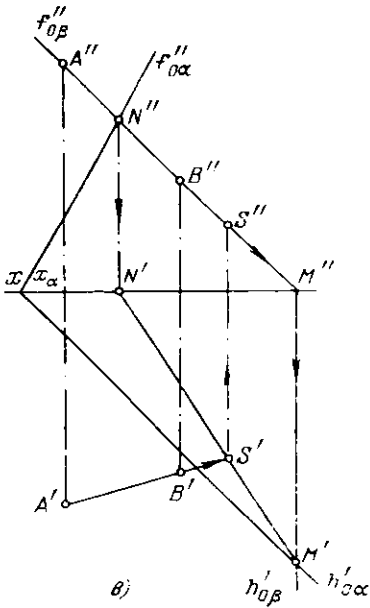
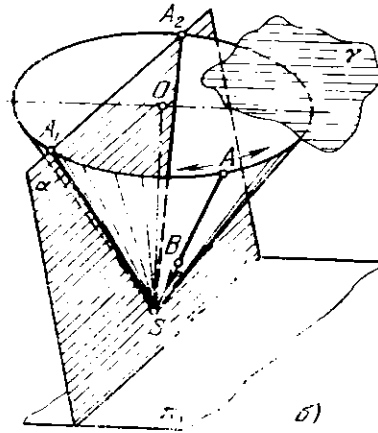
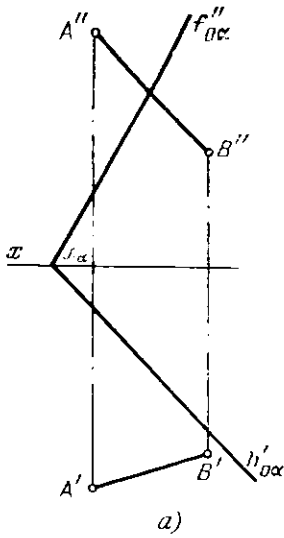


Рис. 288 а ;

Построение показано на рис. 288, в. Для нахождения точки S через точку O проведен фронтально-проецирующая пл. β . Точка A при повороте вокруг оси O описывает окружность радиуса $O'A'$, лежащую в пл. γ , которая пересекается с пл. β в двух точках. Эта горизонталь пересекает окружность в точках с проекциями A'_1 и A''_1 . Аналогично, проведя прямые $S'A'_1$ и $S'A''_1$; $S'B'_1$ и $S'B''_1$, находим на этих прямых положение точек S'_1 , S''_1 , B'_1 и B''_1 . A_1B_1 и A_2B_2 - искомые положения прямой AB .

307. Вращением вокруг оси, перпендикулярной к пл. π (рис. 289), совместить данную прямую AB с а) гранью SDE , б) гранью SCE .

Указание. Начать с нахождения точки пересечения AB с соответствующей гранью.

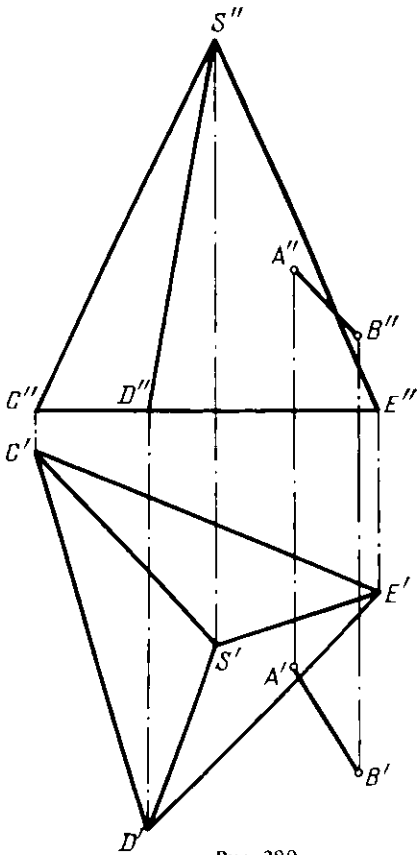
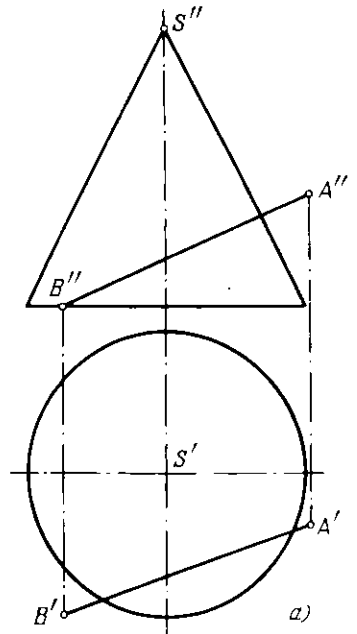
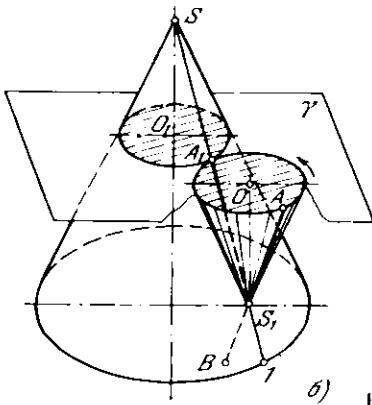


Рис. 289

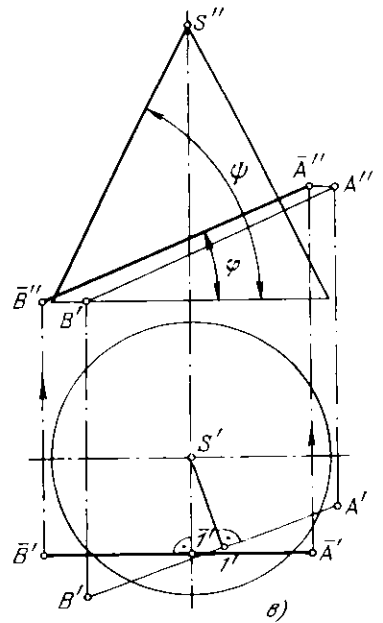


a)



b)

Рис. 290 а в



в)

308*. Определить, можно ли прямую AB совместить с поверхностью конуса вращения поворотом ее вокруг оси, перпендикулярной к плоскости основания конуса (рис. 290, а).

Решение. На рис. 290, б показано, что прямая AB совпадает с поверхностью конуса вращения в том случае, если совпадает с его образующей в одном из ее положений. Это положе-

ние образующей получим, найдя точку S_1 пересечения прямой AB с поверхностью конуса. Образующая $S - l$, определяемая точками S и S_1 , и есть та, с которой должна совпасть прямая AB , если она может быть совмещена с поверхностью конуса. Но чтобы такое совмещение получилось, должны оказаться равными между собой углы, составляемые образующей конуса и данной прямой AB с осью конуса или с прямой, проведенной через точку S_1 параллельно этой оси. Так как в данном случае ось конуса перпендикулярна к пл. π_1 , проверку можно свести к определению угла между AB и пл. π_1 (рис. 290, в): приняв ось конуса за ось вращения для всей системы "конус и прямая", поворачиваем прямую AB до параллельности пл. π_2 . Так как углы ψ и φ не равны между собой, то прямая AB не может быть введена на поверхности данного конуса поворотом вокруг оси, перпендикулярной к плоскости его основания.

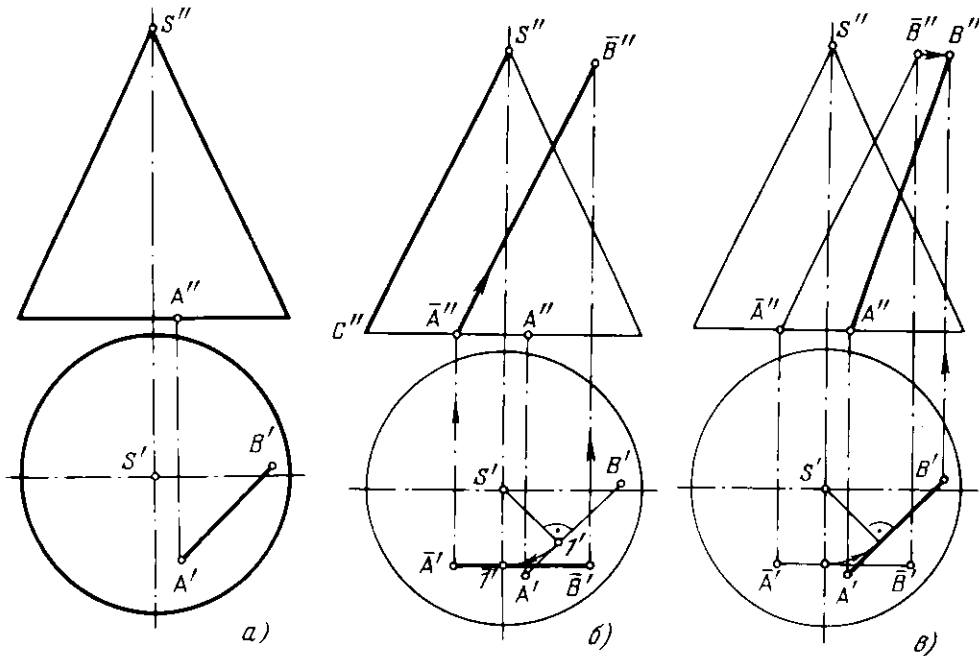


Рис. 291 а--в

309*. Найти фронт. проекцию прямой AB , исходя из условия, что эта прямая может быть совмещена с боковой поверхностью заданного конуса вращения поворотом вокруг оси, перпендикулярной к плоскости его основания (рис. 291, а).

Решение. Повернем систему "конус и прямая" вокруг оси конуса с тем, чтобы прямая AB стала параллельной пл. π_2 (рис. 291, б). Получив точку \bar{A}'' – фронт. проекцию точки A после поворота, проведем $\bar{A}''\bar{B}'' \parallel S''C''$, т.е. получим равные углы между осью конуса и а) его образующей, б) прямой AB . Выводя конус и прямую в начальное положение, получим фронт. проекцию $A''B''$ (рис. 291, в) в соответствии с условиями задачи.

310. Ввести прямую AB на поверхность данного конуса (рис. 292) поворотом вокруг оси, перпендикулярной к плоскости его основания.

Указание. Произведя проверку и убедившись в том, что задача может быть решена, надо найти точку пересечения прямой AB с боковой поверхностью конуса. Эта точка вместе с вершиной конуса определяет его образующую в том положении, когда прямая AB совпадает с ней.

311*. Построить фронт. проекцию угла AKB , натуральная величина которого равна его горизонтальной проекции $A'K'B'$ (рис. 293, а).

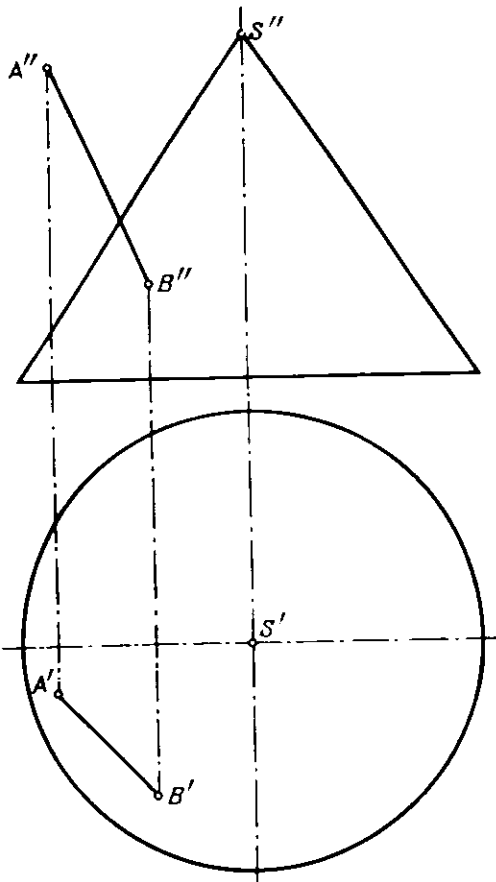


Рис. 292

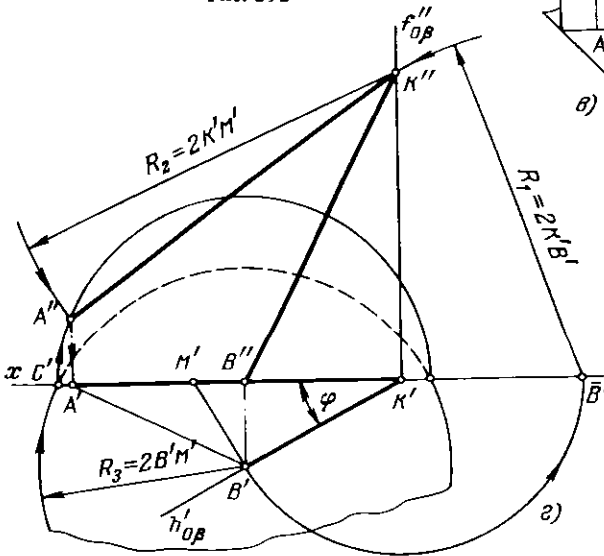
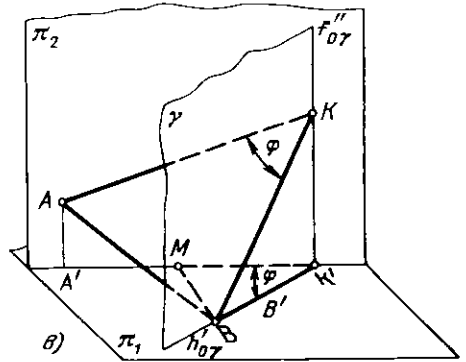
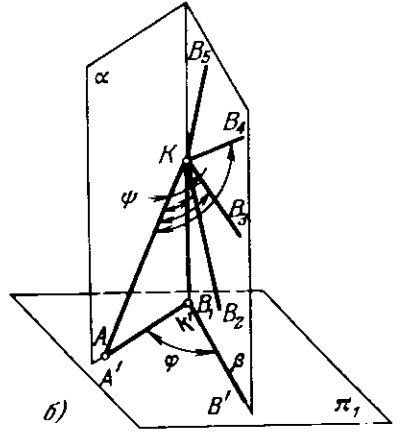
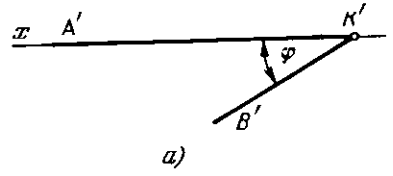
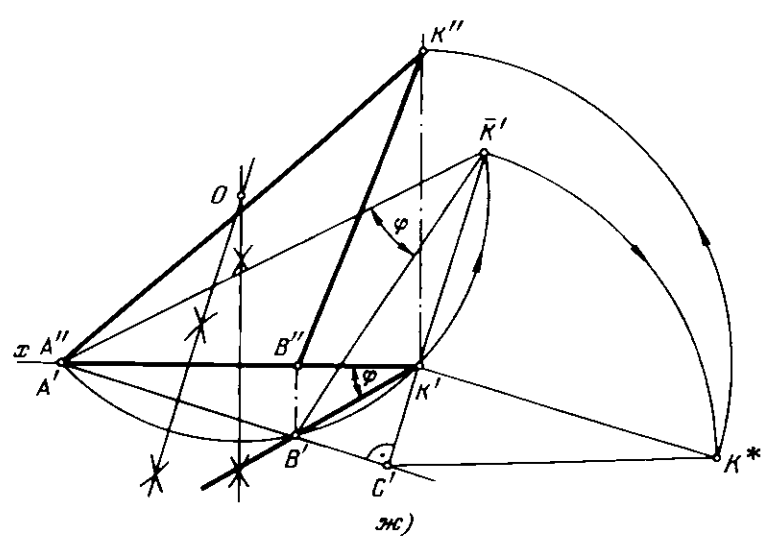
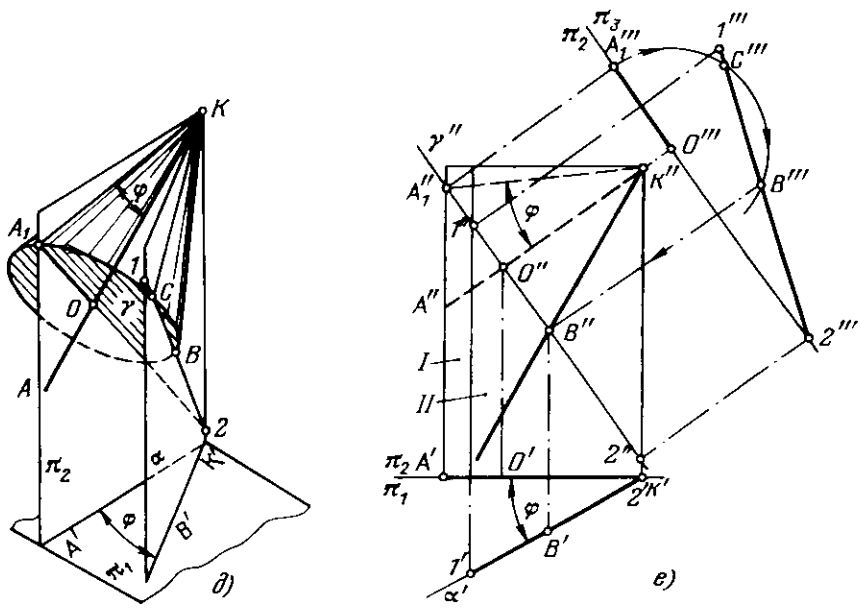


Рис. 293 а-г



293 д-ж

Решение. Известно, что проекция острого (или тупого) угла может равняться проектируемому углу не только в случае параллельности плоскости угла и плоскости проекций. На рис. 293, б показано, что, например, все углы, стороны которых соответственно расположены в пл. α и β , перпендикулярных к пл. π_1 , имеют своей горизонт. проекцией угол, равный углу $A'K'B'$. Очевидно, среди различных углов имеется угол, равный этой проекции.

Далее показано построение фронт. проекции угла, равного в натуре его заданной горизонт. проекции. Сделано это тремя способами.

1. Через стороны $A'K'$ и $B'K'$ угла $A'K'B'$ (рис. 293, в), лежащего в пл. π_1 , проводим две плоскости — пл. π_2 и горизонтально-проецирующую пл. γ . Угол φ является линейным углом двугранного, образованного этими плоскостями. Стороны угла, равного его горизонт. проекции,

должны лежать — одна в пл. π_2 , другая в пл. γ . Этот угол построен при помощи треугольника AKB , подобного некоторому треугольнику $MK'B$, взятому на пл. π_1 . Построение проводится так, чтобы стороны AB и BM были содвигнутыми.

Задаемся некоторым коэффициентом подобия λ . На ребре двугранного угла выбираем точку K так, чтобы $BK = \lambda \cdot BK'$. Если теперь построить точку A с тем, чтобы $AK = \lambda \cdot MK'$ и $AB = \lambda \cdot BM$, то треугольники AKB и $MK'B$ окажутся подобными и угол AKB будет равен φ .

Для построения точки A используем два геометрических места точек: геометрическое место точек в пл. π_2 , удаленных от точки K на расстояние $AK = \lambda \cdot MK'$ (т.е. окружность, проведенная из точки K радиусом $\lambda \cdot BK'$), и геометрическое место точек, отстоящих от точки B на расстояние $AB = \lambda \cdot BM$ (т.е. сфера радиуса AB с центром в точке B). Точка A должна лежать в пл. π_2 , т.е. должна быть на окружности, по которой пл. π_2 пересекает указанную сферу и центром которой является фронт. проекция точки B .

В пересечении обеих окружностей, расположенных в пл. π_2 , получаем две точки, из которых на рис. 293, в показана одна — точка A .

Соответствующий чертеж приведен на рис. 293, г. Принимаем $\lambda = 2$. Из точки \bar{B}' (построение ее ясно из чертежа) проводим дугу радиуса $R_1 = 2K'B'$ до пересечения в точке K'' с линией связи, проходящей через точку K' . Из точки K'' проводим дугу радиуса $R_2 = 2K'M'$. Если теперь из точки B' радиусом $R_3 = 2B'M'$ провести окружность, то получим проекцию упомянутой выше сферы.

Окружность, по которой эта сфера пересекается плоскостью π_2 , имеет центр в точке B'' и радиус, равный $C'B''$. Точка A'' лежит на пересечении дуг радиуса R_2 и радиуса, равного $C'B''$, точка A' — на оси x . Угол $A''K''B''$ — искомая фронт. проекция угла, равного своей горизонт. проекции.

2. Возьмем точку K (рис. 293, д) на ребре двугранного угла, образованного плоскостями π_2 и α , проведенными через стороны $A'K'$ и $B'K'$ угла $A'K'B'$. Из этой точки проведем в пл. π_2 прямые AK и A_1K , образующие между собой угол, равный φ , и повернем прямую A_1K вокруг прямой AK . При этом образуется коническая поверхность с образующей A_1K и осью AK . Линия KB пересечения конической поверхности плоскостью σ будет стороной угла AKB , в натуре равного φ . Чтобы найти эту линию пересечения, надо построить прямую $1-2$ пересечения пл. α с пл. γ основания конуса. Тогда точки C и B пересечения окружности основания с прямой $1-2$ определяют образующие, по которым пл. α пересекает коническую поверхность.

Чертеж показан на рис. 293, е, причем плоскости π_2 и α изображены прямоугольниками I и II . Через точку K'' в прямоугольнике I проведем прямые $A''K''$ и $A_1''K''$ так, чтобы угол между ними был равен φ . Через точку A_1'' перпендикулярно к $A''K''$ проведен след γ'' плоскости γ — основания конуса. Точка $O''O''$ — центр окружности основания конуса. Прямая с проекциями $1''2''$ и $1'2'$ — линия пересечения плоскостей γ и α .

Введя дополнительную пл. $\pi_3 \perp \pi_2$ и $\perp AK$, построим проекции O''' и A_1''' , а также $1'''2'''$. Окружность, проведенная из точки O''' радиусом $O'''A_1'''$, пересекает прямую $1'''2'''$ в точках C''' и B''' — проекциях точек, принадлежащих образующим KB и KC . На рис. 293, е показано построенное фронт. проекции только точки B : по точке B''' построена точка B'' . Угол $A''K''B''$ является фронт. проекцией угла, в натуре равного углу φ .

3. В этом случае использовано совмещение плоскости искомого угла с пл. π_1 (рис. 293, ж).

Проводим прямую $A'B'$ — горизонт. след плоскости, в которой лежит рассматриваемый угол, и поворачиваем вокруг него точку K до смещения ее с пл. π_1 . Чтобы при этом угол $A'K'B'$ оказался равным φ , надо вписать угол $A'K'B'$ в окружность, проведенную через точки A' , B' и K' . Тогда углы $A'K'B'$ и $A''K''B''$ как вписанные, опирающиеся на одну и ту же дугу, будут равны между собой. Остается найти точку K'' в пересечении окружности, проведенной через точки A' , B' и K' , со следом плоскости вращения точки K вокруг прямой $A'B'$. Зная натуральную величину $C'K'$ — радиуса вращения точки K и его горизонт. проекцию $C'K''$, находим отрезок $K'K''$ — превышение точки K над пл. π_1 , а это дает нам возможность получить точку K'' . Угол $A''K''B''$ является искомой фронт. проекцией угла AKB , равного своей горизонт. проекции. Во всех примерах мы ограничились показом построения лишь одного угла, хотя углов, натуральная величина которых равна заданной горизонт. проекции, множество.

312. Построить горизонт. проекцию угла AKB , равного в натуре своей фронт. проекции $A''K''B''$ (рис. 294). Решить всеми тремя способами.

313*. Найти направление фронт. следа фронтально-проецирующей плоскости, пересекающей заданный конус вращения так, чтобы профильная проекция эллипса сечения оказалась окружностью (рис. 295, а).

Решение. В общем случае профильная проекция эллипса, получаемая при пересечении конуса вращения, представленного на рис. 295, а фронтально-проецирующей плоскостью α , является эллипсом (рис. 295, б), оси которого равны величинам отрезков $B''A''$ и $C''D''$.

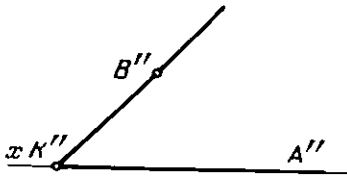
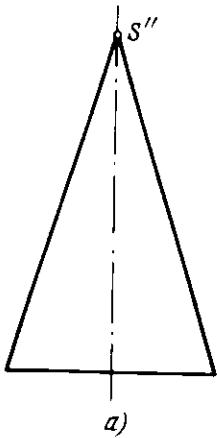
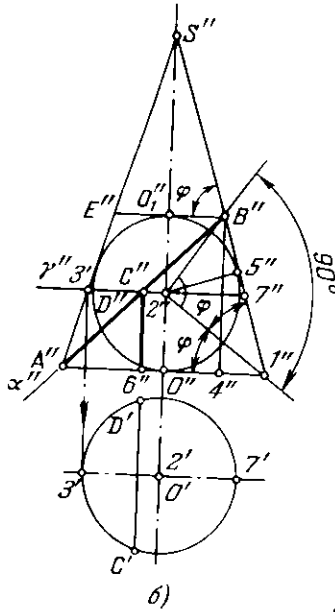


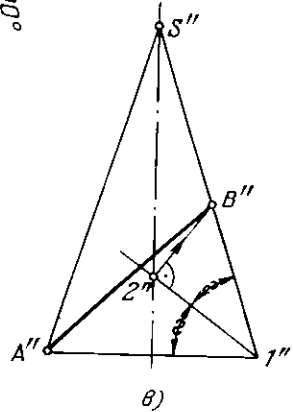
Рис. 294



а)



б)



в)

Рис. 295 а в

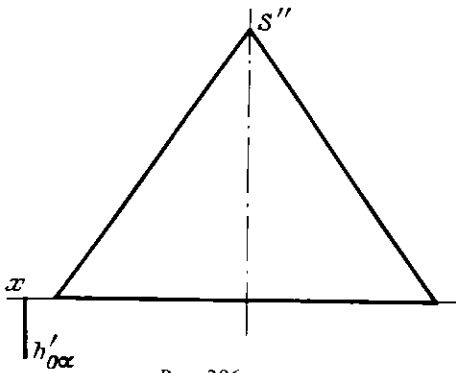


Рис. 296

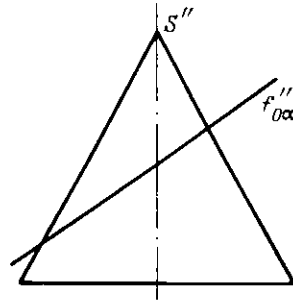


Рис. 297

Если окажется, что $B''4'' = C'D'$, то эллипс сечения изобразится на пл. π_3 окружностью. Этого можно достичь, если след α'' искомой плоскости направить по диагонали равнобедренной трапеции $A''E''B''I''$ (рис. 295, б), в которую вписывается окружность с центром в точке $2''$. Для построения такой трапеции проводим биссектрису угла $A''I''B''$ до пересечения с осью трапеции в точке $2''$. Проводим из этой точки перпендикуляр к биссектрисе и находим точку B'' (рис. 295, в).

314. Дан след $h'_{0\alpha}$ фронтально-проецирующей пл. α , пересекающей конус вращения по эллипсу. Построить фронт. след этой плоскости из условия, что профильная проекция эллипса является окружностью (рис. 296).

315. Будет ли (рис. 297) проецироваться на пл. π_3 в виде окружности эллипс, получаемый при пересечении данного конуса вращения фронтально-проецирующей пл. α ?

§ 25. Задачи для самостоятельного решения

316. Построить проекции равнобедренного треугольника ABC с основанием BC , лежащего в плоскости (рис. 298), заданной линией ската AM и точкой B (дана ее горизонт. проекция).

317. Пересечь две скрещивающиеся прямые AB и CD прямой KM , перпендикулярной к плоскости, заданной треугольником EFG (рис. 299).

318. Косая плоскость задана направляющими AB и CD и плоскостью параллелизма — горизонтально-проецирующей пл. α (дан горизонт. след α'). Построить профильную проекцию линии пересечения косой плоскости профильной плоскостью β (рис. 300).

319. Построить фронт. и горизонт. проекции точки K , принадлежащей поверхности сжатого эллипсоида вращения (дана проекция K''' , точка видима), и натурального вида сечения $A-A$ (рис. 301).

320. Построить проекции сферы, касательной к данной сфере в точке K , расположенной на ее передней стороне (дана фронт. проекция точки). Радиус искомой сферы $R_1 = \frac{2}{3} R$ (рис. 302).

321. Построить проекции прямого кругового конуса, касательного к данному в заданной на его боковой поверхности видимой точке K (дана горизонт. проекция этой точки). Вершина S искомого конуса должна быть на пл. π_1 . Высота и диаметр основания обоих конусов одинаковы (рис. 303).

322. Через точку A (дана ее фронт. проекция), принадлежащую поверхности вращения (рис. 304), провести нормаль к поверхности; отложить на нормали отрезок AK длиной l .

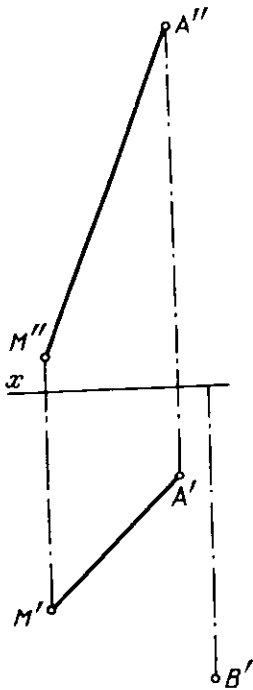


Рис. 298

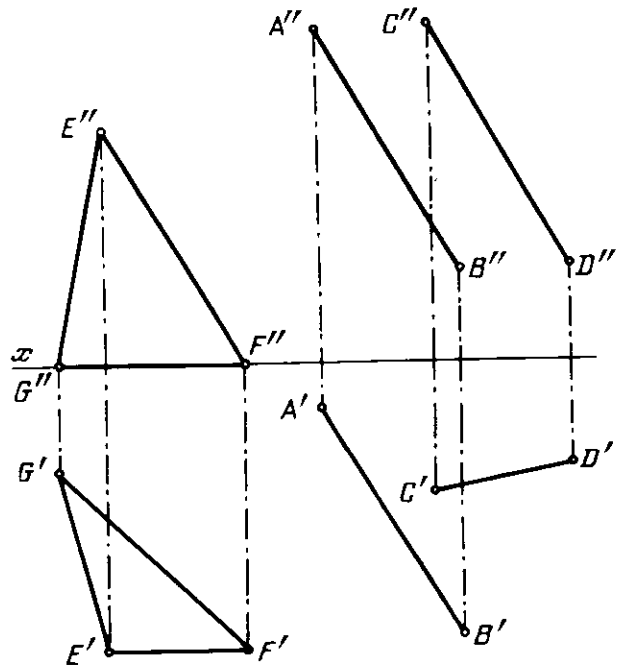


Рис. 299

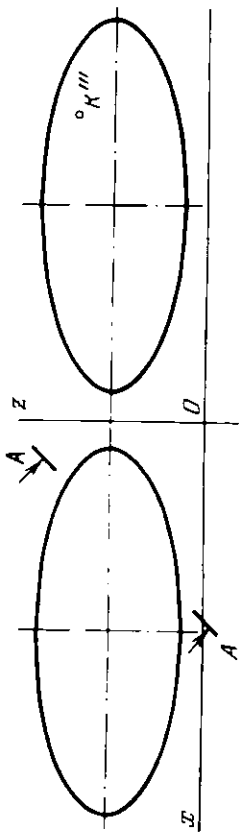


Рис. 301

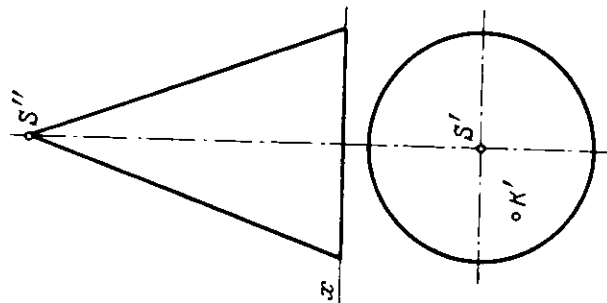


Рис. 303

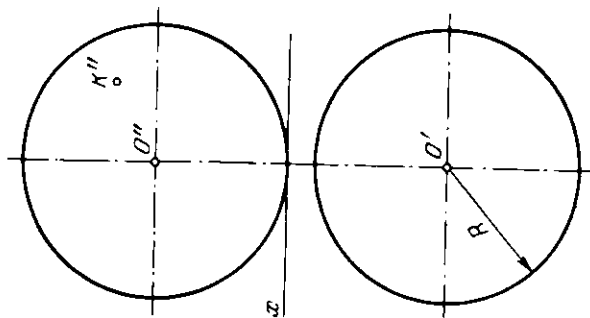


Рис. 302

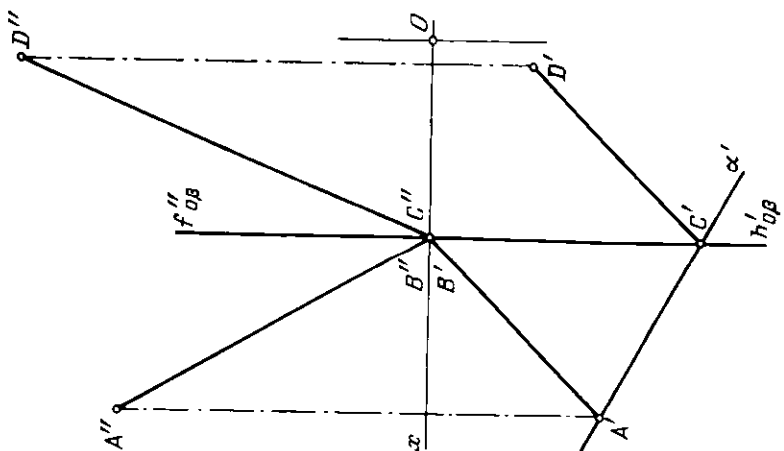


Рис. 300

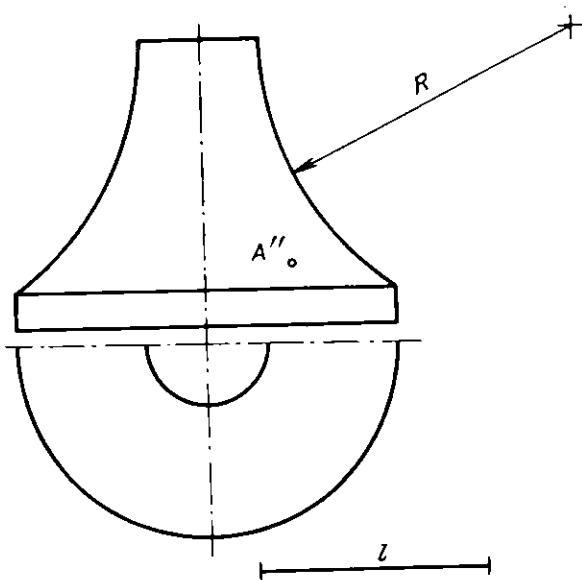


Рис. 304

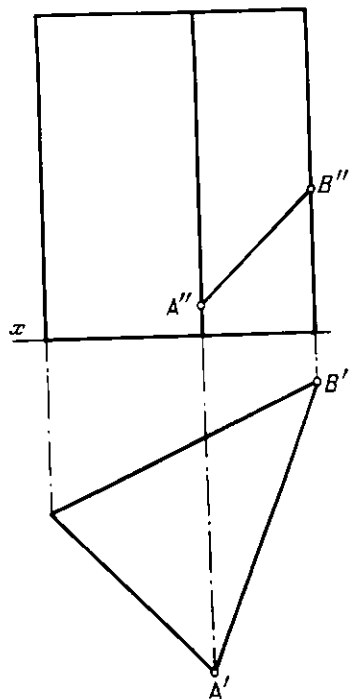


Рис. 305

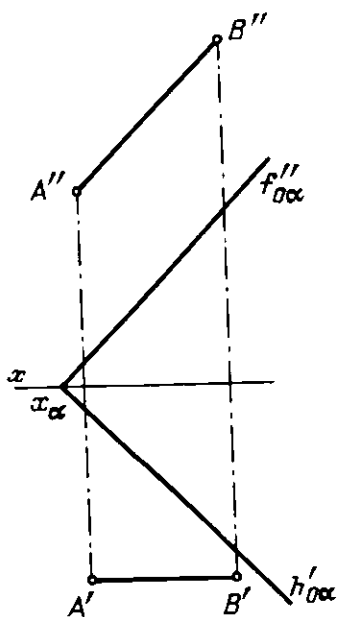


Рис. 306

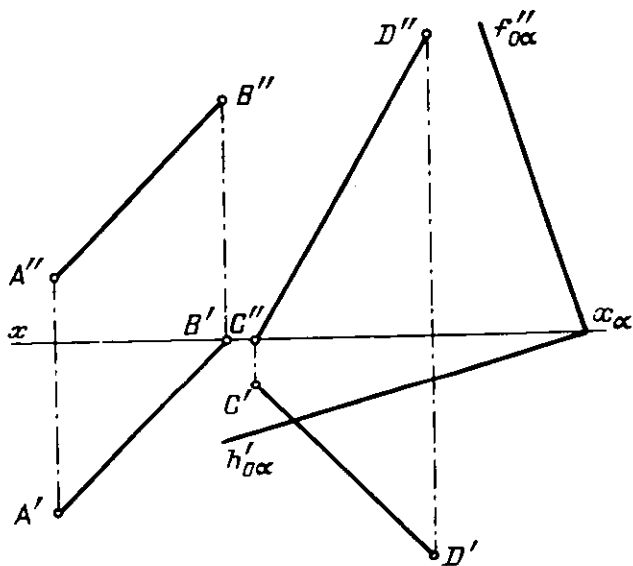


Рис. 307

323. Даны призма и отрезок AB на ее грани. Пересечь призму плоскостью, проходящей через прямую AB , так, чтобы в сечении получился равнобедренный треугольник ABC с основанием AB (рис. 305).

324. Вращением вокруг фронт. следа $f''_{0\alpha}$ ввести прямую AB ($AB \in \text{пл. } \pi_2$) в пл. α (рис. 306).

325. Построить на пл. α геометрическое место точек, равноудаленных от ближайших точек двух скрещивающихся прямых AB и CD (рис. 307).

326. Даны два положения прямой AB , повернутой вокруг некоторой прямой CD . Определить положение этой прямой и величину угла поворота φ (рис. 308).

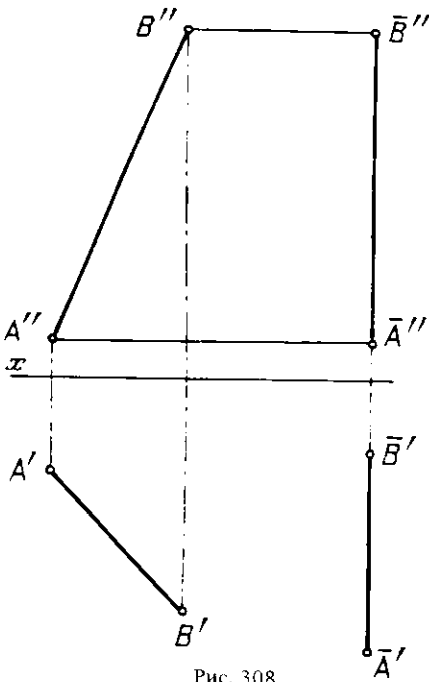


Рис. 308

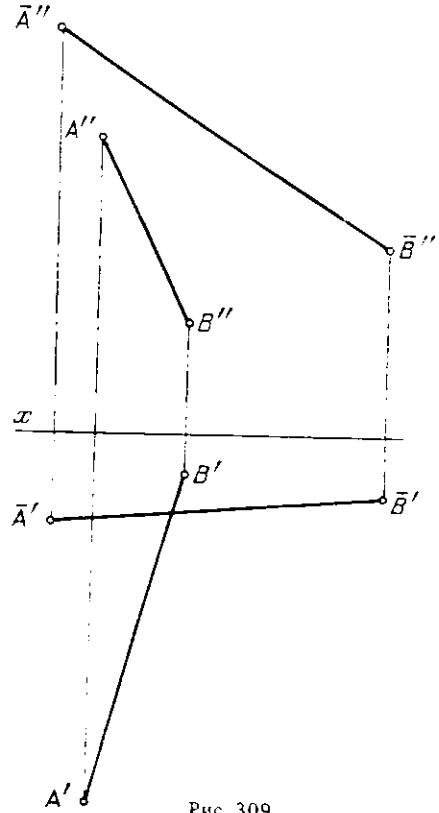


Рис. 309

327. Даны два положения прямой AB , повернутой вокруг некоторой прямой. Построить проекции этой прямой, задав ее горизонт. следом M и произвольной точкой C (рис. 309).

328. Даны прямая AB и точка C . Через точку A провести прямые, пересекающие AB под углом $\varphi = 30^\circ$ и отстоящие от точки C на расстоянии l . Дать все решения (рис. 310).

329. Даны прямые EF и MN ($MN \parallel \text{пл. } \pi_1$), пересекающиеся в точке K . Построить точки, удаленные от точки K на расстояние l_3 , от прямой EF — на l_2 и от прямой MN — на l_1 (рис. 311). Построить все точки, отвечающие условию.

330. Даны точка A и прямая BC . Через точку A провести прямые, отстоящие от BC на расстоянии l и составляющие с ней угол $\varphi = 45^\circ$. Из всех решений дать те, в которых прямые, проходящие через точку A , приближаются к точке C , а не к B (рис. 312).

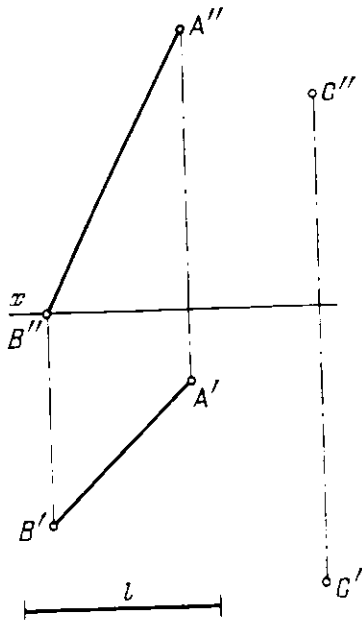


Рис. 310

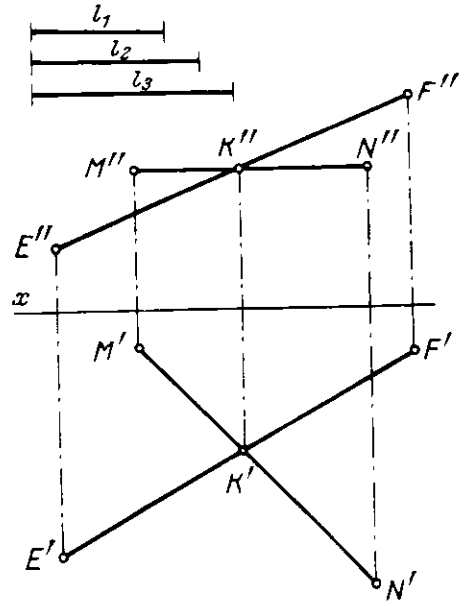


Рис. 311

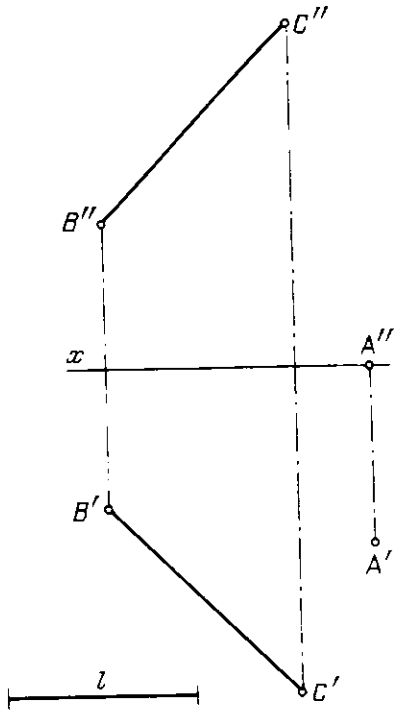


Рис. 312

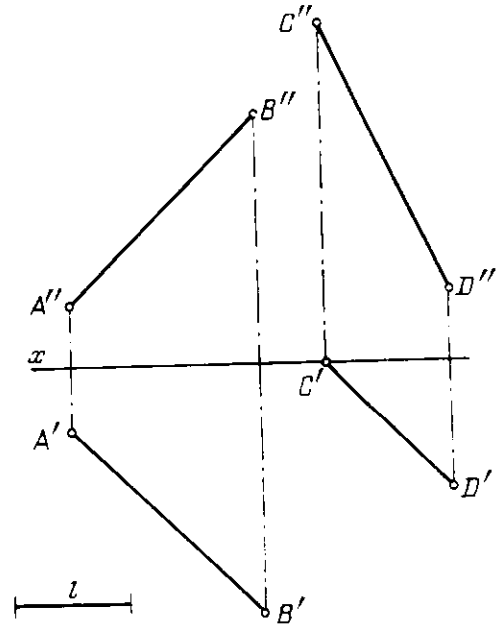


Рис. 313

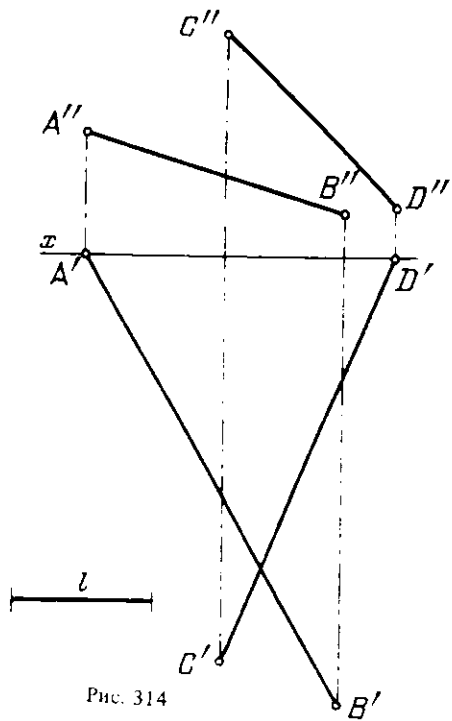


Рис. 314

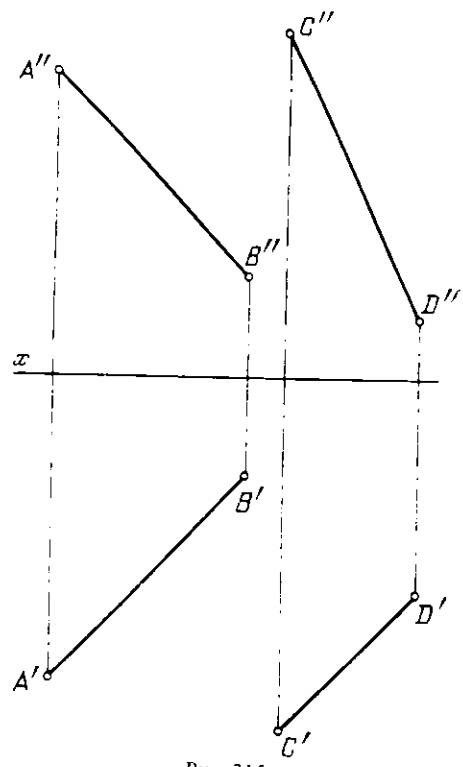


Рис. 315

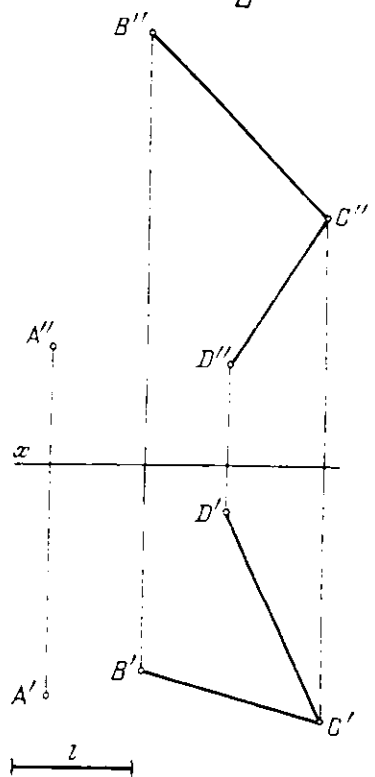


Рис. 316

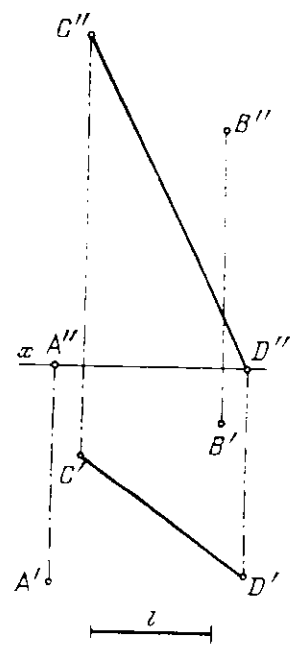


Рис. 317

331. Даны две скрещивающиеся прямые AB и CD . Через точку A провести прямые, пересекающие прямую AB под углом $\varphi = 30^\circ$ и отстоящие от прямой CD на расстоянии l . Дать все решения (рис. 313).

332. Даны две скрещивающиеся прямые AB и CD . Провести прямые, пересекающие AB , параллельные CD и отстоящие от последней на расстоянии l (рис. 314).

333. Даны две скрещивающиеся прямые AB и CD . Провести прямую EF , их пересекающую и образующую с прямой AB угол $\varphi = 46^\circ$ и с прямой CD угол $\psi = 53^\circ$. Дать решение, в котором прямая EF пересекает заданные в пределах первой четверти (рис. 315).

334. Построить геометрическое место точек, удаленных от точки A на расстоянии l и равноудаленных от сторон угла BCD (рис. 316).

335. Даны две точки A и B и прямая CD . Через точку A провести прямые, пересекающие прямую CD и отстоящие от точки B на расстоянии l . Дать все решения (рис. 317).

§ 26. Изображение плоских фигур

336*. Построить изометрическую проекцию треугольника ABC (рис. 318, а).

Решение. Строим изометрические проекции вершин A , B и C по их координатам. На оси x заданного чертежа (рис. 318, а) отметим точку O — начало координат. Величина отрезка OA_x дает нам абсциссу точки A , величина отрезка A_xA' — ординату, величина отрезка A_xA'' — аппликату. Теперь можно перейти к системе изометрических осей (рис. 318, б) и 1) отложить на оси x отрезок $O_xA_{x\alpha}$, взяв его с рис. 318, а; 2) провести через $A_{x\alpha}$ прямую, параллельную оси y ; 3) отложить на этой прямой отрезок $A_{x\alpha}A'_{\alpha}$, взяв его равным отрезку A_xA' на

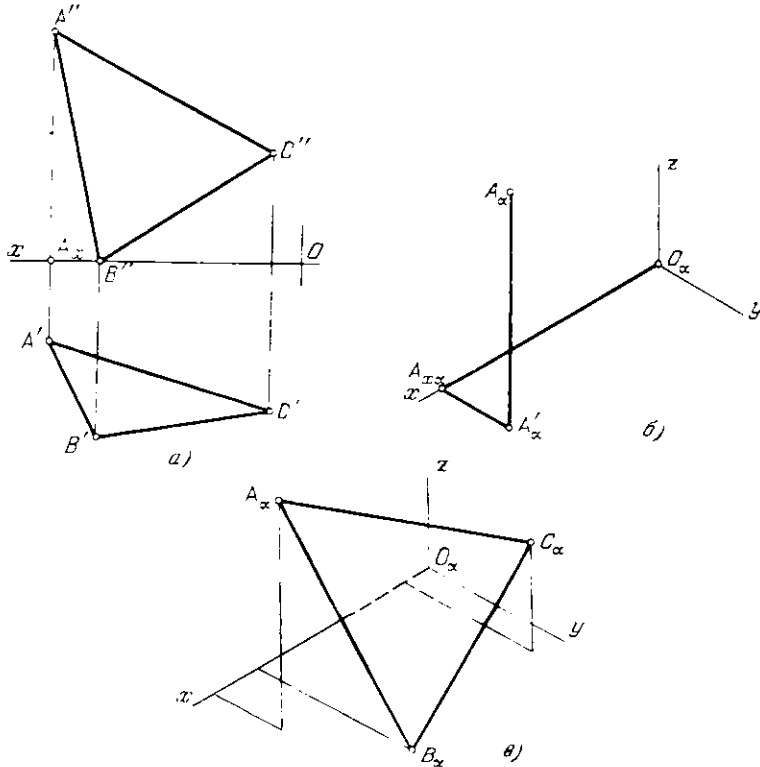


Рис. 318 а-в

рис. 318, а; 4) провести прямую $A'_\alpha A_\alpha$ параллельно оси z и отложить на ней отрезок $A'_\alpha A_\alpha$, равный $A_x A''$ на рис. 318, а. Получаем изометрическую проекцию вершины A . Построив аналогично проекции вершин B и C , получим (рис. 318, в) изометрическую проекцию треугольника ABC .

337*. Определить координаты точки K , лежащей в плоскости треугольника ABC , заданного его диметрической проекцией и вторичными проекциями вершин на плоскости $xO_\alpha y'$ (рис. 319, а).

Решение. Если точка K принадлежит плоскости треугольника ABC , то она лежит на какой-то прямой (например AD) в этой плоскости (рис. 319, б).

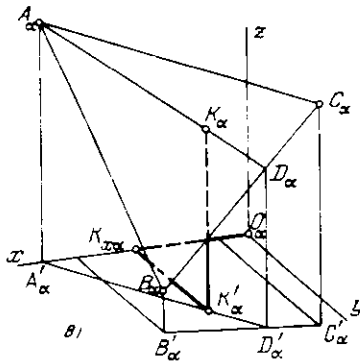
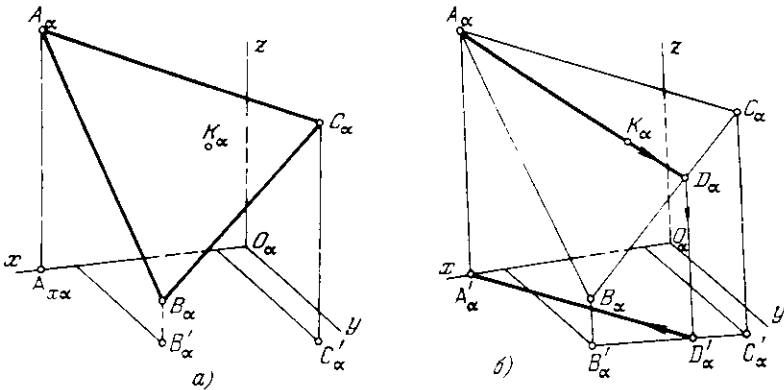


Рис. 319 а-в

Построив на пл. $xO_\alpha y'$ вторичную проекцию D'_α точки D и вторичную проекцию $A'_\alpha D'_\alpha$ прямой AD , находим (рис. 319, в) вторичную проекцию K'_α точки K . Теперь можно найти координаты точки K , выраженные отрезками $O_\alpha K_{x\alpha}$ (абсцисса), $2K'_\alpha K_{y\alpha}$ (ордината), $K'_\alpha K_\alpha$ (ап-пликата). Коэффициент 2 при отрезке $K'_\alpha K_{y\alpha}$ взят в связи с сокращением вдвое отрезков, параллельных оси $O_\alpha y'$ при построении диметрической проекции.

338*. Построить изометрическую и диметрическую проекции окружности радиуса R , расположенной в плоскости, заданной треугольником ABE (рис. 320, а). Центр окружности — в точке C .

Решение. Окружность, которую надо изобразить в изо- и диметрической проекциях, расположена в плоскости общего положения. Поэтому мы не можем применить здесь известные правила о том, что большая ось эллипса, изображающего окружность в изо- или диметрической проекции, перпендикулярна к так называемой свободной оси, что малая ось эллипса в изо-

метрической проекции равна $0,7d$, где d – диаметр изображаемой окружности, и т.д. Эти правила справедливы для случаев, когда изображаются окружности, расположенные во фронтальных, горизонтальных и профильных плоскостях. Для данного же случая справедливым остается лишь то, что большая ось эллипса в изометрической проекции равна $1,22d$, а в диметрической – $1,06d$. Но положение этой оси надо найти, и оно, естественно, меняется в зависимости от положения плоскости, в которой расположена изображаемая окружность.

Помня об этом, мы воспользуемся известным из курса способом построения, пригодным для любого положения окружности. По этому способу мы прежде всего должны построить на данном чертеже перпендикуляр к плоскости, в которой расположена окружность. Построенный

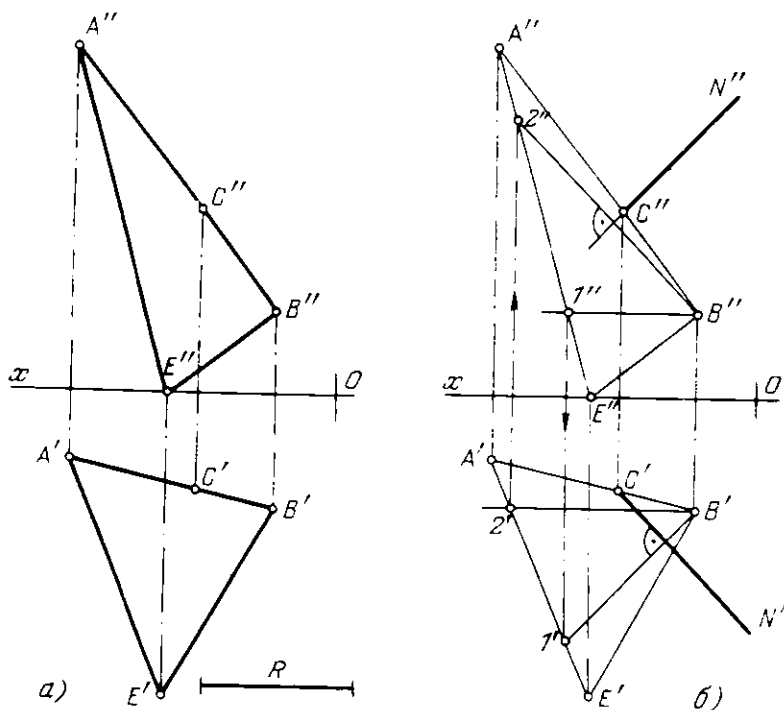


Рис. 320 а, б

затем в изо- или диметрической проекции этот перпендикуляр даст направление малой оси эллипса. Построение такого перпендикуляра с проведением его из центра окружности показано на рис. 320, б. Далее, на этом перпендикуляре надо отложить отрезок CD , равный радиусу R окружности. Это показано на рис. 320, в. Если теперь построить изометрическую (рис. 320, г) и диметрическую (рис. 320, е) проекции отрезка CD , то получим направление малой оси эллипса и центр изображаемой окружности.

Проведя (рис. 320, д) в точке C_α перпендикуляр к $C_\alpha D_\alpha$, мы получаем направление большой оси эллипса, а отложив на нем по $1,22R$ в обе стороны от C_α , получаем большую ось эллипса – отрезок $K_1 K_2$.

Чтобы определить величину малой оси эллипса, поступаем так: из точки D_α проводим дугу радиуса $1,22R$, засекая ею направление большой оси. Полученный при этом отрезок $C_\alpha M$ и выражает малую полуось.

Следовательно, мы получаем обе оси эллипса по положению и размеру. Точки для очерчивания эллипса могут быть получены известным построением эллипса по его большой и малой осям (см. рис. 320, д).

Аналогично поступаем и для построения диметрической проекции (рис. 320, ж). Различие лишь в размере радиуса ($1,06R$ вместо $1,22R$) дуги, проводимой из точки D_α ; и в размере большой оси эллипса. Малая же ось эллипса получается построением, и, конечно, величина ее

изменяется в зависимости от угла между плоскостью, в которой расположена изображаемая окружность, и плоскостью диметрической (или изометрической) проекции, как это излагается в курсе.

339*. Построить изометрическую и диметрическую проекции окружности радиуса R , расположенной в некоторой горизонтально-проецирующей плоскости (рис. 321, а).

Решение. В задаче 338 мы имели дело с окружностью, расположенной в плоскости общего положения. Очевидно, тот общий способ, который мы применили в той задаче, пригоден и в данном случае. Но построение упрощается, так как упрощается проведение перпендикуляра к плоскости, в которой расположена окружность, и откладывание на нем размера R . Для изометрической проекции построения показаны на рис. 321, б, в, г. На рис. 321, б проведен перпендикуляр $C'D'$, $C'D' = R$ и взята точка O — начало координат. На рис. 321, в отрезок $C_\alpha D_\alpha$ построен в изометрической проекции по координатам, взятым с рис. 321, б. Полученный в изометрической проекции отрезок $C_\alpha D_\alpha$ дает направление малой оси эллипса и положение его центра (точка C_α).

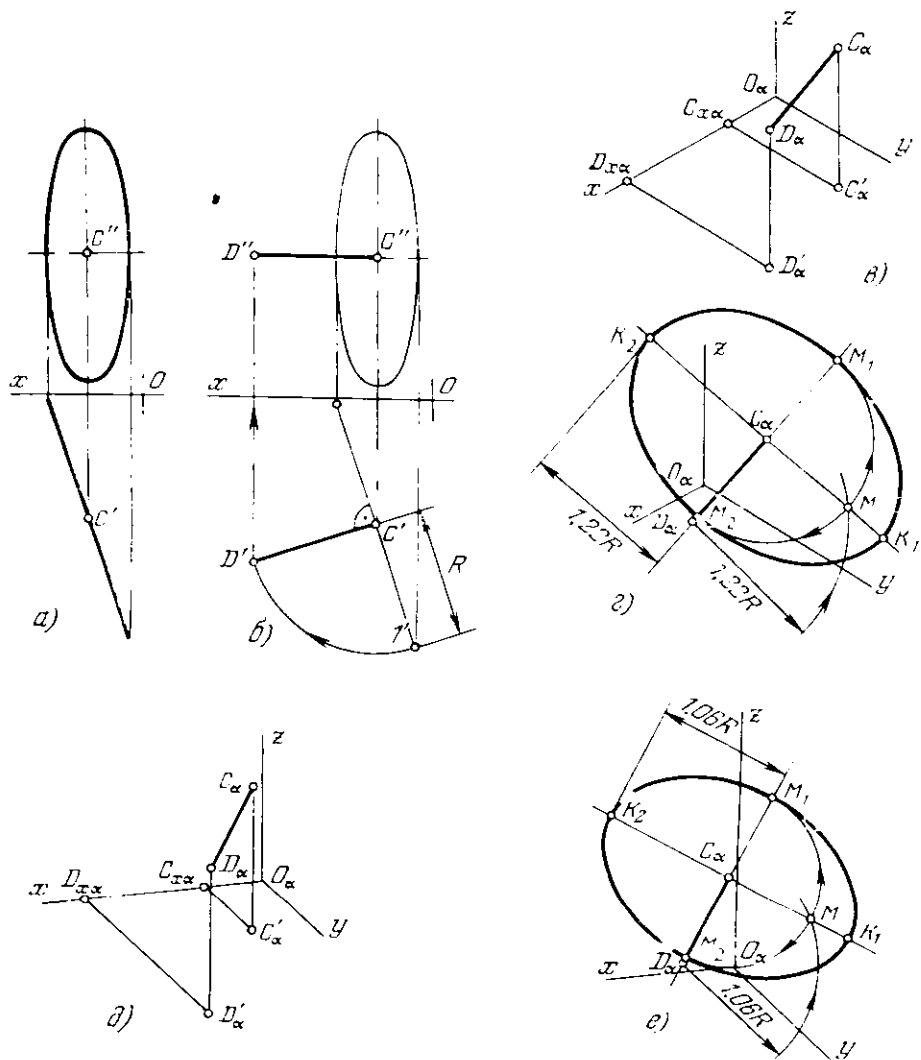


Рис. 321 а е

На рис. 321, z через точку C_α перпендикулярно к $C_\alpha D_\alpha$ проведена большая ось эллипса, равная $1,22d$, где $d = 2R$ – диаметр изображаемой окружности, и определена величина малой полуоси эллипса, а также изображен сам эллипс.

Такие же построения выполнены и для диметрической проекции (рис. 321, d и e).

§ 27. Изображение тел

340*. Определить координаты точки A , лежащей на поверхности: цилиндра (рис. 322, a), конуса при наличии вершины (рис. 322, b), усеченного конуса (рис. 322, $в$), сферы (рис. 322, $з$), заданных в изометрической проекции.

Решение. Через заданную на поверхности цилиндра (рис. 322, a) точку A проведена образующая (\parallel оси z) и найдена на плоскости xOy вторичная проекция A' точки A . Из A' проведена прямая параллельно оси y до пересечения с осью x в точке A_x .

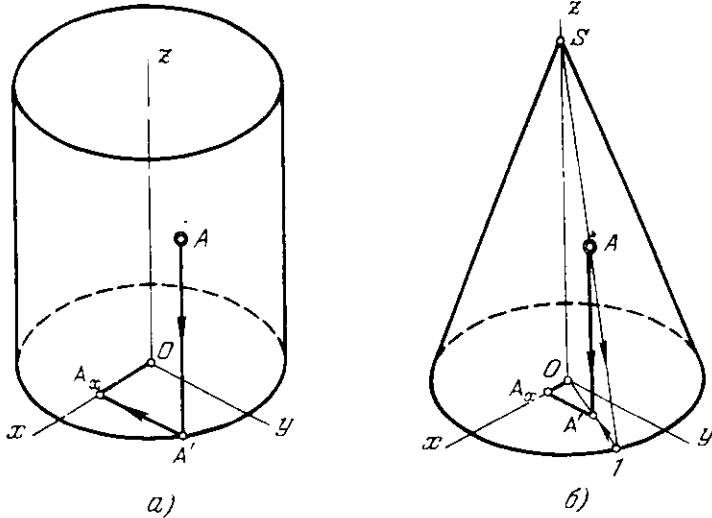


Рис. 322 а, б

Апликата точки A определяется величиной отрезка AA' , а абсцисса и ордината – соответственно величинами отрезков OA_x и A_xA' .

На рис. 322, b через точку A также проведена образующая ($S - I$) и построена ее вторичная (на пл. xOy) проекция $O - I$. Теперь на $O - I$ может быть найдена точка $A' - I$ – вторичная проекция точки A . Величины отрезков AA' , OA_x и A_xA' определяют соответственно координаты z , x и y точки A .

Если точка задана на поверхности усеченного конуса и по условию нельзя получить на чертеже его вершину, то поступаем следующим образом.

Рассмотрим сначала сечение конуса плоскостью, проходящей через точку A и ось конуса (рис. 322, $г$). Проведя прямые AO и $SC \parallel I - 2$, получаем $\frac{OK}{KA} = \frac{OC}{C - 2}$. Это соотношение

сохранится и в изометрической проекции. Поэтому (рис. 322, $д$) проводим прямую OA и строим конус с вершиной S и образующей, параллельной образующей усеченного конуса; получаем, сравнивая рис. 322, $г$ с рис. 322, $е$, $\frac{O - 3}{3 - 4} = \frac{OC}{C - 2}$. Теперь делим OA в отношении $\frac{O - 3}{3 - 4}$.

Через полученную точку K проводим образующую SC внутреннего конуса и полурадиус $O - 2$ эллипса, где точки C и 2 соответствуют точкам C и 2 на рис. 322, $г$. После этого мы имеем возможность спроецировать точку A на плоскость xOy (рис. 322, $ж$) и получить координатные отрезки AA' , $A'A_x$, A_xO .

Для определения координат точки A , лежащей на поверхности сферы (рис. 322, $з$), следует построить (рис. 322, $и$) дополнительные проекции сферы и координатных осей на плос-

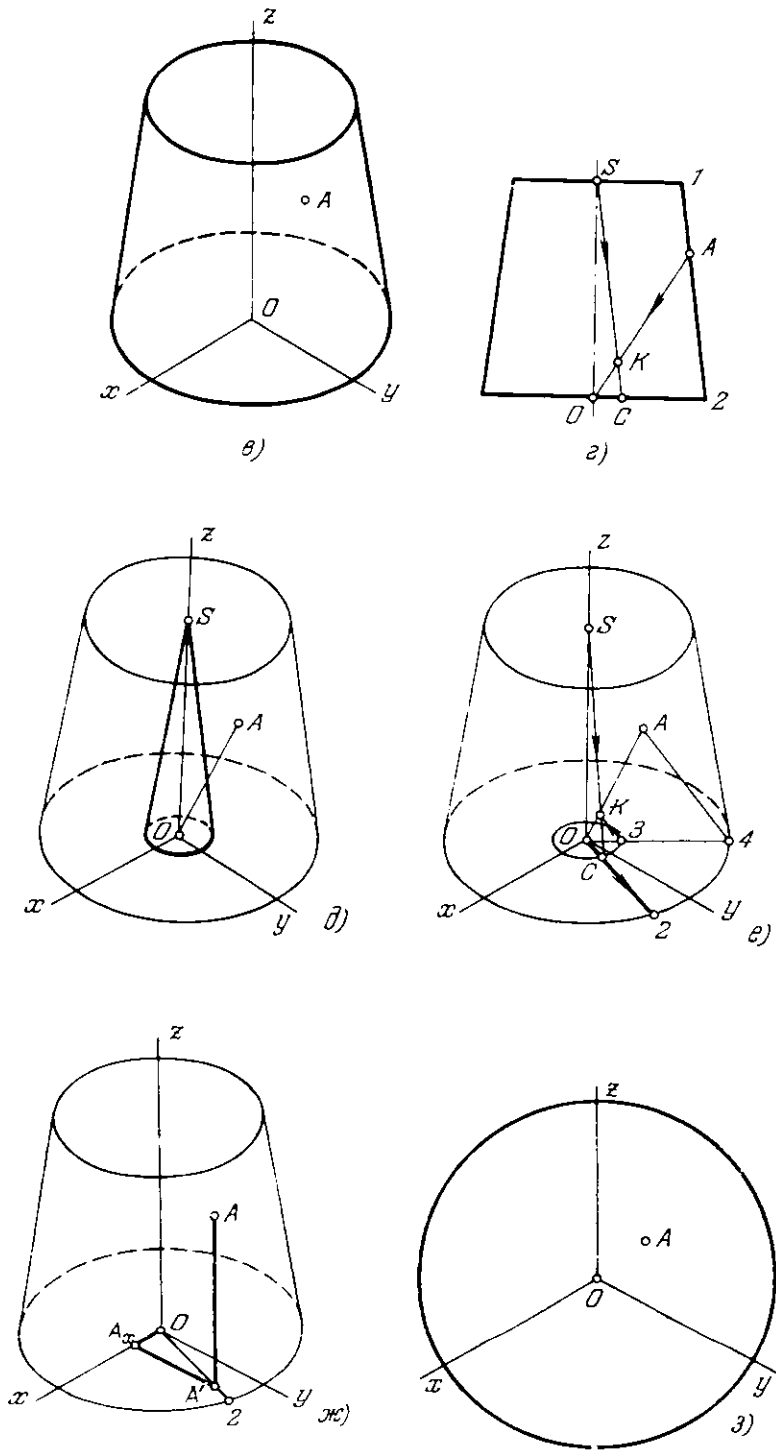


Рис 322 в -з

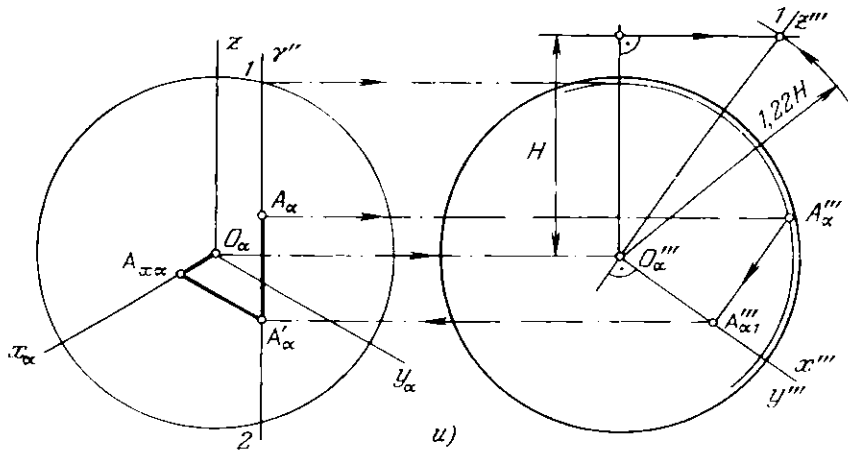


Рис. 322 и

кости, перпендикулярной к пл. изометрических проекций (картинной пл.) и параллельной оси z . Это как бы профильная проекция, если считать, что изометрическая проекция служит фронт-проекцией. Пл. γ , проходящая через точку A , пересекает сферу по окружности диаметра $1 \dots 2$. Строим проекцию этой окружности и находим на ней проекцию данной точки A_α'' . По A_α'' находим точку $A_{\alpha\alpha}'''$, которая является профильной проекцией вторичной проекции A'_α точки A .

Теперь можно изобразить отрезки AA' , $A'A_x$, A_xO . Величина этих отрезков позволяет определить координаты точки A относительно центра O .

341*. Построить диметрическую проекцию шайбы по чертежу рис. 323, а.

Решение. Прежде всего, рассмотрев чертеж на рис. 323, а, устанавливаем, что данная шайба представляет собою тело вращения, боковая поверхность которого состоит из цилиндрической части с диаметром D и высотой h и из поверхности тора, образованной вращением дуги окружности радиуса R вокруг оси z причем центр этой дуги описывает окружность диаметра d_1 . В шайбе имеется цилиндрическое отверстие диаметра d_2 . Сверху и снизу шайба ограничена плоскостями.

Обращаясь к построению диметрической проекции, прежде всего представим себе, что в поверхность тора, ограничивающую частично шайбу, вписаны сферы радиуса R , центры которых располагаются на окружности диаметра d_1 .

Очерковая линия диметрической проекции построена с помощью сфер, вписанных в ту часть поверхности шайбы, которая представляет собою поверхность тора, образованную вращением дуги окружности радиуса R вокруг оси z (рис. 323, а). Центры сфер, вписываемых в эту поверхность, располагаются на окружности диаметра d_1 с центром в точке O_1 на расстоянии h от опорной плоскости шайбы. На рис. 323, б показан эллипс - диметрическая проекция этой окружности. Взяв на нем ряд точек (рис. 323, в), проводим из них окружности радиуса $1,06 R$.

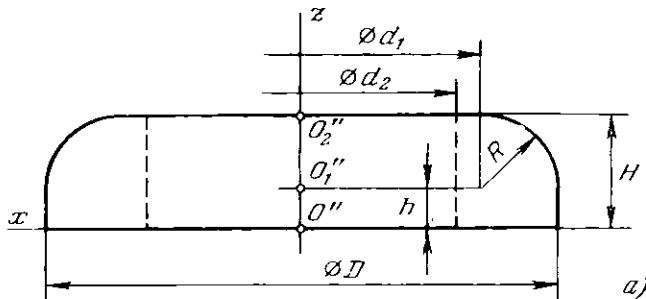


Рис. 323а

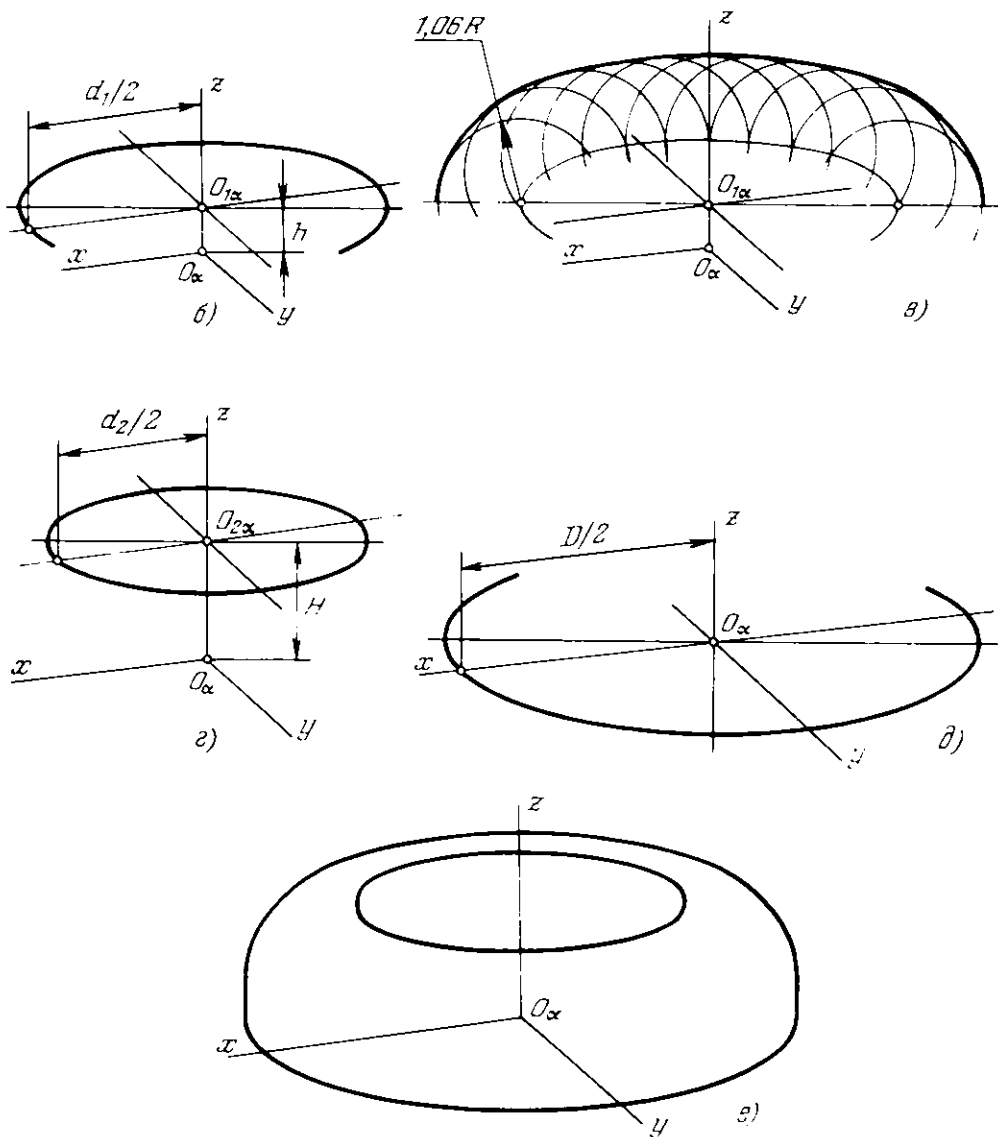


Рис. 323 б-е

представляющие собой очерки симметрических проекции шаров радиуса R . Очерковая линия проекции поверхности тора является огибающей семейства окружностей.

Затем строим эллипс — проекцию верхней кромки отверстия диаметра d_2 с центром в точке O_2 (рис. 323, б) и часть эллипса (рис. 323, в) с центром в точке O , представляющего собой проекцию окружности основания цилиндрической части шайбы. Из концов большой оси этого эллипса проводим прямые линии (рис. 323, г) — очерковые линии проекции цилиндрической части шайбы. Эти прямые касаются построенного ранее очерка поверхности тора. Если представить, что из данной шайбы "вырезана" часть плоскостями xO_2z и yO_2z , то получится более наглядное изображение шайбы. Но при этом меняется порядок построения (см. далее задачу 344).

342*. Построить изометрическую проекцию тела вращения, изображенного на рис. 324, а.

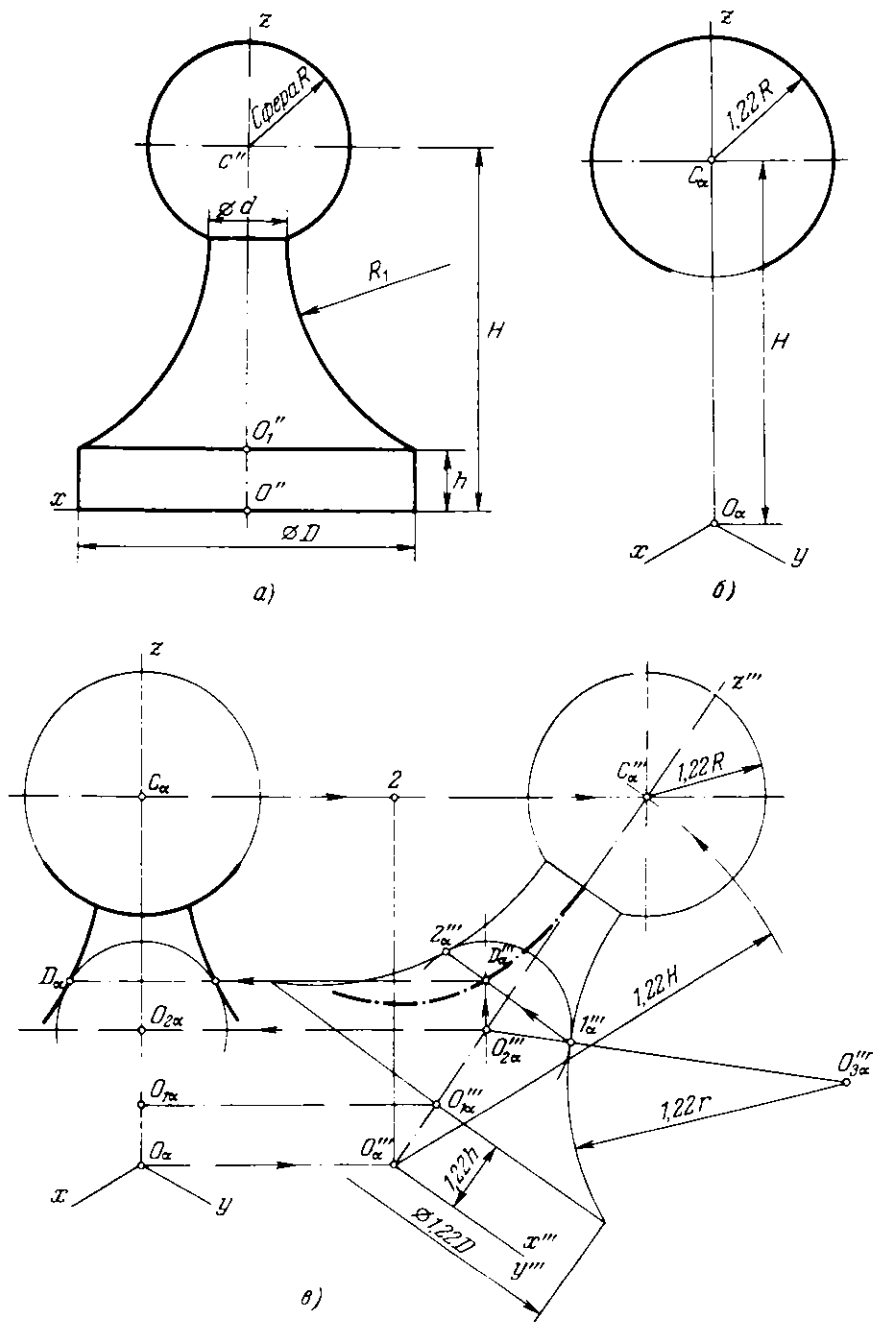


Рис. 324 а в

Решение. Данное тело вращения ограничено комбинированной поверхностью, состоящей из плоскости, цилиндра вращения, поверхности тора и сферы.

Выполняем построение в следующем порядке:

1. Приняв точку O_α (рис. 324, б) в качестве начала координат, откладываем по оси z отрезок, равный H , и проводим из точки C как из центра окружность радиуса $1,22R$. Так изобразится в изометрической проекции сфера радиуса R .

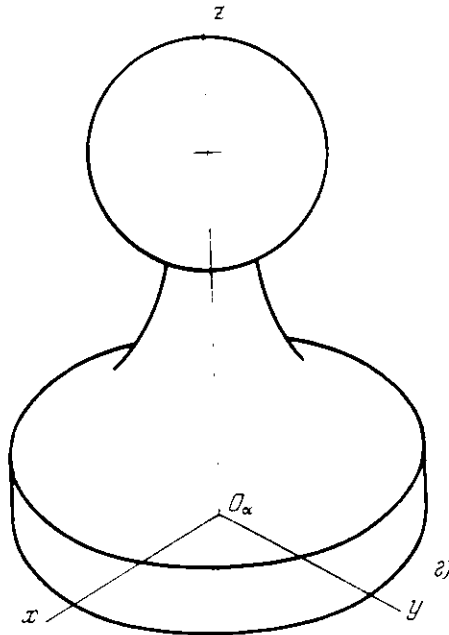


Рис. 324 г

2. Чтобы построить очерк поверхности тора в изометрической проекции, изображаем верхнюю часть данного тела в наклонном положении (рис. 324, в), причем наклон оси тела

определяется отношением $\frac{C_{\alpha}''' 2}{O_{\alpha}''' 2} = \sqrt{\frac{2}{3}}$, что соответствует значению коэффициента искажения по осям x, y, z в изометрической проекции. Теперь выполняем построение, как в задаче 242, что дает нам возможность к изображению сферы в изометрической проекции добавить видимое очертание поверхности тора.

3. Далее строим (рис. 324, г) изометрическую проекцию цилиндра, находящегося в основании данного тела. Здесь применимо правило, по которому большая ось эллипса, изображающего в изометрической проекции окружность, перпендикулярна к "свободной" оси, каковой служит ось z . Большая ось эллипса принимается равной $1,22 D$, малая ось $= 0,7 D$.

343*. Построить изометрическую проекцию тела, изображенного на рис. 325. а.

Решение. Прежде всего устанавливаем, что данное тело состоит из шестигранной правильной призмы и половины сферы, срезанной тремя плоскостями. Подготавливаем размеры элементов тела, необходимые для построения изометрической проекции (рис. 325. б).

Приступаем к построению изометрической проекции.

1. Приняв за начало координат точку O (рис. 325. б и в), строим дугу радиуса R_2 с центром O_2 , расположенную на расстоянии h_2 от начала координат.

2. Далее (рис. 325, г), строим дугу радиуса R_3 с центром O_3 , имеющим координаты $x = h_3$, $y = 0$ и $z = h_1$, и проводим прямую 3-4 параллельно оси y .

3. По координатам точек C и D строим отрезок CD (рис. 325. д) и проводим перпендикулярно к нему прямую через точку C . Откладываем отрезки $CK_1 = CK_2 = 1,22 R_C$ и получаем отрезок $K_1 K_2$ — большую ось эллипса, в которой проецируется окружность радиуса R_C с центром C (см. рис. 325. б). Малую ось $M_1 M_2$ получаем, сделав из точки D как из центра засечки на большой оси эллипса дугой радиуса $1,22 R_C$ и отложив отрезок $CM = CM_1 = CM_2$ на прямой CD . Проводим прямую 5-6 параллельно оси y .

4. Из центра O_1 , расположенного на оси z на расстоянии h_1 (рис. 325, е) от основания данного тела, проводим окружность радиуса $1,22 R$, представляющую собой очерк изометрической проекции сферы радиуса R . Эта окружность должна касаться всех трех построенных ранее эллипсов.

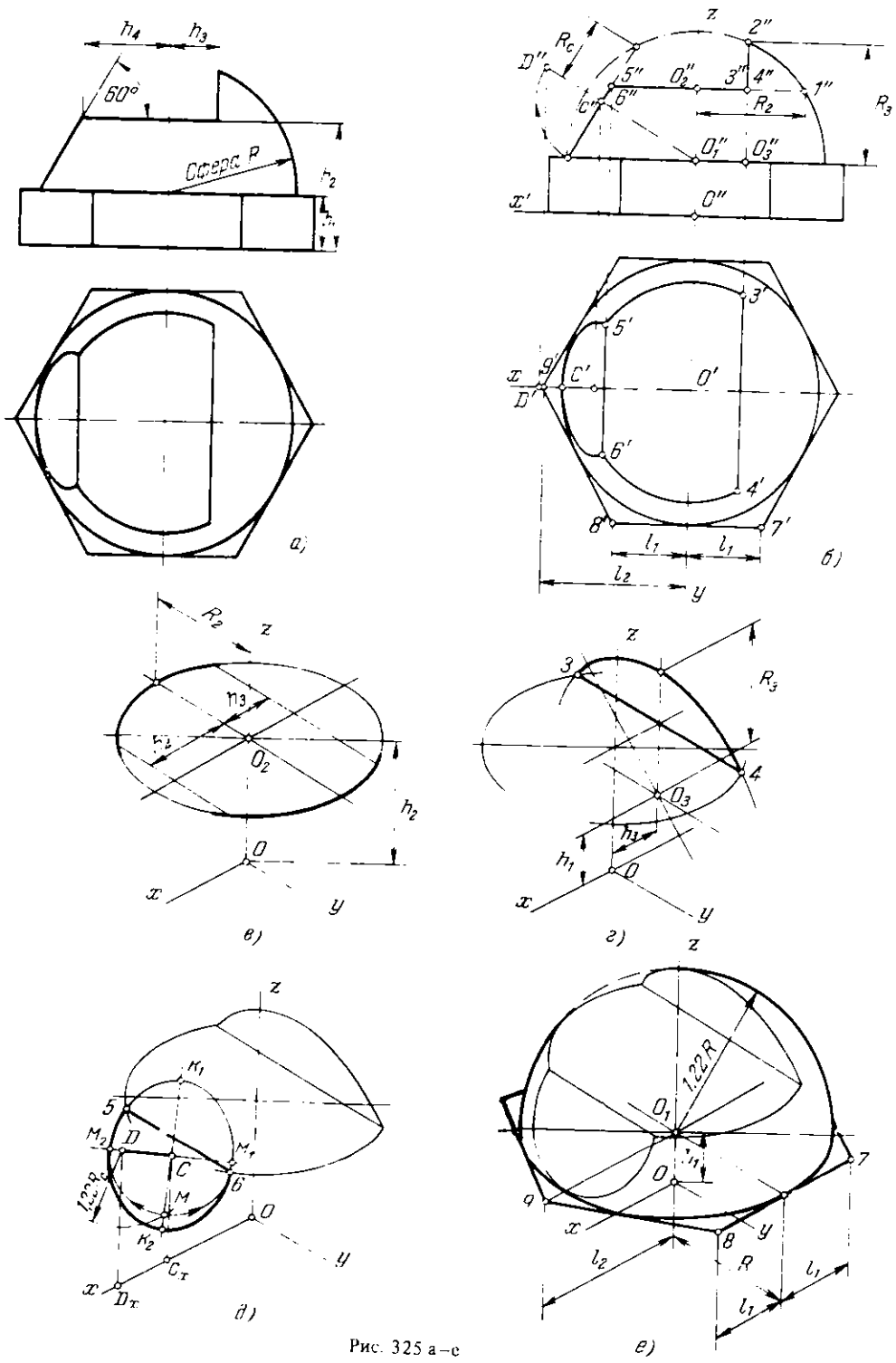


Рис. 325 а-е

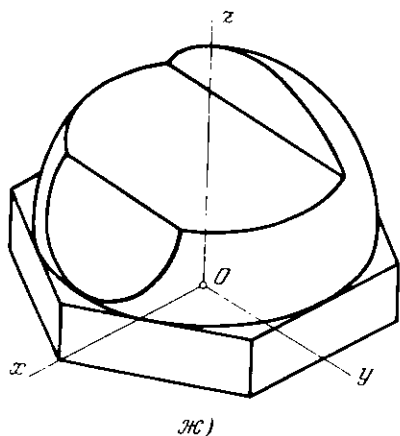


Рис. 325 ж

По координатам точек 9, 8, 7 и им симметричных строим проекции видимых сторон шестиугольника верхнего основания.

5. Добраиваем (рис. 325, ж) проекции видимых участков нижнего шестиугольного основания, зная его высоту h_1 .

344*. Построить диметрическую проекцию детали, изображенной на рис. 326, а.

Решение. Во избежание излишних построений при выполнении изображения детали с отверстием наиболее целесообразно вести построение в следующем порядке:

- 1) Начертить (рис. 326, б) сечения, входящие в состав фронтального и профильного разрезов при секущих плоскостях, совпадающих с плоскостями симметрии детали.
- 2) Начертить грань I верхнего фланца детали (рис. 326, в).

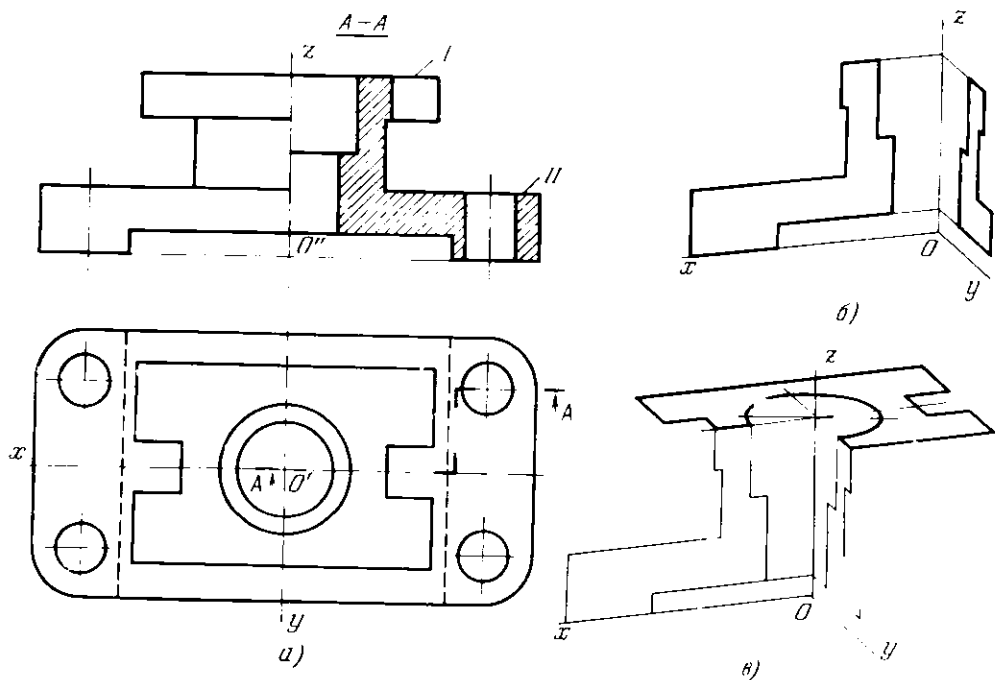


Рис. 326 а в

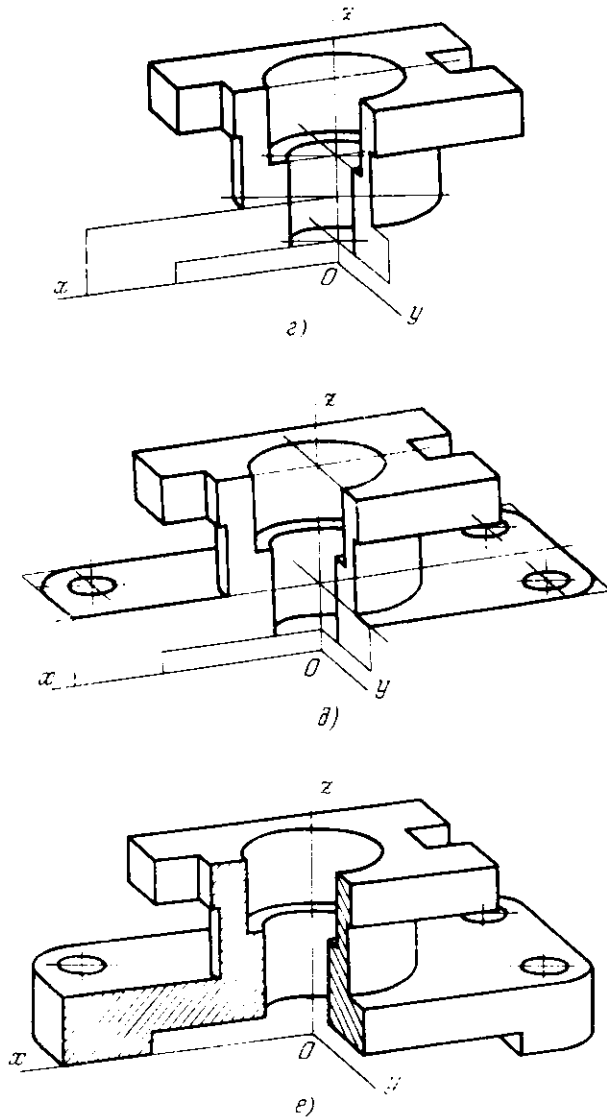


Рис. 326 г-з

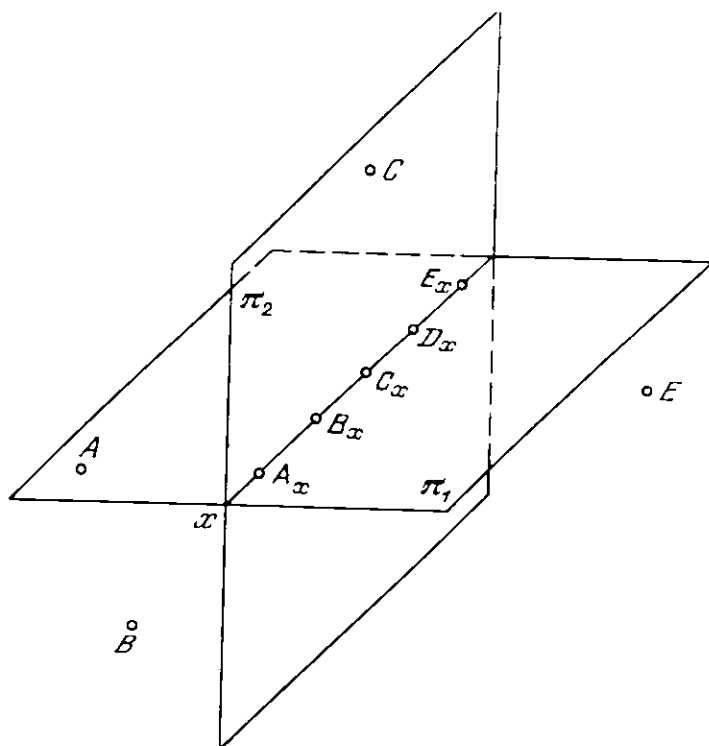
3. Начертить (рис. 326. *з*) все остальные видимые элементы верхнего фланца и цилиндрическую часть детали, а также эллипсы внутренних цилиндров.

4. Начертить грань *II* основания детали и окружности цилиндрических отверстий в этом основании (рис. 326. *д*).

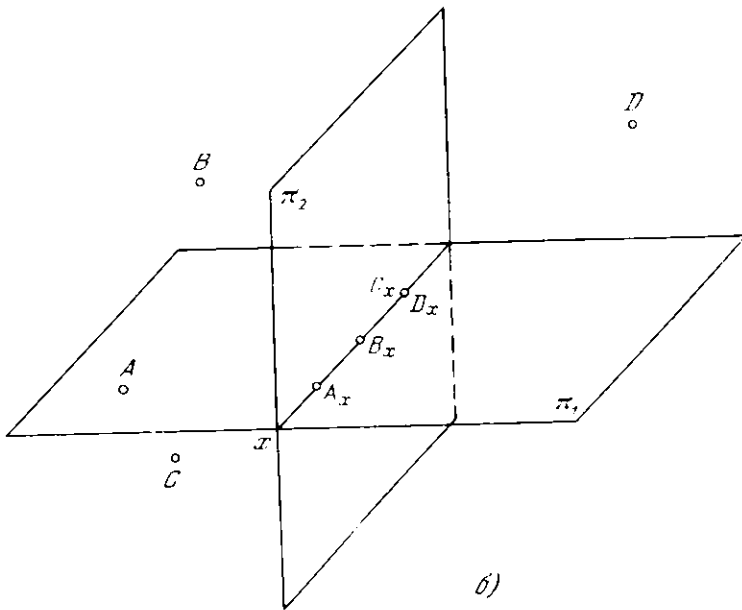
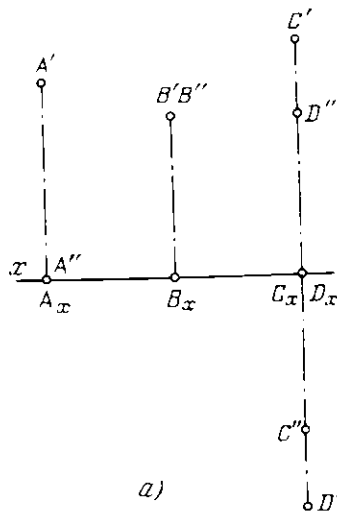
5. Дорисовать оси детали и нанести штриховку сечений (рис. 326. *е*).

ОТВЕТЫ

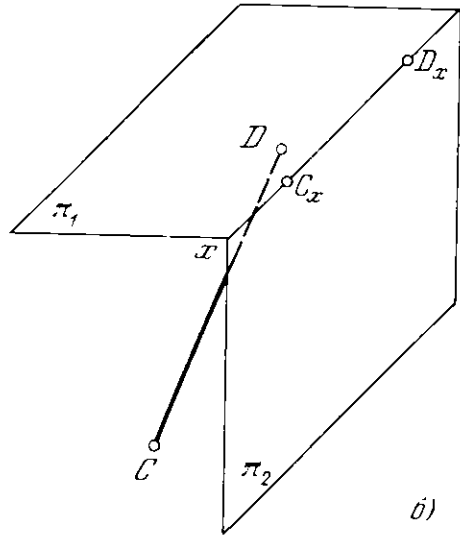
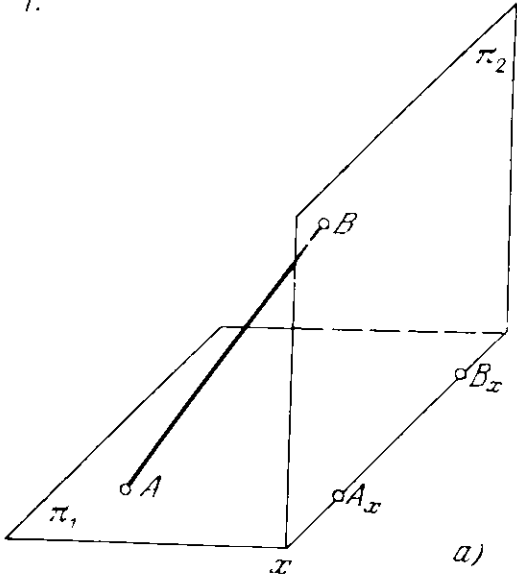
2.



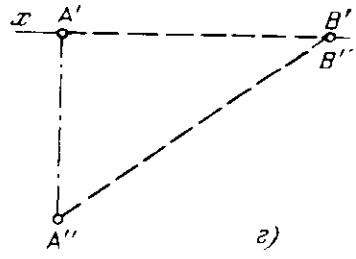
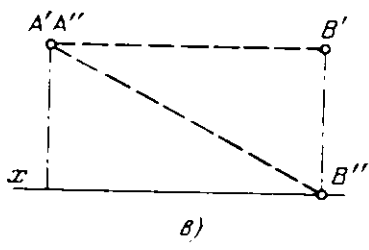
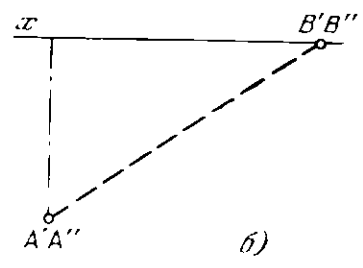
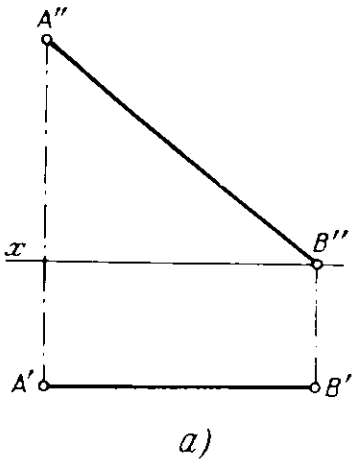
4.

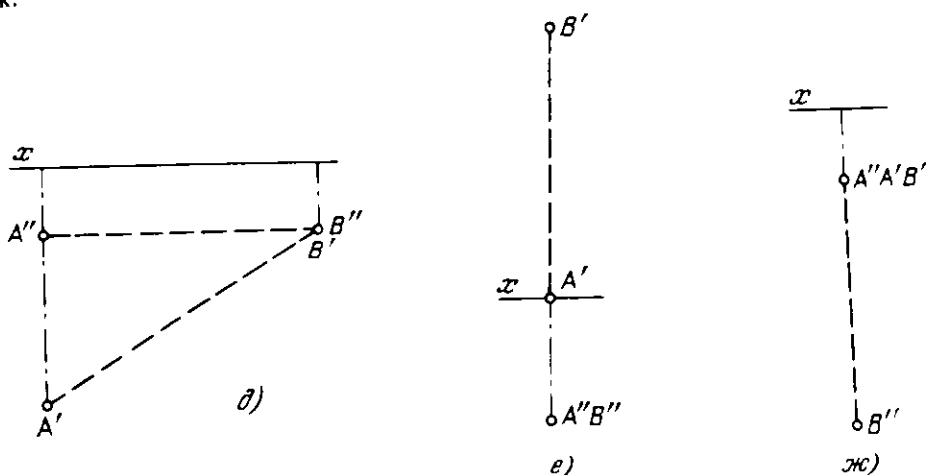


7.



8. a-г.





9. а) CD – отрезок прямой общего положения, находится в первой четверти пространства, концом D упирается в переднюю полу горизонт. пл. проекций. Конец C равноудален от обеих пл. проекций.

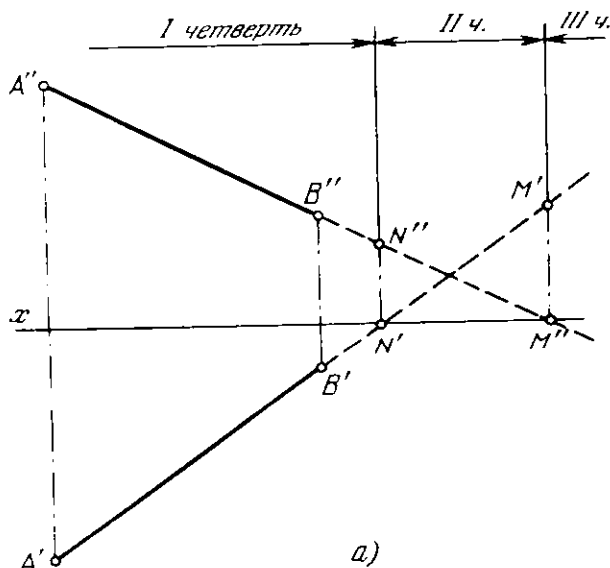
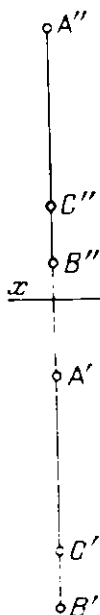
б) отрезок AB расположен в третьей четверти пространства параллельно фронт. пл. проекций. Концом B упирается в заднюю полу горизонт. пл. проекций.

в) Отрезок EF расположен на верхней поле фронт. пл. проекций параллельно оси проекций.

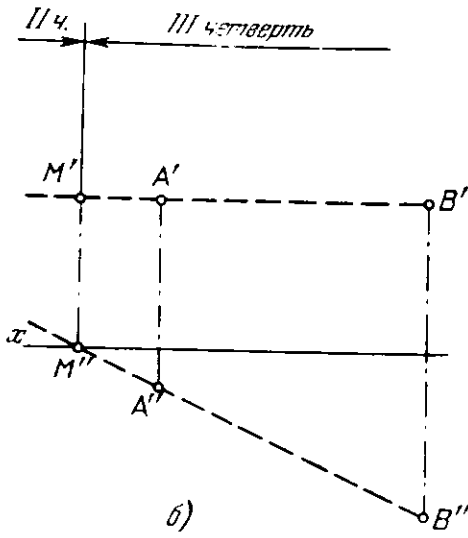
г) Отрезок IK расположен во второй четверти пространства перпендикулярно к фронт. пл. проекций. Конец K равноудален от обеих пл. проекций.

11.

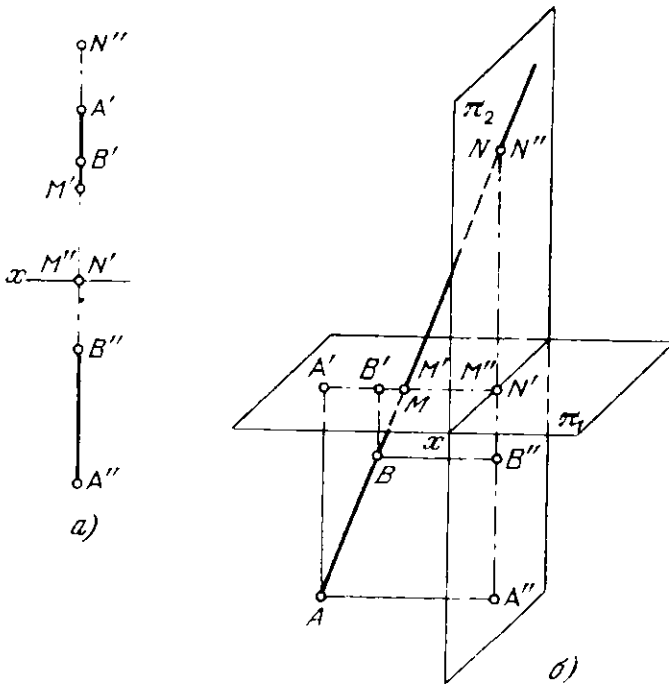
13. а.



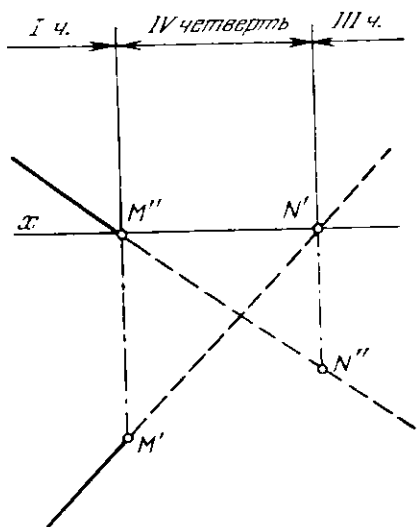
13. б.



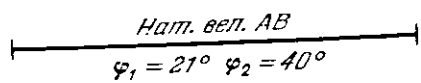
15.



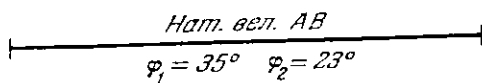
16.



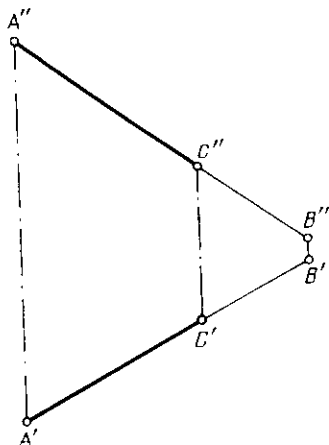
18.



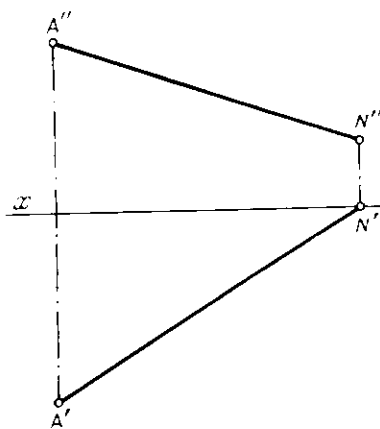
19.



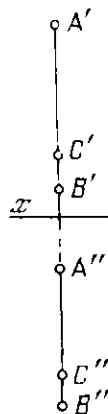
21.



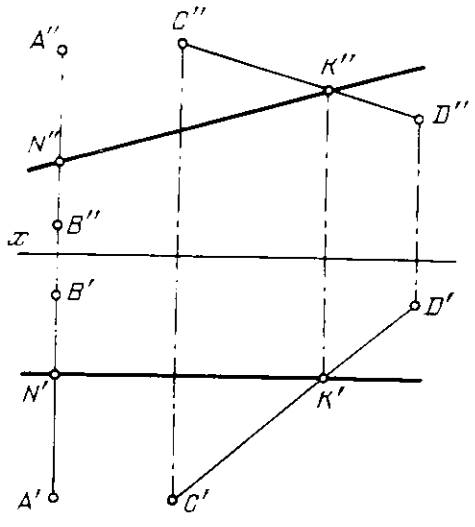
23.



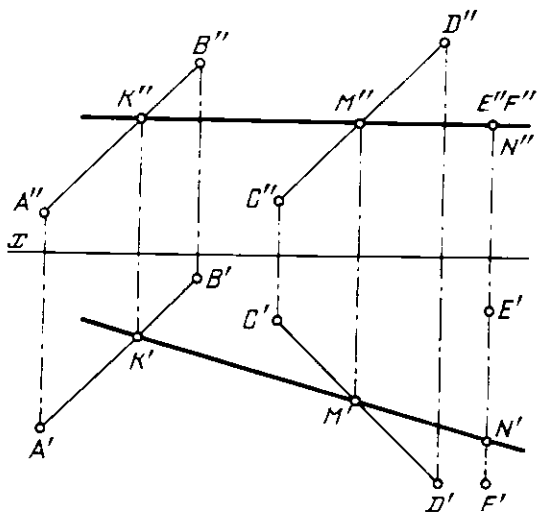
25.



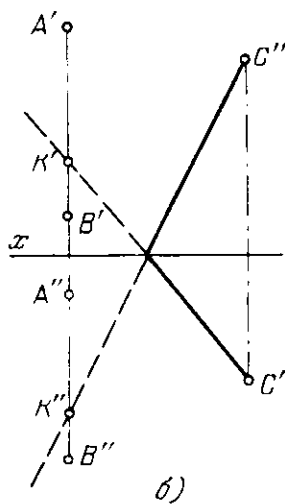
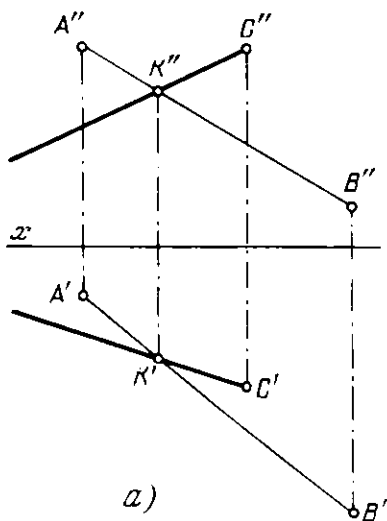
27.



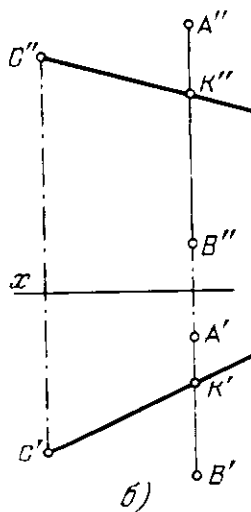
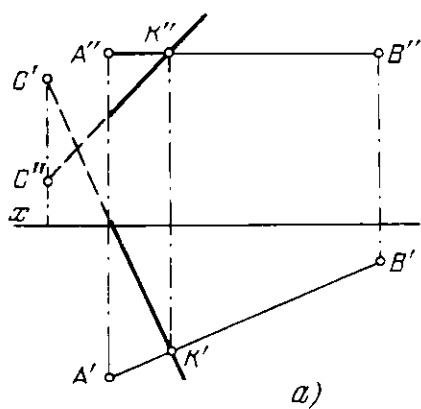
29.



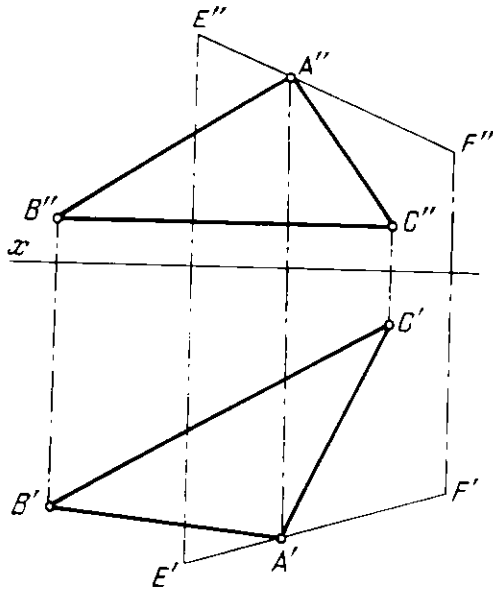
30. а, б.



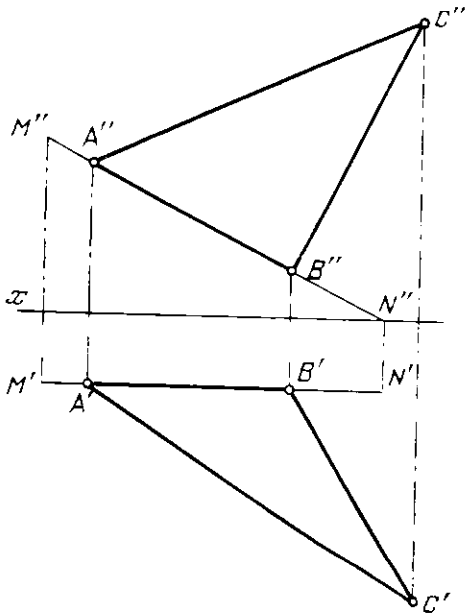
32. а, б.



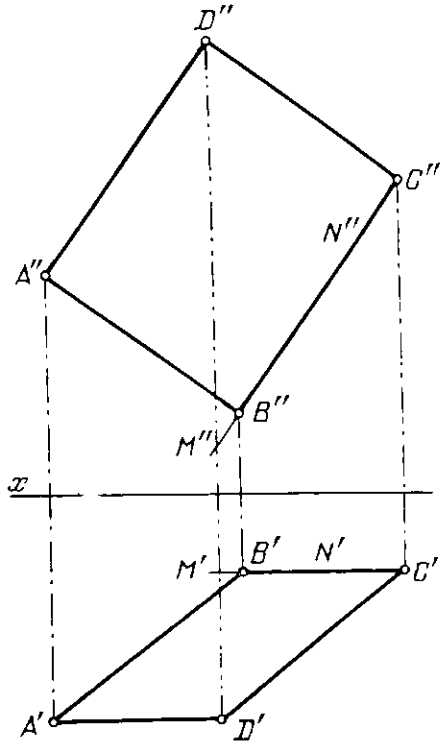
35.



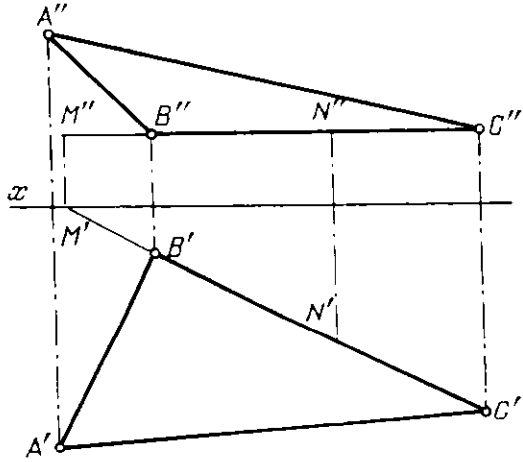
36.



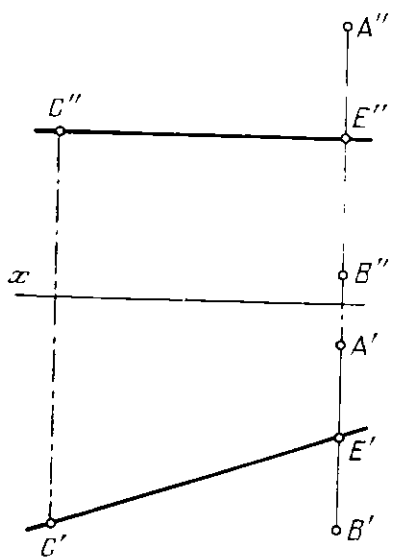
38.



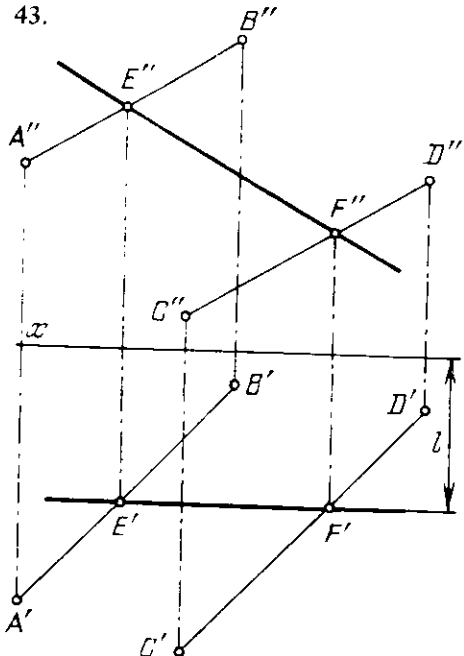
39.



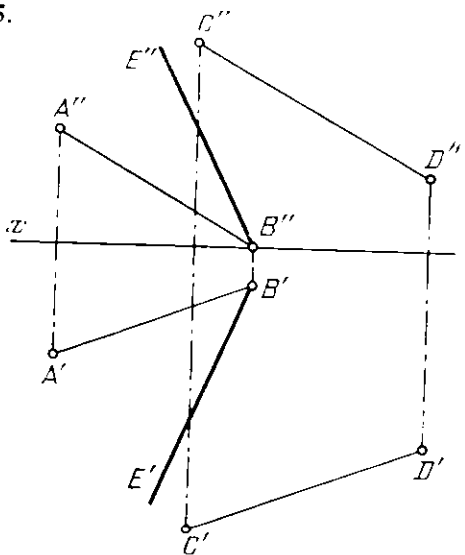
41.



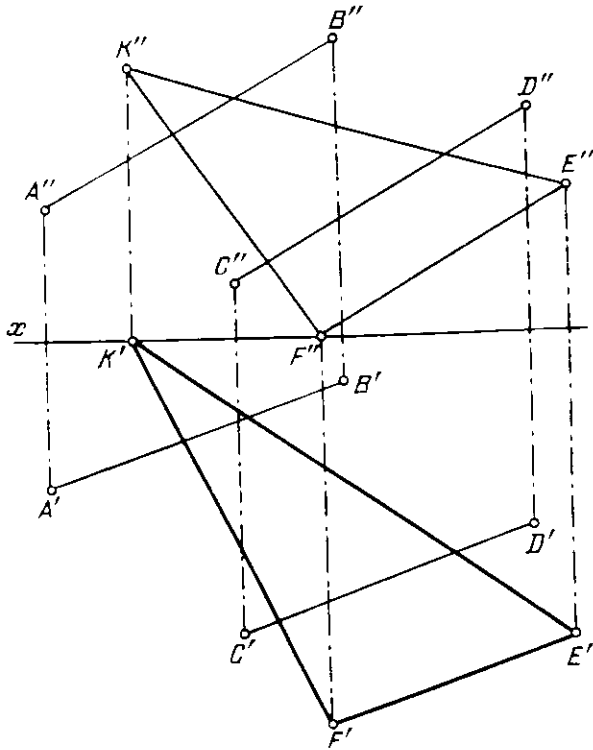
43.



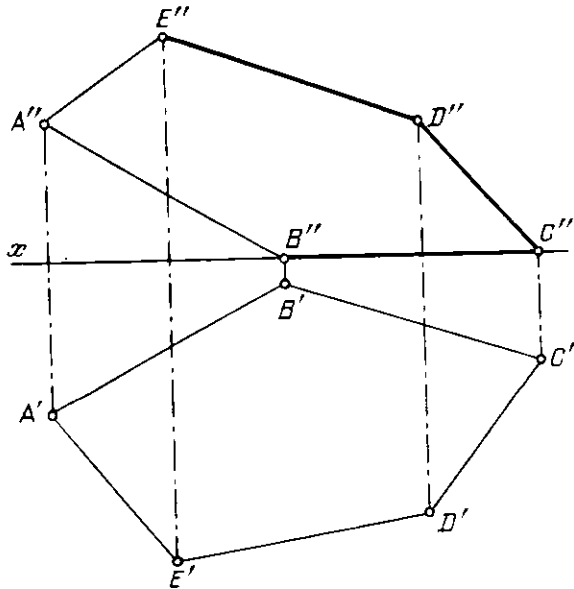
45.



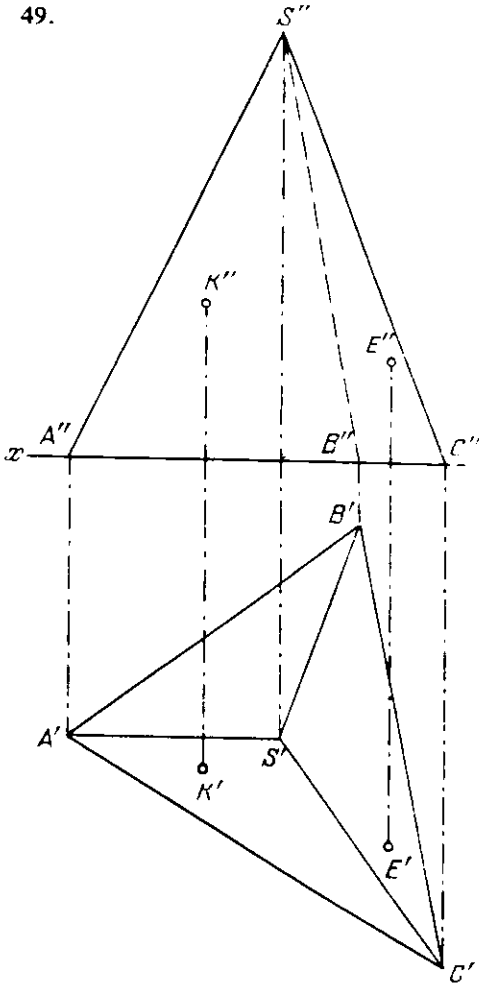
47.



48.

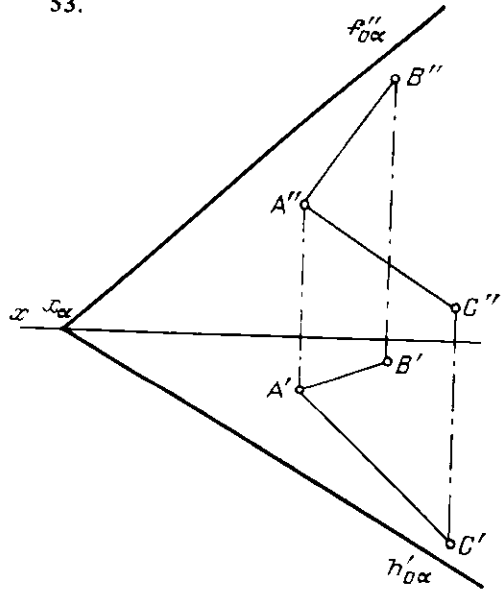


49.

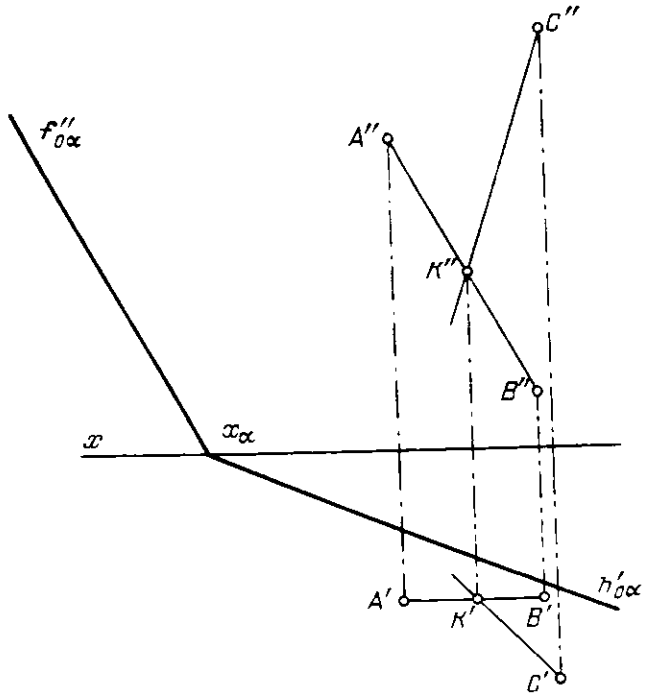


51. Заданная плоскость является плоскостью общего положения.

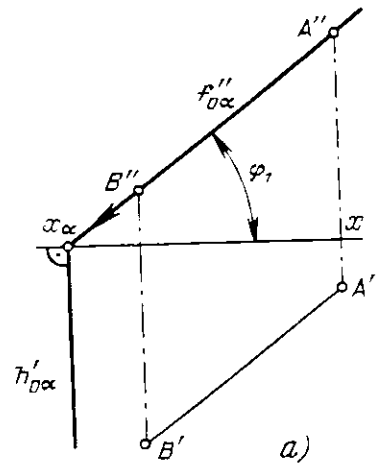
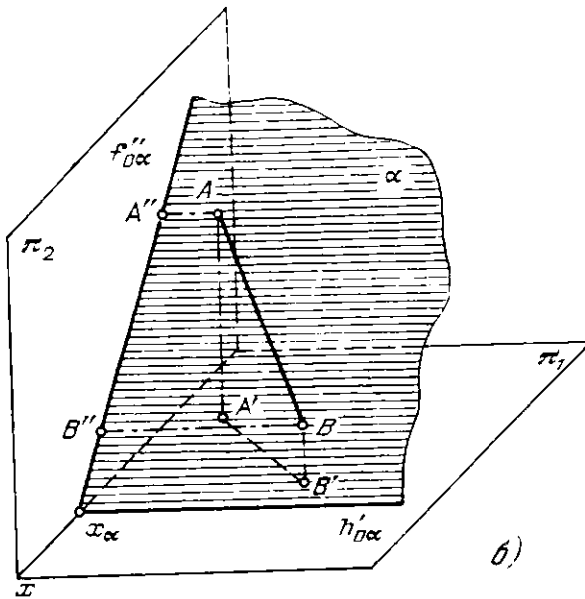
53.



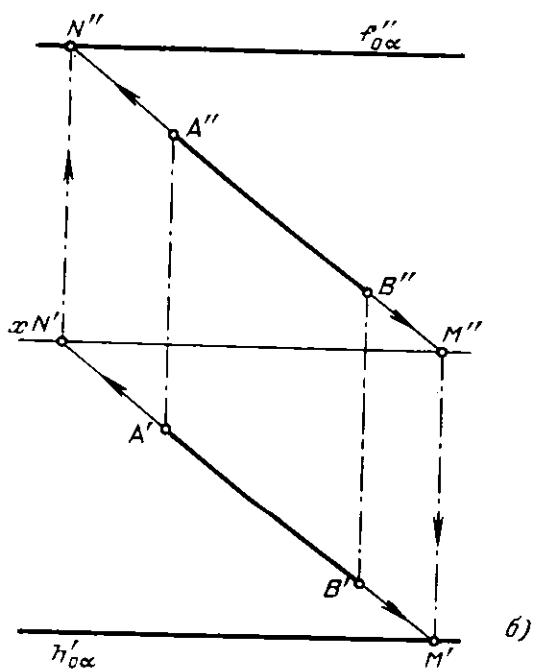
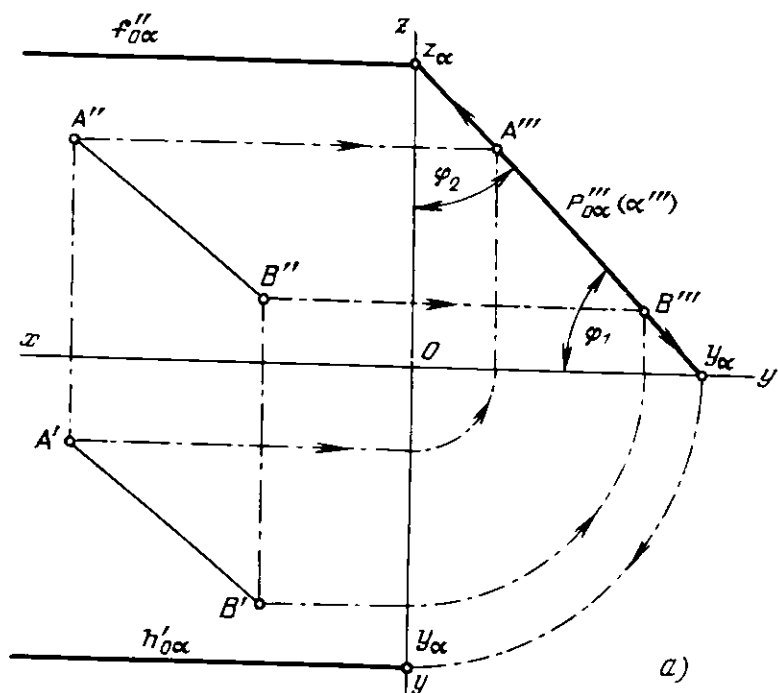
55.



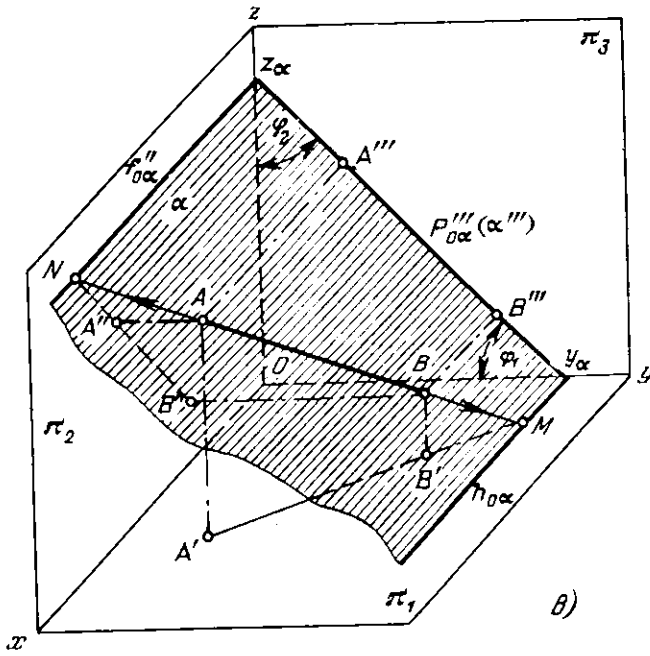
58.



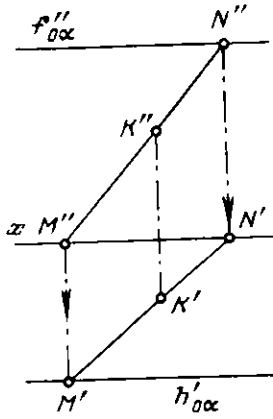
59. а, б.



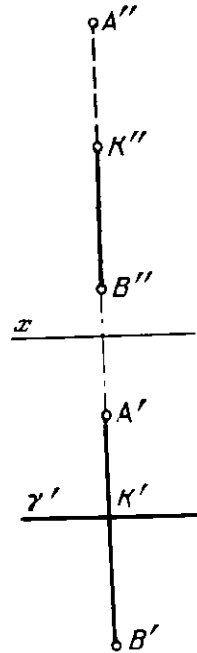
59. B.

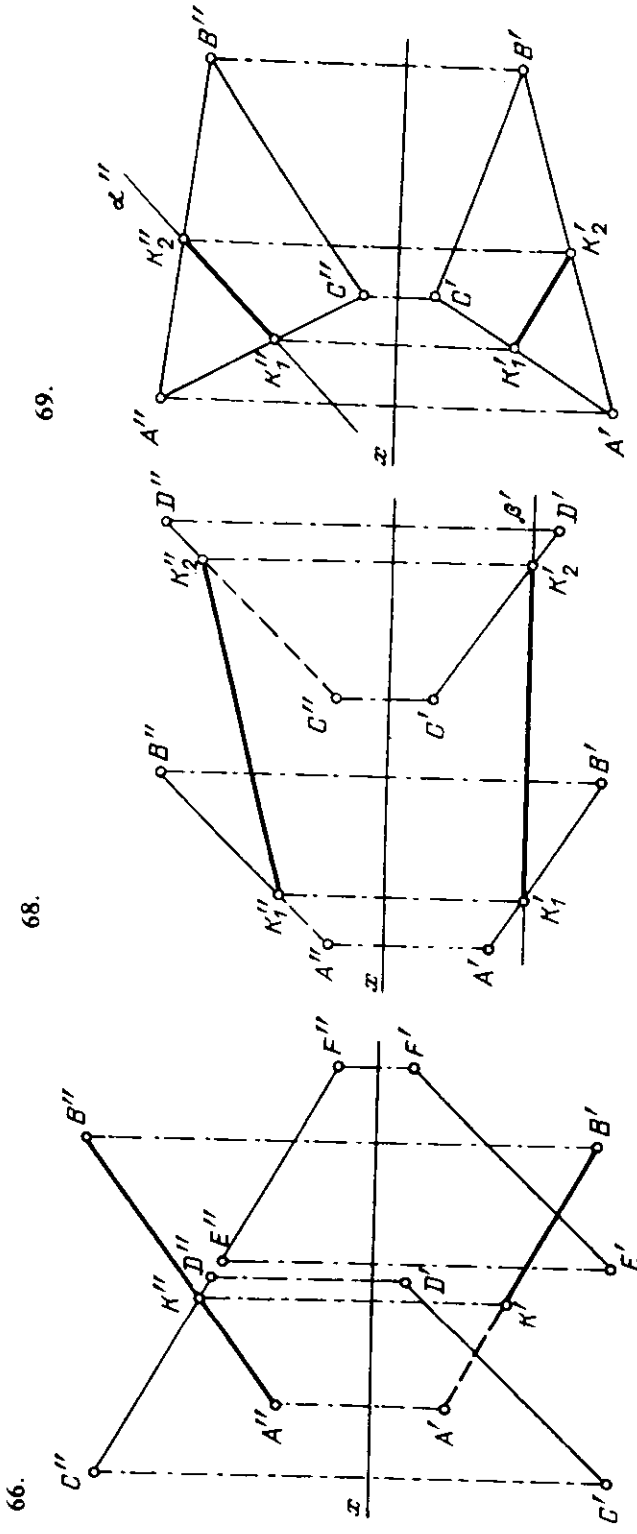


60.

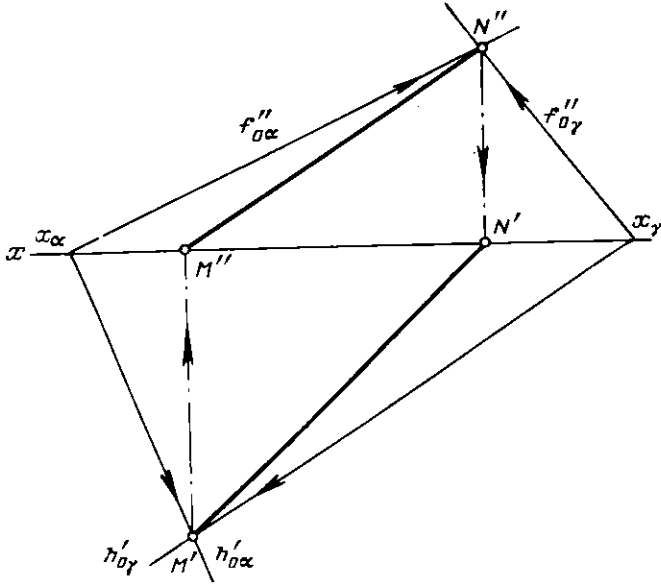


62.

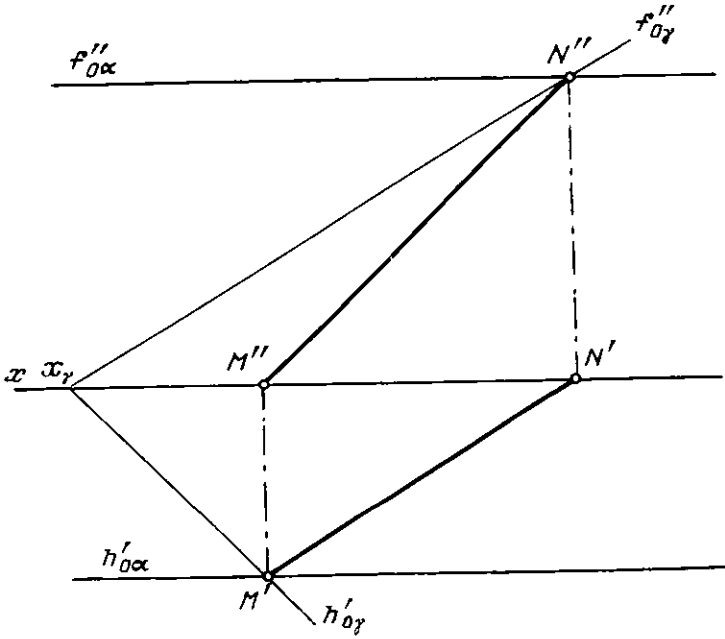




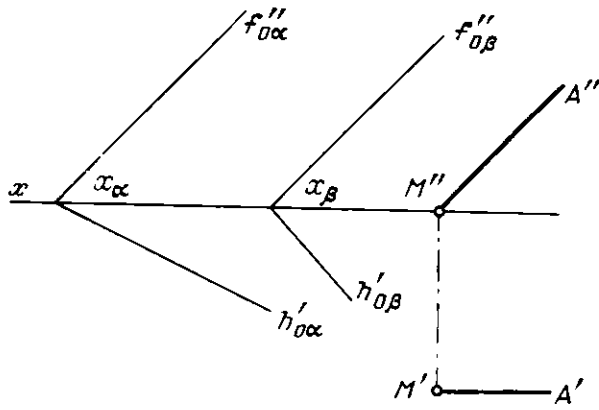
71.



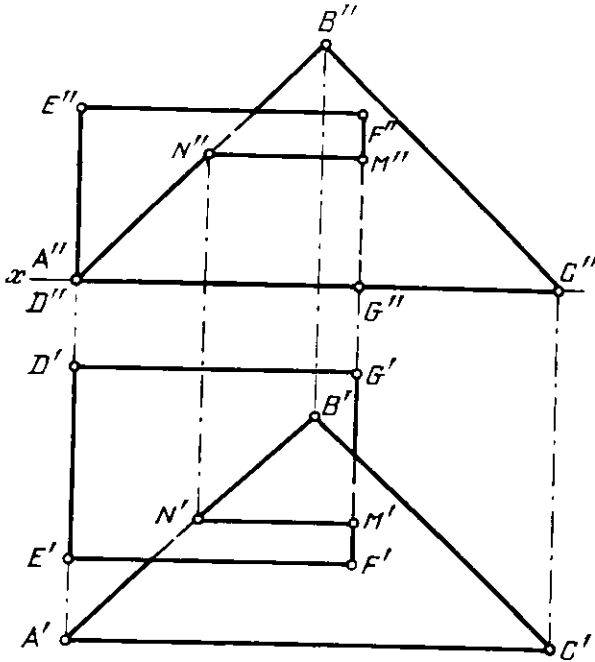
72.



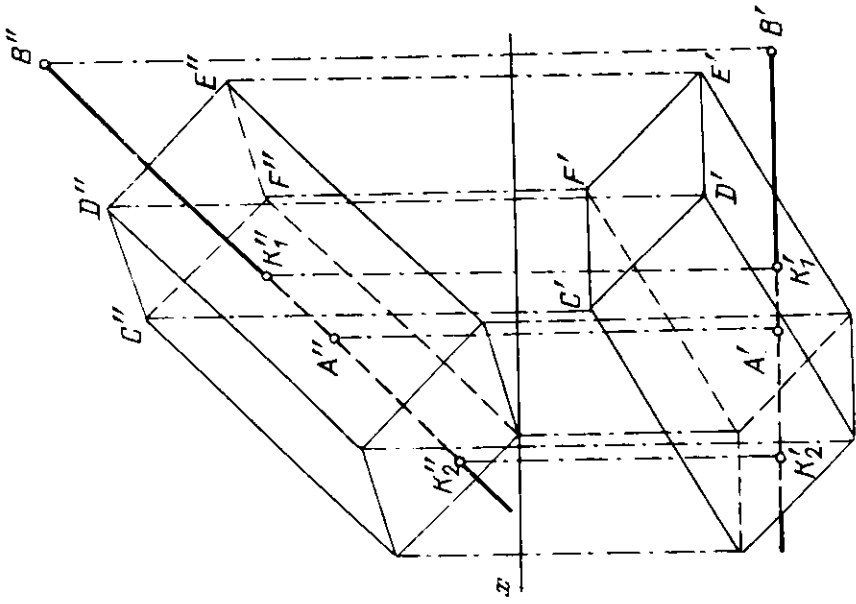
74.



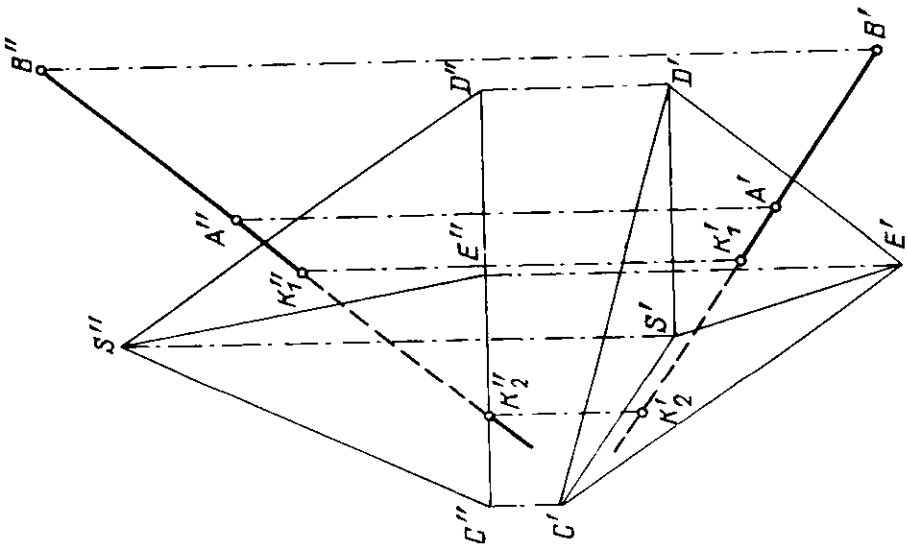
76.



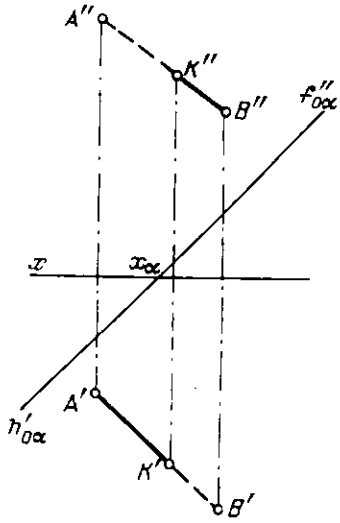
79.



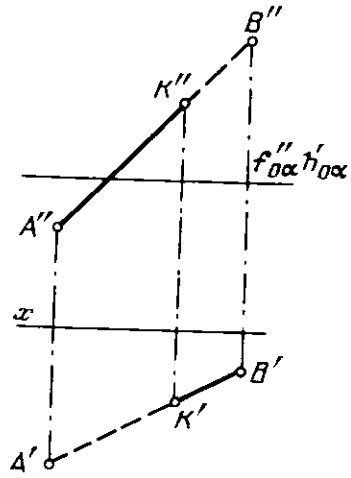
78.



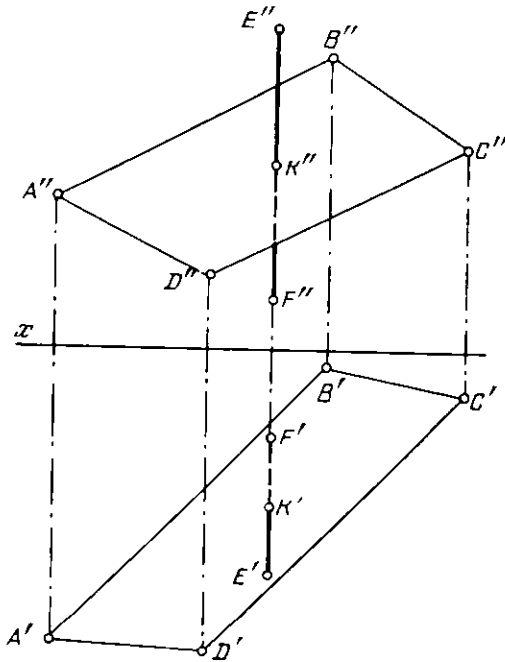
81.



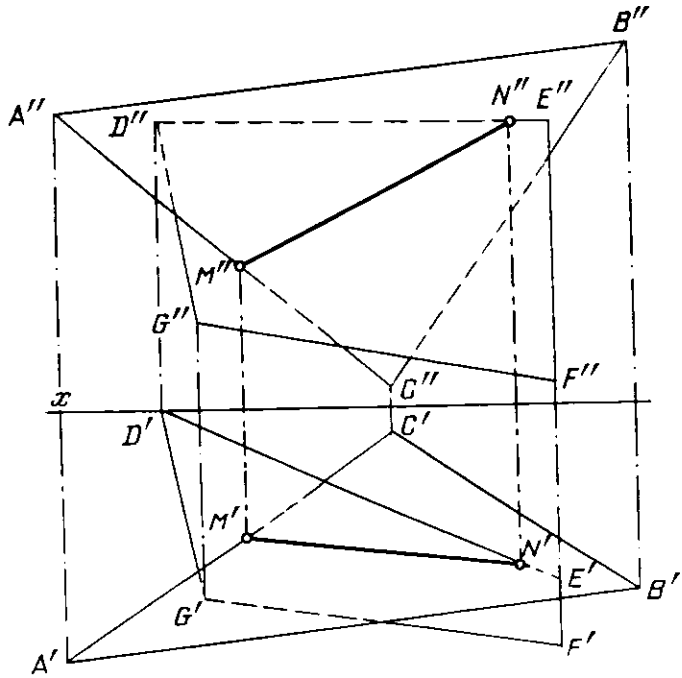
83.



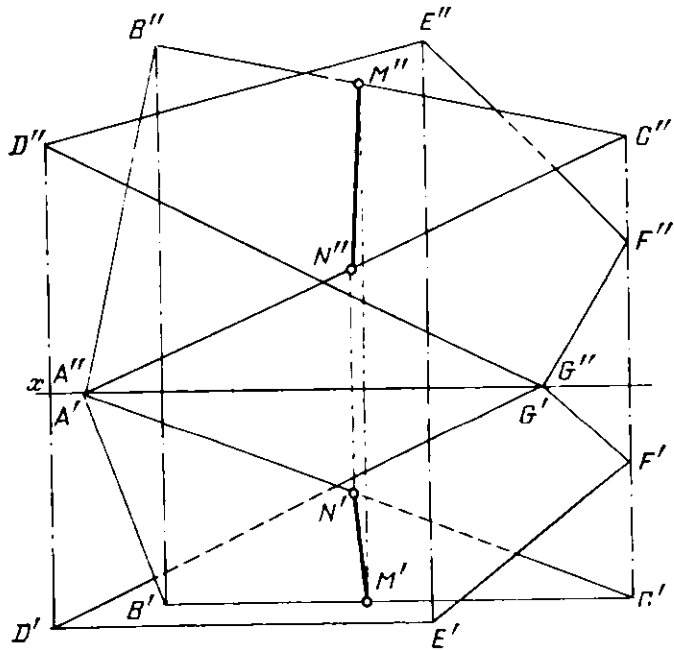
85.



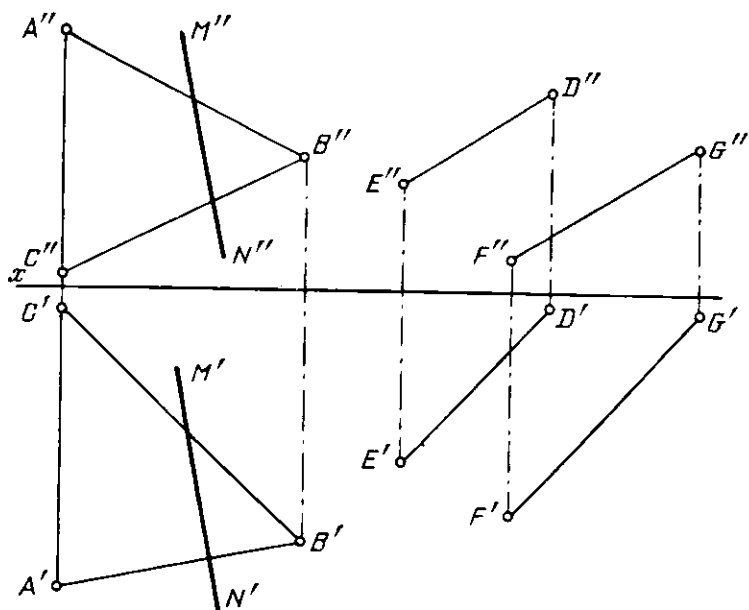
87.



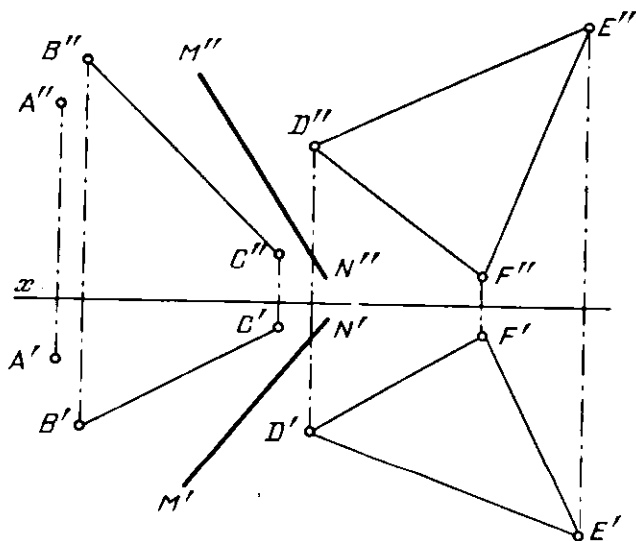
88.



90.

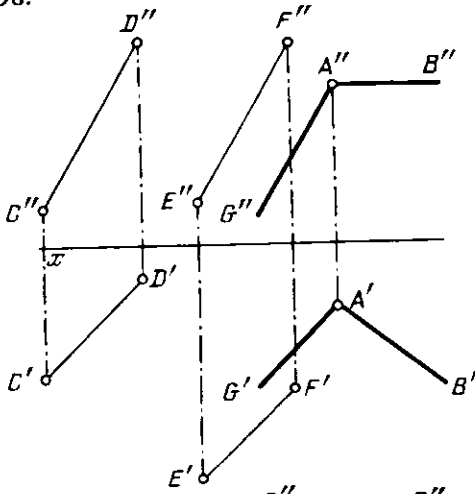


91.

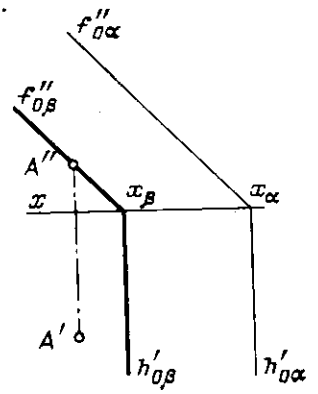


95. а) Параллельна; б) не параллельна; в) параллельна.

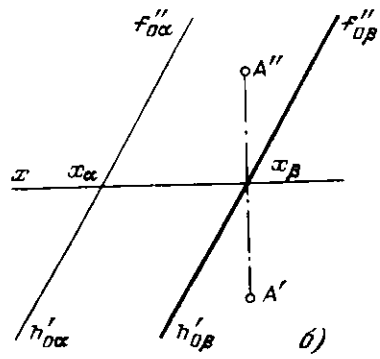
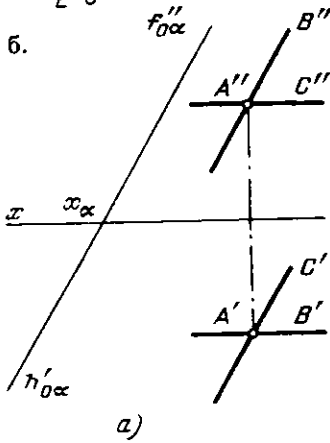
98.



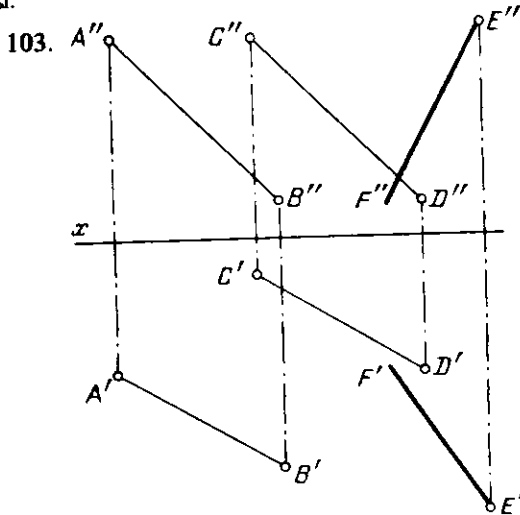
99.



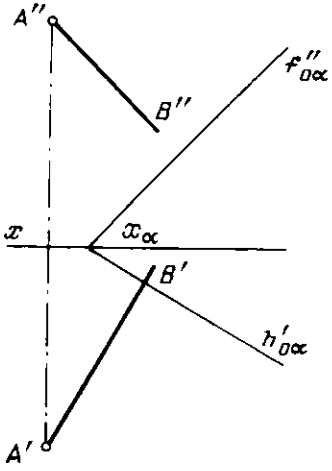
100. а, б.



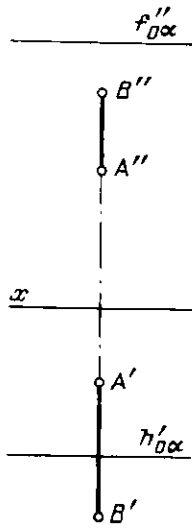
101. Не параллельны.



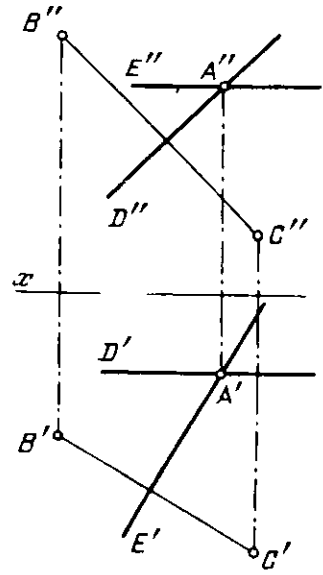
104.



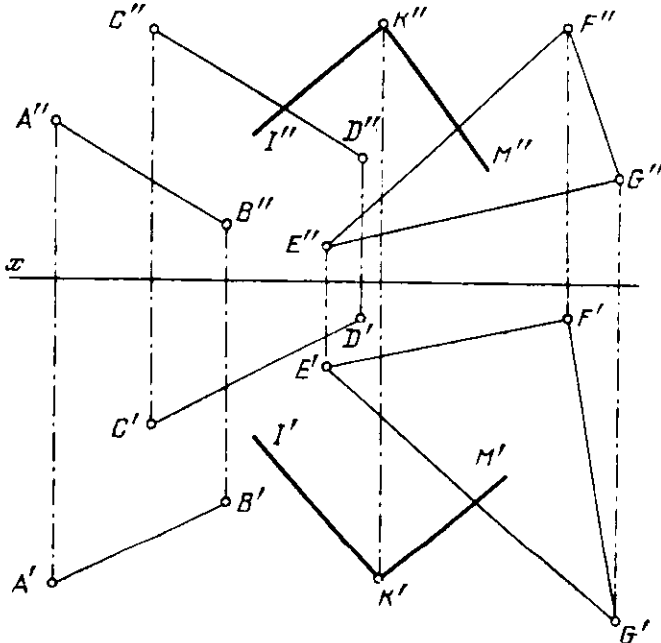
105.



107.

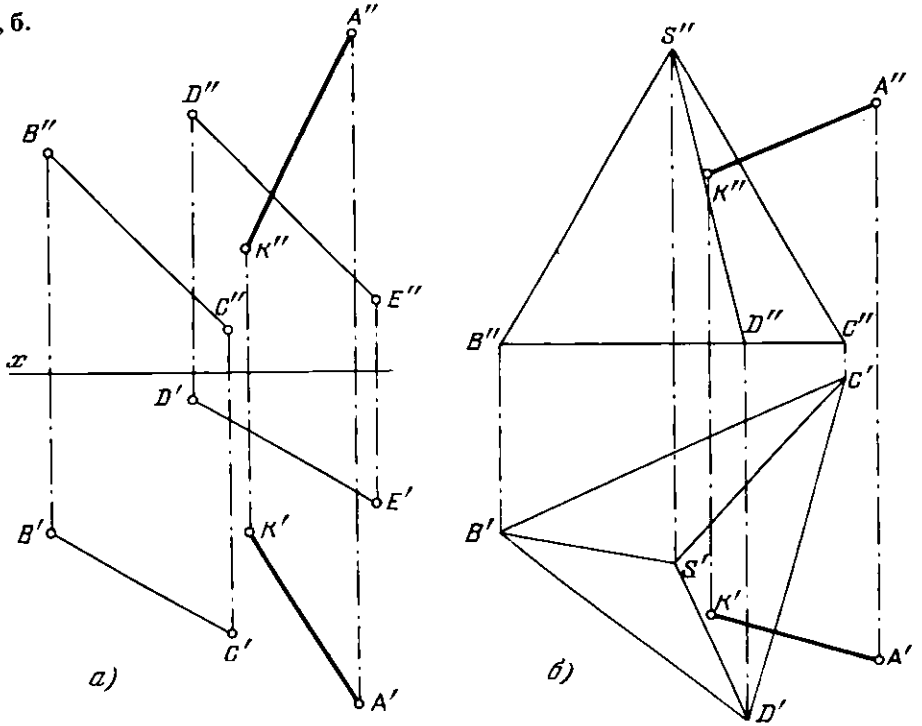


109.

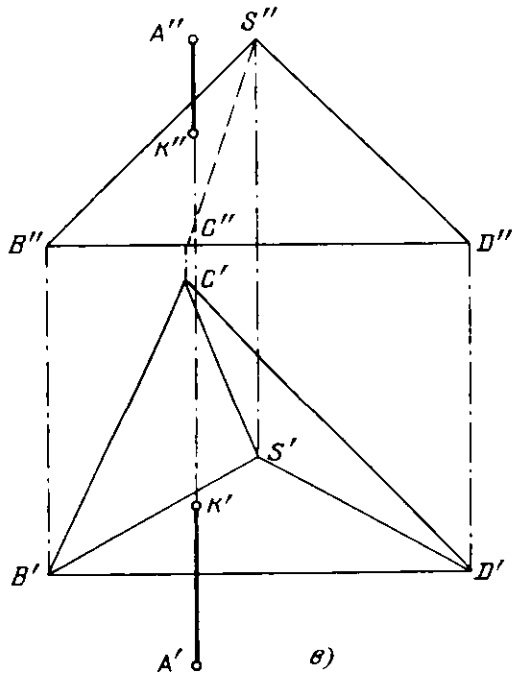


110. а) Плоскости перпендикулярны; б) плоскости не перпендикулярны.

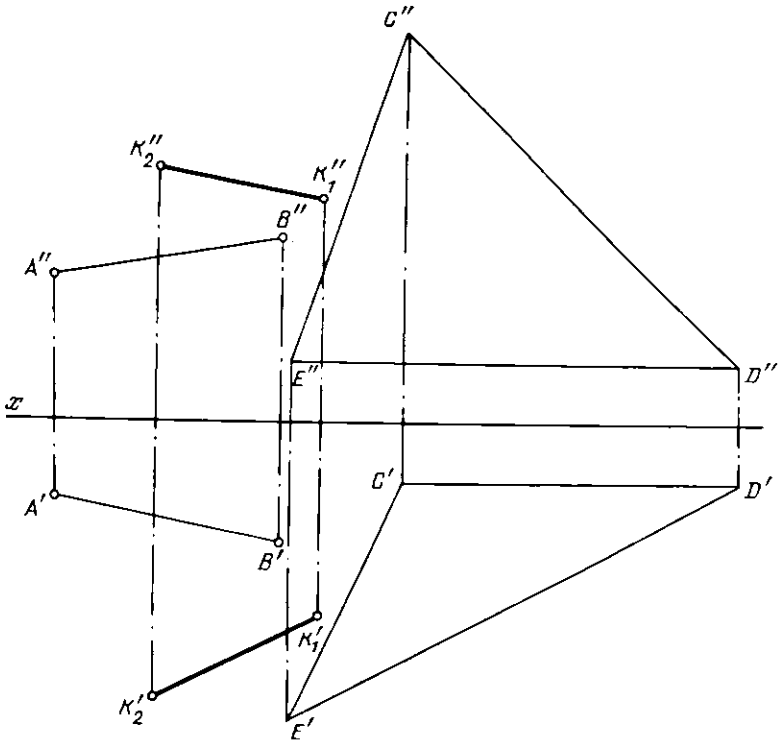
112. а, б.



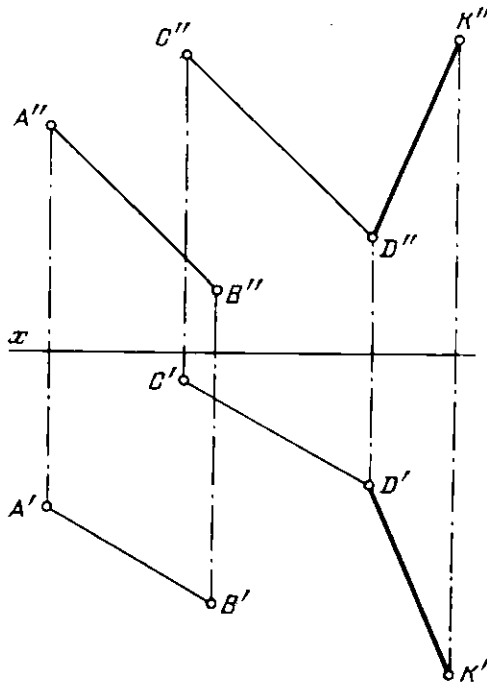
112. в.



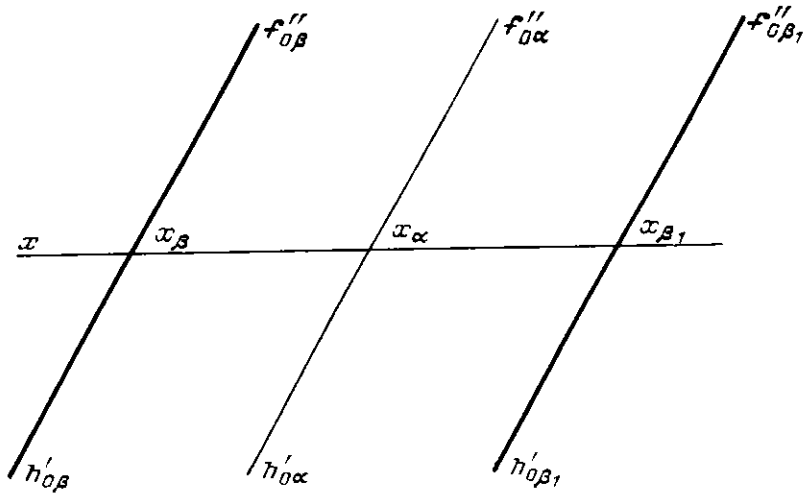
114.



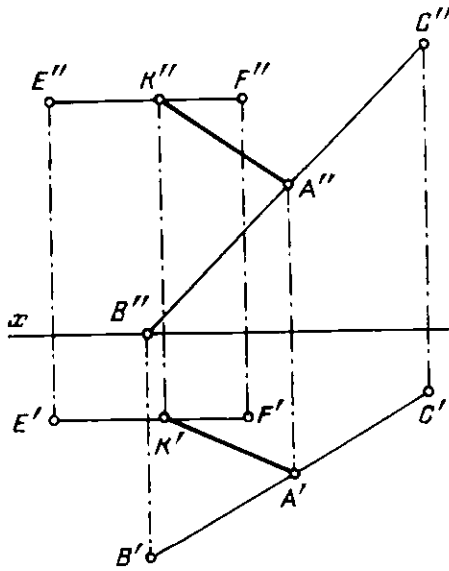
116.



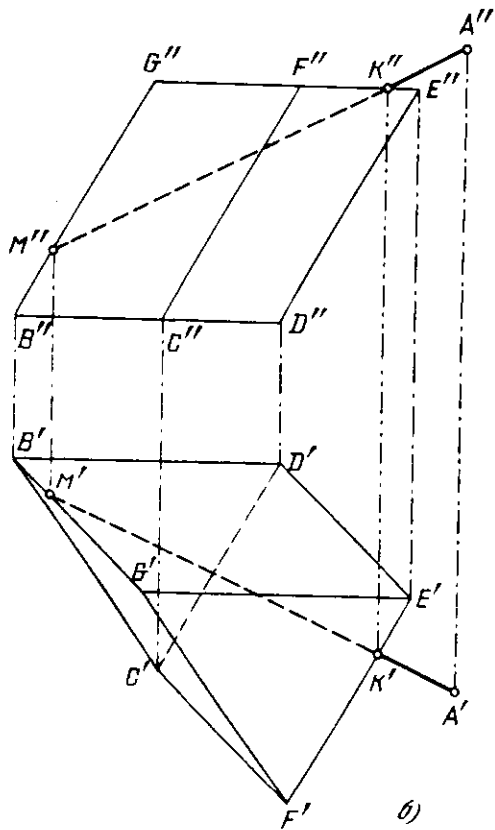
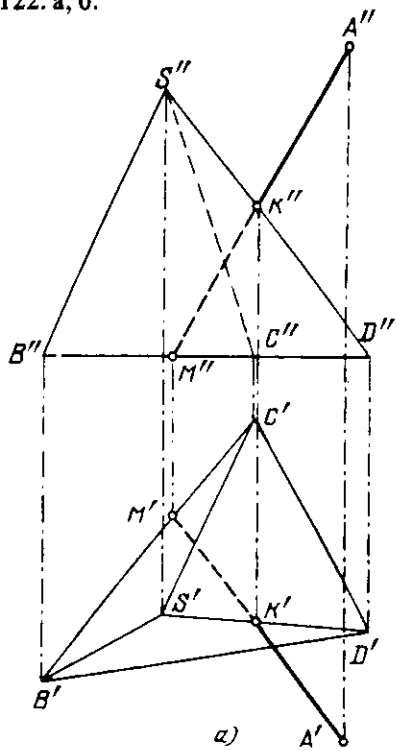
118.



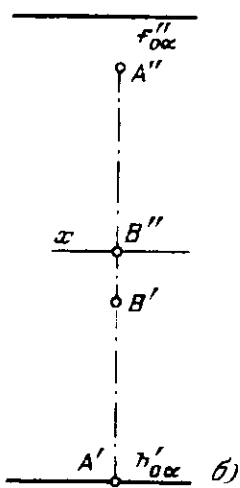
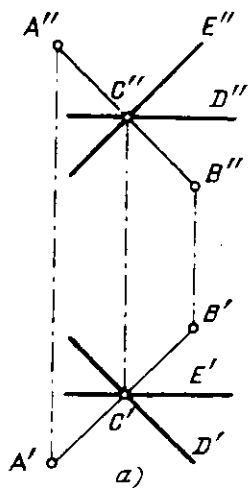
120.



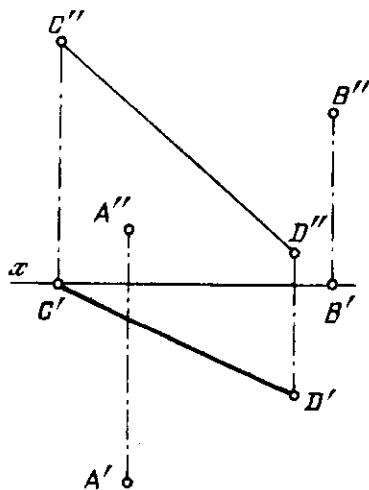
122. а, б.



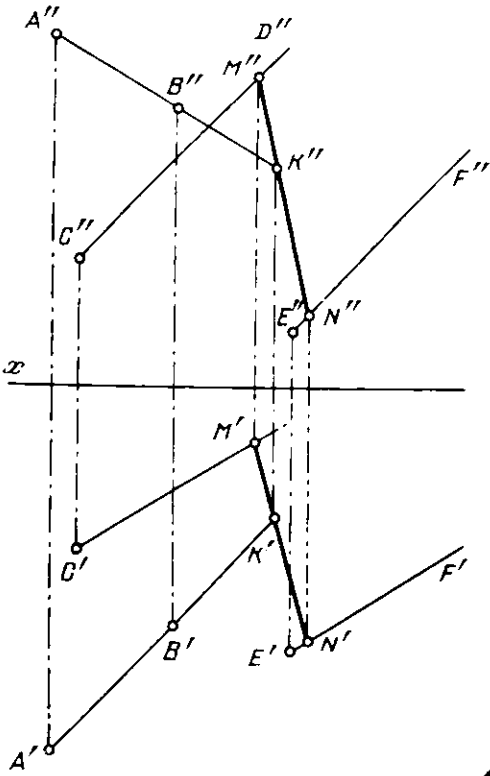
124.



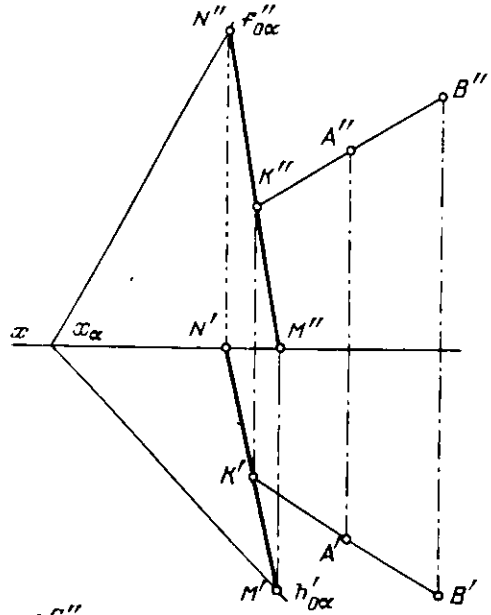
126.



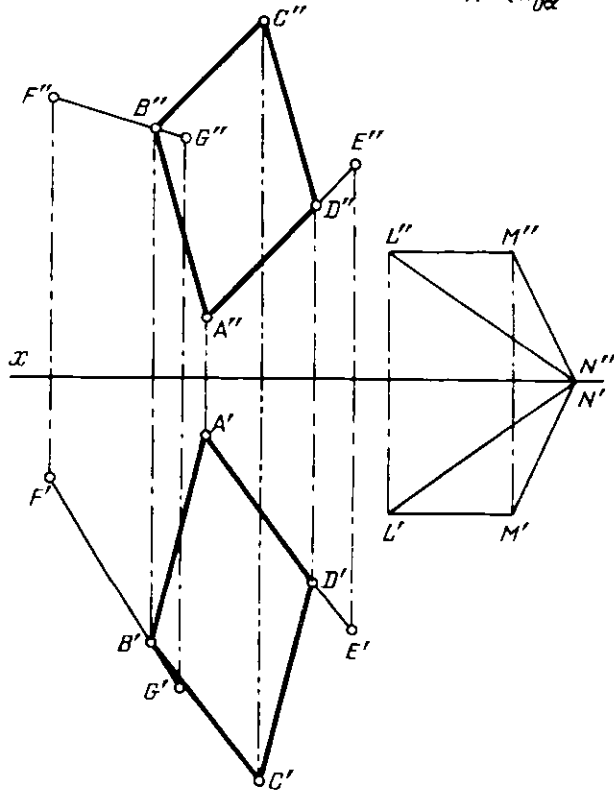
130.



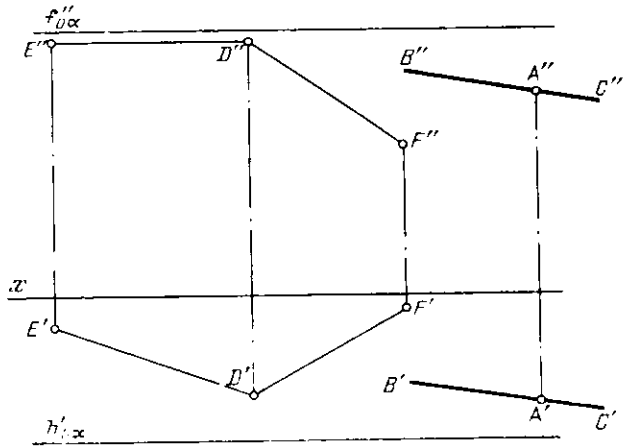
131.



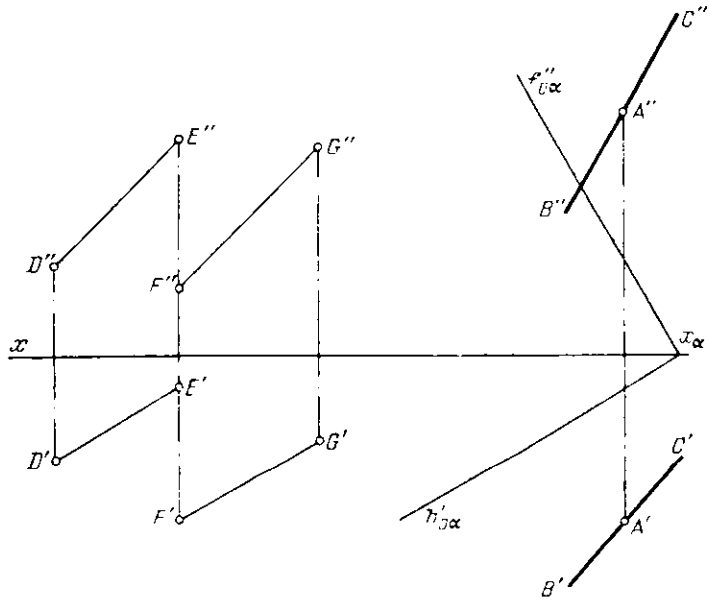
133.



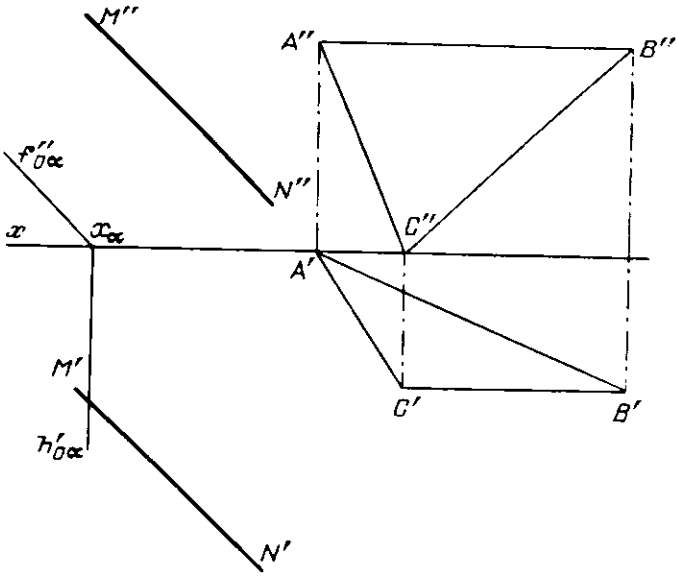
135.



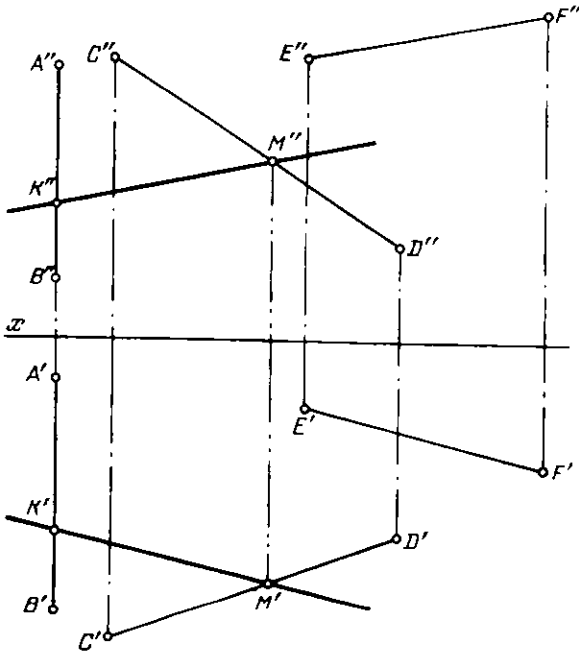
136.



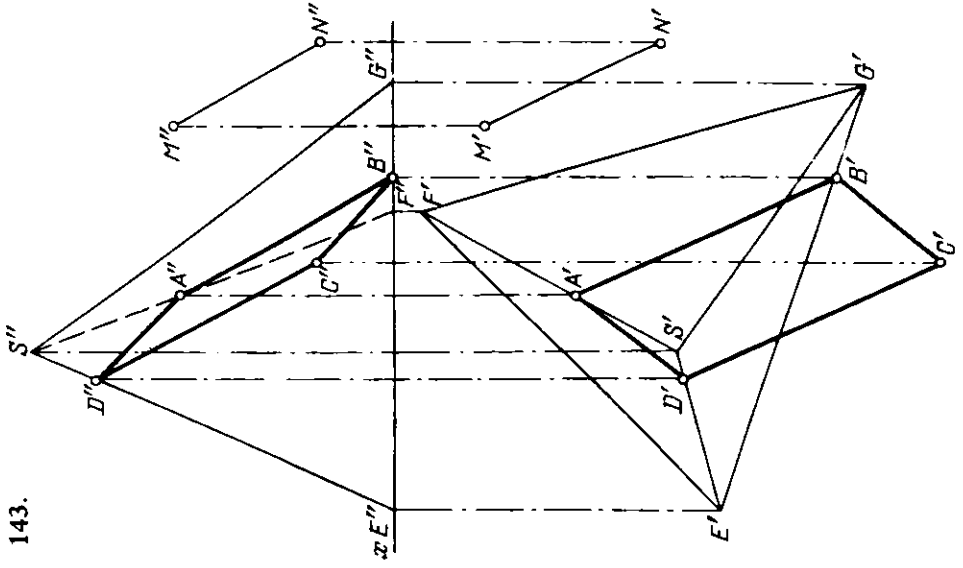
138.



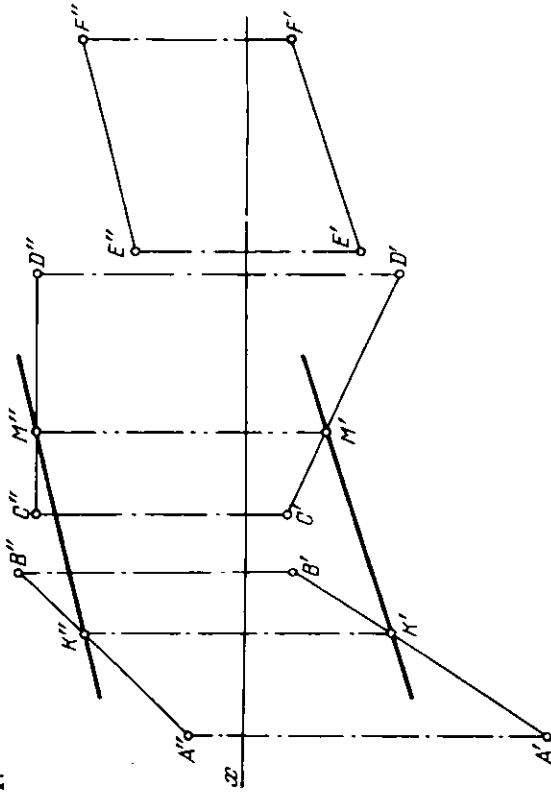
140.

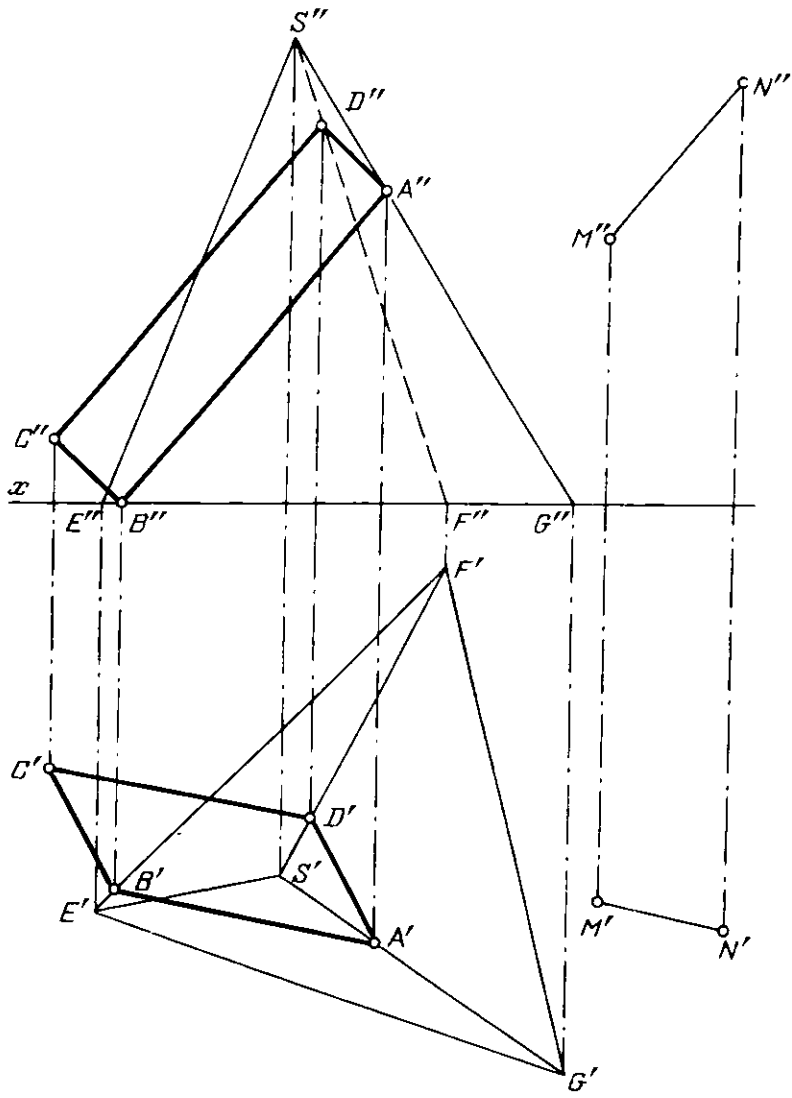


143.

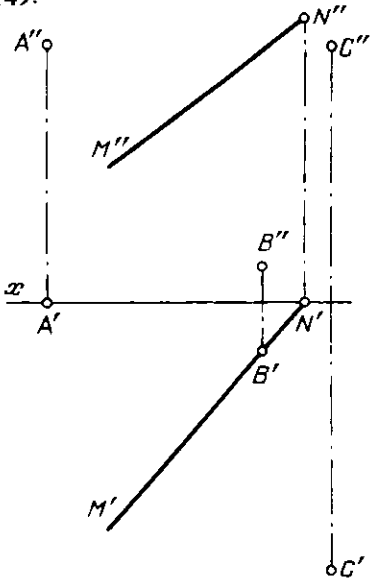


141.

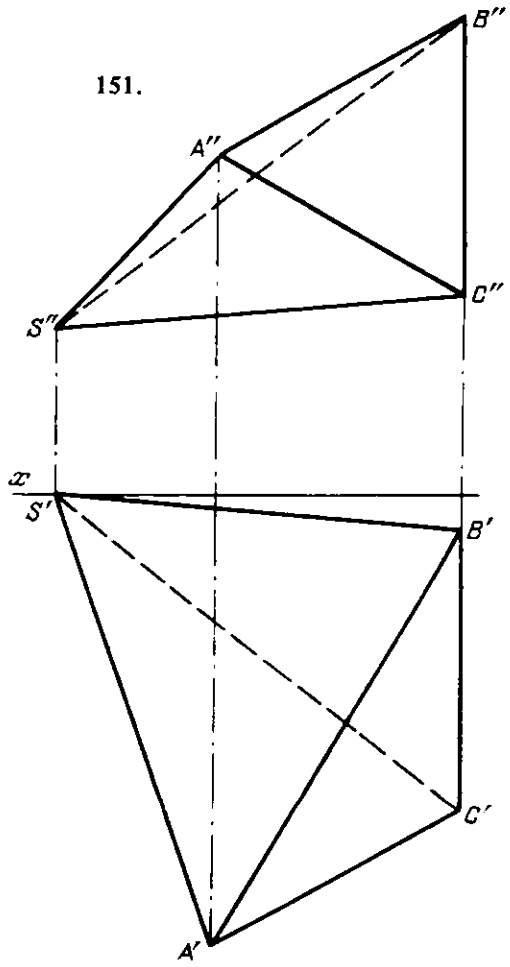




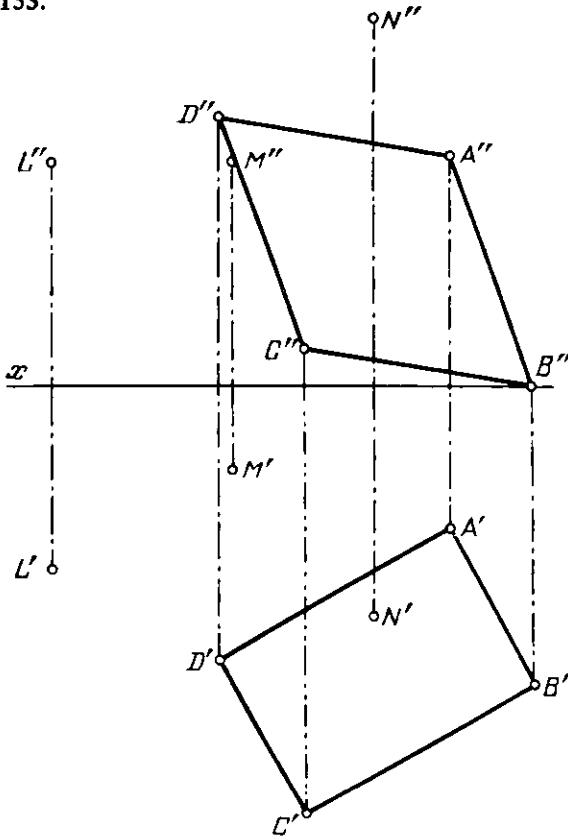
149.



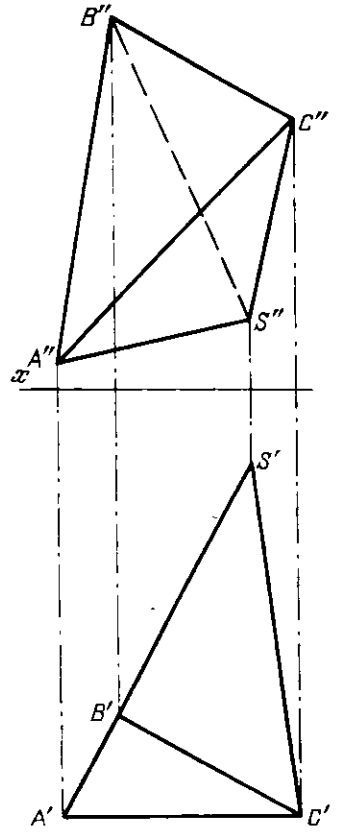
151.



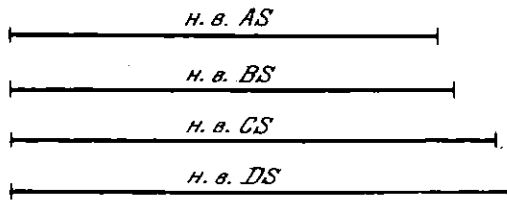
153.



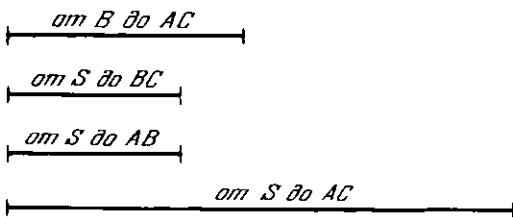
154.



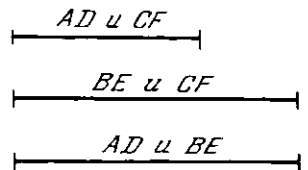
156.



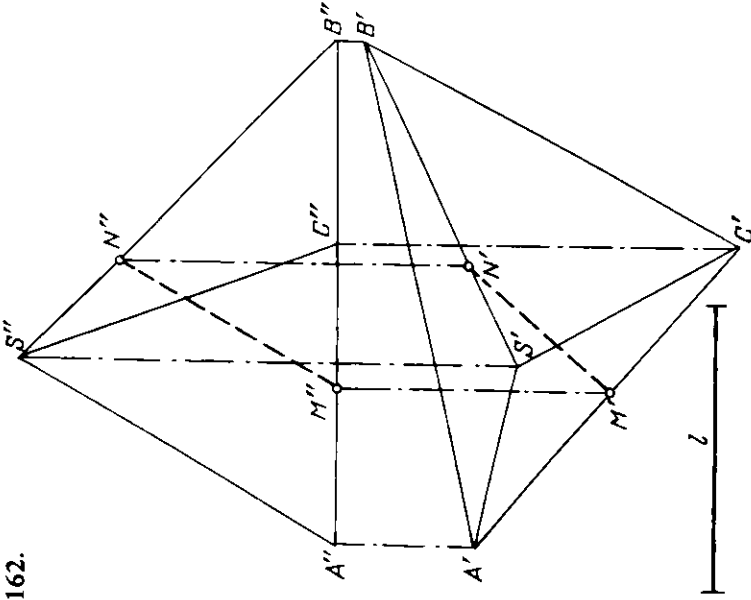
158.



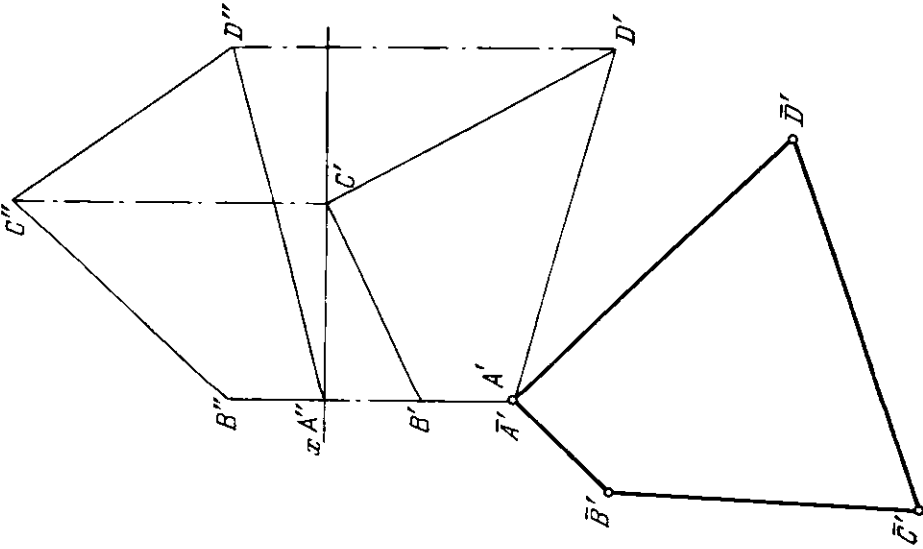
159.



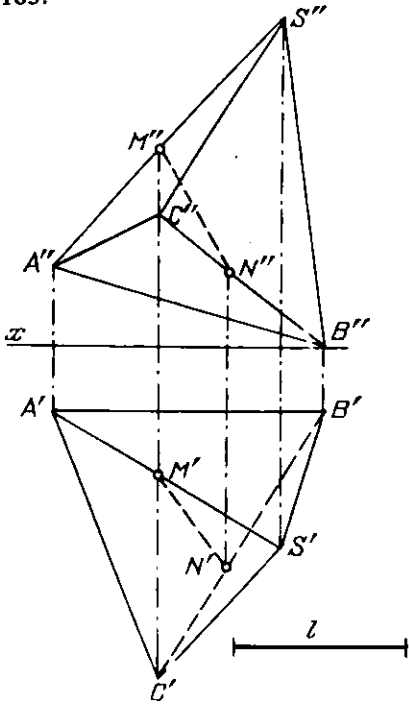
162.



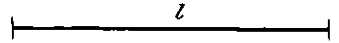
160.



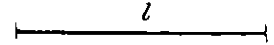
163.



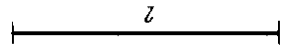
165.



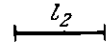
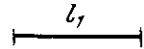
166.



168.



170.



172.

Ребро	Угол	
	φ_1	φ_2
AS	70°	9°
BS	65°	24°
CS	$50^\circ 30'$	14°
DS	$53^\circ 30'$	29°

174.

Грань	Угол	
	φ_1	φ_2
SAB	57°	$22^\circ 30'$
SAC	$51^\circ 30'$	72°
ABC	$24^\circ 30'$	73

175.

Грань	Угол	
	φ_1	φ_2
ABCD	—	30°
CDHG	—	58°
ADEH	$45^\circ 30'$	—

177. $\angle ASB = 17^\circ 30'$, $\angle BSC = 20^\circ$,
 $\angle CSA = 37^\circ 30'$.

178. $\angle HCD = 131^\circ$, $\angle CDG = 49^\circ$,
 $\angle BAC = 61^\circ 30'$.

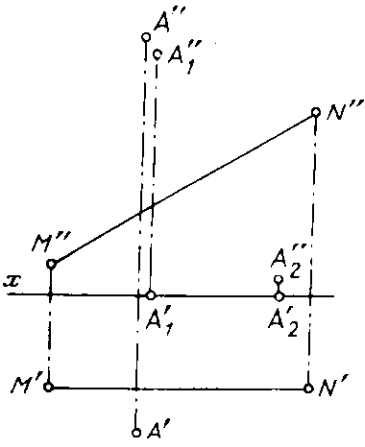
180. а) 73° ; б) 82° .

182. Угол, который грань ABC образует с ребром AS, равен 46° , с ребром BS — 46° , с ребром CS — 70° .

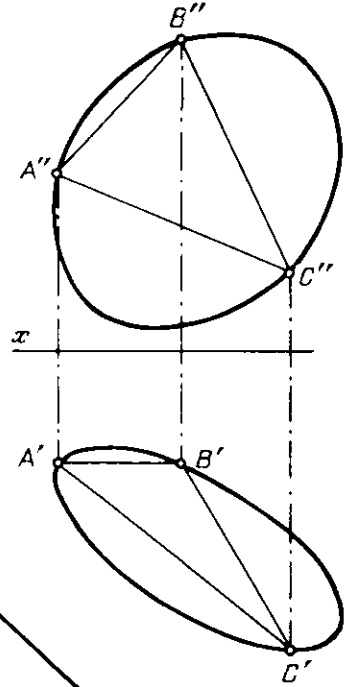
185. Угол между гранями SAB и SBC равен 108° , между SBC и SCD равен 104° , между SAD и SAB равен 89° .

186. Угол между гранями CDHG и EFGH равен 28° , между BCGF и CDHG равен 24° .

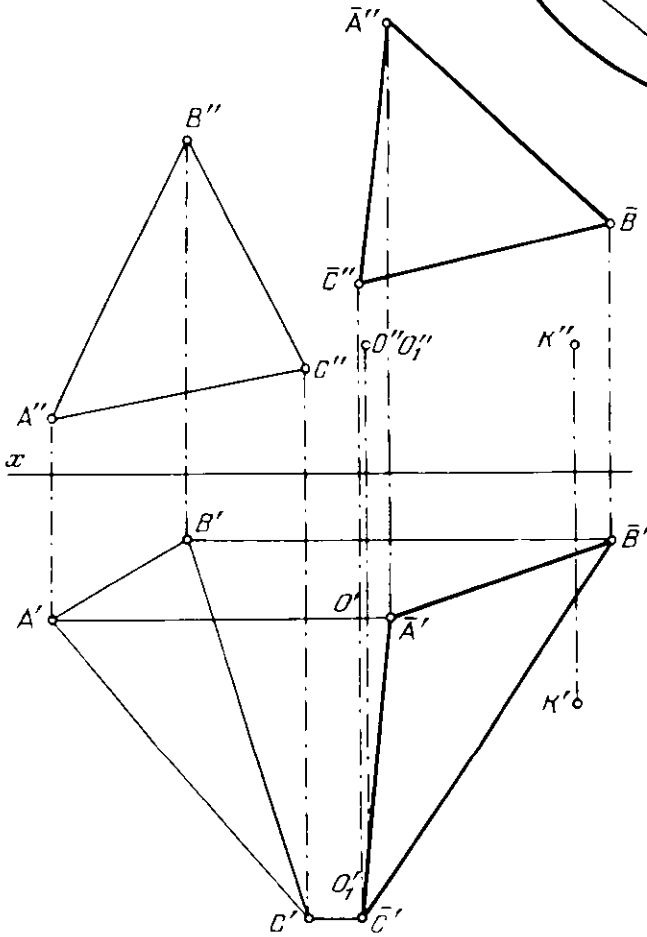
188.



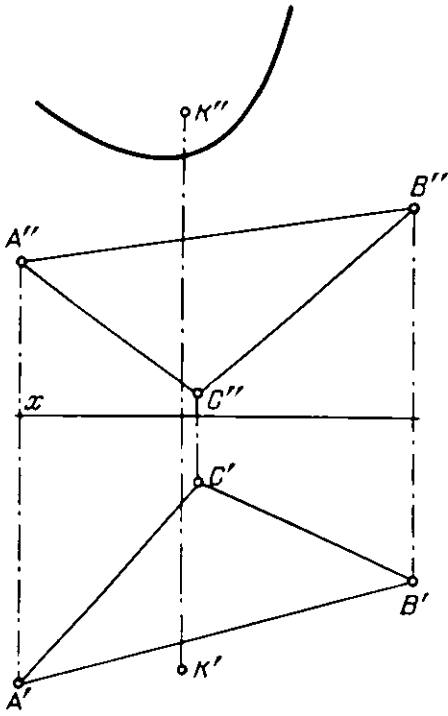
191.



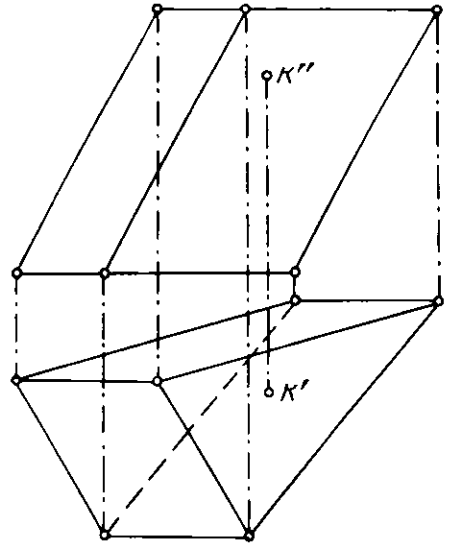
193.



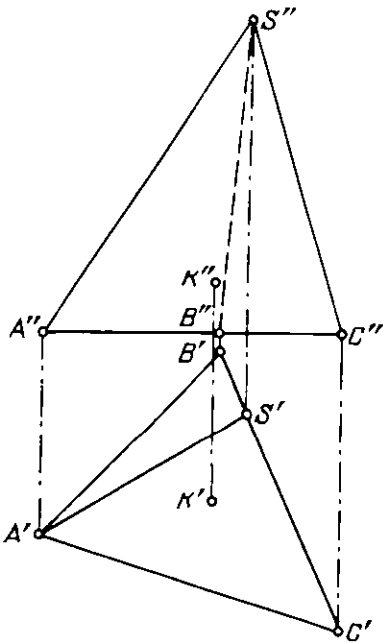
195.



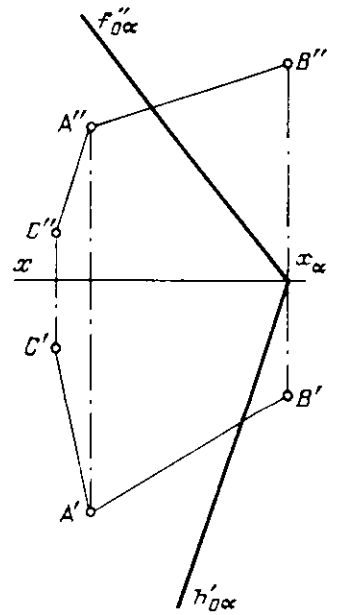
197.



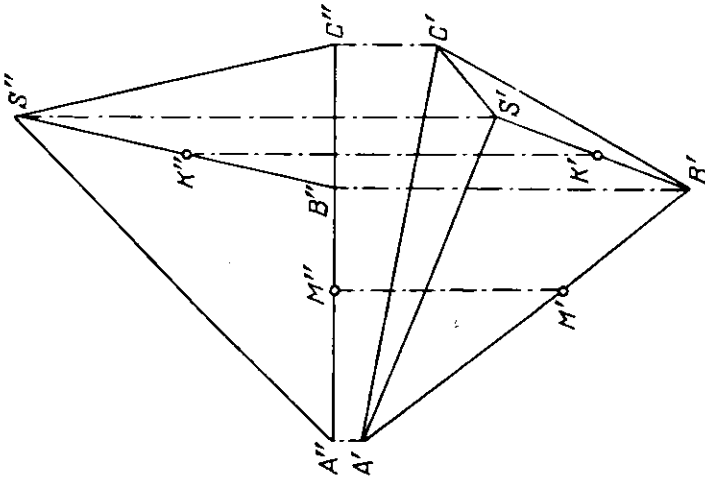
198.



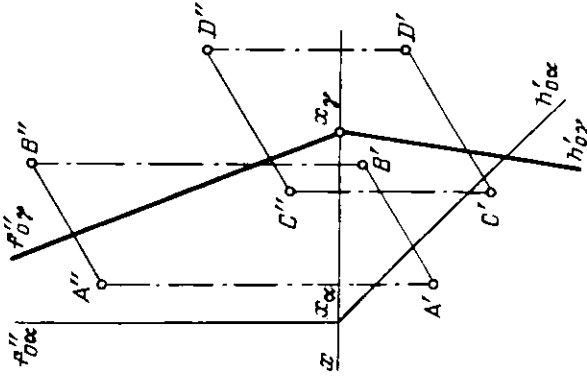
200.



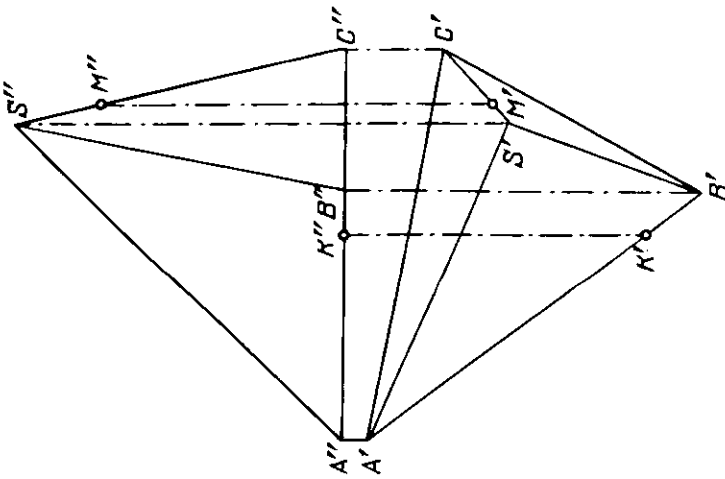
207 и 208.



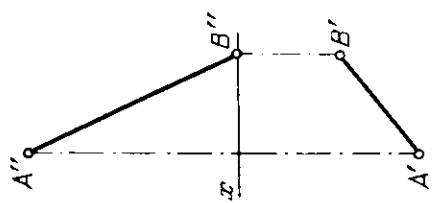
205.



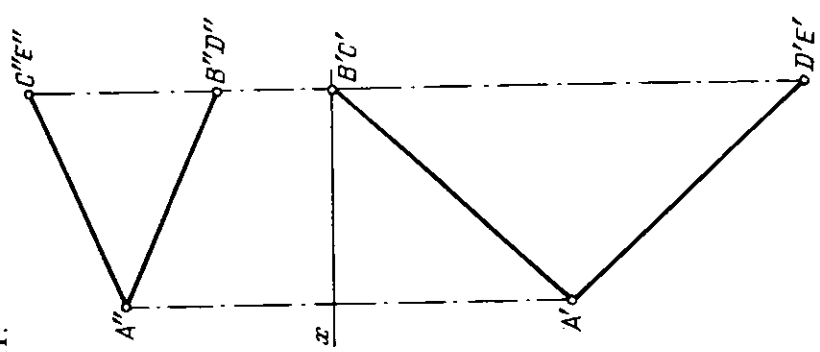
202 и 203.



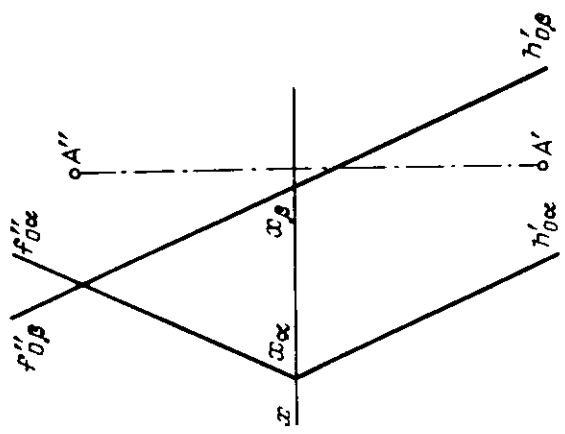
210.



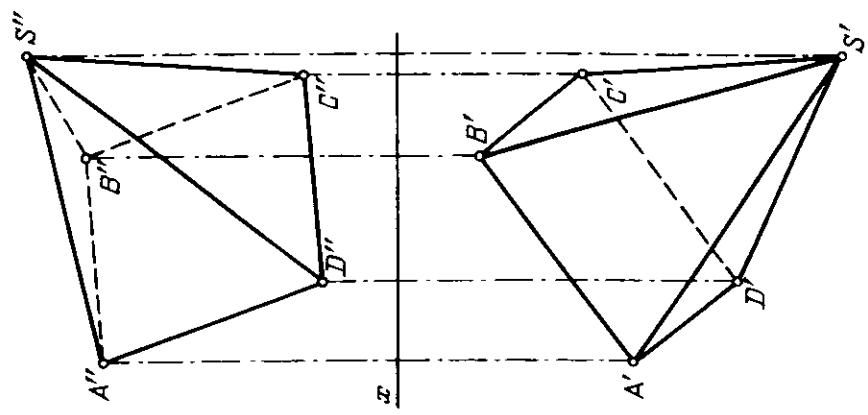
211.



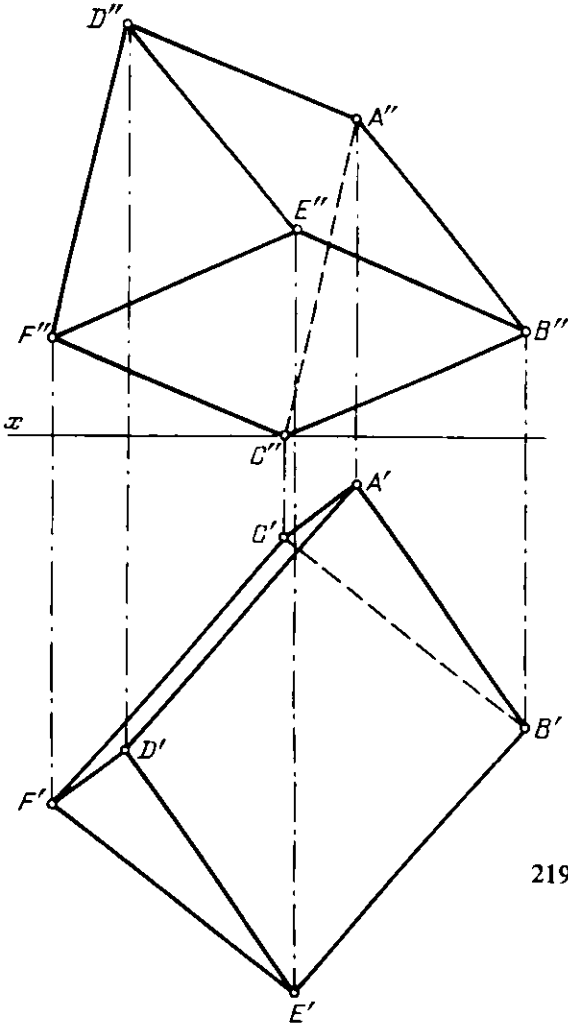
213.



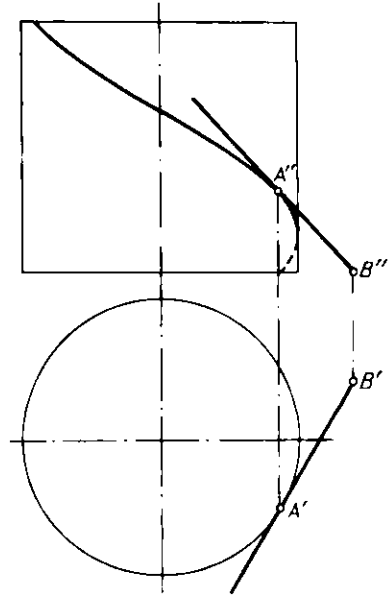
215.



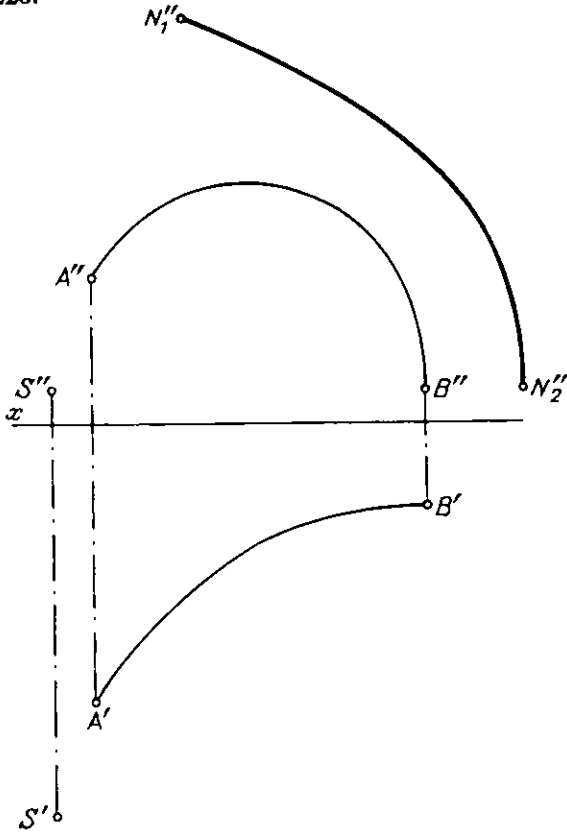
217.



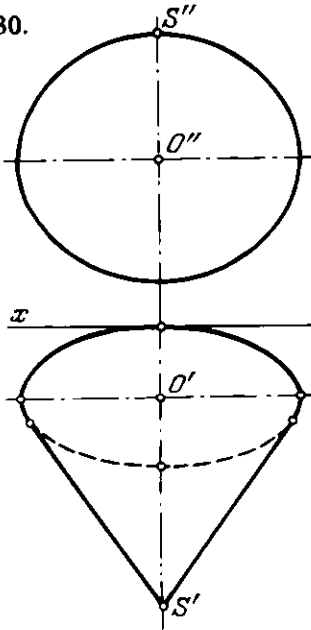
219.



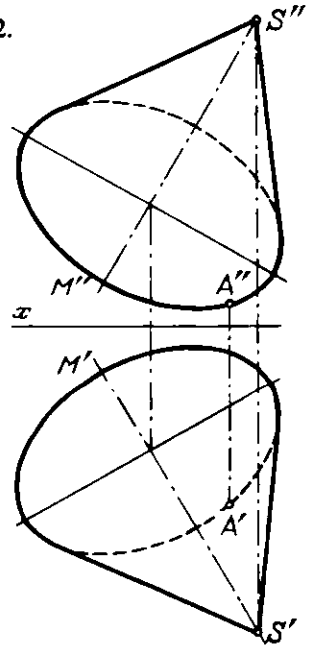
228.



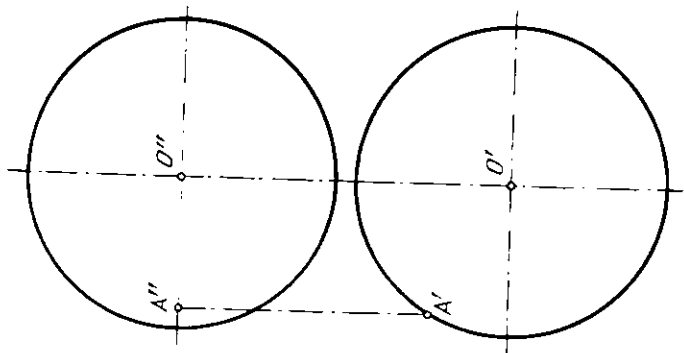
230.



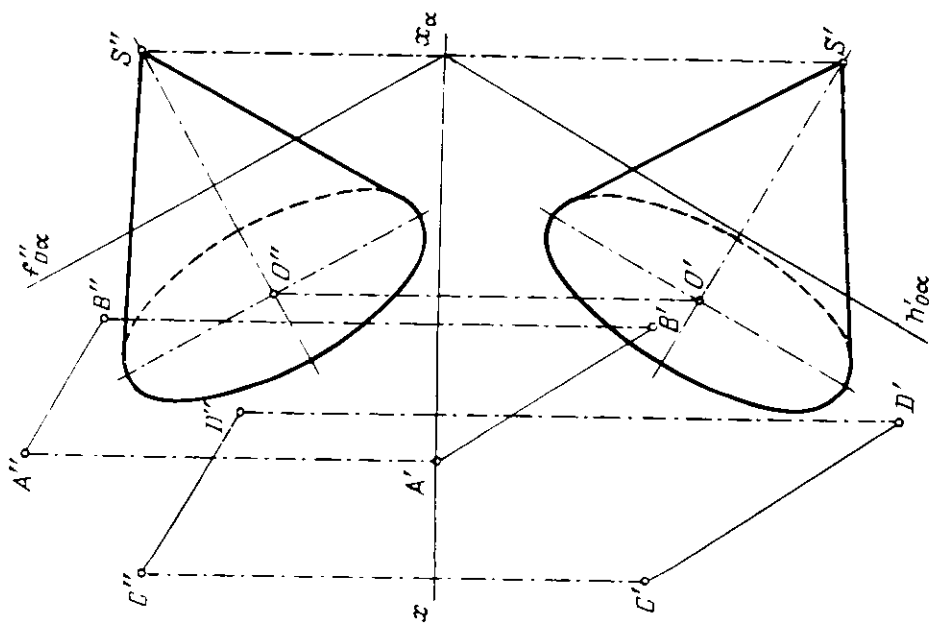
232.



236.

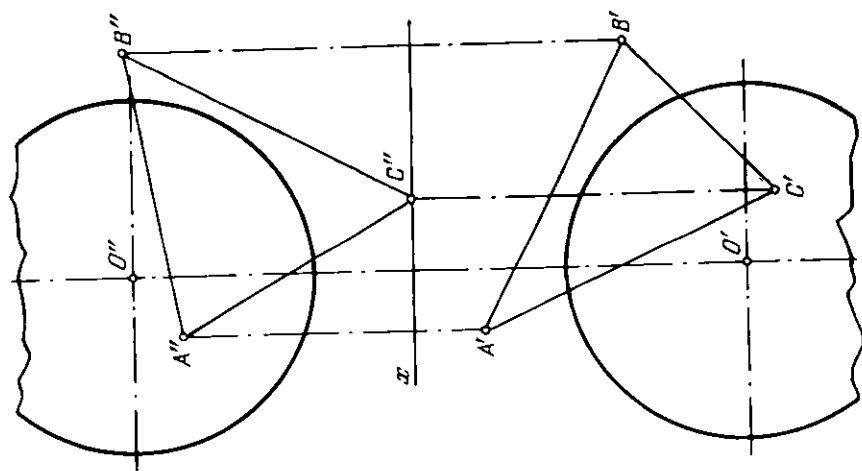


234.

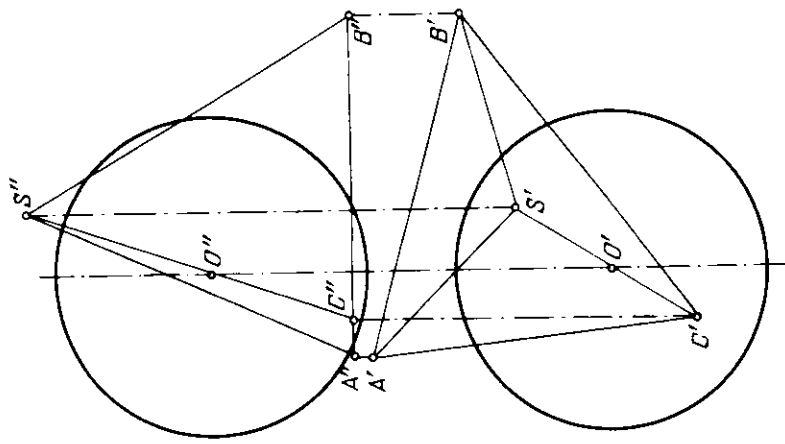


290

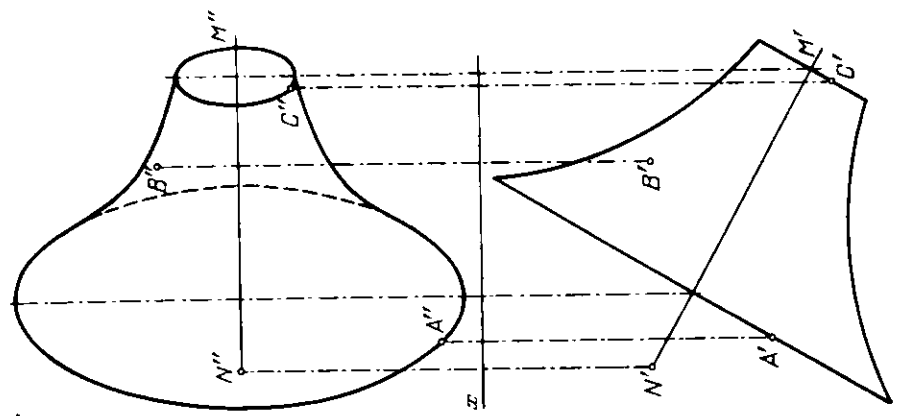
238.

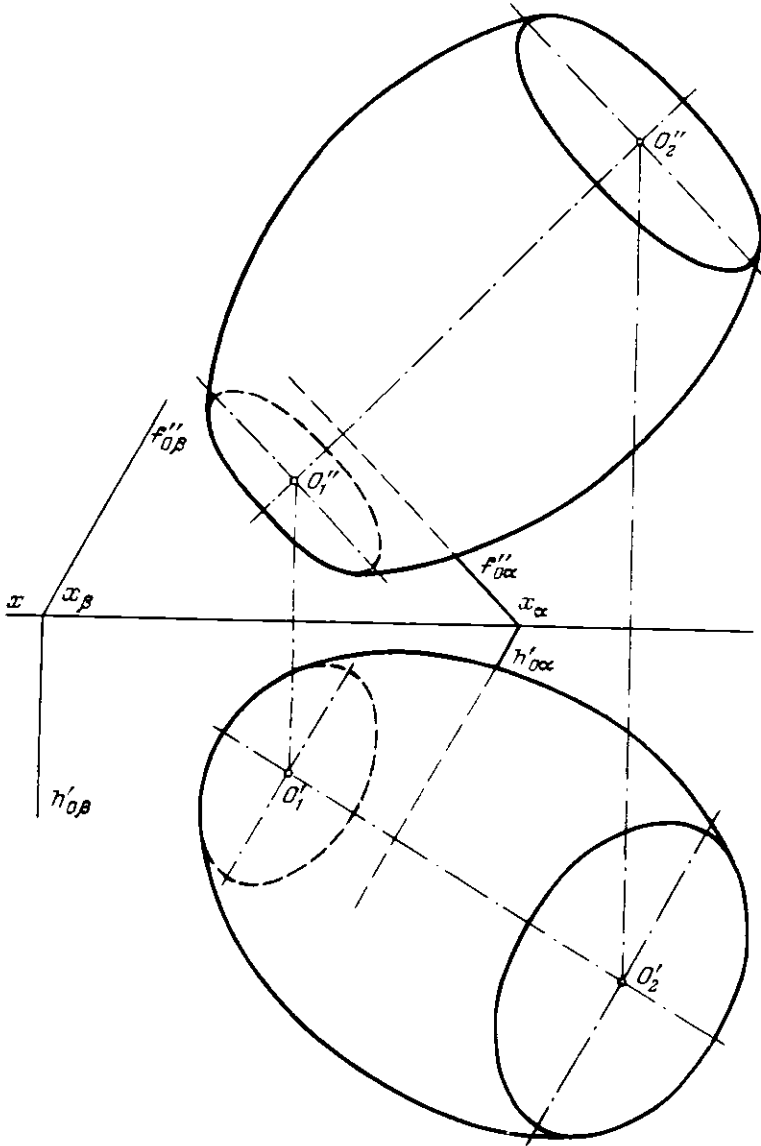


240.

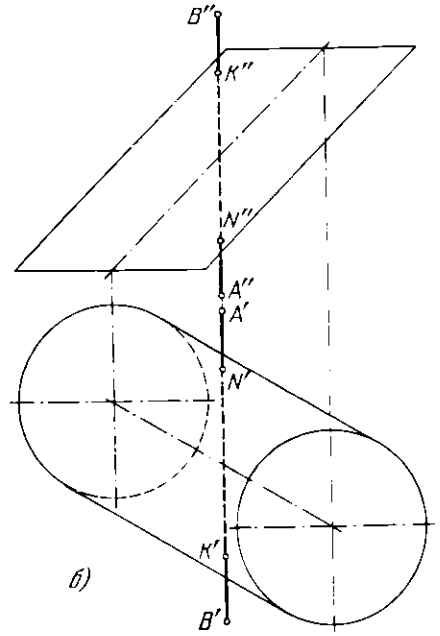
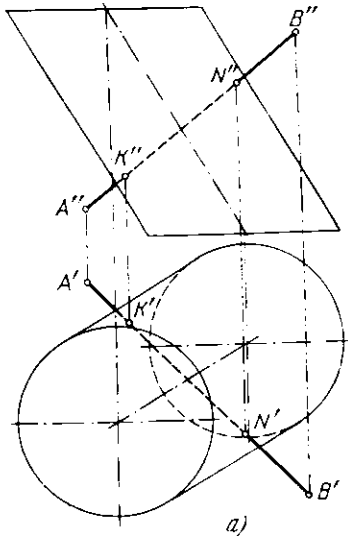


243.

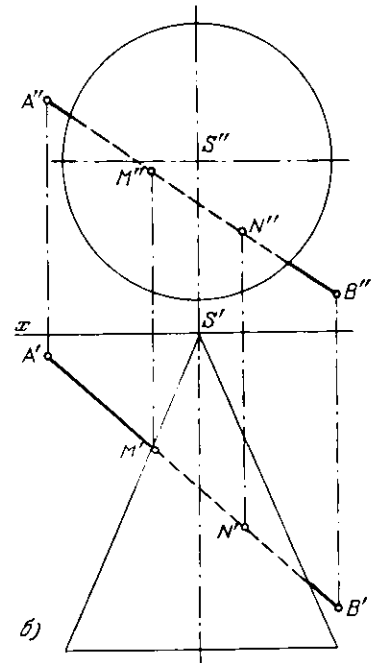
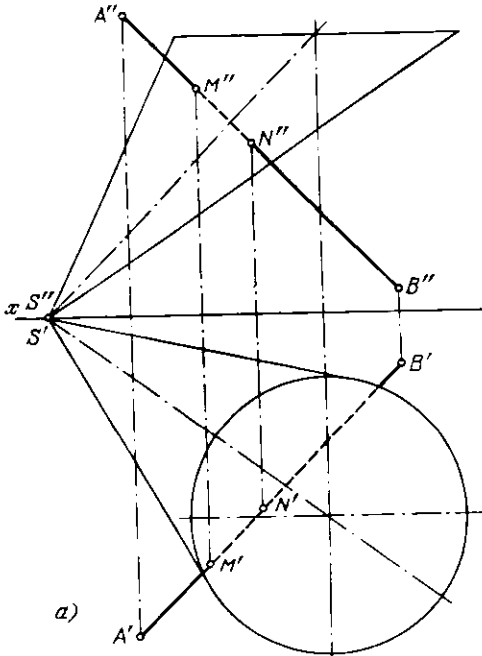




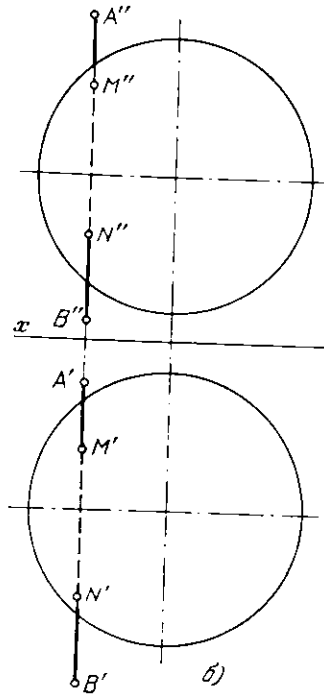
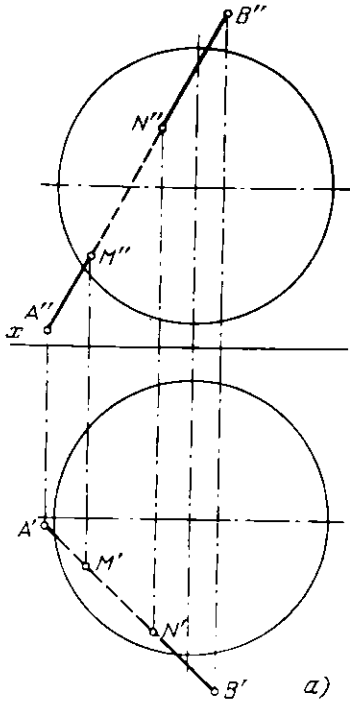
249. а, б.



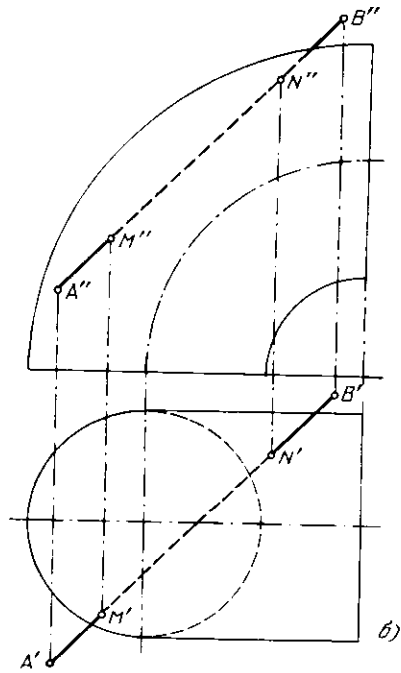
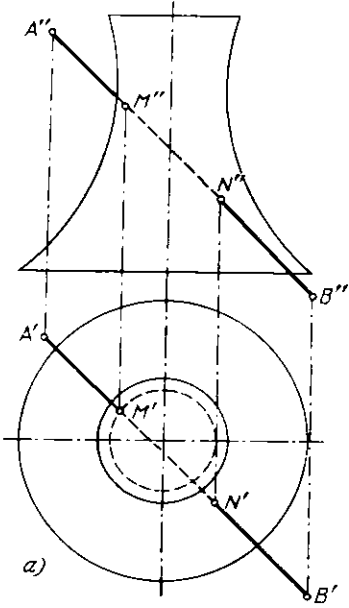
252. а, б.



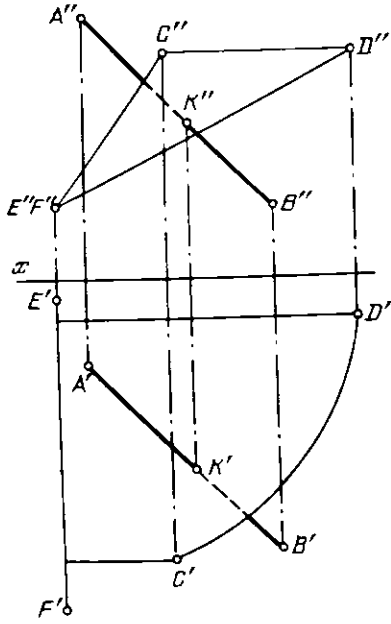
254. а, б.



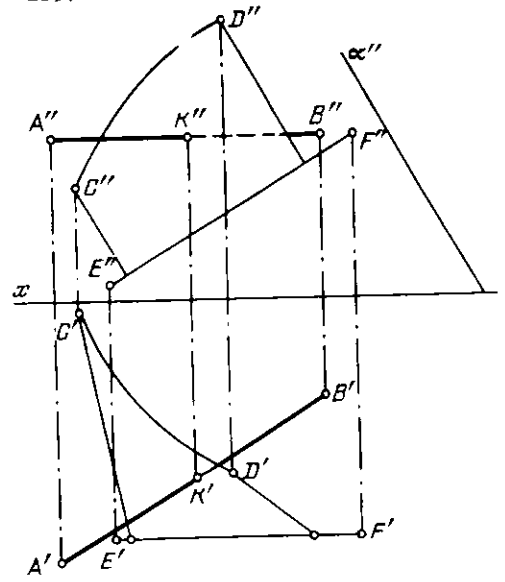
256. а, б.



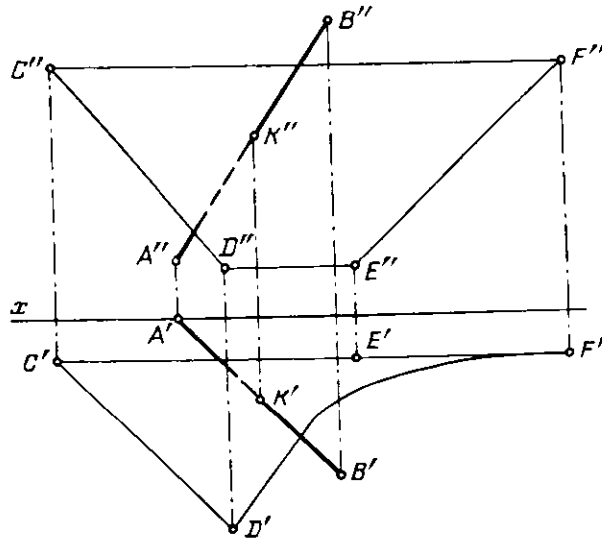
258.



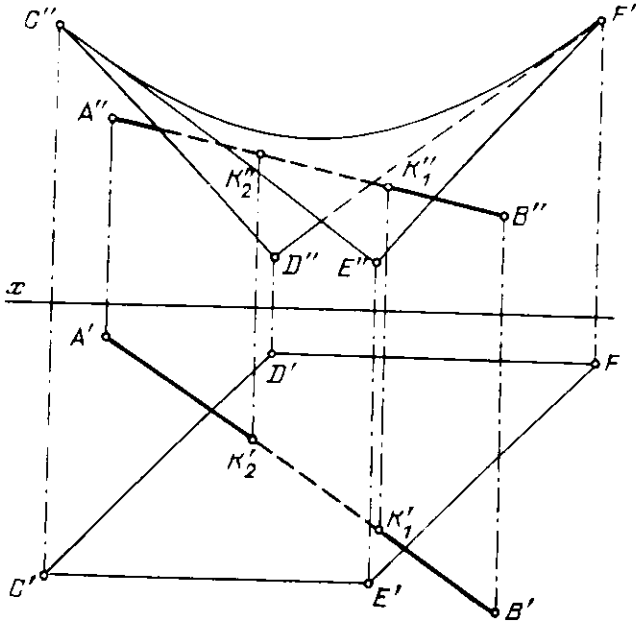
259.



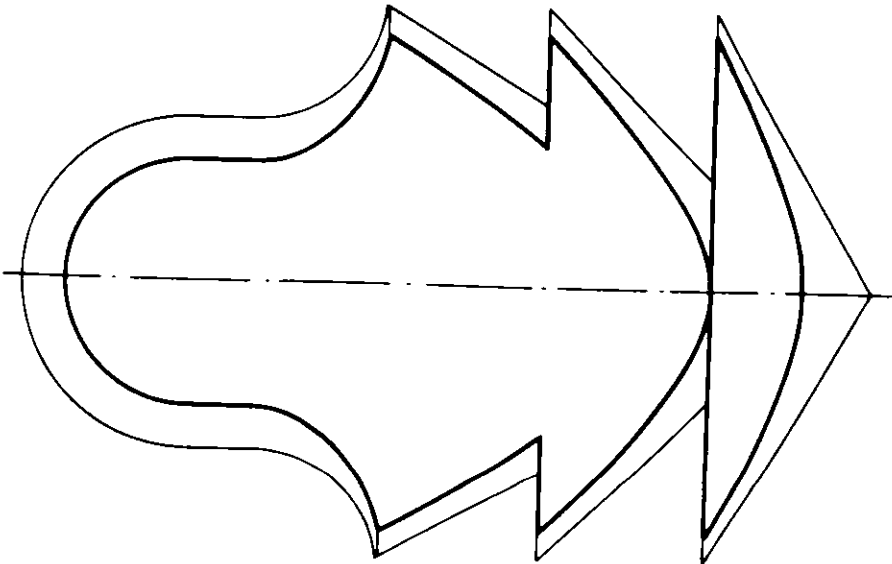
261.

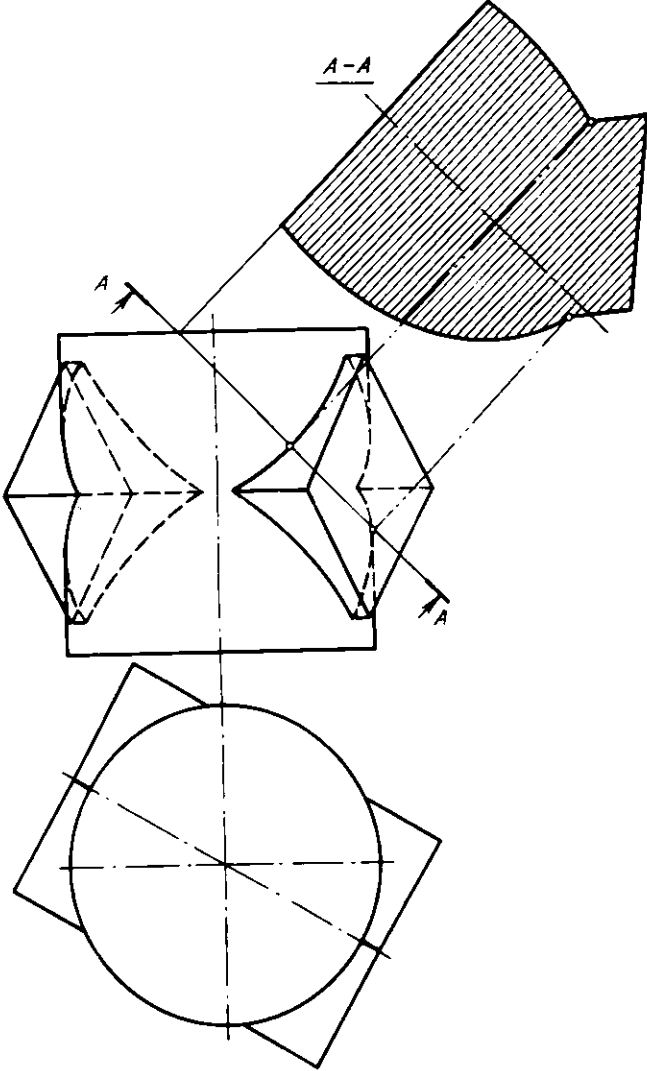


262.

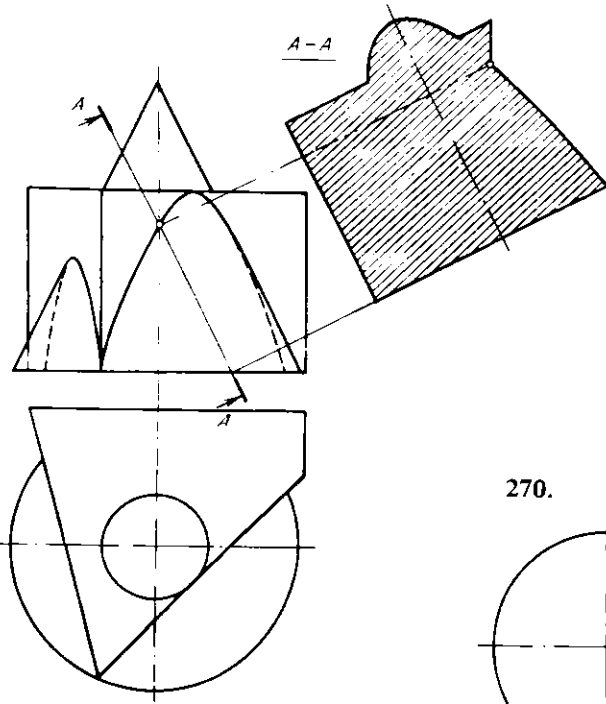


264.

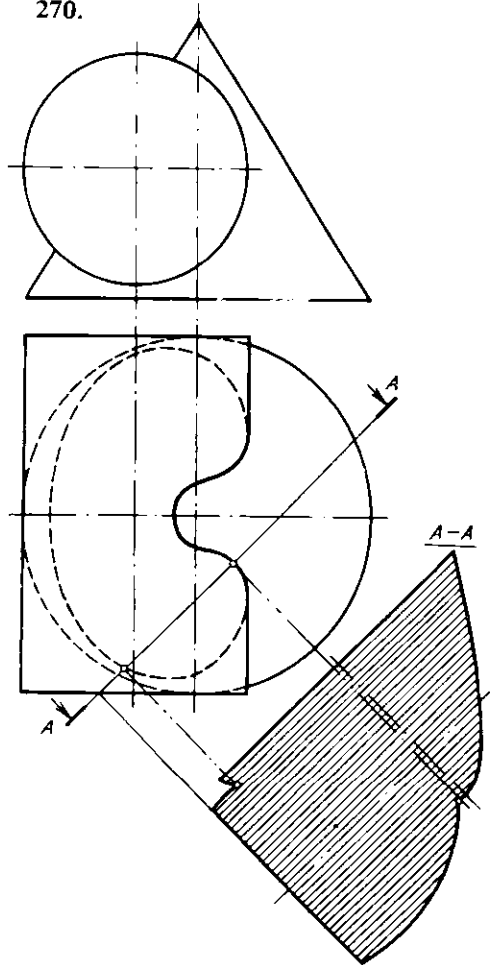




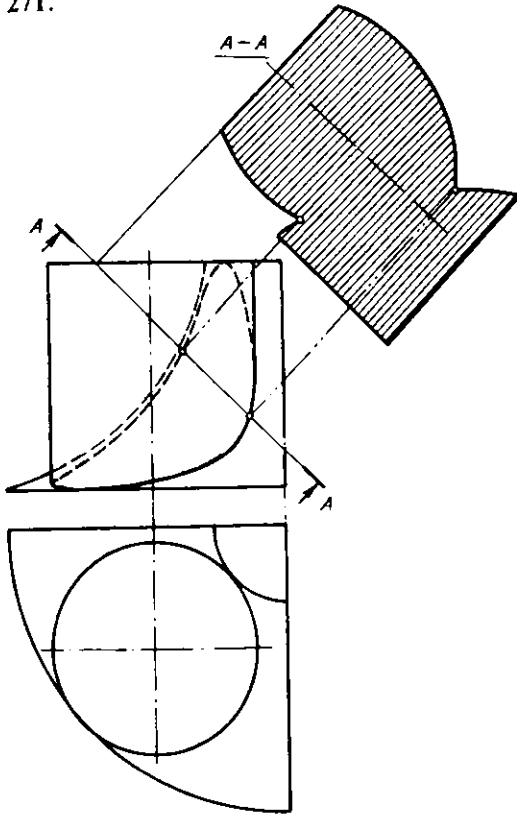
267.



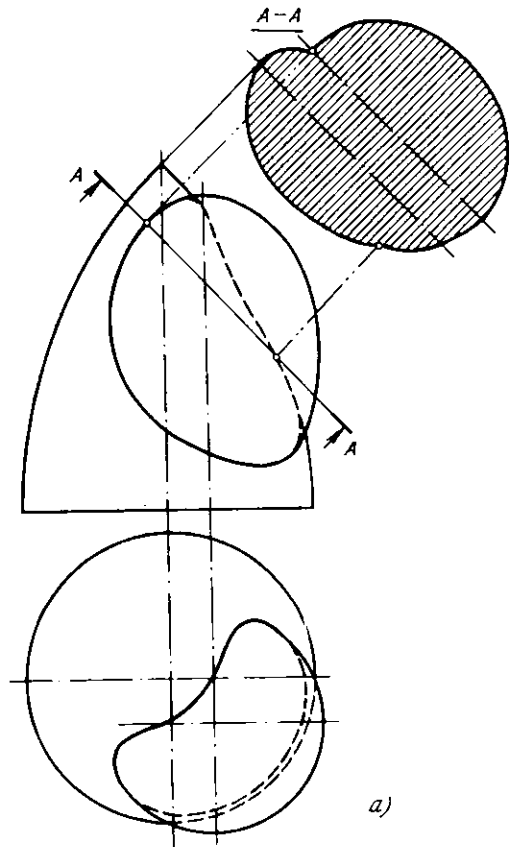
270.



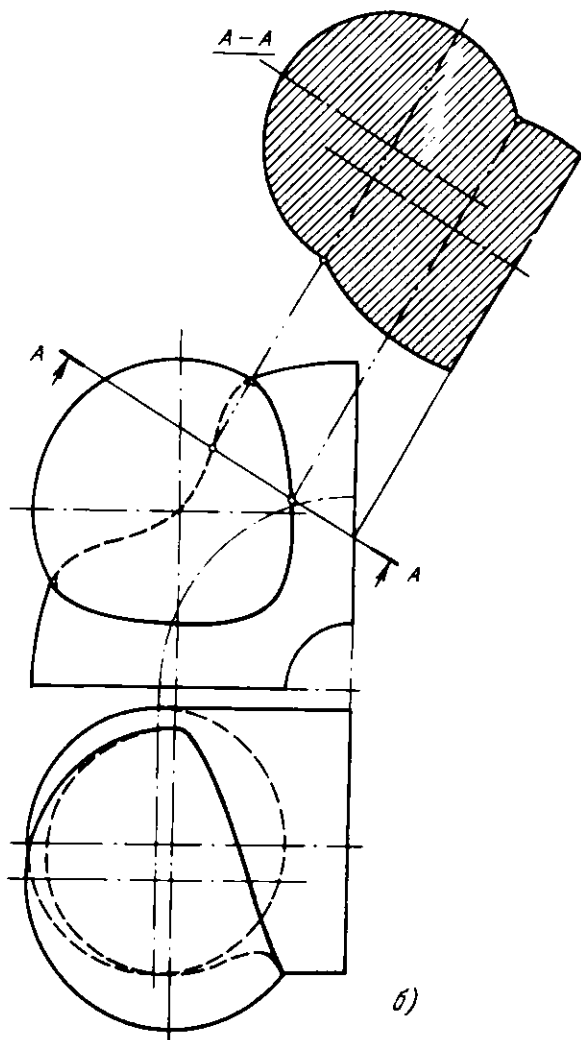
271.



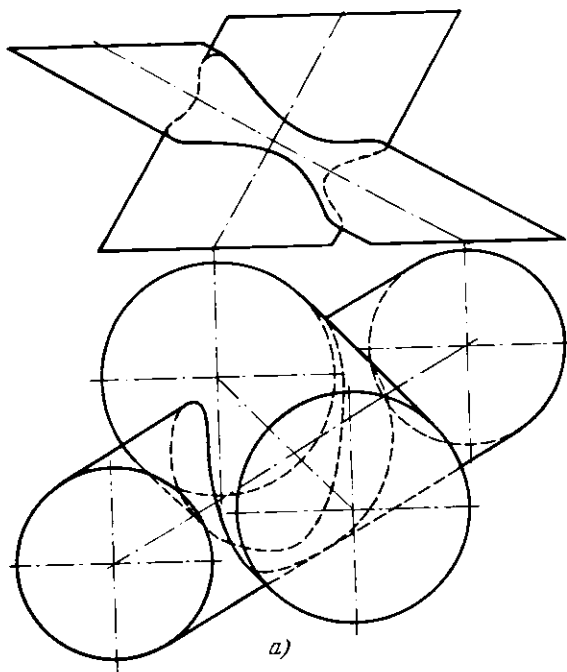
273. a.



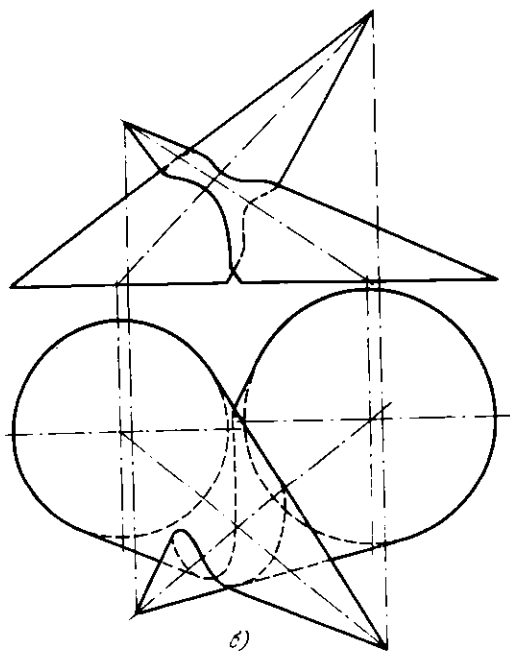
a)



275. а, б.

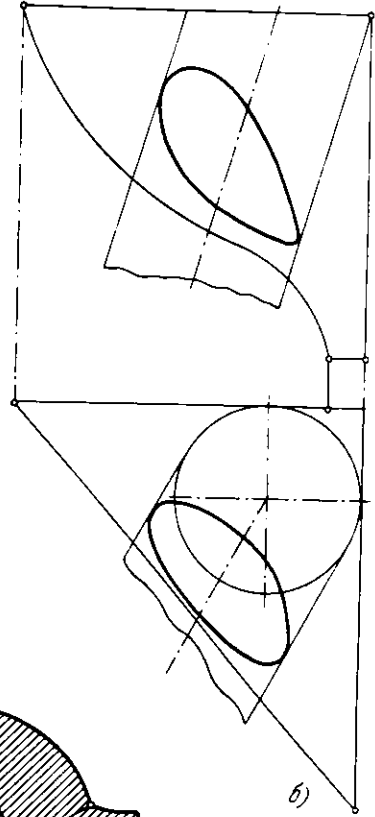
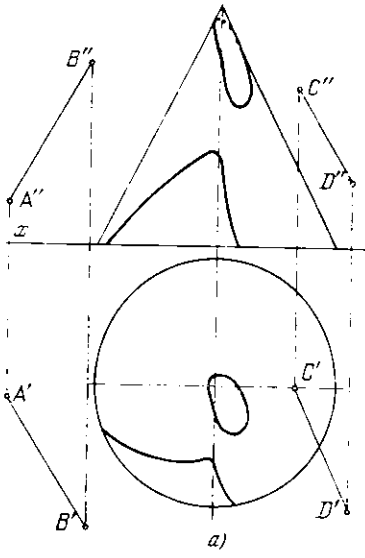


a)

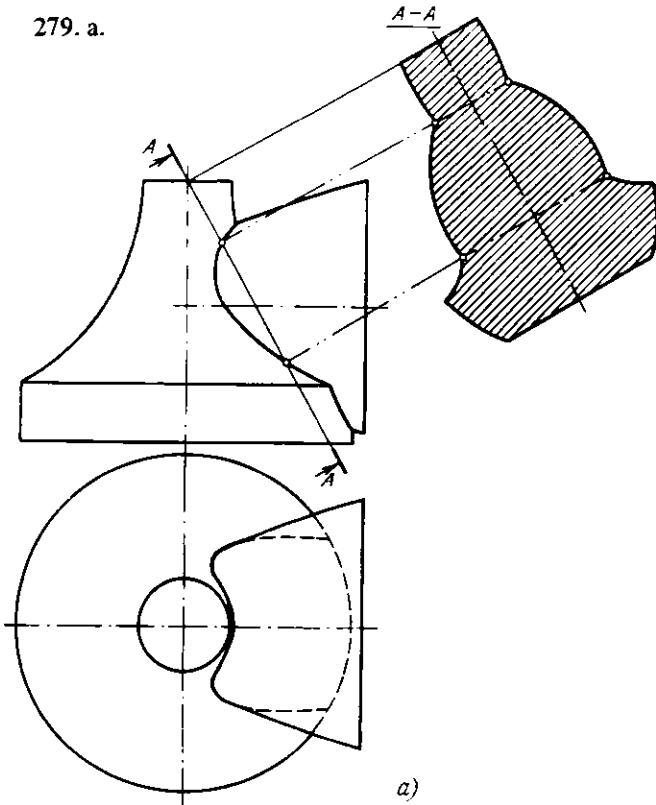


б)

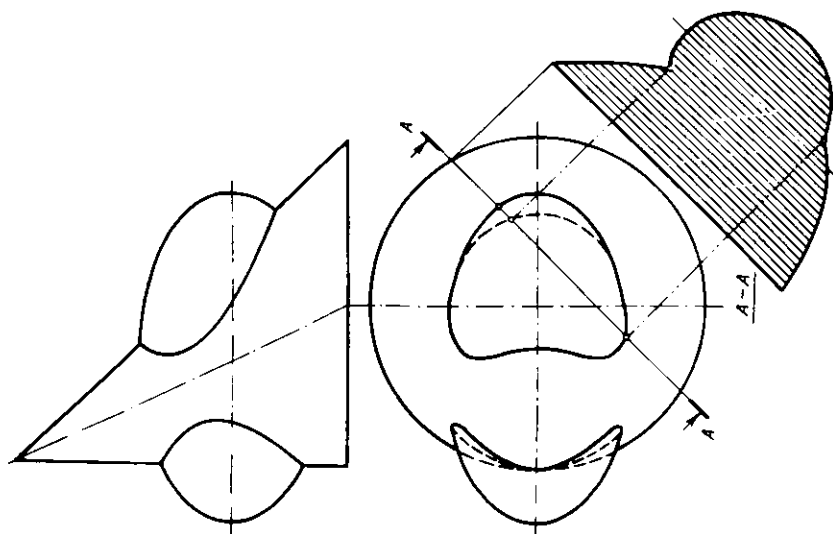
277. a, б.



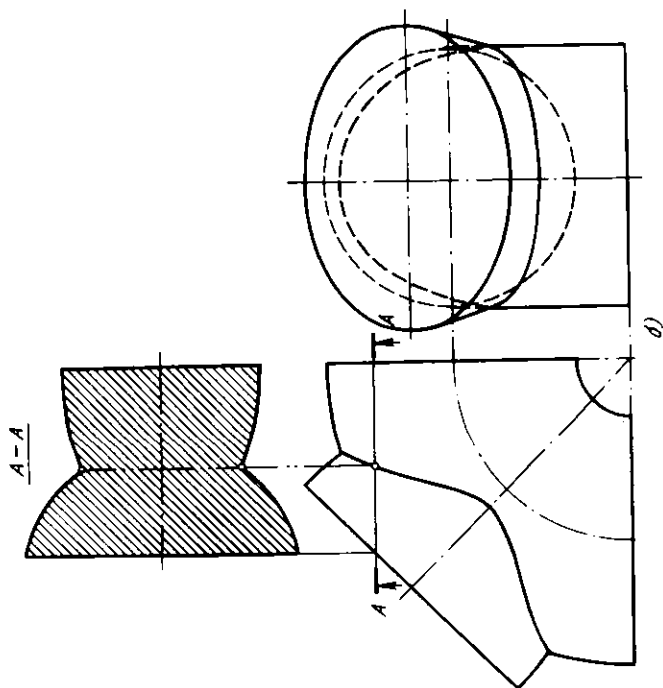
279. a.



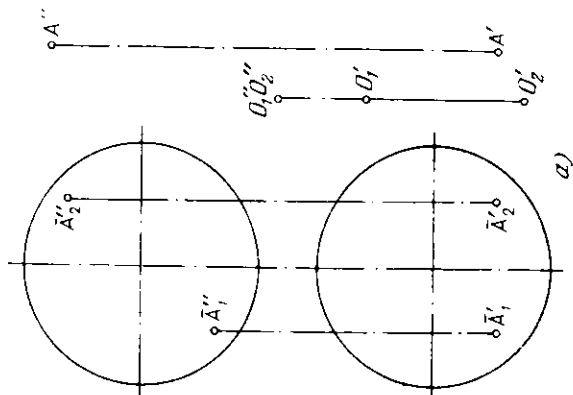
281. а.



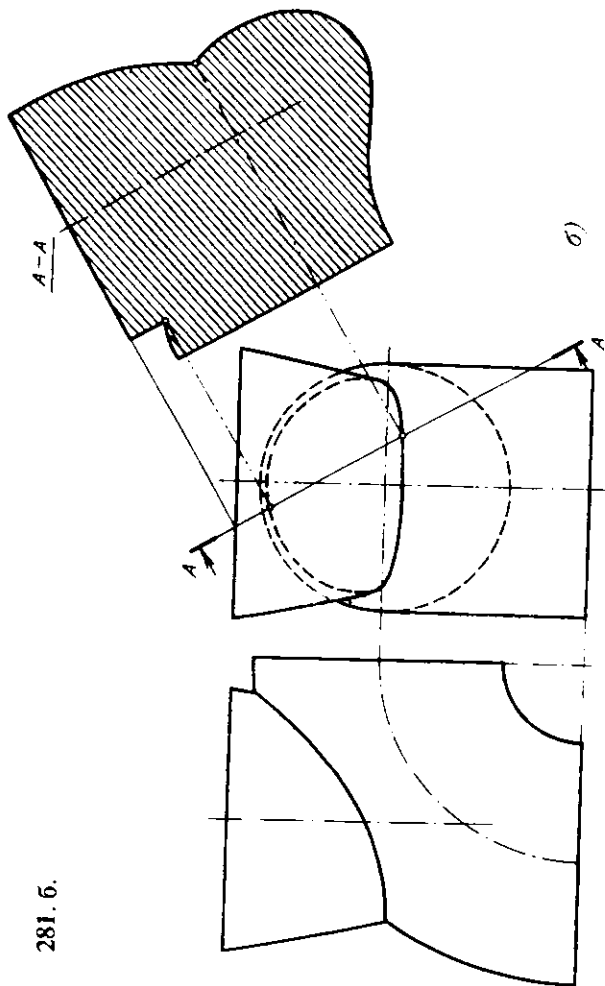
279. б.



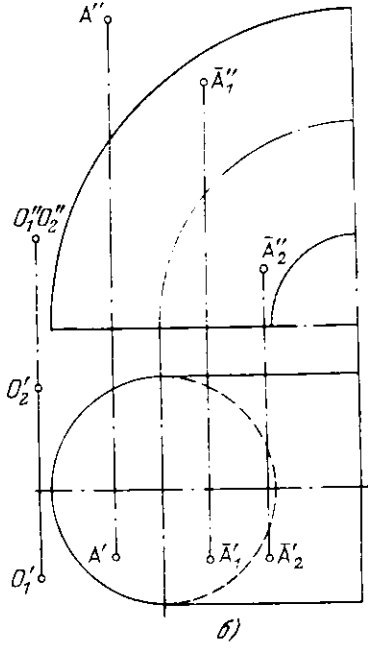
284. a.



281. б.

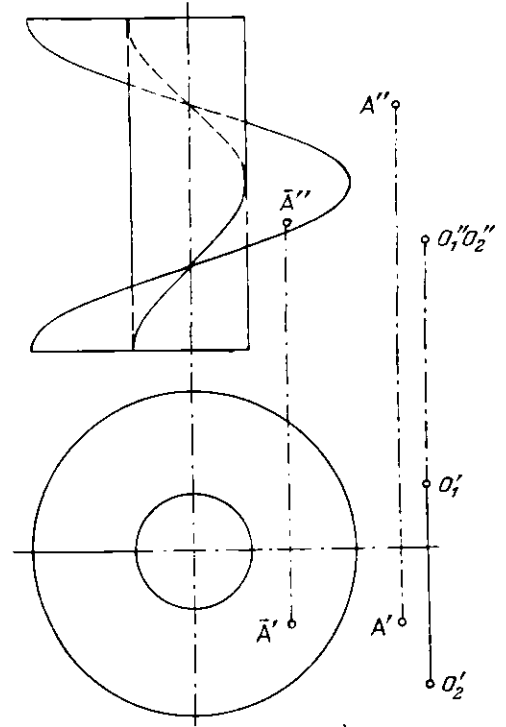


284. б.



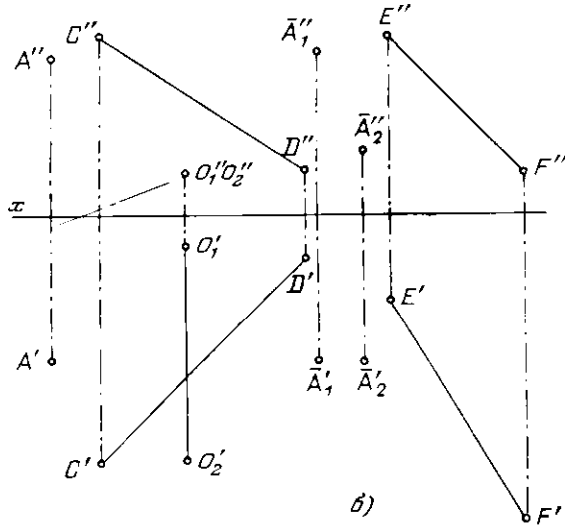
б)

286. а.



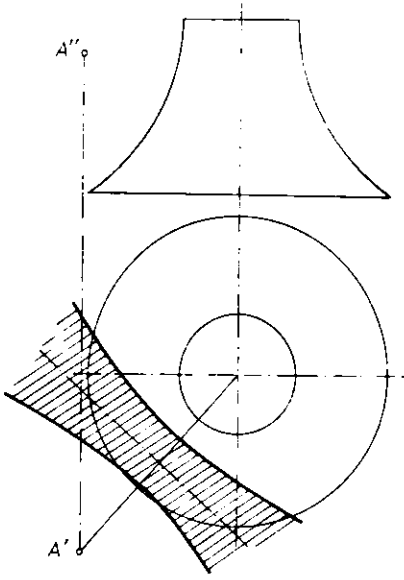
а)

286. б.

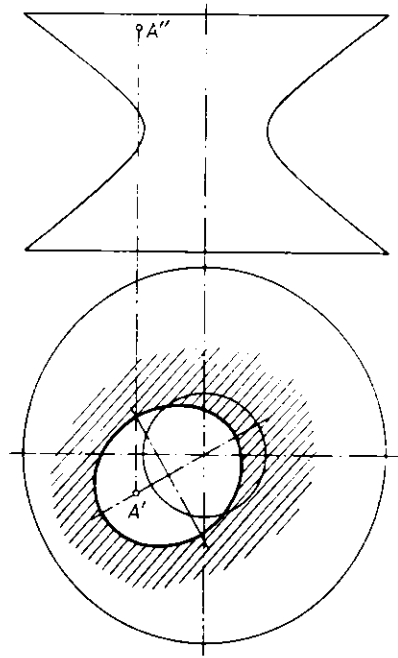


б)

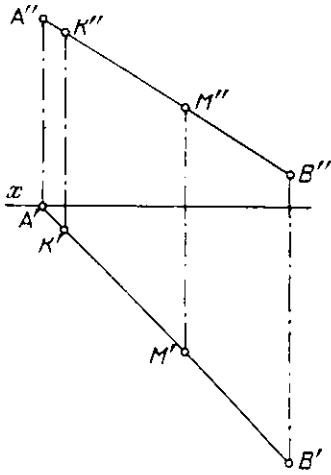
288.



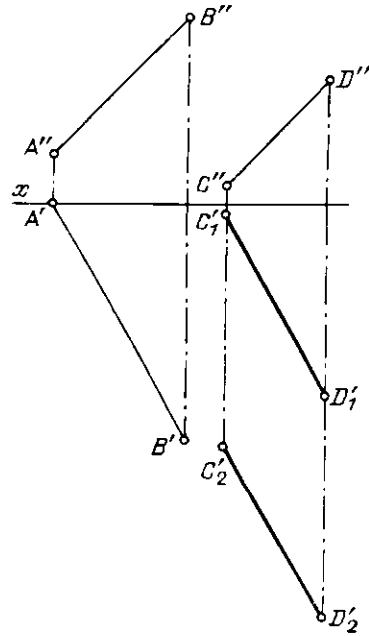
290.



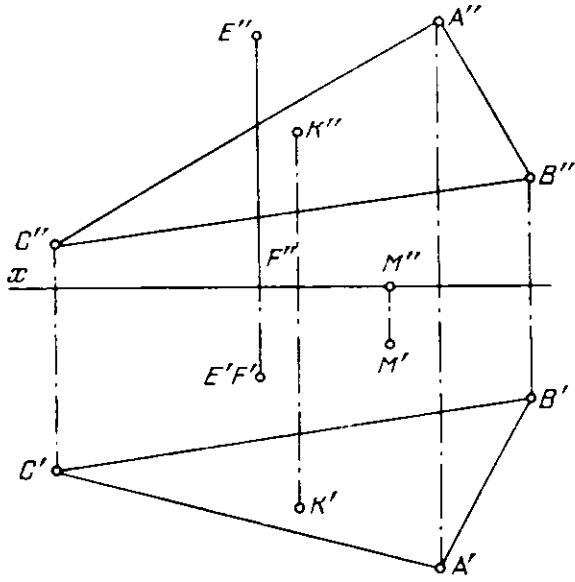
292.



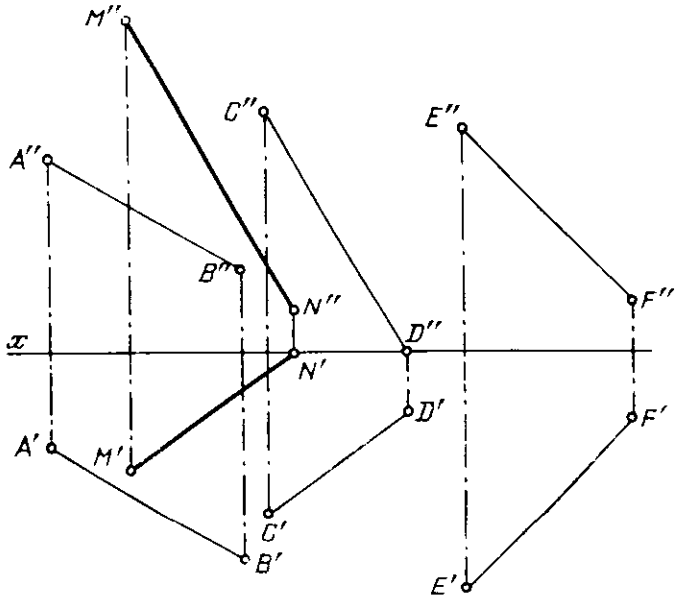
294.

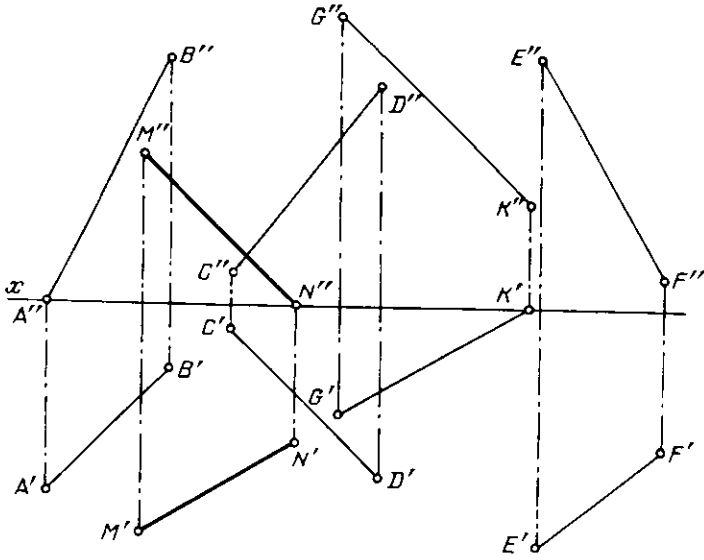


296.

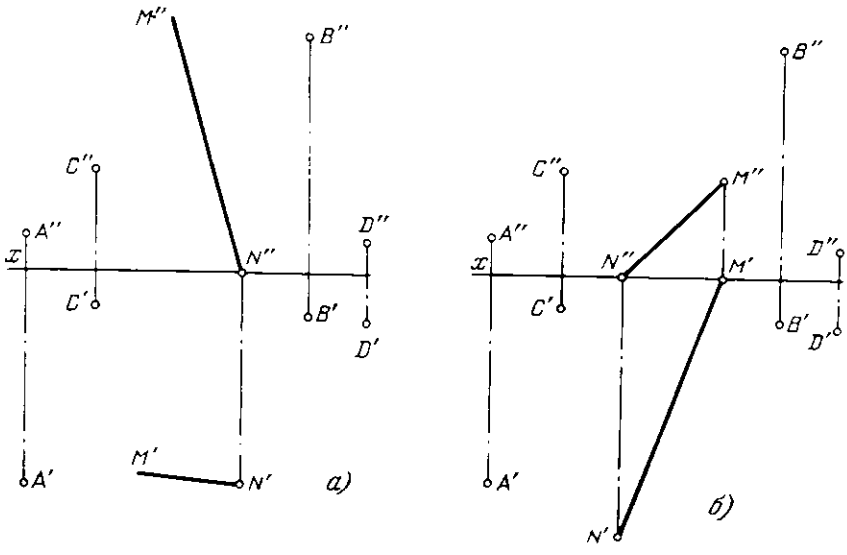


298.

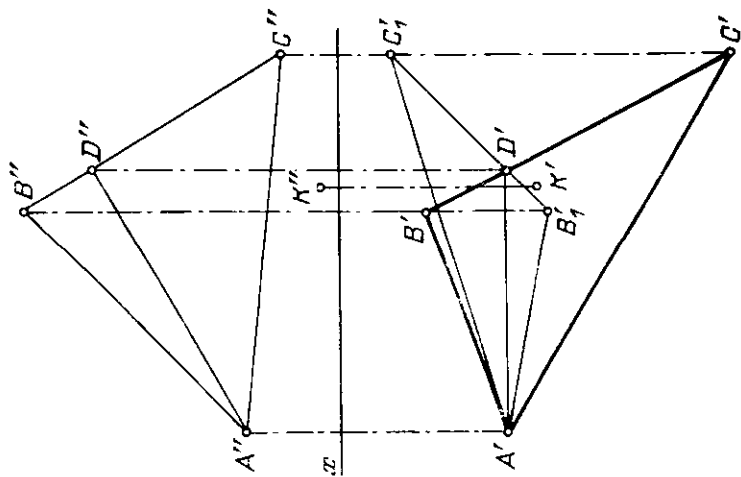




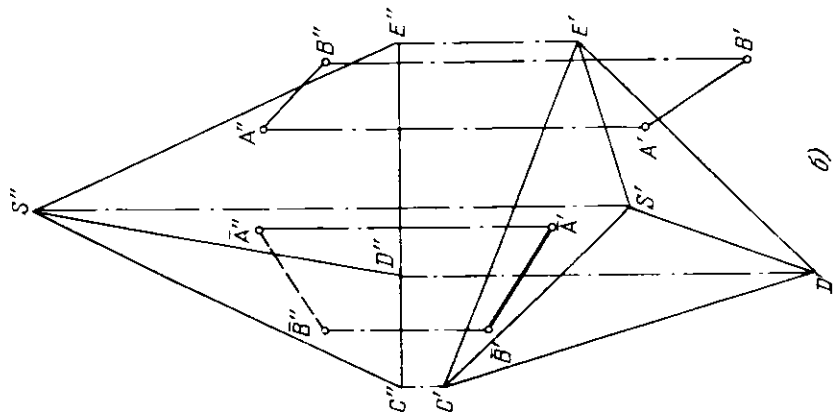
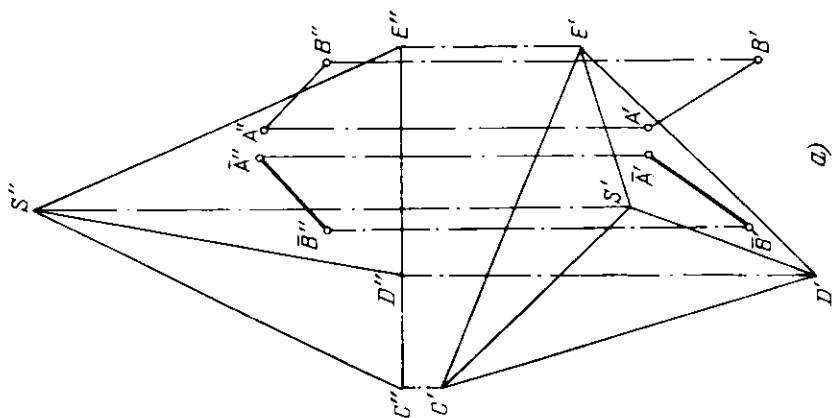
302. а, б.



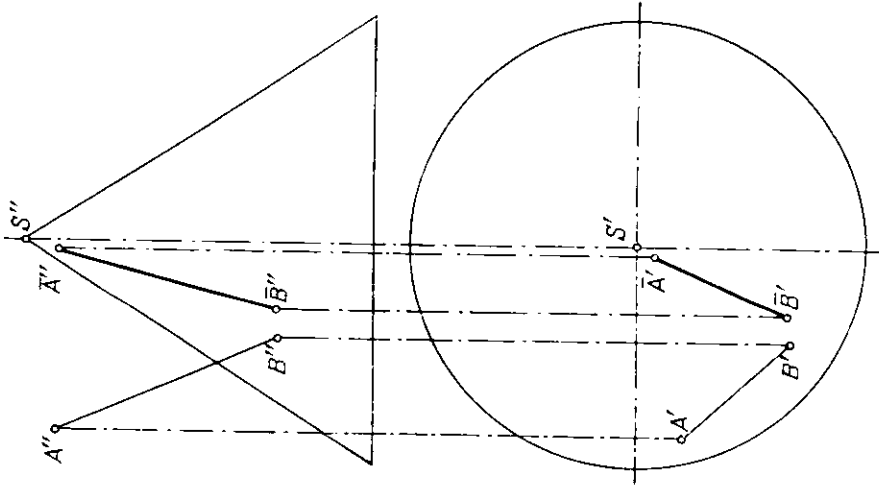
304.



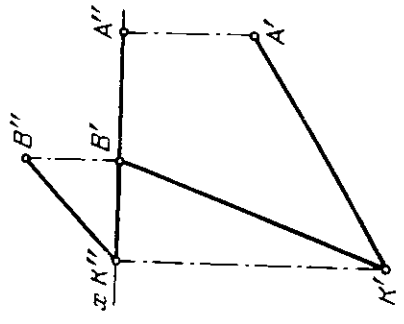
307. а, б.



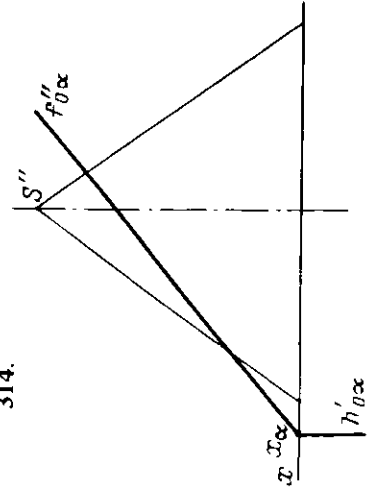
310.



312.

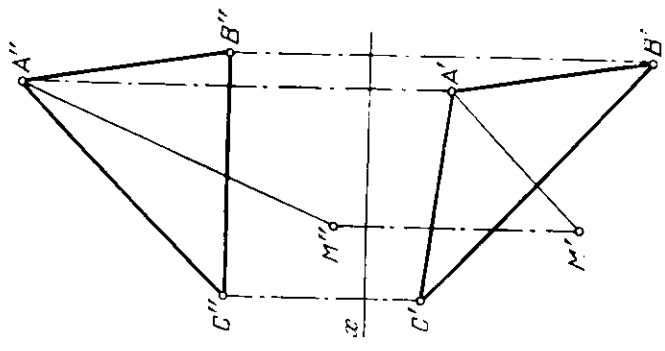


314.

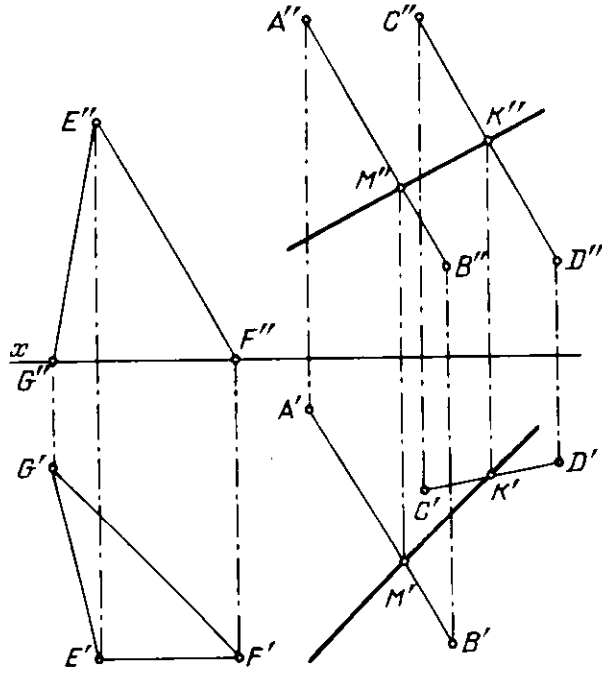


315. Не будет.

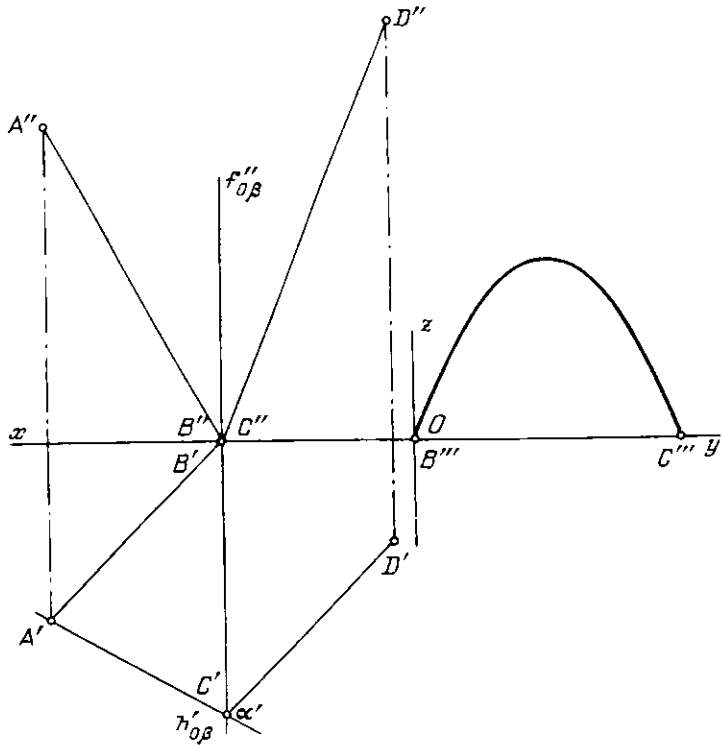
316.



317.

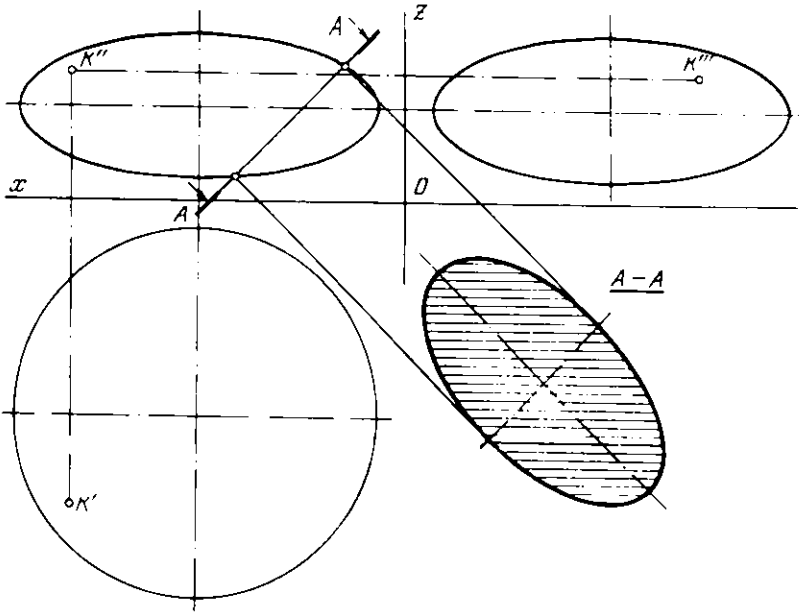


318.

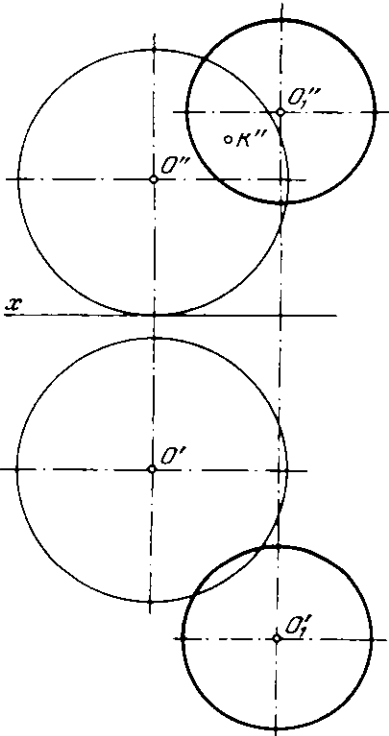


310

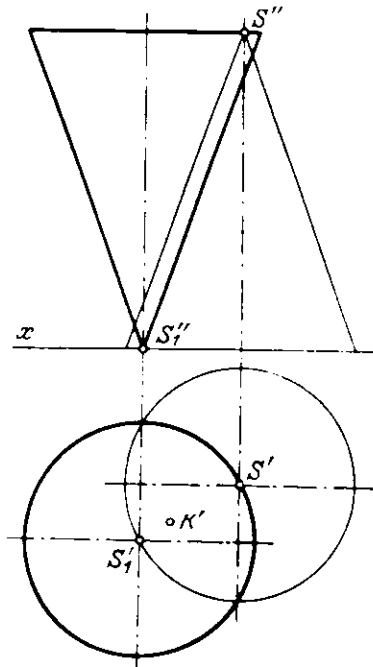
319.



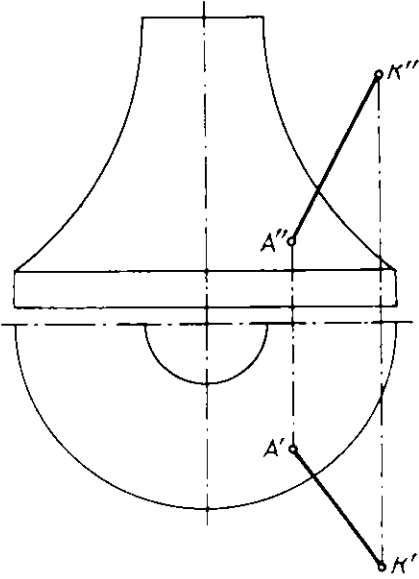
320.



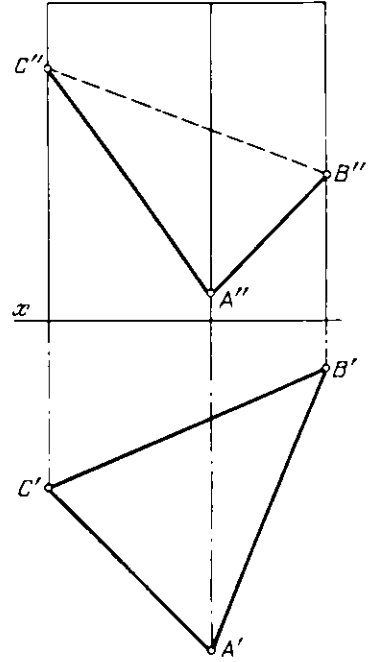
321.



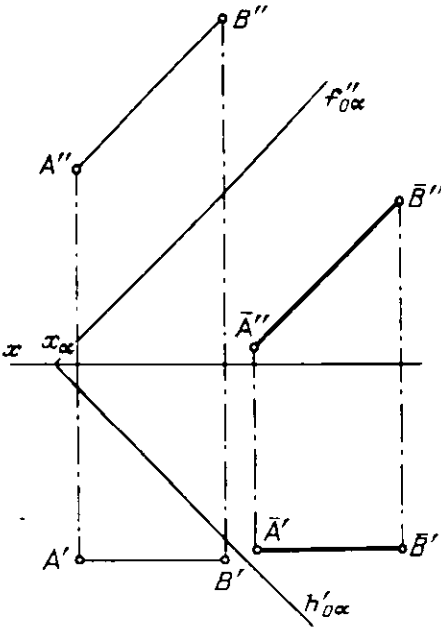
322.

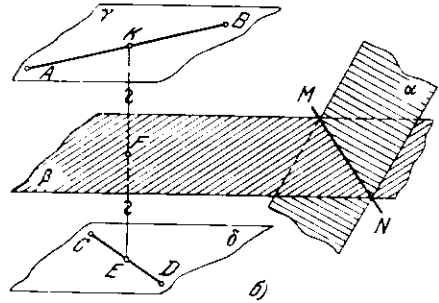
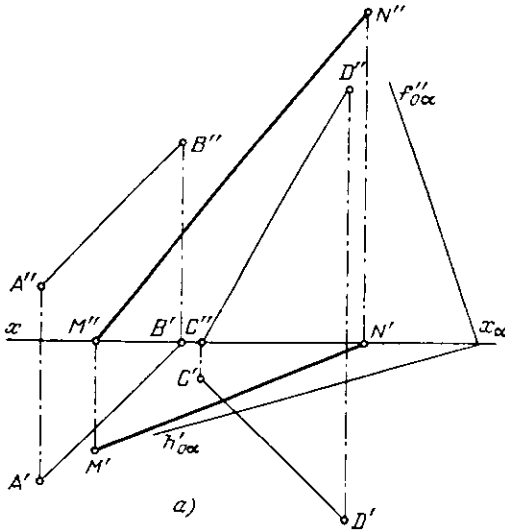


323.



324.



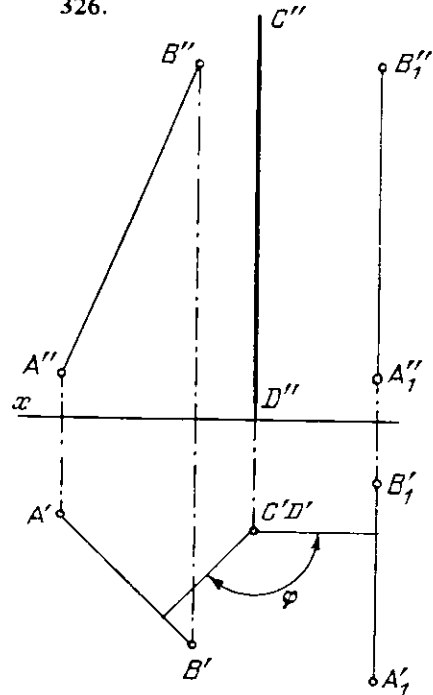


Искомым геометрическим местом является прямая MN пересечения пл. α с пл. β (рис. б) ответа). Пл. β параллельна обеим заданным прямым и проходит через точку F — середину отрезка EK общего перпендикуляра к прямым.

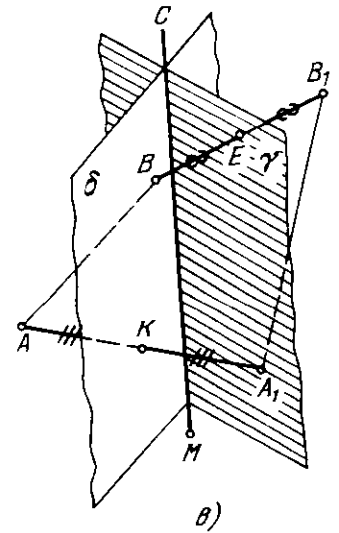
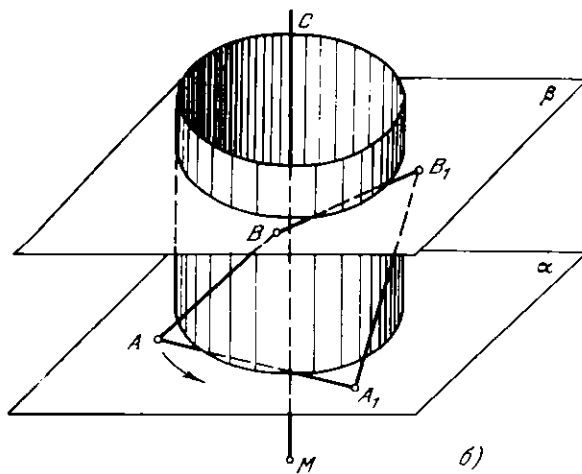
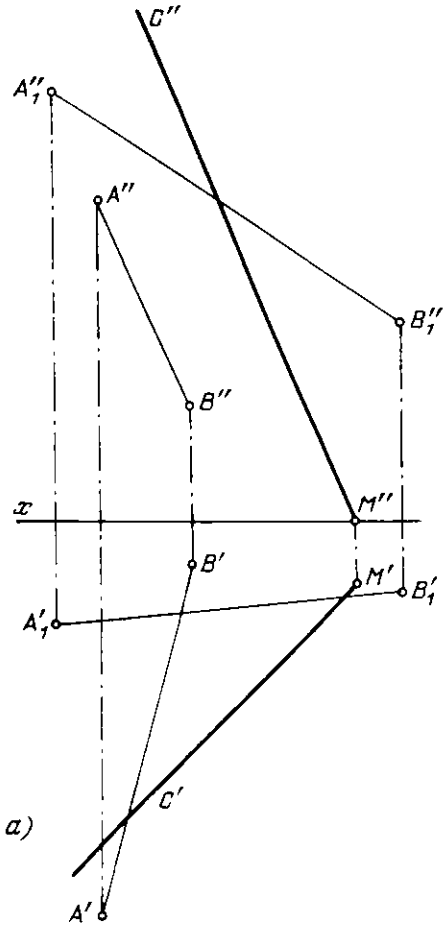
При решении задачи строить прямую EK не обязательно: пл. β следует провести посередине между параллельными пл. γ и δ , проходящими соответственно через прямые AB и CD .

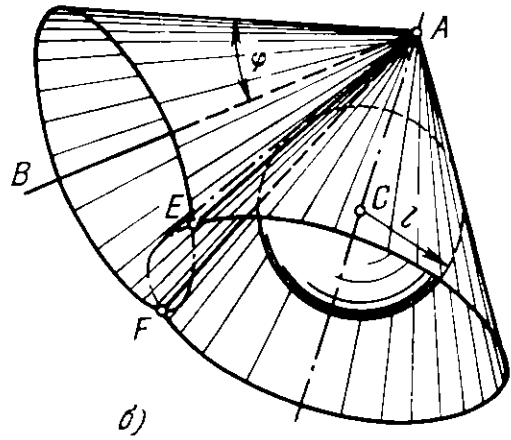
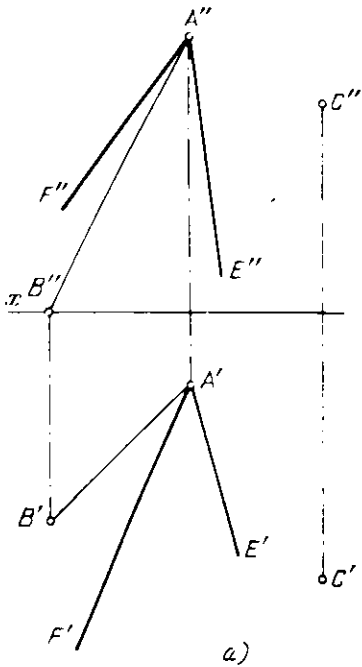
П л а н р е ш е н и я. 1. Через AB провести пл. $\gamma \parallel CD$ (или наоборот). 2. Определить расстояние между пл. γ и δ (пл. δ для этого не требуется). 3. Провести пл. β , равноудаленную от них и параллельную им. 4. Построить линию пересечения пл. α и β .

326.



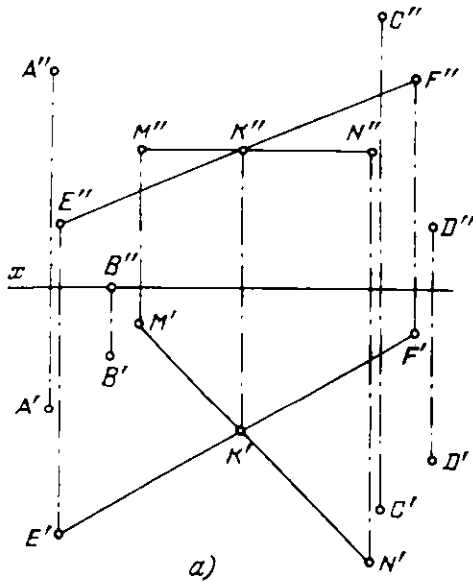
327. При повороте точки A и B вращаются в плоскостях α и β , перпендикулярных искомым оси CM (рис. б) ответа). Прямая CM равноудалена как от точек A и A_1 , так и от B и B_1 . Поэтому она определяется как линия пересечения плоскостей δ и γ , проходящих соответственно через середины отрезков AA_1 и BB_1 (рис. в) ответа) перпендикулярна к ним.

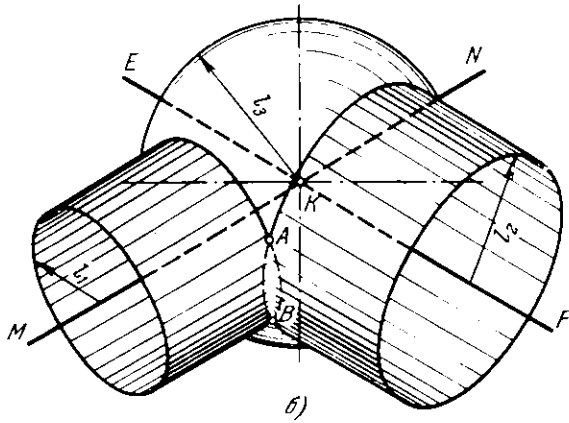




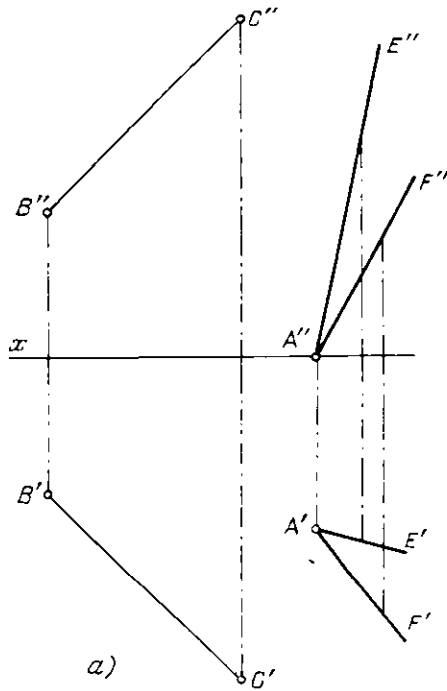
328. Искомые прямые AE и AF являются линиями пересечения двух конических поверхностей с вершиной в точке A (рис. б) ответа): одной – с осью AB и углом φ наклона образующих к оси; другой – описанной вокруг сферы радиуса l с центром в точке C .

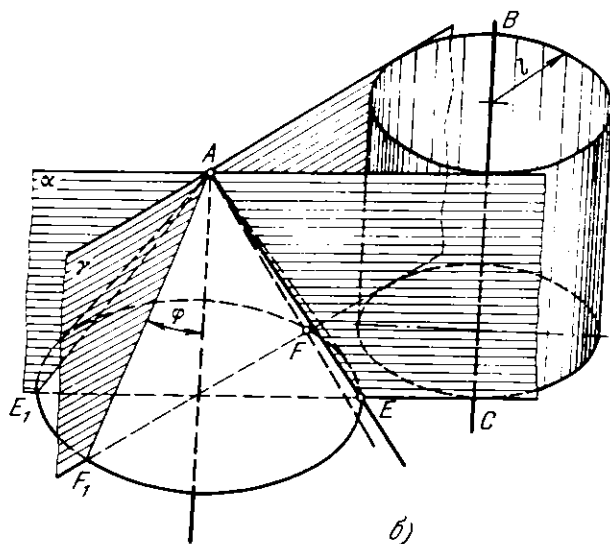
329. а. Искомые точки A и B являются точками пересечения двух окружностей (рис. б) ответа): окружности пересечения сферы радиуса l_2 с центром в точке K с цилиндром радиуса l_1 и осью MN и окружности пересечения той же сферы с цилиндром, осью которого является прямая EF , а радиус равен l_2 .



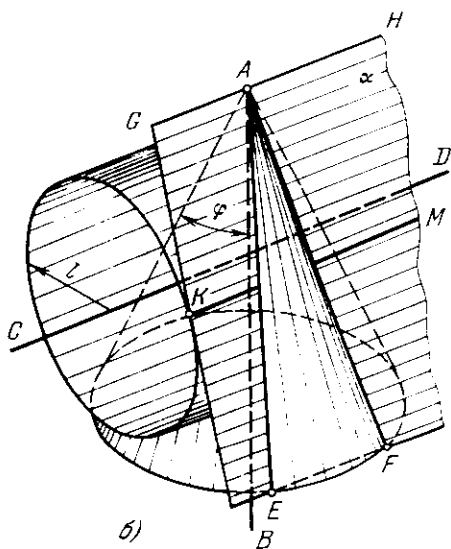
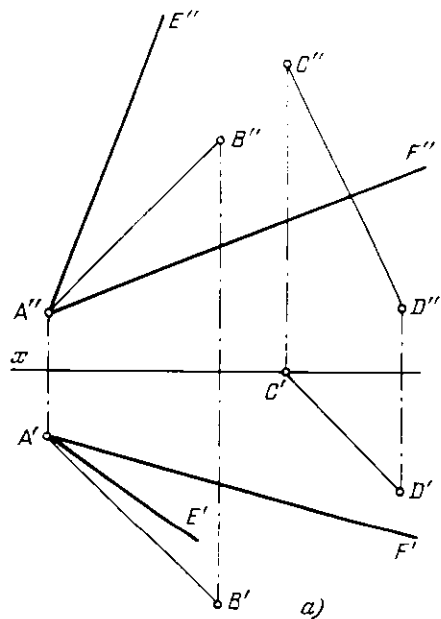


330. а. Искомые прямые, во-первых, находятся в плоскостях α и γ , проходящих через точку A и касательных к цилиндрической поверхности радиуса l и осью BC (рис. б) ответа); во-вторых, принадлежат конической поверхности, вершина которой – точка A , ось – прямая, параллельная BC , и угол наклона образующих к оси – φ . Искомые прямые – результат пересечения этой поверхности с плоскостями α и γ .

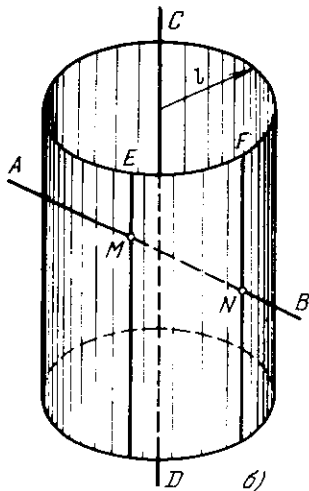
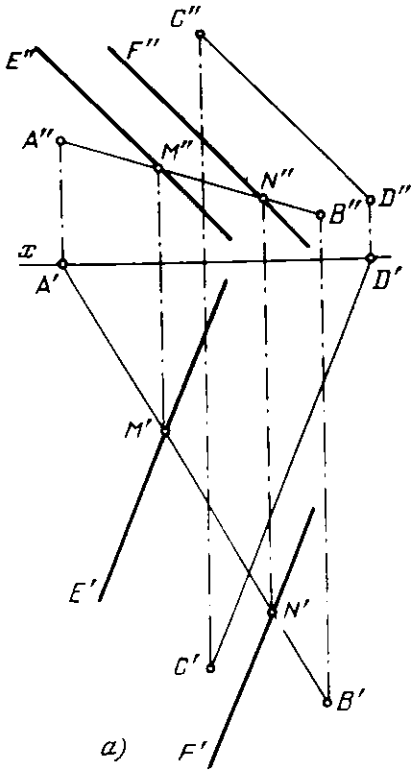




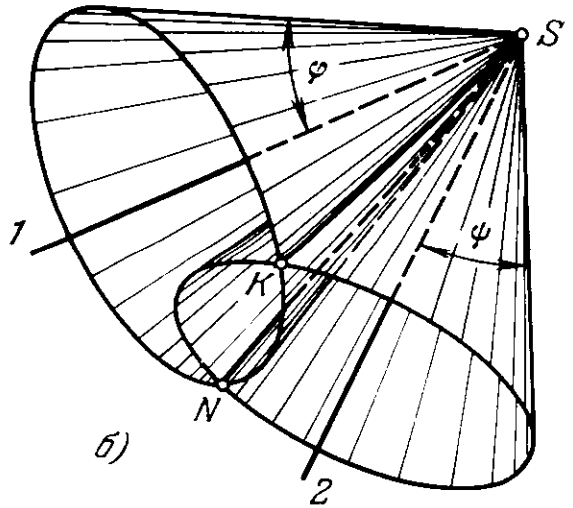
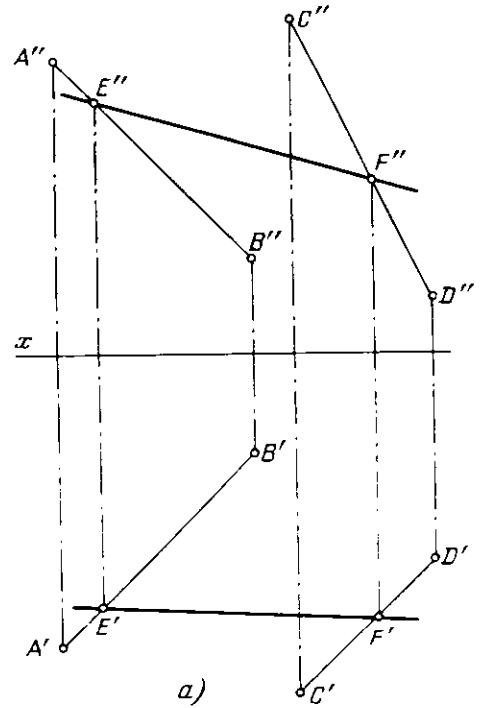
331. Искомые прямые, во-первых, принадлежат конической поверхности (рис. б) ответа) с осью AB и углом φ между образующими и осью; во-вторых, пл. α , проходящей через точку A и касательной к цилиндру, ось которого – прямая CD и радиус – l . Следовательно, эти прямые определяются как линии пересечения пл. α с конической поверхностью.



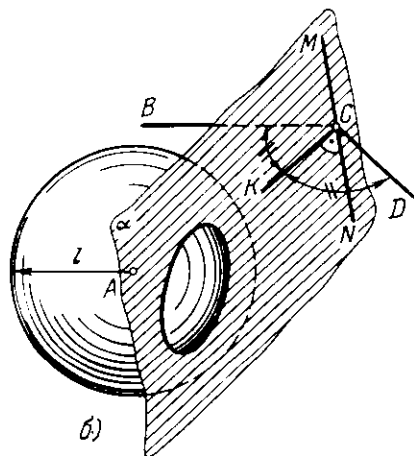
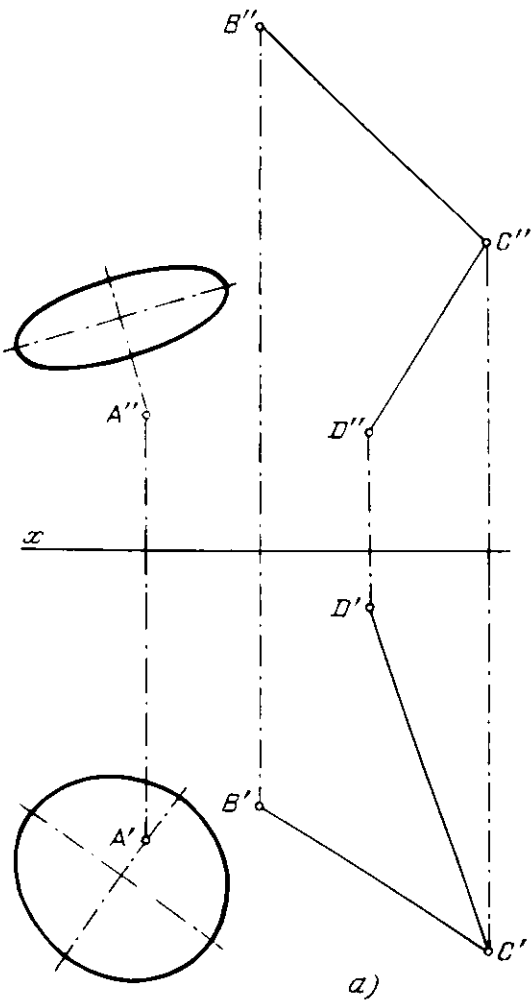
332. Искомыми прямыми являются образующие цилиндра (рис. б) ответа), имеющего ось CD и радиус l , проходящие через почти пересечения прямой AB с поверхностью этого цилиндра.



333. Для определения направления прямой EF следует (рис. б) ответа) через произвольную точку (S) провести прямые $S - 1 \parallel AB$ и $S - 2 \parallel CD$, описать вокруг них конические поверхности с углами наклона образующих к оси соответственно φ и ψ и найти линию их пересечения SK (SN). Прямая EF параллельна этой линии. В дальнейшем решение задачи аналогично решению задачи 140.



334. Искомым геометрическим местом точек (рис. б) ответа) является окружность пересечения сферы с центром в точке A и радиусом l с плоскостью, проходящей через биссектрису угла $B CD$ перпендикулярно к плоскости этого угла.



335. Искомые прямые являются образующие конической поверхности с вершиной в точке A , описанной вокруг сферы с центром в точке B и радиусом l , проходящие через точку пересечения этой поверхности с прямой CD (рис. б) ответа).

